



REGIONE BASILICATA
PROVINCIA DI MATERA
COMUNE DI FERRANDINA



AUTORIZZAZIONE UNICA EX. D. LGS. 387/03

Progetto Definitivo Parco Eolico "Montagnola"

Titolo elaborato

A.11 - Relazione preliminare sulle strutture

Codice elaborato

COMMESSA	FASE	ELABORATO	REV.
F0302	B	R13	A

Riproduzione o consegna a terzi solo dietro specifica autorizzazione.

Scala

—

DATA	DESCRIZIONE	REDATTO	VERIFICATO	APPROVATO
Aprile 2020	Prima emissione	BDE	FMO	GDS

Proponente



GR VALUE DEVELOPMENT S.r.l.

**c.so Venezia, 37
20121 Milano**

Progettazione



F4 ingegneria srl

via Di Giura - Centro Direzionale, 85100 Potenza
Tel: +39 0971 1 944 797 - Fax: +39 0971 5 54 52
www.f4ingegneria.it - f4ingegneria@pec.it

Il Direttore Tecnico
(ing. Giovanni DI SANTO)



Società certificata secondo la norma UNI-EN ISO 9001:2015 per l'erogazione di servizi di ingegneria nei settori: civile, idraulica, acustica, energia, ambiente (settore IAF: 34).





Sommario

1	Premessa	2
2	Normativa di riferimento	3
3	Materiali impiegati	4
4	Terreni	5
5	Analisi dei carichi	8
5.1	Carichi aerogeneratore	8
5.2	Peso plinto	9
5.3	Combinazioni di carico	9
6	Codice di calcolo impiegato	11
6.1	Modello di calcolo	12
7	Verifiche geotecniche	13
7.1	Verifica a ribaltamento	14
7.2	Tensioni sul terreno	15
7.3	Carico limite dei pali	17
8	Verifiche strutturali	20
8.1	Verifica a pressoflessione retta del plinto	20
8.2	Verifica delle tensioni di esercizio del plinto	170
8.3	Verifica a fessurazione del plinto	171
8.4	Verifica a pressoflessione deviata dei pali	173
8.5	Verifica a taglio dei pali	175

1 Premessa

Scopo della presente relazione è l'analisi statica del plinto di fondazione degli aerogeneratori del parco eolico in oggetto. Gli aerogeneratori previsti in progetto sono forniti dalla società GAMESA e sono di due tipologie SG 5.0-145-HH102.5 e SG 6.0-155-HH122.5; per entrambe le tipologie sono state considerate le stesse caratteristiche geometriche del plinto di fondazione.

La vita nominale dell'opera è stabilita in 50 anni e la classe d'uso relativa è la classe II.

La fondazione è costituita da un plinto su pali; il plinto ha un diametro pari a 22.90 m ed altezza variabile da 3.50 m (esterno gonna aerogeneratore) a 0.50 m (esterno plinto); i pali sono 12, di diametro pari a 0.80 m e lunghezza 10.00 m.

Il calcolo riguarda le sollecitazioni massime delle singole componenti della fondazione e la loro verifica.



Figura 1: vista tridimensionale della fondazione dell'aerogeneratore



2 Normativa di riferimento

Le fasi di analisi e verifica della struttura sono state condotte in accordo alle seguenti disposizioni normative, per quanto applicabili in relazione al criterio di calcolo adottato dal progettista, evidenziato nel prosieguo della presente relazione:

- Legge 5 novembre 1971 n. 1086 (G. U. 21 dicembre 1971 n. 321) "Norme per la disciplina delle opere di conglomerato cementizio armato, normale e precompresso ed a struttura metallica";
- Legge 2 febbraio 1974 n. 64 (G. U. 21 marzo 1974 n. 76) "Provvedimenti per le costruzioni con particolari prescrizioni per le zone sismiche". Indicazioni progettive per le nuove costruzioni in zone sismiche a cura del Ministero per la Ricerca scientifica - Roma 1981;
- D. M. Infrastrutture Trasporti 17/01/2018 (G.U. 20/02/2018 n. 42 - Suppl. Ord. n. 8) "Aggiornamento delle Norme tecniche per le Costruzioni".

Inoltre, in mancanza di specifiche indicazioni, ad integrazione della norma precedente e per quanto con esse non in contrasto, sono state utilizzate le indicazioni contenute nelle seguenti norme:

- D. M. Infrastrutture Trasporti 14 gennaio 2008 (G.U. 4 febbraio 2008 n. 29 - Suppl. Ord.) "Norme tecniche per le Costruzioni";
- Circolare 21 gennaio 2019 n. 7 del Ministero delle Infrastrutture e dei Trasporti "Istruzioni per l'applicazione dell'Aggiornamento delle Norme Tecniche per le Costruzioni di cui al D.M. 17 gennaio 2018".



3 Materiali impiegati

Tutti i materiali strutturali impiegati devono essere muniti di marcatura "CE" ed essere conformi alle prescrizioni del "REGOLAMENTO (UE) N. 305/2011 DEL PARLAMENTO EUROPEO E DEL CONSIGLIO del 9 marzo 2011", in merito ai prodotti da costruzione.

Per la realizzazione dell'opera in oggetto saranno impiegati i seguenti materiali; in particolare si precisa che si utilizzerà un cls tipo C40/50 per il plinto e tipo C25/30 per i pali.

CALCESTRUZZO

N _{id}	γ _k [N/m ³]	α _{T, i} [1/°C]	E [N/mm ²]	G [N/mm ²]	C _{Erid} [%]	Stz	R _{ck} [N/mm ²]	R _{cm} [N/mm ²]	% R _{ck}	γ _c	Caratteristiche calcestruzzo armato				
											f _{cd} [N/mm ²]	f _{ctd} [N/mm ²]	f _{efm} [N/mm ²]	N	n Ac
Cls C40/50_B450C - (C40/50)															
002	25.000	0,000010	35.547	14.811	60	P	50,00	-	0,85	1,50	23,52	1,68	4,32	15	003
Cls C25/30_B450C - (C25/30)															
004	25.000	0,000010	31.447	13.103	60	P	30,00	-	0,85	1,50	14,11	1,19	3,07	15	003

LEGENDA:

- N_{id} Numero identificativo del materiale, nella relativa tabella dei materiali.
- γ_k Peso specifico.
- α_{T, i} Coefficiente di dilatazione termica.
- E Modulo elastico normale.
- G Modulo elastico tangenziale.
- C_{Erid} Coefficiente di riduzione del Modulo elastico normale per Analisi Sismica [E_{sisma} = E·C_{Erid}].
- Stz Tipo di situazione: [F] = di Fatto (Esistente); [P] = di Progetto (Nuovo).
- R_{ck} Resistenza caratteristica cubica.
- R_{cm} Resistenza media cubica.
- % R_{ck} Percentuale di riduzione della R_{ck}
- γ_c Coefficiente parziale di sicurezza del materiale.
- f_{cd} Resistenza di calcolo a compressione.
- f_{ctd} Resistenza di calcolo a trazione.
- f_{efm} Resistenza media a trazione per flessione.
- n Ac Identificativo, nella relativa tabella materiali, dell'acciaio utilizzato: [-] = parametro NON significativo per il materiale.

ACCIAIO

N _{id}	γ _k [N/m ³]	α _{T, i} [1/°C]	E [N/mm ²]	G [N/mm ²]	Stz	f _{yk,1} / f _{yk,2} [N/mm ²]	f _{tk,1} / f _{tk,2} [N/mm ²]	f _{yd,1} / f _{yd,2} [N/mm ²]	f _{td} [N/mm ²]	γ _s	γ _{M1}	γ _{M2}	γ _{M3,SLV}	γ _{M3,SLE}	γ _{M7}	
															NCn t	Cnt
Acciaio B450C - (B450C)																
003	78.500	0,000010	210.000	80.769	P	450,00	-	391,30	-	1,15	-	-	-	-	-	-

LEGENDA:

- N_{id} Numero identificativo del materiale, nella relativa tabella dei materiali.
- γ_k Peso specifico.
- α_{T, i} Coefficiente di dilatazione termica.
- Stz Tipo di situazione: [F] = di Fatto (Esistente); [P] = di Progetto (Nuovo).
- f_{tk,1} Resistenza **caratteristica a Rottura (per profili con t ≤ 40 mm)**.
- f_{tk,2} Resistenza **caratteristica a Rottura (per profili con 40 mm < t ≤ 80 mm)**.
- f_{td} Resistenza di calcolo a Rottura (Bulloni).
- γ_s Coefficiente parziale di sicurezza allo SLV del materiale.
- γ_{M1} Coefficiente parziale di sicurezza per instabilità.
- γ_{M2} Coefficiente parziale di sicurezza per sezioni tese indebolite.
- γ_{M3,SLV} Coefficiente parziale di sicurezza per scorrimento allo SLV (Bulloni).
- γ_{M3,SLE} Coefficiente parziale di sicurezza per scorrimento allo SLE (Bulloni).
- γ_{M7} Coefficiente parziale di sicurezza precarico di bulloni ad alta resistenza (Bulloni - NCnt = con serraggio NON controllato; Cnt = con serraggio controllato). [-] = parametro NON significativo per il materiale.
- f_{yk,1} Resistenza caratteristica allo snervamento (per profili con t ≤ 40 mm).
- f_{yk,2} Resistenza **caratteristica allo snervamento (per profili con 40 mm < t ≤ 80 mm)**.
- f_{yd,1} Resistenza di calcolo (per profili con t ≤ 40 mm).
- f_{yd,2} Resistenza di calcolo (per **profili con 40 mm < t ≤ 80 mm**).
- NOTE [-] = Parametro non significativo per il materiale.

4 Terreni

Il parco eolico in progetto è composto da 6 aerogeneratori i quali, come si evince dalla Relazione geologica, sono ubicati su tre profili geologico-geotecnici differenti.

I tre profili suddetti con i parametri che caratterizzano i terreni di fondazione sono riportati di seguito. Per ulteriori dettagli si rimanda alla Relazione geologica.

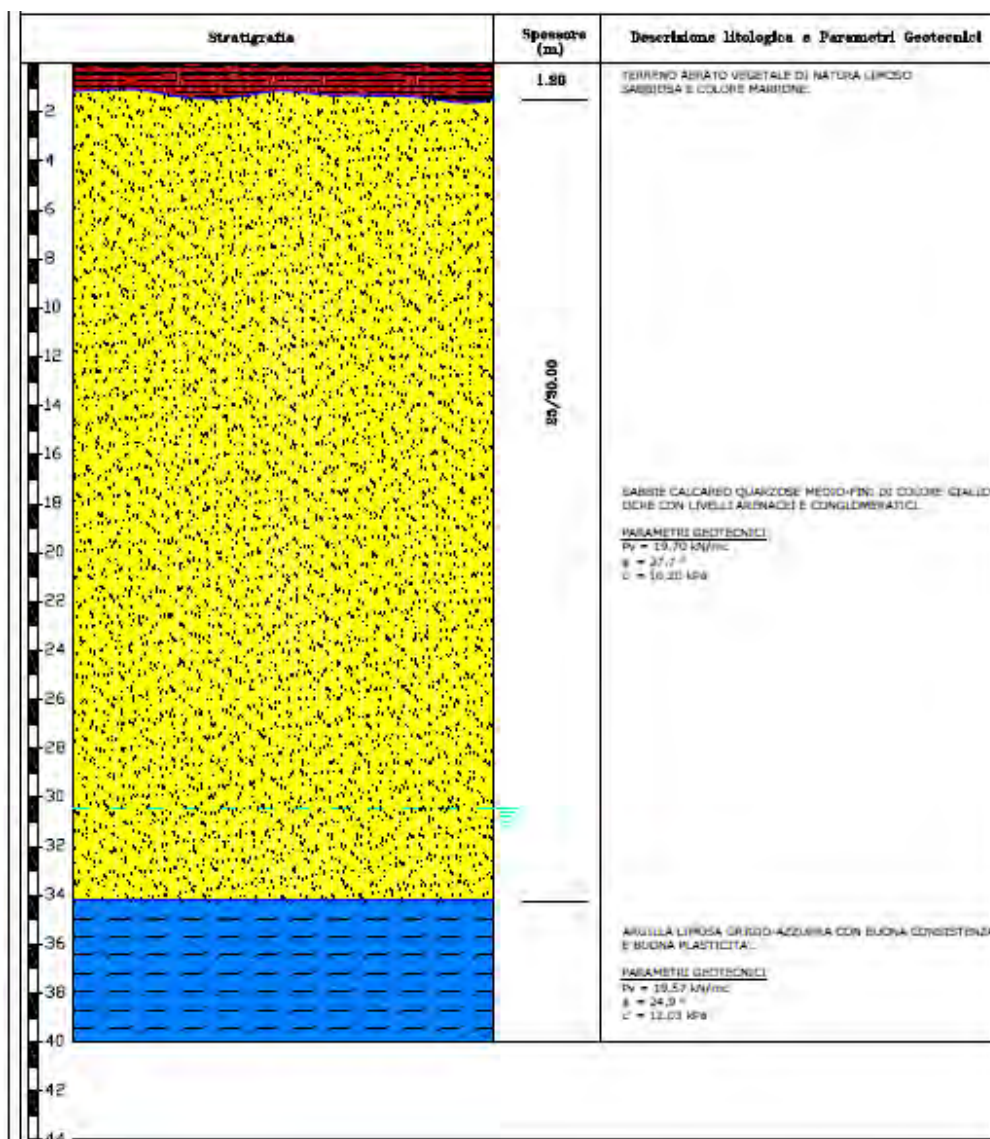


Figura 2: Profilo geotecnico 1 - FER A1, FER A2, FER A5

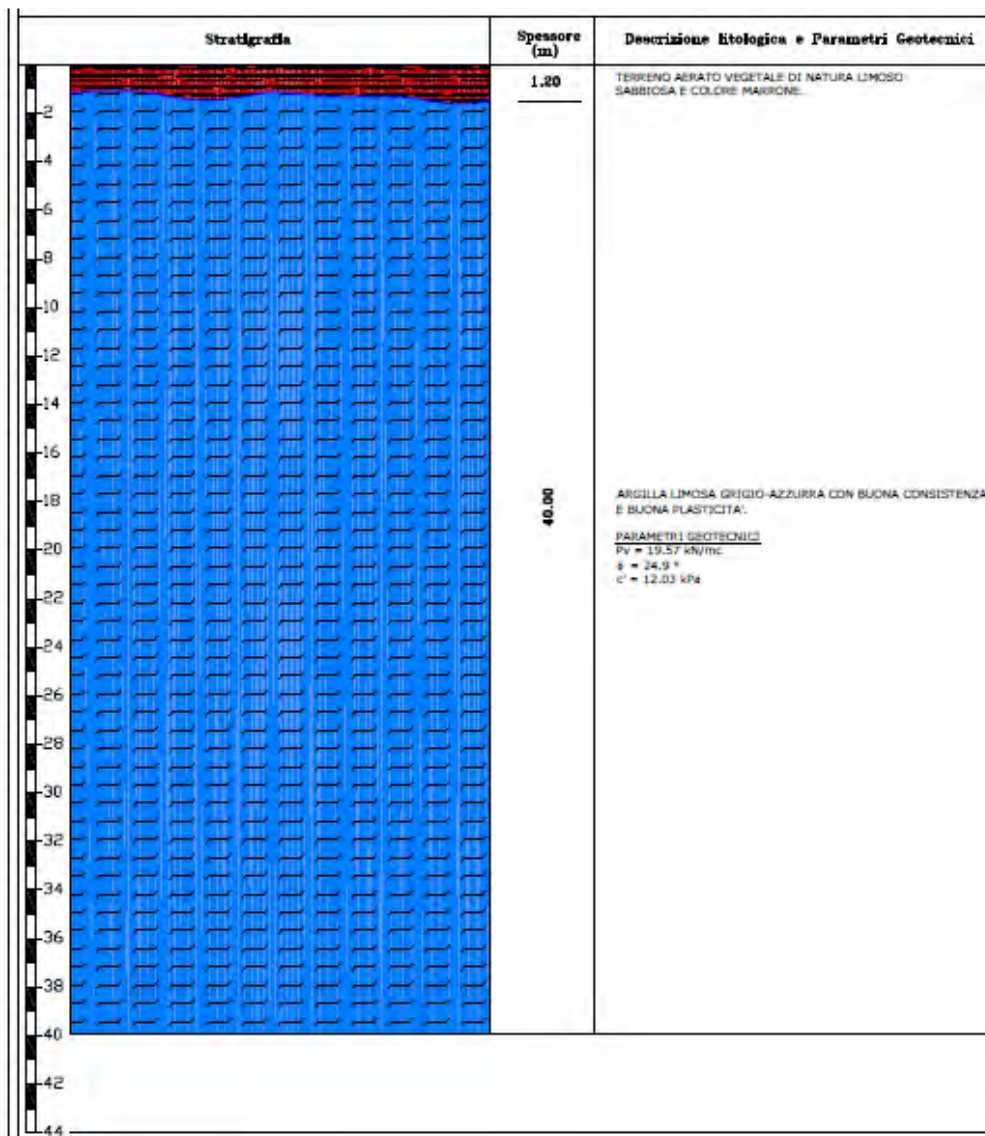


Figura 3: Profilo geotecnico 2 - FER A3

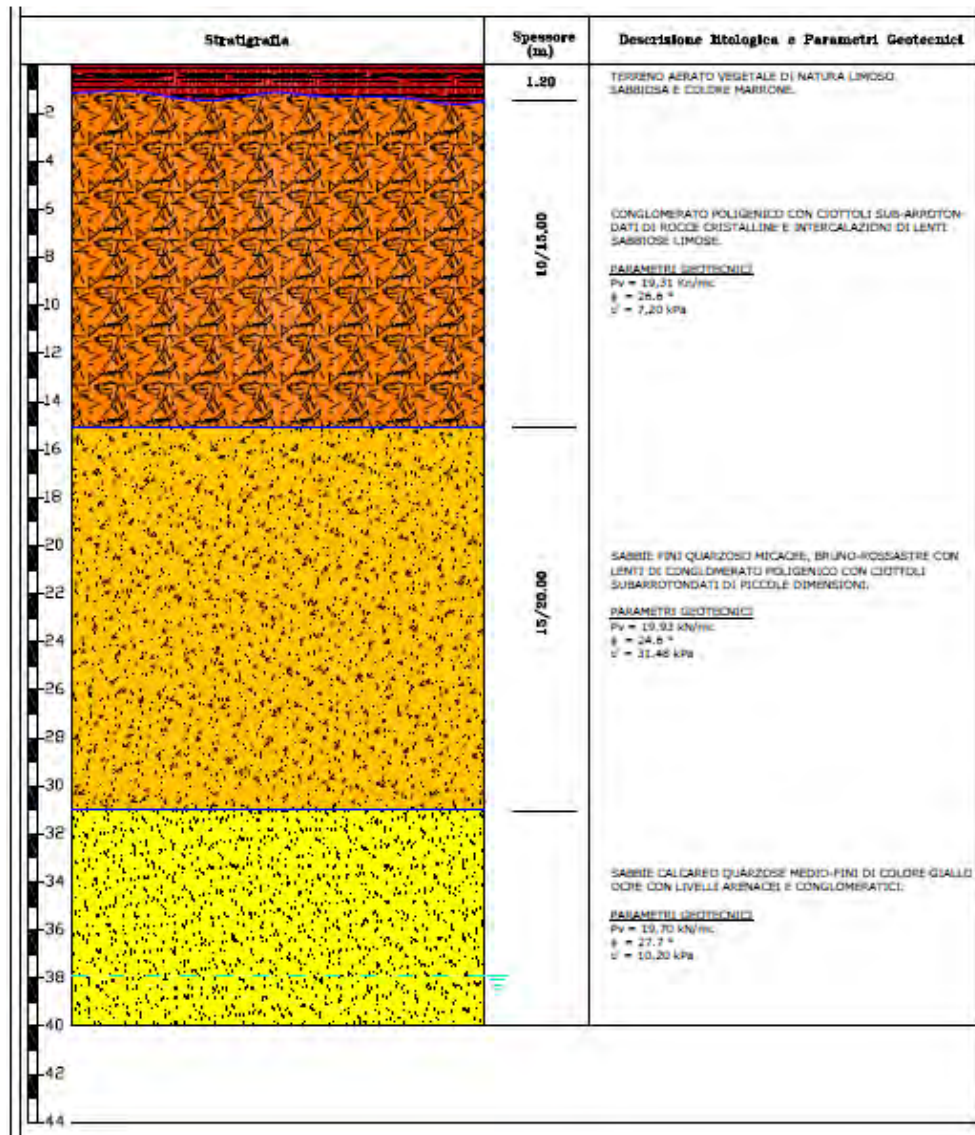


Figura 4: Profilo geotecnico 3 - FER A4, FER A6

5 Analisi dei carichi

5.1 Carichi aerogeneratore

Gli aerogeneratori previsti in progetto sono forniti dalla società GAMESA e sono di due tipologie SG 5.0-145-HH102.5 e SG 6.0-155-HH122.5. La relazione fornita dal produttore riporta le massime sollecitazioni che la torre scarica in fondazione.

Le sollecitazioni indotte dal sisma risultano inferiori a quelle dovute al vento, per cui si analizzerà solamente il caso di carico massimo dovuto al vento.

Ai fini del calcolo si utilizzano i carichi derivanti dalla IEC 61400-1, più gravosi rispetto a quelli derivanti dalla normativa italiana.

I carichi forniti dal produttore rappresentano i carichi massimi da non combinare con alcun altro tipo di carico; essi includono gli effetti dinamici della struttura e corrispondono alla più sfavorevole tra le combinazioni con carico da vento sulla turbina.

I carichi massimi, forniti ad una quota di +20 cm rispetto all'estradosso della fondazione, sono di seguito riportati.

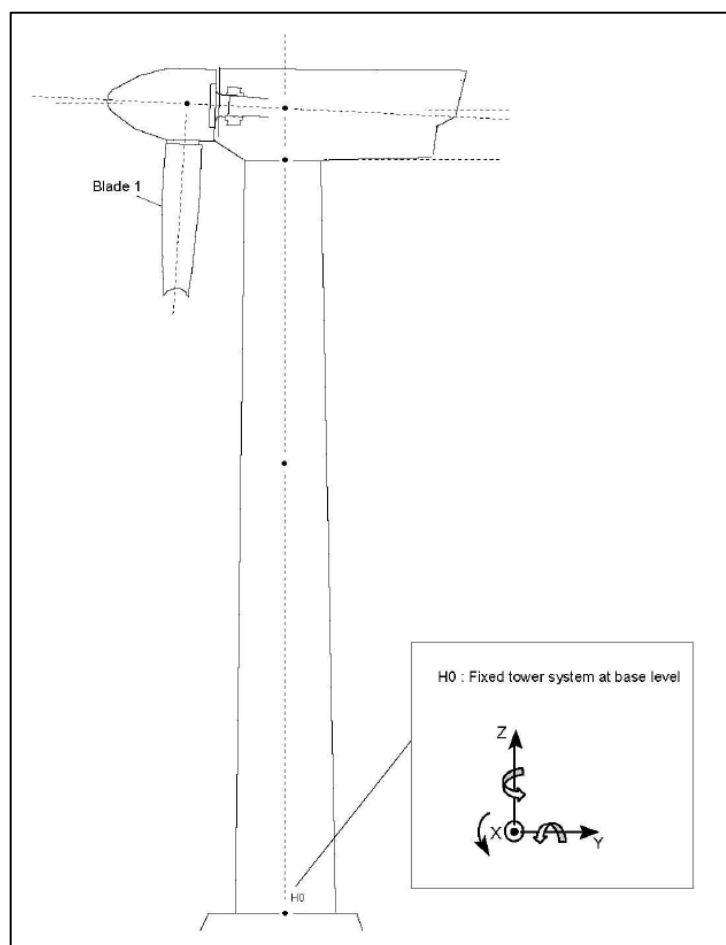


Figura 5: sistema di riferimento aerogeneratore



La tabella che segue riporta i carichi di progetto relativi all'aerogeneratore **SG 5.0-145-HH102.5**. I valori considerati nel modello di calcolo sono quelli incrementati del coefficiente 1.35:

Load Case	Partial Safety factor	Fxy kN	Fz kN	Mxy kNm	Mz kNm
dlc62_VREF_D30_s8	1.00	1152.12	-4844.2	109422.7	-3153.84
dlc14_VRATED-2p_105_add	1.35 0.90	1251.42	-5694.18 -4658.87	127580.79	-3470.52

La tabella che segue riporta i carichi di progetto relativi all'aerogeneratore **SG 6.0-155-HH122.5**. I valori considerati nel modello di calcolo sono quelli incrementati del coefficiente 1.10:

Load case	Load factor	F _x (kN)	F _y (kN)	F _z (kN)	F _{xy} (kN)	M _x (kNm)	M _y (kNm)	M _z (kNm)	M _{xy} (kNm)
Dlc62_V42.5_060_s9	1,1	690	-1727	-7791	1859,8	189319	55790,8	1906	197368,4
Dlc62_V42.5_060_s9	1.0	627,3	-1570	-7082,8	1690,73	172108,2	50718,91	1732,73	179425,8

5.2 Peso plinto

Il plinto di fondazione ha un volume pari a 823,32 mc. Considerando un peso del c.a. pari a 25.00 kN/mc avremo un peso totale pari a 20583 kN.

5.3 Combinazioni di carico

La struttura è calcolata con vita utile 50 anni. In accordo con il paragrafo 2.5.3 del D.M. 17/1/2018 la combinazione per le verifiche agli S.L.U. è:

$$\gamma_{G1} \cdot G_1 + \gamma_{G2} \cdot G_2 + \gamma_P \cdot P + \gamma_{Q1} \cdot Q_{k1} + \gamma_{Q2} \cdot \psi_{02} \cdot Q_{k2} + \gamma_{Q3} \cdot \psi_{03} \cdot Q_{k3} + \dots$$

dove:

- γ_{G1} coefficiente parziale per peso proprio della struttura ed dei pesi permanenti;
- G_1 è il valore caratteristico dei carichi permanenti;
- γ_{Q1} coefficiente parziale per dell'azione variabile;
- ψ_{0i} = è il coefficiente di combinazione che fornisce il valore raro dell'azione variabile Q_{kj} ;
- ψ_{2i} = è il coefficiente di combinazione che fornisce il valore quasi-permanente dell'azione variabile Q_{kj} ;
- Q_{kj} è il valore caratteristico dell'azione variabile Q_i ;

Allo S.L.E. le sollecitazioni con cui sono state semiprogettate le aste in c.a. sono state ricavate applicando le formule riportate nel D.M. 2018 al §2.5.3. Per le verifiche agli stati limite di esercizio, a seconda dei casi, si fa riferimento alle seguenti combinazioni di carico:



rara	frequente	quasi permanente
$\sum_{j \geq 1} G_{kj} + P + Q_{k1} + \sum_{i > 1} \psi_{0i} \cdot Q_{ki}$	$\sum_{j \geq 1} G_{kj} + P + \psi_{11} \cdot Q_{k1} + \sum_{i > 1} \psi_{2i} \cdot Q_{ki}$	$\sum_{j \geq 1} G_{kj} + P + \sum_{i > 1} \psi_{2i} \cdot Q_{ki}$

dove:

- G_{kj} : valore caratteristico della j-esima azione permanente;
- P_{kh} : valore caratteristico della h-esima deformazione impressa;
- Q_{ki} : valore caratteristico dell'azione variabile di base di ogni combinazione;
- Q_{ki} : valore caratteristico della i-esima azione variabile;
- ψ_{0i} : coefficiente atto a definire i valori delle azioni ammissibili di durata breve ma ancora significativi nei riguardi della possibile concomitanza con altre azioni variabili;
- ψ_{1i} : coefficiente atto a definire i valori delle azioni ammissibili ai frattili di ordine 0,95 delle distribuzioni dei valori istantanei;
- ψ_{2i} : coefficiente atto a definire i valori quasi permanenti delle azioni ammissibili ai valori medi delle distribuzioni dei valori istantanei.



6 Codice di calcolo impiegato

L'analisi strutturale della fondazione è stata sviluppata mediante calcolo automatico con modello tridimensionale utilizzando il programma Edilus sviluppato dalla ACCA Software.

Il software consente di modellare la struttura, di effettuare il dimensionamento e le verifiche di tutti gli elementi strutturali e di generare gli elaborati grafici esecutivi.

È una procedura integrata dotata di tutte le funzionalità necessarie per consentire il calcolo completo di una struttura mediante il metodo degli elementi finiti (FEM); la modellazione della struttura è realizzata tramite elementi Beam (travi e pilastri) e Shell (platee, pareti, solette, setti, travi-parete).

L'input della struttura avviene per oggetti (travi, pilastri, solai, solette, pareti, etc.) in un ambiente grafico integrato; il modello di calcolo agli elementi finiti, che può essere visualizzato in qualsiasi momento in una apposita finestra, viene generato dinamicamente dal software.

Apposite funzioni consentono la creazione e la manutenzione di archivi Sezioni, Materiali e Carichi; tali archivi sono generali, nel senso che sono creati una tantum e sono pronti per ogni calcolo, potendoli comunque integrare/modificare in ogni momento.

L'utente non può modificare il codice, ma soltanto eseguire delle scelte come:

- definire i vincoli di estremità per ciascuna asta (vincoli interni) e gli eventuali vincoli nei nodi (vincoli esterni);
- modificare i parametri necessari alla definizione dell'azione sismica;
- definire condizioni di carico;
- definire gli impalcati come rigidi o meno.

Il programma è dotato di un manuale tecnico ed operativo. L'assistenza è effettuata direttamente dalla casa produttrice, mediante linea telefonica o e-mail.

Il calcolo si basa sul solutore agli elementi finiti MICROSAP prodotto dalla società TESYS srl. La scelta di tale codice è motivata dall'elevata affidabilità dimostrata e dall'ampia documentazione a disposizione, dalla quale risulta la sostanziale uniformità dei risultati ottenuti su strutture standard con i risultati internazionalmente accettati ed utilizzati come riferimento.

Tutti i risultati del calcolo sono forniti, oltre che in formato numerico, anche in formato grafico permettendo così di evidenziare agevolmente eventuali incongruenze.

Il programma consente la stampa di tutti i dati di input, dei dati del modello strutturale utilizzato, dei risultati del calcolo e delle verifiche dei diagrammi delle sollecitazioni e delle deformate.

6.1 Modello di calcolo

Il modello della struttura viene creato automaticamente dal codice di calcolo, individuando i vari elementi strutturali e fornendo le loro caratteristiche geometriche e meccaniche.

Viene definita un'opportuna numerazione degli elementi (nodi, aste, shell) costituenti il modello, al fine di individuare celermente ed univocamente ciascun elemento.

Qui di seguito è fornita una rappresentazione grafica dettagliata della discretizzazione operata con evidenziazione dei nodi e degli elementi.

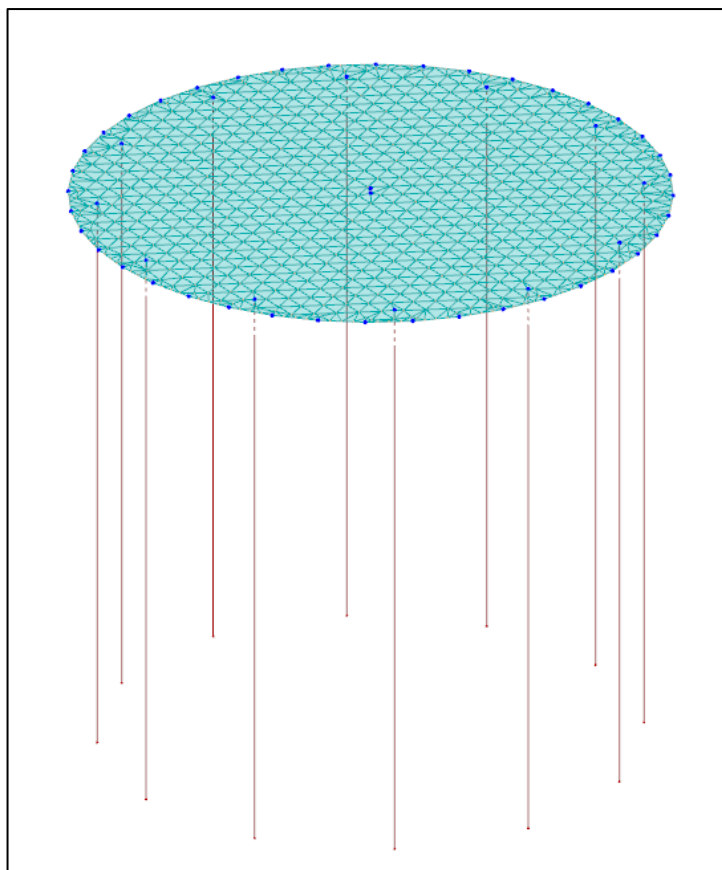


Figura 6: modello strutturale della fondazione

I modelli di calcolo analizzati sono 4 i quali sono stati identificati con il nome dell'aerogeneratore in funzione del tipo di terreno e della tipologia di aerogeneratore; tali modelli sono sintetizzati nella seguente tabella:

MODELLO DI CALCOLO	PROFILO GEOTECNICO	TIPO AEROGENERATORE
FER A1 – FER A2	1	SG 5.0-145-HH102.5
FER A3	2	SG 6.0-155-HH122.5
FER A5	1	SG 6.0-155-HH122.5
FER A4 – FER A6	3	SG 6.0-155-HH122.5

7 Verifiche geotecniche

Ai fini del calcolo strutturale, il terreno sottostante l'opera viene modellato secondo lo schema di Winkler, cioè un sistema costituito da un letto di molle elastiche mutuamente indipendenti. Ciò consente di ricavare le rigidità offerte dai manufatti di fondazione, siano queste profonde o superficiali, che sono state introdotte direttamente nel modello strutturale per tener conto dell'interazione opera/terreno.

Nelle verifiche allo stato limite ultimo deve essere rispettata la condizione:

$$E_d \leq R_d$$

dove:

- E_d è il valore di progetto dell'azione o dell'effetto dell'azione;
- R_d è il valore di progetto della resistenza del sistema geotecnico.

Le verifiche strutturali e geotecniche delle fondazioni, sono state effettuate con l'Approccio 2 come definito al §2.6.1 del D.M. 2018, attraverso la combinazione A1+M1+R3. Le azioni sono state amplificate tramite i coefficienti della colonna A1 (STR) definiti nella tabella 6.2.I del D.M. 2018.

Tabella 6.2.I - **Coefficienti parziali per le azioni o per l'effetto delle azioni** [cfr. D.M. 2018]

CARICHI	EFFETTO	Coefficiente parziale γ_r (o γ_e)	A1 (STR)	A2 (GEO)
Carichi permanenti G_1	Favorevole	γ_{G1}	1,00	1,00
	Sfavorevole		1,30	1,00
Carichi permanenti $G_2^{(1)}$	Favorevole	γ_{G2}	0,80	0,80
	Sfavorevole		1,50	1,30
Azioni variabili Q	Favorevole	γ_{Qi}	0,00	0,00
	Sfavorevole		1,50	1,30

⁽¹⁾ Per i carichi permanenti G_2 si applica quanto indicato alla Tabella 2.6.I. Per la spinta delle terre si fa riferimento ai coefficienti γ_{G1}

I valori di resistenza del terreno sono stati ridotti tramite i coefficienti della colonna M1 definiti nella tabella 6.2.II del D.M. 2018.

Tabella 6.2.II - Coefficienti parziali per i parametri geotecnici del terreno [cfr. D.M. 2018]

PARAMETRO GEOTECNICO	Grandezza alla quale applicare il coefficiente parziale	Coefficiente parziale γ_M	M1	M2
Tangente dell'angolo di resistenza a taglio	$\tan \phi_k$	$\gamma_{\phi'}$	1,00	1,25
Coesione efficace	c'_k	$\gamma_{c'}$	1,00	1,25
Resistenza non drenata	c_{uk}	γ_{cu}	1,00	1,40
Peso dell'unità di volume	γ_r	γ_r	1,00	1,00

Per le fondazioni su pali, i valori calcolati delle resistenze totali dell'elemento strutturale sono stati divisi per i coefficienti R3 della tabella 6.4.II del D.M. 2018.

Tabella 6.4.II - Coefficienti parziali γ_R da applicare alle resistenze caratteristiche a carico verticale dei pali (cfr. D.M. 2018)

Resistenza	Simbolo	infissi	trivellati	ad elica continua
	γ_R	R3	R3	R3
Base	γ_b	1,15	1,35	1,30



Laterale in compressione	γ_s	1,15	1,15	1,15
Totale ^(*)	γ_t	1,15	1,30	1,25
Laterale in trazione	$\gamma_{s,t}$	1,25	1,25	1,25

(*) da applicare alle resistenze caratteristiche dedotte dai risultati di prove di carico di progetto.

7.1 Verifica a ribaltamento

Il calcolo si basa sulla valutazione dell'equilibrio alla rotazione intorno ad ognuno dei lati della fondazione, considerandoli come una cerniera lineare fissa, **proiettando** tutti i momenti (ribaltanti e stabilizzanti) nel piano verticale ortogonale ai singoli lati di base escludendo qualsivoglia forza di reazione del terreno (che allo stato limite di rotazione rigida infatti è privo di contatto con la fondazione).

Si tratta quindi di controllare se il rapporto tra il momento stabilizzante ed il momento ribaltante M_{stab}/M_{rib} sia superiore al fattore di sicurezza parziale $\gamma_R = 1.25$.

$$M_{rib} = M_x + F_y \cdot h$$

$$M_{stab} = M_{stab\ plinto} + M_{stab\ pali}$$

$$M_{stab\ plinto} = (F_z + G) \cdot r$$

$M_{stab\ pali}$ si calcola moltiplicando la resistenza laterale di progetto di ciascun palo per la distanza del palo dal punto di rotazione. Tale resistenza nel caso specifico sarà diversa per ciascuno dei tre profili geotecnici.

M_y , F_x e F_z sono i carichi massimi forniti dal produttore dell'aerogeneratore, G è dato dalla somma del peso del plinto in c.a. e del peso del terreno di rinterro.

A vantaggio di sicurezza, non si considera il peso del terreno di rinterro quale contributo delle forze stabilizzanti.

Di seguito si riportano le verifiche per tutti e 6 gli aerogeneratori (in funzione dei 4 modelli di calcolo).

VERIFICA A RIBALTAMENTO FER A1-FER A2					
My (kNm)	Fx (kN)	Fz (kN)	h_{plinto} (m)	D_{plinto} (m)	P_{CLS} (kN/mc)
90214	885	5695	2	22,9	25
V_{plinto} (mc)	P_{plinto} (KN)	Res. laterale pali (kN)			
823,32	20583,0925	380			
Mrib (kNm)	Mstab,plinto (kNm)	Mstab,pali (kNm)	FS Ribaltamento	VERIFICA	
91984	300884,1591	52174	3,84	OK	

VERIFICA A RIBALTAMENTO FER A3					
Mx (kNm)	Fy (kN)	Fz (kN)	h_{plinto} (m)	D_{plinto} (m)	P_{CLS} (kN/mc)
189319	1727	7791	2	22,9	25
V_{plinto} (mc)	P_{plinto} (KN)	Res. laterale pali (kN)			
823,32	20583,0925	332			
Mrib (kNm)	Mstab,plinto (kNm)	Mstab,pali (kNm)	FS Ribaltamento	VERIFICA	
192773	324883,3591	45583,6	1,92	OK	

VERIFICA A RIBALTAMENTO FER A4-FER A6					
Mx (kNm)	Fy (kN)	Fz (kN)	h _{plinto} (m)	D _{plinto} (m)	P _{CLS} (kN/mc)
189319	1727	7791	2	22,9	25
V _{plinto} (mc)	P _{plinto} (KN)	Res. laterale pali (kN)			
823,32	20583,0925	358			
Mrib (kNm)	Mstab,plinto (kNm)	Mstab,pali (kNm)	FS Ribaltamento	VERIFICA	
192773	324883,3591	49153,4	1,94	OK	

VERIFICA A RIBALTAMENTO FER A5					
Mx (kNm)	Fy (kN)	Fz (kN)	h _{plinto} (m)	D _{plinto} (m)	P _{CLS} (kN/mc)
189319	1727	7791	2	22,9	25
V _{plinto} (mc)	P _{plinto} (KN)	Res. laterale pali (kN)			
823,32	20583,0925	400			
Mrib (kNm)	Mstab,plinto (kNm)	Mstab,pali (kNm)	FS Ribaltamento	VERIFICA	
192773	324883,3591	54920	1,97	OK	

7.2 Tensioni sul terreno

Si riporta, di seguito, gli stati tensionale massimi allo S.L.U. sul terreno per le fondazioni relative ai vari modelli di calcolo.

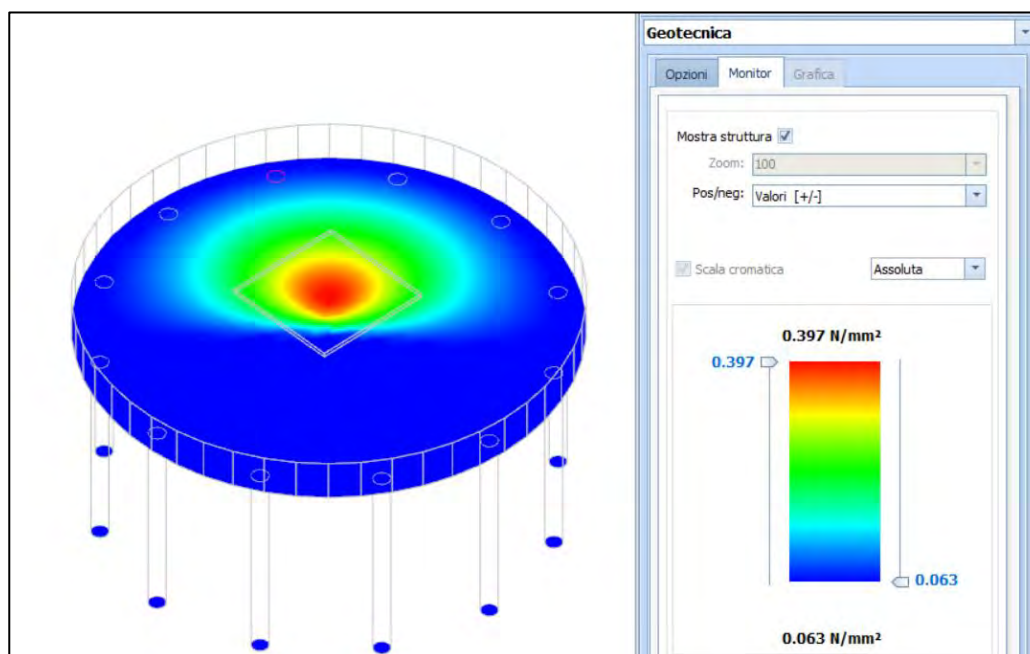


Figura 7: tensioni masime sul terreno plinto modello FER A1, FER A2

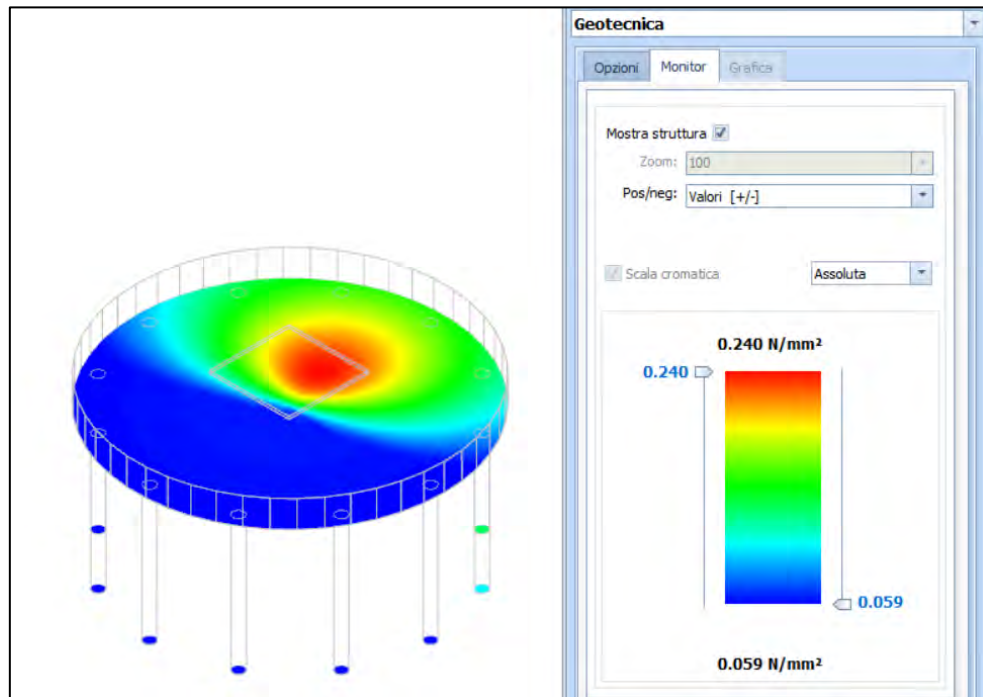


Figura 8: tensioni massime sul terreno plinto modello FER A3

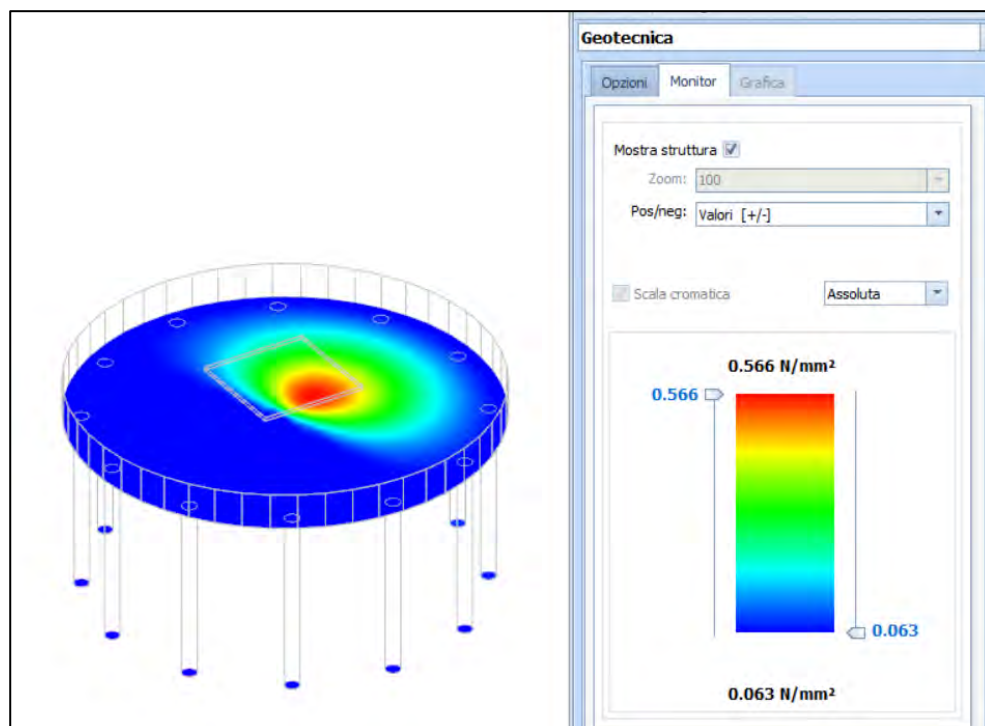


Figura 9: tensioni massime sul terreno plinto modello FER A5

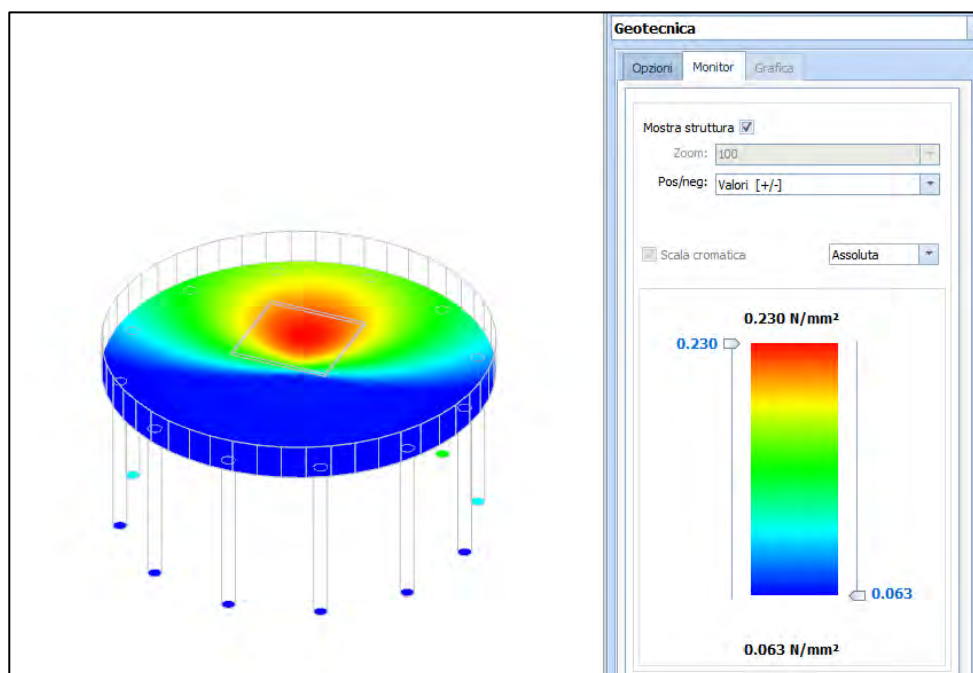


Figura 10: tensioni massime sul terreno plinto modello FER A4, A6

7.3 Carico limite dei pali

Per il calcolo del carico limite verticale viene adottato il metodo dell'equilibrio limite in base al quale il carico limite verticale q_{lim} è dato dalla somma della resistenza laterale P_l e della resistenza alla punta P_p :

$$q_{lim} = P_p + P_l$$

Stimando il carico limite sia in condizione drenate che non drenate è fondamentale nella stratigrafia il comportamento del singolo strato (coerente/incoerente). In particolare se uno strato è stato dichiarato incoerente il suo contributo al carico limite viene sempre valutato in condizioni drenate a prescindere dal metodo di calcolo richiesto (drenato/non drenato).

Per la valutazione del carico limite orizzontale si è fatto riferimento alla teoria di Broms e al caso di pali supposti vincolati in testa (rotazione impedita). Le ipotesi assunte da *Broms* sono le seguenti:

- comportamento dell'interfaccia palo-terreno di tipo rigido-perfettamente plastico, cioè la resistenza del terreno si mobilita interamente per un qualsiasi valore non nullo dello spostamento e resta poi costante al crescere dello spostamento;
- forma del palo influente rispetto al carico limite orizzontale il quale risulta influenzato solo dal diametro del palo stesso;
- in presenza di forze orizzontali la resistenza della sezione strutturale del palo può essere chiamata in causa poiché il regime di sollecitazione di flessione e taglio che consegue all'applicazione di forze orizzontali è molto più gravoso dello sforzo normale che consegue all'applicazione di carichi verticali;



- anche il comportamento flessionale del palo è assunto di tipo rigido-perfettamente plastico, cioè le rotazioni plastiche del palo sono trascurabili finché il momento flettente non attinge al valore M_{plast} ovvero momento di plasticizzazione. A questo punto nella sezione si forma una cerniera plastica ovvero la rotazione continua indefinitamente sotto momento costante.

La resistenza limite laterale di un palo è determinata dal minimo valore fra:

- il carico orizzontale necessario per produrre il collasso del terreno lungo il fusto del palo;
- il carico orizzontale necessario per produrre la plasticizzazione del palo.

Si riportano di seguito le verifiche per i 4 modelli di calcolo.

MODELLO FER A1, FER A2

Pali - Verifiche a carico limite verticale e orizzontale allo SLU												
I _{dPI/Pnt} PI	I _{dNd,sup}	Q _{Ed,V} [N]	Q _{Ed,O} [N]	Q _{Rd,V} [N]	Q _{Rd,V,Pt} [N]	Q _{Rd,V,Lt} [N]	Q _{Rd,O} [N]	M _{max,O} [N·m]	T.R.	Z _{c,pls} [m]	CS _V	CS _O
PALO12	00014	58.425	124.818	1.196.120	815.247	380.873	204.123	367538	Palo Lungo	2,60	20,47	1,64
PALO11	00013	55.926	114.402	1.236.591	837.074	399.517	204.123	367538	Palo Lungo	2,60	22,11	1,78
PALO9	00012	52.842	100.874	1.236.591	837.074	399.517	204.123	367538	Palo Lungo	2,60	23,40	2,02
PALO7	00011	49.716	87.357	1.236.591	837.074	399.517	204.123	367538	Palo Lungo	2,60	24,87	2,34
PALO5	00010	47.627	78.416	1.196.120	815.247	380.873	204.123	367538	Palo Lungo	2,60	25,11	2,60
PALO3	00009	47.413	78.430	1.196.120	815.247	380.873	204.123	367538	Palo Lungo	2,60	25,23	2,60
PALO1	00008	49.226	87.357	1.196.120	815.247	380.873	204.123	367538	Palo Lungo	2,60	24,30	2,34
PALO10	00007	60.006	130.427	1.196.120	815.247	380.873	204.123	367538	Palo Lungo	2,60	19,93	1,57
PALO8	00006	60.296	130.445	1.196.120	815.247	380.873	204.123	367538	Palo Lungo	2,60	19,84	1,56
PALO6	00005	58.967	124.823	1.196.120	815.247	380.873	204.123	367538	Palo Lungo	2,60	20,28	1,64
PALO4	00004	56.147	114.395	1.196.120	815.247	380.873	204.123	367538	Palo Lungo	2,60	21,30	1,78
PALO2	00003	52.516	100.891	1.196.120	815.247	380.873	204.123	367538	Palo Lungo	2,60	22,78	2,02

LEGENDA:

I_{dPI/Pnt} Identificativo del palo o del plinto su pali.

PI

I_{dNd,sup} Identificativo del nodo all'estremo superiore del palo o della pilastriata cui il plinto è collegato.

Q_{Ed,V} Carico verticale di progetto.

Q_{Ed,O} Carico orizzontale di progetto.

Q_{Rd,V} Resistenza di progetto verticale.

Q_{Rd,V,Pt} Aliquota della resistenza di progetto verticale dovuto alla resistenza alla punta.

Q_{Rd,V,Lt} Aliquota della resistenza di progetto verticale dovuto alla resistenza laterale.

Q_{Rd,O} Resistenza di progetto orizzontale.

M_{max,O} Momento massimo lungo il palo per carichi orizzontali.

T.R. Modalità di rottura per carico limite orizzontale (Palo Corto, Palo Medio, Palo Lungo).

Z_{c,pls} Profondità della seconda cerniera plastica.

CS_V Coefficiente di sicurezza per azioni verticali ([NS] = Non Significativo per valori di CS >= 100; [VNR]= Verifica Non Richiesta).

CS_O Coefficiente di sicurezza per azioni orizzontali ([NS] = Non Significativo per valori di CS >= 100; [VNR]= Verifica Non Richiesta).

MODELLO FER A3

Pali - Verifiche a carico limite verticale e orizzontale allo SLU												
I _{dPI/Pnt} PI	I _{dNd,sup}	Q _{Ed,V} [N]	Q _{Ed,O} [N]	Q _{Rd,V} [N]	Q _{Rd,V,Pt} [N]	Q _{Rd,V,Lt} [N]	Q _{Rd,O} [N]	M _{max,O} [N·m]	T.R.	Z _{c,pls} [m]	CS _V	CS _O
PALO12	00014	380.245	161.109	967.160	634.376	332.784	195.944	367538	Palo Lungo	2,71	2,54	1,22
PALO11	00013	323.261	153.810	1.000.026	650.951	349.075	195.944	367538	Palo Lungo	2,71	3,09	1,27
PALO9	00012	224.978	146.471	1.000.026	650.951	349.075	195.944	367538	Palo Lungo	2,71	4,44	1,34
PALO7	00011	123.825	141.363	1.000.026	650.951	349.075	195.944	367538	Palo Lungo	2,71	8,08	1,39
PALO5	00010	123.811	140.311	967.160	634.376	332.784	195.944	367538	Palo Lungo	2,71	7,81	1,40
PALO3	00009	123.812	143.762	967.160	634.376	332.784	195.944	367538	Palo Lungo	2,71	7,81	1,36
PALO1	00008	123.823	150.368	967.160	634.376	332.784	195.944	367538	Palo Lungo	2,71	7,81	1,30
PALO10	00007	383.479	166.616	967.160	634.376	332.784	195.944	367538	Palo Lungo	2,71	2,52	1,18
PALO8	00006	331.676	169.215	967.160	634.376	332.784	195.944	367538	Palo Lungo	2,71	2,92	1,16
PALO6	00005	236.002	168.439	967.160	634.376	332.784	195.944	367538	Palo Lungo	2,71	4,10	1,16
PALO4	00004	123.832	164.443	967.160	634.376	332.784	195.944	367538	Palo Lungo	2,71	7,81	1,19
PALO2	00003	123.829	157.961	967.160	634.376	332.784	195.944	367538	Palo Lungo	2,71	7,81	1,24

LEGENDA:

I_{dPI/Pnt} Identificativo del palo o del plinto su pali.

PI

I_{dNd,sup} Identificativo del nodo all'estremo superiore del palo o della pilastriata cui il plinto è collegato.

Q_{Ed,V} Carico verticale di progetto.

Q_{Ed,O} Carico orizzontale di progetto.

Q_{Rd,V} Resistenza di progetto verticale.

Q_{Rd,V,Pt} Aliquota della resistenza di progetto verticale dovuto alla resistenza alla punta.



Pali - Verifiche a carico limite verticale e orizzontale allo SLU

I d _{PI} /Pnt PI	I d _{Nd,sup}	Q _{Ed,V}	Q _{Ed,O}	Q _{Rd,V}	Q _{Rd,V,Pt}	Q _{Rd,V,Lt}	Q _{Rd,O}	M _{max,O}	T.R.	Z _{c,pls}	CS _V	CS _O
		[N]	[N]	[N]	[N]	[N]	[N]	[N-m]		[m]		
Q _{Rd,V,Lt}	Aliquota della resistenza di progetto verticale dovuto alla resistenza laterale.											
Q _{Rd,O}	Resistenza di progetto orizzontale.											
M _{max,O}	Momento massimo lungo il palo per carichi orizzontali.											
T.R.	Modalità di rottura per carico limite orizzontale (Palo Corto, Palo Medio, Palo Lungo).											
Z _{c,pls}	Profondità della seconda cerniera plastica.											
CS _V	Coefficiente di sicurezza per azioni verticali ([NS] = Non Significativo per valori di CS >= 100; [VNR] = Verifica Non Richiesta).											
CS _O	Coefficiente di sicurezza per azioni orizzontali ([NS] = Non Significativo per valori di CS >= 100; [VNR] = Verifica Non Richiesta).											

MODELLO FER A5

Pali - Verifiche a carico limite verticale e orizzontale allo SLU

I d _{PI} /Pnt PI	I d _{Nd,sup}	Q _{Ed,V}	Q _{Ed,O}	Q _{Rd,V}	Q _{Rd,V,Pt}	Q _{Rd,V,Lt}	Q _{Rd,O}	M _{max,O}	T.R.	Z _{c,pls}	CS _V	CS _O
		[N]	[N]	[N]	[N]	[N]	[N]	[N-m]		[m]		
PALO12	00014	62.330	161.085	1.196.120	815.247	380.873	204.123	367538	Palo Lungo	2,60	19,19	1,27
PALO11	00013	60.158	153.772	1.236.591	837.074	399.517	204.123	367538	Palo Lungo	2,60	20,56	1,33
PAL09	00012	56.130	146.460	1.236.591	837.074	399.517	204.123	367538	Palo Lungo	2,60	22,03	1,39
PAL07	00011	50.857	141.391	1.236.591	837.074	399.517	204.123	367538	Palo Lungo	2,60	24,32	1,44
PAL05	00010	45.966	140.349	1.196.120	815.247	380.873	204.123	367538	Palo Lungo	2,60	26,02	1,45
PAL03	00009	43.108	143.768	1.196.120	815.247	380.873	204.123	367538	Palo Lungo	2,60	27,75	1,42
PAL01	00008	43.109	150.338	1.196.120	815.247	380.873	204.123	367538	Palo Lungo	2,60	27,75	1,36
PAL010	00007	62.505	166.627	1.196.120	815.247	380.873	204.123	367538	Palo Lungo	2,60	19,14	1,23
PAL08	00006	60.672	169.251	1.196.120	815.247	380.873	204.123	367538	Palo Lungo	2,60	19,71	1,21
PAL06	00005	56.716	168.467	1.196.120	815.247	380.873	204.123	367538	Palo Lungo	2,60	21,09	1,21
PAL04	00004	51.301	164.437	1.196.120	815.247	380.873	204.123	367538	Palo Lungo	2,60	23,32	1,24
PAL02	00003	46.074	157.925	1.196.120	815.247	380.873	204.123	367538	Palo Lungo	2,60	25,96	1,29

LEGENDA:

- I d_{PI}/Pnt PI Identificativo del palo o del plinto su pali.
- I d_{Nd,sup} Identificativo del nodo all'estremo superiore del palo o della pilastrata cui il plinto è collegato.
- Q_{Ed,V} Carico verticale di progetto.
- Q_{Ed,O} Carico orizzontale di progetto.
- Q_{Rd,V} Resistenza di progetto verticale.
- Q_{Rd,V,Pt} Aliquota della resistenza di progetto verticale dovuto alla resistenza alla punta.
- Q_{Rd,V,Lt} Aliquota della resistenza di progetto verticale dovuto alla resistenza laterale.
- Q_{Rd,O} Resistenza di progetto orizzontale.
- M_{max,O} Momento massimo lungo il palo per carichi orizzontali.
- T.R. Modalità di rottura per carico limite orizzontale (Palo Corto, Palo Medio, Palo Lungo).
- Z_{c,pls} Profondità della seconda cerniera plastica.
- CS_V Coefficiente di sicurezza per azioni verticali ([NS] = Non Significativo per valori di CS >= 100; [VNR] = Verifica Non Richiesta).
- CS_O Coefficiente di sicurezza per azioni orizzontali ([NS] = Non Significativo per valori di CS >= 100; [VNR] = Verifica Non Richiesta).

MODELLO FER A4, FER A6

Pali - Verifiche a carico limite verticale e orizzontale allo SLU

I d _{PI} /Pnt PI	I d _{Nd,sup}	Q _{Ed,V}	Q _{Ed,O}	Q _{Rd,V}	Q _{Rd,V,Pt}	Q _{Rd,V,Lt}	Q _{Rd,O}	M _{max,O}	T.R.	Z _{c,pls}	CS _V	CS _O
		[N]	[N]	[N]	[N]	[N]	[N]	[N-m]		[m]		
PALO12	00003	331.986	161.079	1.076.234	713.038	363.196	200.147	367538	Palo Lungo	2,65	3,24	1,24
PALO11	00008	283.555	153.763	1.076.234	713.038	363.196	200.147	367538	Palo Lungo	2,65	3,80	1,30
PAL09	00012	200.204	146.456	1.076.234	713.038	363.196	200.147	367538	Palo Lungo	2,65	5,38	1,37
PAL07	00005	111.191	141.397	1.076.234	713.038	363.196	200.147	367538	Palo Lungo	2,65	9,68	1,42
PAL05	00010	111.182	140.358	1.076.234	713.038	363.196	200.147	367538	Palo Lungo	2,65	9,68	1,43
PAL03	00014	111.182	143.769	1.076.234	713.038	363.196	200.147	367538	Palo Lungo	2,65	9,68	1,39
PAL01	00007	111.189	150.329	1.076.234	713.038	363.196	200.147	367538	Palo Lungo	2,65	9,68	1,33
PAL010	00011	334.684	166.629	1.076.234	713.038	363.196	200.147	367538	Palo Lungo	2,65	3,22	1,20
PAL08	00004	290.613	169.260	1.076.234	713.038	363.196	200.147	367538	Palo Lungo	2,65	3,70	1,18
PAL06	00009	209.474	168.474	1.076.234	713.038	363.196	200.147	367538	Palo Lungo	2,65	5,14	1,19
PAL04	00013	111.234	164.435	1.076.234	713.038	363.196	200.147	367538	Palo Lungo	2,65	9,68	1,22
PAL02	00006	111.193	157.915	1.076.234	713.038	363.196	200.147	367538	Palo Lungo	2,65	9,68	1,27

LEGENDA:

- I d_{PI}/Pnt PI Identificativo del palo o del plinto su pali.
- I d_{Nd,sup} Identificativo del nodo all'estremo superiore del palo o della pilastrata cui il plinto è collegato.
- Q_{Ed,V} Carico verticale di progetto.
- Q_{Ed,O} Carico orizzontale di progetto.
- Q_{Rd,V} Resistenza di progetto verticale.
- Q_{Rd,V,Pt} Aliquota della resistenza di progetto verticale dovuto alla resistenza alla punta.
- Q_{Rd,V,Lt} Aliquota della resistenza di progetto verticale dovuto alla resistenza laterale.
- Q_{Rd,O} Resistenza di progetto orizzontale.
- M_{max,O} Momento massimo lungo il palo per carichi orizzontali.
- T.R. Modalità di rottura per carico limite orizzontale (Palo Corto, Palo Medio, Palo Lungo).
- Z_{c,pls} Profondità della seconda cerniera plastica.
- CS_V Coefficiente di sicurezza per azioni verticali ([NS] = Non Significativo per valori di CS >= 100; [VNR] = Verifica Non Richiesta).
- CS_O Coefficiente di sicurezza per azioni orizzontali ([NS] = Non Significativo per valori di CS >= 100; [VNR] = Verifica Non Richiesta).



8 Verifiche strutturali

La verifica degli elementi allo S.L.U. avviene col seguente procedimento: si costruiscono le combinazioni non sismiche in base al D.M. 2018, ottenendo un insieme di sollecitazioni; si combinano tali sollecitazioni con quelle dovute all'azione del sisma secondo quanto indicato nel §2.5.3, relazione (2.5.5) del D.M. 2018; per sollecitazioni semplici (flessione retta, taglio, etc.) si individuano i valori minimo e massimo con cui progettare o verificare l'elemento considerato; per sollecitazioni composte (pressoflessione retta/deviata) vengono eseguite le verifiche per tutte le possibili combinazioni e solo a seguito di ciò si individua quella che ha originato il minimo coefficiente di sicurezza.

8.1 Verifica a pressoflessione retta del plinto

Si riporta di seguito, in forma tabellare, la verifica a pressoflessione retta allo S.L.U. del plinto di fondazione degli aerogeneratori per i 4 modelli di calcolo.

MODELLO FER A1, FER A2

Platee - Verifiche pressoflessione retta allo SLU																			
Dir	Pos	Nodo	N _{Ed} [N]	M _{Ed} [N-m]	A _s [cm ² /cm]	A _{df} [cm ² /cm]	CS	Nodo	N _{Ed} [N]	M _{Ed} [N-m]	A _s [cm ² /cm]	A _{df} [cm ² /cm]	CS	Nodo	N _{Ed} [N]	M _{Ed} [N-m]	A _s [cm ² /cm]	A _{df} [cm ² /cm]	CS
Fondazione																			
Platea 1																			
P	S	00002	144.9 72	14.04 5.553	4,423 36	4,423 36	3,05	00003	0	3.343	0,402 12	0,402 12	9,19	00004	0	3.401	0,402 12	0,402 12	9,20
	I		0	1.158	3,002 53	3,002 53	5,41		- 22.77 5	151.3 87	0,321 70	0,321 70	6,08		3.830	169.1 70	0,321 70	0,321 70	5,80
S	S		0	0	4,423 36	4,423 36	-		9.595	177.0 26	0,402 12	0,402 12	17,0 0		- 16.46 4	99.11 9	0,402 12	0,402 12	30,61
	I		- 157.6 41	5.578. 136	4,423 36	4,423 36	5,93		0	0	0,402 12	0,402 12	-		0	0	0,402 12	0,402 12	-
P	S	00005	10.29 6	46.64 7	0,402 12	0,402 12	10,7 3	00006	6.692	23.30 9	0,402 12	0,402 12	9,84	00007	0	3.078	0,402 12	0,402 12	9,19
	I		0	0	0,321 70	0,321 70	-		0	0	0,321 70	0,321 70	-		19.34 8	209.1 23	0,321 70	0,321 70	5,31
S	S		0	3.797	0,402 12	0,402 12	NS		0	2.099	0,402 12	0,402 12	NS		5.021	35.57 7	0,402 12	0,402 12	84,70
	I		- 24.07 8	200.0 11	0,402 12	0,402 12	15,2 1		- 16.13 1	211.8 27	0,402 12	0,402 12	14,3 2		0	0	0,402 12	0,402 12	-
P	S	00008	- 30.50 6	129.4 75	0,402 12	0,402 12	16,2 0	00009	- 10.39 3	172.8 81	0,402 12	0,402 12	21,6 2	00010	0	3.566	0,402 12	0,402 12	9,20
	I		0	0	0,321 70	0,321 70	-		0	0	0,321 70	0,321 70	-		- 18.35 9	35.87 2	0,321 70	0,321 70	8,17
S	S		0	3.253	0,402 12	0,402 12	NS		0	2.916	0,402 12	0,402 12	NS		3.682	183.8 28	0,402 12	0,402 12	16,40
	I		7.553	24.43 4	0,402 12	0,402 12	NS		8.396	30.68 4	0,402 12	0,402 12	98,1 1		0	0	0,402 12	0,402 12	-
P	S	00011	0	2.300	0,402 12	0,402 12	9,16	00012	- 10.99 5	162.5 32	0,402 12	0,402 12	19,9 9	00013	14.32 8	103.3 86	0,402 12	0,402 12	13,82
	I		- 10.57 9	24.16 8	0,321 70	0,321 70	8,44		0	0	0,321 70	0,321 70	-		0	0	0,321 70	0,321 70	-
S	S		21.59 5	119.3 80	0,402 12	0,402 12	25,1 1		0	1.944	0,402 12	0,402 12	NS		0	3.077	0,402 12	0,402 12	NS
	I		0	0	0,402 12	0,402 12	-		17.49 7	146.9 36	0,402 12	0,402 12	20,4 3		589	170.0 04	0,402 12	0,402 12	17,75
P	S	00014	0	3.482	0,402 12	0,402 12	9,20	00015	0	0	0,402 12	0,402 12	-	00016	0	0	0,402 12	0,402 12	-
	I		30.42	193.8	0,321	0,321	5,46		14.33	134.9	0,321	0,321	6,23		43.56	76.63	0,321	0,321	7,13



Platee - Verifiche pressoflessione retta allo SLU

Dir	Pos	Nodo	NEd [N]	MEd [N-m]	As [cm ² /cm]	A _{df} [cm ² /cm]	CS	Nodo	NEd [N]	MEd [N-m]	As [cm ² /cm]	A _{df} [cm ² /cm]	CS	Nodo	NEd [N]	MEd [N-m]	As [cm ² /cm]	A _{df} [cm ² /cm]	CS
			3	58	70	70			8	93	70	70			7	8	70	70	
S	S		-24.55	60.63	0,402	0,402	50,1		0	151	0,402	0,402	NS		0	0	0,402	0,402	-
	I		1	0	0,402	0,402	-		-1.271	22.88	0,402	0,402	NS		2.443	55.36	0,402	0,402	54,47
P	S	00017	0	0	0,402	0,402	-	00018	19.57	45.86	0,402	0,402	10,6	00019	11.35	93.21	0,402	0,402	13,15
	I		36.40	10.76	0,321	0,321	8,66		0	1.080	0,321	0,321	9,06		0	0	0,321	0,321	-
S	S		0	0	0,402	0,402	-		0	0	0,402	0,402	-		0	323	0,402	0,402	NS
	I		5.175	99.42	0,402	0,402	30,3		8.698	136.7	0,402	0,402	22,0		-4.841	164.2	0,402	0,402	18,40
P	S	00020	31.10	121.9	0,402	0,402	15,1	00021	22.76	137.2	0,402	0,402	16,6	00022	12.09	147.1	0,402	0,402	17,81
	I		3	77	0,321	0,321	8		5	92	0,321	0,321	7		4	11	0,321	0,321	-
S	S		0	0	0,402	0,402	-		0	0	0,402	0,402	-		0	0	0,402	0,402	-
	I		20.53	178.4	0,402	0,402	16,8		26.68	185.1	0,402	0,402	16,1		26.90	155.1	0,402	0,402	19,29
P	S	00023	3.743	126.9	0,402	0,402	15,7	00024	7.005	114.6	0,402	0,402	14,7	00025	3.035	72.23	0,402	0,402	11,97
	I		0	175	0,321	0,321	9,09		0	0	0,321	0,321	-		0	0	0,321	0,321	-
S	S		0	0	0,402	0,402	-		0	0	0,402	0,402	-		0	0	0,402	0,402	-
	I		-2.384	109.7	0,402	0,402	27,5		33.95	77.23	0,402	0,402	38,6		38.94	11.21	0,402	0,402	NS
P	S	00026	617	34.36	0,402	0,402	10,2	00027	0	0	0,402	0,402	-	00028	0	0	0,402	0,402	-
	I		0	375	0,321	0,321	9,08		-2.016	1.134	0,321	0,321	9,06		595	24.92	0,321	0,321	8,39
S	S		36.32	43.30	0,402	0,402	68,9		-3.676	97.28	0,402	0,402	31,0		20.54	131.6	0,402	0,402	22,78
	I		6	0	0,402	0,402	1		0	0	0,402	0,402	-		0	2.112	0,402	0,402	NS
P	S	00029	0	0	0,402	0,402	-	00030	0	0	0,402	0,402	-	00031	0	161	0,402	0,402	9,10
	I		1.384	38.71	0,321	0,321	8,05		3.583	29.20	0,321	0,321	8,27		1.128	1.406	0,321	0,321	9,04
S	S		23.27	160.4	0,402	0,402	18,6		20.36	161.0	0,402	0,402	18,6		-532	155.8	0,402	0,402	19,37
	I		6	19	0,402	0,402	8		0	76	0,402	0,402	2		0	155	0,402	0,402	NS
P	S	00032	1.123	24.91	0,402	0,402	9,91	00033	47	55.00	0,402	0,402	11,1	00034	1.268	104.3	0,402	0,402	13,96
	I		0	530	0,321	0,321	9,07		0	1.726	0,321	0,321	9,04		0	1.645	0,321	0,321	9,04
S	S		509	125.4	0,402	0,402	24,0		374	85.61	0,402	0,402	35,2		934	46.37	0,402	0,402	65,07
	I		0	932	0,402	0,402	NS		0	2.074	0,402	0,402	NS		0	1.415	0,402	0,402	NS
P	S	00035	-985	140.6	0,402	0,402	17,1	00036	-10.31	158.0	0,402	0,402	19,3	00037	22.15	165.4	0,402	0,402	20,50
	I		0	85	0,321	0,321	9,07		5	11	0,321	0,321	9,03		0	2.886	0,321	0,321	9,00
S	S		-565	15.38	0,402	0,402	NS		0	0	0,402	0,402	-		0	0	0,402	0,402	-
	I		0	0	0,402	0,402	-		-3.026	19.14	0,402	0,402	NS		-2.454	34.18	0,402	0,402	88,36
P	S	00038	-22.22	145.7	0,402	0,402	17,8	00039	-13.33	121.1	0,402	0,402	15,3	00040	-15.84	70.49	0,402	0,402	11,96
	I		9	26	0,321	0,321	9,01		1	23	0,321	0,321	9,06		0	711	0,321	0,321	9,07
S	S		0	0	0,402	0,402	-		0	123	0,402	0,402	NS		52	21.82	0,402	0,402	NS
	I		-1.090	23.62	0,402	0,402	NS		-487	5.898	0,402	0,402	NS		0	0	0,402	0,402	-
P	S	00041	-41.54	16.33	0,402	0,402	9,76	00042	0	0	0,402	0,402	-	00043	0	0	0,402	0,402	-
	I		7	3	0,321	0,321	9,02		-	46.45	0,321	0,321	7,97		-	102.4	0,321	0,321	6,81



Platee - Verifiche pressoflessione retta allo SLU

Dir	Pos	Nodo	NEd	MEd	As	A _{df}	CS	Nodo	NEd	MEd	As	A _{df}	CS	Nodo	NEd	MEd	As	A _{df}	CS
			[N]	[N-m]	[cm ² /cm]	[cm ² /cm]			[N]	[N-m]	[cm ² /cm]	[cm ² /cm]			[N]	[N-m]	[cm ² /cm]	[cm ² /cm]	
					70	70			38.16 8	1	70	70			17.62 9	59	70	70	
S	S		-1.881 0	51.17 0 47	0,402 12 0,402 12	0,402 12 0,402 12	59,0 2 NS		-4.823 0	95.18 8 0	0,402 12 0,402 12	0,402 12 0,402 12	31,7 6 -		-5.564 0	129.9 15 531	0,402 12 0,402 12	0,402 12 0,402 12	23,27 NS
P	S	00044	0 - 16.38 8	0 150.7 08	0,402 12 0,321 70	0,402 12 0,321 70	- 6,08	00045	0 - 28.55 5	0 168.0 50	0,402 12 0,321 70	0,402 12 0,321 70	- 5,88	00046	0 - 23.74 4	0 177.9 94	0,402 12 0,321 70	0,402 12 0,321 70	- 5,75
S	S		-1.183 0	151.5 59 98	0,402 12 0,402 12	0,402 12 0,402 12	19,9 2 NS		- 17.24 7 0	157.9 54 1.121	0,402 12 0,402 12	0,402 12 0,402 12	19,2 1 NS		- 26.48 1 0	133.2 91 1.624	0,402 12 0,402 12	0,402 12 0,402 12	22,83 NS
P	S	00047	0 - 11.72 3	0 176.5 55	0,402 12 0,321 70	0,402 12 0,321 70	- 5,74	00048	0 - 1.882	104 154.9 05	0,402 12 0,321 70	0,402 12 0,321 70	9,09 5,99	00049	0 - 7.022	0 125.8 21	0,402 12 0,321 70	0,402 12 0,321 70	- 6,41
S	S		- 30.40 7 0	110.9 48 1.142	0,402 12 0,402 12	0,402 12 0,402 12	27,4 7 NS		5.879 0	67.84 1 44	0,402 12 0,402 12	0,402 12 0,402 12	44,4 1 NS		- 30.69 8 0	4.673 2.493	0,402 12 0,402 12	0,402 12 0,402 12	NS NS
P	S	00050	0 - 2.669	0 62.45 6	0,402 12 0,321 70	0,402 12 0,321 70	- 7,53	00051	0 - 1.114	0 26.76 2	0,402 12 0,321 70	0,402 12 0,321 70	- 8,35	00052	0 2.006	357 8.144	0,402 12 0,321 70	0,402 12 0,321 70	9,10 8,84
S	S		0 - 38.75 2	0 59.93 8	0,402 12 0,402 12	0,402 12 0,402 12	- 50,9 7		0 - 42.11 9	0 124.7 61	0,402 12 0,402 12	0,402 12 0,402 12	- 24,5 1		0 4.157	525 163.3 67	0,402 12 0,402 12	0,402 12 0,402 12	NS 18,45
P	S	00053	623 0	26.27 4 735	0,402 12 0,321 70	0,402 12 0,321 70	9,96 9,07	00054	-1.318 0	22.67 3 0	0,402 12 0,321 70	0,402 12 0,321 70	9,84 -	00055	-4.464 0	16.58 9 612	0,402 12 0,321 70	0,402 12 0,321 70	9,64 9,07
S	S		0 - 15.32 1	0 206.9 97	0,402 12 0,402 12	0,402 12 0,402 12	- 14,6 5		0 - 22.79 0	0 218.7 93	0,402 12 0,402 12	0,402 12 0,402 12	- 13,8 9		0 - 23.32 3	0 209.7 87	0,402 12 0,402 12	0,402 12 0,402 12	- 14,49
P	S	00056	0 -403	0 18.26 0	0,402 12 0,321 70	0,402 12 0,321 70	- 8,57	00057	0 523	0 54.26 2	0,402 12 0,321 70	0,402 12 0,321 70	- 7,69	00058	0 1.892	0 97.43 3	0,402 12 0,321 70	0,402 12 0,321 70	- 6,85
S	S		0 -162	0 196.6 79	0,402 12 0,402 12	0,402 12 0,402 12	- 15,3 5		0 2.091	0 165.7 76	0,402 12 0,402 12	0,402 12 0,402 12	- 18,2 0		0 74	0 118.4 49	0,402 12 0,402 12	0,402 12 0,402 12	- 25,48
P	S	00059	0 -2.451	0 141.3 66	0,402 12 0,321 70	0,402 12 0,321 70	- 6,18	00060	0 366	146 178.7 53	0,402 12 0,321 70	0,402 12 0,321 70	9,10 5,69	00061	0 6.782	0 204.7 76	0,402 12 0,321 70	0,402 12 0,321 70	- 5,38
S	S		0 -2.636	0 70.98 4	0,402 12 0,402 12	0,402 12 0,402 12	- 42,5 6		0 304	252 29.84 7	0,402 12 0,402 12	0,402 12 0,402 12	NS NS		5.162 0	2.157 219	0,402 12 0,402 12	0,402 12 0,402 12	NS NS
P	S	00062	0 24.60 7	0 207.9 00	0,402 12 0,321 70	0,402 12 0,321 70	- 5,32	00063	0 20.31 0	0 205.2 10	0,402 12 0,321 70	0,402 12 0,321 70	- 5,35	00064	0 11.05 9	0 187.1 65	0,402 12 0,321 70	0,402 12 0,321 70	- 5,57
S	S		3.316 0	25.65 8 18	0,402 12 0,402 12	0,402 12 0,402 12	NS NS		693 0	20.12 2 185	0,402 12 0,402 12	0,402 12 0,402 12	NS NS		733 0	6.656 0	0,402 12 0,402 12	0,402 12 0,402 12	NS -
P	S	00065	0 17.22 5	0 200.3 54	0,402 12 0,321 70	0,402 12 0,321 70	- 5,41	00066	0 16.27 9	0 223.9 63	0,402 12 0,321 70	0,402 12 0,321 70	- 5,17	00067	0 21.29 8	0 228.2 35	0,402 12 0,321 70	0,402 12 0,321 70	- 5,12
S	S		676 0	13.01 4 1.246	0,402 12 0,402 12	0,402 12 0,402 12	NS NS		1.858 0	30.35 2 1.389	0,402 12 0,402 12	0,402 12 0,402 12	99,3 8 NS		1.862 0	27.53 6 920	0,402 12 0,402 12	0,402 12 0,402 12	NS NS



Platee - Verifiche pressoflessione retta allo SLU

Dir	Pos	Nodo	NEd	MEd	As	A _{df}	CS	Nodo	NEd	MEd	As	A _{df}	CS	Nodo	NEd	MEd	As	A _{df}	CS
			[N]	[N-m]	[cm ² /cm]	[cm ² /cm]			[N]	[N-m]	[cm ² /cm]	[cm ² /cm]			[N]	[N-m]	[cm ² /cm]	[cm ² /cm]	
P	S	00068	0	0	0,402	0,402	-	00069	0	0	0,402	0,402	-	00070	0	0	0,402	0,402	-
I	23.45		239.7	0,321	0,321	5,00	23.51		218.2	0,321	0,321	5,21	22.95		234.0	0,321	0,321	5,06	
S	S	00071	1.654	34.41	0,402	0,402	87,6	00072	2.846	19.32	0,402	0,402	NS	00073	3.554	24.85	0,402	0,402	NS
I	0		976	0,402	0,402	NS	0		938	0,402	0,402	NS	0		1.271	0,402	0,402	NS	
P	S	00074	0	0	0,402	0,402	-	00075	0	0	0,402	0,402	-	00076	0	0	0,402	0,402	-
I	4.287		202.8	0,321	0,321	5,41	-9.144		213.5	0,321	0,321	5,32	-1.343		167.8	0,321	0,321	5,83	
S	S	00077	0	0	0,402	0,402	-	00078	0	0	0,402	0,402	-	00079	0	0	0,402	0,402	-
I	7.503		9.482	0,402	0,402	NS	135		4.803	0,402	0,402	NS	-528		48.04	0,402	0,402	62,83	
P	S	00080	0	0	0,402	0,402	-	00081	0	0	0,402	0,402	-	00082	0	0	0,402	0,402	-
I	-3.646		172.6	0,321	0,321	5,77	-1.923		124.0	0,321	0,321	6,43	464		123.5	0,321	0,321	6,43	
S	S	00083	0	0	0,402	0,402	-	00084	0	0	0,402	0,402	-	00085	0	0	0,402	0,402	-
I	54		45.67	0,402	0,402	66,0	-2.961		99.50	0,402	0,402	30,3	-712		100.0	0,402	0,402	30,18	
P	S	00086	0	0	0,402	0,402	-	00087	0	0	0,402	0,402	-	00088	0	0	0,402	0,402	-
I	2.141		75.24	0,321	0,321	7,26	2.960		74.32	0,321	0,321	7,27	-1.402		37.07	0,321	0,321	8,09	
S	S	00089	0	0	0,402	0,402	-	00090	0	0	0,402	0,402	-	00091	0	0	0,402	0,402	-
I	1.127		144.7	0,402	0,402	20,8	1.800		148.8	0,402	0,402	20,2	2.423		196.9	0,402	0,402	15,31	
P	S	00092	0	0	0,402	0,402	-	00093	0	0	0,402	0,402	-	00094	0	0	0,402	0,402	-
I	2.456		33.80	0,321	0,321	8,16	42		9.474	0,321	0,321	8,81	-7.357		1.588	0,321	0,321	9,07	
S	S	00095	0	0	0,402	0,402	-	00096	0	0	0,402	0,402	-	00097	0	0	0,402	0,402	-
I	-165		191.9	0,402	0,402	15,7	-9.984		222.9	0,402	0,402	13,5	-16.39		221.0	0,402	0,402	13,72	
P	S	00098	-3.222	2.686	0,402	0,402	9,18	00099	-1.611	20.69	0,402	0,402	9,77	00100	-1.031	22.97	0,402	0,402	9,85
I	0		196	0,321	0,321	9,09	0		1.274	0,321	0,321	9,05	0		1.250	0,321	0,321	9,05	
S	S	00101	0	0	0,402	0,402	-	00102	0	0	0,402	0,402	-	00103	0	0	0,402	0,402	-
I	-26.17		233.4	0,402	0,402	13,0	-24.79		223.5	0,402	0,402	13,6	-19.84		221.1	0,402	0,402	13,73	
P	S	00104	98	28.79	0,402	0,402	10,0	00105	-1.121	19.03	0,402	0,402	9,71	00106	222	18.20	0,402	0,402	9,68
I	0		168	0,321	0,321	9,09	0		1.322	0,321	0,321	9,05	0		1.391	0,321	0,321	9,05	
S	S	00107	0	0	0,402	0,402	-	00108	0	0	0,402	0,402	-	00109	0	0	0,402	0,402	-
I	-19.53		218.5	0,402	0,402	13,9	-15.20		199.1	0,402	0,402	15,2	-7.889		195.8	0,402	0,402	15,45	
P	S	00110	-352	6.257	0,402	0,402	9,29	00111	0	0	0,402	0,402	-	00112	0	0	0,402	0,402	-
I	0		682	0,321	0,321	9,07	4.391		14.09	0,321	0,321	8,67	-1.597		19.25	0,321	0,321	8,55	
S	S	00113	0	580	0,402	0,402	NS	00114	0	0	0,402	0,402	-	00115	0	0	0,402	0,402	-
I	257		180.6	0,402	0,402	16,7	-16.60		158.0	0,402	0,402	19,2	-26.32		147.9	0,402	0,402	20,57	
P	S	00116	0	0	0,402	0,402	-	00117	0	0	0,402	0,402	-	00118	0	0	0,402	0,402	-
I	-1.378		48.39	0,321	0,321	7,83	-1.254		50.90	0,321	0,321	7,77	-5.086		112.1	0,321	0,321	6,62	
S	S	00119	0	0	0,402	0,402	-	00120	0	0	0,402	0,402	-	00121	0	0	0,402	0,402	-
I	-		103.8	0,402	0,402	29,4	-		98.97	0,402	0,402	30,9	-		45.41	0,402	0,402	67,26	
			43.69	51	12	12	6	43.93	0	12	12	12	2	38.21	7	12	12	12	



REGIONE BASILICATA - PROVINCIA DI MATERA - COMUNE DI FERRANDINA
PROGETTO DEFINITIVO
Parco Eolico "Montagnola"
Relazione preliminare sulle strutture

Platee - Verifiche pressoflessione retta allo SLU

Dir	Pos	Nodo	N _{Ed} [N]	M _{Ed} [N-m]	A _s [cm ² /cm]	A _d [cm ² /cm]	CS	Nodo	N _{Ed} [N]	M _{Ed} [N-m]	A _s [cm ² /cm]	A _d [cm ² /cm]	CS	Nodo	N _{Ed} [N]	M _{Ed} [N-m]	A _s [cm ² /cm]	A _d [cm ² /cm]	CS
			2						1						6				
P	S	00095	0	0	0,402 12	0,402 12	-	00096	0	0	0,402 12	0,402 12	-	00097	0	0	0,402 12	0,402 12	-
	I		-5.017	101.9 44	0,321 70	0,321 70	6,79		-7.435	128.0 20	0,321 70	0,321 70	6,38		-4.622	133.5 20	0,321 70	0,321 70	6,30
S	S		0	0	0,402 12	0,402 12	-		-25.95 7	15.49 0	0,402 12	0,402 12	NS		10.22 1	32.60 1	0,402 12	0,402 12	92,88
	I		-34.62 1	26.43 1	0,402 12	0,402 12	NS		0	2.380	0,402 12	0,402 12	NS		0	1.081	0,402 12	0,402 12	NS
P	S	00098	0	0	0,402 12	0,402 12	-	00099	0	0	0,402 12	0,402 12	-	00100	0	0	0,402 12	0,402 12	-
	I		7.777	157.3 64	0,321 70	0,321 70	5,94		10.19 1	173.4 71	0,321 70	0,321 70	5,73		-3.830	166.1 13	0,321 70	0,321 70	5,85
S	S		3.903	67.92 7	0,402 12	0,402 12	44,3 8		-12.19 2	89.80 3	0,402 12	0,402 12	33,7 4		-34.33 2	94.68 6	0,402 12	0,402 12	32,22
	I		0	327	0,402 12	0,402 12	NS		0	811	0,402 12	0,402 12	NS		0	1.393	0,402 12	0,402 12	NS
P	S	00101	0	0	0,402 12	0,402 12	-	00102	0	0	0,402 12	0,402 12	-	00103	0	0	0,402 12	0,402 12	-
	I		-17.88 1	178.5 87	0,321 70	0,321 70	5,73		-21.67 9	182.4 11	0,321 70	0,321 70	5,69		-27.72 0	184.3 78	0,321 70	0,321 70	5,68
S	S		-31.12 9	116.5 69	0,402 12	0,402 12	26,1 5		-30.32 2	138.9 88	0,402 12	0,402 12	21,9 2		-25.41 1	145.8 15	0,402 12	0,402 12	20,87
	I		0	2.352	0,402 12	0,402 12	NS		0	1.751	0,402 12	0,402 12	NS		0	1.734	0,402 12	0,402 12	NS
P	S	00104	0	0	0,402 12	0,402 12	-	00105	0	0	0,402 12	0,402 12	-	00106	0	0	0,402 12	0,402 12	-
	I		-27.37 9	178.4 74	0,321 70	0,321 70	5,75		-30.66 9	164.4 26	0,321 70	0,321 70	5,93		-20.97 4	146.9 19	0,321 70	0,321 70	6,14
S	S		-21.04 0	155.9 13	0,402 12	0,402 12	19,4 9		-13.06 9	150.2 31	0,402 12	0,402 12	20,1 7		-4.835	150.5 70	0,402 12	0,402 12	20,08
	I		0	2.374	0,402 12	0,402 12	NS		0	2.048	0,402 12	0,402 12	NS		0	1.136	0,402 12	0,402 12	NS
P	S	00107	0	0	0,402 12	0,402 12	-	00108	0	0	0,402 12	0,402 12	-	00109	0	0	0,402 12	0,402 12	-
	I		-2.750	135.6 42	0,321 70	0,321 70	6,26		-9.670	110.1 62	0,321 70	0,321 70	6,67		-30.03 7	89.73 0	0,321 70	0,321 70	7,07
S	S		1.677	149.1 15	0,402 12	0,402 12	20,2 3		-10.39 9	135.1 71	0,402 12	0,402 12	22,4 0		-8.829	117.1 97	0,402 12	0,402 12	25,83
	I		0	1.285	0,402 12	0,402 12	NS		0	708	0,402 12	0,402 12	NS		0	1.271	0,402 12	0,402 12	NS
P	S	00110	0	0	0,402 12	0,402 12	-	00111	0	0	0,402 12	0,402 12	-	00112	0	0	0,402 12	0,402 12	-
	I		-35.37 3	68.31 1	0,321 70	0,321 70	7,49		-41.18 6	34.08 1	0,321 70	0,321 70	8,28		-42.86 1	17.47 3	0,321 70	0,321 70	8,72
S	S		-5.503	104.5 53	0,402 12	0,402 12	28,9 2		-3.302	71.76 6	0,402 12	0,402 12	42,1 0		-4.506	62.51 8	0,402 12	0,402 12	48,35
	I		0	1.704	0,402 12	0,402 12	NS		0	894	0,402 12	0,402 12	NS		0	680	0,402 12	0,402 12	NS
P	S	00113	-43.09 2	3.058	0,402 12	0,402 12	9,32	00114	-41.91 8	29.37 6	0,402 12	0,402 12	10,2 3	00115	-33.55 2	66.43 6	0,402 12	0,402 12	11,83
	I		0	3.576	0,321 70	0,321 70	8,98		0	2.708	0,321 70	0,321 70	9,01		0	2.161	0,321 70	0,321 70	9,03
S	S		-1.979	62.40 5	0,402 12	0,402 12	48,4 0		-371	42.79 5	0,402 12	0,402 12	70,5 4		6	19.90 7	0,402 12	0,402 12	NS
	I		0	616	0,402 12	0,402 12	NS		0	1.020	0,402 12	0,402 12	NS		0	988	0,402 12	0,402 12	NS
P	S	00116	-9.284	98.23 8	0,402 12	0,402 12	13,5 8	00117	-3.571	120.2 56	0,402 12	0,402 12	15,2 2	00118	-18.90 9	144.9 51	0,402 12	0,402 12	17,76
	I		0	209	0,321 70	0,321 70	9,08		0	509	0,321 70	0,321 70	9,08		0	2.105	0,321 70	0,321 70	9,03
S	S		0	0	0,402 12	0,402 12	-		0	0	0,402 12	0,402 12	-		0	0	0,402 12	0,402 12	-
	I		0	1.375	0,402 12	0,402 12	NS		1.642	15.22	0,402 12	0,402 12	NS		-19	32.30	0,402 12	0,402 12	93,44



REGIONE BASILICATA - PROVINCIA DI MATERA - COMUNE DI FERRANDINA
PROGETTO DEFINITIVO
Parco Eolico "Montagnola"
Relazione preliminare sulle strutture

Platee - Verifiche pressoflessione retta allo SLU

Dir	Pos	Nodo	N _{Ed}	M _{Ed}	A _s	A _d	CS	Nodo	N _{Ed}	M _{Ed}	A _s	A _d	CS	Nodo	N _{Ed}	M _{Ed}	A _s	A _d	CS
			[N]	[N-m]	[cm ² /cm]	[cm ² /cm]			[N]	[N-m]	[cm ² /cm]	[cm ² /cm]			[N]	[N-m]	[cm ² /cm]	[cm ² /cm]	
					12	12				4	12	12				1	12	12	
P	S	00119	-22.017	154.325	0,40212	0,40212	18,93	00120	-23.121	163.721	0,40212	0,40212	20,25	00121	-23.062	171.953	0,40212	0,40212	21,56
	I		0	2.659	0,32170	0,32170	9,01		0	3.714	0,32170	0,32170	8,98		0	4.058	0,32170	0,32170	8,97
S	S		0	0	0,40212	0,40212	-		0	0	0,40212	0,40212	-		0	0	0,40212	0,40212	-
	I		-295	28.566	0,40212	0,40212	NS		-1.258	32.194	0,40212	0,40212	93,79		-2.562	34.517	0,40212	0,40212	87,51
P	S	00122	-20.836	172.398	0,40212	0,40212	21,62	00123	-17.122	162.510	0,40212	0,40212	20,03	00124	1.419	163.603	0,40212	0,40212	20,06
	I		0	3.315	0,32170	0,32170	8,99		0	2.397	0,32170	0,32170	9,02		0	705	0,32170	0,32170	9,07
S	S		0	0	0,40212	0,40212	-		0	0	0,40212	0,40212	-		0	0	0,40212	0,40212	-
	I		-3.452	38.236	0,40212	0,40212	79,02		-3.409	10.791	0,40212	0,40212	NS		-5.254	16.521	0,40212	0,40212	NS
P	S	00125	1.870	156.681	0,40212	0,40212	19,08	00126	961	129.887	0,40212	0,40212	16,06	00127	826	118.927	0,40212	0,40212	15,09
	I		0	0	0,32170	0,32170	-		0	2.003	0,32170	0,32170	9,03		0	1.518	0,32170	0,32170	9,05
S	S		146	6.673	0,40212	0,40212	NS		-871	19.568	0,40212	0,40212	NS		885	43.917	0,40212	0,40212	68,71
	I		0	1.066	0,40212	0,40212	NS		0	1.822	0,40212	0,40212	NS		0	1.464	0,40212	0,40212	NS
P	S	00128	481	85.908	0,40212	0,40212	12,75	00129	71	84.747	0,40212	0,40212	12,68	00130	-412	56.216	0,40212	0,40212	11,20
	I		0	2.661	0,32170	0,32170	9,01		0	1.481	0,32170	0,32170	9,05		0	1.669	0,32170	0,32170	9,04
S	S		1.391	63.737	0,40212	0,40212	47,33		436	89.364	0,40212	0,40212	33,77		142	110.187	0,40212	0,40212	27,39
	I		0	2.128	0,40212	0,40212	NS		0	1.902	0,40212	0,40212	NS		0	1.763	0,40212	0,40212	NS
P	S	00131	191	34.578	0,40212	0,40212	10,28	00132	190	5.996	0,40212	0,40212	9,28	00133	350	5.584	0,40212	0,40212	9,26
	I		0	1.520	0,32170	0,32170	9,05		0	779	0,32170	0,32170	9,07		0	591	0,32170	0,32170	9,07
S	S		-1.088	123.545	0,40212	0,40212	24,44		-431	153.619	0,40212	0,40212	19,65		442	151.805	0,40212	0,40212	19,88
	I		0	2.097	0,40212	0,40212	NS		0	754	0,40212	0,40212	NS		0	526	0,40212	0,40212	NS
P	S	00134	0	0	0,40212	0,40212	-	00135	0	0	0,40212	0,40212	-	00136	0	0	0,40212	0,40212	-
	I		3.916	19.356	0,32170	0,32170	8,53		4.664	20.536	0,32170	0,32170	8,49		2.726	24.579	0,32170	0,32170	8,39
S	S		7.798	169.262	0,40212	0,40212	17,79		15.305	162.375	0,40212	0,40212	18,50		23.160	166.227	0,40212	0,40212	18,03
	I		0	1.033	0,40212	0,40212	NS		0	1.956	0,40212	0,40212	NS		0	3.604	0,40212	0,40212	NS
P	S	00137	0	0	0,40212	0,40212	-	00138	0	0	0,40212	0,40212	-	00139	0	0	0,40212	0,40212	-
	I		2.353	36.603	0,32170	0,32170	8,09		1.178	38.398	0,32170	0,32170	8,05		884	29.374	0,32170	0,32170	8,28
S	S		24.146	161.202	0,40212	0,40212	18,58		22.046	152.893	0,40212	0,40212	19,60		22.310	139.242	0,40212	0,40212	21,52
	I		0	3.927	0,40212	0,40212	NS		0	3.454	0,40212	0,40212	NS		0	3.032	0,40212	0,40212	NS
P	S	00140	0	0	0,40212	0,40212	-	00141	0	0	0,40212	0,40212	-	00142	-6.845	25.672	0,40212	0,40212	9,97
	I		3.557	3.984	0,32170	0,32170	8,96		-2.159	16.833	0,32170	0,32170	8,61		0	0	0,32170	0,32170	-
S	S		16.658	120.132	0,40212	0,40212	24,99		7.520	116.355	0,40212	0,40212	25,88		9.118	81.187	0,40212	0,40212	37,07
	I		0	1.353	0,40212	0,40212	NS		0	707	0,40212	0,40212	NS		0	0	0,40212	0,40212	-
P	S	00143	-133	14.459	0,40212	0,40212	9,55	00144	-667	52.115	0,40212	0,40212	11,01	00145	1.630	48.413	0,40212	0,40212	10,84
	I		0	1.123	0,32170	0,32170	9,06		0	0	0,32170	0,32170	-		0	787	0,32170	0,32170	9,07
S	S		24.646	67.142	0,40212	0,40212	44,61		40.595	24.784	0,40212	0,40212	NS		40.772	11.653	0,40212	0,40212	NS
	I		0	1.608	0,40212	0,40212	NS		0	3.245	0,40212	0,40212	NS		0	3.399	0,40212	0,40212	NS
P	S	00146	3.301	75.21	0,402	0,402	12,1	00147	6.146	96.68	0,402	0,402	13,4	00148	4.862	85.08	0,402	0,402	12,68



Platee - Verifiche pressoflessione retta allo SLU

Dir	Pos	Nodo	NEd	MEd	As	A _{df}	CS	Nodo	NEd	MEd	As	A _{df}	CS	Nodo	NEd	MEd	As	A _{df}	CS
			[N]	[N-m]	[cm ² /cm]	[cm ² /cm]			[N]	[N-m]	[cm ² /cm]	[cm ² /cm]			[N]	[N-m]	[cm ² /cm]	[cm ² /cm]	
	I		0	1.087	0,321 12 70	0,321 12 70	9,06		0	871	0,321 12 70	0,321 12 70	9,06	0	2.072	0,321 12 70	0,321 12 70	9,03	
S	S		0	0	0,402 12 12	0,402 12 12	-		0	0	0,402 12 12	0,402 12 12	-	0	0	0,402 12 12	0,402 12 12	-	
	I		39.04 4	20.26 1	0,402 12 12	0,402 12 12	NS		40.83 3	42.30 6	0,402 12 12	0,402 12 12	70,4 3	35.88 9	47.49 9	0,402 12 12	0,402 12 12	62,83	
P	S	00149	8.156	106.1 08	0,402 12 12	0,402 12 12	14,0 5	00150	-1.271	124.1 88	0,402 12 12	0,402 12 12	15,5 5	00151	-847	134.9 30	0,402 12 12	0,402 12 12	16,57
	I		0	1.653	0,321 70 70	0,321 70 70	9,04		0	1.516	0,321 70 70	0,321 70 70	9,05	0	0	0,321 70 70	0,321 70 70	-	
S	S		0	0	0,402 12 12	0,402 12 12	-		0	0	0,402 12 12	0,402 12 12	-	0	0	0,402 12 12	0,402 12 12	-	
	I		28.51 7	87.50 3	0,402 12 12	0,402 12 12	34,1 8		4.639	100.4 03	0,402 12 12	0,402 12 12	30,0 2	1.427	124.5 38	0,402 12 12	0,402 12 12	24,23	
P	S	00152	-3.280	147.8 14	0,402 12 12	0,402 12 12	17,9 9	00153	13.23 1	138.1 44	0,402 12 12	0,402 12 12	16,8 1	00154	19.88 7	133.6 46	0,402 12 12	0,402 12 12	16,32
	I		0	1.420	0,321 70 70	0,321 70 70	9,05		0	1.950	0,321 70 70	0,321 70 70	9,03	0	3.118	0,321 70 70	0,321 70 70	9,00	
S	S		0	0	0,402 12 12	0,402 12 12	-		0	0	0,402 12 12	0,402 12 12	-	0	0	0,402 12 12	0,402 12 12	-	
	I		19.17 9	147.1 66	0,402 12 12	0,402 12 12	20,3 9		28.34 4	178.3 61	0,402 12 12	0,402 12 12	16,7 7	27.79 1	177.9 64	0,402 12 12	0,402 12 12	16,81	
P	S	00155	25.82 5	128.3 57	0,402 12 12	0,402 12 12	15,7 8	00156	28.87 0	120.0 73	0,402 12 12	0,402 12 12	15,0 3	00157	31.64 3	109.6 31	0,402 12 12	0,402 12 12	14,19
	I		0	2.336	0,321 70 70	0,321 70 70	9,02		0	2.394	0,321 70 70	0,321 70 70	9,02	0	1.471	0,321 70 70	0,321 70 70	9,05	
S	S		0	0	0,402 12 12	0,402 12 12	-		0	0	0,402 12 12	0,402 12 12	-	0	0	0,402 12 12	0,402 12 12	-	
	I		25.10 6	177.4 06	0,402 12 12	0,402 12 12	16,8 8		21.84 4	181.6 68	0,402 12 12	0,402 12 12	16,5 0	14.50 5	176.5 33	0,402 12 12	0,402 12 12	17,02	
P	S	00158	24.09 1	92.19 1	0,402 12 12	0,402 12 12	13,0 3	00159	1.220	69.83 7	0,402 12 12	0,402 12 12	11,8 6	00160	7.055	44.86 3	0,402 12 12	0,402 12 12	10,67
	I		0	1.371	0,321 70 70	0,321 70 70	9,05		0	64	0,321 70 70	0,321 70 70	9,09	0	1.408	0,321 70 70	0,321 70 70	9,05	
S	S		0	0	0,402 12 12	0,402 12 12	-		0	0	0,402 12 12	0,402 12 12	-	0	0	0,402 12 12	0,402 12 12	-	
	I		6.440	169.2 70	0,402 12 12	0,402 12 12	17,8 0		-144	155.1 73	0,402 12 12	0,402 12 12	19,4 5	7.367	142.6 77	0,402 12 12	0,402 12 12	21,11	
P	S	00161	26.12 3	16.72 0	0,402 12 12	0,402 12 12	9,54	00162	0	0	0,402 12 12	0,402 12 12	-	00163	0	0	0,402 12 12	0,402 12 12	-
	I		0	2.285	0,321 70 70	0,321 70 70	9,02		34.44 0	11.38 5	0,321 70 70	0,321 70 70	8,65		39.83 1	49.64 5	0,321 70 70	0,321 70 70	7,69
S	S		0	0	0,402 12 12	0,402 12 12	-		0	0	0,402 12 12	0,402 12 12	-	0	0	0,402 12 12	0,402 12 12	-	
	I		7.466	117.4 71	0,402 12 12	0,402 12 12	25,6 3		5.735	103.2 00	0,402 12 12	0,402 12 12	29,1 9	4.851	72.79 1	0,402 12 12	0,402 12 12	41,40	
P	S	00164	0	0	0,402 12 12	0,402 12 12	-	00165	0	0	0,402 12 12	0,402 12 12	-	00166	0	0	0,402 12 12	0,402 12 12	-
	I		42.82 9	74.17 0	0,321 70 70	0,321 70 70	7,17		45.18 0	110.2 63	0,321 70 70	0,321 70 70	6,54		35.74 1	134.3 45	0,321 70 70	0,321 70 70	6,19
S	S		0	0	0,402 12 12	0,402 12 12	-		0	0	0,402 12 12	0,402 12 12	-	0	0	0,402 12 12	0,402 12 12	-	
	I		3.543	60.77 8	0,402 12 12	0,402 12 12	49,6 1		344	32.11 0	0,402 12 12	0,402 12 12	93,9 9	-217	19.70 0	0,402 12 12	0,402 12 12	NS	
P	S	00167	0	406	0,402 12 12	0,402 12 12	9,10	00168	0	0	0,402 12 12	0,402 12 12	-	00169	0	0	0,402 12 12	0,402 12 12	-
	I		2.391	171.0 74	0,321 70 70	0,321 70 70	5,78		3.664	177.5 54	0,321 70 70	0,321 70 70	5,70		16.32 4	223.8 36	0,321 70 70	0,321 70 70	5,17
S	S		720	6.790	0,402 12 12	0,402 12 12	NS		-577	1.482	0,402 12 12	0,402 12 12	NS		-1.275	45.69 6	0,402 12 12	0,402 12 12	66,08
	I		0	1.961	0,402 12 12	0,402 12 12	NS		0	1.151	0,402 12 12	0,402 12 12	NS		0	1.043	0,402 12 12	0,402 12 12	NS
P	S	00170	0	0	0,402 12 12	0,402 12 12	-	00171	0	0	0,402 12 12	0,402 12 12	-	00172	0	0	0,402 12 12	0,402 12 12	-
	I		23.20 5	238.5 70	0,321 70 70	0,321 70 70	5,02		19.04 0	223.4 73	0,321 70 70	0,321 70 70	5,17		- 12.51 3	190.8 67	0,321 70 70	0,321 70 70	5,57
S	S		-585	42.98 1	0,402 12 12	0,402 12 12	70,2 4		6.044	22.05 9	0,402 12 12	0,402 12 12	NS		0	0	0,402 12 12	0,402 12 12	-
	I		0	1.376	0,402 12 12	0,402 12 12	NS		0	1.384	0,402 12 12	0,402 12 12	NS		9.152	16.20 4	0,402 12 12	0,402 12 12	NS
P	S	00173	0	0	0,402 12 12	0,402 12 12	-	00174	0	0	0,402 12 12	0,402 12 12	-	00175	0	0	0,402 12 12	0,402 12 12	-
	I		-1.680	145.0 89	0,321 70 70	0,321 70 70	6,13		2.510	93.40 0	0,321 70 70	0,321 70 70	6,92		572	39.05 6	0,321 70 70	0,321 70 70	8,04



Platee - Verifiche pressoflessione retta allo SLU

Dir	Pos	Nodo	NEd	MEd	As	A _{df}	CS	Nodo	NEd	MEd	As	A _{df}	CS	Nodo	NEd	MEd	As	A _{df}	CS
			[N]	[N-m]	[cm ² /cm]	[cm ² /cm]			[N]	[N-m]	[cm ² /cm]	[cm ² /cm]			[N]	[N-m]	[cm ² /cm]	[cm ² /cm]	
S	S		0	0	0,402	0,402	-		0	0	0,402	0,402	-		0	0	0,402	0,402	-
	I		-5.675	66.787	0,402	0,402	45,27		-1.416	117.951	0,402	0,402	25,60		7.413	180.216	0,402	0,402	16,71
P	S	00176	0	0	0,402	0,402	-	00177	-1.552	31.845	0,402	0,402	10,18	00178	545	40.649	0,402	0,402	10,52
	I		-6.493	2.492	0,321	0,321	9,04		0	1.210	0,321	0,321	9,05		0	1.435	0,321	0,321	9,05
S	S		0	623	0,402	0,402	NS		0	0	0,402	0,402	-		0	0	0,402	0,402	-
	I		12.700	203.748	0,402	0,402	14,75		-22.376	224.664	0,402	0,402	13,53		-20.733	232.884	0,402	0,402	13,05
P	S	00179	1.130	31.576	0,402	0,402	10,16	00180	-7.174	9.542	0,402	0,402	9,41	00181	0	0	0,402	0,402	-
	I		0	1.140	0,321	0,321	9,06		0	1.036	0,321	0,321	9,06		7.532	24.291	0,321	0,321	8,39
S	S		0	0	0,402	0,402	-		0	996	0,402	0,402	NS		0	0	0,402	0,402	-
	I		-9.278	217.032	0,402	0,402	13,95		-20.418	180.460	0,402	0,402	16,83		-39.740	124.667	0,402	0,402	24,51
P	S	00182	0	0	0,402	0,402	-	00183	0	0	0,402	0,402	-	00184	0	0	0,402	0,402	-
	I		-490	59.640	0,321	0,321	7,58		-6.312	118.158	0,321	0,321	6,53		-4.031	160.489	0,321	0,321	5,92
S	S		0	0	0,402	0,402	-		0	0	0,402	0,402	-		-4.482	70.971	0,402	0,402	42,59
	I		-34.570	64.514	0,402	0,402	47,29		0	2.326	0,402	0,402	NS		0	0	0,402	0,402	-
P	S	00185	0	0	0,402	0,402	-	00186	0	0	0,402	0,402	-	00187	0	0	0,402	0,402	-
	I		-9.010	178.402	0,321	0,321	5,71		-20.350	190.599	0,321	0,321	5,59		-25.562	170.958	0,321	0,321	5,84
S	S		-31.906	115.408	0,402	0,402	26,42		-23.086	147.987	0,402	0,402	20,54		12.713	161.302	0,402	0,402	18,79
	I		0	1.592	0,402	0,402	NS		0	2.118	0,402	0,402	NS		0	1.864	0,402	0,402	NS
P	S	00188	0	0	0,402	0,402	-	00189	0	0	0,402	0,402	-	00190	0	0	0,402	0,402	-
	I		-23.911	147.062	0,321	0,321	6,15		-18.314	101.042	0,321	0,321	6,84		35.491	46.869	0,321	0,321	7,96
S	S		5.032	153.638	0,402	0,402	19,61		-8.229	131.664	0,402	0,402	22,98		-1.918	92.163	0,402	0,402	32,77
	I		0	335	0,402	0,402	NS		0	1.179	0,402	0,402	NS		0	1.497	0,402	0,402	NS
P	S	00191	-37.833	18.190	0,402	0,402	9,81	00192	-28.413	82.425	0,402	0,402	12,68	00193	10.303	135.234	0,402	0,402	16,65
	I		0	2.734	0,321	0,321	9,01		0	671	0,321	0,321	9,07		0	698	0,321	0,321	9,07
S	S		1.484	48.059	0,402	0,402	62,77		-3.981	8.288	0,402	0,402	NS		0	0	0,402	0,402	-
	I		0	805	0,402	0,402	NS		0	837	0,402	0,402	NS		537	24.871	0,402	0,402	NS
P	S	00194	-19.173	159.983	0,402	0,402	19,68	00195	-20.754	181.835	0,402	0,402	23,36	00196	-10.768	165.782	0,402	0,402	20,47
	I		0	2.866	0,321	0,321	9,00		0	2.906	0,321	0,321	9,00		0	1.193	0,321	0,321	9,05
S	S		0	0	0,402	0,402	-		0	0	0,402	0,402	-		0	0	0,402	0,402	-
	I		1.298	44.832	0,402	0,402	67,30		-1.029	49.734	0,402	0,402	60,71		-5.260	33.325	0,402	0,402	90,72
P	S	00197	2.301	144.653	0,402	0,402	17,59	00198	295	110.134	0,402	0,402	14,39	00199	-1.311	53.650	0,402	0,402	11,08
	I		0	680	0,321	0,321	9,07		0	1.955	0,321	0,321	9,03		0	2.260	0,321	0,321	9,02
S	S		2.054	7.111	0,402	0,402	NS		1.605	38.023	0,402	0,402	79,34		517	85.596	0,402	0,402	35,26
	I		0	453	0,402	0,402	NS		0	1.857	0,402	0,402	NS		0	2.418	0,402	0,402	NS



Platee - Verifiche pressoflessione retta allo SLU

Dir	Pos	Nodo	N _{Ed} [N]	M _{Ed} [N-m]	A _s [cm ² /cm]	A _{df} [cm ² /cm]	CS	Nodo	N _{Ed} [N]	M _{Ed} [N-m]	A _s [cm ² /cm]	A _{df} [cm ² /cm]	CS	Nodo	N _{Ed} [N]	M _{Ed} [N-m]	A _s [cm ² /cm]	A _{df} [cm ² /cm]	CS
P	S	00200	-522	11.18 1	0,402 12	0,402 12	9,45	00201	0	0	0,402 12	0,402 12	-	00202	0	0	0,402 12	0,402 12	-
I			0	834	0,321 70	0,321 70	9,07	4.335	19.38 5	0,321 70	0,321 70	8,52	2.154	44.83 6	0,321 70	0,321 70	7,90		
S	S		-1.773	132.9 36	0,402 12	0,402 12	22,7 2	2.001	164.2 14	0,402 12	0,402 12	18,3 7	18.34 6	173.0 64	0,402 12	0,402 12	17,34		
I			0	1.308	0,402 12	0,402 12	NS	0	0	0,402 12	0,402 12	-	0	2.349	0,402 12	0,402 12	NS		
P	S	00203	0	0	0,402 12	0,402 12	-	00204	0	0	0,402 12	0,402 12	-	00205	0	0	0,402 12	0,402 12	-
I			63	51.60 6	0,321 70	0,321 70	7,75	-1.605	40.18 9	0,321 70	0,321 70	8,02	11.43 2	16.52 0	0,321 70	0,321 70	8,58		
S	S		20.80	171.4 62	0,402 12	0,402 12	17,4 9	18.10	146.8 40	0,402 12	0,402 12	20,4 4	5.053	113.9 88	0,402 12	0,402 12	26,44		
I			0	2.952	0,402 12	0,402 12	NS	0	2.119	0,402 12	0,402 12	NS	0	0	0,402 12	0,402 12	-		
P	S	00206	-2.807	22.67 9	0,402 12	0,402 12	9,85	00207	962	66.19 7	0,402 12	0,402 12	11,6 7	00208	5.977	105.5 88	0,402 12	0,402 12	14,02
I			0	1.143	0,321 70	0,321 70	9,06	0	1.044	0,321 70	0,321 70	9,06	0	1.642	0,321 70	0,321 70	9,04		
S	S		34.55	54.64 3	0,402 12	0,402 12	54,6 4	0	0	0,402 12	0,402 12	-	0	0	0,402 12	0,402 12	-		
I			0	1.968	0,402 12	0,402 12	NS	36.62 1	4.680	0,402 12	0,402 12	NS	29.72 4	73.49 8	0,402 12	0,402 12	40,68		
P	S	00209	13.51	140.5 67	0,402 12	0,402 12	17,0 7	00210	2.337	151.3 54	0,402 12	0,402 12	18,3 9	00211	19.33 9	144.2 49	0,402 12	0,402 12	17,44
I			0	872	0,321 70	0,321 70	9,06	0	1.755	0,321 70	0,321 70	9,04	0	2.484	0,321 70	0,321 70	9,02		
S	S		0	0	0,402 12	0,402 12	-	0	0	0,402 12	0,402 12	-	0	0	0,402 12	0,402 12	-		
I			12.02	118.6 98	0,402 12	0,402 12	25,3 3	25.53 2	164.7 51	0,402 12	0,402 12	18,1 7	23.43 4	190.5 75	0,402 12	0,402 12	15,72		
P	S	00212	26.41	133.2 87	0,402 12	0,402 12	16,2 5	00213	32.88 4	95.21 3	0,402 12	0,402 12	13,1 8	00214	9.510	47.51 6	0,402 12	0,402 12	10,77
I			0	2.202	0,321 70	0,321 70	9,02	0	826	0,321 70	0,321 70	9,07	0	1.409	0,321 70	0,321 70	9,05		
S	S		0	0	0,402 12	0,402 12	-	0	0	0,402 12	0,402 12	-	0	0	0,402 12	0,402 12	-		
I			15.09	193.0 88	0,402 12	0,402 12	15,5 6	-5.792	171.1 36	0,402 12	0,402 12	17,6 7	7.770	140.6 14	0,402 12	0,402 12	21,41		
P	S	00215	0	0	0,402 12	0,402 12	-	00216	0	0	0,402 12	0,402 12	-	00217	0	0	0,402 12	0,402 12	-
I			30.45	17.15 9	0,321 70	0,321 70	8,51	38.88 5	89.76 4	0,321 70	0,321 70	6,90	31.83 8	150.9 56	0,321 70	0,321 70	5,97		
S	S		0	0	0,402 12	0,402 12	-	0	0	0,402 12	0,402 12	-	0	0	0,402 12	0,402 12	-		
I			3.492	96.03 0	0,402 12	0,402 12	31,4 0	-1.238	45.60 4	0,402 12	0,402 12	66,2 1	-5.838	4.836	0,402 12	0,402 12	NS		
P	S	00218	0	0	0,402 12	0,402 12	-	00219	0	0	0,402 12	0,402 12	-	00220	0	0	0,402 12	0,402 12	-
I			6.114	203.3 61	0,321 70	0,321 70	5,40	23.46 0	218.1 69	0,321 70	0,321 70	5,21	20.94 0	241.5 86	0,321 70	0,321 70	4,99		
S	S		-2.356	22.65 3	0,402 12	0,402 12	NS	1.679	32.87 7	0,402 12	0,402 12	91,7 6	-1.237	51.16 4	0,402 12	0,402 12	59,02		
I			0	1.097	0,402 12	0,402 12	NS	0	758	0,402 12	0,402 12	NS	0	1.567	0,402 12	0,402 12	NS		
P	S	00221	0	0	0,402 12	0,402 12	-	00222	0	0	0,402 12	0,402 12	-	00223	0	133	0,402 12	0,402 12	9,10
I			13.86	242.4 33	0,321 70	0,321 70	5,00	3.746	224.4 64	0,321 70	0,321 70	5,19	-3.598	195.8 50	0,321 70	0,321 70	5,50		
S	S		-3.339	57.57 6	0,402 12	0,402 12	52,4 8	-4.295	51.29 3	0,402 12	0,402 12	58,9 2	20.14 0	34.37 9	0,402 12	0,402 12	87,24		
I			0	1.594	0,402 12	0,402 12	NS	0	1.175	0,402 12	0,402 12	NS	0	241	0,402 12	0,402 12	NS		
P	S	00224	0	0	0,402 12	0,402 12	-	00225	0	0	0,402 12	0,402 12	-	00226	0	0	0,402 12	0,402 12	-
I			35.14	167.6 59	0,321 70	0,321 70	5,75	42.01 0	132.5 66	0,321 70	0,321 70	6,21	35.42 7	53.36 7	0,321 70	0,321 70	7,62		
S	S		-	16.08 3	0,402 12	0,402 12	NS	0	0	0,402 12	0,402 12	-	0	0	0,402 12	0,402 12	-		
I			28.37	0	0,402 12	0,402 12	NS	-8.303	7.829	0,402 12	0,402 12	NS	1.890	69.59 8	0,402 12	0,402 12	43,34		
P	S	00227	0	0	0,402 12	0,402 12	-	00228	0	0	0,402 12	0,402 12	-	00229	0	0	0,402 12	0,402 12	-
I		24.86	242.5	0,321	0,321	4,98	22.27	259.2	0,321	0,321	4,83	16.62	264.9	0,321	0,321	4,79			



Platee - Verifiche pressoflessione retta allo SLU

Dir	Pos	Nodo	N _{Ed} [N]	M _{Ed} [N-m]	A _s [cm ² /cm]	A _{df} [cm ² /cm]	CS	Nodo	N _{Ed} [N]	M _{Ed} [N-m]	A _s [cm ² /cm]	A _{df} [cm ² /cm]	CS	Nodo	N _{Ed} [N]	M _{Ed} [N-m]	A _s [cm ² /cm]	A _{df} [cm ² /cm]	CS
			8	29	70	70			9	15	70	70			6	80	70	70	
S	S		-2.175	50.95	0,402	0,402	59,2		-5.179	77.74	0,402	0,402	38,8		-6.271	94.85	0,402	0,402	31,88
	I		0	1.626	0,402	0,402	NS		0	1.953	0,402	0,402	NS		0	2.358	0,402	0,402	NS
P	S	00230	0	0	0,402	0,402	-	00231	0	0	0,402	0,402	-	00232	0	505	0,402	0,402	9,11
	I		9.411	261.5	0,321	0,321	4,83		-1.926	243.3	0,321	0,321	5,02		60.38	197.9	0,321	0,321	5,36
S	S		-8.890	99.55	0,402	0,402	30,4		-	90.05	0,402	0,402	33,7		-	78.34	0,402	0,402	38,97
	I		0	1.984	0,402	0,402	NS		0	1.352	0,402	0,402	NS		0	1.124	0,402	0,402	NS
P	S	00233	0	0	0,402	0,402	-	00234	0	0	0,402	0,402	-	00235	0	0	0,402	0,402	-
	I		39.89	164.5	0,321	0,321	5,78		31.80	116.3	0,321	0,321	6,47		26.67	65.12	0,321	0,321	7,40
S	S		-	36.36	0,402	0,402	83,5		0	0	0,402	0,402	-		0	0	0,402	0,402	-
	I		18.96	8	0,402	0,402	NS		-7.567	7.915	0,402	0,402	NS		-1.601	49.71	0,402	0,402	60,75
P	S	00236	0	0	0,402	0,402	-	00237	18.08	14.47	0,402	0,402	9,49	00238	0	467	0,402	0,402	9,11
	I		21.92	21.43	0,321	0,321	8,42		0	2.883	0,321	0,321	9,00		16.74	216.5	0,321	0,321	5,24
S	S		0	0	0,402	0,402	-		0	0	0,402	0,402	-		-6.739	16.77	0,402	0,402	NS
	I		2.095	86.78	0,402	0,402	34,7		5.412	115.2	0,402	0,402	26,1		0	322	0,402	0,402	NS
P	S	00239	0	0	0,402	0,402	-	00240	0	0	0,402	0,402	-	00241	0	0	0,402	0,402	-
	I		34.31	247.2	0,321	0,321	4,92		25.91	278.6	0,321	0,321	4,66		20.74	299.8	0,321	0,321	4,51
S	S		-9.150	67.06	0,402	0,402	45,1		-	105.0	0,402	0,402	28,8		-	132.3	0,402	0,402	22,89
	I		0	1.069	0,402	0,402	NS		0	1.958	0,402	0,402	NS		0	2.316	0,402	0,402	NS
P	S	00242	0	0	0,402	0,402	-	00243	0	0	0,402	0,402	-	00244	0	0	0,402	0,402	-
	I		16.68	307.3	0,321	0,321	4,46		14.76	294.7	0,321	0,321	4,56		23.89	260.7	0,321	0,321	4,82
S	S		-	146.3	0,402	0,402	20,7		-	142.8	0,402	0,402	21,2		-	120.3	0,402	0,402	25,36
	I		13.74	0	0,402	0,402	NS		20.21	58	0,402	0,402	NS		35.29	47	0,402	0,402	NS
P	S	00245	0	0	0,402	0,402	-	00246	0	0	0,402	0,402	-	00247	0	0	0,402	0,402	-
	I		26.93	209.9	0,321	0,321	5,29		25.05	151.0	0,321	0,321	5,99		20.47	87.14	0,321	0,321	6,99
S	S		-	81.78	0,402	0,402	37,1		-	33.37	0,402	0,402	90,8		0	0	0,402	0,402	-
	I		24.84	0	0,402	0,402	NS		14.53	1	0,402	0,402	NS		-7.017	19.54	0,402	0,402	NS
P	S	00248	0	0	0,402	0,402	-	00249	7.506	20.46	0,402	0,402	9,73	00250	-	57.17	0,402	0,402	11,29
	I		14.93	28.42	0,321	0,321	8,26		0	3.314	0,321	0,321	8,99		0	2.271	0,321	0,321	9,02
S	S		0	0	0,402	0,402	-		0	0	0,402	0,402	-		0	0	0,402	0,402	-
	I		-1.633	68.81	0,402	0,402	43,8		2.071	110.3	0,402	0,402	27,3		11.71	145.2	0,402	0,402	20,70
P	S	00251	7.871	74.00	0,402	0,402	12,0	00252	0	0	0,402	0,402	-	00253	0	0	0,402	0,402	-
	I		0	0	0,321	0,321	-		-7.113	174.8	0,321	0,321	5,75		-70	204.7	0,321	0,321	5,40
S	S		0	0	0,402	0,402	-		0	0	0,402	0,402	-		-	31.47	0,402	0,402	96,57
	I		9.738	152.7	0,402	0,402	19,7		-8.725	25.49	0,402	0,402	NS		0	841	0,402	0,402	NS



REGIONE BASILICATA - PROVINCIA DI MATERA - COMUNE DI FERRANDINA
PROGETTO DEFINITIVO
Parco Eolico "Montagnola"
Relazione preliminare sulle strutture

Platee - Verifiche pressoflessione retta allo SLU

Dir	Pos	Nodo	N _{Ed} [N]	M _{Ed} [N-m]	A _s [cm ² /cm]	A _{df} [cm ² /cm]	CS	Nodo	N _{Ed} [N]	M _{Ed} [N-m]	A _s [cm ² /cm]	A _{df} [cm ² /cm]	CS	Nodo	N _{Ed} [N]	M _{Ed} [N-m]	A _s [cm ² /cm]	A _{df} [cm ² /cm]	CS
P	S	00254	0	0	0,402	0,402	-	00255	0	0	0,402	0,402	-	00256	0	0	0,402	0,402	-
			45.42 3	244.0 73	0,321 70	0,321 70	4,93		27.56 9	290.9 43	0,321 70	0,321 70	4,56		23.14 9	332.5 73	0,321 70	0,321 70	4,27
S	S		-	79.03	0,402	0,402	38,6		-	120.8	0,402	0,402	25,1		-	158.8	0,402	0,402	19,09
			34.46 5	2	12	12	1		16.06 6	27	12	12	1		15.59 9	65	12	12	19,09
P	S	00257	0	0	0,402	0,402	-	00258	0	0	0,402	0,402	-	00259	0	0	0,402	0,402	-
			20.59 9	360.2 04	0,321 70	0,321 70	4,09		19.95 6	364.1 84	0,321 70	0,321 70	4,07		22.42 1	338.5 27	0,321 70	0,321 70	4,23
S	S		-	183.7	0,402	0,402	16,5		-	188.6	0,402	0,402	16,1		-	170.1	0,402	0,402	17,90
			17.56 7	50	12	12	2		21.95 1	39	12	12	1		28.10 9	42	12	12	17,90
P	S	00260	0	0	0,402	0,402	-	00261	0	0	0,402	0,402	-	00262	0	0	0,402	0,402	-
			24.71 6	283.7 71	0,321 70	0,321 70	4,62		20.85 1	209.0 33	0,321 70	0,321 70	5,31		16.96 7	124.8 75	0,321 70	0,321 70	6,38
S	S		-	129.4	0,402	0,402	23,5		-	72.71	0,402	0,402	41,7		-	8.216	0,402	0,402	NS
			28.19 9	15	12	12	3		19.84 8	1	12	12	7		12.70 4	0	12	12	NS
P	S	00263	0	0	0,402	0,402	-	00264	5.724	23.91	0,402	0,402	9,86	00265	-2.986	74.44	0,402	0,402	12,12
			11.99 1	44.00 8	0,321 70	0,321 70	7,89		0	3.360	0,321 70	0,321 70	8,99		0	2.777	0,321 70	0,321 70	9,01
S	S		0	0	0,402	0,402	-		0	0	0,402	0,402	-		0	0	0,402	0,402	-
			-7.007	54.73 4	0,402 12	0,402 12	55,2 7		-2.911	108.5 58	0,402 12	0,402 12	27,8 3		-1.520	149.2 58	0,402 12	0,402 12	20,23
P	S	00266	-8.340	113.3	0,402	0,402	14,6	00267	38.99	123.9	0,402	0,402	15,3	00268	30.06	124.7	0,402	0,402	15,43
			0	826	0,321 70	0,321 70	9,07		0	465	0,321 70	0,321 70	9,08		0	1.901	0,321 70	0,321 70	9,03
S	S		0	0	0,402	0,402	-		0	0	0,402	0,402	-		0	0	0,402	0,402	-
			-3.505	173.2 57	0,402 12	0,402 12	17,4 4		33.15 8	186.7 43	0,402 12	0,402 12	16,3 3		2.028	190.8 33	0,402 12	0,402 12	15,81
P	S	00269	27.88	122.4	0,402	0,402	15,2	00270	0	0	0,402	0,402	-	00271	0	0	0,402	0,402	-
			0	1.794	0,321 70	0,321 70	9,04		2.608	122.3 64	0,321 70	0,321 70	6,45		3.984	145.0 90	0,321 70	0,321 70	6,11
S	S		0	0	0,402	0,402	-		0	0	0,402	0,402	-		0	0	0,402	0,402	-
			17.38 6	181.7 45	0,402 12	0,402 12	16,5 2		-5.005	90.32 7	0,402 12	0,402 12	33,4 7		11.75 6	49.35 0	0,402 12	0,402 12	61,39
P	S	00272	0	0	0,402	0,402	-	00273	0	0	0,402	0,402	-	00274	0	0	0,402	0,402	-
			10.04 6	181.4 00	0,321 70	0,321 70	5,64		24.11 3	228.9 67	0,321 70	0,321 70	5,11		22.29 7	292.6 54	0,321 70	0,321 70	4,56
S	S		-	788	0,402	0,402	NS		-	55.71	0,402	0,402	54,7		-	112.2	0,402	0,402	27,07
			26.23 8	0	12	12	NS		32.71 4	2	12	12	3		21.67 2	65	12	12	27,07
P	S	00275	0	0	0,402	0,402	-	00276	0	0	0,402	0,402	-	00277	0	0	0,402	0,402	-
			22.56 4	359.6 27	0,321 70	0,321 70	4,10		21.89 2	415.9 73	0,321 70	0,321 70	3,77		21.71 1	447.6 12	0,321 70	0,321 70	3,61
S	S		-	162.8	0,402	0,402	18,6		-	201.0	0,402	0,402	15,1		-	219.0	0,402	0,402	13,88
			19.46 9	75	12	12	4		20.53 8	90	12	12	1		23.42 5	25	12	12	13,88
P	S	00278	0	0	0,402	0,402	-	00279	0	0	0,402	0,402	-	00280	0	0	0,402	0,402	-
			22.46 0	441.1 26	0,321 70	0,321 70	3,64		22.98 1	390.2 77	0,321 70	0,321 70	3,91		20.34 2	300.9 71	0,321 70	0,321 70	4,50
S	S		-	209.5	0,402	0,402	14,5		-	170.4	0,402	0,402	17,8		-	106.5	0,402	0,402	28,56



REGIONE BASILICATA - PROVINCIA DI MATERA - COMUNE DI FERRANDINA
PROGETTO DEFINITIVO
Parco Eolico "Montagnola"
Relazione preliminare sulle strutture

Platee - Verifiche pressoflessione retta allo SLU

Dir	Pos	Nodo	NEd [N]	MEd [N·m]	As [cm ² /cm]	A _{df} [cm ² /cm]	CS	Nodo	NEd [N]	MEd [N·m]	As [cm ² /cm]	A _{df} [cm ² /cm]	CS	Nodo	NEd [N]	MEd [N·m]	As [cm ² /cm]	A _{df} [cm ² /cm]	CS
	I		27.00 3 0	70 3.305	12 0,402 12	12 0,402 12	2 NS		28.27 7 0	53 3.452	12 0,402 12	12 0,402 12	7 NS		24.66 5 0	07 3.439	12 0,402 12	12 0,402 12	NS
P	S	00281	0 16.10 2	0 190.0 19	0,402 0,321 70	0,402 0,321 70	- 5,53	00282	0 11.47 8	0 77.50 8	0,402 0,321 70	0,402 0,321 70	- 7,19	00283	6.754 0	19.71 9 3.228	0,402 12 0,321 70	0,402 12 0,321 70	9,71 8,99
S	S		- 18.74 9	28.73 0	0,402 12	0,402 12	NS		0 - 13.04 1	0 49.86 6	0,402 12	0,402 12	- 60,7 8		0 -8.566	0 118.1 59	0,402 12	0,402 12	- 25,61
P	S	00284	2.649 0	92.41 4 2.966	0,402 12 0,321 70	0,402 12 0,321 70	13,1 4 9,00	00285	3.243 0	139.0 94 2.289	0,402 12 0,321 70	0,402 12 0,321 70	16,9 7 9,02	00286	15.67 2 0	163.9 13 1.271	0,402 12 0,321 70	0,402 12 0,321 70	20,00 9,05
S	S		0 -6.565	0 169.3 79	0,402 12	0,402 12	- 17,8 6		0 - 11.82 5	0 201.5 21	0,402 12	0,402 12	- 15,0 3		0 - 16.24 8	0 217.8 63	0,402 12	0,402 12	- 13,92
P	S	00287	18.12 4 0	163.9 24 2.043	0,402 12 0,321 70	0,402 12 0,321 70	19,9 9 9,03	00288	18.80 2 0	157.9 47 2.576	0,402 12 0,321 70	0,402 12 0,321 70	19,1 3 9,01	00289	20.56 9 0	144.8 92 2.583	0,402 12 0,321 70	0,402 12 0,321 70	17,50 9,01
S	S		0 -2.052	0 219.6 41	0,402 12	0,402 12	- 13,7 5		0 9.821	0 212.3 90	0,402 12	0,402 12	- 14,1 7		0 20.00 4	0 196.3 48	0,402 12	0,402 12	- 15,28
P	S	00290	0 6.321	0 83.06 4	0,402 12 0,321 70	0,402 12 0,321 70	- 7,10	00291	0 10.74 5	0 107.4 62	0,402 12 0,321 70	0,402 12 0,321 70	- 6,66	00292	0 15.17 9	0 144.8 66	0,402 12 0,321 70	0,402 12 0,321 70	- 6,09
S	S		0 -4.816	0 122.9 17	0,402 12	0,402 12	- 24,5 9		0 - 12.36 8	0 86.50 5	0,402 12	0,402 12	- 35,0 3		0 - 21.47 1	0 39.79 8	0,402 12	0,402 12	- 76,35
P	S	00293	0 21.47 2	0 201.7 01	0,402 12 0,321 70	0,402 12 0,321 70	- 5,39	00294	0 22.59 8	0 279.8 77	0,402 12 0,321 70	0,402 12 0,321 70	- 4,66	00295	0 22.10 0	0 373.5 28	0,402 12 0,321 70	0,402 12 0,321 70	- 4,01
S	S		- 27.78 0	13.40 7	0,402 12	0,402 12	NS		- 25.88 9	72.27 0	0,402 12	0,402 12	42,1 0		- 23.00 8	132.2 59	0,402 12	0,402 12	22,99
	I		0 0	3.252	0,402 12	0,402 12	NS		0 3.173	0,402 12	0,402 12	NS		0 3.046	0,402 12	0,402 12	NS		
P	S	00296	0 22.36 5	0 466.8 30	0,402 12 0,321 70	0,402 12 0,321 70	- 3,52	00297	0 22.61 5	0 539.5 88	0,402 12 0,321 70	0,402 12 0,321 70	- 3,22	00298	0 22.82 8	0 568.9 91	0,402 12 0,321 70	0,402 12 0,321 70	- 3,11
S	S		- 23.22 6	184.8 02	0,402 12	0,402 12	16,4 5		- 25.29 4	219.4 48	0,402 12	0,402 12	13,8 6		- 27.89 6	225.1 42	0,402 12	0,402 12	13,52
	I		0 0	3.043	0,402 12	0,402 12	NS		0 3.146	0,402 12	0,402 12	NS		0 3.288	0,402 12	0,402 12	NS		
P	S	00299	0 22.48 1	0 536.9 24	0,402 12 0,321 70	0,402 12 0,321 70	- 3,23	00300	0 20.39 5	0 440.4 17	0,402 12 0,321 70	0,402 12 0,321 70	- 3,65	00301	0 16.48 3	0 297.9 18	0,402 12 0,321 70	0,402 12 0,321 70	- 4,53
S	S		- 29.38 8	194.0 75	0,402 12	0,402 12	15,7 0		- 28.16 6	126.9 46	0,402 12	0,402 12	23,9 9		- 24.28 0	35.52 2	0,402 12	0,402 12	85,62
	I		0 0	3.413	0,402 12	0,402 12	NS		0 3.461	0,402 12	0,402 12	NS		0 3.404	0,402 12	0,402 12	NS		
P	S	00302	0 11.79 3	0 141.2 09	0,402 12 0,321 70	0,402 12 0,321 70	- 6,15	00303	7.280 0	76 3.032	0,402 12 0,321 70	0,402 12 0,321 70	9,07 9,00	00304	3.970 0	107.9 94 2.981	0,402 12 0,321 70	0,402 12 0,321 70	14,21 9,00
S	S		0 - 19.13 8	0 61.71 2	0,402 12	0,402 12	- 49,2 0		0 - 14.21 5	0 147.4 89	0,402 12	0,402 12	- 20,5 6		0 - 10.85 8	0 211.1 26	0,402 12	0,402 12	- 14,35



REGIONE BASILICATA - PROVINCIA DI MATERA - COMUNE DI FERRANDINA
PROGETTO DEFINITIVO
Parco Eolico "Montagnola"
Relazione preliminare sulle strutture

Platee - Verifiche pressoflessione retta allo SLU

Dir	Pos	Nodo	NEd	MEd	As	A _{df}	CS	Nodo	NEd	MEd	As	A _{df}	CS	Nodo	NEd	MEd	As	A _{df}	CS
			[N]	[N-m]	[cm ² /cm]	[cm ² /cm]			[N]	[N-m]	[cm ² /cm]	[cm ² /cm]			[N]	[N-m]	[cm ² /cm]	[cm ² /cm]	
P	S	00305	3.653	177.2 31	0,402 12	0,402 12	22,2 8	00306	7.262	211.3 90	0,402 12	0,402 12	30,9 2	00307	9.235	216.7 02	0,402 12	0,402 12	32,89
I	I		0	2.711	0,321 70	0,321 70	9,01		0	2.270	0,321 70	0,321 70	9,02		0	2.254	0,321 70	0,321 70	9,02
S	S	00308	0	0	0,402 12	0,402 12	-	00309	0	0	0,402 12	0,402 12	-	00310	0	0	0,402 12	0,402 12	-
I	I		-	10.57 7	249.5 02	0,402 12	0,402 12		12,1 4	-	10.41 1	265.0 10	0,402 12		0,402 12	11,4 3	-	-3.718	262.1 17
P	S	00311	9.048	203.9 26	0,402 12	0,402 12	28,4 8	00312	9.976	184.0 07	0,402 12	0,402 12	23,5 4	00313	12.46 2	164.4 63	0,402 12	0,402 12	20,11
I	I		0	2.733	0,321 70	0,321 70	9,01		0	3.026	0,321 70	0,321 70	9,00		0	2.547	0,321 70	0,321 70	9,01
S	S	00314	0	0	0,402 12	0,402 12	-	00315	0	0	0,402 12	0,402 12	-	00316	0	0	0,402 12	0,402 12	-
I	I		6.625	246.8 22	0,402 12	0,402 12	12,2 0		15.55 4	225.3 02	0,402 12	0,402 12	13,3 3		22.41 0	199.4 61	0,402 12	0,402 12	15,03
P	S	00317	0	0	0,402 12	0,402 12	-	00318	0	0	0,402 12	0,402 12	-	00319	0	0	0,402 12	0,402 12	-
I	I		11.25 8	46.10 2	0,321 70	0,321 70	7,85		16.79 6	61.10 0	0,321 70	0,321 70	7,50		19.39 2	94.85 4	0,321 70	0,321 70	6,86
S	S	00320	0	0	0,402 12	0,402 12	-	00321	0	0	0,402 12	0,402 12	-	00322	0	0	0,402 12	0,402 12	-
I	I		49	154.3 53	0,402 12	0,402 12	19,5 5		-	12.62 8	129.1 64	0,402 12	0,402 12		23,4 6	-	19.82 3	95.27 8	0,402 12
P	S	00323	0	0	0,402 12	0,402 12	-	00324	0	0	0,402 12	0,402 12	-	00325	0	0	0,402 12	0,402 12	-
I	I		22.48 2	155.5 18	0,321 70	0,321 70	5,93		24.03 2	246.6 29	0,321 70	0,321 70	4,94		23.92 2	365.9 24	0,321 70	0,321 70	4,05
S	S	00326	0	0	0,402 12	0,402 12	-	00327	0	0	0,402 12	0,402 12	-	00328	0	0	0,402 12	0,402 12	-
I	I		-	25.06 2	51.68 8	0,402 12	0,402 12		58,8 6	26.74 9	1.081	0,402 12	0,402 12		NS	26.18 2	60.93 3	0,402 12	0,402 12
P	S	00329	0	0	0,402 12	0,402 12	-	00330	0	0	0,402 12	0,402 12	-	00331	0	0	0,402 12	0,402 12	-
I	I		23.85 9	500.8 87	0,321 70	0,321 70	3,37		24.01 1	628.2 12	0,321 70	0,321 70	2,91		23.93 8	715.4 91	0,321 70	0,321 70	2,66
S	S	00332	0	0	0,402 12	0,402 12	-	00333	0	0	0,402 12	0,402 12	-	00334	0	0	0,402 12	0,402 12	-
I	I		26.22 0	121.8 45	0,402 12	0,402 12	24,9 8		27.68 1	172.9 28	0,402 12	0,402 12	17,6 1		29.86 1	199.1 87	0,402 12	0,402 12	15,30
P	S	00335	0	0	0,402 12	0,402 12	-	00336	0	0	0,402 12	0,402 12	-	00337	0	0	0,402 12	0,402 12	-
I	I		0	3.217	0,402 12	0,402 12	NS		0	3.198	0,402 12	0,402 12	NS		0	3.236	0,402 12	0,402 12	NS
S	S	00338	0	0	0,402 12	0,402 12	-	00339	0	0	0,402 12	0,402 12	-	00340	0	0	0,402 12	0,402 12	-
I	I		31.57 6	185.1 61	0,402 12	0,402 12	16,4 6		31.61 7	122.7 22	0,402 12	0,402 12	24,8 4		29.34 3	19.89 8	0,402 12	0,402 12	NS
P	S	00341	0	0	0,402 12	0,402 12	-	00342	0	0	0,402 12	0,402 12	-	00343	0	0	0,402 12	0,402 12	-
I	I		23.15 7	727.6 62	0,321 70	0,321 70	2,63		21.04 4	642.3 24	0,321 70	0,321 70	2,87		17.29 8	469.4 50	0,321 70	0,321 70	3,52
S	S	00344	0	0	0,402 12	0,402 12	-	00345	0	0	0,402 12	0,402 12	-	00346	0	0	0,402 12	0,402 12	-
I	I		0	3.301	0,402 12	0,402 12	NS		0	3.348	0,402 12	0,402 12	NS		0	3.346	0,402 12	0,402 12	NS
P	S	00347	0	0	0,402 12	0,402 12	-	00348	0	0	0,402 12	0,402 12	-	00349	0	0	0,402 12	0,402 12	-
I	I		12.35 2	253.6 52	0,321 70	0,321 70	4,90		7.176	47.08 2	0,321 70	0,321 70	7,83		0	2.894	0,321 70	0,321 70	9,00
S	S	00350	0	0	0,402 12	0,402 12	-	00351	0	0	0,402 12	0,402 12	-	00352	0	0	0,402 12	0,402 12	-
I	I		-	25.03 0	99.06 9	0,402 12	0,402 12		30,7 1	-	19.69 3	206.7 38	0,402 12		0,402 12	14,6 9	-	14.65 1	284.9 05
P	S	00353	706	221.0 60	0,402 12	0,402 12	34,8 3	00354	810	273.3 82	0,402 12	0,402 12	NS	00355	1.108	284.0 21	0,402 12	0,402 12	NS
I	I		0	2.845	0,321 70	0,321 70	9,01		0	2.710	0,321 70	0,321 70	9,01		0	2.640	0,321 70	0,321 70	9,01
S	S	00356	0	0	0,402 12	0,402 12	-	00357	0	0	0,402 12	0,402 12	-	00358	0	0	0,402 12	0,402 12	-
I	I		-	10.95 4	327.7 55	0,402 12	0,402 12		9,24	-7.870	338.8 53	0,402 12	0,402 12		8,93	-2.694	326.2 71	0,402 12	0,402 12
P	S	00359	218	266.7 26	0,402 12	0,402 12	83,9 6	00360	-642	235.9 10	0,402 12	0,402 12	43,0 4	00361	-580	200.7 18	0,402 12	0,402 12	27,64
I	I		0	2.861	0,321 70	0,321 70	9,00		0	3.080	0,321 70	0,321 70	9,00		0	3.048	0,321 70	0,321 70	9,00



Platee - Verifiche pressoflessione retta allo SLU

Dir	Pos	Nodo	N _{Ed} [N]	M _{Ed} [N-m]	A _s [cm ² /cm]	A _{df} [cm ² /cm]	CS	Nodo	N _{Ed} [N]	M _{Ed} [N-m]	A _s [cm ² /cm]	A _{df} [cm ² /cm]	CS	Nodo	N _{Ed} [N]	M _{Ed} [N-m]	A _s [cm ² /cm]	A _{df} [cm ² /cm]	CS
S	S		0	0	0,402 12	0,402 12	-		0	0	0,402 12	0,402 12	-		0	0	0,402 12	0,402 12	-
	I		5.067	298.7 57	0,402 12	0,402 12	10,0 9		13.07 2	264.3 55	0,402 12	0,402 12	11,3 7		19.73 4	227.8 16	0,402 12	0,402 12	13,17
P	S	00332	1.899	169.7 52	0,402 12	0,402 12	21,0 1	00333	9.637	145.6 59	0,402 12	0,402 12	17,6 6	00334	0	0	0,402 12	0,402 12	-
	I		0	2.361	0,321 70	0,321 70	9,02		0	1.277	0,321 70	0,321 70	9,05		-3.627	24.02 9	0,321 70	0,321 70	8,43
S	S		0	0	0,402 12	0,402 12	-		0	0	0,402 12	0,402 12	-		0	0	0,402 12	0,402 12	-
	I		25.16 0	193.0 52	0,402 12	0,402 12	15,5 1		25.73 0	156.3 16	0,402 12	0,402 12	19,1 5		18.26 0	195.2 03	0,402 12	0,402 12	15,37
P	S	00335	0	0	0,402 12	0,402 12	-	00336	0	0	0,402 12	0,402 12	-	00337	0	0	0,402 12	0,402 12	-
	I		23.42 4	4.258	0,321 70	0,321 70	8,89		25.33 3	9.380	0,321 70	0,321 70	8,74		24.13 4	35.19 9	0,321 70	0,321 70	8,06
S	S		0	0	0,402 12	0,402 12	-		0	0	0,402 12	0,402 12	-		0	0	0,402 12	0,402 12	-
	I		4.261	193.0 77	0,402 12	0,402 12	15,6 1		- 14.60 4	178.3 56	0,402 12	0,402 12	17,0 0		- 20.00 2	159.9 39	0,402 12	0,402 12	18,99
P	S	00338	0	0	0,402 12	0,402 12	-	00339	0	0	0,402 12	0,402 12	-	00340	0	0	0,402 12	0,402 12	-
	I		24.77 9	92.06 4	0,321 70	0,321 70	6,89		25.80 3	188.4 10	0,321 70	0,321 70	5,53		26.26 4	327.5 25	0,321 70	0,321 70	4,30
S	S		0	0	0,402 12	0,402 12	-		0	0	0,402 12	0,402 12	-		0	0	0,402 12	0,402 12	-
	I		- 23.98 3	134.9 22	0,402 12	0,402 12	22,5 4		- 26.58 5	100.1 53	0,402 12	0,402 12	30,3 9		- 27.86 5	53.82 4	0,402 12	0,402 12	56,57
P	S	00341	0	0	0,402 12	0,402 12	-	00342	0	0	0,402 12	0,402 12	-	00343	0	0	0,402 12	0,402 12	-
	I		26.41 3	503.0 28	0,321 70	0,321 70	3,36		26.52 7	694.1 04	0,321 70	0,321 70	2,71		26.29 6	862.7 51	0,321 70	0,321 70	2,32
S	S		- 28.86 1	2.711	0,402 12	0,402 12	NS		30.43 8	62.16 0	0,402 12	0,402 12	49,0 2		- 32.56 7	109.2 00	0,402 12	0,402 12	27,92
	I		0	3.239	0,402 12	0,402 12	NS		0	3.183	0,402 12	0,402 12	NS		0	3.154	0,402 12	0,402 12	NS
P	S	00344	0	0	0,402 12	0,402 12	-	00345	0	0	0,402 12	0,402 12	-	00346	0	0	0,402 12	0,402 12	-
	I		25.20 6	955.7 79	0,321 70	0,321 70	2,15		22.81 1	919.3 29	0,321 70	0,321 70	2,21		18.80 1	732.8 03	0,321 70	0,321 70	2,62
S	S		- 34.58 0	121.3 69	0,402 12	0,402 12	25,1 4		- 35.55 6	76.80 5	0,402 12	0,402 12	39,7 4		0	0	0,402 12	0,402 12	-
	I		0	3.157	0,402 12	0,402 12	NS		0	3.174	0,402 12	0,402 12	NS		- 34.57 0	29.66 5	0,402 12	0,402 12	NS
P	S	00347	0	0	0,402 12	0,402 12	-	00348	0	0	0,402 12	0,402 12	-	00349	908	106.2 92	0,402 12	0,402 12	-
	I		13.23 7	443.6 20	0,321 70	0,321 70	3,64		6.843	140.9 98	0,321 70	0,321 70	6,16		0	2.744	0,321 70	0,321 70	9,01
S	S		0	0	0,402 12	0,402 12	-		0	0	0,402 12	0,402 12	-		0	0	0,402 12	0,402 12	-
	I		- 31.09 2	172.5 70	0,402 12	0,402 12	17,6 6		- 25.42 8	308.6 54	0,402 12	0,402 12	9,86		- 18.76 2	405.2 50	0,402 12	0,402 12	7,49
P	S	00350	-3.314	269.9 95	0,402 12	0,402 12	93,5 2	00351	-5.447	352.3 85	0,402 12	0,402 12	51,1 3	00352	-6.488	371.2 50	0,402 12	0,402 12	37,78
	I		0	2.810	0,321 70	0,321 70	9,01		0	2.838	0,321 70	0,321 70	9,01		0	2.873	0,321 70	0,321 70	9,00
S	S		0	0	0,402 12	0,402 12	-		0	0	0,402 12	0,402 12	-		0	0	0,402 12	0,402 12	-
	I		- 12.49 0	451.0 79	0,402 12	0,402 12	6,72		-7.039	451.6 72	0,402 12	0,402 12	6,70		-1.489	420.5 48	0,402 12	0,402 12	7,18
P	S	00353	-7.751	348.4 31	0,402 12	0,402 12	55,2 7	00354	-9.624	304.0 37	0,402 12	0,402 12	NS	00355	-12.09 3	253.4 94	0,402 12	0,402 12	59,88
	I		0	3.006	0,321 70	0,321 70	9,00		0	3.192	0,321 70	0,321 70	9,00		0	3.207	0,321 70	0,321 70	8,99
S	S		0	0	0,402 12	0,402 12	-		0	0	0,402 12	0,402 12	-		0	0	0,402 12	0,402 12	-
	I		4.979	372.0 20	0,402 12	0,402 12	8,10		11.95 1	317.5 32	0,402 12	0,402 12	9,47		18.42 9	264.4 17	0,402 12	0,402 12	11,35



REGIONE BASILICATA - PROVINCIA DI MATERA - COMUNE DI FERRANDINA
PROGETTO DEFINITIVO
Parco Eolico "Montagnola"
Relazione preliminare sulle strutture

Platee - Verifiche pressoflessione retta allo SLU

Dir	Pos	Nodo	N _{Ed} [N]	M _{Ed} [N-m]	A _s [cm ² /cm]	A _{df} [cm ² /cm]	CS	Nodo	N _{Ed} [N]	M _{Ed} [N-m]	A _s [cm ² /cm]	A _{df} [cm ² /cm]	CS	Nodo	N _{Ed} [N]	M _{Ed} [N-m]	A _s [cm ² /cm]	A _{df} [cm ² /cm]	CS
P	S	00356	-	206.9	0,402	0,402	29,6	00357	-	170.2	0,402	0,402	21,2	00358	305	144.8	0,402	0,402	17,63
I	15.35		89	12	12	8	20.16	76	12	12	6	00358	0	634	44	12	12	9,07	
	0		2.657	0,321	0,321	9,01	0	1.079	0,321	0,321	9,06	0	0	0	0	0	0	0	0
S	S	00359	0	0	0,402	0,402	-	00360	0	0	0,402	0,402	-	00361	0	0	0,402	0,402	-
I	24.23		216.3	0,402	0,402	13,8	37.05	172.9	0,402	0,402	17,2	15.84	137.7	0	0	0,402	0,402	21,80	
	3		03	12	12	5	3	94	12	12	4	3	90	0	0	12	12	12	
P	S	00359	-	5.533	0,402	0,402	9,34	00360	34.79	39.12	0,402	0,402	10,3	00361	27.82	27.66	0,402	0,402	9,92
I	23.80		730	0,321	0,321	9,07	1	0	0,321	0,321	9,02	0	3.098	0	0	0,321	0,321	9,00	
	0		0	0,402	0,402	NS	0	0	0,402	0,402	-	0	0	0	0	0,402	0,402	-	
S	S	00362	0	0	0,402	0,402	-	00363	0	0	0,402	0,402	-	00364	0	0	0,402	0,402	-
I	26.69		16.60	0,321	0,321	8,53	27.33	106.8	0,321	0,321	6,63	28.31	253.2	0	0	0,321	0,321	4,87	
	8		8	70	70	-	0	0	0,402	0,402	-	0	0	0	0	0,402	0,402	-	
S	S	00362	0	0	0,402	0,402	-	00363	0	0	0,402	0,402	-	00364	0	0	0,402	0,402	-
I	23.56		226.2	0,402	0,402	13,4	26.17	221.4	0,402	0,402	13,7	28.42	205.5	0	0	0,402	0,402	14,81	
	2		46	12	12	4	4	02	12	12	4	1	63	12	12	12	12	12	
P	S	00365	0	0	0,402	0,402	-	00366	0	0	0,402	0,402	-	00367	0	0	0,402	0,402	-
I	29.22		458.8	0,321	0,321	3,55	29.95	712.2	0,321	0,321	2,66	30.16	979.0	0	0	0,321	0,321	2,10	
	1		40	70	70	-	0	0	0,402	0,402	-	0	0	0	0	0,402	0,402	-	
S	S	00365	0	0	0,402	0,402	-	00366	0	0	0,402	0,402	-	00367	0	0	0,402	0,402	-
I	30.57		173.9	0,402	0,402	17,5	33.03	125.8	0,402	0,402	24,2	35.76	69.80	0	0	0,402	0,402	43,73	
	9		76	12	12	2	4	23	12	12	4	6	3	12	12	12	12	12	
P	S	00368	0	0	0,402	0,402	-	00369	0	0	0,402	0,402	-	00370	0	0	0,402	0,402	-
I	29.13		1.195.	0,321	0,321	1,80	26.35	1.269.	0,321	0,321	1,72	21.70	1.120.	0	0	0,321	0,321	1,90	
	0		016	70	70	-	0	0	0,402	0,402	-	0	0	0	0	0,402	0,402	-	
S	S	00368	0	0	0,402	0,402	-	00369	0	0	0,402	0,402	-	00370	0	0	0,402	0,402	-
I	38.31		29.00	0,402	0,402	NS	40.12	39.07	0,402	0,402	78,2	40.40	131.0	0	0	0,402	0,402	23,33	
	4		4	12	12	-	7	6	12	12	2	2	15	12	12	12	12	12	
P	S	00371	0	0	0,402	0,402	-	00372	0	0	0,402	0,402	-	00373	-1.676	66.61	0,402	0,402	11,70
I	15.04		757.0	0,321	0,321	2,56	6.754	314.2	0,321	0,321	4,42	0	2.565	0	0	0,321	0,321	9,01	
	2		01	70	70	-	0	0	0,402	0,402	-	0	0	0	0	0,402	0,402	-	
S	S	00371	0	0	0,402	0,402	-	00372	0	0	0,402	0,402	-	00373	0	0	0,402	0,402	-
I	37.94		295.2	0,402	0,402	10,3	32.06	469.3	0,402	0,402	6,50	23.61	591.6	0	0	0,402	0,402	5,14	
	7		12	12	12	5	2	58	12	12	2	1	84	12	12	12	12	12	
P	S	00374	-8.279	323.2	0,402	0,402	NS	00375	-	453.6	0,402	0,402	17,6	00376	-	485.9	0,402	0,402	14,62
I	0		2.683	0,321	0,321	9,01	12.17	93	0,321	0,321	9,01	14.04	2	0	2.915	0,321	0,321	9,00	
	0		0	0,402	0,402	-	0	0	0,402	0,402	-	0	0	0	0	0,402	0,402	-	
S	S	00374	0	0	0,402	0,402	-	00375	0	0	0,402	0,402	-	00376	0	0	0,402	0,402	-
I	14.71		638.6	0,402	0,402	4,75	-6.997	618.7	0,402	0,402	4,89	-488	555.3	0	0	0,402	0,402	5,44	
	8		48	12	12	-	8	87	12	12	4,89	4,89	34	12	12	12	12	12	
P	S	00377	15.16	455.1	0,402	0,402	17,5	00378	-	392.2	0,402	0,402	29,3	00379	-	320.0	0,402	0,402	NS
I	0		3.062	0,321	0,321	9,00	16.54	83	0,321	0,321	8,99	18.94	47	0	3.290	0,321	0,321	8,99	
	0		0	0,402	0,402	-	0	0	0,402	0,402	-	0	0	0	0	0,402	0,402	-	
S	S	00377	0	0	0,402	0,402	-	00378	0	0	0,402	0,402	-	00379	0	0	0,402	0,402	-
I	5.531		472.1	0,402	0,402	6,38	11.40	386.8	0,402	0,402	7,77	16.82	309.3	0	0	0,402	0,402	9,70	
	0		59	12	12	-	8	43	12	12	7,77	4	57	12	12	12	12	12	
P	S	00380	-	252.7	0,402	0,402	59,2	00381	-	198.5	0,402	0,402	27,3	00382	4.222	129.7	0,402	0,402	16,03
I	23.66		76	12	12	0	32.45	61	12	12	6	56	12	12	12	12	12	12	
	0		0	0,402	0,402	-	0	0	0,402	0,402	-	0	0	0	0	0,402	0,402	-	



Platee - Verifiche pressoflessione retta allo SLU

Dir	Pos	Nodo	N _{Ed} [N]	M _{Ed} [N-m]	A _s [cm ² /cm]	A _{df} [cm ² /cm]	CS	Nodo	N _{Ed} [N]	M _{Ed} [N-m]	A _s [cm ² /cm]	A _{df} [cm ² /cm]	CS	Nodo	N _{Ed} [N]	M _{Ed} [N-m]	A _s [cm ² /cm]	A _{df} [cm ² /cm]	CS
	I		5 0	3.006	0,321 70	0,321 70	9,00		6 0	1.900	0,321 70	0,321 70	9,03		0	832	0,321 70	0,321 70	9,07
S	S		0	0	0,402 12	0,402 12	-		0	0	0,402 12	0,402 12	-		0	0	0,402 12	0,402 12	-
	I		20.79 8	243.4 32	0,402 12	0,402 12	12,3 2		20.79 5	188.3 27	0,402 12	0,402 12	15,9 2		3.620	111.1 44	0,402 12	0,402 12	27,13
P	S	00383	-4.966	14.76 5	0,402 12	0,402 12	9,58	00384	432	47.38 3	0,402 12	0,402 12	10,8 0	00385	26.45 0	82.36 4	0,402 12	0,402 12	12,43
	I		0	944	0,321 70	0,321 70	9,06		0	956	0,321 70	0,321 70	9,06		0	1.459	0,321 70	0,321 70	9,05
S	S		0	0	0,402 12	0,402 12	-		0	0	0,402 12	0,402 12	-		0	0	0,402 12	0,402 12	-
	I		- 16.96 3	224.0 12	0,402 12	0,402 12	13,5 5		- 35.53 9	237.7 59	0,402 12	0,402 12	12,8 4		- 38.49 2	257.0 54	0,402 12	0,402 12	11,88
P	S	00386	24.17 3	86.21 3	0,402 12	0,402 12	12,6 6	00387	25.77 3	61.30 0	0,402 12	0,402 12	11,3 3	00388	0	0	0,402 12	0,402 12	-
	I		0	2.717	0,321 70	0,321 70	9,01		0	3.204	0,321 70	0,321 70	8,99		27.59 8	10.58 1	0,321 70	0,321 70	8,70
S	S		0	0	0,402 12	0,402 12	-		0	0	0,402 12	0,402 12	-		0	0	0,402 12	0,402 12	-
	I		- 22.98 3	280.2 30	0,402 12	0,402 12	10,8 5		- 23.33 0	310.4 74	0,402 12	0,402 12	9,79		- 25.50 6	343.6 79	0,402 12	0,402 12	8,85
P	S	00389	0	0	0,402 12	0,402 12	-	00390	0	0	0,402 12	0,402 12	-	00391	0	0	0,402 12	0,402 12	-
	I		29.59 0	146.7 48	0,321 70	0,321 70	6,04		31.62 6	361.4 78	0,321 70	0,321 70	4,07		33.62 9	659.1 72	0,321 70	0,321 70	2,80
S	S		0	0	0,402 12	0,402 12	-		0	0	0,402 12	0,402 12	-		0	0	0,402 12	0,402 12	-
	I		- 28.16 9	374.3 59	0,402 12	0,402 12	8,13		- 31.22 7	393.2 23	0,402 12	0,402 12	7,75		- 34.87 7	389.2 46	0,402 12	0,402 12	7,84
P	S	00392	0	0	0,402 12	0,402 12	-	00393	0	0	0,402 12	0,402 12	-	00394	0	0	0,402 12	0,402 12	-
	I		35.25 2	1.022. 021	0,321 70	0,321 70	2,03		35.46 9	1.392. 657	0,321 70	0,321 70	1,59		32.85 4	1.657. 658	0,321 70	0,321 70	1,37
S	S		0	0	0,402 12	0,402 12	-		0	0	0,402 12	0,402 12	-		0	0	0,402 12	0,402 12	-
	I		- 39.03 2	356.3 21	0,402 12	0,402 12	8,57		- 42.91 2	304.5 76	0,402 12	0,402 12	10,0 4		- 45.65 8	271.4 94	0,402 12	0,402 12	11,28
P	S	00395	0	0	0,402 12	0,402 12	-	00396	0	0	0,402 12	0,402 12	-	00397	0	0	0,402 12	0,402 12	-
	I		27.16 8	1.654. 652	0,321 70	0,321 70	1,38		18.80 7	1.265. 292	0,321 70	0,321 70	1,73		7.698	626.4 50	0,321 70	0,321 70	2,93
S	S		0	0	0,402 12	0,402 12	-		0	0	0,402 12	0,402 12	-		0	0	0,402 12	0,402 12	-
	I		- 47.08 2	318.0 77	0,402 12	0,402 12	9,63		- 46.12 3	484.7 34	0,402 12	0,402 12	6,32		- 40.48 8	709.1 31	0,402 12	0,402 12	4,31
P	S	00398	0	0	0,402 12	0,402 12	-	00399	- 14.79 8	380.0 04	0,402 12	0,402 12	33,7 8	00400	- 20.47 4	587.1 76	0,402 12	0,402 12	9,51
	I		-4.699	28.86 3	0,321 70	0,321 70	8,30		0	2.509	0,321 70	0,321 70	9,02		0	2.663	0,321 70	0,321 70	9,01
S	S		0	0	0,402 12	0,402 12	-		0	0	0,402 12	0,402 12	-		0	0	0,402 12	0,402 12	-
	I		- 29.80 1	871.6 15	0,402 12	0,402 12	3,50		- 17.35 1	917.9 77	0,402 12	0,402 12	3,31		-6.849	860.8 82	0,402 12	0,402 12	3,51
P	S	00401	- 22.62 0	639.4 04	0,402 12	0,402 12	8,05	00402	- 22.95 6	595.6 74	0,402 12	0,402 12	9,24	00403	- 22.80 6	505.5 90	0,402 12	0,402 12	13,27
	I		0	2.831	0,321 70	0,321 70	9,01		0	3.011	0,321 70	0,321 70	9,00		0	3.185	0,321 70	0,321 70	9,00
S	S		0	0	0,402 12	0,402 12	-		0	0	0,402 12	0,402 12	-		0	0	0,402 12	0,402 12	-
	I		867	742.0 60	0,402 12	0,402 12	4,07		6.745	602.7 82	0,402 12	0,402 12	5,00		11.65 3	470.7 19	0,402 12	0,402 12	6,39
P	S	00404	- 22.93 2	403.2 92	0,402 12	0,402 12	26,3 0	00405	- 23.72 6	308.8 08	0,402 12	0,402 12	NS	00406	- 25.09 3	231.9 30	0,402 12	0,402 12	40,84
	I		0	3.282	0,321 70	0,321 70	8,99		0	3.155	0,321 70	0,321 70	9,00		0	2.550	0,321 70	0,321 70	9,01



Platee - Verifiche pressoflessione retta allo SLU

Dir	Pos	Nodo	N _{Ed} [N]	M _{Ed} [N-m]	A _s [cm ² /cm]	A _{df} [cm ² /cm]	CS	Nodo	N _{Ed} [N]	M _{Ed} [N-m]	A _s [cm ² /cm]	A _{df} [cm ² /cm]	CS	Nodo	N _{Ed} [N]	M _{Ed} [N-m]	A _s [cm ² /cm]	A _{df} [cm ² /cm]	CS
S	S		0	0	0,402	0,402	-		0	0	0,402	0,402	-		0	0	0,402	0,402	-
	I		15.83 4	358.9 59	0,402 12	0,402 12	8,37		18.88 1	270.3 91	0,402 12	0,402 12	11,1 0		19.12 6	202.9 81	0,402 12	0,402 12	14,78
P	S	00407	- 19.99 1	176.2 31	0,402 12	0,402 12	22,2 9	00408	11.31 9	131.3 00	0,402 12	0,402 12	16,1 4	00409	-1.949	25.30 2	0,402 12	0,402 12	9,94
	I		0	975	0,321 70	0,321 70	9,06		0	1.243	0,321 70	0,321 70	9,05		0	1.194	0,321 70	0,321 70	9,05
S	S		0	0	0,402 12	0,402 12	-		0	0	0,402 12	0,402 12	-		0	0	0,402 12	0,402 12	-
	I		8.509	152.6 14	0,402 12	0,402 12	19,7 2		8.311	115.7 47	0,402 12	0,402 12	26,0 1		- 24.10 5	236.8 99	0,402 12	0,402 12	12,84
P	S	00410	3.160	61.16 5	0,402 12	0,402 12	11,4 2	00411	16.24 9	102.9 23	0,402 12	0,402 12	13,7 8	00412	18.55 7	130.7 45	0,402 12	0,402 12	16,04
	I		0	1.761	0,321 70	0,321 70	9,04		0	1.720	0,321 70	0,321 70	9,04		0	2.393	0,321 70	0,321 70	9,02
S	S		0	0	0,402 12	0,402 12	-		0	0	0,402 12	0,402 12	-		0	0	0,402 12	0,402 12	-
	I		- 25.77 0	247.9 92	0,402 12	0,402 12	12,2 7		31.02 4	280.4 38	0,402 12	0,402 12	10,8 7		- 24.63 6	319.9 88	0,402 12	0,402 12	9,51
P	S	00413	22.61 9	129.5 47	0,402 12	0,402 12	15,9 1	00414	26.43 6	85.01 8	0,402 12	0,402 12	12,5 8	00415	0	0	0,402 12	0,402 12	-
	I		0	2.976	0,321 70	0,321 70	9,00		0	3.216	0,321 70	0,321 70	8,99		29.85 8	23.52 3	0,321 70	0,321 70	8,34
S	S		0	0	0,402 12	0,402 12	-		0	0	0,402 12	0,402 12	-		0	0	0,402 12	0,402 12	-
	I		- 22.82 5	373.4 12	0,402 12	0,402 12	8,14		- 24.50 7	443.2 44	0,402 12	0,402 12	6,86		- 27.26 6	527.2 29	0,402 12	0,402 12	5,77
P	S	00416	0	0	0,402 12	0,402 12	-	00417	0	0	0,402 12	0,402 12	-	00418	0	0	0,402 12	0,402 12	-
	I		33.23 5	219.7 44	0,321 70	0,321 70	5,18		36.80 5	525.9 84	0,321 70	0,321 70	3,25		40.55 5	952.3 36	3,002 53	3,002 53	1,50
S	S		0	0	0,402 12	0,402 12	-		0	0	0,402 12	0,402 12	-		0	0	0,402 12	0,402 12	-
	I		- 30.81 5	617.1 57	0,402 12	0,402 12	4,94		35.43 3	696.5 10	0,402 12	0,402 12	4,38		- 41.36 9	741.9 66	4,423 36	4,423 36	1,32
P	S	00419	0	0	0,402 12	0,402 12	-	00420	0	0	0,402 12	0,402 12	-	00421	0	0	0,402 12	0,402 12	-
	I		43.74 2	1.473. 694	3,002 53	3,002 53	1,61		43.96 5	1.991. 763	3,002 53	3,002 53	1,73		37.82 2	2.294. 562	3,002 53	3,002 53	1,81
S	S		0	0	0,402 12	0,402 12	-		0	0	0,402 12	0,402 12	-		0	0	0,402 12	0,402 12	-
	I		- 48.05 8	734.8 76	4,423 36	4,423 36	1,32		53.25 0	685.7 85	4,423 36	4,423 36	1,31		- 55.44 2	660.7 95	4,423 36	4,423 36	1,31
P	S	00422	0	0	0,402 12	0,402 12	-	00423	0	0	0,402 12	0,402 12	-	00424	0	0	0,402 12	0,402 12	-
	I		26.47 7	2.058. 746	3,002 53	3,002 53	1,75		11.20 0	1.196. 291	3,002 53	3,002 53	1,55		-7.901	229.5 38	3,002 53	3,002 53	1,38
S	S		0	0	0,402 12	0,402 12	-		0	0	0,402 12	0,402 12	-		0	0	0,402 12	0,402 12	-
	I		- 55.88 4	775.4 81	4,423 36	4,423 36	1,33		- 51.83 7	1.052. 267	4,423 36	4,423 36	1,36		- 38.54 9	1.286. 064	4,423 36	4,423 36	1,38
P	S	00425	- 24.27 2	439.5 72	0,402 12	0,402 12	1,28	00426	- 32.14 8	771.1 76	0,402 12	0,402 12	5,82	00427	- 33.77 2	850.4 45	0,402 12	0,402 12	4,99
	I		0	2.322	3,002 53	3,002 53	1,34		0	2.486	0,321 70	0,321 70	9,02		0	2.678	0,321 70	0,321 70	9,01
S	S		0	0	0,402 12	0,402 12	-		0	0	0,402 12	0,402 12	-		0	0	0,402 12	0,402 12	-
	I		- 20.17 0	1.331. 898	4,423 36	4,423 36	1,39		-5.440	1.207. 533	0,402 12	0,402 12	2,50		3.609	992.7 31	0,402 12	0,402 12	3,04
P	S	00428	- 32.45 3	782.6 37	0,402 12	0,402 12	5,69	00429	- 30.15 0	650.2 27	0,402 12	0,402 12	7,83	00430	- 27.71 7	505.0 78	0,402 12	0,402 12	13,33
	I		0	2.884	0,321 70	0,321 70	9,00		0	3.080	0,321 70	0,321 70	9,00		0	3.216	0,321 70	0,321 70	8,99
S	S		0	0	0,402 12	0,402 12	-		0	0	0,402 12	0,402 12	-		0	0	0,402 12	0,402 12	-



REGIONE BASILICATA - PROVINCIA DI MATERA - COMUNE DI FERRANDINA
PROGETTO DEFINITIVO
Parco Eolico "Montagnola"
Relazione preliminare sulle strutture

Platee - Verifiche pressoflessione retta allo SLU

Dir	Pos	Nodo	NEd [N]	MEd [N·m]	As [cm²/cm]	A _{df} [cm²/cm]	CS	Nodo	NEd [N]	MEd [N·m]	As [cm²/cm]	A _{df} [cm²/cm]	CS	Nodo	NEd [N]	MEd [N·m]	As [cm²/cm]	A _{df} [cm²/cm]	CS
	I		9.198	762.4 66	0,402 12	0,402 12	3,95		13.06 1	560.8 82	0,402 12	0,402 12	5,36		15.90 2	403.1 36	0,402 12	0,402 12	7,45
P	S	00431	- 25.20 4	374.4 33	0,402 12	0,402 12	36,4 1	00432	- 21.69 1	269.4 97	0,402 12	0,402 12	92,5 8	00433	14.21 6	192.3 30	0,402 12	0,402 12	25,60
	I		0	3.194	0,321 70	0,321 70	8,99		0	2.883	0,321 70	0,321 70	9,00		0	2.211	0,321 70	0,321 70	9,02
S	S		0	0	0,402 12	0,402 12	-		0	0	0,402 12	0,402 12	-		0	0	0,402 12	0,402 12	-
	I		17.58 8	287.2 20	0,402 12	0,402 12	10,4 5		17.03 7	204.6 37	0,402 12	0,402 12	14,6 7		12.33 1	146.2 46	0,402 12	0,402 12	20,56
P	S	00434	-2.989	141.1 19	0,402 12	0,402 12	17,2 3	00435	1.381	106.5 00	0,402 12	0,402 12	14,1 1	00436	2.532	60.22 7	0,402 12	0,402 12	11,37
	I		0	1.550	0,321 70	0,321 70	9,04		0	1.895	0,321 70	0,321 70	9,03		0	1.938	0,321 70	0,321 70	9,03
S	S		0	0	0,402 12	0,402 12	-		0	0	0,402 12	0,402 12	-		0	0	0,402 12	0,402 12	-
	I		12.59 7	104.7 14	0,402 12	0,402 12	28,7 1		22.78 7	71.76 8	0,402 12	0,402 12	41,7 5		- 21.77 5	251.2 76	0,402 12	0,402 12	12,09
P	S	00437	11.02 8	111.1 59	0,402 12	0,402 12	14,4 1	00438	16.98 2	154.3 58	0,402 12	0,402 12	18,6 7	00439	20.96 3	176.2 77	0,402 12	0,402 12	21,97
	I		0	2.122	0,321 70	0,321 70	9,03		0	2.402	0,321 70	0,321 70	9,02		0	2.851	0,321 70	0,321 70	9,01
S	S		0	0	0,402 12	0,402 12	-		0	0	0,402 12	0,402 12	-		0	0	0,402 12	0,402 12	-
	I		- 24.16 4	285.6 49	0,402 12	0,402 12	10,6 5		- 24.04 2	334.9 33	0,402 12	0,402 12	9,08		- 23.08 8	404.1 42	0,402 12	0,402 12	7,52
P	S	00440	25.19 6	162.1 01	0,402 12	0,402 12	19,6 7	00441	29.49 2	91.59 9	0,402 12	0,402 12	12,9 7	00442	0	0	0,402 12	0,402 12	-
	I		0	3.130	0,321 70	0,321 70	9,00		0	3.191	0,321 70	0,321 70	9,00		33.94 5	62.07 5	0,321 70	0,321 70	7,44
S	S		0	0	0,402 12	0,402 12	-		0	0	0,402 12	0,402 12	-		0	0	0,402 12	0,402 12	-
	I		- 23.78 1	500.2 30	0,402 12	0,402 12	6,08		- 26.07 1	628.3 16	0,402 12	0,402 12	4,84		- 29.52 8	789.4 83	0,402 12	0,402 12	3,86
P	S	00443	0	0	0,402 12	0,402 12	-	00444	0	0	0,402 12	0,402 12	-	00445	0	0	0,402 12	0,402 12	-
	I		38.92 9	333.1 63	0,321 70	0,321 70	4,24		44.82 3	760.0 06	0,321 70	0,321 70	2,53		51.72 9	1.369. 024	3,002 53	3,002 53	1,58
S	S		0	0	0,402 12	0,402 12	-		0	0	0,402 12	0,402 12	-		0	0	0,402 12	0,402 12	-
	I		- 34.45 2	975.4 79	0,402 12	0,402 12	3,13		- 41.53 8	1.160. 472	0,402 12	0,402 12	2,63		- 51.38 6	1.297. 300	4,423 36	4,423 36	1,39
P	S	00446	0	0	0,402 12	0,402 12	-	00447	0	0	0,402 12	0,402 12	-	00448	0	0	0,402 12	0,402 12	-
	I		58.41 7	2.132. 654	3,002 53	3,002 53	1,77		59.02 1	2.876. 379	3,002 53	3,002 53	1,99		43.68 9	3.155. 312	3,002 53	3,002 53	2,09
S	S		0	0	0,402 12	0,402 12	-		0	0	0,402 12	0,402 12	-		0	0	0,402 12	0,402 12	-
	I		- 62.83 9	1.335. 605	4,423 36	4,423 36	1,39		- 69.36 2	1.280. 517	4,423 36	4,423 36	1,39		- 68.47 6	1.265. 924	4,423 36	4,423 36	1,38
P	S	00449	0	0	0,402 12	0,402 12	-	00450	0	0	0,402 12	0,402 12	-	00451	- 39.88 6	500.1 50	0,402 12	0,402 12	1,28
	I		20.49 5	2.263. 017	3,002 53	3,002 53	1,81		- 10.08 9	649.5 60	3,002 53	3,002 53	1,45		0	2.142	3,002 53	3,002 53	1,34
S	S		0	0	0,402 12	0,402 12	-		0	0	0,402 12	0,402 12	-		0	0	0,402 12	0,402 12	-
	I		- 66.91 8	1.531. 333	4,423 36	4,423 36	1,42		- 52.53 9	1.899. 873	4,423 36	4,423 36	1,46		- 22.87 5	1.953. 506	4,423 36	4,423 36	1,47
P	S	00452	- 50.58 4	1.042. 132	0,402 12	0,402 12	3,72	00453	- 49.69 7	1.151. 441	0,402 12	0,402 12	3,25	00454	44.95 1	1.034. 137	0,402 12	0,402 12	3,76
	I		0	2.298	0,321 70	0,321 70	9,02		0	2.495	0,321 70	0,321 70	9,02		0	2.716	0,321 70	0,321 70	9,01
S	S		0	0	0,402 12	0,402 12	-		0	0	0,402 12	0,402 12	-		0	0	0,402 12	0,402 12	-
	I		-576	1.704. 456	0,402 12	0,402 12	1,77		9.374	1.316. 550	0,402 12	0,402 12	2,29		13.74 8	936.2 58	0,402 12	0,402 12	3,21



Platee - Verifiche pressoflessione retta allo SLU

Dir	Pos	Nodo	N _{Ed} [N]	M _{Ed} [N-m]	A _s [cm ² /cm]	A _d [cm ² /cm]	CS	Nodo	N _{Ed} [N]	M _{Ed} [N-m]	A _s [cm ² /cm]	A _d [cm ² /cm]	CS	Nodo	N _{Ed} [N]	M _{Ed} [N-m]	A _s [cm ² /cm]	A _d [cm ² /cm]	CS
P	S	00455	-39.5030	832.683	0,40212	0,40212	5,17	00456	-34.3360	625.569	0,40212	0,40212	8,43	00457	-29.4380	447.360	0,40212	0,40212	18,53
	I		0	2.938	0,32170	0,32170	9,00		0	3.119	0,32170	0,32170	9,00		0	3.196	0,32170	0,32170	8,99
S	S		0	0	0,40212	0,40212	-		0	0	0,40212	0,40212	-	0	0	0,40212	0,40212	-	
	I		16.048	634.451	0,40212	0,40212	4,73		17.454	420.746	0,40212	0,40212	7,13		18.108	277.790	0,40212	0,40212	10,80
P	S	00458	-24.1450	308.452	0,40212	0,40212	NS	00459	-17.3210	208.173	0,40212	0,40212	30,09	00460	-9.063	141.483	0,40212	0,40212	17,31
	I		0	3.092	0,32170	0,32170	9,00		0	2.764	0,32170	0,32170	9,01		0	2.295	0,32170	0,32170	9,02
S	S		0	0	0,40212	0,40212	-		0	0	0,40212	0,40212	-	0	0	0,40212	0,40212	-	
	I		17.607	184.245	0,40212	0,40212	16,29		15.745	123.097	0,40212	0,40212	24,40		15.481	82.606	0,40212	0,40212	36,36
P	S	00461	-3.2160	101.178	0,40212	0,40212	13,75	00462	714	80.468	0,40212	0,40212	12,43	00463	1.384	56.332	0,40212	0,40212	11,19
	I		0	2.187	0,32170	0,32170	9,03		0	1.900	0,32170	0,32170	9,03		0	1.800	0,32170	0,32170	9,04
S	S		0	0	0,40212	0,40212	-		0	0	0,40212	0,40212	-	0	0	0,40212	0,40212	-	
	I		21.035	54.903	0,40212	0,40212	54,61		31.446	34.757	0,40212	0,40212	85,98		-18.282	239.927	0,40212	0,40212	12,65
P	S	00464	8.3230	104.565	0,40212	0,40212	13,94	00465	15.772	156.652	0,40212	0,40212	18,98	00466	20.874	195.626	0,40212	0,40212	26,08
	I		0	2.182	0,32170	0,32170	9,03		0	2.508	0,32170	0,32170	9,02		0	2.853	0,32170	0,32170	9,01
S	S		0	0	0,40212	0,40212	-		0	0	0,40212	0,40212	-	0	0	0,40212	0,40212	-	
	I		-18.307	275.888	0,40212	0,40212	11,00		-20.906	326.359	0,40212	0,40212	9,31		-22.598	400.306	0,40212	0,40212	7,59
P	S	00467	24.8660	207.377	0,40212	0,40212	29,38	00468	29.059	174.095	0,40212	0,40212	21,53	00469	33.854	71.547	0,40212	0,40212	11,81
	I		0	3.114	0,32170	0,32170	9,00		0	3.203	0,32170	0,32170	8,99		0	3.134	0,32170	0,32170	9,00
S	S		0	0	0,40212	0,40212	-		0	0	0,40212	0,40212	-	0	0	0,40212	0,40212	-	
	I		-23.477	506.891	0,40212	0,40212	6,00		-24.983	656.814	0,40212	0,40212	4,63		-27.712	861.786	0,40212	0,40212	3,53
P	S	00470	0	0	0,40212	0,40212	-	00471	0	0	0,40212	0,40212	-	00472	0	0	0,40212	0,40212	-
	I		39.635	134.392	0,32170	0,32170	6,19		47.031	493.333	0,32170	0,32170	3,37		56.935	1.075.167	3,00253	3,00253	1,52
S	S		0	0	0,40212	0,40212	-		0	0	0,40212	0,40212	-	0	0	0,40212	0,40212	-	
	I		-32.085	1.132.321	0,40212	0,40212	2,69		-39.013	1.469.854	0,40212	0,40212	2,08		-50.099	1.844.336	4,42336	4,42336	1,46
P	S	00473	0	0	0,40212	0,40212	-	00474	0	0	0,40212	0,40212	-	00475	0	0	0,40212	0,40212	-
	I		70.302	1.949.988	3,00253	3,00253	1,72		86.204	3.106.313	3,00253	3,00253	2,06		89.522	4.254.018	3,00253	3,00253	2,58
S	S		0	0	0,40212	0,40212	-		0	0	0,40212	0,40212	-	0	0	0,40212	0,40212	-	
	I		-67.450	2.165.117	4,42336	4,42336	1,50		-90.080	2.301.271	4,42336	4,42336	1,53		-96.603	2.210.913	4,42336	4,42336	1,51
P	S	00476	0	0	0,40212	0,40212	-	00477	0	0	0,40212	0,40212	-	00478	-	575.707	0,40212	0,40212	-
	I		46.877	4.172.294	3,00253	3,00253	2,55		-7.076	1.652.063	3,00253	3,00253	1,66		70.133	1.987	3,00253	3,00253	1,34
S	S		0	0	0,40212	0,40212	-		0	0	0,40212	0,40212	-	0	0	0,40212	0,40212	-	
	I		-86.003	2.242.709	4,42336	4,42336	1,52		-76.706	2.799.945	4,42336	4,42336	1,60		-24.978	2.935.601	4,42336	4,42336	1,62
P	S	00479	-83.300	1.477.093	0,40212	0,40212	1,16	00480	-73.878	1.598.550	0,40212	0,40212	2,15	00481	-61.720	1.374.283	0,40212	0,40212	2,58



Platee - Verifiche pressoflessione retta allo SLU

Dir	Pos	Nodo	NEd	MEd	As	A _{df}	CS	Nodo	NEd	MEd	As	A _{df}	CS	Nodo	NEd	MEd	As	A _{df}	CS
			[N]	[N-m]	[cm ² /cm]	[cm ² /cm]			[N]	[N-m]	[cm ² /cm]	[cm ² /cm]			[N]	[N-m]	[cm ² /cm]	[cm ² /cm]	
	I		0	2.120	3,002 53	3,002 53	1,34		0	2.308	0,321 70	0,321 70	9,02		0	2.534	0,321 70	0,321 70	9,01
S	S		0	0	0,402 12	0,402 12	-		0	0	0,402 12	0,402 12	-		0	0	0,402 12	0,402 12	-
	I		13.27 9	2.431. 310	4,423 36	4,423 36	1,53		21.00 3	1.703. 904	0,402 12	0,402 12	1,76		21.38 5	1.072. 211	0,402 12	0,402 12	2,80
P	S	00482	- 51.11 2	1.055. 888	0,402 12	0,402 12	3,66	00483	- 42.47 6	760.1 76	0,402 12	0,402 12	5,98	00484	- 35.31 1	521.9 96	0,402 12	0,402 12	12,35
	I		0	2.775	0,321 70	0,321 70	9,01		0	2.998	0,321 70	0,321 70	9,00		0	3.158	0,321 70	0,321 70	9,00
S	S		0	0	0,402 12	0,402 12	-		0	0	0,402 12	0,402 12	-		0	0	0,402 12	0,402 12	-
	I		20.75 7	638.1 20	0,402 12	0,402 12	4,70		20.22 7	372.3 50	0,402 12	0,402 12	8,05		19.76 7	216.0 21	0,402 12	0,402 12	13,89
P	S	00485	- 28.84 2	343.8 61	0,402 12	0,402 12	61,3 4	00486	- 22.27 1	218.4 46	0,402 12	0,402 12	33,9 8	00487	- 15.38 1	136.0 90	0,402 12	0,402 12	16,77
	I		0	3.199	0,321 70	0,321 70	8,99		0	3.076	0,321 70	0,321 70	9,00		0	2.793	0,321 70	0,321 70	9,01
S	S		0	0	0,402 12	0,402 12	-		0	0	0,402 12	0,402 12	-		0	0	0,402 12	0,402 12	-
	I		19.07 5	124.8 94	0,402 12	0,402 12	24,0 2		18.07 7	71.66 7	0,402 12	0,402 12	41,8 8		17.86 4	40.07 1	0,402 12	0,402 12	74,90
P	S	00488	-9.336 2	87.20 5	0,402 12	0,402 12	12,8 7	00489	-4.683 3	63.20 3	0,402 12	0,402 12	11,5 5	00490	-990 4	54.64 4	0,402 12	0,402 12	11,13
	I		0	2.476	0,321 70	0,321 70	9,02		0	2.212	0,321 70	0,321 70	9,02		0	1.559	0,321 70	0,321 70	9,04
S	S		0	0	0,402 12	0,402 12	-		0	0	0,402 12	0,402 12	-		34.83 0	3.112	0,402 12	0,402 12	NS
	I		20.54 5	20.41 7	0,402 12	0,402 12	NS		26.87 1	6.929	0,402 12	0,402 12	NS		0	3.515	0,402 12	0,402 12	NS
P	S	00491	757 0	35.00 1	0,402 12	0,402 12	10,2 9	00492	5.676 0	85.24 6	0,402 12	0,402 12	12,6 9	00493	15.90 5	140.3 72	0,402 12	0,402 12	17,03
	I		0	1.318	0,321 70	0,321 70	9,05		0	2.034	0,321 70	0,321 70	9,03		0	2.471	0,321 70	0,321 70	9,02
S	S		0	0	0,402 12	0,402 12	-		0	0	0,402 12	0,402 12	-		0	0	0,402 12	0,402 12	-
	I		- 17.50 2	221.3 69	0,402 12	0,402 12	13,7 1		- 10.99 2	247.9 93	0,402 12	0,402 12	12,2 1		- 16.38 2	299.4 53	0,402 12	0,402 12	10,13
P	S	00494	21.87 6	188.3 15	0,402 12	0,402 12	24,3 5	00495	25.35 8	217.1 77	0,402 12	0,402 12	32,8 9	00496	28.77 2	211.6 27	0,402 12	0,402 12	30,76
	I		0	2.885	0,321 70	0,321 70	9,00		0	3.161	0,321 70	0,321 70	9,00		0	3.262	0,321 70	0,321 70	8,99
S	S		0	0	0,402 12	0,402 12	-		0	0	0,402 12	0,402 12	-		0	0	0,402 12	0,402 12	-
	I		- 21.45 9	368.3 06	0,402 12	0,402 12	8,25		- 23.13 8	469.6 96	0,402 12	0,402 12	6,47		- 24.05 6	616.6 11	0,402 12	0,402 12	4,93
P	S	00497	33.07 7	151.6 74	0,402 12	0,402 12	18,2 3	00498	38.74 7	9.708	0,402 12	0,402 12	9,27	00499	0 0	0 0	0,402 12	0,402 12	-
	I		0	3.208	0,321 70	0,321 70	8,99		0	3.041	0,321 70	0,321 70	9,00		46.47 9	255.2 28	0,321 70	0,321 70	4,83
S	S		0	0	0,402 12	0,402 12	-		0	0	0,402 12	0,402 12	-		0	0	0,402 12	0,402 12	-
	I		- 25.68 2	825.8 95	0,402 12	0,402 12	3,68		- 28.76 5	1.119. 828	0,402 12	0,402 12	2,72		- 34.19 5	1.527. 799	0,402 12	0,402 12	2,00
P	S	00500	0	0	0,402 12	0,402 12	-	00501	0	0	0,402 12	0,402 12	-	00502	0	0	0,402 12	0,402 12	-
	I		57.61 8	709.2 16	0,321 70	0,321 70	2,64		74.68 3	1.472. 982	3,002 53	3,002 53	1,60		102.1 87	2.756. 006	3,002 53	3,002 53	1,94
S	S		0	0	0,402 12	0,402 12	-		0	0	0,402 12	0,402 12	-		0	0	0,402 12	0,402 12	-
	I		- 43.74 7	2.085. 935	0,402 12	0,402 12	1,47		- 61.13 2	2.807. 387	4,423 36	4,423 36	1,60		- 93.79 4	3.545. 332	4,423 36	4,423 36	1,74
P	S	00503	0	0	0,402 12	0,402 12	-	00504	0	0	0,402 12	0,402 12	-	00505	0	0	0,402 12	0,402 12	-
	I		145.5 88	4.637. 634	3,002 53	3,002 53	2,80		168.1 19	6.667. 018	3,002 53	3,002 53	5,45		17.97 5	4.357. 294	3,002 53	3,002 53	2,66
S	S		0	0	0,402 12	0,402 12	-		0	0	0,402 12	0,402 12	-		0	0	0,402 12	0,402 12	-
	I		- 149.1	3.927. 566	4,423 36	4,423 36	1,82		- 151.0	3.714. 591	4,423 36	4,423 36	1,78		- 110.2	4.143. 161	4,423 36	4,423 36	1,86



Platee - Verifiche pressoflessione retta allo SLU

Dir	Pos	Nodo	N _{Ed} [N]	M _{Ed} [N-m]	A _s [cm ² /cm]	A _d [cm ² /cm]	CS	Nodo	N _{Ed} [N]	M _{Ed} [N-m]	A _s [cm ² /cm]	A _d [cm ² /cm]	CS	Nodo	N _{Ed} [N]	M _{Ed} [N-m]	A _s [cm ² /cm]	A _d [cm ² /cm]	CS
			90						60						87				
P	S	00506	- 143.6 20	704.3 17	0,402 12	0,402 12	1,26	00507	- 150.5 37	2.213. 684	0,402 12	0,402 12	1,09	00508	- 111.8 17	2.305. 668	0,402 12	0,402 12	1,41
	I		0	1.871	3,002 53	3,002 53	1,34		0	1.967	3,002 53	3,002 53	1,34		0	2.135	0,321 70	0,321 70	9,03
S	S		0	0	0,402 12	0,402 12	-		0	0	0,402 12	0,402 12	-		0	0	0,402 12	0,402 12	-
	I		- 25.53 0	4.667. 492	4,423 36	4,423 36	1,97		53.75 0	3.511. 114	4,423 36	4,423 36	1,71		43.08 9	2.058. 574	0,402 12	0,402 12	1,45
P	S	00509	- 83.39 0	1.823. 412	0,402 12	0,402 12	1,84	00510	- 64.24 5	1.307. 531	0,402 12	0,402 12	2,76	00511	- 51.02 1	895.0 53	0,402 12	0,402 12	4,64
	I		0	2.355	0,321 70	0,321 70	9,02		0	2.604	0,321 70	0,321 70	9,01		0	2.857	0,321 70	0,321 70	9,01
S	S		0	0	0,402 12	0,402 12	-		0	0	0,402 12	0,402 12	-		0	0	0,402 12	0,402 12	-
	I		32.54 8	1.013. 768	0,402 12	0,402 12	2,95		26.65 2	462.0 89	0,402 12	0,402 12	6,48		23.45 0	194.8 89	0,402 12	0,402 12	15,37
P	S	00512	- 41.40 7	588.2 07	0,402 12	0,402 12	9,54	00513	- 33.88 3	369.1 40	0,402 12	0,402 12	39,2 7	00514	- 27.44 9	219.1 46	0,402 12	0,402 12	34,34
	I		0	3.080	0,321 70	0,321 70	9,00		0	3.229	0,321 70	0,321 70	8,99		0	3.259	0,321 70	0,321 70	8,99
S	S		0	0	0,402 12	0,402 12	-		0	0	0,402 12	0,402 12	-		19.85 9	20.55 3	0,402 12	0,402 12	NS
	I		21.67 4	65.84 4	0,402 12	0,402 12	45,5 3		20.58 3	5.501	0,402 12	0,402 12	NS		0	2.876	0,402 12	0,402 12	NS
P	S	00515	- 21.59 6	122.3 19	0,402 12	0,402 12	15,5 0	00516	- 16.29 2	65.61 7	0,402 12	0,402 12	11,7 1	00517	- 11.38 5	38.33 7	0,402 12	0,402 12	10,47
	I		0	3.132	0,321 70	0,321 70	9,00		0	2.837	0,321 70	0,321 70	9,01		0	2.434	0,321 70	0,321 70	9,02
S	S		19.76 8	30.20 5	0,402 12	0,402 12	99,3 1		21.06 5	32.86 0	0,402 12	0,402 12	91,2 4		24.66 6	32.98 4	0,402 12	0,402 12	90,80
	I		0	3.009	0,402 12	0,402 12	NS		0	3.130	0,402 12	0,402 12	NS		0	3.219	0,402 12	0,402 12	NS
P	S	00518	- 7.101	33.38 5	0,402 12	0,402 12	10,2 6	00519	- 99	38.87 2	0,402 12	0,402 12	10,4 5	00520	936	55.76 6	0,402 12	0,402 12	11,17
	I		0	2.003	0,321 70	0,321 70	9,03		0	896	0,321 70	0,321 70	9,06		0	1.509	0,321 70	0,321 70	9,05
S	S		32.01 9	35.22 3	0,402 12	0,402 12	84,8 3		37.79 1	29.41 3	0,402 12	0,402 12	NS		0	0	0,402 12	0,402 12	-
	I		0	3.257	0,402 12	0,402 12	NS		0	3.038	0,402 12	0,402 12	NS		-68	219.3 58	0,402 12	0,402 12	13,76
P	S	00521	19.52 6	110.5 21	0,402 12	0,402 12	14,3 2	00522	25.32 3	159.8 85	0,402 12	0,402 12	19,3 6	00523	26.60 7	196.4 26	0,402 12	0,402 12	26,23
	I		0	2.128	0,321 70	0,321 70	9,03		0	2.821	0,321 70	0,321 70	9,01		0	3.221	0,321 70	0,321 70	8,99
S	S		0	0	0,402 12	0,402 12	-		0	0	0,402 12	0,402 12	-		0	0	0,402 12	0,402 12	-
	I		- 9.233	260.8 27	0,402 12	0,402 12	11,6 1		- 21.02 1	318.0 64	0,402 12	0,402 12	9,55		- 23.01 2	403.2 46	0,402 12	0,402 12	7,54
P	S	00524	28.47 9	206.6 55	0,402 12	0,402 12	29,1 1	00525	31.65 2	173.5 94	0,402 12	0,402 12	21,4 2	00526	36.38 5	75.15 5	0,402 12	0,402 12	11,99
	I		0	3.351	0,321 70	0,321 70	8,99		0	3.309	0,321 70	0,321 70	8,99		0	3.149	0,321 70	0,321 70	9,00
S	S		0	0	0,402 12	0,402 12	-		0	0	0,402 12	0,402 12	-		0	0	0,402 12	0,402 12	-
	I		- 23.19 6	528.4 69	0,402 12	0,402 12	5,75		- 23.61 3	710.0 18	0,402 12	0,402 12	4,28		- 25.04 6	971.0 04	0,402 12	0,402 12	3,13
P	S	00527	0	0	0,402 12	0,402 12	-	00528	0	0	0,402 12	0,402 12	-	00529	0	0	0,402 12	0,402 12	-
	I		43.14 2	119.3 54	0,321 70	0,321 70	6,40		53.08 6	456.7 53	0,321 70	0,321 70	3,53		68.96 1	1.018. 244	3,002 53	3,002 53	1,51
S	S		0	0	0,402 12	0,402 12	-		0	0	0,402 12	0,402 12	-		0	0	0,402 12	0,402 12	-
	I		- 28.14 0	1.345. 811	0,402 12	0,402 12	2,26		- 34.08 7	1.888. 562	0,402 12	0,402 12	1,62		- 45.69 7	2.692. 763	4,423 36	4,423 36	1,58
P	S	00530	0	0	0,402 12	0,402 12	-	00531	0	0	4,423 36	4,423 36	-	00532	0	0	4,423 36	4,423 36	-
	I		97.37	1.957.	3,002	3,002	1,71		156.1	3.752.	3,002	3,002	3,09		292.1	7.544.	3,002	3,002	2,15



REGIONE BASILICATA - PROVINCIA DI MATERA - COMUNE DI FERRANDINA
PROGETTO DEFINITIVO
Parco Eolico "Montagnola"
Relazione preliminare sulle strutture

Platee - Verifiche pressoflessione retta allo SLU

Dir	Pos	Nodo	N _{Ed} [N]	M _{Ed} [N-m]	A _s [cm ² /cm]	A _d [cm ² /cm]	CS	Nodo	N _{Ed} [N]	M _{Ed} [N-m]	A _s [cm ² /cm]	A _d [cm ² /cm]	CS	Nodo	N _{Ed} [N]	M _{Ed} [N-m]	A _s [cm ² /cm]	A _d [cm ² /cm]	CS
	I		- 21.40 7	751.1 01	0,402 12	0,402 12	4,05		- 22.15 0	1.033. 188	0,402 12	0,402 12	2,94		- 24.12 0	1.440. 786	0,402 12	0,402 12	2,11
P	S	00557	0	0	0,402 12	0,402 12	-	00558	0	0	0,402 12	0,402 12	-	00559	0	0	0,402 12	0,402 12	-
	I		55.44 2	798.5 07	0,321 70	0,321 70	2,43		72.16 6	1.521. 956	3,002 53	3,002 53	1,62		104.1 28	2.765. 108	3,002 53	3,002 53	1,94
S	S		0	0	0,402 12	0,402 12	-		0	0	0,402 12	0,402 12	-		0	0	0,402 12	0,402 12	-
	I		- 28.19 2	2.043. 197	0,402 12	0,402 12	1,49		- 36.45 4	2.966. 852	4,423 36	4,423 36	1,62		- 53.98 0	4.506. 480	4,423 36	4,423 36	1,94
P	S	00560	0	0	4,423 36	4,423 36	-	00561	0	0	4,423 36	4,423 36	-	00562	0	0	4,423 36	4,423 36	-
	I		183.9 27	5.199. 496	3,002 53	3,002 53	2,65		2.162. 292	14.36 1.369	3,002 53	3,002 53	1,30		- 3.036. 107	10.08 1.060	3,002 53	3,002 53	2,03
S	S		0	0	4,423 36	4,423 36	-		0	0	4,423 36	4,423 36	-		0	0	4,423 36	4,423 36	-
	I		- 102.4 44	8.642. 162	4,423 36	4,423 36	3,82		- 1.915. 569	16.95 3.028	4,423 36	4,423 36	2,05		1.218. 131	21.09 9.392	4,423 36	4,423 36	1,50
P	S	00563	- 343.7 48	10.84 4.901	4,423 36	4,423 36	4,77	00564	- 163.0 50	4.485. 312	4,423 36	4,423 36	48,5 0	00565	- 101.8 69	2.739. 438	4,423 36	4,423 36	1,52
	I		0	1.764	3,002 53	3,002 53	5,41		0	1.890	3,002 53	3,002 53	5,41		0	2.064	0,321 70	0,321 70	1,19
S	S		0	0	4,423 36	4,423 36	-		48.96 6	1.600. 682	4,423 36	4,423 36	20,5 3		36.10 0	1.384. 624	4,423 36	4,423 36	1,39
	I		132.4 13	1.756. 232	4,423 36	4,423 36	18,6 6		0	1.787	4,423 36	4,423 36	NS		0	1.888	0,402 12	0,402 12	1,24
P	S	00566	- 72.66 0	1.713. 836	4,423 36	4,423 36	1,38	00567	- 56.29 6	1.072. 880	0,402 12	0,402 12	3,58	00568	- 45.72 7	650.5 23	0,402 12	0,402 12	7,86
	I		0	2.292	0,321 70	0,321 70	1,19		0	2.555	0,321 70	0,321 70	9,01		0	2.830	0,321 70	0,321 70	9,01
S	S		27.61 3	1.070. 017	4,423 36	4,423 36	1,35		23.22 6	830.6 28	0,402 12	0,402 12	3,61		21.10 6	638.1 89	0,402 12	0,402 12	4,70
	I		0	2.012	0,402 12	0,402 12	1,24		0	2.157	0,402 12	0,402 12	NS		0	2.313	0,402 12	0,402 12	NS
P	S	00569	- 38.26 2	368.7 38	0,402 12	0,402 12	39,5 6	00570	- 32.76 9	183.3 06	0,402 12	0,402 12	23,7 6	00571	- 28.84 2	66.85 4	0,402 12	0,402 12	11,83
	I		0	3.090	0,321 70	0,321 70	9,00		0	3.301	0,321 70	0,321 70	8,99		0	3.425	0,321 70	0,321 70	8,99
S	S		20.20 6	484.8 93	0,402 12	0,402 12	6,19		20.07 6	365.9 45	0,402 12	0,402 12	8,20		20.60 3	275.5 36	0,402 12	0,402 12	10,88
	I		0	2.466	0,402 12	0,402 12	NS		0	2.589	0,402 12	0,402 12	NS		0	2.638	0,402 12	0,402 12	NS
P	S	00572	- 26.56 4	500	0,402 12	0,402 12	9,19	00573	0	0	0,402 12	0,402 12	-	00574	0	0	0,402 12	0,402 12	-
	I		0	3.412	0,321 70	0,321 70	8,99		- 26.47 3	29.81 4	0,321 70	0,321 70	8,34		- 30.24 9	35.09 6	0,321 70	0,321 70	8,22
S	S		21.83 8	208.3 72	0,402 12	0,402 12	14,3 9		23.79 0	159.8 65	0,402 12	0,402 12	18,7 4		26.87 4	125.6 19	0,402 12	0,402 12	23,82
	I		0	2.542	0,402 12	0,402 12	NS		0	2.171	0,402 12	0,402 12	NS		0	1.335	0,402 12	0,402 12	NS
P	S	00575	0	187	0,402 12	0,402 12	9,10	00576	6.173	588	0,402 12	0,402 12	9,09	00577	10.48 3	21.78 2	0,402 12	0,402 12	9,77
	I		- 41.44 4	23.70 0	0,321 70	0,321 70	8,55		0	723	0,321 70	0,321 70	9,07		0	134	0,321 70	0,321 70	9,09
S	S		39.56 1	103.7 10	0,402 12	0,402 12	28,7 4		20.64 6	93.97 6	0,402 12	0,402 12	31,9 1		0	0	0,402 12	0,402 12	-
	I		0	309	0,402 12	0,402 12	NS		0	0	0,402 12	0,402 12	-		- 39.85 9	171.0 00	0,402 12	0,402 12	17,87
P	S	00578	37.33 3	69.13 6	0,402 12	0,402 12	11,6 7	00579	25.46 3	102.3 74	0,402 12	0,402 12	13,7 0	00580	24.51 4	118.1 70	0,402 12	0,402 12	14,90
	I		0	1.889	0,321 70	0,321 70	9,03		0	2.981	0,321 70	0,321 70	9,00		0	3.354	0,321 70	0,321 70	8,99
S	S		0	0	0,402 12	0,402 12	-		0	0	0,402 12	0,402 12	-		0	0	0,402 12	0,402 12	-



REGIONE BASILICATA - PROVINCIA DI MATERA - COMUNE DI FERRANDINA
PROGETTO DEFINITIVO
Parco Eolico "Montagnola"
Relazione preliminare sulle strutture

Platee - Verifiche pressoflessione retta allo SLU

Dir	Pos	Nodo	N _{Ed} [N]	M _{Ed} [N-m]	A _s [cm ² /cm]	A _d [cm ² /cm]	CS	Nodo	N _{Ed} [N]	M _{Ed} [N-m]	A _s [cm ² /cm]	A _d [cm ² /cm]	CS	Nodo	N _{Ed} [N]	M _{Ed} [N-m]	A _s [cm ² /cm]	A _d [cm ² /cm]	CS
	I		- 41.86 5	203.6 63	0,402 12	0,402 12	15,0 2		- 24.05 2	244.5 92	0,402 12	0,402 12	12,4 3		- 21.23 4	306.2 05	0,402 12	0,402 12	9,92
P	S	00581	25.78 3	103.0 79	0,402 12	0,402 12	13,7 4	00582	28.48 8	39.12 5	0,402 12	0,402 12	10,3 5	00583	0	0	0,402 12	0,402 12	-
	I		0	3.436	0,321 70	0,321 70	8,99		0	3.351	0,321 70	0,321 70	8,99		32.21 7	96.73 7	0,321 70	0,321 70	6,79
S	S		0	0	0,402 12	0,402 12	-		0	0	0,402 12	0,402 12	-		0	0	0,402 12	0,402 12	-
	I		- 19.34 2	394.5 37	0,402 12	0,402 12	7,70		- 18.04 3	519.8 66	0,402 12	0,402 12	5,84		- 17.04 9	694.8 82	0,402 12	0,402 12	4,37
P	S	00584	0	0	0,402 12	0,402 12	-	00585	0	0	0,402 12	0,402 12	-	00586	0	0	0,402 12	0,402 12	-
	I		36.79 0	336.1 85	0,321 70	0,321 70	4,22		42.06 6	726.7 86	0,321 70	0,321 70	2,61		47.45 0	1.347. 449	3,002 53	3,002 53	1,58
S	S		0	0	0,402 12	0,402 12	-		0	0	0,402 12	0,402 12	-		0	0	0,402 12	0,402 12	-
	I		- 16.08 4	936.6 45	0,402 12	0,402 12	3,24		- 14.87 2	1.269. 221	0,402 12	0,402 12	2,39		- 13.04 8	1.732. 669	4,423 36	4,423 36	1,44
P	S	00587	0	0	0,402 12	0,402 12	-	00588	0	0	4,423 36	4,423 36	-	00589	0	0	4,423 36	4,423 36	-
	I		50.22 8	2.357. 434	3,002 53	3,002 53	1,83		39.55 7	4.073. 467	3,002 53	3,002 53	2,99		- 19.60 4	8.965. 535	3,002 53	3,002 53	1,96
S	S		0	0	0,402 12	0,402 12	-		0	0	4,423 36	4,423 36	-		0	0	4,423 36	4,423 36	-
	I		- 10.35 8	2.412. 279	4,423 36	4,423 36	1,53		- 10.26 5	3.536. 145	4,423 36	4,423 36	9,31		- 49.10 8	4.544. 540	4,423 36	4,423 36	7,25
P	S	00590	0	0	4,423 36	4,423 36	-	00591	1.540. 560	20.85 3.500	4,423 36	4,423 36	1,67	00592	53.95 6	5.993. 392	4,423 36	4,423 36	29,79
	I		- 1.380. 631	11.83 9.486	3,002 53	3,002 53	1,71		0	1.626	3,002 53	3,002 53	5,41		0	1.825	3,002 53	3,002 53	5,41
S	S		3.094. 558	14.21 5.614	4,423 36	4,423 36	2,11		- 1.771. 010	21.80 4.566	4,423 36	4,423 36	1,59		59.12 6	8.917. 484	4,423 36	4,423 36	3,68
	I		0	1.499	4,423 36	4,423 36	NS		0	1.424	4,423 36	4,423 36	NS		0	1.714	4,423 36	4,423 36	NS
P	S	00593	- 26.37 9	3.125. 085	4,423 36	4,423 36	14,1 3	00594	- 42.46 2	1.855. 189	4,423 36	4,423 36	1,39	00595	- 42.49 7	1.120. 540	0,402 12	0,402 12	3,36
	I		0	1.969	3,002 53	3,002 53	5,41		0	2.173	0,321 70	0,321 70	1,19		0	2.421	0,321 70	0,321 70	9,02
S	S		17.08 4	3.898. 056	4,423 36	4,423 36	8,44		14.11 7	2.485. 262	4,423 36	4,423 36	1,54		15.01 5	1.696. 495	0,402 12	0,402 12	1,77
	I		0	1.828	4,423 36	4,423 36	NS		0	1.943	0,402 12	0,402 12	1,24		0	2.081	0,402 12	0,402 12	NS
P	S	00596	- 38.84 1	659.3 28	0,402 12	0,402 12	7,65	00597	- 34.69 9	355.7 10	0,402 12	0,402 12	48,6 0	00598	- 30.97 9	157.4 47	0,402 12	0,402 12	19,41
	I		0	2.694	0,321 70	0,321 70	9,01		0	2.965	0,321 70	0,321 70	9,00		0	3.206	0,321 70	0,321 70	8,99
S	S		15.99 8	1.188. 108	0,402 12	0,402 12	2,53		16.82 5	848.3 42	0,402 12	0,402 12	3,54		17.67 1	612.5 75	0,402 12	0,402 12	4,90
	I		0	2.234	0,402 12	0,402 12	NS		0	2.392	0,402 12	0,402 12	NS		0	2.534	0,402 12	0,402 12	NS
P	S	00599	- 28.04 4	33.69 7	0,402 12	0,402 12	10,3 5	00600	0	0	0,402 12	0,402 12	-	00601	0	0	0,402 12	0,402 12	-
	I		0	3.380	0,321 70	0,321 70	8,99		- 26.23 2	36.20 8	0,321 70	0,321 70	8,18		- 26.08 4	67.32 1	0,321 70	0,321 70	7,49
S	S		18.72 5	445.8 73	0,402 12	0,402 12	6,73		20.11 9	327.5 28	0,402 12	0,402 12	9,16		21.78 7	244.0 80	0,402 12	0,402 12	12,28
	I		0	2.627	0,402 12	0,402 12	NS		0	2.614	0,402 12	0,402 12	NS		0	2.399	0,402 12	0,402 12	NS
P	S	00602	0	0	0,402 12	0,402 12	-	00603	0	0	0,402 12	0,402 12	-	00604	0	0	0,402 12	0,402 12	-
	I		- 28.70 6	71.35 0	0,321 70	0,321 70	7,41		- 29.03 8	57.89 9	0,321 70	0,321 70	7,69		-4.510	26.89 1	0,321 70	0,321 70	8,35
S	S		23.05 5	186.2 95	0,402 12	0,402 12	16,0 8		27.64 3	145.7 39	0,402 12	0,402 12	20,5 3		-8.200	124.4 23	0,402 12	0,402 12	24,32



REGIONE BASILICATA - PROVINCIA DI MATERA - COMUNE DI FERRANDINA
PROGETTO DEFINITIVO
Parco Eolico "Montagnola"
Relazione preliminare sulle strutture

Platee - Verifiche pressoflessione retta allo SLU

Dir	Pos	Nodo	NEd	MEd	As	A _{df}	CS	Nodo	NEd	MEd	As	A _{df}	CS	Nodo	NEd	MEd	As	A _{df}	CS
			[N]	[N-m]	[cm ² /cm]	[cm ² /cm]			[N]	[N-m]	[cm ² /cm]	[cm ² /cm]			[N]	[N-m]	[cm ² /cm]	[cm ² /cm]	
	I		0	1.786	0,402 12	0,402 12	NS		0	473	0,402 12	0,402 12	NS		0	87	0,402 12	0,402 12	NS
P	S	00605	0	0	0,402 12	0,402 12	-	00606	17.59 5	20.37 1	0,402 12	0,402 12	9,69	00607	15.64 5	48.09 4	0,402 12	0,402 12	10,77
	I		4.606	14.72 6	0,321 70	0,321 70	8,65		0	1.551	0,321 70	0,321 70	9,04		0	2.474	0,321 70	0,321 70	9,02
S	S		0	0	0,402 12	0,402 12	-		0	0	0,402 12	0,402 12	-		0	0	0,402 12	0,402 12	-
	I		- 38.46 7	150.0 22	0,402 12	0,402 12	20,3 6		- 42.72 3	154.0 58	0,402 12	0,402 12	19,8 6		- 25.98 9	178.1 08	0,402 12	0,402 12	17,09
P	S	00608	17.80 7	60.54 2	0,402 12	0,402 12	11,3 3	00609	20.19 8	46.66 6	0,402 12	0,402 12	10,6 9	00610	0	0	0,402 12	0,402 12	-
	I		0	3.082	0,321 70	0,321 70	9,00		0	3.330	0,321 70	0,321 70	8,99		23.12 5	10.13 6	0,321 70	0,321 70	8,72
S	S		0	0	0,402 12	0,402 12	-		0	0	0,402 12	0,402 12	-		0	0	0,402 12	0,402 12	-
	I		- 19.93 2	208.5 55	0,402 12	0,402 12	14,5 6		- 16.90 3	253.8 88	0,402 12	0,402 12	11,9 5		- 14.90 8	316.5 83	0,402 12	0,402 12	9,58
P	S	00611	0	0	0,402 12	0,402 12	-	00612	0	0	0,402 12	0,402 12	-	00613	0	0	0,402 12	0,402 12	-
	I		26.31 5	130.7 88	0,321 70	0,321 70	6,27		29.49 9	342.9 98	0,321 70	0,321 70	4,19		32.32 3	685.9 68	0,321 70	0,321 70	2,73
S	S		0	0	0,402 12	0,402 12	-		0	0	0,402 12	0,402 12	-		0	0	0,402 12	0,402 12	-
	I		- 12.97 8	398.8 15	0,402 12	0,402 12	7,60		- 10.35 8	499.9 45	0,402 12	0,402 12	6,06		- 6.232	612.1 04	0,402 12	0,402 12	4,94
P	S	00614	0	0	0,402 12	0,402 12	-	00615	0	0	0,402 12	0,402 12	-	00616	0	0	0,402 12	0,402 12	-
	I		33.85 5	1.219. 743	0,321 70	0,321 70	1,77		31.57 3	2.041. 716	3,002 53	3,002 53	1,75		19.17 1	3.323. 287	3,002 53	3,002 53	2,16
S	S		0	0	0,402 12	0,402 12	-		0	0	0,402 12	0,402 12	-		0	0	0,402 12	0,402 12	-
	I		915	708.6 36	0,402 12	0,402 12	4,26		14.77 7	702.2 22	4,423 36	4,423 36	1,31		46.13 5	208.4 30	4,423 36	4,423 36	1,26
P	S	00617	0	0	4,423 36	4,423 36	-	00618	0	0	4,423 36	4,423 36	-	00619	237.9 72	9.553. 298	4,423 36	4,423 36	6,10
	I		- 22.02 9	5.092. 872	3,002 53	3,002 53	2,70		- 290.1 46	4.376. 028	3,002 53	3,002 53	2,94		0	1.662	3,002 53	3,002 53	5,41
S	S		144.3 21	2.082. 536	4,423 36	4,423 36	15,7 4		708.4 80	7.279. 808	4,423 36	4,423 36	4,43		- 58.78 1	9.606. 374	4,423 36	4,423 36	3,43
	I		0	1.874	4,423 36	4,423 36	NS		0	1.837	4,423 36	4,423 36	NS		0	1.861	4,423 36	4,423 36	NS
P	S	00620	57.62 4	9.246. 728	4,423 36	4,423 36	6,56	00621	20.27 1	4.100. 396	4,423 36	4,423 36	28,2 2	00622	-7.644	2.199. 800	4,423 36	4,423 36	1,44
	I		0	1.766	3,002 53	3,002 53	5,41		0	1.904	3,002 53	3,002 53	5,41		0	2.086	0,321 70	0,321 70	1,19
S	S		- 276.1 37	9.208. 129	4,423 36	4,423 36	3,60		- 52.48 1	6.321. 450	4,423 36	4,423 36	5,21		- 14.71 8	3.938. 018	4,423 36	4,423 36	1,80
	I		0	1.785	4,423 36	4,423 36	NS		0	1.828	4,423 36	4,423 36	NS		0	1.932	0,402 12	0,402 12	1,24
P	S	00623	- 21.78 7	1.276. 956	4,423 36	4,423 36	1,32	00624	- 26.63 3	724.5 65	0,402 12	0,402 12	6,45	00625	- 27.32 9	375.0 12	0,402 12	0,402 12	36,16
	I		0	2.313	0,321 70	0,321 70	1,19		0	2.573	0,321 70	0,321 70	9,01		0	2.841	0,321 70	0,321 70	9,01
S	S		433	2.550. 613	4,423 36	4,423 36	1,55		7.478	1.744. 106	0,402 12	0,402 12	1,73		11.28 8	1.223. 020	0,402 12	0,402 12	2,46
	I		0	2.058	0,402 12	0,402 12	1,24		0	2.201	0,402 12	0,402 12	NS		0	2.356	0,402 12	0,402 12	NS
P	S	00626	- 26.34 1	151.7 09	0,402 12	0,402 12	18,6 2	00627	- 24.82 6	13.58 3	0,402 12	0,402 12	9,61	00628	0	0	0,402 12	0,402 12	-
	I		0	3.089	0,321 70	0,321 70	9,00		0	3.280	0,321 70	0,321 70	8,99		- 23.40 7	64.37 0	0,321 70	0,321 70	7,54
S	S		13.71 1	869.8 65	0,402 12	0,402 12	3,45		15.56 6	625.1 80	0,402 12	0,402 12	4,80		17.25 5	453.8 72	0,402 12	0,402 12	6,61
	I		0	2.510	0,402 12	0,402 12	NS		0	2.647	0,402 12	0,402 12	NS		0	2.735	0,402 12	0,402 12	NS
P	S	00629	0	0	0,402	0,402	-	00630	0	0	0,402	0,402	-	00631	0	0	0,402	0,402	-



Platee - Verifiche pressoflessione retta allo SLU

Dir	Pos	Nodo	NEd	MEd	As	A _{df}	CS	Nodo	NEd	MEd	As	A _{df}	CS	Nodo	NEd	MEd	As	A _{df}	CS
			[N]	[N-m]	[cm ² /cm]	[cm ² /cm]			[N]	[N-m]	[cm ² /cm]	[cm ² /cm]			[N]	[N-m]	[cm ² /cm]	[cm ² /cm]	
	I		-22.438	99.347	0,32170	0,32170	6,88		-21.934	104.170	0,32170	0,32170	6,79		-20.178	88.802	0,32170	0,32170	7,06
S	S		18.8430	333.918	0,40212	0,40212	8,99		19.782	250.715	0,40212	0,40212	11,96		17.051	193.872	0,40212	0,40212	15,48
	I		0	2.727	0,40212	0,40212	NS		0	2.583	0,40212	0,40212	NS		0	2.386	0,40212	0,40212	NS
P	S	00632	0	0	0,40212	0,40212	-	00633	0	0	0,40212	0,40212	-	00634	0	0	0,40212	0,40212	-
	I		-7.188	59.221	0,32170	0,32170	7,61		-3.170	27.128	0,32170	0,32170	8,34		3.837	27.945	0,32170	0,32170	8,30
S	S		9.313	155.318	0,40212	0,40212	19,38		13.930	129.927	0,40212	0,40212	23,13		0	0	0,40212	0,40212	-
	I		0	2.322	0,40212	0,40212	NS		0	1.792	0,40212	0,40212	NS		-37.615	116.837	0,40212	0,40212	26,14
P	S	00635	0	0	0,40212	0,40212	-	00636	9.934	5.370	0,40212	0,40212	9,22	00637	0	0	0,40212	0,40212	-
	I		8.150	4.353	0,32170	0,32170	8,93		0	2.709	0,32170	0,32170	9,01		13.308	7.501	0,32170	0,32170	8,83
S	S		0	0	0,40212	0,40212	-		0	0	0,40212	0,40212	-		0	0	0,40212	0,40212	-
	I		-27.854	123.105	0,40212	0,40212	24,73		-18.953	131.856	0,40212	0,40212	23,03		-14.296	143.927	0,40212	0,40212	21,07
P	S	00638	0	0	0,40212	0,40212	-	00639	0	0	0,40212	0,40212	-	00640	0	0	0,40212	0,40212	-
	I		17.087	57.230	0,32170	0,32170	7,59		20.448	161.406	0,32170	0,32170	5,86		23.052	342.336	0,32170	0,32170	4,20
S	S		0	0	0,40212	0,40212	-		0	0	0,40212	0,40212	-		0	0	0,40212	0,40212	-
	I		-11.930	159.427	0,40212	0,40212	19,00		-9.810	174.674	0,40212	0,40212	17,33		-6.624	180.006	0,40212	0,40212	16,80
P	S	00641	0	0	0,40212	0,40212	-	00642	0	0	0,40212	0,40212	-	00643	0	0	0,40212	0,40212	-
	I		24.727	628.515	0,32170	0,32170	2,91		24.947	1.055.734	0,32170	0,32170	1,99		22.342	1.662.080	3,00253	3,00253	1,65
S	S		0	0	0,40212	0,40212	-		0	0	0,40212	0,40212	-		21.495	248.622	0,40212	0,40212	1,21
	I		-1.460	153.813	0,40212	0,40212	19,63		6.983	48.137	0,40212	0,40212	62,56		0	2.205	4,42336	4,42336	1,24
P	S	00644	0	0	0,40212	0,40212	-	00645	0	0	4,42336	4,42336	-	00646	0	0	4,42336	4,42336	-
	I		13.918	2.440.030	3,00253	3,00253	1,86		-8.230	3.099.826	3,00253	3,00253	3,36		-73.967	2.684.160	3,00253	3,00253	3,55
S	S		48.767	977.808	0,40212	0,40212	1,15		108.125	2.414.006	4,42336	4,42336	13,59		248.618	4.249.399	4,42336	4,42336	7,69
	I		0	2.094	4,42336	4,42336	1,24		0	2.008	4,42336	4,42336	NS		0	1.945	4,42336	4,42336	NS
P	S	00647	-170.382	523.274	4,42336	4,42336	6,09	00648	154.578	6.870.811	4,42336	4,42336	15,27	00649	51.840	5.117.477	4,42336	4,42336	NS
	I		0	1.828	3,00253	3,00253	5,41		0	1.788	3,00253	3,00253	5,41		0	1.880	3,00253	3,00253	5,41
S	S		283.260	5.003.430	4,42336	4,42336	6,52		-83.936	3.555.352	4,42336	4,42336	9,28		-99.043	3.983.598	4,42336	4,42336	8,28
	I		0	1.913	4,42336	4,42336	NS		0	1.921	4,42336	4,42336	NS		0	1.941	4,42336	4,42336	NS
P	S	00650	10.995	3.046.832	4,42336	4,42336	13,54	00651	-4.673	1.694.896	4,42336	4,42336	1,37	00652	-13.698	932.380	0,40212	0,40212	4,31
	I		0	2.032	3,00253	3,00253	5,41		0	2.237	0,32170	0,32170	1,19		0	2.478	0,32170	0,32170	9,02
S	S		-32.635	3.726.309	4,42336	4,42336	8,84		-11.886	2.893.874	4,42336	4,42336	1,61		-1.282	2.087.198	0,40212	0,40212	1,45
	I		0	1.999	4,42336	4,42336	NS		0	2.097	0,40212	0,40212	1,24		0	2.221	0,40212	0,40212	NS
P	S	00653	-18.247	478.080	0,40212	0,40212	15,29	00654	-20.031	197.572	0,40212	0,40212	26,97	00655	-20.243	26.661	0,40212	0,40212	10,05
	I		0	2.735	0,321	0,321	9,01		0	2.981	0,321	0,321	9,00		0	3.177	0,321	0,321	9,00



Platee - Verifiche pressoflessione retta allo SLU

Dir	Pos	Nodo	NEd	MEd	As	A _{df}	CS	Nodo	NEd	MEd	As	A _{df}	CS	Nodo	NEd	MEd	As	A _{df}	CS
			[N]	[N-m]	[cm ² /cm]	[cm ² /cm]			[N]	[N-m]	[cm ² /cm]	[cm ² /cm]			[N]	[N-m]	[cm ² /cm]	[cm ² /cm]	
S	S		5.012	1.494.042	0,402	0,402	2,02		9.009	1.074.786	0,402	0,402	2,80		11.761	777.379	0,402	0,402	3,87
	I		0	2.360	0,402	0,402	NS		0	2.509	0,402	0,402	NS		0	2.660	0,402	0,402	NS
P	S	00656	0	0	0,402	0,402	-	00657	0	0	0,402	0,402	-	00658	0	0	0,402	0,402	-
	I		-19.614	70.538	0,321	0,321	7,41		-18.541	116.625	0,321	0,321	6,58		-16.970	127.251	0,321	0,321	6,42
S	S		13.863	566.020	0,402	0,402	5,31		15.589	416.330	0,402	0,402	7,21		16.705	311.249	0,402	0,402	9,65
	I		0	2.808	0,402	0,402	NS		0	2.946	0,402	0,402	NS		0	3.075	0,402	0,402	NS
P	S	00659	0	0	0,402	0,402	-	00660	0	0	0,402	0,402	-	00661	0	0	0,402	0,402	-
	I		-13.895	114.066	0,321	0,321	6,61		-7.768	86.244	0,321	0,321	7,08		-1.645	51.310	0,321	0,321	7,76
S	S		16.115	238.481	0,402	0,402	12,59		14.404	188.784	0,402	0,402	15,92		16.695	154.599	0,402	0,402	19,42
	I		0	3.216	0,402	0,402	NS		0	3.375	0,402	0,402	NS		0	2.986	0,402	0,402	NS
P	S	00662	0	0	0,402	0,402	-	00663	0	0	0,402	0,402	-	00664	0	0	0,402	0,402	-
	I		-1.527	55.867	0,321	0,321	7,66		1.994	48.026	0,321	0,321	7,83		3.412	42.714	0,321	0,321	7,95
S	S		0	0	0,402	0,402	-		0	0	0,402	0,402	-		0	0	0,402	0,402	-
	I		-40.009	90.283	0,402	0,402	33,85		-28.826	78.295	0,402	0,402	38,90		-18.424	75.378	0,402	0,402	40,27
P	S	00665	0	0	0,402	0,402	-	00666	0	0	0,402	0,402	-	00667	0	0	0,402	0,402	-
	I		6.540	54.130	0,321	0,321	7,68		11.150	95.728	0,321	0,321	6,86		15.077	181.555	0,321	0,321	5,63
S	S		0	0	0,402	0,402	-		0	0	0,402	0,402	-		0	0	0,402	0,402	-
	I		-11.776	65.627	0,402	0,402	46,16		-9.077	50.677	0,402	0,402	59,73		-7.434	24.829	0,402	0,402	NS
P	S	00668	0	0	0,402	0,402	-	00669	0	0	0,402	0,402	-	00670	0	0	0,402	0,402	-
	I		17.467	328.029	0,321	0,321	4,31		18.417	553.180	0,321	0,321	3,17		17.809	872.972	0,321	0,321	2,31
S	S		-4.442	23.334	0,402	0,402	NS		824	115.424	0,402	0,402	26,14		9.123	290.795	0,402	0,402	10,35
	I		0	2.780	0,402	0,402	NS		0	2.644	0,402	0,402	NS		0	2.518	0,402	0,402	NS
P	S	00671	0	0	0,402	0,402	-	00672	0	0	0,402	0,402	-	00673	0	0	0,402	0,402	-
	I		14.825	1.287.892	0,321	0,321	1,70		7.488	1.741.824	0,321	0,321	1,33		-8.738	2.039.699	0,321	0,321	1,17
S	S		22.120	615.918	0,402	0,402	4,87		43.405	1.173.706	0,402	0,402	2,54		80.362	1.976.291	0,402	0,402	1,49
	I		0	2.397	0,402	0,402	NS		0	2.287	0,402	0,402	NS		0	2.193	0,402	0,402	NS
P	S	00674	0	0	4,423	4,423	-	00675	0	0	4,423	4,423	-	00676	-16.563	2.921.223	4,423	4,423	1,54
	I		-43.224	1.759.797	0,321	0,321	1,05		-84.725	212.885	0,321	0,321	1,18		0	1.881	0,321	0,321	1,19
S	S		140.860	2.790.249	4,423	4,423	1,57		170.639	3.089.340	4,423	4,423	1,62		83.486	2.564.501	4,423	4,423	1,55
	I		0	2.120	0,402	0,402	1,24		0	2.075	0,402	0,402	1,24		0	2.069	0,402	0,402	1,24
P	S	00677	52.109	4.251.438	4,423	4,423	1,77	00678	30.151	3.291.528	4,423	4,423	1,60	00679	8.740	2.159.954	4,423	4,423	1,43
	I		0	1.915	0,321	0,321	1,19		0	2.027	0,321	0,321	1,19		0	2.198	0,321	0,321	1,19
S	S		-21.350	2.284.645	4,423	4,423	1,52		-38.678	2.388.481	4,423	4,423	1,53		-18.764	2.271.810	4,423	4,423	1,51
	I		0	2.085	0,402	0,402	1,24		0	2.127	0,402	0,402	1,24		0	2.200	0,402	0,402	1,24



REGIONE BASILICATA - PROVINCIA DI MATERA - COMUNE DI FERRANDINA
PROGETTO DEFINITIVO
Parco Eolico "Montagnola"
Relazione preliminare sulle strutture

Platee - Verifiche pressoflessione retta allo SLU

Dir	Pos	Nodo	NEd	MEd	As	A _{df}	CS	Nodo	NEd	MEd	As	A _{df}	CS	Nodo	NEd	MEd	As	A _{df}	CS	
			[N]	[N-m]	[cm ² /cm]	[cm ² /cm]			[N]	[N-m]	[cm ² /cm]	[cm ² /cm]			[N]	[N-m]	[cm ² /cm]	[cm ² /cm]		
	I		0	2.405	0,321 70	0,321 70	9,02		0	2.374	0,321 70	0,321 70	9,02		0	2.409	0,321 70	0,321 70	9,02	
S	S		48.44 7	595.3 26	0,402 12	0,402 12	4,99		40.37 2	415.2 37	0,402 12	0,402 12	7,18		28.91 3	274.8 69	0,402 12	0,402 12	10,88	
	I		0	2.974	0,402 12	0,402 12	NS		0	2.974	0,402 12	0,402 12	NS		0	2.977	0,402 12	0,402 12	NS	
P	S	00785	-6.124	1.140. 144	0,402 12	0,402 12	3,24	00786	-3.304	996.4 11	0,402 12	0,402 12	3,90	00787	-3.324	767.3 69	0,402 12	0,402 12	5,81	
	I		0	2.497	0,321 70	0,321 70	9,02		0	2.612	0,321 70	0,321 70	9,01		0	2.732	0,321 70	0,321 70	9,01	
S	S		17.78 2	213.7 90	0,402 12	0,402 12	14,0 4		10.03 2	212.0 94	0,402 12	0,402 12	14,1 9		6.420	233.6 44	0,402 12	0,402 12	12,89	
	I		0	2.991	0,402 12	0,402 12	NS		0	3.022	0,402 12	0,402 12	NS		0	3.072	0,402 12	0,402 12	NS	
P	S	00788	-4.929	527.1 89	0,402 12	0,402 12	11,9 4	00789	-7.079	318.5 67	0,402 12	0,402 12	NS	00790	-9.143	159.0 54	0,402 12	0,402 12	19,48	
	I		0	2.851	0,321 70	0,321 70	9,01		0	2.987	0,321 70	0,321 70	9,00		0	3.154	0,321 70	0,321 70	9,00	
S	S		5.818	252.2 33	0,402 12	0,402 12	11,9 4		6.725	257.1 43	0,402 12	0,402 12	11,7 1		7.991	248.7 11	0,402 12	0,402 12	12,11	
	I		0	3.123	0,402 12	0,402 12	NS		0	3.137	0,402 12	0,402 12	NS		0	3.056	0,402 12	0,402 12	NS	
P	S	00791	-	50.34 6	0,402 12	0,402 12	10,9 7	00792	0	0	0,402 12	0,402 12	-	00793	0	0	0,402 12	0,402 12	-	
	I		11.01 9	0	0,321 70	0,321 70	8,99		-	13.36 4	0,321 70	0,321 70	8,73		17.93 0	42.68 2	0,321 70	0,321 70	8,01	
S	S		8.974	232.1 42	0,402 12	0,402 12	12,9 7		9.544	212.9 60	0,402 12	0,402 12	14,1 3		9.444	194.1 73	0,402 12	0,402 12	15,50	
	I		0	2.822	0,402 12	0,402 12	NS		0	2.379	0,402 12	0,402 12	NS		0	1.619	0,402 12	0,402 12	NS	
P	S	00794	0	0	0,402 12	0,402 12	-	00795	0	0	0,402 12	0,402 12	-	00796	0	0	0,402 12	0,402 12	-	
	I		-	47.71 5	0,321 70	0,321 70	7,89		4.064	30.07 2	0,321 70	0,321 70	8,25		13.85 9	178.3 62	0,321 70	0,321 70	5,67	
S	S		13.33 9	177.7 92	0,402 12	0,402 12	16,9 1		5.412	176.9 95	0,402 12	0,402 12	17,0 2		40.47 6	106.3 42	0,402 12	0,402 12	28,74	
	I		0	0	0,402 12	0,402 12	-		0	0	0,402 12	0,402 12	-		0	1.202	0,402 12	0,402 12	NS	
P	S	00797	0	0	0,402 12	0,402 12	-	00798	0	0	0,402 12	0,402 12	-	00799	0	0	0,402 12	0,402 12	-	
	I		5.201	209.5 45	0,321 70	0,321 70	5,34		1.293	251.3 02	0,321 70	0,321 70	4,94		-2.852	301.6 49	0,321 70	0,321 70	4,53	
S	S		-	155.0 54	0,402 12	0,402 12	19,6 0		-	213.1 72	0,402 12	0,402 12	14,2 1		-1.670	281.9 60	0,402 12	0,402 12	10,71	
	I		22.28 9	1.431	0,402 12	0,402 12	NS		0	2.281	0,402 12	0,402 12	NS		0	2.834	0,402 12	0,402 12	NS	
P	S	00800	0	0	0,402 12	0,402 12	-	00801	0	0	0,402 12	0,402 12	-	00802	0	0	0,402 12	0,402 12	-	
	I		-6.963	356.6 38	0,321 70	0,321 70	4,16		-	10.47 1	405.2 56	0,321 70	0,321 70	3,87		13.20 7	429.5 57	0,321 70	0,321 70	3,75
S	S		8.239	360.1 45	0,402 12	0,402 12	8,36		17.37 0	441.9 13	0,402 12	0,402 12	6,79		24.97 9	516.8 22	0,402 12	0,402 12	5,79	
	I		0	3.135	0,402 12	0,402 12	NS		0	3.266	0,402 12	0,402 12	NS		0	3.266	0,402 12	0,402 12	NS	
P	S	00803	0	0	0,402 12	0,402 12	-	00804	0	0	0,402 12	0,402 12	-	00805	0	0	0,402 12	0,402 12	-	
	I		-	405.3 52	0,321 70	0,321 70	3,88		-	19.14 1	306.5 13	0,321 70	0,321 70	4,52		21.91 7	114.9 29	0,321 70	0,321 70	6,62
S	S		31.36 0	569.2 54	0,402 12	0,402 12	5,25		36.91 6	580.6 72	0,402 12	0,402 12	5,14		40.78 7	535.8 24	0,402 12	0,402 12	5,56	
	I		0	3.217	0,402 12	0,402 12	NS		0	3.176	0,402 12	0,402 12	NS		0	3.164	0,402 12	0,402 12	NS	
P	S	00806	-	163.0 82	0,402 12	0,402 12	20,1 5	00807	-	478.3 51	0,402 12	0,402 12	15,2 8	00808	-	737.9 87	0,402 12	0,402 12	6,23	
	I		22.78 2	2.574	0,321 70	0,321 70	9,01		20.94 3	2.503	0,321 70	0,321 70	9,02		16.83 8	2.505	0,321 70	0,321 70	9,02	
S	S		41.46 8	432.7 84	0,402 12	0,402 12	6,88		38.19 6	292.8 36	0,402 12	0,402 12	10,1 8		31.55 0	159.5 59	0,402 12	0,402 12	18,73	



REGIONE BASILICATA - PROVINCIA DI MATERA - COMUNE DI FERRANDINA
PROGETTO DEFINITIVO
Parco Eolico "Montagnola"
Relazione preliminare sulle strutture

Platee - Verifiche pressoflessione retta allo SLU																			
Dir	Pos	Nodo	N _{Ed} [N]	M _{Ed} [N-m]	A _s [cm ² /cm]	A _{df} [cm ² /cm]	CS	Nodo	N _{Ed} [N]	M _{Ed} [N-m]	A _s [cm ² /cm]	A _{df} [cm ² /cm]	CS	Nodo	N _{Ed} [N]	M _{Ed} [N-m]	A _s [cm ² /cm]	A _{df} [cm ² /cm]	CS
	I		0	3.174	0,402 12	0,402 12	NS		0	3.187	0,402 12	0,402 12	NS		0	3.186	0,402 12	0,402 12	NS
P	S	00809	-11.93 3	858.9 78	0,402 12	0,402 12	4,88	00810	-7.942	833.6 85	0,402 12	0,402 12	5,10	00811	-5.881	708.5 85	0,402 12	0,402 12	6,65
	I		0	2.579	0,321 70	0,321 70	9,01		0	2.683	0,321 70	0,321 70	9,01		0	2.772	0,321 70	0,321 70	9,01
S	S		23.29 2	73.68 5	0,402 12	0,402 12	40,6 6		15.67 6	43.81 2	0,402 12	0,402 12	68,5 5		10.43 5	53.35 1	0,402 12	0,402 12	56,39
	I		0	3.173	0,402 12	0,402 12	NS		0	3.165	0,402 12	0,402 12	NS		0	3.183	0,402 12	0,402 12	NS
P	S	00812	-5.735	539.3 05	0,402 12	0,402 12	11,3 4	00813	-6.905	369.0 05	0,402 12	0,402 12	38,9 9	00814	-8.521	223.5 16	0,402 12	0,402 12	36,08
	I		0	2.822	0,321 70	0,321 70	9,01		0	2.854	0,321 70	0,321 70	9,01		0	2.935	0,321 70	0,321 70	9,00
S	S		8.092	80.28 5	0,402 12	0,402 12	37,5 0		8.019	108.3 52	0,402 12	0,402 12	27,7 9		8.889	129.6 20	0,402 12	0,402 12	23,22
	I		0	3.229	0,402 12	0,402 12	NS		0	3.276	0,402 12	0,402 12	NS		0	3.261	0,402 12	0,402 12	NS
P	S	00815	-9.822	113.7 71	0,402 12	0,402 12	14,7 2	00816	-10.99 9	40.64 2	0,402 12	0,402 12	10,5 6	00817	0	0	0,402 12	0,402 12	-
	I		0	3.105	0,321 70	0,321 70	9,00		0	3.249	0,321 70	0,321 70	8,99		0	3.107	0,321 70	0,321 70	9,00
S	S		9.393	142.6 14	0,402 12	0,402 12	21,1 0		9.063	149.2 05	0,402 12	0,402 12	20,1 7		8.121	152.1 39	0,402 12	0,402 12	19,79
	I		0	3.109	0,402 12	0,402 12	NS		0	2.771	0,402 12	0,402 12	NS		0	2.143	0,402 12	0,402 12	NS
P	S	00818	0	0	0,402 12	0,402 12	-	00819	0	0	0,402 12	0,402 12	-	00820	0	0	0,402 12	0,402 12	-
	I		-14.86 7	17.62 0	0,321 70	0,321 70	8,63		2.522	7.672	0,321 70	0,321 70	8,86		-3.518	190.1 73	0,321 70	0,321 70	5,56
S	S		2.606	153.4 46	0,402 12	0,402 12	19,6 5		-7.527	156.8 82	0,402 12	0,402 12	19,2 8		-28.81 1	134.2 78	0,402 12	0,402 12	22,68
	I		0	1.310	0,402 12	0,402 12	NS		0	1.271	0,402 12	0,402 12	NS		0	2.094	0,402 12	0,402 12	NS
P	S	00821	0	0	0,402 12	0,402 12	-	00822	0	0	0,402 12	0,402 12	-	00823	0	0	0,402 12	0,402 12	-
	I		-7.107	220.3 64	0,321 70	0,321 70	5,25		-8.871	253.8 21	0,321 70	0,321 70	4,93		11.72 1	289.7 74	0,321 70	0,321 70	4,64
S	S		-17.78 3	176.6 21	0,402 12	0,402 12	17,1 8		-6.593	228.7 51	0,402 12	0,402 12	13,2 2		4.738	284.8 90	0,402 12	0,402 12	10,58
	I		0	2.647	0,402 12	0,402 12	NS		0	2.843	0,402 12	0,402 12	NS		0	3.109	0,402 12	0,402 12	NS
P	S	00824	0	0	0,402 12	0,402 12	-	00825	0	0	0,402 12	0,402 12	-	00826	0	0	0,402 12	0,402 12	-
	I		-14.90 1	321.2 80	0,321 70	0,321 70	4,41		-16.35 3	337.0 39	0,321 70	0,321 70	4,30		-16.52 8	321.9 62	0,321 70	0,321 70	4,40
S	S		15.33 1	341.3 01	0,402 12	0,402 12	8,80		22.55 1	390.6 29	0,402 12	0,402 12	7,67		26.29 3	422.6 36	0,402 12	0,402 12	7,08
	I		0	3.305	0,402 12	0,402 12	NS		0	3.327	0,402 12	0,402 12	NS		0	3.267	0,402 12	0,402 12	NS
P	S	00827	0	0	0,402 12	0,402 12	-	00828	0	0	0,402 12	0,402 12	-	00829	-21.53 5	44.91 2	0,402 12	0,402 12	10,78
	I		-17.84 8	259.4 44	0,321 70	0,321 70	4,90		-19.94 7	137.0 57	0,321 70	0,321 70	6,28		0	2.754	0,321 70	0,321 70	9,01
S	S		29.30 0	425.6 02	0,402 12	0,402 12	7,03		32.42 5	389.8 48	0,402 12	0,402 12	7,66		34.50 2	313.0 49	0,402 12	0,402 12	9,54
	I		0	3.226	0,402 12	0,402 12	NS		0	3.238	0,402 12	0,402 12	NS		0	3.287	0,402 12	0,402 12	NS
P	S	00830	-21.59 1	264.0 05	0,402 12	0,402 12	78,0 9	00831	-19.69 2	472.1 77	0,402 12	0,402 12	15,8 2	00832	-16.22 1	612.2 53	0,402 12	0,402 12	8,73
	I		0	2.633	0,321 70	0,321 70	9,01		0	2.579	0,321 70	0,321 70	9,01		0	2.638	0,321 70	0,321 70	9,01
S	S		34.31 6	205.6 01	0,402 12	0,402 12	14,5 2		31.31 6	91.88 9	0,402 12	0,402 12	32,5 2		25.92 1	1.527	0,402 12	0,402 12	NS
	I		0	3.340	0,402 12	0,402 12	NS		0	3.361	0,402 12	0,402 12	NS		0	3.331	0,402 12	0,402 12	NS



Platee - Verifiche pressoflessione retta allo SLU

Dir	Pos	Nodo	N _{Ed} [N]	M _{Ed} [N-m]	A _s [cm ² /cm]	A _{df} [cm ² /cm]	CS	Nodo	N _{Ed} [N]	M _{Ed} [N-m]	A _s [cm ² /cm]	A _{df} [cm ² /cm]	CS	Nodo	N _{Ed} [N]	M _{Ed} [N-m]	A _s [cm ² /cm]	A _{df} [cm ² /cm]	CS
P	S	00833	-12.29 5	654.1 19	0,402 12	0,402 12	7,69	00834	-9.171	608.1 90	0,402 12	0,402 12	8,83	00835	-7.532	506.4 49	0,402 12	0,402 12	13,15
I	0		2.761	0,321 70	0,321 70	9,01	0		2.861	0,321 70	0,321 70	9,00	0		2.874	0,321 70	0,321 70	9,00	
S	S		0	0	0,402 12	0,402 12	-		0	0	0,402 12	0,402 12	-		0	0	0,402 12	0,402 12	-
I	19.48 7	47.69 9	0,402 12	0,402 12	62,8 9	13.78 5	56.91 9	0,402 12	0,402 12	52,8 0	10.18 5	38.53 8	0,402 12	0,402 12	78,07				
P	S	00836	-7.430	382.8 12	0,402 12	0,402 12	32,5 7	00837	-8.507	263.4 24	0,402 12	0,402 12	76,4 4	00838	-9.247	164.1 99	0,402 12	0,402 12	20,22
I	0		2.780	0,321 70	0,321 70	9,01	0		2.673	0,321 70	0,321 70	9,01	0		2.735	0,321 70	0,321 70	9,01	
S	S		0	0	0,402 12	0,402 12	-		10.19 3	27.50 1	0,402 12	0,402 12	NS		10.86 8	58.25 3	0,402 12	0,402 12	51,64
I	9.217	6.786	0,402 12	0,402 12	NS	0	3.337	0,402 12	0,402 12	NS	0	3.302	0,402 12	0,402 12	NS				
P	S	00839	-8.634	90.91 2	0,402 12	0,402 12	13,1 0	00840	-8.128	44.04 0	0,402 12	0,402 12	10,6 9	00841	-6.959	20.05 7	0,402 12	0,402 12	9,77
I	0		2.984	0,321 70	0,321 70	9,00	0		3.120	0,321 70	0,321 70	9,00	0		2.839	0,321 70	0,321 70	9,01	
S	S		9.434	83.68 4	0,402 12	0,402 12	35,9 6		6.821	103.7 98	0,402 12	0,402 12	29,0 2		2.732	119.0 39	0,402 12	0,402 12	25,33
I	0	3.114	0,402 12	0,402 12	NS	0	2.855	0,402 12	0,402 12	NS	0	2.710	0,402 12	0,402 12	NS				
P	S	00842	-2.279	22.32 0	0,402 12	0,402 12	9,83	00843	0	0	0,402 12	0,402 12	-	00844	0	0	0,402 12	0,402 12	-
I	0		1.847	0,321 70	0,321 70	9,04	-16.59 3		193.8 22	0,321 70	0,321 70	5,55	-15.91 0		217.4 38	0,321 70	0,321 70	5,29	
S	S		-1.499	128.4 65	0,402 12	0,402 12	23,5 1		-24.09 5	149.4 16	0,402 12	0,402 12	20,3 5		-13.93 8	182.1 15	0,402 12	0,402 12	16,65
I	0	1.945	0,402 12	0,402 12	NS	0	2.320	0,402 12	0,402 12	NS	0	2.694	0,402 12	0,402 12	NS				
P	S	00845	0	0	0,402 12	0,402 12	-	00846	0	0	0,402 12	0,402 12	-	00847	0	0	0,402 12	0,402 12	-
I	-16.56 3		240.4 19	0,321 70	0,321 70	5,07	-19.24 5		260.1 54	0,321 70	0,321 70	4,89	-21.08 1		269.8 59	0,321 70	0,321 70	4,81	
S	S		-895	225.3 72	0,402 12	0,402 12	13,4 0		12.93 9	264.3 22	0,402 12	0,402 12	11,3 7		23.25 6	297.0 75	0,402 12	0,402 12	10,09
I	0	2.985	0,402 12	0,402 12	NS	0	3.165	0,402 12	0,402 12	NS	0	3.241	0,402 12	0,402 12	NS				
P	S	00848	0	0	0,402 12	0,402 12	-	00849	0	0	0,402 12	0,402 12	-	00850	0	0	0,402 12	0,402 12	-
I	-17.50 4		259.6 94	0,321 70	0,321 70	4,90	-16.67 2		219.0 27	0,321 70	0,321 70	5,28	-18.20 0		139.1 83	0,321 70	0,321 70	6,24	
S	S		24.03 2	316.5 19	0,402 12	0,402 12	9,46		23.17 0	314.9 68	0,402 12	0,402 12	9,51		24.84 3	286.0 80	0,402 12	0,402 12	10,47
I	0	3.135	0,402 12	0,402 12	NS	0	3.086	0,402 12	0,402 12	NS	0	3.139	0,402 12	0,402 12	NS				
P	S	00851	0	0	0,402 12	0,402 12	-	00852	-21.52 4	133.4 08	0,402 12	0,402 12	16,5 4	00853	-21.49 5	290.8 33	0,402 12	0,402 12	NS
I	-20.17 0		18.29 1	0,321 70	0,321 70	8,63	0		2.774	0,321 70	0,321 70	9,01	0		2.616	0,321 70	0,321 70	9,01	
S	S		27.45 9	227.7 57	0,402 12	0,402 12	13,1 4		29.48 7	145.3 14	0,402 12	0,402 12	20,5 8		29.61 8	52.69 0	0,402 12	0,402 12	56,75
I	0	3.255	0,402 12	0,402 12	NS	0	3.377	0,402 12	0,402 12	NS	0	3.459	0,402 12	0,402 12	NS				
P	S	00854	-19.52 7	418.9 70	0,402 12	0,402 12	22,8 4	00855	-16.05 8	489.0 25	0,402 12	0,402 12	14,4 0	00856	-12.52 7	493.7 20	0,402 12	0,402 12	14,03
I	0		2.621	0,321 70	0,321 70	9,01	0		2.787	0,321 70	0,321 70	9,01	0		2.961	0,321 70	0,321 70	9,00	
S	S		0	0	0,402 12	0,402 12	-		0	0	0,402 12	0,402 12	-		0	0	0,402 12	0,402 12	-
I	26.98 0	30.55 3	0,402 12	0,402 12	97,9 5	21.93 1	87.49 8	0,402 12	0,402 12	34,2 6	16.20 1	111.5 85	0,402 12	0,402 12	26,91				
P	S	00857	-10.03 3	445.8 12	0,402 12	0,402 12	18,6 0	00858	-8.797	366.9 90	0,402 12	0,402 12	40,1 8	00859	-8.795	278.4 76	0,402 12	0,402 12	NS
I	0		3.019	0,321 70	0,321 70	9,00	0		2.862	0,321 70	0,321 70	9,00	0		2.513	0,321 70	0,321 70	9,02	



REGIONE BASILICATA - PROVINCIA DI MATERA - COMUNE DI FERRANDINA
PROGETTO DEFINITIVO
Parco Eolico "Montagnola"
Relazione preliminare sulle strutture

Platee - Verifiche pressoflessione retta allo SLU

Dir	Pos	Nodo	N _{Ed} [N]	M _{Ed} [N-m]	A _s [cm ² /cm]	A _d [cm ² /cm]	CS	Nodo	N _{Ed} [N]	M _{Ed} [N-m]	A _s [cm ² /cm]	A _d [cm ² /cm]	CS	Nodo	N _{Ed} [N]	M _{Ed} [N-m]	A _s [cm ² /cm]	A _d [cm ² /cm]	CS
	I		15.20 1	54.83 12	0,402 12	0,402 12	54,7 8		18.09 2	16.10 0	0,402 12	0,402 12	NS		0	2.631	0,402 12	0,402 12	NS
P	S	00884	-1.024 0	85.11 2.776	0,402 0,321	0,402 0,321	12,7 9,01	00885	99 0	74.69 2.202	0,402 0,321	0,402 0,321	12,1 9,02	00886	0 -26.224	0 181.679	0,402 0,321	0,402 0,321	- 5,71
S	S		3.392 0	57.21 2.893	0,402 0,402	0,402 0,402	52,7 0 NS		1.442 0	80.82 2.462	0,402 0,402	0,402 0,402	37,3 3 NS		-5.162 0	170.3 1.935	0,402 0,402	0,402 0,402	17,75 NS
P	S	00887	0 -37.108	0 181.205	0,402 0,321	0,402 0,321	- 5,74	00888	0 -20.193	173 176.655	0,402 0,321	0,402 0,321	9,10 5,76	00889	0 -8.296	0 157.808	0,402 0,321	0,402 0,321	- 5,97
S	S		23.657 0	183.705 1.384	0,402 0,402	0,402 0,402	16,3 1 NS		28.174 0	195.600 953	0,402 0,402	0,402 0,402	15,2 9 NS		11.398 0	187.877 1.609	0,402 0,402	0,402 0,402	16,01 NS
P	S	00890	0 -14.441	0 120.755	0,402 0,321	0,402 0,321	- 6,51	00891	0 -18.315	0 64.193	0,402 0,321	0,402 0,321	- 7,53	00892	-20.911 0	10.401 3.185	0,402 0,321	0,402 0,321	9,49 9,00
S	S		10.184 0	167.480 2.257	0,402 0,402	0,402 0,402	17,9 6 NS		12.583 0	132.856 2.649	0,402 0,402	0,402 0,402	22,6 3 NS		16.505 0	84.121 2.920	0,402 0,402	0,402 0,402	35,69 NS
P	S	00893	-22.891 0	95.788 2.767	0,402 0,321	0,402 0,321	13,4 8 9,01	00894	-25.031 0	180.111 2.242	0,402 0,321	0,402 0,321	23,0 5 9,02	00895	-22.960 0	248.954 2.258	0,402 0,321	0,402 0,321	54,67 9,02
S	S		21.838 0	26.154 3.113	0,402 0,402	0,402 0,402	NS NS		0 27.597	0 32.951	0,402 0,402	0,402 0,402	- 90,80		0 27.194	0 83.608	0,402 0,402	0,402 0,402	- 35,79
P	S	00896	-17.492 0	291.244 2.809	0,402 0,321	0,402 0,321	NS 9,01	00897	-14.693 0	303.145 3.227	0,402 0,321	0,402 0,321	NS 8,99	00898	-13.818 0	288.068 3.439	0,402 0,321	0,402 0,321	NS 8,99
S	S		0 19.746	0 117.986	0,402 0,402	0,402 0,402	- 25,42		0 12.876	0 132.218	0,402 0,402	0,402 0,402	- 22,74		0 8.870	0 126.837	0,402 0,402	0,402 0,402	- 23,73
P	S	00899	-14.221 0	255.434 3.190	0,402 0,321	0,402 0,321	62,5 9 9,00	00900	-21.634 0	213.743 2.198	0,402 0,321	0,402 0,321	32,1 0 9,02	00901	-8.429 0	172.947 0	0,402 0,321	0,402 0,321	21,62 -
S	S		0 7.444	0 106.124	0,402 0,402	0,402 0,402	- 28,37		0 14.823	0 72.815	0,402 0,402	0,402 0,402	- 41,26		0 22.997	0 47.044	0,402 0,402	0,402 0,402	- 63,69
P	S	00902	4.994 0	146.453 1.612	0,402 0,321	0,402 0,321	17,7 8 9,04	00903	2.395 0	116.145 2.101	0,402 0,321	0,402 0,321	14,8 5 9,03	00904	0 -28.229	0 163.336	0,402 0,321	0,402 0,321	- 5,94
S	S		0 10.628	0 9.380	0,402 0,402	0,402 0,402	- NS		2.960 0	34.037 1.856	0,402 0,402	0,402 0,402	88,5 9 NS		1.335 0	155.340 611	0,402 0,402	0,402 0,402	19,42 NS
P	S	00905	0 -16.114	680 140.470	0,402 0,321	0,402 0,321	9,11 6,22	00906	0 -2.330	0 130.901	0,402 0,321	0,402 0,321	- 6,33	00907	0 -15.495	0 108.595	0,402 0,321	0,402 0,321	- 6,71
S	S		-48 0	159.541 310	0,402 0,402	0,402 0,402	18,9 2 NS		-10.598 0	156.436 710	0,402 0,402	0,402 0,402	19,3 6 NS		3.189 0	138.367 1.713	0,402 0,402	0,402 0,402	21,79 NS



Platee - Verifiche pressoflessione retta allo SLU

Dir	Pos	Nodo	N _{Ed} [N]	M _{Ed} [N-m]	A _s [cm ² /cm]	A _{dif} [cm ² /cm]	CS	Nodo	N _{Ed} [N]	M _{Ed} [N-m]	A _s [cm ² /cm]	A _{dif} [cm ² /cm]	CS	Nodo	N _{Ed} [N]	M _{Ed} [N-m]	A _s [cm ² /cm]	A _{dif} [cm ² /cm]	CS
					12	12					12	12					12	12	
P	S	00908	0	0	0,402 12	0,402 12	-	00909	0	0	0,402 12	0,402 12	-	00910	- 24.61 2	48.27 4	0,402 12	0,402 12	10,93
	I		- 20.34 1	68.50 7	0,321 70	0,321 70	7,45		- 23.00 1	14.16 4	0,321 70	0,321 70	8,75		0	2.988	0,321 70	0,321 70	9,00
S	S		5.675	111.9 25	0,402 12	0,402 12	26,9 2		9.305	74.45 9	0,402 12	0,402 12	40,4 2		14.75 3	29.66 9	0,402 12	0,402 12	NS
	I		0	2.281	0,402 12	0,402 12	NS		0	2.492	0,402 12	0,402 12	NS		0	2.584	0,402 12	0,402 12	NS
P	S	00911	- 25.68 6	114.2 28	0,402 12	0,402 12	14,8 4	00912	- 28.77 7	173.7 19	0,402 12	0,402 12	21,9 1	00913	- 16.66 6	217.3 86	0,402 12	0,402 12	33,47
	I		0	2.257	0,321 70	0,321 70	9,02		0	1.358	0,321 70	0,321 70	9,05		0	2.288	0,321 70	0,321 70	9,02
S	S		0	0	0,402 12	0,402 12	-		0	0	0,402 12	0,402 12	-		0	0	0,402 12	0,402 12	-
	I		23.54 6	17.95 2	0,402 12	0,402 12	NS		34.98 3	61.69 8	0,402 12	0,402 12	48,3 8		22.02 6	94.57 7	0,402 12	0,402 12	31,69
P	S	00914	- 14.83 2	240.9 74	0,402 12	0,402 12	47,0 3	00915	- 15.16 7	243.0 85	0,402 12	0,402 12	48,8 0	00916	- 16.36 3	229.8 09	0,402 12	0,402 12	39,47
	I		0	3.089	0,321 70	0,321 70	9,00		0	3.517	0,321 70	0,321 70	8,99		0	3.582	0,321 70	0,321 70	8,98
S	S		0	0	0,402 12	0,402 12	-		0	0	0,402 12	0,402 12	-		0	0	0,402 12	0,402 12	-
	I		12.11 6	112.2 30	0,402 12	0,402 12	26,7 9		7.481	113.7 45	0,402 12	0,402 12	26,4 7		5.028	101.0 14	0,402 12	0,402 12	29,83
P	S	00917	- 18.85 0	205.4 91	0,402 12	0,402 12	29,2 4	00918	- 18.55 4	177.6 48	0,402 12	0,402 12	22,5 4	00919	7.480	165.4 87	0,402 12	0,402 12	20,30
	I		0	3.069	0,321 70	0,321 70	9,00		0	718	0,321 70	0,321 70	9,07		0	0	0,321 70	0,321 70	-
S	S		0	0	0,402 12	0,402 12	-		0	0	0,402 12	0,402 12	-		0	0	0,402 12	0,402 12	-
	I		3.968	76.09 8	0,402 12	0,402 12	39,6 1		1.995	40.68 3	0,402 12	0,402 12	74,1 4		- 16.81 3	9.439	0,402 12	0,402 12	NS
P	S	00920	0	0	0,402 12	0,402 12	-	00921	0	0	0,402 12	0,402 12	-	00922	0	0	0,402 12	0,402 12	-
	I		-1.414	120.3 10	0,321 70	0,321 70	6,49		- 24.50 3	98.14 1	0,321 70	0,321 70	6,90		- 27.45 0	65.46 4	0,321 70	0,321 70	7,53
S	S		- 10.17 9	138.4 95	0,402 12	0,402 12	21,8 6		-5.013	124.4 36	0,402 12	0,402 12	24,2 9		-323	101.9 66	0,402 12	0,402 12	29,60
	I		0	861	0,402 12	0,402 12	NS		0	1.582	0,402 12	0,402 12	NS		0	2.104	0,402 12	0,402 12	NS
P	S	00923	0	0	0,402 12	0,402 12	-	00924	- 29.54 0	18.46 8	0,402 12	0,402 12	9,79	00925	- 30.52 9	72.31 5	0,402 12	0,402 12	12,12
	I		- 28.54 9	28.48 8	0,321 70	0,321 70	8,38		0	3.123	0,321 70	0,321 70	9,00		0	2.687	0,321 70	0,321 70	9,01
S	S		2.845	73.93 3	0,402 12	0,402 12	40,7 9		6.716	38.70 2	0,402 12	0,402 12	77,8 2		14.36 3	1.341	0,402 12	0,402 12	NS
	I		0	2.218	0,402 12	0,402 12	NS		0	2.369	0,402 12	0,402 12	NS		0	1.906	0,402 12	0,402 12	NS
P	S	00926	- 37.15 4	124.0 20	0,402 12	0,402 12	15,7 3	00927	- 22.82 5	164.6 05	0,402 12	0,402 12	20,3 8	00928	- 12.74 1	188.8 22	0,402 12	0,402 12	24,77
	I		0	608	0,321 70	0,321 70	9,07		0	1.115	0,321 70	0,321 70	9,06		0	2.866	0,321 70	0,321 70	9,00
S	S		0	0	0,402 12	0,402 12	-		0	0	0,402 12	0,402 12	-		0	0	0,402 12	0,402 12	-
	I		40.42 3	37.12 1	0,402 12	0,402 12	80,2 7		17.21 6	65.65 9	0,402 12	0,402 12	45,7 2		10.02 5	81.15 9	0,402 12	0,402 12	37,07
P	S	00929	- 15.52 0	199.1 39	0,402 12	0,402 12	27,3 5	00930	- 17.83 9	201.3 28	0,402 12	0,402 12	27,9 9	00931	- 19.05 2	192.4 85	0,402 12	0,402 12	25,68
	I		0	3.241	0,321 70	0,321 70	8,99		0	3.925	0,321 70	0,321 70	8,97		0	3.358	0,321 70	0,321 70	8,99
S	S		0	0	0,402 12	0,402 12	-		0	0	0,402 12	0,402 12	-		0	0	0,402 12	0,402 12	-
	I		5.153	88.44	0,402 12	0,402 12	34,0		2.634	80.82	0,402 12	0,402 12	37,3		1.258	67.82	0,402 12	0,402 12	44,48



REGIONE BASILICATA - PROVINCIA DI MATERA - COMUNE DI FERRANDINA
PROGETTO DEFINITIVO
Parco Eolico "Montagnola"
Relazione preliminare sulle strutture

Platee - Verifiche pressoflessione retta allo SLU

Dir	Pos	Nodo	N _{Ed} [N]	M _{Ed} [N-m]	A _s [cm ² /cm]	A _{df} [cm ² /cm]	CS	Nodo	N _{Ed} [N]	M _{Ed} [N-m]	A _s [cm ² /cm]	A _{df} [cm ² /cm]	CS	Nodo	N _{Ed} [N]	M _{Ed} [N-m]	A _s [cm ² /cm]	A _{df} [cm ² /cm]	CS
				5	12	12	7			0	12	12	1			3	12	12	
P	S	00932	-18.26 0	177.3 74	0,402 12	0,402 12	22,4 8	00933	0	0	0,402 12	0,402 12	-	00934	-37.31 6	3.075	0,402 12	0,402 12	9,31
	I		0	2.130	0,321 70	0,321 70	9,03		-36.86 1	35.20 9	0,321 70	0,321 70	8,24		0	3.384	0,321 70	0,321 70	8,99
S	S		0	0	0,402 12	0,402 12	-		-1.440	73.54 9	0,402 12	0,402 12	41,0 6		780	51.15 3	0,402 12	0,402 12	58,99
	I		-5.329	42.95 3	0,402 12	0,402 12	70,3 9		0	1.463	0,402 12	0,402 12	NS		0	1.615	0,402 12	0,402 12	NS
P	S	00935	-35.04 1	46.34 4	0,402 12	0,402 12	10,8 9	00936	-34.00 5	85.85 5	0,402 12	0,402 12	12,9 0	00937	3.613	128.3 87	0,402 12	0,402 12	15,91
	I		0	2.929	0,321 70	0,321 70	9,00		0	1.691	0,321 70	0,321 70	9,04		0	0	0,321 70	0,321 70	-
S	S		6.014	21.07 7	0,402 12	0,402 12	NS		0	0	0,402 12	0,402 12	-		0	0	0,402 12	0,402 12	-
	I		0	1.486	0,402 12	0,402 12	NS		21.19 8	7.536	0,402 12	0,402 12	NS		4.040	16.22 8	0,402 12	0,402 12	NS
P	S	00938	-9.101	152.2 13	0,402 12	0,402 12	18,5 7	00939	-16.44 4	172.5 23	0,402 12	0,402 12	21,6 1	00940	-20.49 1	180.3 74	0,402 12	0,402 12	23,07
	I		0	1.727	0,321 70	0,321 70	9,04		0	2.885	0,321 70	0,321 70	9,00		0	3.592	0,321 70	0,321 70	8,98
S	S		0	0	0,402 12	0,402 12	-		0	0	0,402 12	0,402 12	-		0	0	0,402 12	0,402 12	-
	I		7.455	46.68 5	0,402 12	0,402 12	64,5 0		2.854	58.36 1	0,402 12	0,402 12	51,6 7		544	54.71 6	0,402 12	0,402 12	55,15
P	S	00941	-20.94 8	171.2 91	0,402 12	0,402 12	21,4 3												
	I		0	3.360	0,321 70	0,321 70	8,99												
S	S		0	0	0,402 12	0,402 12	-												
	I		-465	49.74 4	0,402 12	0,402 12	60,6 9												

LEGENDA:

- Dir Direzione [P] = principale (asse locale 1) - [S] = secondaria (asse locale 2).
 Pos Posizione [S] = superiore - [I] = inferiore.
 A_s Area delle armature esecutive per unità di lunghezza.
 A_{df} Armatura disponibile per la flessione
 CS **Coefficiente di sicurezza ([NS] = Non Significativo se CS ≥ 100; [VNR] = Verifica Non Richiesta; Informazioni aggiuntive sulla condizione: [V] = statica; [E] = eccezionale; [S] = sismica; [N] = sismica non lineare).**
 N_{Ed}, M_{Ed} Sollecitazioni di progetto.

MODELLO FER A3

Platee - Verifiche pressoflessione retta allo SLU

Dir	Pos	Nodo	N _{Ed} [N]	M _{Ed} [N-m]	A _s [cm ² /cm]	A _{df} [cm ² /cm]	CS	Nodo	N _{Ed} [N]	M _{Ed} [N-m]	A _s [cm ² /cm]	A _{df} [cm ² /cm]	CS	Nodo	N _{Ed} [N]	M _{Ed} [N-m]	A _s [cm ² /cm]	A _{df} [cm ² /cm]	CS
Fondazione																			
Platea 1																			
P	S	00002	211.4 01	21.81 1.064	4,423 36	4,423 36	1,49	00003	0	15.78 0	0,402 12	0,402 12	6,84	00004	0	24.14 9	0,402 12	0,402 12	6,73
	I		0	34.50 9	4,557 41	4,557 41	72,2 4		-37.36 7	179.9 87	0,536 17	0,536 17	11,1 7		5.724	415.3 63	0,536 17	0,536 17	42,46
S	S		0	0	9,650 98	9,650 98	-		17.93 1	348.6 55	1,608 50	1,608 50	34,3 2		-18.22 7	384.0 41	1,608 50	1,608 50	31,25
	I		-161.2 19	9.996. 433	9,650 98	9,650 98	7,19		0	0	1,608 50	1,608 50	-		0	0	1,608 50	1,608 50	-
P	S	00005	8.047	81.98 6	0,402 12	0,402 12	6,05	00006	6.087	245.6 87	0,402 12	0,402 12	4,72	00007	0	14.60 3	0,402 12	0,402 12	6,86
	I		0	0	0,536 17	0,536 17	-		0	0	0,536 17	0,536 17	-		33.65 9	326.5 89	0,536 17	0,536 17	20,32
S	S		0	13.12 3	1,608 50	1,608 50	NS		0	9.864	1,608 50	1,608 50	NS		0	23.20 7	1,608 50	1,608 50	NS
	I		-21.29 7	335.2 51	1,608 50	1,608 50	35,8 0		-9.137	663.0 76	1,608 50	1,608 50	18,0 9		-505	122.6 10	1,608 50	1,608 50	97,74
P	S	00008	-59.94 2	360.3 80	0,402 12	0,402 12	4,16	00009	-28.34 7	149.6 19	0,402 12	0,402 12	5,47	00010	0	24.51 3	0,402 12	0,402 12	6,73



REGIONE BASILICATA - PROVINCIA DI MATERA - COMUNE DI FERRANDINA
PROGETTO DEFINITIVO
Parco Eolico "Montagnola"
Relazione preliminare sulle strutture

Platee - Verifiche pressoflessione retta allo SLU

Dir	Pos	Nodo	N _{Ed} [N]	M _{Ed} [N·m]	A _s [cm ² /cm]	A _{df} [cm ² /cm]	CS	Nodo	N _{Ed} [N]	M _{Ed} [N·m]	A _s [cm ² /cm]	A _{df} [cm ² /cm]	CS	Nodo	N _{Ed} [N]	M _{Ed} [N·m]	A _s [cm ² /cm]	A _{df} [cm ² /cm]	CS
	I		0	0	0,536 17	0,536 17	-		0	0	0,536 17	0,536 17	-		- 10.86 1	277.8 74	0,536 17	0,536 17	16,02
S	S		0	25.73 7	1,608 50	1,608 50	NS		18.08 1	134.5 61	1,608 50	1,608 50	88,9 3		-1.863	458.8 54	1,608 50	1,608 50	26,12
	I		8.593	74.64 5	1,608 50	1,608 50	NS		0	0	1,608 50	1,608 50	-		0	0	1,608 50	1,608 50	-
P	S	00011	0	21.02 9	0,402 12	0,402 12	6,77	00012	-6.790	388.6 54	0,402 12	0,402 12	3,97	00013	0	12.44 3	0,402 12	0,402 12	6,89
	I		0	0	0,536 17	0,536 17	-		0	0	0,536 17	0,536 17	-		29.40 2	34.04 3	0,536 17	0,536 17	7,52
S	S		0	13.72 2	1,608 50	1,608 50	NS		0	10.15 5	1,608 50	1,608 50	NS		0	20.35 5	1,608 50	1,608 50	NS
	I		23.14 6	36.91 7	1,608 50	1,608 50	NS		16.03 3	616.5 82	1,608 50	1,608 50	19,4 1		-4.076	344.7 21	1,608 50	1,608 50	34,77
P	S	00014	0	13.01 0	0,402 12	0,402 12	6,88	00015	0	0	0,402 12	0,402 12	-	00016	0	0	0,402 12	0,402 12	-
	I		54.56 1	633.7 79	0,536 17	0,536 17	25,5 4		24.85 8	557.8 80	0,536 17	0,536 17	58,4 1		70.91 8	484.4 94	0,536 17	0,536 17	NS
S	S		- 48.44 0	193.1 25	1,608 50	1,608 50	62,2 9		0	0	1,608 50	1,608 50	-		0	0	1,608 50	1,608 50	-
	I		0	0	1,608 50	1,608 50	-		-1.759	42.15 7	1,608 50	1,608 50	NS		3.786	103.7 08	1,608 50	1,608 50	NS
P	S	00017	0	0	0,402 12	0,402 12	-	00018	0	0	0,402 12	0,402 12	-	00019	0	0	0,402 12	0,402 12	-
	I		64.32 2	348.4 45	0,536 17	0,536 17	23,0 8		29.73 3	174.1 53	0,536 17	0,536 17	10,7 7		15.87 2	32.66 5	0,536 17	0,536 17	7,52
S	S		0	0	1,608 50	1,608 50	-		0	0	1,608 50	1,608 50	-		0	0	1,608 50	1,608 50	-
	I		8.658	205.5 16	1,608 50	1,608 50	58,2 7		15.21 9	316.1 10	1,608 50	1,608 50	37,8 6		-5.356	418.2 06	1,608 50	1,608 50	28,67
P	S	00020	40.46 4	75.02 9	0,402 12	0,402 12	6,07	00021	32.14 9	156.6 56	0,402 12	0,402 12	5,32	00022	17.40 9	252.1 69	0,402 12	0,402 12	4,66
	I		0	11.83 6	0,536 17	0,536 17	7,23		0	12.20 7	0,536 17	0,536 17	7,24		0	6.314	0,536 17	0,536 17	7,15
S	S		0	0	1,608 50	1,608 50	-		0	0	1,608 50	1,608 50	-		0	0	1,608 50	1,608 50	-
	I		26.20 8	517.7 76	1,608 50	1,608 50	23,1 0		36.22 6	596.9 15	1,608 50	1,608 50	20,0 2		38.76 1	588.8 21	1,608 50	1,608 50	20,29
P	S	00023	4.460	254.4 11	0,402 12	0,402 12	4,67	00024	6.992	257.0 77	0,402 12	0,402 12	4,65	00025	3.592	183.8 27	0,402 12	0,402 12	5,15
	I		0	1.404	0,536 17	0,536 17	7,08		0	2.280	0,536 17	0,536 17	7,09		0	1.098	0,536 17	0,536 17	7,08
S	S		0	0	1,608 50	1,608 50	-		0	0	1,608 50	1,608 50	-		0	0	1,608 50	1,608 50	-
	I		-2.371	522.4 47	1,608 50	1,608 50	22,9 4		32.76 8	502.7 12	1,608 50	1,608 50	23,7 8		40.76 9	346.8 66	1,608 50	1,608 50	34,44
P	S	00026	861	107.9 62	0,402 12	0,402 12	5,80	00027	-2.243	3.139	0,402 12	0,402 12	7,02	00028	0	0	0,402 12	0,402 12	-
	I		0	601	0,536 17	0,536 17	7,07		0	204	0,536 17	0,536 17	7,06		436	87.92 6	0,536 17	0,536 17	8,57
S	S		0	0	1,608 50	1,608 50	-		0	0	1,608 50	1,608 50	-		4.603	87.36 4	1,608 50	1,608 50	NS
	I		40.40 7	210.5 68	1,608 50	1,608 50	56,7 3		-2.145	52.27 8	1,608 50	1,608 50	NS		0	17.58 9	1,608 50	1,608 50	NS
P	S	00029	0	0	0,402 12	0,402 12	-	00030	0	0	0,402 12	0,402 12	-	00031	0	0	0,402 12	0,402 12	-
	I		23	176.9 25	0,536 17	0,536 17	10,9 5		2.101	208.7 58	0,536 17	0,536 17	12,1 5		640	203.4 82	0,536 17	0,536 17	11,94
S	S		8.431	233.0 88	1,608 50	1,608 50	51,3 8		10.96 4	312.5 29	1,608 50	1,608 50	38,3 1		2.543	375.7 62	1,608 50	1,608 50	31,88
	I		0	23.07 3	1,608 50	1,608 50	NS		0	18.41 0	1,608 50	1,608 50	NS		0	2.893	1,608 50	1,608 50	NS
P	S	00032	0	0	0,402 12	0,402 12	-	00033	0	0	0,402 12	0,402 12	-	00034	- 15.07 5	8.291	0,402 12	0,402 12	6,97
	I		-4.099	170.5 94	0,536 17	0,536 17	10,7 5		- 13.86 9	98.09 0	0,536 17	0,536 17	8,83		0	11.73 5	0,536 17	0,536 17	7,23
S	S		- 17.07 7	365.4 71	1,608 50	1,608 50	32,8 3		- 15.16 9	322.9 62	1,608 50	1,608 50	37,1 5		-9.428	269.4 06	1,608 50	1,608 50	44,51
	I		0	9.264	1,608 50	1,608 50	NS		0	12.76 0	1,608 50	1,608 50	NS		0	9.874	1,608 50	1,608 50	NS
P	S	00035	-8.967	95.52	0,402	0,402	5,94	00036	-	208.6	0,402	0,402	5,01	00037	-	290.3	0,402	0,402	4,53



REGIONE BASILICATA - PROVINCIA DI MATERA - COMUNE DI FERRANDINA
PROGETTO DEFINITIVO
Parco Eolico "Montagnola"
Relazione preliminare sulle strutture

Platee - Verifiche pressoflessione retta allo SLU

Dir	Pos	Nodo	NEd [N]	MEd [N-m]	AS [cm ² /cm]	Adf [cm ² /cm]	CS	Nodo	NEd [N]	MEd [N-m]	AS [cm ² /cm]	Adf [cm ² /cm]	CS	Nodo	NEd [N]	MEd [N-m]	AS [cm ² /cm]	Adf [cm ² /cm]	CS
	I		0	5.717	0,536 17	0,536 17	7,14		26.08 7	09	12	12			53.59 0	49	12	12	
S	S		1.270	191.7 90	1,608 50	1,608 50	62,4 7		-7.827	95.67 1	1,608 50	1,608 50	NS		-5.959	29.50 6	1,608 50	1,608 50	NS
	I		0	1.160	1,608 50	1,608 50	NS		0	2.270	1,608 50	1,608 50	NS		0	1.603	1,608 50	1,608 50	NS
P	S	00038	-53.96 1	308.7 93	0,402 12	0,402 12	4,42	00039	-27.55 9	306.1 21	0,402 12	0,402 12	4,41	00040	-28.48 5	249.0 65	0,402 12	0,402 12	4,74
	I		0	21.40 3	0,536 17	0,536 17	7,38		0	8.885	0,536 17	0,536 17	7,19		0	8.656	0,536 17	0,536 17	7,19
S	S		-2.639	7.740	1,608 50	1,608 50	NS		-447	7.274	1,608 50	1,608 50	NS		27	38.39 0	1,608 50	1,608 50	NS
	I		0	1.008	1,608 50	1,608 50	NS		0	618	1,608 50	1,608 50	NS		0	640	1,608 50	1,608 50	NS
P	S	00041	-70.42 1	185.0 90	0,402 12	0,402 12	5,25	00042	-64.36 4	57.88 8	0,402 12	0,402 12	6,44	00043	0	0	0,402 12	0,402 12	-
	I		0	21.47 3	0,536 17	0,536 17	7,38		0	21.92 8	0,536 17	0,536 17	7,39		-28.37 8	75.16 1	0,536 17	0,536 17	8,38
S	S		-3.228	82.41 2	1,608 50	1,608 50	NS		-8.177	168.0 45	1,608 50	1,608 50	71,3 6		-9.101	253.4 33	1,608 50	1,608 50	47,32
	I		0	1.188	1,608 50	1,608 50	NS		0	1.449	1,608 50	1,608 50	NS		0	2.237	1,608 50	1,608 50	NS
P	S	00044	0	0	0,402 12	0,402 12	-	00045	0	0	0,402 12	0,402 12	-	00046	0	0	0,402 12	0,402 12	-
	I		-23.00 2	201.6 85	0,536 17	0,536 17	11,9 4		-38.51 5	274.8 80	0,536 17	0,536 17	15,9 2		-32.34 8	345.4 53	0,536 17	0,536 17	23,25
S	S		-1.884	333.5 70	1,608 50	1,608 50	35,9 3		-23.10 2	385.2 36	1,608 50	1,608 50	31,1 6		-35.85 2	368.8 51	1,608 50	1,608 50	32,58
	I		0	1.416	1,608 50	1,608 50	NS		0	9.200	1,608 50	1,608 50	NS		0	12.36 9	1,608 50	1,608 50	NS
P	S	00047	0	0	0,402 12	0,402 12	-	00048	0	0	0,402 12	0,402 12	-	00049	0	0	0,402 12	0,402 12	-
	I		-15.34 4	377.1 94	0,536 17	0,536 17	29,2 2		-2.355	356.3 52	0,536 17	0,536 17	24,8 3		-7.105	316.1 82	0,536 17	0,536 17	19,37
S	S		-40.92 1	355.0 60	1,608 50	1,608 50	33,8 6		8.013	290.0 50	1,608 50	1,608 50	41,2 9		-30.64 9	157.6 78	1,608 50	1,608 50	76,18
	I		0	10.03 9	1,608 50	1,608 50	NS		0	3.550	1,608 50	1,608 50	NS		0	18.15 1	1,608 50	1,608 50	NS
P	S	00050	0	0	0,402 12	0,402 12	-	00051	0	0	0,402 12	0,402 12	-	00052	0	787	0,402 12	0,402 12	7,05
	I		-3.049	183.8 13	0,536 17	0,536 17	11,2 0		-878	91.28 2	0,536 17	0,536 17	8,65		1.635	17.67 7	0,536 17	0,536 17	7,32
S	S		0	0	1,608 50	1,608 50	-		0	0	1,608 50	1,608 50	-		0	0	1,608 50	1,608 50	-
	I		0	22.62 5	1,608 50	1,608 50	NS		-44.39 7	180.2 96	1,608 50	1,608 50	66,7 0		3.410	294.4 36	1,608 50	1,608 50	40,69
P	S	00053	964	98.10 5	0,402 12	0,402 12	5,90	00054	115	144.8 01	0,402 12	0,402 12	5,47	00055	-2.109	159.2 09	0,402 12	0,402 12	5,35
	I		0	1.152	0,536 17	0,536 17	7,08		0	1.202	0,536 17	0,536 17	7,08		0	1.681	0,536 17	0,536 17	7,08
S	S		0	0	1,608 50	1,608 50	-		0	0	1,608 50	1,608 50	-		0	0	1,608 50	1,608 50	-
	I		-259	476.1 65	1,608 50	1,608 50	25,1 7		-7.700	580.8 12	1,608 50	1,608 50	20,6 4		-11.67 6	613.5 53	1,608 50	1,608 50	19,55
P	S	00056	287	119.9 49	0,402 12	0,402 12	5,69	00057	6.961	51.30 8	0,402 12	0,402 12	6,39	00058	0	0	0,402 12	0,402 12	-
	I		0	1.136	0,536 17	0,536 17	7,08		0	5.842	0,536 17	0,536 17	7,14		15.72 8	75.00 3	0,536 17	0,536 17	8,28
S	S		0	0	1,608 50	1,608 50	-		0	0	1,608 50	1,608 50	-		0	0	1,608 50	1,608 50	-
	I		-2.428	599.6 24	1,608 50	1,608 50	19,9 9		19.00 5	597.0 68	1,608 50	1,608 50	20,0 4		15.70 2	525.9 68	1,608 50	1,608 50	22,75
P	S	00059	0	0	0,402 12	0,402 12	-	00060	0	0	0,402 12	0,402 12	-	00061	0	0	0,402 12	0,402 12	-
	I		14.93	193.0	0,536	0,536	11,4		7.553	297.5	0,536	0,536	17,5		20.63	430.5	0,536	0,536	51,75



Platee - Verifiche pressoflessione retta allo SLU

Dir	Pos	Nodo	N _{Ed} [N]	M _{Ed} [N-m]	A _s [cm ² /cm]	A _{df} [cm ² /cm]	CS	Nodo	N _{Ed} [N]	M _{Ed} [N-m]	A _s [cm ² /cm]	A _{df} [cm ² /cm]	CS	Nodo	N _{Ed} [N]	M _{Ed} [N-m]	A _s [cm ² /cm]	A _{df} [cm ² /cm]	CS
S	S		0	77	17	17	8			87	17	17	0		8	07	17	17	
S	I		0	0	1,608 50	1,608 50	-		0	0	1,608 50	1,608 50	-		0	0	1,608 50	1,608 50	-
			8.390	417.1 64	1,608 50	1,608 50	28,7 1		-2.361	275.9 16	1,608 50	1,608 50	43,4 4		12.43 7	174.8 99	1,608 50	1,608 50	68,45
P	S	00062	0	0	0,402 12	0,402 12	-	00063	0	0	0,402 12	0,402 12	-	00064	0	0	0,402 12	0,402 12	-
P	I		54.69 5	540.8 13	0,536 17	0,536 17	81,1 7		53.72 3	609.2 97	0,536 17	0,536 17	31,1 7		24.60 3	606.4 93	0,536 17	0,536 17	32,22
S	S		0	0	1,608 50	1,608 50	-		0	0	1,608 50	1,608 50	-		0	0	1,608 50	1,608 50	-
S	I		8.216	62.12 3	1,608 50	1,608 50	NS		2.477	24.88 8	1,608 50	1,608 50	NS		-36	6.821	1,608 50	1,608 50	NS
P	S	00065	0	0	0,402 12	0,402 12	-	00066	0	0	0,402 12	0,402 12	-	00067	0	0	0,402 12	0,402 12	-
P	I		44.17 0	640.3 25	0,536 17	0,536 17	24,4 3		49.16 8	679.8 62	0,536 17	0,536 17	19,0 9		54.60 3	659.9 23	0,536 17	0,536 17	21,41
S	S		0	0	1,608 50	1,608 50	-		2.954	39.28 3	1,608 50	1,608 50	NS		0	0	1,608 50	1,608 50	-
S	I		0	2.121	1,608 50	1,608 50	NS		0	1.449	1,608 50	1,608 50	NS		4.105	15.20 7	1,608 50	1,608 50	NS
P	S	00068	0	0	0,402 12	0,402 12	-	00069	0	0	0,402 12	0,402 12	-	00070	0	0	0,402 12	0,402 12	-
P	I		54.64 4	661.0 36	0,536 17	0,536 17	21,2 7		51.85 9	551.3 02	0,536 17	0,536 17	65,2 0		46.91 9	549.5 59	0,536 17	0,536 17	67,49
S	S		0	0	1,608 50	1,608 50	-		0	0	1,608 50	1,608 50	-		0	0	1,608 50	1,608 50	-
S	I		4.825	11.93 1	1,608 50	1,608 50	NS		7.015	86.84 9	1,608 50	1,608 50	NS		9.362	90.21 8	1,608 50	1,608 50	NS
P	S	00071	0	0	0,402 12	0,402 12	-	00072	0	0	0,402 12	0,402 12	-	00073	0	0	0,402 12	0,402 12	-
P	I		9.455	398.0 33	0,536 17	0,536 17	35,0 6		- 12.45 1	389.3 65	0,536 17	0,536 17	32,4 7		12.53 6	274.3 63	0,536 17	0,536 17	15,67
S	S		0	0	1,608 50	1,608 50	-		0	0	1,608 50	1,608 50	-		0	0	1,608 50	1,608 50	-
S	I		15.51 3	197.8 73	1,608 50	1,608 50	60,4 9		121	197.9 96	1,608 50	1,608 50	60,5 2		1.954	334.4 16	1,608 50	1,608 50	35,83
P	S	00074	0	0	0,402 12	0,402 12	-	00075	0	0	0,402 12	0,402 12	-	00076	0	0	0,402 12	0,402 12	-
P	I		14.79 6	275.6 05	0,536 17	0,536 17	15,7 4		14.58 1	157.5 58	0,536 17	0,536 17	10,2 9		15.66 0	149.3 02	0,536 17	0,536 17	10,04
S	S		0	0	1,608 50	1,608 50	-		0	0	1,608 50	1,608 50	-		0	0	1,608 50	1,608 50	-
S	I		8.801	341.5 81	1,608 50	1,608 50	35,0 6		9.847	483.7 99	1,608 50	1,608 50	24,7 5		13.88 8	475.6 30	1,608 50	1,608 50	25,17
P	S	00077	0	0	0,402 12	0,402 12	-	00078	0	0	0,402 12	0,402 12	-	00079	-970	79.35 3	0,402 12	0,402 12	-
P	I		13.98 2	25.13 2	0,536 17	0,536 17	7,41		0	9.686	0,536 17	0,536 17	7,20		0	4.228	0,536 17	0,536 17	7,12
S	S		0	0	1,608 50	1,608 50	-		0	0	1,608 50	1,608 50	-		0	0	1,608 50	1,608 50	-
S	I		17.59 9	573.5 28	1,608 50	1,608 50	20,8 6		18.94 3	577.7 82	1,608 50	1,608 50	20,7 1		13.79 0	627.4 01	1,608 50	1,608 50	19,08
P	S	00080	2.272	93.15 1	0,402 12	0,402 12	5,94	00081	1.192	118.5 50	0,402 12	0,402 12	5,70	00082	-3.847	148.6 18	0,402 12	0,402 12	5,44
P	I		0	1.834	0,536 17	0,536 17	7,09		0	527	0,536 17	0,536 17	7,07		0	3.153	0,536 17	0,536 17	7,11
S	S		0	0	1,608 50	1,608 50	-		0	0	1,608 50	1,608 50	-		0	0	1,608 50	1,608 50	-
S	I		619	594.1 56	1,608 50	1,608 50	20,1 7		-3.932	651.6 69	1,608 50	1,608 50	18,3 9		-6.386	650.0 98	1,608 50	1,608 50	18,44
P	S	00083	-2.027	107.4 66	0,402 12	0,402 12	5,81	00084	48	153.5 00	0,402 12	0,402 12	5,40	00085	-295	115.7 63	0,402 12	0,402 12	5,73
P	I		0	2.002	0,536 17	0,536 17	7,09		0	3.300	0,536 17	0,536 17	7,11		0	2.673	0,536 17	0,536 17	7,10
S	S		0	0	1,608 50	1,608 50	-		0	0	1,608 50	1,608 50	-		0	0	1,608 50	1,608 50	-
S	I		12.00 9	647.3 56	1,608 50	1,608 50	18,5 3		- 10.89 7	618.9 82	1,608 50	1,608 50	19,3 8		-3.742	562.7 00	1,608 50	1,608 50	21,30
P	S	00086	495	136.6 25	0,402 12	0,402 12	5,54	00087	-3.458	76.56 1	0,402 12	0,402 12	6,13	00088	-2.025	48.95 6	0,402 12	0,402 12	6,43
P	I		0	731	0,536 17	0,536 17	7,07		0	1.304	0,536 17	0,536 17	7,08		0	497	0,536 17	0,536 17	7,07
S	S		0	0	1,608	1,608	-		0	0	1,608	1,608	-		0	0	1,608	1,608	-



Platee - Verifiche pressoflessione retta allo SLU

Dir	Pos	Nodo	NEd [N]	MEd [N-m]	As [cm ² /cm]	A _{df} [cm ² /cm]	CS	Nodo	NEd [N]	MEd [N-m]	As [cm ² /cm]	A _{df} [cm ² /cm]	CS	Nodo	NEd [N]	MEd [N-m]	As [cm ² /cm]	A _{df} [cm ² /cm]	CS
	I		-2.999	537.8 69	1,608 50	1,608 50	22,2 8		-2.547	439.6 30	1,608 50	1,608 50	27,2 6		939	389.6 68	1,608 50	1,608 50	30,75
P	S	00089	-486	24.30 7	0,402 12	0,402 12	6,73	00090	0	0	0,402 12	0,402 12	-	00091	0	0	0,402 12	0,402 12	-
	I		0	886	0,536 17	0,536 17	7,07	5.067	48.09 6	0,536 17	0,536 17	7,80	-1.345	49.49 3	0,536 17	0,536 17	7,84		
S	S		0	0	1,608 50	1,608 50	-	0	0	1,608 50	1,608 50	-	0	0	1,608 50	1,608 50	-		
	I		465	341.5 50	1,608 50	1,608 50	35,0 8	-	17.81 8	267.0 44	1,608 50	1,608 50	44,9 4	-	26.32 7	253.4 86	1,608 50	1,608 50	47,37
P	S	00092	0	0	0,402 12	0,402 12	-	00093	0	0	0,402 12	0,402 12	-	00094	0	0	0,402 12	0,402 12	-
	I		-1.409	147.5 80	0,536 17	0,536 17	10,0 4	-1.047	133.5 38	0,536 17	0,536 17	9,65	-5.480	302.0 91	0,536 17	0,536 17	17,97		
S	S		0	0	1,608 50	1,608 50	-	0	0	1,608 50	1,608 50	-	-	38.64 3	30.95 7	1,608 50	1,608 50	NS	
	I		-	46.06 0	129.7 19	1,608 50	1,608 50	92,7 1	-	45.93 2	107.2 46	1,608 50	1,608 50	NS	0	24.02 4	1,608 50	1,608 50	NS
P	S	00095	0	0	0,402 12	0,402 12	-	00096	0	0	0,402 12	0,402 12	-	00097	0	0	0,402 12	0,402 12	-
	I		-5.014	268.4 79	0,536 17	0,536 17	15,3 4	-7.490	313.0 48	0,536 17	0,536 17	19,0 5	-5.902	332.9 87	0,536 17	0,536 17	21,34		
S	S		-	81.76 9	1,608 50	1,608 50	NS	-	26.73 6	182.3 25	1,608 50	1,608 50	65,8 6	-	11.19 2	237.5 25	1,608 50	1,608 50	50,49
	I		34.41 5	0	22.48 1	1,608 50	1,608 50	NS	0	14.70 7	1,608 50	1,608 50	NS	0	9.071	1,608 50	1,608 50	NS	
P	S	00098	0	0	0,402 12	0,402 12	-	00099	0	0	0,402 12	0,402 12	-	00100	0	0	0,402 12	0,402 12	-
	I		11.27 7	356.7 62	0,536 17	0,536 17	24,8 1	14.48 4	384.1 21	0,536 17	0,536 17	30,7 4	-4.899	374.7 24	0,536 17	0,536 17	28,55		
S	S		5.915	283.4 51	1,608 50	1,608 50	42,2 6	-	16.22 2	327.4 72	1,608 50	1,608 50	36,6 4	-	46.72 4	335.5 99	1,608 50	1,608 50	35,84
	I		0	3.127	1,608 50	1,608 50	NS	0	5.770	1,608 50	1,608 50	NS	0	9.073	1,608 50	1,608 50	NS		
P	S	00101	0	0	0,402 12	0,402 12	-	00102	0	0	0,402 12	0,402 12	-	00103	0	0	0,402 12	0,402 12	-
	I		-	24.13 5	373.9 88	0,536 17	0,536 17	28,5 4	-	29.58 4	363.5 53	0,536 17	0,536 17	26,3 6	-	37.59 9	334.0 08	0,536 17	0,536 17
S	S		42.51 2	361.3 82	1,608 50	1,608 50	33,2 7	-	41.18 0	398.1 64	1,608 50	1,608 50	30,1 9	-	34.25 3	393.8 92	1,608 50	1,608 50	30,50
	I		0	12.58 9	1,608 50	1,608 50	NS	0	13.48 3	1,608 50	1,608 50	NS	0	13.08 8	1,608 50	1,608 50	NS		
P	S	00104	0	0	0,402 12	0,402 12	-	00105	0	0	0,402 12	0,402 12	-	00106	0	0	0,402 12	0,402 12	-
	I		-	37.16 6	313.0 71	0,536 17	0,536 17	19,2 1	-	41.35 8	251.9 49	0,536 17	0,536 17	14,4 5	-	28.56 8	206.7 28	0,536 17	0,536 17
S	S		28.21 6	396.1 53	1,608 50	1,608 50	30,3 2	-	17.59 4	356.9 47	1,608 50	1,608 50	33,6 2	-	7.392	345.3 84	1,608 50	1,608 50	34,72
	I		0	13.00 2	1,608 50	1,608 50	NS	0	8.771	1,608 50	1,608 50	NS	0	5.845	1,608 50	1,608 50	NS		
P	S	00107	0	0	0,402 12	0,402 12	-	00108	0	0	0,402 12	0,402 12	-	00109	0	0	0,402 12	0,402 12	-
	I		-2.989	158.1 25	0,536 17	0,536 17	10,3 5	-	15.90 7	105.3 48	0,536 17	0,536 17	8,99	-	50.28 6	30.47 0	0,536 17	0,536 17	7,62
S	S		2.492	310.3 93	1,608 50	1,608 50	38,6 0	-	17.67 4	273.1 10	1,608 50	1,608 50	43,9 4	-	14.82 7	220.5 98	1,608 50	1,608 50	54,39
	I		0	2.243	1,608 50	1,608 50	NS	0	2.179	1,608 50	1,608 50	NS	0	3.274	1,608 50	1,608 50	NS		
P	S	00110	-	29.00 5	0,402 12	0,402 12	6,78	00111	-	104.0 63	0,402 12	0,402 12	5,95	00112	-	145.4 63	0,402 12	0,402 12	5,57
	I		60.01 4	0	21.62 9	0,536 17	0,536 17	7,38	69.67 0	24.07 2	0,536 17	0,536 17	7,42	72.43 4	25.34 2	0,536 17	0,536 17	7,44	
S	S		-9.154	180.7	1,608	1,608	66,3	-	-5.535	117.7	1,608	1,608	NS	-	-7.668	92.44	1,608	1,608	NS



Platee - Verifiche pressoflessione retta allo SLU

Dir	Pos	Nodo	N _{Ed} [N]	M _{Ed} [N·m]	A _S [cm ² /cm]	A _{df} [cm ² /cm]	CS	Nodo	N _{Ed} [N]	M _{Ed} [N·m]	A _S [cm ² /cm]	A _{df} [cm ² /cm]	CS	Nodo	N _{Ed} [N]	M _{Ed} [N·m]	A _S [cm ² /cm]	A _{df} [cm ² /cm]	CS
	I		0	3.411	50 1,608 50	50 1,608 50	3 NS		0	2.407	50 1,608 50	50 1,608 50	NS		0	2.186	50 1,608 50	50 1,608 50	NS
P	S	00113	-72.87 5	174.4 16	0,402 12	0,402 12	5,33	00114	-71.16 3	220.3 82	0,402 12	0,402 12	4,99	00115	-56.76 7	274.1 82	0,402 12	0,402 12	4,62
	I		0	24.42 2	0,536 17	0,536 17	7,42		0	20.80 1	0,536 17	0,536 17	7,37		0	16.40 0	0,536 17	0,536 17	7,30
S	S		-3.369	98.21 1	1,608 50	1,608 50	NS		-856	55.21 7	1,608 50	1,608 50	NS		-315	15.01 3	1,608 50	1,608 50	NS
	I		0	2.073	50 1,608 50	50 1,608 50	NS		0	1.223	50 1,608 50	50 1,608 50	NS		0	1.149	50 1,608 50	50 1,608 50	NS
P	S	00116	-14.09 0	297.0 82	0,402 12	0,402 12	4,44	00117	-9.716	310.2 08	0,402 12	0,402 12	4,36	00118	45.98 4	345.5 93	0,402 12	0,402 12	4,22
	I		0	5.403	0,536 17	0,536 17	7,14		0	5.548	0,536 17	0,536 17	7,14		0	16.26 5	0,536 17	0,536 17	7,30
S	S		0	0	1,608 50	1,608 50	-		0	0	1,608 50	1,608 50	-		0	0	1,608 50	1,608 50	-
	I		2.575	16.08 1	1,608 50	1,608 50	NS		3.139	24.52 8	1,608 50	1,608 50	NS		1.084	37.88 2	1,608 50	1,608 50	NS
P	S	00119	-53.50 1	340.5 86	0,402 12	0,402 12	4,25	00120	-56.22 9	331.2 69	0,402 12	0,402 12	4,30	00121	55.77 0	326.0 71	0,402 12	0,402 12	4,33
	I		0	20.66 0	0,536 17	0,536 17	7,37		0	24.64 9	0,536 17	0,536 17	7,43		0	25.40 4	0,536 17	0,536 17	7,44
S	S		0	0	1,608 50	1,608 50	-		-3.058	6.655	1,608 50	1,608 50	NS		-6.044	198	1,608 50	1,608 50	NS
	I		-537	12.49 4	1,608 50	1,608 50	NS		0	2.372	1,608 50	1,608 50	NS		0	2.168	1,608 50	1,608 50	NS
P	S	00122	-50.07 3	271.5 65	0,402 12	0,402 12	4,63	00123	-43.43 7	230.3 30	0,402 12	0,402 12	4,88	00124	2.168	167.6 25	0,402 12	0,402 12	5,28
	I		0	21.68 0	0,536 17	0,536 17	7,38		0	17.22 4	0,536 17	0,536 17	7,31		0	4.933	0,536 17	0,536 17	7,13
S	S		-8.505	42.95 8	1,608 50	1,608 50	NS		-8.654	88.67 8	1,608 50	1,608 50	NS		12.83 9	123.3 41	1,608 50	1,608 50	97,25
	I		0	3.562	1,608 50	1,608 50	NS		0	1.617	1,608 50	1,608 50	NS		0	4.043	1,608 50	1,608 50	NS
P	S	00125	1.958	128.1 95	0,402 12	0,402 12	5,61	00126	-14.13 4	61.29 5	0,402 12	0,402 12	6,31	00127	17.04 9	38.74 5	0,402 12	0,402 12	6,58
	I		0	2.821	0,536 17	0,536 17	7,10		0	9.897	0,536 17	0,536 17	7,20		0	11.74 6	0,536 17	0,536 17	7,23
S	S		583	166.3 31	1,608 50	1,608 50	72,0 4		-2.987	219.2 20	1,608 50	1,608 50	54,6 8		-7.203	255.1 73	1,608 50	1,608 50	46,99
	I		0	2.009	1,608 50	1,608 50	NS		0	5.902	1,608 50	1,608 50	NS		0	9.420	1,608 50	1,608 50	NS
P	S	00128	0	0	0,402 12	0,402 12	-	00129	0	0	0,402 12	0,402 12	-	00130	0	0	0,402 12	0,402 12	-
	I		-15.57 2	43.57 9	0,536 17	0,536 17	7,77		-16.75 2	52.24 2	0,536 17	0,536 17	7,92		-14.12 9	104.6 74	0,536 17	0,536 17	8,97
S	S		-10.78 1	318.0 72	1,608 50	1,608 50	37,7 1		-14.13 2	340.3 74	1,608 50	1,608 50	35,2 5		-18.76 6	379.5 98	1,608 50	1,608 50	31,61
	I		0	12.80 6	1,608 50	1,608 50	NS		0	13.38 8	1,608 50	1,608 50	NS		0	13.37 0	1,608 50	1,608 50	NS
P	S	00131	0	0	0,402 12	0,402 12	-	00132	0	0	0,402 12	0,402 12	-	00133	0	0	0,402 12	0,402 12	-
	I		-10.79 4	158.9 49	0,536 17	0,536 17	10,4 0		2.313	204.1 17	0,536 17	0,536 17	11,9 6		3.762	192.4 14	0,536 17	0,536 17	11,49
S	S		-20.41 4	370.8 85	1,608 50	1,608 50	32,3 6		-18.22 5	395.2 14	1,608 50	1,608 50	30,3 6		1.690	357.7 85	1,608 50	1,608 50	33,49
	I		0	11.80 1	1,608 50	1,608 50	NS		0	7.412	1,608 50	1,608 50	NS		0	3.494	1,608 50	1,608 50	NS
P	S	00134	0	0	0,402 12	0,402 12	-	00135	0	0	0,402 12	0,402 12	-	00136	0	0	0,402 12	0,402 12	-
	I		1.670	211.4 49	0,536 17	0,536 17	12,2 6		2.486	212.9 51	0,536 17	0,536 17	12,3 3		1.360	166.4 08	0,536 17	0,536 17	10,60
S	S		5.840	365.8 36	1,608 50	1,608 50	32,7 4		5.978	331.7 68	1,608 50	1,608 50	36,1 0		10.82 8	280.8 11	1,608 50	1,608 50	42,64
	I		0	8.871	1,608 50	1,608 50	NS		0	14.36	1,608 50	1,608 50	NS		0	23.33	1,608 50	1,608 50	NS



Platee - Verifiche pressoflessione retta allo SLU

Dir	Pos	Nodo	NEd	MEd	AS	Adf	CS	Nodo	NEd	MEd	AS	Adf	CS	Nodo	NEd	MEd	AS	Adf	CS	
			[N]	[N·m]	[cm ² /cm]	[cm ² /cm]			[N]	[N·m]	[cm ² /cm]	[cm ² /cm]			[N]	[N·m]	[cm ² /cm]	[cm ² /cm]		
					50	50				6	50	50				6	50	50		
P	S	00137	0	0	0,402	0,402	-	00138	0	0	0,402	0,402	-	00139	0	0	0,402	0,402	-	
	I		-144	205.3	0,536	0,536	12,0	255	142.8	0,536	0,536	12	12	9,90	86	123.2	0,536	0,536	12	12
S	S		10.24	257.5	1,608	1,608	46,5		4.950	170.6	1,608	1,608	70,1		121.9	1,608	1,608	50	50	98,27
	I		0	24.88	1,608	1,608	NS	0	0	24.57	1,608	1,608	NS	0	21.91	1,608	1,608	50	50	NS
P	S	00140	0	0	0,402	0,402	-	00141	0	0	0,402	0,402	-	00142	-7.789	72.34	0,402	0,402	-	
	I		1.540	29.24	0,536	0,536	7,50	-784	50.32	0,536	0,536	12	12	7,86	0	0	0,536	0,536	12	12
S	S		7.691	14.22	1,608	1,608	NS		0	0	1,608	1,608	-		0	0	1,608	1,608	-	-
	I		0	13.15	1,608	1,608	NS	0	7.104	1,608	1,608	NS	9.197	114.8	1,608	1,608	50	50	NS	NS
P	S	00143	-624	50.58	0,402	0,402	6,41	00144	-300	143.4	0,402	0,402	5,48	00145	1.592	129.9	0,402	0,402	5,60	
	I		0	1.783	0,536	0,536	7,09	0	812	0,536	0,536	12	12	7,07	0	2.300	0,536	0,536	12	12
S	S		0	0	1,608	1,608	-		0	0	1,608	1,608	-		0	0	1,608	1,608	-	-
	I		28.30	147.9	1,608	1,608	80,8	44.84	275.9	1,608	1,608	43,2	44.56	305.5	1,608	1,608	50	50	39,08	
P	S	00146	3.892	193.2	0,402	0,402	5,08	00147	6.337	237.9	0,402	0,402	4,77	00148	5.330	216.0	0,402	0,402	4,92	
	I		0	2.866	0,536	0,536	7,10	0	2.823	0,536	0,536	12	12	7,10	0	3.521	0,536	0,536	12	12
S	S		0	0	1,608	1,608	-		0	0	1,608	1,608	-		0	0	1,608	1,608	-	-
	I		40.11	380.7	1,608	1,608	31,3	39.29	443.0	1,608	1,608	26,9	34.15	454.6	1,608	1,608	50	50	26,29	
P	S	00149	8.479	236.4	0,402	0,402	4,78	00150	1.133	274.4	0,402	0,402	4,55	00151	-855	254.7	0,402	0,402	4,67	
	I		0	2.893	0,536	0,536	7,10	0	2.895	0,536	0,536	12	12	7,10	0	955	0,536	0,536	12	12
S	S		0	0	1,608	1,608	-		0	0	1,608	1,608	-		0	0	1,608	1,608	-	-
	I		28.33	512.7	1,608	1,608	23,3	6.261	544.0	1,608	1,608	22,0	2.041	548.9	1,608	1,608	50	50	21,82	
P	S	00152	-6.183	281.0	0,402	0,402	4,52	00153	19.33	198.1	0,402	0,402	5,02	00154	28.25	180.5	0,402	0,402	5,14	
	I		0	3.345	0,536	0,536	7,11	0	10.80	0,536	0,536	12	12	7,22	0	12.82	0,536	0,536	12	12
S	S		0	0	1,608	1,608	-		0	0	1,608	1,608	-		0	0	1,608	1,608	-	-
	I		28.14	587.8	1,608	1,608	20,3	40.00	621.1	1,608	1,608	19,2	38.76	610.2	1,608	1,608	50	50	19,58	
P	S	00155	35.36	102.6	0,402	0,402	5,80	00156	37.96	83.40	0,402	0,402	5,98	00157	40.84	11.32	0,402	0,402	6,83	
	I		0	14.21	0,536	0,536	7,27	0	13.42	0,536	0,536	12	12	7,26	0	11.40	0,536	0,536	12	12
S	S		0	0	1,608	1,608	-		0	0	1,608	1,608	-		0	0	1,608	1,608	-	-
	I		33.40	555.5	1,608	1,608	21,5	28.40	558.8	1,608	1,608	21,3	18.79	477.7	1,608	1,608	50	50	25,04	
P	S	00158	0	0	0,402	0,402	-	00159	0	0	0,402	0,402	-	00160	0	0	0,402	0,402	-	
	I		30.72	24.93	0,536	0,536	7,37	-3.205	116.4	0,536	0,536	12	12	9,22	13.30	164.1	0,536	0,536	12	12
S	S		0	0	1,608	1,608	-		0	0	1,608	1,608	-		0	0	1,608	1,608	-	-
	I		7.821	457.4	1,608	1,608	26,1	287	360.9	1,608	1,608	33,2	14.01	335.4	1,608	1,608	50	50	35,69	
P	S	00161	0	0	0,402	0,402	-	00162	0	0	0,402	0,402	-	00163	0	0	0,402	0,402	-	
	I		49.64	295.1	0,536	0,536	17,0	61.55	357.2	0,536	0,536	12	12	24,5	68.60	472.6	0,536	0,536	12	12
S	S		0	0	1,608	1,608	-		0	0	1,608	1,608	-		0	0	1,608	1,608	-	-
	I		12.58	241.9	1,608	1,608	49,4	9.803	213.6	1,608	1,608	56,0	7.204	126.0	1,608	1,608	50	50	95,02	
P	S	00164	0	0	0,402	0,402	-	00165	0	0	0,402	0,402	-	00166	0	0	0,402	0,402	-	
	I		70.64	515.0	0,536	0,536	NS	71.83	579.4	0,536	0,536	12	12	42,3	57.60	587.1	0,536	0,536	12	12





REGIONE BASILICATA - PROVINCIA DI MATERA - COMUNE DI FERRANDINA
PROGETTO DEFINITIVO
Parco Eolico "Montagnola"
Relazione preliminare sulle strutture

Platee - Verifiche pressoflessione retta allo SLU

Dir	Pos	Nodo	N _{Ed} [N]	M _{Ed} [N-m]	A _s [cm ² /cm]	A _{df} [cm ² /cm]	CS	Nodo	N _{Ed} [N]	M _{Ed} [N-m]	A _s [cm ² /cm]	A _{df} [cm ² /cm]	CS	Nodo	N _{Ed} [N]	M _{Ed} [N-m]	A _s [cm ² /cm]	A _{df} [cm ² /cm]	CS
			1	56	17	17			3	96	17	17			1	53	17	17	
S	S		0	0	1,608	1,608	-		0	0	1,608	1,608	-		0	0	1,608	1,608	-
	I		6.270	103.125	50	50	NS		1.504	28.322	50	50	NS		76	24.851	50	50	NS
P	S	00167	0	0	0,402	0,402	-	00168	0	0	0,402	0,402	-	00169	0	0	0,402	0,402	-
	I		2.213	609.394	0,536	0,536	31,56		9.739	596.332	0,536	0,536	35,69		45.878	672.133	0,536	0,536	19,96
S	S		381	28.696	1,608	1,608	NS		-1.700	1.531	1,608	1,608	NS		-2.202	36.751	1,608	1,608	NS
	I		0	1.951	1,608	1,608	NS		0	910	1,608	1,608	NS		0	1.863	1,608	1,608	NS
P	S	00170	0	0	0,402	0,402	-	00171	0	0	0,402	0,402	-	00172	0	0	0,402	0,402	-
	I		49.295	619.496	0,536	0,536	28,59		32.317	475.145	0,536	0,536	NS		1.929	325.641	0,536	0,536	20,38
S	S		0	0	1,608	1,608	-		0	0	1,608	1,608	-		0	0	1,608	1,608	-
	I		1.185	38.314	1,608	1,608	NS		12.283	136.499	1,608	1,608	87,70		3.244	254.476	1,608	1,608	47,08
P	S	00173	0	0	0,402	0,402	-	00174	0	0	0,402	0,402	-	00175	769	85.068	0,402	0,402	-
	I		13.613	196.528	0,536	0,536	11,62		14.313	65.713	0,536	0,536	8,10		0	5.736	0,536	0,536	7,14
S	S		0	0	1,608	1,608	-		0	0	1,608	1,608	-		0	0	1,608	1,608	-
	I		1.898	427.828	1,608	1,608	28,01		12.108	541.482	1,608	1,608	22,11		25.986	640.076	1,608	1,608	18,68
P	S	00176	-249	159.286	0,402	0,402	5,35	00177	-130	183.117	0,402	0,402	5,16	00178	1.332	166.617	0,402	0,402	5,29
	I		0	818	0,536	0,536	7,07		0	1.987	0,536	0,536	7,09		0	3.188	0,536	0,536	7,11
S	S		0	0	1,608	1,608	-		0	0	1,608	1,608	-		0	0	1,608	1,608	-
	I		22.372	630.808	1,608	1,608	18,96		-13.959	661.977	1,608	1,608	18,12		-7.066	609.536	1,608	1,608	19,67
P	S	00179	156	97.791	0,402	0,402	5,90	00180	-5.380	4.468	0,402	0,402	7,01	00181	0	0	0,402	0,402	-
	I		0	1.528	0,536	0,536	7,08		0	0	0,536	0,536	-		8.997	107.892	0,536	0,536	8,99
S	S		0	0	1,608	1,608	-		0	0	1,608	1,608	-		0	0	1,608	1,608	-
	I		6.951	489.436	1,608	1,608	24,47		-25.724	321.033	1,608	1,608	37,40		-43.046	168.201	1,608	1,608	71,49
P	S	00182	0	0	0,402	0,402	-	00183	0	0	0,402	0,402	-	00184	0	0	0,402	0,402	-
	I		-446	193.478	0,536	0,536	11,55		-6.698	319.119	0,536	0,536	19,69		-2.527	381.600	0,536	0,536	30,22
S	S		0	0	1,608	1,608	-		-23.748	149.828	1,608	1,608	80,13		-5.569	311.850	1,608	1,608	38,44
	I		0	24.086	1,608	1,608	NS		0	19.161	1,608	1,608	NS		0	1.474	1,608	1,608	NS
P	S	00185	0	0	0,402	0,402	-	00186	0	0	0,402	0,402	-	00187	0	0	0,402	0,402	-
	I		-12.479	388.588	0,536	0,536	32,24		-28.162	372.694	0,536	0,536	28,27		-34.222	280.612	0,536	0,536	16,33
S	S		-44.454	366.514	1,608	1,608	32,81		-31.102	396.909	1,608	1,608	30,27		-16.545	390.641	1,608	1,608	30,72
	I		0	10.796	1,608	1,608	NS		0	13.588	1,608	1,608	NS		0	10.597	1,608	1,608	NS
P	S	00188	0	0	0,402	0,402	-	00189	0	0	0,402	0,402	-	00190	-60.103	70.575	0,402	0,402	6,29
	I		-30.275	185.920	0,536	0,536	11,36		-31.328	64.577	0,536	0,536	8,18		0	22.815	0,536	0,536	7,40
S	S		8.186	330.298	1,608	1,608	36,26		-13.735	251.132	1,608	1,608	47,77		-3.062	149.813	1,608	1,608	80,01
	I		0	397	1,608	1,608	NS		0	2.589	1,608	1,608	NS		0	3.361	1,608	1,608	NS



Platee - Verifiche pressoflessione retta allo SLU

Dir	Pos	Nodo	N _{Ed} [N]	M _{Ed} [N-m]	A _s [cm ² /cm]	A _{df} [cm ² /cm]	CS	Nodo	N _{Ed} [N]	M _{Ed} [N-m]	A _s [cm ² /cm]	A _{df} [cm ² /cm]	CS	Nodo	N _{Ed} [N]	M _{Ed} [N-m]	A _s [cm ² /cm]	A _{df} [cm ² /cm]	CS
	I		35.12 2	914.3 54	0,536 17	0,536 17	8,37		35.30 8	950.6 87	0,536 17	0,536 17	7,70		49.48 8	930.8 20	0,536 17	0,536 17	8,02
S	S		- 23.17 9	46.07 5	1,608 50	1,608 50	NS		- 36.68 5	67.87 1	1,608 50	1,608 50	NS		- 64.63 2	58.71 2	1,608 50	1,608 50	NS
	I		0 7.949	1,608 50	1,608 50	NS		0 8.273	1,608 50	1,608 50	NS		0 9.467	1,608 50	1,608 50	NS			NS
P	S	00245	0 48.82 0	0 882.7 89	0,402 12 0,536 17	0,402 12 0,536 17	- 9,02	00246	0 42.90 7	0 807.8 48	0,402 12 0,536 17	0,402 12 0,536 17	- 11,2 2	00247	0 38.47 1	0 686.5 22	0,402 12 0,536 17	0,402 12 0,536 17	- 18,47
S	S		- 53.27 1	26.27 7	1,608 50	1,608 50	NS		0 0	1,608 50	1,608 50	-		0 0	1,608 50	1,608 50			-
	I		0 9.189	1,608 50	1,608 50	NS		- 31.06 1	26.39 2	1,608 50	1,608 50	NS		- 17.77 1	99.65 3	1,608 50	1,608 50		NS
P	S	00248	0 33.71 0	0 543.7 78	0,402 12 0,536 17	0,402 12 0,536 17	- 76,2 8	00249	0 27.16 6	0 391.9 86	0,402 12 0,536 17	0,402 12 0,536 17	- 32,9 0	00250	0 7.589	0 239.4 00	0,402 12 0,536 17	0,402 12 0,536 17	- 13,57
S	S		0 -9.152	0 175.9 71	1,608 50	1,608 50	- 68,1 5		0 -3.619	0 246.1 80	1,608 50	1,608 50	- 48,6 9		0 10.80 6	135 315.7 96	1,608 50	1,608 50	NS 37,91
P	S	00251	0 18.03 8	1.581 107.5 61	0,402 12 0,536 17	0,402 12 0,536 17	7,04 8,96	00252	0 8.937	0 280.1 29	0,402 12 0,536 17	0,402 12 0,536 17	- 16,1 0	00253	0 21.99 7	0 353.1 61	0,402 12 0,536 17	0,402 12 0,536 17	- 24,12
S	S		0 18.49 9	2.507 342.9 56	1,608 50	1,608 50	NS 34,8 9		0 -10.83 3	0 342.4 51	1,608 50	1,608 50	- 35,0 2		0 -47.43 2	0 253.4 70	1,608 50	1,608 50	- 47,45
P	S	00254	0 55.90 6	0 511.2 26	0,402 12 0,536 17	0,402 12 0,536 17	- NS	00255	0 35.68 6	0 701.1 25	0,402 12 0,536 17	0,402 12 0,536 17	- 17,1 5	00256	0 34.72 2	0 870.0 97	0,402 12 0,536 17	0,402 12 0,536 17	- 9,36
S	S		0 45.88 5	0 190.1 67	1,608 50	1,608 50	- 63,2 4		0 -21.72 7	0 152.3 52	1,608 50	1,608 50	- 78,7 9		0 -22.54 0	0 102.6 62	1,608 50	1,608 50	- NS
P	S	00257	0 35.09 2	0 1.010. 587	0,402 12 0,536 17	0,402 12 0,536 17	- 6,80	00258	0 37.32 8	0 1.102. 850	0,402 12 0,536 17	0,402 12 0,536 17	- 5,76	00259	0 43.19 3	0 1.131. 027	0,402 12 0,536 17	0,402 12 0,536 17	- 5,49
S	S		0 -27.97 9	0 56.73 9	1,608 50	1,608 50	- NS		0 -37.60 5	0 27.52 7	1,608 50	1,608 50	- NS		0 -50.57 8	0 24.64 2	1,608 50	1,608 50	- NS
P	S	00260	0 48.39 5	0 1.093. 740	0,402 12 0,536 17	0,402 12 0,536 17	- 5,83	00261	0 41.54 1	0 1.003. 615	0,402 12 0,536 17	0,402 12 0,536 17	- 6,88	00262	0 35.34 1	0 860.4 11	0,402 12 0,536 17	0,402 12 0,536 17	- 9,61
S	S		0 -55.46 7	0 50.33 0	1,608 50	1,608 50	- NS		0 -43.45 9	0 99.45 5	1,608 50	1,608 50	- NS		0 -30.23 0	0 169.0 23	1,608 50	1,608 50	- 71,07
P	S	00263	0 29.45 7	0 682.5 34	0,402 12 0,536 17	0,402 12 0,536 17	- 18,9 1	00264	0 22.86 1	0 492.0 91	0,402 12 0,536 17	0,402 12 0,536 17	- NS	00265	0 14.32 5	0 305.6 60	0,402 12 0,536 17	0,402 12 0,536 17	- 18,20
S	S		0 -20.29 9	0 247.5 89	1,608 50	1,608 50	- 48,4 8		0 -13.89 2	0 321.9 40	1,608 50	1,608 50	- 37,2 6		0 -12.84 2	0 382.1 38	1,608 50	1,608 50	- 31,39
P	S	00266	0 14.05 5	0 108.7 74	0,402 12 0,536 17	0,402 12 0,536 17	- 9,00	00267	0 50.73 5	0 28.12 8	0,402 12 0,536 17	0,402 12 0,536 17	- 7,38	00268	37.01 7	0 26.10 8	0,402 12 0,536 17	0,402 12 0,536 17	- 6,64 7,23
S	S		0 0	0 0	1,608 50	1,608 50	-		0 0	0 0	1,608 50	1,608 50	-		0 0	0 0	1,608 50	1,608 50	-



REGIONE BASILICATA - PROVINCIA DI MATERA - COMUNE DI FERRANDINA
PROGETTO DEFINITIVO
Parco Eolico "Montagnola"
Relazione preliminare sulle strutture

Platee - Verifiche pressoflessione retta allo SLU

Dir	Pos	Nodo	N _{Ed} [N]	M _{Ed} [N-m]	A _S [cm ² /cm]	A _d [cm ² /cm]	CS	Nodo	N _{Ed} [N]	M _{Ed} [N-m]	A _S [cm ² /cm]	A _d [cm ² /cm]	CS	Nodo	N _{Ed} [N]	M _{Ed} [N-m]	A _S [cm ² /cm]	A _d [cm ² /cm]	CS	
			6	078	17	17			7	563	17	17			3	455	17	17		
S	S		0	0	1,608 50	1,608 50	-		0	0	1,608 50	1,608 50	-		0	0	1,608 50	1,608 50	-	
	I		-	1.074. 842	1,608 50	1,608 50	11,2 0		-	1.060. 521	1,608 50	1,608 50	11,3 6		-	67.92 3	1.104. 575	1,608 50	1,608 50	10,91
P	S	00347	0	0	0,402 12	0,402 12	-	00348	0	0	0,402 12	0,402 12	-	00349	0	0	0,402 12	0,402 12	-	
	I		32.82 6	2.011. 790	0,536 17	0,536 17	2,30		26.01 9	1.520. 005	0,536 17	0,536 17	3,42		18.90 5	994.0 76	0,536 17	0,536 17	7,05	
S	S		0	0	1,608 50	1,608 50	-		0	0	1,608 50	1,608 50	-		0	0	1,608 50	1,608 50	-	
	I		-	1.205. 603	1,608 50	1,608 50	9,99		-	1.322. 524	1,608 50	1,608 50	9,10		-	46.40 7	1.407. 147	1,608 50	1,608 50	8,55
P	S	00350	0	0	0,402 12	0,402 12	-	00351	0	0	0,402 12	0,402 12	-	00352	8.778	106.5 11	0,402 12	0,402 12	-	
	I		13.42 9	523.8 04	0,536 17	0,536 17	NS		10.43 7	153.5 26	0,536 17	0,536 17	10,1 8		0	24.51 7	0,536 17	0,536 17	7,43	
S	S		0	0	1,608 50	1,608 50	-		0	0	1,608 50	1,608 50	-		0	0	1,608 50	1,608 50	-	
	I		-	1.431. 449	1,608 50	1,608 50	8,40		-	1.391. 786	1,608 50	1,608 50	8,63		-	20.46 8	1.300. 744	1,608 50	1,608 50	9,23
P	S	00353	6.504	265.5 42	0,402 12	0,402 12	4,60	00354	3.072	345.1 82	0,402 12	0,402 12	4,17	00355	-743	370.2 84	0,402 12	0,402 12	4,05	
	I		0	22.53 4	0,536 17	0,536 17	7,39		0	20.77 1	0,536 17	0,536 17	7,37		0	18.08 2	0,536 17	0,536 17	7,33	
S	S		0	0	1,608 50	1,608 50	-		0	0	1,608 50	1,608 50	-		0	0	1,608 50	1,608 50	-	
	I		-	1.177. 017	1,608 50	1,608 50	10,1 9		901	1.039. 432	1,608 50	1,608 50	11,5 3		12.58 2	902.4 25	1,608 50	1,608 50	13,27	
P	S	00356	-4.292	364.5 06	0,402 12	0,402 12	4,08	00357	-	16.83 1	351.9 24	0,402 12	0,402 12	4,16	00358	-2.972	290.3 72	0,402 12	0,402 12	4,46
	I		0	12.79 4	0,536 17	0,536 17	7,25		0	2.254	0,536 17	0,536 17	7,09		0	289	0,536 17	0,536 17	7,06	
S	S		0	0	1,608 50	1,608 50	-		0	0	1,608 50	1,608 50	-		0	0	1,608 50	1,608 50	-	
	I		24.58 5	775.5 58	1,608 50	1,608 50	15,4 2		56.90 5	663.1 04	1,608 50	1,608 50	17,9 9		33.32 1	583.2 22	1,608 50	1,608 50	20,49	
P	S	00359	-	168.8 66	0,402 12	0,402 12	5,31	00360	26.95 2	181.4 82	0,402 12	0,402 12	5,14	00361	23.09 5	109.2 98	0,402 12	0,402 12	5,75	
	I		0	1.424	0,536 17	0,536 17	7,08		0	10.16 2	0,536 17	0,536 17	7,21		0	17.26 5	0,536 17	0,536 17	7,31	
S	S		0	0	1,608 50	1,608 50	-		0	0	1,608 50	1,608 50	-		0	0	1,608 50	1,608 50	-	
	I		-	666.8 77	1,608 50	1,608 50	18,0 1		-9.315	819.2 97	1,608 50	1,608 50	14,6 4		-	14.88 5	970.2 54	1,608 50	1,608 50	12,37
P	S	00362	0	0	0,402 12	0,402 12	-	00363	0	0	0,402 12	0,402 12	-	00364	0	0	0,402 12	0,402 12	-	
	I		0	21.26 4	0,536 17	0,536 17	7,38		25.60 4	202.2 15	0,536 17	0,536 17	11,8 0		27.34 6	481.9 21	0,536 17	0,536 17	NS	
S	S		0	0	1,608 50	1,608 50	-		0	0	1,608 50	1,608 50	-		0	0	1,608 50	1,608 50	-	
	I		-	1.123. 996	1,608 50	1,608 50	10,6 8		-	1.281. 855	1,608 50	1,608 50	9,37		-	33.60 4	1.431. 525	1,608 50	1,608 50	8,39
P	S	00365	0	0	0,402 12	0,402 12	-	00366	0	0	0,402 12	0,402 12	-	00367	0	0	0,402 12	0,402 12	-	
	I		28.91 4	864.0 68	0,536 17	0,536 17	9,53		30.93 2	1.346. 399	0,536 17	0,536 17	4,11		33.81 4	1.898. 530	0,536 17	0,536 17	2,49	
S	S		0	0	1,608 50	1,608 50	-		0	0	1,608 50	1,608 50	-		0	0	1,608 50	1,608 50	-	
	I		-	1.554. 583	1,608 50	1,608 50	7,73		-	1.631. 969	1,608 50	1,608 50	7,37		-	55.51 4	1.652. 312	1,608 50	1,608 50	7,28
P	S	00368	0	0	0,402 12	0,402 12	-	00369	0	0	0,402 12	0,402 12	-	00370	0	0	0,402 12	0,402 12	-	
	I		37.04 9	2.445. 536	4,557 41	4,557 41	1,52		39.29 8	2.857. 221	4,557 41	4,557 41	1,58		38.93 0	2.968. 839	4,557 41	4,557 41	1,60	
S	S		0	0	1,608 50	1,608 50	-		0	0	1,608 50	1,608 50	-		0	0	1,608 50	1,608 50	-	



REGIONE BASILICATA - PROVINCIA DI MATERA - COMUNE DI FERRANDINA
PROGETTO DEFINITIVO
Parco Eolico "Montagnola"
Relazione preliminare sulle strutture

Platee - Verifiche pressoflessione retta allo SLU

Dir	Pos	Nodo	N _{Ed} [N]	M _{Ed} [N·m]	A _S [cm ² /cm]	A _{df} [cm ² /cm]	CS	Nodo	N _{Ed} [N]	M _{Ed} [N·m]	A _S [cm ² /cm]	A _{df} [cm ² /cm]	CS	Nodo	N _{Ed} [N]	M _{Ed} [N·m]	A _S [cm ² /cm]	A _{df} [cm ² /cm]	CS
	I		64.90 0	1.623. 999	1,608 50	1,608 50	7,42		- 73.14 8	1.584. 439	1,608 50	1,608 50	7,61		- 77.70 0	1.591. 860	1,608 50	1,608 50	7,57
P	S	00371	0	0	0,402 12	0,402 12	-	00372	0	0	0,402 12	0,402 12	-	00373	0	0	0,402 12	0,402 12	-
	I		34.76 3	2.675. 875	4,557 41	4,557 41	1,55		27.01 6	2.070. 272	0,536 17	0,536 17	2,22		17.69 5	1.365. 338	0,536 17	0,536 17	4,04
S	S		0	0	1,608 50	1,608 50	-		0	0	1,608 50	1,608 50	-		0	0	1,608 50	1,608 50	-
	I		- 76.41 5	1.683. 401	1,608 50	1,608 50	7,16		- 68.82 8	1.821. 011	1,608 50	1,608 50	6,62		- 56.78 4	1.923. 338	1,608 50	1,608 50	6,26
P	S	00374	0	0	0,402 12	0,402 12	-	00375	0	0	0,402 12	0,402 12	-	00376	719	117.4 91	0,402 12	0,402 12	5,71
	I		9.499	724.4 51	0,536 17	0,536 17	15,4 9		3.970	225.3 93	0,536 17	0,536 17	12,8 8		0	27.43 2	0,536 17	0,536 17	7,47
S	S		0	0	1,608 50	1,608 50	-		0	0	1,608 50	1,608 50	-		0	0	1,608 50	1,608 50	-
	I		- 43.52 6	1.937. 386	1,608 50	1,608 50	6,21		- 31.50 9	1.855. 135	1,608 50	1,608 50	6,48		- 21.08 2	1.699. 030	1,608 50	1,608 50	7,06
P	S	00377	-1.694	323.3 09	0,402 12	0,402 12	4,28	00378	-4.509	424.0 09	0,402 12	0,402 12	3,82	00379	-8.360	453.2 42	0,402 12	0,402 12	3,70
	I		0	25.45 3	0,536 17	0,536 17	7,44		0	23.41 0	0,536 17	0,536 17	7,41		0	20.73 2	0,536 17	0,536 17	7,37
S	S		0	0	1,608 50	1,608 50	-		0	0	1,608 50	1,608 50	-		0	0	1,608 50	1,608 50	-
	I		- 11.32 7	1.501. 863	1,608 50	1,608 50	7,99		-1.601	1.293. 200	1,608 50	1,608 50	9,27		7.743	1.093. 603	1,608 50	1,608 50	10,95
P	S	00380	- 14.00 7	440.2 05	0,402 12	0,402 12	3,76	00381	- 22.07 8	410.9 44	0,402 12	0,402 12	3,89	00382	4.343	281.9 79	0,402 12	0,402 12	4,50
	I		0	16.29 2	0,536 17	0,536 17	7,30		0	7.850	0,536 17	0,536 17	7,17		0	1.349	0,536 17	0,536 17	7,08
S	S		0	0	1,608 50	1,608 50	-		0	0	1,608 50	1,608 50	-		0	0	1,608 50	1,608 50	-
	I		15.28 0	912.6 73	1,608 50	1,608 50	13,1 1		17.76 7	744.3 26	1,608 50	1,608 50	16,0 8		428	549.4 87	1,608 50	1,608 50	21,81
P	S	00383	-3.019	171.8 27	0,402 12	0,402 12	5,25	00384	4.814	231.3 86	0,402 12	0,402 12	4,81	00385	21.13 4	260.3 27	0,402 12	0,402 12	4,61
	I		0	2.573	0,536 17	0,536 17	7,10		0	0	0,536 17	0,536 17	-		0	3.480	0,536 17	0,536 17	7,11
S	S		0	0	1,608 50	1,608 50	-		0	0	1,608 50	1,608 50	-		0	0	1,608 50	1,608 50	-
	I		- 11.06 9	663.0 77	1,608 50	1,608 50	18,0 9		- 44.09 5	747.3 97	1,608 50	1,608 50	16,0 9		- 44.27 6	870.2 83	1,608 50	1,608 50	13,82
P	S	00386	17.00 2	207.8 86	0,402 12	0,402 12	4,96	00387	19.62 7	118.2 44	0,402 12	0,402 12	5,68	00388	0	0	0,402 12	0,402 12	-
	I		0	14.04 1	0,536 17	0,536 17	7,26		0	19.93 8	0,536 17	0,536 17	7,35		22.10 4	33.34 9	0,536 17	0,536 17	7,52
S	S		0	0	1,608 50	1,608 50	-		0	0	1,608 50	1,608 50	-		0	0	1,608 50	1,608 50	-
	I		- 18.43 1	1.025. 458	1,608 50	1,608 50	11,7 0		- 19.24 1	1.221. 459	1,608 50	1,608 50	9,83		- 23.73 5	1.446. 111	1,608 50	1,608 50	8,30
P	S	00389	0	0	0,402 12	0,402 12	-	00390	0	0	0,402 12	0,402 12	-	00391	0	0	0,402 12	0,402 12	-
	I		24.36 7	273.1 88	0,536 17	0,536 17	15,5 3		26.51 6	628.6 36	0,536 17	0,536 17	26,7 4		28.99 9	1.122. 300	0,536 17	0,536 17	5,59
S	S		0	0	1,608 50	1,608 50	-		0	0	1,608 50	1,608 50	-		0	0	1,608 50	1,608 50	-
	I		- 29.41 5	1.688. 292	1,608 50	1,608 50	7,11		- 36.01 4	1.928. 720	1,608 50	1,608 50	6,23		- 44.08 5	2.137. 493	1,608 50	1,608 50	5,63
P	S	00392	0	0	0,402 12	0,402 12	-	00393	0	0	0,402 12	0,402 12	-	00394	0	0	0,402 12	0,402 12	-
	I		32.33 3	1.757. 394	0,536 17	0,536 17	2,77		36.45 1	2.491. 390	4,557 41	4,557 41	1,52		40.14 0	3.199. 078	4,557 41	4,557 41	1,63
S	S		0	0	1,608 50	1,608 50	-		0	0	1,608 50	1,608 50	-		0	0	1,608 50	1,608 50	-
	I		- 54.26 0	2.279. 625	1,608 50	1,608 50	5,28		- 66.31 2	2.331. 026	1,608 50	1,608 50	5,17		- 78.54 2	2.304. 117	1,608 50	1,608 50	5,23
P	S	00395	0	0	0,402	0,402	-	00396	0	0	0,402	0,402	-	00397	0	0	0,402	0,402	-



Platee - Verifiche pressoflessione retta allo SLU

Dir	Pos	Nodo	N _{Ed} [N]	M _{Ed} [N-m]	A _S [cm ² /cm]	A _{df} [cm ² /cm]	CS	Nodo	N _{Ed} [N]	M _{Ed} [N-m]	A _S [cm ² /cm]	A _{df} [cm ² /cm]	CS	Nodo	N _{Ed} [N]	M _{Ed} [N-m]	A _S [cm ² /cm]	A _{df} [cm ² /cm]	CS
	I		41.43 5	3.648. 334	4,557 41	4,557 41	1,71		38.20 2	3.552. 702	4,557 41	4,557 41	1,69		29.31 6	2.854. 686	4,557 41	4,557 41	1,58
S	S		0	0	1,608 50	1,608 50	-		0	0	1,608 50	1,608 50	-		0	0	1,608 50	1,608 50	-
	I		- 87.97 5	2.266. 626	1,608 50	1,608 50	5,32		- 90.90 8	2.318. 233	1,608 50	1,608 50	5,21		- 84.62 7	2.475. 878	1,608 50	1,608 50	4,87
P	S	00398	0	0	0,402 12	0,402 12	-	00399	0	0	0,402 12	0,402 12	-	00400	0	0	0,402 12	0,402 12	-
	I		16.69 5	1.895. 026	0,536 17	0,536 17	2,51		4.792	999.1 38	0,536 17	0,536 17	7,01		-3.305	313.3 78	0,536 17	0,536 17	19,06
S	S		0	0	1,608 50	1,608 50	-		0	0	1,608 50	1,608 50	-		0	0	1,608 50	1,608 50	-
	I		- 70.05 1	2.611. 546	1,608 50	1,608 50	4,61		- 52.03 1	2.616. 570	1,608 50	1,608 50	4,60		- 35.54 4	2.471. 154	1,608 50	1,608 50	4,86
P	S	00401	-7.695	140.4 58	0,402 12	0,402 12	5,52	00402	-9.910	399.7 66	0,402 12	0,402 12	3,93	00403	-	518.3 79	0,402 12	0,402 12	3,47
	I		0	29.56 7	0,536 17	0,536 17	7,51		0	27.80 1	0,536 17	0,536 17	7,48		0	25.72 7	0,536 17	0,536 17	7,44
S	S		0	0	1,608 50	1,608 50	-		0	0	1,608 50	1,608 50	-		0	0	1,608 50	1,608 50	-
	I		- 22.34 2	2.215. 832	1,608 50	1,608 50	5,42		- 11.77 4	1.909. 076	1,608 50	1,608 50	6,28		-2.822	1.599. 610	1,608 50	1,608 50	7,49
P	S	00404	- 13.26 1	546.0 92	0,402 12	0,402 12	3,38	00405	- 15.80 8	521.8 61	0,402 12	0,402 12	3,46	00406	-	474.4 54	0,402 12	0,402 12	3,63
	I		0	23.06 9	0,536 17	0,536 17	7,40		0	19.13 7	0,536 17	0,536 17	7,34		0	12.68 3	0,536 17	0,536 17	7,24
S	S		0	0	1,608 50	1,608 50	-		0	0	1,608 50	1,608 50	-		0	0	1,608 50	1,608 50	-
	I		4.888	1.317. 258	1,608 50	1,608 50	9,09		10.65 1	1.075. 160	1,608 50	1,608 50	11,1 4		10.94 4	878.3 78	1,608 50	1,608 50	13,63
P	S	00407	- 10.09 3	423.9 52	0,402 12	0,402 12	3,82	00408	11.97 8	316.8 51	0,402 12	0,402 12	4,30	00409	124	167.7 37	0,402 12	0,402 12	5,28
	I		0	1.290	0,536 17	0,536 17	7,08		0	500	0,536 17	0,536 17	7,07		0	2.819	0,536 17	0,536 17	7,10
S	S		0	0	1,608 50	1,608 50	-		0	0	1,608 50	1,608 50	-		0	0	1,608 50	1,608 50	-
	I		- 14.76 2	729.6 11	1,608 50	1,608 50	16,4 4		-7.209	609.3 00	1,608 50	1,608 50	19,6 8		- 12.31 6	667.5 02	1,608 50	1,608 50	17,97
P	S	00410	4.641	229.2 67	0,402 12	0,402 12	4,83	00411	18.45 8	273.7 07	0,402 12	0,402 12	4,53	00412	14.74 8	269.1 09	0,402 12	0,402 12	4,57
	I		0	3.488	0,536 17	0,536 17	7,11		0	4.410	0,536 17	0,536 17	7,12		0	10.98 5	0,536 17	0,536 17	7,22
S	S		0	0	1,608 50	1,608 50	-		0	0	1,608 50	1,608 50	-		0	0	1,608 50	1,608 50	-
	I		- 22.22 6	736.2 67	1,608 50	1,608 50	16,3 0		- 34.02 7	868.7 36	1,608 50	1,608 50	13,8 3		- 24.33 2	1.034. 650	1,608 50	1,608 50	11,60
P	S	00413	16.18 5	216.9 45	0,402 12	0,402 12	4,90	00414	19.07 5	111.5 28	0,402 12	0,402 12	5,74	00415	0	0	0,402 12	0,402 12	-
	I		0	17.55 3	0,536 17	0,536 17	7,32		0	22.34 4	0,536 17	0,536 17	7,39		21.73 6	69.93 9	0,536 17	0,536 17	8,16
S	S		0	0	1,608 50	1,608 50	-		0	0	1,608 50	1,608 50	-		0	0	1,608 50	1,608 50	-
	I		- 19.33 3	1.248. 110	1,608 50	1,608 50	9,62		- 21.22 2	1.515. 268	1,608 50	1,608 50	7,92		- 25.56 7	1.834. 431	1,608 50	1,608 50	6,55
P	S	00416	0	0	0,402 12	0,402 12	-	00417	0	0	0,402 12	0,402 12	-	00418	0	0	0,402 12	0,402 12	-
	I		24.21 7	360.9 59	0,536 17	0,536 17	25,4 8		26.93 3	803.8 20	0,536 17	0,536 17	11,4 2		30.51 5	1.441. 438	0,536 17	0,536 17	3,70
S	S		0	0	1,608 50	1,608 50	-		0	0	1,608 50	1,608 50	-		0	0	1,608 50	1,608 50	-
	I		- 31.47 8	2.195. 417	1,608 50	1,608 50	5,47		- 39.34 9	2.572. 125	1,608 50	1,608 50	4,67		- 50.11 5	2.915. 933	1,608 50	1,608 50	4,13
P	S	00419	0	0	0,402 12	0,402 12	-	00420	0	0	0,402 12	0,402 12	-	00421	0	0	0,402 12	0,402 12	-
	I		35.47	2.292.	0,536	0,536	1,94		41.22	3.296.	4,557	4,557	1,65		45.04	4.228.	4,557	4,557	1,82



Platee - Verifiche pressoflessione retta allo SLU

Dir	Pos	Nodo	N _{Ed} [N]	M _{Ed} [N-m]	A _S [cm ² /cm]	A _{df} [cm ² /cm]	CS	Nodo	N _{Ed} [N]	M _{Ed} [N-m]	A _S [cm ² /cm]	A _{df} [cm ² /cm]	CS	Nodo	N _{Ed} [N]	M _{Ed} [N-m]	A _S [cm ² /cm]	A _{df} [cm ² /cm]	CS	
			3	282	17	17			3	315	41	41			3	994	41	41		
S	S		0	0	1,608	1,608	-		0	0	1,608	1,608	-		0	0	1,608	1,608	-	
	I		-	-	1,608	1,608	-		-	-	1,608	1,608	-		-	-	1,608	1,608	-	
			64.46 4	3.161. 362	50	50	3,81		81.33 5	3.256. 974	50	50	3,70		97.32 7	3.222. 771	50	50	3,75	
P	S	00422	0	0	0,402	0,402	-	00423	0	0	0,402	0,402	-	00424	0	0	0,402	0,402	-	
	I		43.82 3	4.632. 850	41	41	1,91		34.34 2	4.008. 377	41	41	1,78		16.68 5	2.680. 552	41	41	1,60	
S	S		0	0	1,608	1,608	-		0	0	1,608	1,608	-		0	0	1,608	1,608	-	
	I		-	-	1,608	1,608	-		-	-	1,608	1,608	-		-	-	1,608	1,608	-	
			107.5 27	3.194. 650	50	50	3,78		105.5 48	3.340. 882	50	50	3,62		88.43 4	3.539. 833	50	50	3,41	
P	S	00425	0	0	0,402	0,402	-	00426	0	0	0,402	0,402	-	00427	-	17.81 8	192.0 79	0,402	0,402	5,12
	I		-	-	0,536	0,536	-		-	-	0,536	0,536	-		0	31.15 2	0,536	0,536	7,53	
			-1.399	1.381. 636	17	17	3,98		12.76 9	412.5 80	17	17	41,2 9		0	31.15 2	17	17	7,53	
S	S		0	0	1,608	1,608	-		0	0	1,608	1,608	-		0	0	1,608	1,608	-	
	I		-	-	1,608	1,608	-		-	-	1,608	1,608	-		-	-	1,608	1,608	-	
			63.07 4	3.543. 148	50	50	3,40		40.06 6	3.298. 063	50	50	3,64		23.29 7	2.882. 172	50	50	4,17	
P	S	00428	-	-	0,402	0,402	-	00429	-	-	0,402	0,402	-	00430	-	18.32 6	650.8 97	0,402	0,402	3,08
	I		19.19 1	509.7 20	12	12	3,51		18.97 8	636.5 33	12	12	3,12		0	25.19 3	0,536	0,536	7,44	
			0	29.64 2	0,536	0,536	7,51		0	27.71 6	0,536	0,536	7,48		0	25.19 3	17	17	7,44	
S	S		0	0	1,608	1,608	-		0	0	1,608	1,608	-		0	0	1,608	1,608	-	
	I		-	-	1,608	1,608	-		-	-	1,608	1,608	-		-	-	1,608	1,608	-	
			11.50 3	2.404. 968	50	50	4,99		-2.859	1.948. 946	50	50	6,15		3.671	1.555. 626	50	50	7,70	
P	S	00431	-	-	0,402	0,402	-	00432	-	-	0,402	0,402	-	00433	-	7.793	458.7 88	0,402	0,402	3,68
	I		17.48 0	606.5 19	12	12	3,20		15.41 6	536.4 42	12	12	3,41		0	9.657	0,536	0,536	7,20	
			0	21.66 0	0,536	0,536	7,38		0	16.54 0	0,536	0,536	7,30		0	9.657	17	17	7,20	
S	S		0	0	1,608	1,608	-		0	0	1,608	1,608	-		0	0	1,608	1,608	-	
	I		-	-	1,608	1,608	-		-	-	1,608	1,608	-		-	-	1,608	1,608	-	
			8.031	1.235. 964	50	50	9,69		8.396	985.4 68	50	50	12,1 5		354	793.9 19	50	50	15,09	
P	S	00434	5.619	378.4 77	0,402	0,402	4,01	00435	2.662	292.1 27	0,402	0,402	4,45	00436	3.303	204.8 96	0,402	0,402	5,00	
	I		0	3.722	0,536	0,536	7,11		0	3.518	0,536	0,536	7,11		0	4.181	0,536	0,536	7,12	
S	S		0	0	1,608	1,608	-		0	0	1,608	1,608	-		0	0	1,608	1,608	-	
	I		-	-	1,608	1,608	-		-	-	1,608	1,608	-		-	-	1,608	1,608	-	
			-2.559	650.2 34	50	50	18,4 3		15.17 5	531.0 07	50	50	22,5 4		-	12.26 5	692.6 76	50	50	17,32
P	S	00437	11.98 9	261.7 68	0,402	0,402	4,61	00438	16.04 8	284.1 38	0,402	0,402	4,48	00439	16.41 7	266.3 74	0,402	0,402	4,58	
	I		0	5.921	0,536	0,536	7,15		0	9.870	0,536	0,536	7,20		0	15.60 4	0,536	0,536	7,29	
S	S		0	0	1,608	1,608	-		0	0	1,608	1,608	-		0	0	1,608	1,608	-	
	I		-	-	1,608	1,608	-		-	-	1,608	1,608	-		-	-	1,608	1,608	-	
			20.61 3	815.4 77	50	50	14,7 2		22.71 1	980.2 06	50	50	12,2 5		20.67 7	1.194. 978	50	50	10,04	
P	S	00440	17.99 9	205.1 61	0,402	0,402	4,98	00441	20.29 6	85.26 0	0,402	0,402	5,99	00442	0	0	0,402	0,402	-	
	I		0	20.70 6	0,536	0,536	7,37		0	24.65 1	0,536	0,536	7,43		22.75 1	121.5 50	0,536	0,536	9,28	
S	S		0	0	1,608	1,608	-		0	0	1,608	1,608	-		0	0	1,608	1,608	-	
	I		-	-	1,608	1,608	-		-	-	1,608	1,608	-		-	-	1,608	1,608	-	
			20.27 8	1.474. 164	50	50	8,14		22.72 2	1.830. 390	50	50	6,56		27.17 2	2.273. 354	50	50	5,28	
P	S	00443	0	0	0,402	0,402	-	00444	0	0	0,402	0,402	-	00445	0	0	0,402	0,402	-	
	I		25.47 5	460.9 67	0,536	0,536	94,0 8		28.99 2	1.000. 954	0,536	0,536	6,94		34.16 7	1.826. 346	0,536	0,536	2,62	



Platee - Verifiche pressoflessione retta allo SLU

Dir	Pos	Nodo	N _{Ed} [N]	M _{Ed} [N-m]	A _S [cm ² /cm]	A _d [cm ² /cm]	CS	Nodo	N _{Ed} [N]	M _{Ed} [N-m]	A _S [cm ² /cm]	A _d [cm ² /cm]	CS	Nodo	N _{Ed} [N]	M _{Ed} [N-m]	A _S [cm ² /cm]	A _d [cm ² /cm]	CS
S	S		0	0	1,608 50	1,608 50	-		0	0	1,608 50	1,608 50	-		0	0	1,608 50	1,608 50	-
	I		- 33.78 4	2.802. 811	1,608 50	1,608 50	4,29		- 43.61 1	3.391. 815	1,608 50	1,608 50	3,55		- 58.37 6	3.963. 911	1,608 50	1,608 50	3,04
P	S	00446	0	0	0,402 12	0,402 12	-	00447	0	0	0,402 12	0,402 12	-	00448	0	0	0,402 12	0,402 12	-
	I		41.81 5	2.997. 486	4,557 41	4,557 41	1,60		50.36 2	4.430. 381	4,557 41	4,557 41	1,87		52.71 3	5.693. 232	4,557 41	4,557 41	2,19
S	S		0	0	1,608 50	1,608 50	-		0	0	1,608 50	1,608 50	-		0	0	1,608 50	1,608 50	-
	I		- 79.41 4	4.391. 032	1,608 50	1,608 50	2,75		- 103.8 41	4.557. 913	1,608 50	1,608 50	2,65		- 124.5 93	4.495. 490	1,608 50	1,608 50	2,69
P	S	00449	0	0	0,402 12	0,402 12	-	00450	0	0	0,402 12	0,402 12	-	00451	0	0	0,402 12	0,402 12	-
	I		44.31 2	5.718. 122	4,557 41	4,557 41	2,20		19.51 1	3.932. 374	4,557 41	4,557 41	1,77		- 10.71 6	1.935. 374	0,536 17	0,536 17	2,45
S	S		0	0	1,608 50	1,608 50	-		0	0	1,608 50	1,608 50	-		0	0	1,608 50	1,608 50	-
	I		- 133.2 41	4.521. 022	1,608 50	1,608 50	2,68		- 116.1 88	4.823. 270	1,608 50	1,608 50	2,51		- 78.14 4	4.851. 131	1,608 50	1,608 50	2,49
P	S	00452	0	0	0,402 12	0,402 12	-	00453	- 31.46 2	305.0 73	0,402 12	0,402 12	4,42	00454	- 30.70 8	675.8 02	0,402 12	0,402 12	3,02
	I		- 26.83 5	506.2 14	0,536 17	0,536 17	NS		0	32.34 1	0,536 17	0,536 17	7,55		0	31.08 5	0,536 17	0,536 17	7,53
S	S		0	0	1,608 50	1,608 50	-		0	0	1,608 50	1,608 50	-		0	0	1,608 50	1,608 50	-
	I		- 44.04 2	4.436. 774	1,608 50	1,608 50	2,71		- 22.64 6	3.739. 976	1,608 50	1,608 50	3,21		- -9.675	2.983. 282	1,608 50	1,608 50	4,02
P	S	00455	- 27.98 5	787.4 42	0,402 12	0,402 12	2,76	00456	- 24.76 9	767.4 39	0,402 12	0,402 12	2,80	00457	- 21.37 0	689.5 92	0,402 12	0,402 12	2,98
	I		0	29.39 9	0,536 17	0,536 17	7,50		0	27.14 6	0,536 17	0,536 17	7,47		0	24.08 2	0,536 17	0,536 17	7,42
S	S		0	0	1,608 50	1,608 50	-		0	0	1,608 50	1,608 50	-		0	0	1,608 50	1,608 50	-
	I		-1.376	2.311. 820	1,608 50	1,608 50	5,18		4.195	1.774. 493	1,608 50	1,608 50	6,75		7.670	1.364. 865	1,608 50	1,608 50	8,77
P	S	00458	- 17.16 3	592.0 79	0,402 12	0,402 12	3,24	00459	- 10.65 2	493.4 35	0,402 12	0,402 12	3,56	00460	-1.950	400.8 50	0,402 12	0,402 12	3,91
	I		0	19.92 6	0,536 17	0,536 17	7,35		0	14.63 7	0,536 17	0,536 17	7,27		0	8.970	0,536 17	0,536 17	7,19
S	S		0	0	1,608 50	1,608 50	-		0	0	1,608 50	1,608 50	-		0	0	1,608 50	1,608 50	-
	I		8.661	1.059. 065	1,608 50	1,608 50	11,3 1		6.597	833.0 48	1,608 50	1,608 50	14,3 8		5.819	666.3 44	1,608 50	1,608 50	17,98
P	S	00461	1.696	312.9 28	0,402 12	0,402 12	4,33	00462	1.856	235.6 69	0,402 12	0,402 12	4,79	00463	910	177.0 14	0,402 12	0,402 12	5,21
	I		0	5.641	0,536 17	0,536 17	7,14		0	4.004	0,536 17	0,536 17	7,12		0	3.326	0,536 17	0,536 17	7,11
S	S		0	0	1,608 50	1,608 50	-		0	0	1,608 50	1,608 50	-		0	0	1,608 50	1,608 50	-
	I		14.03 7	540.9 46	1,608 50	1,608 50	22,1 3		29.94 6	449.1 60	1,608 50	1,608 50	26,6 2		-5.397	618.0 78	1,608 50	1,608 50	19,40
P	S	00464	7.862	228.1 25	0,402 12	0,402 12	4,83	00465	14.80 4	260.9 66	0,402 12	0,402 12	4,61	00466	17.80 3	264.8 31	0,402 12	0,402 12	4,59
	I		0	5.585	0,536 17	0,536 17	7,14		0	9.344	0,536 17	0,536 17	7,20		0	14.29 3	0,536 17	0,536 17	7,27
S	S		0	0	1,608 50	1,608 50	-		0	0	1,608 50	1,608 50	-		0	0	1,608 50	1,608 50	-
	I		-9.760	727.0 78	1,608 50	1,608 50	16,4 9		- 16.23 1	874.1 85	1,608 50	1,608 50	13,7 3		- 19.39 3	1.070. 585	1,608 50	1,608 50	11,21
P	S	00467	18.91 0	235.1 01	0,402 12	0,402 12	4,77	00468	20.36 8	163.1 07	0,402 12	0,402 12	5,29	00469	22.42 8	31.13 6	0,402 12	0,402 12	6,60
	I		0	19.27 2	0,536 17	0,536 17	7,34		0	23.47 6	0,536 17	0,536 17	7,41		0	26.74 6	0,536 17	0,536 17	7,46
S	S		0	0	1,608 50	1,608 50	-		0	0	1,608 50	1,608 50	-		0	0	1,608 50	1,608 50	-



REGIONE BASILICATA - PROVINCIA DI MATERA - COMUNE DI FERRANDINA
PROGETTO DEFINITIVO
Parco Eolico "Montagnola"
Relazione preliminare sulle strutture

Platee - Verifiche pressoflessione retta allo SLU

Dir	Pos	Nodo	N _{Ed} [N]	M _{Ed} [N·m]	A _S [cm ² /cm]	A _{dif} [cm ² /cm]	CS	Nodo	N _{Ed} [N]	M _{Ed} [N·m]	A _S [cm ² /cm]	A _{dif} [cm ² /cm]	CS	Nodo	N _{Ed} [N]	M _{Ed} [N·m]	A _S [cm ² /cm]	A _{dif} [cm ² /cm]	CS
	I		19.978	1.331.389	1,60850	1,60850	9,01		21.012	1.675.819	1,60850	1,60850	7,16		23.706	2.128.582	1,60850	1,60850	5,64
P	S	00470	0	0	0,40212	0,40212	-	00471	0	0	0,40212	0,40212	-	00472	0	0	0,40212	0,40212	-
	I		25.029	193.122	0,53617	0,53617	11,45		28.435	569.388	0,53617	0,53617	48,94		33.410	1.206.503	0,53617	0,53617	4,92
S	S		0	0	1,60850	1,60850	-		0	0	1,60850	1,60850	-		0	0	1,60850	1,60850	-
	I		28.435	2.720.278	1,60850	1,60850	4,42		36.111	3.480.578	1,60850	1,60850	3,45		48.738	4.407.399	1,60850	1,60850	2,73
P	S	00473	0	0	0,40212	0,40212	-	00474	0	0	0,40212	0,40212	-	00475	0	0	0,40212	0,40212	-
	I		41.489	2.272.568	0,53617	0,53617	1,96		54.836	3.947.486	4,55741	4,55741	1,77		69.482	6.139.482	4,55741	4,55741	2,33
S	S		0	0	1,60850	1,60850	-		0	0	1,60850	1,60850	-		0	0	1,60850	1,60850	-
	I		69.903	5.400.511	1,60850	1,60850	2,23		103.498	6.195.146	1,60850	1,60850	1,95		140.750	6.488.848	1,60850	1,60850	1,87
P	S	00476	0	0	0,40212	0,40212	-	00477	0	0	0,40212	0,40212	-	00478	0	0	0,40212	0,40212	-
	I		63.762	7.873.198	4,55741	4,55741	3,12		30.308	6.233.172	4,55741	4,55741	2,37		27.709	2.772.363	0,53617	0,53617	1,56
S	S		0	0	1,60850	1,60850	-		0	0	1,60850	1,60850	-		0	0	1,60850	1,60850	-
	I		166.920	6.351.978	1,60850	1,60850	1,91		161.663	6.639.360	1,60850	1,60850	1,83		100.528	6.826.469	1,60850	1,60850	1,77
P	S	00479	0	0	0,40212	0,40212	-	00480	0	0	0,40212	0,40212	-	00481	0	0	0,40212	0,40212	-
	I		50.678	548.371	0,53617	0,53617	70,71		51.318	543.061	0,40212	0,40212	3,42		45.530	930.842	0,40212	0,40212	2,49
S	S		0	0	1,60850	1,60850	-		0	0	1,60850	1,60850	-		0	0	1,60850	1,60850	-
	I		44.704	6.087.388	1,60850	1,60850	1,98		18.214	4.834.152	1,60850	1,60850	2,48		-5.230	3.591.362	1,60850	1,60850	3,34
P	S	00482	0	0	0,40212	0,40212	-	00483	0	0	0,40212	0,40212	-	00484	0	0	0,40212	0,40212	-
	I		38.742	975.068	0,53617	0,53617	2,41		32.472	887.661	0,40212	0,40212	2,56		26.836	760.746	0,40212	0,40212	2,81
S	S		0	0	1,60850	1,60850	-		0	0	1,60850	1,60850	-		0	0	1,60850	1,60850	-
	I		1.949	2.611.326	1,60850	1,60850	4,59		6.300	1.908.041	1,60850	1,60850	6,28		8.903	1.414.095	1,60850	1,60850	8,47
P	S	00485	0	0	0,40212	0,40212	-	00486	0	0	0,40212	0,40212	-	00487	0	0	0,40212	0,40212	-
	I		21.309	630.243	0,53617	0,53617	3,13		15.113	509.972	0,40212	0,40212	3,50		-8.318	404.560	0,40212	0,40212	3,90
S	S		0	0	1,60850	1,60850	-		0	0	1,60850	1,60850	-		0	0	1,60850	1,60850	-
	I		9.986	1.066.026	1,60850	1,60850	11,23		9.771	818.916	1,60850	1,60850	14,62		10.291	642.060	1,60850	1,60850	18,65
P	S	00488	-3.536	314.200	0,40212	0,40212	-	00489	-2.041	239.506	0,40212	0,40212	-	00490	-908	181.044	0,40212	0,40212	-
	I		0	8.645	0,53617	0,53617	4,33		0	5.178	0,53617	0,53617	7,13		0	2.943	0,53617	0,53617	5,18
S	S		0	0	1,60850	1,60850	-		0	0	1,60850	1,60850	-		0	0	1,60850	1,60850	-
	I		15.462	513.945	1,60850	1,60850	23,29		26.048	419.223	1,60850	1,60850	28,53		36.828	347.045	1,60850	1,60850	34,43
P	S	00491	265	123.129	0,40212	0,40212	-	00492	3.170	182.304	0,40212	0,40212	-	00493	14.167	212.403	0,40212	0,40212	-
	I		0	1.904	0,53617	0,53617	7,09		0	3.192	0,53617	0,53617	7,11		0	7.860	0,53617	0,53617	4,93
S	S		0	0	1,60850	1,60850	-		0	0	1,60850	1,60850	-		0	0	1,60850	1,60850	-
	I		-2.600	536.622	1,60850	1,60850	22,34		2.673	602.236	1,60850	1,60850	19,89		-8.241	735.488	1,60850	1,60850	16,30



REGIONE BASILICATA - PROVINCIA DI MATERA - COMUNE DI FERRANDINA
PROGETTO DEFINITIVO
Parco Eolico "Montagnola"
Relazione preliminare sulle strutture

Platee - Verifiche pressoflessione retta allo SLU

Dir	Pos	Nodo	NEd [N]	MEd [N-m]	As [cm ² /cm]	A _{df} [cm ² /cm]	CS	Nodo	NEd [N]	MEd [N-m]	As [cm ² /cm]	A _{df} [cm ² /cm]	CS	Nodo	NEd [N]	MEd [N-m]	As [cm ² /cm]	A _{df} [cm ² /cm]	CS
	I		0	2.829	0,536 17	0,536 17	7,10		0	1.765	0,536 17	0,536 17	7,09		0	0	0,536 17	0,536 17	-
S	S		0	0	1,608 50	1,608 50	-		0	0	1,608 50	1,608 50	-		0	0	1,608 50	1,608 50	-
	I		38.43 7	290.5 31	1,608 50	1,608 50	41,1 2		41.86 3	262.2 13	1,608 50	1,608 50	45,5 5		19.68 02	480.4 02	1,608 50	1,608 50	24,91
P	S	00521	16.71 2	151.0 45	0,402 12	0,402 12	5,39	00522	22.08 6	155.0 68	0,402 12	0,402 12	5,35	00523	22.05 8	141.0 25	0,402 12	0,402 12	5,47
	I		0	4.285	0,536 17	0,536 17	7,12		0	11.23 1	0,536 17	0,536 17	7,22		0	16.79 8	0,536 17	0,536 17	7,31
S	S		0	0	1,608 50	1,608 50	-		0	0	1,608 50	1,608 50	-		0	0	1,608 50	1,608 50	-
	I		3.052	577.6 10	1,608 50	1,608 50	20,7 4		- 14.51 7	704.5 16	1,608 50	1,608 50	17,0 3		- 18.17 8	871.5 05	1,608 50	1,608 50	13,77
P	S	00524	22.22 2	102.0 11	0,402 12	0,402 12	5,82	00525	23.34 5	30.73 7	0,402 12	0,402 12	6,61	00526	0	0	0,402 12	0,402 12	-
	I		0	21.22 0	0,536 17	0,536 17	7,37		0	24.80 9	0,536 17	0,536 17	7,43		25.57 5	82.57 2	0,536 17	0,536 17	8,40
S	S		0	0	1,608 50	1,608 50	-		0	0	1,608 50	1,608 50	-		0	0	1,608 50	1,608 50	-
	I		- 18.75 0	1.091. 439	1,608 50	1,608 50	11,0 0		- 19.04 5	1.385. 478	1,608 50	1,608 50	8,66		- 20.14 8	1.785. 994	1,608 50	1,608 50	6,72
P	S	00527	0	0	0,402 12	0,402 12	-	00528	0	0	0,402 12	0,402 12	-	00529	0	0	0,402 12	0,402 12	-
	I		28.97 9	253.2 43	0,536 17	0,536 17	14,2 5		33.93 2	509.0 08	0,536 17	0,536 17	NS		41.60 7	909.5 41	0,536 17	0,536 17	8,45
S	S		0	0	1,608 50	1,608 50	-		0	0	1,608 50	1,608 50	-		0	0	1,608 50	1,608 50	-
	I		- 22.70 0	2.345. 300	1,608 50	1,608 50	5,12		- 27.63 7	3.153. 886	1,608 50	1,608 50	3,81		- 37.16 6	4.386. 266	1,608 50	1,608 50	2,74
P	S	00530	0	0	0,402 12	0,402 12	-	00531	0	0	0,402 12	0,402 12	-	00532	0	0	0,402 12	0,402 12	-
	I		55.18 1	1.588. 346	0,536 17	0,536 17	3,18		84.11 7	3.208. 077	4,557 41	4,557 41	1,63		159.3 32	7.214. 335	4,557 41	4,557 41	2,74
S	S		0	0	1,608 50	1,608 50	-		0	0	1,608 50	1,608 50	-		0	0	1,608 50	1,608 50	-
	I		- 57.20 2	6.465. 871	1,608 50	1,608 50	1,86		- 106.5 42	10.24 4.244	9,650 98	9,650 98	4,00		- 248.4 18	14.67 3.598	9,650 98	9,650 98	10,28
P	S	00533	0	0	0,402 12	0,402 12	-	00534	0	0	0,402 12	0,402 12	-	00535	- 204.8 63	637.0 12	0,402 12	0,402 12	3,27
	I		362.7 56	16.52 1.820	4,557 41	4,557 41	4,56		- 277.5 50	11.42 4.121	4,557 41	4,557 41	11,2 5		0	34.76 5	0,536 17	0,536 17	7,59
S	S		0	0	1,608 50	1,608 50	-		0	0	1,608 50	1,608 50	-		0	0	1,608 50	1,608 50	-
	I		- 464.8 33	17.27 2.370	9,650 98	9,650 98	NS		- 146.9 63	18.24 0.688	9,650 98	9,650 98	51,4 2		25.05 4	12.83 2.984	9,650 98	9,650 98	5,98
P	S	00536	- 122.9 07	2.086. 024	0,402 12	0,402 12	1,41	00537	- 83.03 7	1.695. 407	0,402 12	0,402 12	1,64	00538	- 60.49 8	1.315. 104	0,402 12	0,402 12	1,97
	I		0	34.35 7	0,536 17	0,536 17	7,58		0	33.70 0	0,536 17	0,536 17	7,57		0	32.74 0	0,536 17	0,536 17	7,56
S	S		0	0	1,608 50	1,608 50	-		0	0	1,608 50	1,608 50	-		0	0	1,608 50	1,608 50	-
	I		15.31 0	7.205. 332	1,608 50	1,608 50	1,66		13.19 1	3.584. 946	1,608 50	1,608 50	3,34		12.85 4	2.161. 158	1,608 50	1,608 50	5,54
P	S	00539	- 46.40 4	1.010. 286	0,402 12	0,402 12	2,36	00540	- 36.81 8	774.4 58	0,402 12	0,402 12	2,79	00541	- 29.74 4	590.0 21	0,402 12	0,402 12	3,26
	I		0	31.40 6	0,536 17	0,536 17	7,54		0	29.61 5	0,536 17	0,536 17	7,51		0	27.27 4	0,536 17	0,536 17	7,47
S	S		0	0	1,608 50	1,608 50	-		0	0	1,608 50	1,608 50	-		0	0	1,608 50	1,608 50	-
	I		12.92 9	1.405. 225	1,608 50	1,608 50	8,52		13.16 5	960.7 39	1,608 50	1,608 50	12,4 6		13.42 2	685.3 13	1,608 50	1,608 50	17,47
P	S	00542	- 24.08 6	444.1 29	0,402 12	0,402 12	3,76	00543	- 19.32 2	328.3 94	0,402 12	0,402 12	4,28	00544	- 15.43 5	237.6 25	0,402 12	0,402 12	4,80
	I		0	24.29 0	0,536 17	0,536 17	7,42		0	20.57 6	0,536 17	0,536 17	7,36		0	16.00 3	0,536 17	0,536 17	7,29



REGIONE BASILICATA - PROVINCIA DI MATERA - COMUNE DI FERRANDINA
PROGETTO DEFINITIVO
Parco Eolico "Montagnola"
Relazione preliminare sulle strutture

Platee - Verifiche pressoflessione retta allo SLU

Dir	Pos	Nodo	N _{Ed} [N]	M _{Ed} [N-m]	A _S [cm ² /cm]	A _d [cm ² /cm]	CS	Nodo	N _{Ed} [N]	M _{Ed} [N-m]	A _S [cm ² /cm]	A _d [cm ² /cm]	CS	Nodo	N _{Ed} [N]	M _{Ed} [N-m]	A _S [cm ² /cm]	A _d [cm ² /cm]	CS
S	S		0	0	1,608	1,608	-		0	0	1,608	1,608	-		0	0	1,608	1,608	-
	I		13.69 6	508.3 98	1,608 50	1,608 50	23,5 5		14.33 3	391.2 60	1,608 50	1,608 50	30,5 9		16.24 8	311.1 37	1,608 50	1,608 50	38,46
P	S	00545	- 12.65 7	168.9 16	0,402 12	0,402 12	5,29	00546	- 11.90 2	122.5 20	0,402 12	0,402 12	5,68	00547	- 12.72 3	86.24 9	0,402 12	0,402 12	6,04
	I		0	10.18 6	0,536 17	0,536 17	7,21		0	2.947	0,536 17	0,536 17	7,10		0	0	0,536 17	0,536 17	-
S	S		0	0	1,608 50	1,608 50	-		0	0	1,608 50	1,608 50	-		0	0	1,608 50	1,608 50	-
	I		21.48 3	253.5 17	1,608 50	1,608 50	47,1 9		36.60 4	209.6 73	1,608 50	1,608 50	56,9 9		50.62 9	180.1 58	1,608 50	1,608 50	66,25
P	S	00548	1.697	42.19 1	0,402 12	0,402 12	6,51	00549	12.92 9	112.9 54	0,402 12	0,402 12	5,73	00550	26.83 9	79.44 6	0,402 12	0,402 12	6,04
	I		0	0	0,536 17	0,536 17	-		0	0	0,536 17	0,536 17	-		0	8.253	0,536 17	0,536 17	7,18
S	S		0	0	1,608 50	1,608 50	-		0	0	1,608 50	1,608 50	-		0	0	1,608 50	1,608 50	-
	I		40.64 8	361.4 56	1,608 50	1,608 50	33,0 5		11.90 6	416.4 53	1,608 50	1,608 50	28,7 5		15.52 7	513.4 60	1,608 50	1,608 50	23,37
P	S	00551	22.67 5	56.16 7	0,402 12	0,402 12	6,31	00552	21.79 7	12.32 5	0,402 12	0,402 12	6,85	00553	0	0	0,402 12	0,402 12	-
	I		0	15.04 7	0,536 17	0,536 17	7,28		0	19.78 7	0,536 17	0,536 17	7,35		22.70 3	61.47 5	0,536 17	0,536 17	8,00
S	S		0	0	1,608 50	1,608 50	-		0	0	1,608 50	1,608 50	-		0	0	1,608 50	1,608 50	-
	I		- 17.95 0	627.5 15	1,608 50	1,608 50	19,1 2		- 17.59 3	770.9 40	1,608 50	1,608 50	15,5 7		- 17.06 1	955.8 95	1,608 50	1,608 50	12,55
P	S	00554	0	0	0,402 12	0,402 12	-	00555	0	0	0,402 12	0,402 12	-	00556	0	0	0,402 12	0,402 12	-
	I		24.90 6	173.8 04	0,536 17	0,536 17	10,7 7		28.27 1	336.2 07	0,536 17	0,536 17	21,5 6		32.94 1	566.0 87	0,536 17	0,536 17	51,26
S	S		0	0	1,608 50	1,608 50	-		0	0	1,608 50	1,608 50	-		0	0	1,608 50	1,608 50	-
	I		- 16.96 0	1.200. 282	1,608 50	1,608 50	10,0 0		- 17.56 1	1.531. 284	1,608 50	1,608 50	7,84		- 19.15 3	1.995. 062	1,608 50	1,608 50	6,02
P	S	00557	0	0	0,402 12	0,402 12	-	00558	0	0	0,402 12	0,402 12	-	00559	0	0	0,402 12	0,402 12	-
	I		39.52 0	893.1 17	0,536 17	0,536 17	8,81		49.62 4	1.383. 350	0,536 17	0,536 17	3,92		67.72 4	2.224. 746	4,557 41	4,557 41	1,48
S	S		0	0	1,608 50	1,608 50	-		0	0	1,608 50	1,608 50	-		0	0	1,608 50	1,608 50	-
	I		- 22.39 7	2.677. 620	1,608 50	1,608 50	4,48		- 28.93 7	3.742. 950	1,608 50	1,608 50	3,21		- 43.03 9	5.608. 080	1,608 50	1,608 50	2,14
P	S	00560	0	0	0,402 12	0,402 12	-	00561	0	0	4,423 36	4,423 36	-	00562	0	0	4,423 36	4,423 36	-
	I		109.8 38	3.927. 266	4,557 41	4,557 41	1,76		1.247. 797	9.227. 927	4,557 41	4,557 41	3,69		- 1.480. 076	27.68 5.760	4,557 41	4,557 41	1,28
S	S		0	0	1,608 50	1,608 50	-		0	0	9,650 98	9,650 98	-		0	0	9,650 98	9,650 98	-
	I		- 82.49 8	11.96 6.754	9,650 98	9,650 98	5,18		- 1.214. 932	30.67 1.264	9,650 98	9,650 98	2,38		373.4 51	47.02 8.980	9,650 98	9,650 98	1,52
P	S	00563	- 262.6 69	1.942. 273	4,423 36	4,423 36	13,8 0	00564	- 132.2 41	2.643. 007	4,423 36	4,423 36	1,71	00565	- 83.77 1	1.794. 787	0,402 12	0,402 12	1,57
	I		0	34.96 2	4,557 41	4,557 41	72,3 2		0	34.67 6	0,536 17	0,536 17	1,32		0	34.15 2	0,536 17	0,536 17	7,58
S	S		0	0	9,650 98	9,650 98	-		0	0	9,650 98	9,650 98	-		0	0	1,608 50	1,608 50	-
	I		12.95 1	11.05 7.290	9,650 98	9,650 98	6,49		15.29 1	3.853. 338	9,650 98	9,650 98	18,6 2		17.16 6	1.259. 190	1,608 50	1,608 50	9,50
P	S	00566	- 59.89 0	1.252. 220	0,402 12	0,402 12	2,04	00567	- 46.08 9	900.4 48	0,402 12	0,402 12	2,55	00568	- 37.07 4	656.9 77	0,402 12	0,402 12	3,07
	I		0	33.36 2	0,536 17	0,536 17	7,57		0	32.24 4	0,536 17	0,536 17	7,55		0	30.72 7	0,536 17	0,536 17	7,52
S	S		0	0	1,608 50	1,608 50	-		0	0	1,608 50	1,608 50	-		0	0	1,608 50	1,608 50	-
	I		15.76	715.7	1,608	1,608	16,7		14.75	424.8	1,608	1,608	28,1		14.32	272.4	1,608	1,608	43,94



Platee - Verifiche pressoflessione retta allo SLU

Dir	Pos	Nodo	N _{Ed} [N]	M _{Ed} [N-m]	A _s [cm ² /cm]	A _{df} [cm ² /cm]	CS	Nodo	N _{Ed} [N]	M _{Ed} [N-m]	A _s [cm ² /cm]	A _{df} [cm ² /cm]	CS	Nodo	N _{Ed} [N]	M _{Ed} [N-m]	A _s [cm ² /cm]	A _{df} [cm ² /cm]	CS
			0	83	50	50	2		5	30	50	50	7		6	32	50	50	
P	S	00569	-	478.7	0,402	0,402	3,63	00570	-	343.0	0,402	0,402	4,21	00571	-	238.0	0,402	0,402	4,81
	I		30.67	92	12	12			25.91	31	12	12			22.38	41	12	12	
	I		0	28.73	0,536	0,536	7,49		0	26.18	0,536	0,536	7,45		0	23.01	0,536	0,536	7,40
S	S		0	0	1,608	1,608	-		0	0	1,608	1,608	-	0	0	1,608	1,608	-	
	I		14.29	192.0	1,608	1,608	62,3		14.55	148.8	1,608	1,608	80,4		15.19	125.6	1,608	1,608	95,26
P	S	00572	-	157.4	0,402	0,402	5,39	00573	-	98.03	0,402	0,402	5,93	00574	-	59.47	0,402	0,402	6,34
	I		20.09	94	12	12			19.38	0	12	12			21.31	3	12	12	
	I		0	19.11	0,536	0,536	7,34		0	14.16	0,536	0,536	7,27		0	6.784	0,536	0,536	7,16
S	S		0	0	1,608	1,608	-		0	0	1,608	1,608	-	0	0	1,608	1,608	-	
	I		16.43	113.0	1,608	1,608	NS		18.62	104.7	1,608	1,608	NS		23.94	96.41	1,608	1,608	NS
P	S	00575	-	59.24	0,402	0,402	6,39	00576	7.145	21.00	0,402	0,402	6,76	00577	0	8.214	0,402	0,402	6,95
	I		48.26	9	12	12			0	0	0,536	0,536			10.72	749	0,536	0,536	7,05
S	S		0	0	1,608	1,608	-		0	0	1,608	1,608	-	0	0	1,608	1,608	-	
	I		50.57	86.62	1,608	1,608	NS		37.02	77.58	1,608	1,608	NS		53.36	301.0	1,608	1,608	39,97
P	S	00578	30.89	4.629	0,402	0,402	6,94	00579	0	0	0,402	0,402	-	00580	0	0	0,402	0,402	-
	I		0	3.303	0,536	0,536	7,11		18.57	28.35	0,536	0,536	7,45		18.50	81.81	0,536	0,536	8,41
S	S		0	0	1,608	1,608	-		0	0	1,608	1,608	-	0	0	1,608	1,608	-	
	I		42.48	360.4	1,608	1,608	33,3		19.46	412.9	1,608	1,608	29,0		16.54	486.9	1,608	1,608	24,64
P	S	00581	0	0	0,402	0,402	-	00582	0	0	0,402	0,402	-	00583	0	0	0,402	0,402	-
	I		20.02	164.4	0,536	0,536	10,4		22.64	285.5	0,536	0,536	16,4		26.12	457.2	0,536	0,536	85,57
S	S		0	0	1,608	1,608	-		0	0	1,608	1,608	-	0	0	1,608	1,608	-	
	I		14.95	573.8	1,608	1,608	20,9		14.00	678.3	1,608	1,608	17,6		13.32	803.9	1,608	1,608	14,92
P	S	00584	0	0	0,402	0,402	-	00585	0	0	0,402	0,402	-	00586	0	0	0,402	0,402	-
	I		30.46	697.5	0,536	0,536	17,4		35.81	1.036.099	0,536	0,536	6,47		42.30	1.525.231	0,536	0,536	3,38
S	S		0	0	1,608	1,608	-		0	0	1,608	1,608	-	0	0	1,608	1,608	-	
	I		12.63	954.2	1,608	1,608	12,5		11.72	1.130.697	1,608	1,608	10,6		10.24	1.335.820	1,608	1,608	8,98
P	S	00587	0	0	0,402	0,402	-	00588	0	0	0,402	0,402	-	00589	0	0	0,402	0,402	-
	I		49.34	2.281.654	0,536	0,536	1,95		53.18	3.473.646	4,557	4,557	1,68		40.40	8.766.579	4,557	4,557	3,80
S	S		0	0	1,608	1,608	-		0	0	1,608	1,608	-	-9.979	1.310.432	9,650	9,650	1,81	
	I		-7.611	1.592.512	1,608	1,608	7,53		-4.061	1.952.974	1,608	1,608	6,14		0	35.02	1,608	1,608	1,67
P	S	00590	-	3.712.626	4,423	4,423	8,11	00591	663.4	16.62	4,423	4,423	1,91	00592	4.202	3.280.571	4,423	4,423	1,81
	I		763.3	35	36	36			0	34.93	4,557	4,557	72,3		0	34.85	0,536	0,536	1,32
S	S		1.918.170	45.57	9,650	9,650	1,13		797.2	32.65	9,650	9,650	1,92		52.61	7.948.164	9,650	9,650	3,01
	I		0	34.84	1,608	1,608	1,67		0	34.76	1,608	1,608	1,67		0	34.91	1,608	1,608	1,67
P	S	00593	-	1.559.142	0,402	0,402	1,72	00594	-	972.9	0,402	0,402	2,41	00595	-	654.4	0,402	0,402	3,08
	I		32.68	142	12	12			37.56	88	12	12			35.04	75	12	12	



REGIONE BASILICATA - PROVINCIA DI MATERA - COMUNE DI FERRANDINA
PROGETTO DEFINITIVO
Parco Eolico "Montagnola"
Relazione preliminare sulle strutture

Platee - Verifiche pressoflessione retta allo SLU

Dir	Pos	Nodo	N _{Ed} [N]	M _{Ed} [N-m]	A _s [cm ² /cm]	A _{df} [cm ² /cm]	CS	Nodo	N _{Ed} [N]	M _{Ed} [N-m]	A _s [cm ² /cm]	A _{df} [cm ² /cm]	CS	Nodo	N _{Ed} [N]	M _{Ed} [N-m]	A _s [cm ² /cm]	A _{df} [cm ² /cm]	CS
	I		8 0	34.44 7	0,536 17	0,536 17	7,58		4 0	33.79 8	0,536 17	0,536 17	7,57		9 0	32.85 2	0,536 17	0,536 17	7,56
S	S		20.29 2	3.161. 714	1,608 50	1,608 50	3,78		15.26 0	1.866. 472	1,608 50	1,608 50	6,41		14.17 1	1.197. 374	1,608 50	1,608 50	10,00
	I		0	34.76 0	1,608 50	1,608 50	NS		0	34.46 2	1,608 50	1,608 50	NS		0	34.02 9	1,608 50	1,608 50	NS
P	S	00596	- 31.26 2	454.8 97	0,402 12	0,402 12	3,72	00597	- 27.67 8	310.2 80	0,402 12	0,402 12	4,38	00598	- 24.68 8	200.7 54	0,402 12	0,402 12	5,07
	I		0	31.54 4	0,536 17	0,536 17	7,54		0	29.79 9	0,536 17	0,536 17	7,51		0	27.54 0	0,536 17	0,536 17	7,47
S	S		13.92 9	791.9 85	1,608 50	1,608 50	15,1		14.02 3	537.0 89	1,608 50	1,608 50	22,2		14.40 7	365.7 02	1,608 50	1,608 50	32,73
	I		0	33.43 3	1,608 50	1,608 50	NS		0	32.62 5	1,608 50	1,608 50	NS		0	31.52 4	1,608 50	1,608 50	NS
P	S	00599	- 22.48 2	116.8 01	0,402 12	0,402 12	5,75	00600	- 21.29 2	53.45 6	0,402 12	0,402 12	6,41	00601	- 21.52 4	8.227	0,402 12	0,402 12	6,99
	I		0	24.69 4	0,536 17	0,536 17	7,43		0	21.18 0	0,536 17	0,536 17	7,37		0	16.81 8	0,536 17	0,536 17	7,31
S	S		15.11 7	244.9 80	1,608 50	1,608 50	48,8		16.13 2	157.7 28	1,608 50	1,608 50	75,8		17.17 4	94.30 8	1,608 50	1,608 50	NS
	I		0	29.98 2	1,608 50	1,608 50	NS		0	27.73 7	1,608 50	1,608 50	NS		0	24.33 6	1,608 50	1,608 50	NS
P	S	00602	0	0	0,402 12	0,402 12	-	00603	0	0	0,402 12	0,402 12	-	00604	0	6.045	0,402 12	0,402 12	6,98
	I		- 24.10 8	19.76 0	0,536 17	0,536 17	7,40		- 14.72 3	28.44 3	0,536 17	0,536 17	7,52		-2.427	42.29 1	0,536 17	0,536 17	7,72
S	S		17.10 8	49.31 2	1,608 50	1,608 50	NS		11.14 2	6.493	1,608 50	1,608 50	NS		0	0	1,608 50	1,608 50	-
	I		0	18.87 6	1,608 50	1,608 50	NS		0	10.03 4	1,608 50	1,608 50	NS		- 34.93 5	8.200	1,608 50	1,608 50	NS
P	S	00605	0	0	0,402 12	0,402 12	-	00606	0	0	0,402 12	0,402 12	-	00607	0	0	0,402 12	0,402 12	-
	I		4.304	71.14 8	0,536 17	0,536 17	8,23		18.01 6	65.01 7	0,536 17	0,536 17	8,08		9.673	101.9 64	0,536 17	0,536 17	8,85
S	S		0	0	1,608 50	1,608 50	-		0	0	1,608 50	1,608 50	-		0	0	1,608 50	1,608 50	-
	I		- 43.94 9	245.4 32	1,608 50	1,608 50	48,9		- 51.78 7	232.9 44	1,608 50	1,608 50	51,6		- 24.85 4	250.2 52	1,608 50	1,608 50	47,98
P	S	00608	0	0	0,402 12	0,402 12	-	00609	0	0	0,402 12	0,402 12	-	00610	0	0	0,402 12	0,402 12	-
	I		11.96 5	163.7 72	0,536 17	0,536 17	10,4		15.03 1	253.7 48	0,536 17	0,536 17	14,3		18.62 9	380.6 92	0,536 17	0,536 17	29,80
S	S		0	0	1,608 50	1,608 50	-		0	0	1,608 50	1,608 50	-		0	0	1,608 50	1,608 50	-
	I		- 16.01 2	260.9 31	1,608 50	1,608 50	45,9		- 12.71 5	270.1 45	1,608 50	1,608 50	44,4		- 11.11 8	268.5 22	1,608 50	1,608 50	44,67
P	S	00611	0	0	0,402 12	0,402 12	-	00612	0	0	0,402 12	0,402 12	-	00613	0	0	0,402 12	0,402 12	-
	I		22.49 6	556.1 41	0,536 17	0,536 17	60,2		26.59 7	796.2 02	0,536 17	0,536 17	11,7		31.05 5	1.125. 161	0,536 17	0,536 17	5,56
S	S		0	0	1,608 50	1,608 50	-		0	0	1,608 50	1,608 50	-		0	0	1,608 50	1,608 50	-
	I		-9.749	244.2 78	1,608 50	1,608 50	49,0		-7.742	176.0 07	1,608 50	1,608 50	68,1		0	32.96 3	1,608 50	1,608 50	NS
P	S	00614	0	0	0,402 12	0,402 12	-	00615	0	0	0,402 12	0,402 12	-	00616	0	0	0,402 12	0,402 12	-
	I		35.82 8	1.582. 105	0,536 17	0,536 17	3,21		40.22 0	2.226. 670	0,536 17	0,536 17	2,01		41.83 7	3.146. 387	4,557 41	4,557 41	1,62
S	S		1.502	305.2 73	1,608 50	1,608 50	39,2		12.98 1	1.024. 869	1,608 50	1,608 50	11,6		38.89 7	2.925. 216	1,608 50	1,608 50	4,08
	I		0	33.64 3	1,608 50	1,608 50	NS		0	34.15 5	1,608 50	1,608 50	NS		0	34.52 9	1,608 50	1,608 50	NS
P	S	00617	0	0	0,402 12	0,402 12	-	00618	- 117.8 12	2.820. 408	4,423 36	4,423 36	10,1	00619	18.00 2	14.47 8.963	4,423 36	4,423 36	2,23
	I		31.64 4	3.838. 606	4,557 41	4,557 41	1,75		0	35.02 1	4,557 41	4,557 41	72,3		0	34.91 7	4,557 41	4,557 41	72,31
S	S		117.2 20	8.721. 940	1,608 50	1,608 50	1,36		537.0 42	16.27 1.194	9,650 98	9,650 98	14,9		299.7 35	19.49 6.580	9,650 98	9,650 98	20,55



Platee - Verifiche pressoflessione retta allo SLU

Dir	Pos	Nodo	N _{Ed} [N]	M _{Ed} [N·m]	A _S [cm ² /cm]	A _{dif} [cm ² /cm]	CS	Nodo	N _{Ed} [N]	M _{Ed} [N·m]	A _S [cm ² /cm]	A _{dif} [cm ² /cm]	CS	Nodo	N _{Ed} [N]	M _{Ed} [N·m]	A _S [cm ² /cm]	A _{dif} [cm ² /cm]	CS	
	I		29.89 1	2.266. 682	0,536 17	0,536 17	1,97		19.06 1	1.913. 162	0,536 17	0,536 17	2,47		3					
S	S		46.49 8	3.861. 570	1,608 50	1,608 50	3,09		102.1 34	6.585. 790	1,608 50	1,608 50	1,80		237.6 10	9.310. 621	9,650 98	9,650 98	3,43	
	I		0	34.02 9	1,608 50	1,608 50	NS		0	34.36 4	1,608 50	1,608 50	NS		0	34.57 1	1,608 50	1,608 50	1,67	
P	S	00647	- 140.9 04	6.227. 090	4,423 36	4,423 36	2,72	00648	38.83 0	9.791. 798	4,423 36	4,423 36	6,49	00649	23.92 6	5.092. 566	4,423 36	4,423 36	2,26	
	I		0	34.86 1	0,536 17	0,536 17	1,32		0	34.80 3	0,536 17	0,536 17	1,32		0	34.61 1	0,536 17	0,536 17	1,32	
S	S		336.2 22	10.24 6.840	9,650 98	9,650 98	3,80		120.2 13	9.734. 912	9,650 98	9,650 98	3,65		30.49 4	8.948. 975	9,650 98	9,650 98	3,36	
	I		0	34.66 8	1,608 50	1,608 50	1,67		0	34.66 5	1,608 50	1,608 50	1,67		0	34.54 1	1,608 50	1,608 50	1,67	
P	S	00650	8.008	2.162. 290	0,402 12	0,402 12	1,32	00651	-2.505	845.2 23	0,402 12	0,402 12	2,62	00652	-9.500	322.8 44	0,402 12	0,402 12	4,29	
	I		0	34.19 9	0,536 17	0,536 17	7,58		0	33.53 0	0,536 17	0,536 17	7,57		0	32.54 5	0,536 17	0,536 17	7,55	
S	S		20.93 5	7.164. 414	1,608 50	1,608 50	1,67		15.19 8	5.017. 060	1,608 50	1,608 50	2,39		13.27 2	3.414. 438	1,608 50	1,608 50	3,51	
	I		0	34.31 1	1,608 50	1,608 50	NS		0	33.96 7	1,608 50	1,608 50	NS		0	33.48 4	1,608 50	1,608 50	NS	
P	S	00653	- 13.40 2	83.22 4	0,402 12	0,402 12	6,07	00654	0	0	0,402 12	0,402 12	-	00655	0	0	0,402 12	0,402 12	-	
	I		0	31.17 2	0,536 17	0,536 17	7,53		- 15.27 6	44.04 7	0,536 17	0,536 17	7,78		- 16.03 6	118.2 58	0,536 17	0,536 17	9,30	
S	S		12.75 4	2.366. 970	1,608 50	1,608 50	5,06		12.78 5	1.670. 764	1,608 50	1,608 50	7,17		13.18 4	1.191. 722	1,608 50	1,608 50	10,04	
	I		0	32.83 9	1,608 50	1,608 50	NS		0	32.01 9	1,608 50	1,608 50	NS		0	31.02 9	1,608 50	1,608 50	NS	
P	S	00656	0	0	0,402 12	0,402 12	-	00657	0	0	0,402 12	0,402 12	-	00658	0	0	0,402 12	0,402 12	-	
	I		- 16.36 8	162.4 79	0,536 17	0,536 17	10,5 3		- 16.66 9	186.3 79	0,536 17	0,536 17	11,3 3		- 16.57 0	194.1 67	0,536 17	0,536 17	11,62	
S	S		13.96 6	853.2 59	1,608 50	1,608 50	14,0 3		14.87 8	609.6 04	1,608 50	1,608 50	19,6 3		14.67 5	432.0 19	1,608 50	1,608 50	27,71	
	I		0	29.88 0	1,608 50	1,608 50	NS		0	28.58 6	1,608 50	1,608 50	NS		0	27.20 9	1,608 50	1,608 50	NS	
P	S	00659	0	0	0,402 12	0,402 12	-	00660	0	0	0,402 12	0,402 12	-	00661	0	0	0,402 12	0,402 12	-	
	I		- 14.07 7	188.1 45	0,536 17	0,536 17	11,3 9		-6.023	169.6 09	0,536 17	0,536 17	10,7 2		-556	139.4 71	0,536 17	0,536 17	9,81	
S	S		10.39 3	302.3 27	1,608 50	1,608 50	39,6 0		1.797	209.7 57	1,608 50	1,608 50	57,1 2		-640	142.6 55	1,608 50	1,608 50	84,01	
	I		0	25.88 9	1,608 50	1,608 50	NS		0	24.74 2	1,608 50	1,608 50	NS		0	22.64 2	1,608 50	1,608 50	NS	
P	S	00662	0	0	0,402 12	0,402 12	-	00663	0	0	0,402 12	0,402 12	-	00664	0	0	0,402 12	0,402 12	-	
	I		-1.836	172.6 02	0,536 17	0,536 17	10,8 1		1.331	212.1 43	0,536 17	0,536 17	12,2 9		539	273.0 98	0,536 17	0,536 17	15,63	
S	S		0	0	1,608 50	1,608 50	-		0	0	1,608 50	1,608 50	-		- 16.41 8	14.70 8	1,608 50	1,608 50	NS	
	I		- 42.22 9	78.48 4	1,608 50	1,608 50	NS		0	25.72 7	1,608 50	1,608 50	NS		0	26.80 1	1,608 50	1,608 50	NS	
P	S	00665	0	0	0,402 12	0,402 12	-	00666	0	0	0,402 12	0,402 12	-	00667	0	0	0,402 12	0,402 12	-	
	I		2.845	358.9 45	0,536 17	0,536 17	25,2 6		8.105	475.5 94	0,536 17	0,536 17	NS		13.09 2	625.6 62	0,536 17	0,536 17	27,46	
S	S		-8.025	89.48 2	1,608 50	1,608 50	NS		-5.336	197.3 61	1,608 50	1,608 50	60,7 4		-4.386	355.1 55	1,608 50	1,608 50	33,75	
	I		0	27.44 2	1,608 50	1,608 50	NS		0	28.02 9	1,608 50	1,608 50	NS		0	28.84 3	1,608 50	1,608 50	NS	
P	S	00668	0	0	0,402 12	0,402 12	-	00669	0	0	0,402 12	0,402 12	-	00670	0	0	0,402 12	0,402 12	-	
	I		16.64 4	812.6 85	0,536 17	0,536 17	11,1 3		19.10 9	1.037. 569	0,536 17	0,536 17	6,48		20.68 9	1.289. 846	0,536 17	0,536 17	4,42	
S	S		-1.941	589.1 75	1,608 50	1,608 50	20,3 4		3.005	941.1 70	1,608 50	1,608 50	12,7 3		11.11 6	1.476. 833	1,608 50	1,608 50	8,11	



Platee - Verifiche pressoflessione retta allo SLU

Table with columns: Dir, Pos, Nodo, NEd, MEd, AS, Adf, CS, Nodo, NEd, MEd, AS, Adf, CS, Nodo, NEd, MEd, AS, Adf, CS. It contains structural verification data for various nodes and plate elements.



REGIONE BASILICATA - PROVINCIA DI MATERA - COMUNE DI FERRANDINA
PROGETTO DEFINITIVO
Parco Eolico "Montagnola"
Relazione preliminare sulle strutture

Platee - Verifiche pressoflessione retta allo SLU

Dir	Pos	Nodo	N _{Ed} [N]	M _{Ed} [N-m]	A _s [cm ² /cm]	A _{df} [cm ² /cm]	CS	Nodo	N _{Ed} [N]	M _{Ed} [N-m]	A _s [cm ² /cm]	A _{df} [cm ² /cm]	CS	Nodo	N _{Ed} [N]	M _{Ed} [N-m]	A _s [cm ² /cm]	A _{df} [cm ² /cm]	CS
S	S		341	856.9 83	1,608 50	1,608 50	13,9 8		9.412	1.126. 512	1,608 50	1,608 50	10,6 3		20.24 5	1.444. 187	1,608 50	1,608 50	8,28
			0	22.93 1	1,608 50	1,608 50	NS		0	25.66 2	1,608 50	1,608 50	NS		0	27.62 5	1,608 50	1,608 50	NS
P	S	00752	0	0	0,402 12	0,402 12	-	00753	0	0	0,402 12	0,402 12	-	00754	0	0	0,402 12	0,402 12	-
			-5.157	720.1 58	0,536 17	0,536 17	15,8 5		-	11.08 5	479.6 41	0,536 17	0,536 17		NS	0	31.81 4	0,536 17	0,536 17
S	S		32.90 5	1.790. 306	1,608 50	1,608 50	6,68		48.08 1	2.122. 944	1,608 50	1,608 50	5,62		65.90 2	2.379. 122	1,608 50	1,608 50	5,01
			0	28.96 4	1,608 50	1,608 50	NS		0	29.86 2	1,608 50	1,608 50	NS		0	30.48 6	1,608 50	1,608 50	NS
P	S	00755	-	697.9 59	0,402 12	0,402 12	2,96	00756	-	1.598. 735	0,402 12	0,402 12	1,69	00757	-	2.432. 732	4,423 36	4,423 36	1,66
			30.42 1	32.62 8	0,536 17	0,536 17	7,56		39.02 6	33.09 1	0,536 17	0,536 17	7,56		40.99 8	33.28 1	0,536 17	0,536 17	1,32
S	S		83.81 9	2.494. 237	1,608 50	1,608 50	4,77		96.07 4	2.444. 599	1,608 50	1,608 50	4,86		97.49 4	2.296. 806	1,608 50	1,608 50	5,18
			0	30.93 9	1,608 50	1,608 50	NS		0	31.25 1	1,608 50	1,608 50	NS		0	31.41 3	1,608 50	1,608 50	NS
P	S	00758	-	2.810. 779	4,423 36	4,423 36	1,72	00759	-	2.586. 689	4,423 36	4,423 36	1,68	00760	-	2.013. 700	0,402 12	0,402 12	1,41
			35.48 2	33.26 0	0,536 17	0,536 17	1,32		26.10 5	33.02 6	0,536 17	0,536 17	1,32		17.99 7	32.51 1	0,536 17	0,536 17	7,55
S	S		87.34 8	2.189. 178	1,608 50	1,608 50	5,44		69.84 8	2.180. 449	1,608 50	1,608 50	5,47		51.74 0	2.185. 114	1,608 50	1,608 50	5,46
			0	31.40 4	1,608 50	1,608 50	NS		0	31.22 5	1,608 50	1,608 50	NS		0	30.89 7	1,608 50	1,608 50	NS
P	S	00761	-	1.369. 927	0,402 12	0,402 12	1,89	00762	-	807.2 92	0,402 12	0,402 12	2,70	00763	-	377.3 06	0,402 12	0,402 12	4,03
			13.53 2	31.63 9	0,536 17	0,536 17	7,54		12.01 3	30.38 0	0,536 17	0,536 17	7,52		12.07 8	28.76 9	0,536 17	0,536 17	7,49
S	S		37.70 5	2.117. 446	1,608 50	1,608 50	5,64		28.36 6	1.955. 122	1,608 50	1,608 50	6,12		22.36 2	1.722. 296	1,608 50	1,608 50	6,95
			0	30.42 5	1,608 50	1,608 50	NS		0	29.76 7	1,608 50	1,608 50	NS		0	28.80 8	1,608 50	1,608 50	NS
P	S	00764	-	76.91 6	0,402 12	0,402 12	6,14	00765	0	0	0,402 12	0,402 12	-	00766	0	0	0,402 12	0,402 12	-
			12.53 9	26.86 2	0,536 17	0,536 17	7,46		-	117.8 47	0,536 17	0,536 17	9,28		-	233.5 68	0,536 17	0,536 17	13,34
S	S		18.18 4	1.458. 582	1,608 50	1,608 50	8,20		14.81 3	1.198. 222	1,608 50	1,608 50	9,99		12.06 7	962.7 97	1,608 50	1,608 50	12,43
			0	27.37 3	1,608 50	1,608 50	NS		0	25.28 5	1,608 50	1,608 50	NS		0	22.40 5	1,608 50	1,608 50	NS
P	S	00767	0	0	0,402 12	0,402 12	-	00768	0	0	0,402 12	0,402 12	-	00769	0	1.745	0,402 12	0,402 12	7,04
			-	292.2 93	0,536 17	0,536 17	17,1 4		-8.681	308.9 04	0,536 17	0,536 17	18,6 4		-	290.4 45	0,536 17	0,536 17	17,05
S	S		11.06 4	762.9 70	1,608 50	1,608 50	15,6 9		20.44 0	602.7 82	1,608 50	1,608 50	19,8 5		45.27 8	473.1 52	1,608 50	1,608 50	25,24
			0	18.65 9	1,608 50	1,608 50	NS		0	15.14 3	1,608 50	1,608 50	NS		0	15.68 3	1,608 50	1,608 50	NS
P	S	00770	0	0	0,402 12	0,402 12	-	00771	0	3.366	0,402 12	0,402 12	7,01	00772	0	0	0,402 12	0,402 12	-
			4.137	246.5 99	0,536 17	0,536 17	13,9 7		-	392.2 28	0,536 17	0,536 17	33,4 2		11.10 2	474.8 92	0,536 17	0,536 17	NS
S	S		13.70 8	377.0 81	1,608 50	1,608 50	31,7 4		-	329.0 99	1,608 50	1,608 50	36,4 4		-	437.3 44	1,608 50	1,608 50	27,43
			0	14.13 5	1,608 50	1,608 50	NS		0	0	1,608 50	1,608 50	-		0	435	1,608 50	1,608 50	NS
P	S	00773	0	0	0,402 12	0,402 12	-	00774	0	0	0,402 12	0,402 12	-	00775	0	0	0,402 12	0,402 12	-
			9.913	556.4 77	0,536 17	0,536 17	60,0 3		2.903	625.7 44	0,536 17	0,536 17	27,5 2		-2.461	671.9 79	0,536 17	0,536 17	20,23
S	S		-	561.7 54	1,608 50	1,608 50	21,3 5		-	728.6 88	1,608 50	1,608 50	16,4 5		6.270	928.2 12	1,608 50	1,608 50	12,90
			11.98 4	-	-	-	-		-	-	-	-	-		-	-	-	-	-



Platee - Verifiche pressoflessione retta allo SLU

Dir	Pos	Nodo	N _{Ed} [N]	M _{Ed} [N·m]	A _S [cm ² /cm]	A _{dif} [cm ² /cm]	CS	Nodo	N _{Ed} [N]	M _{Ed} [N·m]	A _S [cm ² /cm]	A _{dif} [cm ² /cm]	CS	Nodo	N _{Ed} [N]	M _{Ed} [N·m]	A _S [cm ² /cm]	A _{dif} [cm ² /cm]	CS	
	I		0	13.115	1,60850	1,60850	NS		0	18.755	1,60850	1,60850	NS		0	22.490	1,60850	1,60850	NS	
P	S	00776	0	0	0,40212	0,40212	-	00777	0	0	0,40212	0,40212	-	00778	0	0	0,40212	0,40212	-	
	I		-6.930	673.898	0,53617	0,53617	20,03		-	600.890	0,53617	0,53617	34,29		-	15.152	415.446	0,53617	0,53617	42,76
S	S		17.664	1.154.272	1,60850	1,60850	10,37		29.167	1.391.000	1,60850	1,60850	8,59		41.031	1.610.762	1,60850	1,60850	7,42	
	I		0	25.072	1,60850	1,60850	NS		0	26.748	1,60850	1,60850	NS		0	27.790	1,60850	1,60850	NS	
P	S	00779	0	0	0,40212	0,40212	-	00780	-	417.064	0,40212	0,40212	3,87	00781	-	1.046.008	0,40212	0,40212	2,30	
	I		-	81.542	0,53617	0,53617	8,49		28.245	31.513	0,53617	0,53617	7,54		35.250	32.180	0,53617	0,53617	7,55	
S	S		53.840	1.776.334	1,60850	1,60850	6,72		66.980	1.851.267	1,60850	1,60850	6,44		77.730	1.819.969	1,60850	1,60850	6,54	
	I		0	28.491	1,60850	1,60850	NS		0	29.033	1,60850	1,60850	NS		0	29.471	1,60850	1,60850	NS	
P	S	00782	-	1.684.317	0,40212	0,40212	1,63	00783	-	2.123.776	0,40212	0,40212	1,35	00784	-	2.193.468	0,40212	0,40212	1,32	
	I		39.084	32.475	0,53617	0,53617	7,55		38.054	32.540	0,53617	0,53617	7,55		32.808	32.436	0,53617	0,53617	7,55	
S	S		82.660	1.710.503	1,60850	1,60850	6,96		79.918	1.596.966	1,60850	1,60850	7,46		70.355	1.546.227	1,60850	1,60850	7,71	
	I		0	29.772	1,60850	1,60850	NS		0	29.873	1,60850	1,60850	NS		0	29.746	1,60850	1,60850	NS	
P	S	00785	-	1.924.286	0,40212	0,40212	1,46	00786	-	1.479.494	0,40212	0,40212	1,79	00787	-	1.004.800	0,40212	0,40212	2,35	
	I		25.909	32.086	0,53617	0,53617	7,55		20.123	31.346	0,53617	0,53617	7,53		16.775	30.122	0,53617	0,53617	7,51	
S	S		57.193	1.550.222	1,60850	1,60850	7,70		44.356	1.552.228	1,60850	1,60850	7,69		34.376	1.508.413	1,60850	1,60850	7,92	
	I		0	29.427	1,60850	1,60850	NS		0	28.978	1,60850	1,60850	NS		0	28.422	1,60850	1,60850	NS	
P	S	00788	-	585.605	0,40212	0,40212	3,26	00789	-	255.868	0,40212	0,40212	4,68	00790	-	18.315	0,40212	0,40212	6,84	
	I		15.647	28.448	0,53617	0,53617	7,49		15.693	26.511	0,53617	0,53617	7,46		15.780	24.524	0,53617	0,53617	7,43	
S	S		27.576	1.406.766	1,60850	1,60850	8,50		22.791	1.259.333	1,60850	1,60850	9,50		18.587	1.087.902	1,60850	1,60850	11,00	
	I		0	27.683	1,60850	1,60850	NS		0	26.554	1,60850	1,60850	NS		0	24.735	1,60850	1,60850	NS	
P	S	00791	0	0	0,40212	0,40212	-	00792	0	0	0,40212	0,40212	-	00793	0	0	0,40212	0,40212	-	
	I		-	139.065	0,53617	0,53617	9,84		-	232.317	0,53617	0,53617	13,29		-	17.304	275.844	0,53617	0,53617	15,90
S	S		14.199	913.456	1,60850	1,60850	13,10		9.878	751.322	1,60850	1,60850	15,94		6.299	609.387	1,60850	1,60850	19,65	
	I		0	21.968	1,60850	1,60850	NS		0	17.974	1,60850	1,60850	NS		0	11.751	1,60850	1,60850	NS	
P	S	00794	0	1.764	0,40212	0,40212	7,04	00795	0	93	0,40212	0,40212	7,06	00796	0	866	0,40212	0,40212	7,05	
	I		-	279.740	0,53617	0,53617	16,20		-1.274	257.330	0,53617	0,53617	14,61		19.638	425.919	0,53617	0,53617	48,47	
S	S		6.461	493.698	1,60850	1,60850	24,26		2.841	409.752	1,60850	1,60850	29,24		-	372.049	1,60850	1,60850	32,35	
	I		0	0	1,60850	1,60850	-		0	0	1,60850	1,60850	-		0	7.793	1,60850	1,60850	NS	
P	S	00797	0	0	0,40212	0,40212	-	00798	0	0	0,40212	0,40212	-	00799	0	0	0,40212	0,40212	-	
	I		-846	487.338	0,53617	0,53617	NS		-4.194	543.075	0,53617	0,53617	78,17		-8.615	577.020	0,53617	0,53617	44,62	
S	S		-	478.172	1,60850	1,60850	25,12		-	604.439	1,60850	1,60850	19,84		1.591	748.784	1,60850	1,60850	16,00	
	I		27.636	10.028	1,60850	1,60850	NS		11.524	15.096	1,60850	1,60850	NS		0	19.280	1,60850	1,60850	NS	



Platee - Verifiche pressoflessione retta allo SLU

Dir	Pos	Nodo	N _{Ed}	M _{Ed}	A _s	A _d	CS	Nodo	N _{Ed}	M _{Ed}	A _s	A _d	CS	Nodo	N _{Ed}	M _{Ed}	A _s	A _d	CS
			[N]	[N-m]	[cm ² /cm]	[cm ² /cm]			[N]	[N-m]	[cm ² /cm]	[cm ² /cm]			[N]	[N-m]	[cm ² /cm]	[cm ² /cm]	
P	S	00800	0	0	0,402	0,402	-	00801	0	0	0,402	0,402	-	00802	0	0	0,402	0,402	-
			-	574.7	0,536	0,536	46,0		-	17.10	515.2	0,536	0,536		NS	-	19.70	374.1	0,536
S	S	00800	14.87	907.7	1,608	1,608	13,1	00801	26.68	1.069.	1,608	1,608	11,1	00802	36.34	1.214.	1,608	1,608	9,84
			6	39	50	50	9		0	144	50	50	8		2	571	50	50	NS
P	S	00803	0	0	0,402	0,402	-	00804	-	227.1	0,402	0,402	4,88	00805	-	678.0	0,402	0,402	3,02
			-	129.7	0,536	0,536	9,61		27.38	86	12	12	7,51		32.92	46	12	12	7,53
S	S	00803	45.08	1.320.	1,608	1,608	9,04	00804	54.30	1.366.	1,608	1,608	8,73	00805	63.24	1.341.	1,608	1,608	8,89
			8	993	50	50	NS		6	691	50	50	NS		2	425	50	50	NS
P	S	00806	-	1.159.	0,402	0,402	2,14	00807	-	1.556.	0,402	0,402	1,73	00808	-	1.748.	0,402	0,402	1,58
			37.31	023	12	12	7,54		38.72	861	12	12	7,54		36.54	637	12	12	7,54
S	S	00806	69.49	1.257.	1,608	1,608	9,47	00807	70.88	1.155.	1,608	1,608	10,3	00808	66.69	1.084.	1,608	1,608	10,99
			6	968	50	50	NS		3	985	50	50	NS		7	208	50	50	NS
P	S	00809	-	1.687.	0,402	0,402	1,62	00810	-	1.432.	0,402	0,402	1,83	00811	-	1.084.	0,402	0,402	2,23
			31.67	523	12	12	7,54		26.08	879	12	12	7,53		21.67	501	12	12	7,51
S	S	00809	58.10	1.063.	1,608	1,608	11,2	00810	47.70	1.073.	1,608	1,608	11,1	00811	38.28	1.078.	1,608	1,608	11,08
			9	419	50	50	NS		2	042	50	50	NS		1	054	50	50	NS
P	S	00812	-	726.0	0,402	0,402	2,89	00813	-	408.9	0,402	0,402	3,90	00814	-	156.4	0,402	0,402	5,40
			19.44	43	12	12	7,48		19.21	25	12	12	7,45		19.47	87	12	12	7,41
S	S	00812	31.56	1.054.	1,608	1,608	11,3	00813	27.29	993.8	1,608	1,608	12,0	00814	23.50	903.6	1,608	1,608	13,24
			5	005	50	50	NS		9	31	50	50	NS		9	86	50	50	NS
P	S	00815	0	0	0,402	0,402	-	00816	0	0	0,402	0,402	-	00817	0	0	0,402	0,402	-
			-	27.19	0,536	0,536	7,51		-	148.5	0,536	0,536	10,1		-	217.2	0,536	0,536	12,59
S	S	00815	18.84	796.1	1,608	1,608	15,0	00816	17.79	684.1	1,608	1,608	17,5	00817	18.13	577.8	1,608	1,608	20,73
			8	01	50	50	NS		2	83	50	50	NS		6	44	50	50	NS
P	S	00818	0	0	0,402	0,402	-	00819	0	1.704	0,402	0,402	7,04	00820	0	0	0,402	0,402	-
			-	242.6	0,536	0,536	13,8		14.54	244.4	0,536	0,536	13,8		-6.191	420.7	0,536	0,536	45,56
S	S	00818	17.80	482.8	1,608	1,608	24,8	00819	-	415.1	1,608	1,608	28,9	00820	-	410.0	1,608	1,608	29,32
			3	53	50	50	NS		4	61	50	50	NS		9	48	50	50	NS
P	S	00821	0	0	0,402	0,402	-	00822	0	0	0,402	0,402	-	00823	0	0	0,402	0,402	-
			-	467.8	0,536	0,536	NS		14.54	244.4	0,536	0,536	NS		-6.191	420.7	0,536	0,536	NS
S	S	00821	13.10	496.0	1,608	1,608	24,2	00822	-	415.1	1,608	1,608	20,0	00823	-	410.0	1,608	1,608	16,92
			4	43	50	50	NS		6	61	50	50	NS		4	48	50	50	NS
P	S	00824	0	0	0,402	0,402	-	00825	0	0	0,402	0,402	-	00826	0	0	0,402	0,402	-
			-	467.8	0,536	0,536	NS		15.75	495.1	0,536	0,536	NS		19.73	493.7	0,536	0,536	NS
S	S	00824	22.63	496.0	1,608	1,608	24,2	00825	-5.772	598.7	1,608	1,608	20,0	00826	10.70	707.6	1,608	1,608	16,92
			6	43	50	50	NS		4	59	50	50	NS		7	67	50	50	NS



REGIONE BASILICATA - PROVINCIA DI MATERA - COMUNE DI FERRANDINA
PROGETTO DEFINITIVO
Parco Eolico "Montagnola"
Relazione preliminare sulle strutture

Platee - Verifiche pressoflessione retta allo SLU

Dir	Pos	Nodo	N _{Ed} [N]	M _{Ed} [N-m]	A _S [cm ² /cm]	A _{dF} [cm ² /cm]	CS	Nodo	N _{Ed} [N]	M _{Ed} [N-m]	A _S [cm ² /cm]	A _{dF} [cm ² /cm]	CS	Nodo	N _{Ed} [N]	M _{Ed} [N-m]	A _S [cm ² /cm]	A _{dF} [cm ² /cm]	CS
			27.43 4	96	17	17	1			8	17	17				7	17	17	
S	S		37.21 3	715.7 21	1,608 50	1,608 50	16,6 9		35.73 5	722.0 95	1,608 50	1,608 50	16,5 5		39.60 4	694.6 27	1,608 50	1,608 50	17,20
	I		0	18.54 2	1,608 50	1,608 50	NS		0	18.87 5	1,608 50	1,608 50	NS		0	19.77 3	1,608 50	1,608 50	NS
P	S	00851	- 34.08 7	523.6 06	0,402 12	0,402 12	3,47	00852	- 38.49 8	790.5 24	0,402 12	0,402 12	2,76	00853	- 40.96 8	999.7 56	0,402 12	0,402 12	2,37
	I		0	29.15 0	0,536 17	0,536 17	7,50		0	28.95 0	0,536 17	0,536 17	7,50		0	28.44 4	0,536 17	0,536 17	7,49
S	S		46.22 3	636.5 10	1,608 50	1,608 50	18,7 6		52.79 1	560.6 00	1,608 50	1,608 50	21,2 9		56.35 0	487.2 31	1,608 50	1,608 50	24,49
	I		0	20.93 4	1,608 50	1,608 50	NS		0	22.00 6	1,608 50	1,608 50	NS		0	22.66 8	1,608 50	1,608 50	NS
P	S	00854	- 39.88 1	1.105. 839	0,402 12	0,402 12	2,22	00855	- 35.56 9	1.090. 473	0,402 12	0,402 12	2,23	00856	- 30.27 5	969.7 38	0,402 12	0,402 12	2,42
	I		0	28.49 1	0,536 17	0,536 17	7,49		0	28.99 7	0,536 17	0,536 17	7,50		0	29.06 2	0,536 17	0,536 17	7,50
S	S		54.71 1	436.3 23	1,608 50	1,608 50	27,3 5		48.13 6	417.0 19	1,608 50	1,608 50	28,6 3		39.45 0	424.1 05	1,608 50	1,608 50	28,17
	I		0	22.60 4	1,608 50	1,608 50	NS		0	21.84 9	1,608 50	1,608 50	NS		0	20.73 8	1,608 50	1,608 50	NS
P	S	00857	- 25.94 9	780.9 55	0,402 12	0,402 12	2,77	00858	- 23.59 1	564.5 86	0,402 12	0,402 12	3,33	00859	- 24.31 3	353.4 63	0,402 12	0,402 12	4,16
	I		0	27.94 6	0,536 17	0,536 17	7,48		0	25.19 0	0,536 17	0,536 17	7,44		0	20.88 8	0,536 17	0,536 17	7,37
S	S		32.04 6	443.7 85	1,608 50	1,608 50	26,9 3		28.45 7	462.3 10	1,608 50	1,608 50	25,8 6		30.42 1	470.8 65	1,608 50	1,608 50	25,39
	I		0	19.60 0	1,608 50	1,608 50	NS		0	18.80 2	1,608 50	1,608 50	NS		0	18.60 1	1,608 50	1,608 50	NS
P	S	00860	- 27.96 1	172.4 09	0,402 12	0,402 12	5,28	00861	- 22.16 6	32.93 2	0,402 12	0,402 12	6,66	00862	0	0	0,402 12	0,402 12	-
	I		0	16.80 8	0,536 17	0,536 17	7,31		0	16.21 1	0,536 17	0,536 17	7,30		- 17.25 2	65.86 4	0,536 17	0,536 17	8,17
S	S		33.43 7	465.4 72	1,608 50	1,608 50	25,6 8		23.39 1	447.7 05	1,608 50	1,608 50	26,7 2		8.346	423.4 18	1,608 50	1,608 50	28,28
	I		0	18.55 6	1,608 50	1,608 50	NS		0	17.50 3	1,608 50	1,608 50	NS		0	16.34 9	1,608 50	1,608 50	NS
P	S	00863	0	0	0,402 12	0,402 12	-	00864	0	0	0,402 12	0,402 12	-	00865	0	0	0,402 12	0,402 12	-
	I		- 14.63 1	123.5 21	0,536 17	0,536 17	9,43		- 12.98 9	146.8 33	0,536 17	0,536 17	10,0 5		- 31.66 3	350.1 59	0,536 17	0,536 17	23,99
S	S		-5.392	393.4 28	1,608 50	1,608 50	30,4 7		- 15.47 9	387.1 15	1,608 50	1,608 50	30,9 9		- 28.71 8	412.0 67	1,608 50	1,608 50	29,15
	I		0	15.26 3	1,608 50	1,608 50	NS		0	14.15 3	1,608 50	1,608 50	NS		0	13.66 2	1,608 50	1,608 50	NS
P	S	00866	0	0	0,402 12	0,402 12	-	00867	0	0	0,402 12	0,402 12	-	00868	0	0	0,402 12	0,402 12	-
	I		- 29.72 4	357.3 76	0,536 17	0,536 17	25,2 1		- 31.00 9	338.0 72	0,536 17	0,536 17	22,1 7		- 41.93 0	286.7 76	0,536 17	0,536 17	16,84
S	S		- 11.15 4	443.7 08	1,608 50	1,608 50	27,0 3		12.70 6	484.0 32	1,608 50	1,608 50	24,7 3		46.68 9	513.2 11	1,608 50	1,608 50	23,26
	I		0	13.60 6	1,608 50	1,608 50	NS		0	12.68 2	1,608 50	1,608 50	NS		0	13.25 2	1,608 50	1,608 50	NS
P	S	00869	0	0	0,402 12	0,402 12	-	00870	0	0	0,402 12	0,402 12	-	00871	- 27.73 2	127.3 93	0,402 12	0,402 12	5,66
	I		- 28.78 0	192.8 81	0,536 17	0,536 17	11,6 1		- 24.41 3	53.53 2	0,536 17	0,536 17	7,96		0	26.65 9	0,536 17	0,536 17	7,46
S	S		42.62 9	526.8 22	1,608 50	1,608 50	22,6 7		28.27 8	520.0 16	1,608 50	1,608 50	22,9 9		28.42 4	488.4 70	1,608 50	1,608 50	24,48
	I		0	12.65 6	1,608 50	1,608 50	NS		0	12.88 5	1,608 50	1,608 50	NS		0	14.46 0	1,608 50	1,608 50	NS
P	S	00872	- 32.41 7	335.6 60	0,402 12	0,402 12	4,25	00873	- 37.44 4	546.8 50	0,402 12	0,402 12	3,40	00874	- 42.25 1	729.1 58	0,402 12	0,402 12	2,90



REGIONE BASILICATA - PROVINCIA DI MATERA - COMUNE DI FERRANDINA
PROGETTO DEFINITIVO
Parco Eolico "Montagnola"
Relazione preliminare sulle strutture

Platee - Verifiche pressoflessione retta allo SLU

Dir	Pos	Nodo	NEd [N]	MEd [N-m]	As [cm ² /cm]	A _{df} [cm ² /cm]	CS	Nodo	NEd [N]	MEd [N-m]	As [cm ² /cm]	A _{df} [cm ² /cm]	CS	Nodo	NEd [N]	MEd [N-m]	As [cm ² /cm]	A _{df} [cm ² /cm]	CS
	I		1 0	2 13.79 9	50 1,608 50	50 1,608 50	NS		7 0	6 12.38 6	50 1,608 50	50 1,608 50	NS		2 0	9 10.58 6	50 1,608 50	50 1,608 50	NS
P	S	00899	- 28.84 7	414.9 65	0,402 12	0,402 12	3,88	00900	- 37.05 6	274.8 11	0,402 12	0,402 12	4,60	00901	- 24.66 1	155.8 11	0,402 12	0,402 12	5,41
	I		0	23.90 9	0,536 17	0,536 17	7,42		0	16.45 9	0,536 17	0,536 17	7,30		0	564	0,536 17	0,536 17	7,07
S	S		17.16 3	130.5 09	1,608 50	1,608 50	91,6 9		32.79 3	168.8 84	1,608 50	1,608 50	70,7 7		53.67 4	209.8 23	1,608 50	1,608 50	56,87
	I		0	7.796	1,608 50	1,608 50	NS		0	3.364	1,608 50	1,608 50	NS		0	2.088	1,608 50	1,608 50	NS
P	S	00902	- 14.10 8	80.12 4	0,402 12	0,402 12	6,11	00903	- 11.31 6	20.95 8	0,402 12	0,402 12	6,80	00904	0	0	0,402 12	0,402 12	-
	I		0	10.19 5	0,536 17	0,536 17	7,21		0	12.93 1	0,536 17	0,536 17	7,25		- 37.75 1	232.6 31	0,536 17	0,536 17	13,39
S	S		26.75 9	224.3 49	1,608 50	1,608 50	53,3 0		-367	270.2 49	1,608 50	1,608 50	44,3 4		1.837	347.6 95	1,608 50	1,608 50	34,46
	I		0	4.617	1,608 50	1,608 50	NS		0	9.480	1,608 50	1,608 50	NS		0	3.500	1,608 50	1,608 50	NS
P	S	00905	0	1.035	0,402 12	0,402 12	7,05	00906	0	0	0,402 12	0,402 12	-	00907	0	0	0,402 12	0,402 12	-
	I		- 18.18 9	156.8 46	0,536 17	0,536 17	10,3 6		- 11.28 1	102.7 00	0,536 17	0,536 17	8,92		0	21.82 0	0,536 17	0,536 17	7,38
S	S		-7.089	314.1 32	1,608 50	1,608 50	38,1 7		- 13.02 2	291.9 65	1,608 50	1,608 50	41,0 9		6.075	254.5 05	1,608 50	1,608 50	47,06
	I		0	0	1,608 50	1,608 50	-		0	0	1,608 50	1,608 50	-		0	3.383	1,608 50	1,608 50	NS
P	S	00908	- 36.29 3	115.2 80	0,402 12	0,402 12	5,79	00909	- 39.73 8	245.3 97	0,402 12	0,402 12	4,78	00910	- 42.33 1	367.6 13	0,402 12	0,402 12	4,11
	I		0	26.03 17	0,536 17	0,536 17	7,45		0	26.77 7	0,536 17	0,536 17	7,46		0	24.60 6	0,536 17	0,536 17	7,43
S	S		10.20 0	206.2 38	1,608 50	1,608 50	58,0 6		16.84 7	148.3 72	1,608 50	1,608 50	80,6 6		27.57 2	89.27 0	1,608 50	1,608 50	NS
	I		0	6.474	1,608 50	1,608 50	NS		0	7.860	1,608 50	1,608 50	NS		0	8.313	1,608 50	1,608 50	NS
P	S	00911	- 46.13 5	469.9 10	0,402 12	0,402 12	3,68	00912	- 56.45 0	536.4 10	0,402 12	0,402 12	3,45	00913	- 37.37 5	564.3 81	0,402 12	0,402 12	3,34
	I		0	19.90 3	0,536 17	0,536 17	7,35		0	15.52 6	0,536 17	0,536 17	7,29		0	20.76 7	0,536 17	0,536 17	7,37
S	S		46.37 1	36.39 5	1,608 50	1,608 50	NS		0	0	1,608 50	1,608 50	-		0	0	1,608 50	1,608 50	-
	I		0	8.875	1,608 50	1,608 50	NS		0	9.871	1,608 50	1,608 50	NS		43.13 9	24.15 2	1,608 50	1,608 50	NS
P	S	00914	- 34.79 5	548.3 38	0,402 12	0,402 12	3,39	00915	- 34.66 2	491.5 80	0,402 12	0,402 12	3,59	00916	- 34.95 4	406.1 31	0,402 12	0,402 12	3,93
	I		0	25.14 2	0,536 17	0,536 17	7,44		0	26.78 6	0,536 17	0,536 17	7,46		0	25.55 6	0,536 17	0,536 17	7,44
S	S		0	0	1,608 50	1,608 50	-		0	0	1,608 50	1,608 50	-		10.59 1	28.62 4	1,608 50	1,608 50	NS
	I		25.04 5	23.54 2	1,608 50	1,608 50	NS		0	7.659	1,608 50	1,608 50	NS		0	6.038	1,608 50	1,608 50	NS
P	S	00917	- 35.56 0	308.1 01	0,402 12	0,402 12	4,40	00918	- 30.38 6	203.3 40	0,402 12	0,402 12	5,05	00919	-3.962	128.3 29	0,402 12	0,402 12	5,62
	I		0	20.65 4	0,536 17	0,536 17	7,37		0	6.857	0,536 17	0,536 17	7,16		0	652	0,536 17	0,536 17	7,07
S	S		7.786	65.74 5	1,608 50	1,608 50	NS		-9.029	108.4 68	1,608 50	1,608 50	NS		- 22.94 6	154.0 39	1,608 50	1,608 50	77,93
	I		0	2.528	1,608 50	1,608 50	NS		0	0	1,608 50	1,608 50	-		0	0	1,608 50	1,608 50	-
P	S	00920	0	0	0,402 12	0,402 12	-	00921	0	0	0,402 12	0,402 12	-	00922	- 47.68 3	61.75 9	0,402 12	0,402 12	6,36
	I		-1.777	114.7 66	0,536 17	0,536 17	9,18		- 43.65 5	30.67 8	0,536 17	0,536 17	7,61		0	23.71 3	0,536 17	0,536 17	7,41
S	S		-	275.1	1,608	1,608	43,6		-8.303	222.0	1,608	1,608	53,9		-26	170.1	1,608	1,608	70,41



Platee - Verifiche pressoflessione retta allo SLU

Dir	Pos	Nodo	N _{Ed} [N]	M _{Ed} [N-m]	A _s [cm ² /cm]	A _{df} [cm ² /cm]	CS	Nodo	N _{Ed} [N]	M _{Ed} [N-m]	A _s [cm ² /cm]	A _{df} [cm ² /cm]	CS	Nodo	N _{Ed} [N]	M _{Ed} [N-m]	A _s [cm ² /cm]	A _{df} [cm ² /cm]	CS	
			17.68 0	14	50	50	2													
	I		0	2.745	1,608 50	1,608 50	NS		0	2.688	1,608 50	1,608 50	NS		0	4.104	1,608 50	1,608 50	NS	
P	S	00923	- 48.76 0	159.7 93	0,402 12	0,402 12	5,42	00924	- 49.24 6	254.7 55	0,402 12	0,402 12	4,73	00925	- 49.35 5	347.4 35	0,402 12	0,402 12	4,21	
	I		0	26.40 2	0,536 17	0,536 17	7,46		0	24.76 7	0,536 17	0,536 17	7,43		0	20.57 7	0,536 17	0,536 17	7,36	
S	S		5.346	112.6 00	1,608 50	1,608 50	NS		12.18 7	53.10 0	1,608 50	1,608 50	NS		26.37 6	923	1,608 50	1,608 50	NS	
	I		0	4.871	1,608 50	1,608 50	NS		0	4.657	1,608 50	1,608 50	NS		0	2.261	1,608 50	1,608 50	NS	
P	S	00926	- 61.64 7	415.1 30	0,402 12	0,402 12	3,92	00927	- 56.02 1	447.5 05	0,402 12	0,402 12	3,78	00928	- 34.65 6	456.1 67	0,402 12	0,402 12	3,72	
	I		0	8.982	0,536 17	0,536 17	7,19		0	13.17 3	0,536 17	0,536 17	7,25		0	21.57 3	0,536 17	0,536 17	7,38	
S	S		0	1.586	1,608 50	1,608 50	NS		0	2.031	1,608 50	1,608 50	NS		0	0	1,608 50	1,608 50	-	
	I		72.72 6	43.36 9	1,608 50	1,608 50	NS		40.08 3	68.55 8	1,608 50	1,608 50	NS		21.20 2	69.94 2	1,608 50	1,608 50	NS	
P	S	00929	- 38.45 2	428.4 41	0,402 12	0,402 12	3,83	00930	- 41.66 1	380.0 20	0,402 12	0,402 12	4,05	00931	- 42.52 9	315.8 42	0,402 12	0,402 12	4,37	
	I		0	25.13 4	0,536 17	0,536 17	7,44		0	26.14 8	0,536 17	0,536 17	7,45		0	23.09 5	0,536 17	0,536 17	7,40	
S	S		0	0	1,608 50	1,608 50	-		0	0	1,608 50	1,608 50	-		1.559	14.69 0	1,608 50	1,608 50	NS	
	I		10.90 4	56.47 4	1,608 50	1,608 50	NS		5.288	25.21 1	1,608 50	1,608 50	NS		0	3.854	1,608 50	1,608 50	NS	
P	S	00932	- 40.10 5	236.1 22	0,402 12	0,402 12	4,84	00933	- 62.52 3	110.7 22	0,402 12	0,402 12	5,87	00934	- 62.93 0	192.5 15	0,402 12	0,402 12	5,18	
	I		0	15.87 4	0,536 17	0,536 17	7,29		0	24.95 6	0,536 17	0,536 17	7,43		0	24.81 0	0,536 17	0,536 17	7,43	
S	S		- 12.19 1	65.56 2	1,608 50	1,608 50	NS		-2.313	108.3 38	1,608 50	1,608 50	NS		1.356	64.59 6	1,608 50	1,608 50	NS	
	I		0	2.660	1,608 50	1,608 50	NS		0	2.956	1,608 50	1,608 50	NS		0	2.985	1,608 50	1,608 50	NS	
P	S	00935	- 57.70 5	268.2 02	0,402 12	0,402 12	4,66	00936	- 50.79 4	322.8 16	0,402 12	0,402 12	4,34	00937	-2.598	340.8 15	0,402 12	0,402 12	4,19	
	I		0	21.52 7	0,536 17	0,536 17	7,38		0	13.99 5	0,536 17	0,536 17	7,26		0	0	0,536 17	0,536 17	-	
S	S		10.43 2	8.457	1,608 50	1,608 50	NS		0	3.723	1,608 50	1,608 50	NS		0	6.613	1,608 50	1,608 50	NS	
	I		0	1.279	1,608 50	1,608 50	NS		32.09 2	46.91 4	1,608 50	1,608 50	NS		11.15 9	49.99 3	1,608 50	1,608 50	NS	
P	S	00938	- 30.64 5	380.9 05	0,402 12	0,402 12	4,03	00939	- 42.51 9	386.7 71	0,402 12	0,402 12	4,02	00940	- 49.73 6	363.8 00	0,402 12	0,402 12	4,14	
	I		0	15.31 1	0,536 17	0,536 17	7,28		0	22.08 3	0,536 17	0,536 17	7,39		0	25.04 7	0,536 17	0,536 17	7,43	
S	S		0	2.146	1,608 50	1,608 50	NS		0	0	1,608 50	1,608 50	-		0	0	1,608 50	1,608 50	-	
	I		17.77 3	72.96 5	1,608 50	1,608 50	NS		6.389	64.30 0	1,608 50	1,608 50	NS		1.093	32.30 6	1,608 50	1,608 50	NS	
P	S	00941	- 50.47 2	308.9 40	0,402 12	0,402 12	4,42													
	I		0	24.19 7	0,536 17	0,536 17	7,42													
S	S		-1.531	3.107	1,608 50	1,608 50	NS													
	I		0	3.044	1,608 50	1,608 50	NS													

LEGENDA:

Dir Direzione [P] = principale (asse locale 1) - [S] = secondaria (asse locale 2).
 Pos Posizione [S] = superiore - [I] = inferiore.
 A_s Area delle armature esecutive per unità di lunghezza.
 A_{df} Armatura disponibile per la flessione
 CS Coefficiente di sicurezza ([NS] = Non Significativo se CS ≥ 100; [VNR]= Verifica Non Richiesta; Informazioni aggiuntive sulla condizione: [V] = statica; [E] =



Platee - Verifiche pressoflessione retta allo SLU

Dir	Pos	Nodo	N _{Ed}	M _{Ed}	A _S	A _{df}	CS	Nodo	N _{Ed}	M _{Ed}	A _S	A _{df}	CS	Nodo	N _{Ed}	M _{Ed}	A _S	A _{df}	CS
			[N]	[N·m]	[cm ² /cm]	[cm ² /cm]			[N]	[N·m]	[cm ² /cm]	[cm ² /cm]			[N]	[N·m]	[cm ² /cm]	[cm ² /cm]	

eccezionale; [S] = sismica; [N] = sismica non lineare).

N_{Ed}, M_{Ed} Sollecitazioni di progetto.

MODELLO FER A5

Platee - Verifiche pressoflessione retta allo SLU

Dir	Pos	Nodo	N _{Ed}	M _{Ed}	A _S	A _{df}	CS	Nodo	N _{Ed}	M _{Ed}	A _S	A _{df}	CS	Nodo	N _{Ed}	M _{Ed}	A _S	A _{df}	CS
			[N]	[N·m]	[cm ² /cm]	[cm ² /cm]			[N]	[N·m]	[cm ² /cm]	[cm ² /cm]			[N]	[N·m]	[cm ² /cm]	[cm ² /cm]	
Fondazione																			
Platea 1																			
P	S	00002	211.401	22.240.420	4,42336	4,42336	1,46	00003	0	3.343	0,40212	0,40212	7,01	00004	0	3.401	0,40212	0,40212	7,01
	I		0	1.158	4,55741	4,55741	67,38		-37,379	65.508	0,53617	0,53617	8,21		5.719	259.079	0,53617	0,53617	14,69
S	S		0	0	9,65098	9,65098	-		17.924	216.848	1,60850	1,60850	3,27		-18.235	282.135	1,60850	1,60850	3,37
	I		-161.219	9.582.964	8,84673	8,84673	5,50		0	0	0,80425	0,80425	-		0	0	0,80425	0,80425	-
P	S	00005	8.046	39.638	0,40212	0,40212	6,53	00006	6.090	155.010	0,40212	0,40212	5,38	00007	0	3.078	0,40212	0,40212	7,02
	I		0	0	0,53617	0,53617	-		0	0	0,53617	0,53617	-		33.668	192.971	0,53617	0,53617	11,42
S	S		0	3.797	1,60850	1,60850	3,04		0	2.099	1,60850	1,60850	3,04		0	3.463	1,60850	1,60850	3,04
	I		-21.304	163.109	0,80425	0,80425	2,89		-9.139	378.612	0,80425	0,80425	2,70		-498	76.403	0,80425	0,80425	2,96
P	S	00008	-59.951	298.310	0,40212	0,40212	4,49	00009	-28.357	138.700	0,40212	0,40212	5,56	00010	0	3.566	0,40212	0,40212	7,01
	I		0	0	0,53617	0,53617	-		0	0	0,53617	0,53617	-		-10.869	174.991	0,53617	0,53617	10,92
S	S		0	3.253	1,60850	1,60850	3,04		18.079	80.848	1,60850	1,60850	3,12		-1.864	338.706	1,60850	1,60850	3,44
	I		8.596	68.961	0,80425	0,80425	2,97		0	0	0,80425	0,80425	-		0	0	0,80425	0,80425	-
P	S	00011	0	2.300	0,40212	0,40212	7,03	00012	-6.782	241.549	0,40212	0,40212	4,76	00013	0	2.937	0,40212	0,40212	7,02
	I		-8.547	11.321	0,53617	0,53617	7,24		0	0	0,53617	0,53617	-		29.414	3.730	0,53617	0,53617	7,06
S	S		23.155	39.298	1,60850	1,60850	3,07		0	1.944	1,60850	1,60850	3,04		0	3.077	1,60850	1,60850	3,04
	I		0	0	0,80425	0,80425	-		16.041	341.679	0,80425	0,80425	2,72		-4.070	205.206	0,80425	0,80425	2,84
P	S	00014	0	3.482	0,40212	0,40212	7,01	00015	0	0	0,40212	0,40212	-	00016	0	0	0,40212	0,40212	-
	I		54.573	378.404	0,53617	0,53617	28,94		24.877	298.862	0,53617	0,53617	17,53		70.927	232.241	0,53617	0,53617	12,97
S	S		-48.431	110.577	1,60850	1,60850	3,18		0	151	1,60850	1,60850	3,04		0	0	1,60850	1,60850	-
	I		0	0	0,80425	0,80425	-		-1.759	25.198	0,80425	0,80425	3,01		3.786	59.191	0,80425	0,80425	2,98
P	S	00017	0	0	0,40212	0,40212	-	00018	0	0	0,40212	0,40212	-	00019	15.887	9.928	0,40212	0,40212	6,89
	I		64.330	149.279	0,53617	0,53617	9,90		29.745	68.673	0,53617	0,53617	8,12		0	0	0,53617	0,53617	-
S	S		0	0	1,60850	1,60850	-		0	0	1,60850	1,60850	-		0	323	1,60850	1,60850	3,04
	I		8.659	117.934	0,80425	0,80425	2,92		15.221	180.097	0,80425	0,80425	2,86		-5.346	238.941	0,80425	0,80425	2,81
P	S	00020	40.469	80.125	0,40212	0,40212	6,01	00021	32.154	125.323	0,40212	0,40212	5,59	00022	17.413	170.824	0,40212	0,40212	5,23
	I		0	1.602	0,53617	0,53617	7,08		0	1.908	0,53617	0,53617	7,09		0	872	0,53617	0,53617	7,07
S	S		0	0	1,60850	1,60850	-		0	0	1,60850	1,60850	-		0	0	1,60850	1,60850	-
	I		26.212	283.344	0,80425	0,80425	2,76		36.230	325.966	0,80425	0,80425	2,73		38.769	319.940	0,80425	0,80425	2,73
P	S	00023	4.464	165.705	0,40212	0,40212	5,29	00024	6.992	165.249	0,40212	0,40212	5,29	00025	3.593	115.959	0,40212	0,40212	5,72
	I		0	175	0,53617	0,53617	7,06		0	0	0,53617	0,53617	-		0	0	0,53617	0,53617	-



REGIONE BASILICATA - PROVINCIA DI MATERA - COMUNE DI FERRANDINA
PROGETTO DEFINITIVO
Parco Eolico "Montagnola"
Relazione preliminare sulle strutture

Platee - Verifiche pressoflessione retta allo SLU

Dir	Pos	Nodo	NEd	MEd	As	A _{df}	CS	Nodo	NEd	MEd	As	A _{df}	CS	Nodo	NEd	MEd	As	A _{df}	CS
			[N]	[N-m]	[cm ² /cm]	[cm ² /cm]			[N]	[N-m]	[cm ² /cm]	[cm ² /cm]			[N]	[N-m]	[cm ² /cm]	[cm ² /cm]	
S	S		0	0	1,608	1,608	-		0	0	1,608	1,608	-		0	0	1,608	1,608	-
	I		-2.354	275.9	0,804	0,804	2,78		32.77	245.7	0,804	0,804	2,79		40.77	146.7	0,804	0,804	2,88
P	S	00026	862	65.93	0,402	0,402	6,23	00027	-2.243	1.193	0,402	0,402	7,05	00028	0	0	0,402	0,402	-
	I		0	375	0,536	0,536	7,07		0	414	0,536	0,536	7,07		436	54.56	0,536	0,536	7,93
S	S		0	0	1,608	1,608	-		-2.135	30.37	1,608	1,608	3,07		4.604	116.0	1,608	1,608	3,16
	I		40.41	64.98	0,804	0,804	2,96		0	0	0,804	0,804	-		0	2.112	0,804	0,804	3,04
P	S	00029	0	0	0,402	0,402	-	00030	0	0	0,402	0,402	-	00031	0	161	0,402	0,402	7,06
	I		23	107.2	0,536	0,536	9,00		2.101	121.5	0,536	0,536	9,33		638	111.7	0,536	0,536	9,10
S	S		8.432	200.1	1,608	1,608	3,26		10.96	241.0	1,608	1,608	3,31		2.541	282.4	1,608	1,608	3,36
	I		0	2.625	0,804	0,804	3,04		6	08	0,804	0,804	3,04		0	155	0,804	0,804	3,04
P	S	00032	0	0	0,402	0,402	-	00033	0	0	0,402	0,402	-	00034	-	34.96	0,402	0,402	6,62
	I		-4.099	87.42	0,536	0,536	8,57		-	41.40	0,536	0,536	7,73		15.07	4	1,645	0,536	0,536
S	S		-	266.9	1,608	1,608	3,35		-	229.0	1,608	1,608	3,30		-9.429	186.8	1,608	1,608	3,25
	I		17.08	0	0,804	0,804	3,04		15.17	50	0,804	0,804	3,04		0	1.415	0,804	0,804	3,04
P	S	00035	-8.977	102.0	0,402	0,402	5,87	00036	-	170.1	0,402	0,402	5,30	00037	-	219.5	0,402	0,402	4,97
	I		0	723	0,536	0,536	7,07		26.09	76	0,536	0,536	7,09		53.59	55	2,886	0,536	0,536
S	S		1.263	138.9	1,608	1,608	3,19		-7.828	70.39	1,608	1,608	3,12		-5.960	22.93	1,608	1,608	3,07
	I		0	0	0,804	0,804	-		0	410	0,804	0,804	3,04		0	190	0,804	0,804	3,04
P	S	00038	-	232.9	0,402	0,402	4,88	00039	-	251.0	0,402	0,402	4,73	00040	-	209.1	0,402	0,402	5,01
	I		53.96	26	0,536	0,536	7,10		27.57	55	0,536	0,536	7,07		28.50	12	711	0,536	0,536
S	S		-2.639	7.954	1,608	1,608	3,05		-447	6.061	1,608	1,608	3,05		26	24.60	1,608	1,608	3,07
	I		0	77	0,804	0,804	3,04		0	0	0,804	0,804	-		0	0	0,804	0,804	-
P	S	00041	-	158.5	0,402	0,402	5,46	00042	-	73.97	0,402	0,402	6,26	00043	-	153	0,402	0,402	7,11
	I		70.43	82	0,536	0,536	7,10		64.37	3	0,536	0,536	7,11		28.39	3	743	0,536	0,536
S	S		-3.228	54.10	1,608	1,608	3,10		-8.177	110.8	1,608	1,608	3,16		-9.104	168.6	1,608	1,608	3,23
	I		0	47	0,804	0,804	3,04		0	0	0,804	0,804	-		0	531	0,804	0,804	3,04
P	S	00044	0	0	0,402	0,402	-	00045	0	0	0,402	0,402	-	00046	0	0	0,402	0,402	-
	I		-	81.65	0,536	0,536	8,50		-	136.1	0,536	0,536	9,82		-	186.9	0,536	0,536	11,40
S	S		-1.891	224.4	1,608	1,608	3,29		-	261.7	1,608	1,608	3,34		-	262.0	1,608	1,608	3,35
	I		0	98	0,804	0,804	3,04		23.10	5	0,804	0,804	3,04		0	1.624	0,804	0,804	3,04
P	S	00047	0	0	0,402	0,402	-	00048	0	104	0,402	0,402	7,06	00049	0	0	0,402	0,402	-
	I		-	210.5	0,536	0,536	12,2		-	206.9	0,536	0,536	12,0		-	184.6	0,536	0,536	11,24
S	S		-	262.3	1,608	1,608	3,35		-	223.6	1,608	1,608	3,29		-	151.5	1,608	1,608	3,22
	I		15.34	95	0,804	0,804	8		-2.359	88	0,804	0,804	9		-7.105	37	0,804	0,804	8
	I		40.92	30	0,804	0,804	3,35		7.997	61	0,804	0,804	3,29		30.65	13	0,804	0,804	3,22



Platee - Verifiche pressoflessione retta allo SLU

Dir	Pos	Nodo	NEd	MEd	As	A _{df}	CS	Nodo	NEd	MEd	As	A _{df}	CS	Nodo	NEd	MEd	As	A _{df}	CS
			[N]	[N-m]	[cm ² /cm]	[cm ² /cm]			[N]	[N-m]	[cm ² /cm]	[cm ² /cm]			[N]	[N-m]	[cm ² /cm]	[cm ² /cm]	
	I		0	1.142	0,804 25	0,804 25	3,04		0	44	0,804 25	0,804 25	3,04		0	2.493	0,804 25	0,804 25	3,04
P	S	00050	0	0	0,402 12	0,402 12	-	00051	0	0	0,402 12	0,402 12	-	00052	0	357	0,402 12	0,402 12	7,06
	I		-3.050	111.0 22	0,536 17	0,536 17	9,09		-877	55.69 5	0,536 17	0,536 17	7,95		1.635	12.41 7	0,536 17	0,536 17	7,24
S	S		-40.05 1	50.82 8	1,608 50	1,608 50	3,11		0	0	1,608 50	1,608 50	-		0	525	1,608 50	1,608 50	3,04
	I		0	2.893	0,804 25	0,804 25	3,04		-44.40 6	43.36 8	0,804 25	0,804 25	3,01		3.401	129.3 14	0,804 25	0,804 25	2,91
P	S	00053	965	60.25 1	0,402 12	0,402 12	6,30	00054	116	89.85 9	0,402 12	0,402 12	5,98	00055	-2.109	99.12 2	0,402 12	0,402 12	5,89
	I		0	735	0,536 17	0,536 17	7,07		0	0	0,536 17	0,536 17	-		0	612	0,536 17	0,536 17	7,07
S	S		0	0	1,608 50	1,608 50	-		0	0	1,608 50	1,608 50	-		0	0	1,608 50	1,608 50	-
	I		-258	225.1 62	0,804 25	0,804 25	2,82		-7.701	282.1 58	0,804 25	0,804 25	2,78		-11.67 8	311.5 07	0,804 25	0,804 25	2,75
P	S	00056	287	78.01 1	0,402 12	0,402 12	6,10	00057	6.963	46.58 2	0,402 12	0,402 12	6,44	00058	0	0	0,402 12	0,402 12	-
	I		0	31	0,536 17	0,536 17	7,06		0	575	0,536 17	0,536 17	7,07		15.73 0	15.31 7	0,536 17	0,536 17	7,25
S	S		0	0	1,608 50	1,608 50	-		0	0	1,608 50	1,608 50	-		0	0	1,608 50	1,608 50	-
	I		-2.426	331.4 78	0,804 25	0,804 25	2,73		19.00 9	326.9 63	0,804 25	0,804 25	2,73		15.70 5	281.9 52	0,804 25	0,804 25	2,77
P	S	00059	0	0	0,402 12	0,402 12	-	00060	0	146	0,402 12	0,402 12	7,06	00061	0	0	0,402 12	0,402 12	-
	I		14.93 1	83.28 5	0,536 17	0,536 17	8,44		7.560	157.6 99	0,536 17	0,536 17	10,3 1		20.64 8	224.0 52	0,536 17	0,536 17	12,76
S	S		0	0	1,608 50	1,608 50	-		0	252	1,608 50	1,608 50	3,04		0	0	1,608 50	1,608 50	-
	I		8.391	221.7 75	0,804 25	0,804 25	2,82		-2.356	156.7 93	0,804 25	0,804 25	2,89		12.43 8	95.93 2	0,804 25	0,804 25	2,94
P	S	00062	0	0	0,402 12	0,402 12	-	00063	0	0	0,402 12	0,402 12	-	00064	0	0	0,402 12	0,402 12	-
	I		54.70 3	266.9 51	0,536 17	0,536 17	14,9 9		53.72 9	308.1 37	0,536 17	0,536 17	18,2 4		24.61 8	332.1 59	0,536 17	0,536 17	21,05
S	S		0	0	1,608 50	1,608 50	-		0	0	1,608 50	1,608 50	-		0	121	1,608 50	1,608 50	3,04
	I		8.218	32.49 5	0,804 25	0,804 25	3,00		2.477	12.75 5	0,804 25	0,804 25	3,03		-36	4.850	0,804 25	0,804 25	3,03
P	S	00065	0	0	0,402 12	0,402 12	-	00066	0	0	0,402 12	0,402 12	-	00067	0	0	0,402 12	0,402 12	-
	I		44.18 0	340.2 44	0,536 17	0,536 17	22,0 1		49.17 6	354.4 10	0,536 17	0,536 17	24,1 4		54.61 0	335.3 20	0,536 17	0,536 17	21,28
S	S		89	225	1,608 50	1,608 50	3,04		2.954	23.72 4	1,608 50	1,608 50	3,06		0	0	1,608 50	1,608 50	-
	I		0	1.246	0,804 25	0,804 25	3,04		0	1.389	0,804 25	0,804 25	3,04		4.105	4.053	0,804 25	0,804 25	3,03
P	S	00068	0	0	0,402 12	0,402 12	-	00069	0	0	0,402 12	0,402 12	-	00070	0	0	0,402 12	0,402 12	-
	I		54.65 2	334.3 15	0,536 17	0,536 17	21,1 5		51.86 8	273.8 74	0,536 17	0,536 17	15,4 6		46.92 9	281.9 36	0,536 17	0,536 17	16,06
S	S		0	0	1,608 50	1,608 50	-		0	0	1,608 50	1,608 50	-		0	0	1,608 50	1,608 50	-
	I		4.825	3.256	0,804 25	0,804 25	3,03		7.015	46.06 1	0,804 25	0,804 25	2,99		9.362	48.44 4	0,804 25	0,804 25	2,99
P	S	00071	0	0	0,402 12	0,402 12	-	00072	0	0	0,402 12	0,402 12	-	00073	0	0	0,402 12	0,402 12	-
	I		9.467	217.3 73	0,536 17	0,536 17	12,5 0		-12.44 1	218.2 07	0,536 17	0,536 17	12,6 1		12.54 0	137.8 19	0,536 17	0,536 17	9,73
S	S		0	0	1,608 50	1,608 50	-		0	0	1,608 50	1,608 50	-		0	0	1,608 50	1,608 50	-
	I		15.51 5	113.7 46	0,804 25	0,804 25	2,92		125	112.5 13	0,804 25	0,804 25	2,93		1.958	182.9 30	0,804 25	0,804 25	2,86
P	S	00074	0	0	0,402 12	0,402 12	-	00075	0	0	0,402 12	0,402 12	-	00076	0	0	0,402 12	0,402 12	-
	I		14.79 8	134.6 43	0,536 17	0,536 17	9,64		14.58 3	59.51 1	0,536 17	0,536 17	7,99		15.66 3	55.44 9	0,536 17	0,536 17	7,91
S	S		0	0	1,608 50	1,608 50	-		0	0	1,608 50	1,608 50	-		0	0	1,608 50	1,608 50	-



Platee - Verifiche pressoflessione retta allo SLU

Dir	Pos	Nodo	NEd [N]	MEd [N-m]	As [cm²/cm]	A _{df} [cm²/cm]	CS	Nodo	NEd [N]	MEd [N-m]	As [cm²/cm]	A _{df} [cm²/cm]	CS	Nodo	NEd [N]	MEd [N-m]	As [cm²/cm]	A _{df} [cm²/cm]	CS	
			9						9						4					
S	S		-42.519	265.789	1,60850	1,60850	3,36		-						-					
	I		0	2.352	0,80425	0,80425	3,04		41.186	285.958	1,60850	1,60850	3,38		34.257	277.264	1,60850	1,60850	3,37	
P	S	00104	0	0	0,40212	0,40212	-	00105	0	0	0,40212	0,40212	-	00106	0	0	0,40212	0,40212	-	
	I		-37.171	161.775	0,53617	0,53617	10,56		-						-					
S	S		-28.220	273.827	1,60850	1,60850	3,36		-						-7.399	232.419	1,60850	1,60850	3,30	
	I		0	2.374	0,80425	0,80425	3,04		0	2.048	0,80425	0,80425	3,04		0	1.136	0,80425	0,80425	3,04	
P	S	00107	0	0	0,40212	0,40212	-	00108	0	0	0,40212	0,40212	-	00109	50.298	27.357	0,40212	0,40212	6,78	
	I		-3.007	47.490	0,53617	0,53617	7,81		-						0	1.845	0,53617	0,53617	7,09	
S	S		2.484	211.202	1,60850	1,60850	3,27		-						-					
	I		0	1.285	0,80425	0,80425	3,04		17.676	185.446	1,60850	1,60850	3,25		14.827	145.876	1,60850	1,60850	3,20	
P	S	00110	-60.025	63.885	0,40212	0,40212	6,36	00111	-69.679	109.754	0,40212	0,40212	5,90	00112	72.445	137.849	0,40212	0,40212	5,64	
	I		0	3.434	0,53617	0,53617	7,11		0	2.912	0,53617	0,53617	7,10		0	3.797	0,53617	0,53617	7,11	
S	S		-9.155	117.545	1,60850	1,60850	3,17		-						-7.668	58.783	1,60850	1,60850	3,10	
	I		0	1.704	0,80425	0,80425	3,04		0	894	0,80425	0,80425	3,04		0	680	0,80425	0,80425	3,04	
P	S	00113	-72.885	154.569	0,40212	0,40212	5,49	00114	-71.174	186.771	0,40212	0,40212	5,23	00115	56.781	226.433	0,40212	0,40212	4,93	
	I		0	3.576	0,53617	0,53617	7,11		0	2.708	0,53617	0,53617	7,10		0	2.161	0,53617	0,53617	7,09	
S	S		-3.370	63.044	1,60850	1,60850	3,11		-						-315	8.046	1,60850	1,60850	3,05	
	I		0	616	0,80425	0,80425	3,04		0	1.020	0,80425	0,80425	3,04		0	988	0,80425	0,80425	3,04	
P	S	00116	-14.112	253.262	0,40212	0,40212	4,70	00117	-9.739	264.659	0,40212	0,40212	4,62	00118	45.996	272.369	0,40212	0,40212	4,62	
	I		0	209	0,53617	0,53617	7,06		0	509	0,53617	0,53617	7,07		0	2.105	0,53617	0,53617	7,09	
S	S		0	0	1,60850	1,60850	-		0	0	1,60850	1,60850	-		0	0	1,60850	1,60850	-	
	I		2.575	10.325	0,80425	0,80425	3,03		3.139	16.324	0,80425	0,80425	3,02		1.083	24.748	0,80425	0,80425	3,01	
P	S	00119	-53.510	260.707	0,40212	0,40212	4,70	00120	-56.237	249.379	0,40212	0,40212	4,78	00121	55.778	244.447	0,40212	0,40212	4,81	
	I		0	2.659	0,53617	0,53617	7,10		0	3.714	0,53617	0,53617	7,11		0	4.058	0,53617	0,53617	7,12	
S	S		0	0	1,60850	1,60850	-		-						-6.044	1.711	1,60850	1,60850	3,04	
	I		-537	7.621	0,80425	0,80425	3,03		0	792	0,80425	0,80425	3,04		0	654	0,80425	0,80425	3,04	
P	S	00122	-50.082	208.417	0,40212	0,40212	5,05	00123	-43.444	182.080	0,40212	0,40212	5,23	00124	2.156	154.041	0,40212	0,40212	5,39	
	I		0	3.315	0,53617	0,53617	7,11		0	2.397	0,53617	0,53617	7,09		0	705	0,53617	0,53617	7,07	
S	S		-8.506	32.715	1,60850	1,60850	3,08		-						-					
	I		0	1.655	0,80425	0,80425	3,04		-8.655	68.366	1,60850	1,60850	3,11		12.840	91.335	1,60850	1,60850	3,14	
P	S	00125	1.944	132.826	0,40212	0,40212	5,57	00126	-14.138	75.927	0,40212	0,40212	6,15	00127	-17.051	58.465	0,40212	0,40212	6,35	



Platee - Verifiche pressoflessione retta allo SLU

Dir	Pos	Nodo	N _{Ed} [N]	M _{Ed} [N-m]	A _S [cm ² /cm]	A _{dif} [cm ² /cm]	CS	Nodo	N _{Ed} [N]	M _{Ed} [N-m]	A _S [cm ² /cm]	A _{dif} [cm ² /cm]	CS	Nodo	N _{Ed} [N]	M _{Ed} [N-m]	A _S [cm ² /cm]	A _{dif} [cm ² /cm]	CS
	I		6.953	229.1 34	0,804 25	0,804 25	2,82		- 25.73 8	141.2 44	0,804 25	0,804 25	2,91		- 43.05 5	32.19 2	0,804 25	0,804 25	3,02
P	S	00182	0	0	0,402 12	0,402 12	-	00183	0	0	0,402 12	0,402 12	-	00184	0	0	0,402 12	0,402 12	-
	I		-447	114.7 17	0,536 17	0,536 17	9,17		-6.699	188.4 98	0,536 17	0,536 17	11,3 8		-2.528	223.7 98	0,536 17	0,536 17	12,83
S	S		- 35.18 3	58.63 5	1,608 50	1,608 50	3,11		- 23.75 4	150.2 89	1,608 50	1,608 50	3,21		-5.584	238.4 50	1,608 50	1,608 50	3,31
	I		0	3.092	0,804 25	0,804 25	3,04		0	2.326	0,804 25	0,804 25	3,04		0	0	0,804 25	0,804 25	-
P	S	00185	0	0	0,402 12	0,402 12	-	00186	0	0	0,402 12	0,402 12	-	00187	0	0	0,402 12	0,402 12	-
	I		- 12.48 4	217.7 22	0,536 17	0,536 17	12,5 9		- 28.16 7	202.8 19	0,536 17	0,536 17	12,0 0		- 34.22 8	139.7 37	0,536 17	0,536 17	9,91
S	S		- 44.46 3	270.8 25	1,608 50	1,608 50	3,36		- 31.10 7	278.2 15	1,608 50	1,608 50	3,37		- 16.55 0	264.1 25	1,608 50	1,608 50	3,35
	I		0	1.592	0,804 25	0,804 25	3,04		0	2.118	0,804 25	0,804 25	3,04		0	1.864	0,804 25	0,804 25	3,04
P	S	00188	0	0	0,402 12	0,402 12	-	00189	- 31.34 4	6.724	0,402 12	0,402 12	7,03	00190	- 60.11 4	85.25 1	0,402 12	0,402 12	6,13
	I		- 30.28 4	72.65 1	0,536 17	0,536 17	8,33		0	1.109	0,536 17	0,536 17	7,08		0	3.159	0,536 17	0,536 17	7,11
S	S		8.177	223.1 95	1,608 50	1,608 50	3,29		- 13.73 5	165.4 50	1,608 50	1,608 50	3,23		-3.062	92.14 9	1,608 50	1,608 50	3,14
	I		0	335	0,804 25	0,804 25	3,04		0	1.179	0,804 25	0,804 25	3,04		0	1.497	0,804 25	0,804 25	3,04
P	S	00191	- 63.52 1	173.6 01	0,402 12	0,402 12	5,33	00192	- 46.41 3	238.9 43	0,402 12	0,402 12	4,83	00193	- 28.50 7	277.5 37	0,402 12	0,402 12	4,57
	I		0	2.734	0,536 17	0,536 17	7,10		0	671	0,536 17	0,536 17	7,07		0	698	0,536 17	0,536 17	7,07
S	S		2.635	32.30 7	1,608 50	1,608 50	3,07		0	0	1,608 50	1,608 50	-		0	0	1,608 50	1,608 50	-
	I		0	805	0,804 25	0,804 25	3,04		-6.231	6.927	0,804 25	0,804 25	3,03		923	31.67 7	0,804 25	0,804 25	3,01
P	S	00194	- 47.58 0	257.1 11	0,402 12	0,402 12	4,72	00195	- 49.13 5	239.8 13	0,402 12	0,402 12	4,83	00196	- 25.13 0	169.7 04	0,402 12	0,402 12	5,30
	I		0	2.866	0,536 17	0,536 17	7,10		0	2.906	0,536 17	0,536 17	7,10		0	1.193	0,536 17	0,536 17	7,08
S	S		0	0	1,608 50	1,608 50	-		-2.740	3.396	1,608 50	1,608 50	3,04		- 13.14 0	61.77 1	1,608 50	1,608 50	3,11
	I		2.900	24.82 8	0,804 25	0,804 25	3,01		0	1.595	0,804 25	0,804 25	3,04		0	1.396	0,804 25	0,804 25	3,04
P	S	00197	-8.517	107.5 85	0,402 12	0,402 12	5,82	00198	- 15.28 3	27.88 3	0,402 12	0,402 12	6,71	00199	0	0	0,402 12	0,402 12	-
	I		0	680	0,536 17	0,536 17	7,07		0	1.955	0,536 17	0,536 17	7,09		- 13.95 7	56.91 1	0,536 17	0,536 17	8,00
S	S		6.382	130.0 38	1,608 50	1,608 50	3,18		-4.503	184.6 58	1,608 50	1,608 50	3,24		- 13.15 6	238.3 93	1,608 50	1,608 50	3,31
	I		0	453	0,804 25	0,804 25	3,04		0	1.857	0,804 25	0,804 25	3,04		0	2.418	0,804 25	0,804 25	3,04
P	S	00200	0	0	0,402 12	0,402 12	-	00201	0	0	0,402 12	0,402 12	-	00202	0	0	0,402 12	0,402 12	-
	I		-287	114.1 32	0,536 17	0,536 17	9,16		1.670	137.8 86	0,536 17	0,536 17	9,76		-67	145.9 52	0,536 17	0,536 17	9,99
S	S		- 19.95 1	285.4 12	1,608 50	1,608 50	3,37		-1.932	293.0 16	1,608 50	1,608 50	3,38		13.97 9	267.3 10	1,608 50	1,608 50	3,34
	I		0	1.308	0,804 25	0,804 25	3,04		0	0	0,804 25	0,804 25	-		0	2.349	0,804 25	0,804 25	3,04
P	S	00203	0	0	0,402 12	0,402 12	-	00204	0	0	0,402 12	0,402 12	-	00205	0	0	0,402 12	0,402 12	-
	I		-1.050	114.7	0,536	0,536	9,18		2.089	71.33	0,536	0,536	8,24		10.20	13.46	0,536	0,536	7,24



REGIONE BASILICATA - PROVINCIA DI MATERA - COMUNE DI FERRANDINA
PROGETTO DEFINITIVO
Parco Eolico "Montagnola"
Relazione preliminare sulle strutture

Platee - Verifiche pressoflessione retta allo SLU

Dir	Pos	Nodo	N _{Ed} [N]	M _{Ed} [N-m]	A _S [cm ² /cm]	A _{df} [cm ² /cm]	CS	Nodo	N _{Ed} [N]	M _{Ed} [N-m]	A _S [cm ² /cm]	A _{df} [cm ² /cm]	CS	Nodo	N _{Ed} [N]	M _{Ed} [N-m]	A _S [cm ² /cm]	A _{df} [cm ² /cm]	CS	
	I		35.10	498.2	0,536	0,536	NS		37.34	563.0	0,536	0,536	53,5		43.20	590.3	0,536	0,536	37,66	
S	S		-	-	-	-			-	-	-	-			-	-	-	-		
	I		27.97	197.5	1,608	1,608	3,27		37.60	247.5	1,608	1,608	3,33		50.57	267.7	1,608	1,608	3,36	
	I		0	2.708	0,804	0,804	3,04		0	2.956	0,804	0,804	3,04		0	3.196	0,804	0,804	3,04	
P	S	00260	0	0	0,402	0,402	-	00261	0	0	0,402	0,402	-	00262	0	0	0,402	0,402	-	
	I		48.40	570.8	0,536	0,536	47,7		41.55	508.1	0,536	0,536	NS		35.35	410.8	0,536	0,536	39,91	
S	S		-	-	-	-			-	-	-	-			-	-	-	-		
	I		55.46	252.9	1,608	1,608	3,35		43.45	205.1	1,608	1,608	3,28		30.22	131.3	1,608	1,608	3,19	
	I		0	3.322	0,804	0,804	3,04		0	3.180	0,804	0,804	3,04		0	2.964	0,804	0,804	3,04	
P	S	00263	0	0	0,402	0,402	-	00264	0	0	0,402	0,402	-	00265	0	0	0,402	0,402	-	
	I		29.47	297.0	0,536	0,536	17,3		22.87	185.0	0,536	0,536	11,1		14.34	87.96	0,536	0,536	8,54	
S	S		-	-	-	-			-	-	-	-			-	-	-	-		
	I		20.29	43.63	1,608	1,608	3,09		0	0	1,608	1,608	-		0	0	1,608	1,608	-	
	I		0	2.717	0,804	0,804	3,04		-	13.89	45.17	0,804	0,804	3,00		12.83	124.6	0,804	0,804	2,92
P	S	00266	0	0	0,402	0,402	-	00267	50.73	34.39	0,402	0,402	6,51	00268	37.02	59.82	0,402	0,402	6,24	
	I		14.07	887	0,536	0,536	7,05		0	465	0,536	0,536	7,07		0	1.901	0,536	0,536	7,09	
S	S		0	0	1,608	1,608	-		0	0	1,608	1,608	-		0	0	1,608	1,608	-	
	I		-	-	-	-			-	-	-	-			-	-	-	-		
	I		33.98	185.9	0,804	0,804	2,87		57.65	234.6	0,804	0,804	2,83		-1.582	273.4	0,804	0,804	2,78	
P	S	00269	36.21	79.02	0,402	0,402	6,03	00270	0	0	0,402	0,402	-	00271	0	0	0,402	0,402	-	
	I		0	1.794	0,536	0,536	7,09		15.40	41.16	0,536	0,536	7,66		16.20	61.93	0,536	0,536	8,03	
S	S		0	0	1,608	1,608	-		0	0	1,608	1,608	-		0	0	1,608	1,608	-	
	I		21.94	283.6	0,804	0,804	2,77		4.843	254.8	0,804	0,804	2,80		10.49	213.5	0,804	0,804	2,84	
P	S	00272	0	0	0,402	0,402	-	00273	0	0	0,402	0,402	-	00274	0	0	0,402	0,402	-	
	I		23.25	106.8	0,536	0,536	8,93		40.00	173.2	0,536	0,536	10,7		30.35	275.6	0,536	0,536	15,68	
S	S		0	0	1,608	1,608	-		0	0	1,608	1,608	-		0	0	1,608	1,608	-	
	I		-	-	-	-			-	-	-	-			-	-	-	-		
	I		36.76	156.7	0,804	0,804	2,90		53.85	86.27	0,804	0,804	2,97		33.83	3.596	0,804	0,804	3,05	
P	S	00275	0	0	0,402	0,402	-	00276	0	0	0,402	0,402	-	00277	0	0	0,402	0,402	-	
	I		31.55	398.9	0,536	0,536	35,1		33.36	527.7	0,536	0,536	NS		36.17	641.5	0,536	0,536	24,28	
S	S		-	-	-	-			-	-	-	-			-	-	-	-		
	I		29.33	83.75	1,608	1,608	3,14		32.51	168.7	1,608	1,608	3,24		39.44	239.4	1,608	1,608	3,32	
	I		0	2.581	0,804	0,804	3,04		0	2.838	0,804	0,804	3,04		0	3.086	0,804	0,804	3,04	
P	S	00278	0	0	0,402	0,402	-	00279	0	0	0,402	0,402	-	00280	0	0	0,402	0,402	-	
	I		40.19	715.1	0,536	0,536	16,0		43.62	727.3	0,536	0,536	15,1		41.62	670.2	0,536	0,536	20,20	
S	S		-	-	-	-			-	-	-	-			-	-	-	-		
	I		48.00	281.5	1,608	1,608	3,38		53.43	283.6	1,608	1,608	3,38		50.57	242.5	1,608	1,608	3,33	
	I		0	3.305	0,804	0,804	3,04		0	3.452	0,804	0,804	3,04		0	3.439	0,804	0,804	3,04	
P	S	00281	0	0	0,402	0,402	-	00282	0	0	0,402	0,402	-	00283	0	0	0,402	0,402	-	
	I		35.69	554.8	0,536	0,536	61,3		29.31	405.0	0,536	0,536	37,5		23.29	249.7	0,536	0,536	14,07	



REGIONE BASILICATA - PROVINCIA DI MATERA - COMUNE DI FERRANDINA
PROGETTO DEFINITIVO
Parco Eolico "Montagnola"
Relazione preliminare sulle strutture

Platee - Verifiche pressoflessione retta allo SLU

Dir	Pos	Nodo	N _{Ed} [N]	M _{Ed} [N-m]	A _S [cm ² /cm]	A _{dF} [cm ² /cm]	CS	Nodo	N _{Ed} [N]	M _{Ed} [N-m]	A _S [cm ² /cm]	A _{dF} [cm ² /cm]	CS	Nodo	N _{Ed} [N]	M _{Ed} [N-m]	A _S [cm ² /cm]	A _{dF} [cm ² /cm]	CS
	I		29.50 7	263.9 39	0,804 25	0,804 25	2,80		- 31.42 1	321.4 12	0,804 25	0,804 25	2,75		- 22.67 3	352.8 73	0,804 25	0,804 25	2,72
P	S	00308	21.73 7	188.1 90	0,402 12	0,402 12	5,09	00309	20.28 1	186.9 57	0,402 12	0,402 12	5,10	00310	20.74 5	176.3 32	0,402 12	0,402 12	5,18
	I		0	2.733	0,536 17	0,536 17	7,10		0	3.026	0,536 17	0,536 17	7,10		0	2.547	0,536 17	0,536 17	7,10
S	S		0	0	1,608 50	1,608 50	-		0	0	1,608 50	1,608 50	-		0	0	1,608 50	1,608 50	-
	I		-3.923	364.2 87	0,804 25	0,804 25	2,71		14.08 8	363.0 36	0,804 25	0,804 25	2,70		28.26 6	351.2 85	0,804 25	0,804 25	2,71
P	S	00311	15.84 6	76.77 9	0,402 12	0,402 12	6,09	00312	21.48 0	79.58 3	0,402 12	0,402 12	6,05	00313	24.85 0	59.12 7	0,402 12	0,402 12	6,27
	I		0	2.734	0,536 17	0,536 17	7,10		0	3.106	0,536 17	0,536 17	7,10		0	3.081	0,536 17	0,536 17	7,10
S	S		0	0	1,608 50	1,608 50	-		0	0	1,608 50	1,608 50	-		0	0	1,608 50	1,608 50	-
	I		14.33 6	336.4 89	0,804 25	0,804 25	2,72		-5.326	332.7 58	0,804 25	0,804 25	2,73		- 18.73 0	319.0 08	0,804 25	0,804 25	2,75
P	S	00314	0	0	0,402 12	0,402 12	-	00315	0	0	0,402 12	0,402 12	-	00316	0	0	0,402 12	0,402 12	-
	I		0	2.821	0,536 17	0,536 17	7,10		31.77 7	110.5 19	0,536 17	0,536 17	8,99		31.17 6	277.8 08	0,536 17	0,536 17	15,83
S	S		0	0	1,608 50	1,608 50	-		0	0	1,608 50	1,608 50	-		0	0	1,608 50	1,608 50	-
	I		-30.37 0	291.5 03	0,804 25	0,804 25	2,78		- 36.94 4	247.2 71	0,804 25	0,804 25	2,82		- 38.80 1	183.0 51	0,804 25	0,804 25	2,87
P	S	00317	0	0	0,402 12	0,402 12	-	00318	0	0	0,402 12	0,402 12	-	00319	0	0	0,402 12	0,402 12	-
	I		31.26 3	496.2 51	0,536 17	0,536 17	NS		33.21 0	743.8 19	0,536 17	0,536 17	14,1 8		36.12 2	979.8 80	0,536 17	0,536 17	7,23
S	S		0	0	1,608 50	1,608 50	-		0	0	1,608 50	1,608 50	-		- 51.69 5	82.56 7	1,608 50	1,608 50	3,15
	I		-40.71 6	99.81 5	0,804 25	0,804 25	2,95		- 45.28 7	5.574	0,804 25	0,804 25	3,05		0	3.236	0,804 25	0,804 25	3,04
P	S	00320	0	0	0,402 12	0,402 12	-	00321	0	0	0,402 12	0,402 12	-	00322	0	0	0,402 12	0,402 12	-
	I		38.64 6	1.147. 643	0,536 17	0,536 17	5,36		39.19 7	1.189. 797	0,536 17	0,536 17	5,03		36.75 3	1.079. 055	0,536 17	0,536 17	5,99
S	S		-57.61 5	139.5 36	1,608 50	1,608 50	3,21		- 60.58 3	140.3 59	1,608 50	1,608 50	3,21		- 59.12 5	74.75 8	1,608 50	1,608 50	3,14
	I		0	3.301	0,804 25	0,804 25	3,04		0	3.348	0,804 25	0,804 25	3,04		0	3.346	0,804 25	0,804 25	3,04
P	S	00323	0	0	0,402 12	0,402 12	-	00324	0	0	0,402 12	0,402 12	-	00325	0	0	0,402 12	0,402 12	-
	I		31.64 8	843.7 23	0,536 17	0,536 17	10,0 9		25.38 2	550.9 83	0,536 17	0,536 17	66,0 2		19.86 2	266.7 81	0,536 17	0,536 17	15,12
S	S		0	0	1,608 50	1,608 50	-		0	0	1,608 50	1,608 50	-		0	0	1,608 50	1,608 50	-
	I		-53.49 4	41.88 8	0,804 25	0,804 25	3,02		- 45.49 3	176.6 16	0,804 25	0,804 25	2,88		- 37.63 0	297.7 97	0,804 25	0,804 25	2,77
P	S	00326	0	0	0,402 12	0,402 12	-	00327	17.07 2	130.2 94	0,402 12	0,402 12	5,57	00328	17.37 1	226.1 07	0,402 12	0,402 12	4,83
	I		16.86 5	33.87 5	0,536 17	0,536 17	7,54		0	2.710	0,536 17	0,536 17	7,10		0	2.640	0,536 17	0,536 17	7,10
S	S		0	0	1,608 50	1,608 50	-		0	0	1,608 50	1,608 50	-		0	0	1,608 50	1,608 50	-
	I		-32.01 6	386.4 78	0,804 25	0,804 25	2,70		- 28.00 2	437.5 34	0,804 25	0,804 25	2,65		- 21.17 9	455.1 35	0,804 25	0,804 25	2,64
P	S	00329	14.80 0	264.9 11	0,402 12	0,402 12	4,59	00330	11.53 9	264.8 72	0,402 12	0,402 12	4,59	00331	9.792	240.0 27	0,402 12	0,402 12	4,75
	I		0	2.861	0,536 17	0,536 17	7,10		0	3.080	0,536 17	0,536 17	7,10		0	3.048	0,536 17	0,536 17	7,10
S	S		0	0	1,608 50	1,608 50	-		0	0	1,608 50	1,608 50	-		0	0	1,608 50	1,608 50	-
	I		-9.037	447.9 94	0,804 25	0,804 25	2,64		5.598	426.1 47	0,804 25	0,804 25	2,65		19.69 6	395.8 31	0,804 25	0,804 25	2,67
P	S	00332	9.305	207.0 24	0,402 12	0,402 12	4,97	00333	13.78 9	167.2 49	0,402 12	0,402 12	5,27	00334	-5.102	84.14 0	0,402 12	0,402 12	6,05



Platee - Verifiche pressoflessione retta allo SLU

Dir	Pos	Nodo	N _{Ed} [N]	M _{Ed} [N-m]	A _S [cm ² /cm]	A _{dF} [cm ² /cm]	CS	Nodo	N _{Ed} [N]	M _{Ed} [N-m]	A _S [cm ² /cm]	A _{dF} [cm ² /cm]	CS	Nodo	N _{Ed} [N]	M _{Ed} [N-m]	A _S [cm ² /cm]	A _{dF} [cm ² /cm]	CS
	I		0	60 944	12 0,536	12 0,536	7,07		0	98 956	12 0,536	12 0,536	7,07		0	57 1.459	12 0,536	12 0,536	7,08
S	S		0	0	1,608 50	1,608 50	-	0	0	1,608 50	1,608 50	-	0	0	1,608 50	1,608 50	-	-	-
	I		11,07 1	345,2 28	0,804 25	0,804 25	2,72		44,10 4	386,9 91	0,804 25	0,804 25	2,70		44,28 3	443,8 23	0,804 25	0,804 25	2,65
P	S	00386	17,00 8	288,9 33	0,402 12	0,402 12	4,45	00387	19,63 3	311,0 42	0,402 12	0,402 12	4,32	00388	22,11 0	283,9 23	0,402 12	0,402 12	4,47
	I		0	2,717	0,536 17	0,536 17	7,10		0	3,204	0,536 17	0,536 17	7,11		0	3,272	0,536 17	0,536 17	7,11
S	S		0	0	1,608 50	1,608 50	-	0	0	1,608 50	1,608 50	-	0	0	1,608 50	1,608 50	-	-	-
	I		18,43 4	516,2 84	0,804 25	0,804 25	2,59		19,24 3	611,1 66	0,804 25	0,804 25	2,52		23,73 7	726,6 30	0,804 25	0,804 25	2,44
P	S	00389	24,37 3	178,2 61	0,402 12	0,402 12	5,16	00390	0	0	0,402 12	0,402 12	-	00391	0	0	0,402 12	0,402 12	-
	I		0	3,146	0,536 17	0,536 17	7,11		26,52 2	39,37 2	0,536 17	0,536 17	7,61		29,00 5	400,3 60	0,536 17	0,536 17	35,70
S	S		0	0	1,608 50	1,608 50	-	0	0	1,608 50	1,608 50	-	0	0	1,608 50	1,608 50	-	-	-
	I		29,41 6	857,1 58	0,804 25	0,804 25	2,36		36,01 5	988,0 60	0,804 25	0,804 25	2,29		44,08 5	1,094, 419	0,804 25	0,804 25	2,23
P	S	00392	0	0	0,402 12	0,402 12	-	00393	0	0	0,402 12	0,402 12	-	00394	0	0	0,402 12	0,402 12	-
	I		32,33 9	918,8 45	0,536 17	0,536 17	8,28		36,45 7	1,564, 056	0,536 17	0,536 17	3,27		40,14 6	2,221, 784	0,536 17	0,536 17	2,02
S	S		0	0	1,608 50	1,608 50	-	0	0	1,608 50	1,608 50	-	0	0	1,608 50	1,608 50	-	-	-
	I		54,26 0	1,146, 484	0,804 25	0,804 25	2,20		66,31 1	1,125, 468	0,804 25	0,804 25	2,22		78,54 1	1,048, 657	0,804 25	0,804 25	2,26
P	S	00395	0	0	0,402 12	0,402 12	-	00396	0	0	0,402 12	0,402 12	-	00397	0	0	0,402 12	0,402 12	-
	I		41,44 2	2,667, 977	0,536 17	0,536 17	1,60		38,20 8	2,618, 724	0,536 17	0,536 17	1,64		29,32 3	2,011, 725	0,536 17	0,536 17	2,30
S	S		0	0	1,608 50	1,608 50	-	0	0	1,608 50	1,608 50	-	0	0	1,608 50	1,608 50	-	-	-
	I		87,97 4	987,5 09	0,804 25	0,804 25	2,30		90,90 6	1,043, 666	0,804 25	0,804 25	2,27		84,62 4	1,233, 870	0,804 25	0,804 25	2,16
P	S	00398	0	0	0,402 12	0,402 12	-	00399	0	0	0,402 12	0,402 12	-	00400	-3,298	117,2 97	0,402 12	0,402 12	5,72
	I		16,70 2	1,176, 188	0,536 17	0,536 17	5,16		4,799	422,5 95	0,536 17	0,536 17	46,5 4		0	2,663	0,536 17	0,536 17	7,10
S	S		0	0	1,608 50	1,608 50	-	0	0	1,608 50	1,608 50	-	0	0	1,608 50	1,608 50	-	-	-
	I		70,04 8	1,427, 656	0,804 25	0,804 25	2,06		52,02 7	1,511, 918	0,804 25	0,804 25	2,02		35,54 0	1,461, 107	0,804 25	0,804 25	2,04
P	S	00401	-7,688	433,6 22	0,402 12	0,402 12	3,78	00402	-9,903	572,1 46	0,402 12	0,402 12	3,29	00403	11,44 2	591,3 92	0,402 12	0,402 12	3,24
	I		0	2,831	0,536 17	0,536 17	7,10		0	3,011	0,536 17	0,536 17	7,10		0	3,185	0,536 17	0,536 17	7,11
S	S		0	0	1,608 50	1,608 50	-	0	0	1,608 50	1,608 50	-	0	0	1,608 50	1,608 50	-	-	-
	I		22,33 7	1,309, 640	0,804 25	0,804 25	2,11		11,77 0	1,110, 339	0,804 25	0,804 25	2,21		-2,817	907,1 86	0,804 25	0,804 25	2,32
P	S	00404	-13,25 3	542,2 10	0,402 12	0,402 12	3,39	00405	-15,79 8	461,6 66	0,402 12	0,402 12	3,68	00406	19,01 7	373,9 66	0,402 12	0,402 12	4,05
	I		0	3,282	0,536 17	0,536 17	7,11		0	3,155	0,536 17	0,536 17	7,11		0	2,550	0,536 17	0,536 17	7,10
S	S		0	0	1,608 50	1,608 50	-	0	0	1,608 50	1,608 50	-	0	0	1,608 50	1,608 50	-	-	-
	I		4,893	726,1 98	0,804 25	0,804 25	2,44		10,65 7	577,5 33	0,804 25	0,804 25	2,54		10,94 9	461,7 64	0,804 25	0,804 25	2,62
P	S	00407	-10,08 0	296,1 45	0,402 12	0,402 12	4,44	00408	11,97 5	208,8 49	0,402 12	0,402 12	4,96	00409	124	106,7 56	0,402 12	0,402 12	5,81
	I		0	975	0,536	0,536	7,07		0	1,243	0,536	0,536	7,08		0	1,194	0,536	0,536	7,08



Platee - Verifiche pressoflessione retta allo SLU

Dir	Pos	Nodo	N _{Ed} [N]	M _{Ed} [N-m]	A _S [cm ² /cm]	A _d [cm ² /cm]	CS	Nodo	N _{Ed} [N]	M _{Ed} [N-m]	A _S [cm ² /cm]	A _d [cm ² /cm]	CS	Nodo	N _{Ed} [N]	M _{Ed} [N-m]	A _S [cm ² /cm]	A _d [cm ² /cm]	CS
S	S		0	0	1,608 50	1,608 50	-		0	0	1,608 50	1,608 50	-		0	0	1,608 50	1,608 50	-
	I		-14.75 8	375.0 97	0,804 25	0,804 25	2,70		-7.199	308.1 83	0,804 25	0,804 25	2,75		-12.31 8	335.8 04	0,804 25	0,804 25	2,73
P	S	00410	4.642	167.0 83	0,402 12	0,402 12	5,28	00411	18.46 2	243.4 65	0,402 12	0,402 12	4,72	00412	14.75 2	316.1 05	0,402 12	0,402 12	4,30
	I		0	1.761	0,536 17	0,536 17	7,09		0	1.720	0,536 17	0,536 17	7,08		0	2.393	0,536 17	0,536 17	7,09
S	S		0	0	1,608 50	1,608 50	-		0	0	1,608 50	1,608 50	-		0	0	1,608 50	1,608 50	-
	I		-22.23 1	369.8 36	0,804 25	0,804 25	2,71		-34.03 3	436.3 01	0,804 25	0,804 25	2,66		-24.33 6	523.0 85	0,804 25	0,804 25	2,59
P	S	00413	16.18 9	368.8 88	0,402 12	0,402 12	4,04	00414	19.08 0	385.3 90	0,402 12	0,402 12	3,96	00415	21.74 1	337.3 24	0,402 12	0,402 12	4,18
	I		0	2.976	0,536 17	0,536 17	7,10		0	3.216	0,536 17	0,536 17	7,11		0	3.194	0,536 17	0,536 17	7,11
S	S		0	0	1,608 50	1,608 50	-		0	0	1,608 50	1,608 50	-		0	0	1,608 50	1,608 50	-
	I		-19.33 6	641.5 37	0,804 25	0,804 25	2,50		-21.22 4	800.6 72	0,804 25	0,804 25	2,40		-25.56 9	1.004. 390	0,804 25	0,804 25	2,27
P	S	00416	24.22 1	185.6 41	0,402 12	0,402 12	5,11	00417	0	0	0,402 12	0,402 12	-	00418	0	0	0,402 12	0,402 12	-
	I		0	3.037	0,536 17	0,536 17	7,10		26.93 7	119.3 43	0,536 17	0,536 17	9,22		30.52 0	630.2 06	0,536 17	0,536 17	26,40
S	S		0	0	1,608 50	1,608 50	-		0	0	1,608 50	1,608 50	-		0	0	1,608 50	1,608 50	-
	I		-31.48 0	1.248. 238	0,804 25	0,804 25	2,14		-39.35 0	1.511. 739	0,804 25	0,804 25	2,02		-50.11 5	1.752. 154	0,804 25	0,804 25	1,92
P	S	00419	0	0	0,402 12	0,402 12	-	00420	0	0	0,402 12	0,402 12	-	00421	0	0	0,402 12	0,402 12	-
	I		35.47 8	1.376. 828	4,557 41	4,557 41	1,38		41.22 9	2.311. 278	4,557 41	4,557 41	1,50		45.04 8	3.219. 940	4,557 41	4,557 41	1,64
S	S		0	0	1,608 50	1,608 50	-		0	0	1,608 50	1,608 50	-		0	0	1,608 50	1,608 50	-
	I		-64.46 4	1.910. 248	8,846 73	8,846 73	1,90		-81.33 4	1.940. 788	8,846 73	8,846 73	1,90		-97.32 6	1.869. 143	8,846 73	8,846 73	1,89
P	S	00422	0	0	0,402 12	0,402 12	-	00423	0	0	0,402 12	0,402 12	-	00424	0	0	0,402 12	0,402 12	-
	I		43.82 9	3.652. 062	4,557 41	4,557 41	1,71		34.34 8	3.107. 149	4,557 41	4,557 41	1,62		16.69 1	1.899. 864	4,557 41	4,557 41	1,44
S	S		0	0	1,608 50	1,608 50	-		0	0	1,608 50	1,608 50	-		0	0	1,608 50	1,608 50	-
	I		-107.5 25	1.834. 765	8,846 73	8,846 73	1,89		-105.5 46	2.006. 885	8,846 73	8,846 73	1,91		-88.43 2	2.261. 892	8,846 73	8,846 73	1,94
P	S	00425	0	0	0,402 12	0,402 12	-	00426	-12.76 3	70.94 6	0,402 12	0,402 12	6,20	00427	-17.81 2	530.2 10	0,402 12	0,402 12	3,44
	I		-1.393	745.9 12	4,557 41	4,557 41	1,31		0	2.486	0,536 17	0,536 17	7,10		0	2.678	0,536 17	0,536 17	7,10
S	S		0	0	1,608 50	1,608 50	-		0	0	1,608 50	1,608 50	-		0	0	1,608 50	1,608 50	-
	I		-63.07 1	2.346. 688	8,846 73	8,846 73	1,95		-40.06 3	2.201. 772	0,804 25	0,804 25	1,75		-23.29 3	1.897. 281	0,804 25	0,804 25	1,85
P	S	00428	-19.18 5	718.8 38	0,402 12	0,402 12	2,90	00429	-18.97 2	738.3 07	0,402 12	0,402 12	2,86	00430	18.31 9	668.6 27	0,402 12	0,402 12	3,03
	I		0	2.884	0,536 17	0,536 17	7,10		0	3.080	0,536 17	0,536 17	7,10		0	3.216	0,536 17	0,536 17	7,11
S	S		0	0	1,608 50	1,608 50	-		0	0	1,608 50	1,608 50	-		0	0	1,608 50	1,608 50	-
	I		-11.49 8	1.535. 764	0,804 25	0,804 25	2,00		-2.854	1.193. 978	0,804 25	0,804 25	2,16		3.676	909.0 13	0,804 25	0,804 25	2,32
P	S	00431	-17.47 3	562.2 90	0,402 12	0,402 12	3,33	00432	-15.40 9	449.6 97	0,402 12	0,402 12	3,73	00433	-7.786	346.8 36	0,402 12	0,402 12	4,17
	I		0	3.194	0,536 17	0,536 17	7,11		0	2.883	0,536 17	0,536 17	7,10		0	2.211	0,536 17	0,536 17	7,09



Platee - Verifiche pressoflessione retta allo SLU

Dir	Pos	Nodo	N _{Ed} [N]	M _{Ed} [N-m]	A _s [cm ² /cm]	A _{df} [cm ² /cm]	CS	Nodo	N _{Ed} [N]	M _{Ed} [N-m]	A _s [cm ² /cm]	A _{df} [cm ² /cm]	CS	Nodo	N _{Ed} [N]	M _{Ed} [N-m]	A _s [cm ² /cm]	A _{df} [cm ² /cm]	CS
S	S		0	0	1,608	1,608	-		0	0	1,608	1,608	-		0	0	1,608	1,608	-
	I		8.036	688.3 23	0,804	0,804	2,46		8.402	524.5 42	0,804	0,804	2,58		361	405.8 66	0,804	0,804	2,67
P	S	00434	5.623	260.5 41	0,402	0,402	4,63	00435	2.663	189.3 13	0,402	0,402	5,11	00436	3.304	143.9 63	0,402	0,402	5,47
	I		0	1.550	0,536	0,536	7,08		0	1.895	0,536	0,536	7,09		0	1.938	0,536	0,536	7,09
S	S		0	0	1,608	1,608	-		0	0	1,608	1,608	-		0	0	1,608	1,608	-
	I		-2.551	321.4 06	0,804	0,804	2,74		15.18 2	253.7 93	0,804	0,804	2,79		- 12.26 8	340.5 14	0,804	0,804	2,73
P	S	00437	11.99 2	224.1 93	0,402	0,402	4,85	00438	16.05 0	307.3 06	0,402	0,402	4,35	00439	16.42 0	382.0 71	0,402	0,402	3,98
	I		0	2.122	0,536	0,536	7,09		0	2.402	0,536	0,536	7,09		0	2.851	0,536	0,536	7,10
S	S		0	0	1,608	1,608	-		0	0	1,608	1,608	-		0	0	1,608	1,608	-
	I		- 20.61 8	402.9 75	0,804	0,804	2,68		- 22.71 5	491.4 73	0,804	0,804	2,61		- 20.68 0	616.7 07	0,804	0,804	2,52
P	S	00440	18.00 2	434.4 21	0,402	0,402	3,75	00441	20.29 9	442.2 41	0,402	0,402	3,72	00442	22.75 4	371.3 67	0,402	0,402	4,02
	I		0	3.130	0,536	0,536	7,10		0	3.191	0,536	0,536	7,11		0	3.086	0,536	0,536	7,10
S	S		0	0	1,608	1,608	-		0	0	1,608	1,608	-		0	0	1,608	1,608	-
	I		- 20.28 1	793.5 89	0,804	0,804	2,40		- 22.72 5	1.037. 833	0,804	0,804	2,25		- 27.17 3	1.363. 745	0,804	0,804	2,08
P	S	00443	25.47 9	169.4 11	0,402	0,402	5,23	00444	0	0	0,402	0,402	-	00445	0	0	0,402	0,402	-
	I		0	2.890	0,536	0,536	7,10		28.99 6	239.9 35	0,536	0,536	13,5 1		34.17 1	951.7 54	0,536	0,536	7,68
S	S		0	0	1,608	1,608	-		0	0	1,608	1,608	-		0	0	1,608	1,608	-
	I		- 33.78 5	1.776. 415	0,804	0,804	1,90		- 43.61 2	2.254. 782	0,804	0,804	1,73		- 58.37 7	2.728. 922	0,804	0,804	1,59
P	S	00446	0	0	0,402	0,402	-	00447	0	0	0,402	0,402	-	00448	0	0	0,402	0,402	-
	I		41.81 9	2.038. 192	4,557	4,557	1,46		50.36 7	3.427. 554	4,557	4,557	1,67		52.71 7	4.698. 396	4,557	4,557	1,93
S	S		0	0	1,608	1,608	-		0	0	1,608	1,608	-		0	0	1,608	1,608	-
	I		- 79.41 4	3.077. 823	8,846	8,846	2,05		- 103.8 41	3.193. 172	8,846	8,846	2,07		- 124.5 92	3.111. 554	8,846	8,846	2,06
P	S	00449	0	0	0,402	0,402	-	00450	0	0	0,402	0,402	-	00451	0	0	0,402	0,402	-
	I		44.31 6	4.786. 811	4,557	4,557	1,95		19.51 6	3.113. 450	4,557	4,557	1,62		- 10.71 1	1.260. 405	4,557	4,557	1,37
S	S		0	0	1,608	1,608	-		0	0	1,608	1,608	-		0	0	1,608	1,608	-
	I		- 133.2 39	3.153. 204	8,846	8,846	2,07		- 116.1 86	3.505. 992	8,846	8,846	2,12		- 78.14 1	3.614. 076	8,846	8,846	2,13
P	S	00452	0	0	0,402	0,402	-	00453	0	0	0,402	0,402	-	00454	0	0	0,402	0,402	-
	I		26.83 0	13.36 9	0,402	0,402	1,23		31.45 7	674.4 47	0,402	0,402	3,02		30.70 3	911.1 67	0,402	0,402	2,52
S	S		0	0	1,608	1,608	-		0	0	1,608	1,608	-		0	0	1,608	1,608	-
	I		0	2.298	4,557	4,557	1,23		0	2.495	0,536	0,536	7,10		0	2.716	0,536	0,536	7,10
P	S	00455	0	0	0,402	0,402	-	00456	0	0	0,402	0,402	-	00457	0	0	0,402	0,402	-
	I		- 44.03 9	3.301. 856	8,846	8,846	2,08		- 22.64 3	2.720. 167	0,804	0,804	1,58		- -9.671	2.083. 275	0,804	0,804	1,78
S	S		0	0	1,608	1,608	-		0	0	1,608	1,608	-		0	0	1,608	1,608	-
	I		0	2.938	0,536	0,536	7,10		0	3.119	0,536	0,536	7,10		0	3.196	0,536	0,536	7,11
P	S	00455	0	0	1,608	1,608	-		0	0	1,608	1,608	-		0	0	1,608	1,608	-



REGIONE BASILICATA - PROVINCIA DI MATERA - COMUNE DI FERRANDINA
PROGETTO DEFINITIVO
Parco Eolico "Montagnola"
Relazione preliminare sulle strutture

Platee - Verifiche pressoflessione retta allo SLU

Dir	Pos	Nodo	N _{Ed} [N]	M _{Ed} [N·m]	A _s [cm ² /cm]	A _{df} [cm ² /cm]	CS	Nodo	N _{Ed} [N]	M _{Ed} [N·m]	A _s [cm ² /cm]	A _{df} [cm ² /cm]	CS	Nodo	N _{Ed} [N]	M _{Ed} [N·m]	A _s [cm ² /cm]	A _{df} [cm ² /cm]	CS
	I		-1.372	1.529.708	0,804 25	0,804 25	2,00		4.200	1.103.592	0,804 25	0,804 25	2,21		7.675	795.215	0,804 25	0,804 25	2,39
P	S	00458	-	518.700	0,402 12	0,402 12	3,47	00459	-	393.752	0,402 12	0,402 12	3,95	00460	-1.947	291.056	0,402 12	0,402 12	4,46
	I		0	3.092	0,536 17	0,536 17	7,10		0	2.764	0,536 17	0,536 17	7,10		0	2.295	0,536 17	0,536 17	7,09
S	S		0	0	1,608 50	1,608 50	-		0	0	1,608 50	1,608 50	-		0	0	1,608 50	1,608 50	-
	I		8.667	578.579	0,804 25	0,804 25	2,54		6.604	428.578	0,804 25	0,804 25	2,65		5.827	325.203	0,804 25	0,804 25	2,74
P	S	00461	1.698	209.674	0,402 12	0,402 12	4,97	00462	1.857	150.226	0,402 12	0,402 12	5,42	00463	910	117.748	0,402 12	0,402 12	5,71
	I		0	2.187	0,536 17	0,536 17	7,09		0	1.900	0,536 17	0,536 17	7,09		0	1.800	0,536 17	0,536 17	7,09
S	S		0	0	1,608 50	1,608 50	-		0	0	1,608 50	1,608 50	-		0	0	1,608 50	1,608 50	-
	I		14.045	252.604	0,804 25	0,804 25	2,79		29.953	201.702	0,804 25	0,804 25	2,83		-5.398	296.497	0,804 25	0,804 25	2,76
P	S	00464	7.864	185.965	0,402 12	0,402 12	5,13	00465	14.806	268.529	0,402 12	0,402 12	4,57	00466	17.805	351.558	0,402 12	0,402 12	4,12
	I		0	2.182	0,536 17	0,536 17	7,09		0	2.508	0,536 17	0,536 17	7,10		0	2.853	0,536 17	0,536 17	7,10
S	S		0	0	1,608 50	1,608 50	-		0	0	1,608 50	1,608 50	-		0	0	1,608 50	1,608 50	-
	I		-9.762	352.037	0,804 25	0,804 25	2,72		-	16.235	430.550	0,804 25	0,804 25		2,66	-	19.396	545.143	0,804 25
P	S	00467	18.912	423.684	0,402 12	0,402 12	3,80	00468	20.371	469.506	0,402 12	0,402 12	3,61	00469	22.431	465.354	0,402 12	0,402 12	3,63
	I		0	3.114	0,536 17	0,536 17	7,10		0	3.203	0,536 17	0,536 17	7,11		0	3.134	0,536 17	0,536 17	7,10
S	S		0	0	1,608 50	1,608 50	-		0	0	1,608 50	1,608 50	-		0	0	1,608 50	1,608 50	-
	I		-	19.981	712.281	0,804 25	0,804 25		2,45	-	21.014	953.398	0,804 25		0,804 25	2,30	-	23.709	1.296.453
P	S	00470	25.031	372.665	0,402 12	0,402 12	4,01	00471	28.438	124.379	0,402 12	0,402 12	5,61	00472	0	0	0,402 12	0,402 12	-
	I		0	2.956	0,536 17	0,536 17	7,10		0	2.724	0,536 17	0,536 17	7,10		33.413	397.212	0,536 17	0,536 17	34,54
S	S		0	0	1,608 50	1,608 50	-		0	0	1,608 50	1,608 50	-		0	0	1,608 50	1,608 50	-
	I		-	28.437	1.776.197	0,804 25	0,804 25		1,90	-	36.112	2.427.278	0,804 25		0,804 25	1,67	-	48.739	3.253.464
P	S	00473	0	0	0,402 12	0,402 12	-	00474	0	0	0,402 12	0,402 12	-	00475	0	0	0,402 12	0,402 12	-
	I		41.492	1.370.715	4,557 41	4,557 41	1,38		54.839	2.987.855	4,557 41	4,557 41	1,60		69.486	5.168.920	4,557 41	4,557 41	2,04
S	S		0	0	1,608 50	1,608 50	-		0	0	1,608 50	1,608 50	-		0	0	1,608 50	1,608 50	-
	I		-	69.904	4.161.329	8,846 73	8,846 73		2,22	-	103.498	4.893.694	8,846 73		8,846 73	2,35	-	140.750	5.155.564
P	S	00476	0	0	0,402 12	0,402 12	-	00477	0	0	0,402 12	0,402 12	-	00478	0	0	0,402 12	0,402 12	-
	I		63.766	6.947.301	4,557 41	4,557 41	2,64		30.312	5.406.776	4,557 41	4,557 41	2,11		-	27.705	2.084.870	4,557 41	4,557 41
S	S		0	0	1,608 50	1,608 50	-		0	0	1,608 50	1,608 50	-		0	0	1,608 50	1,608 50	-
	I		-	166.919	5.022.911	8,846 73	8,846 73		2,39	-	161.662	5.352.134	8,846 73		8,846 73	2,45	-	100.526	5.614.658
P	S	00479	0	0	0,402 12	0,402 12	-	00480	-	924.266	0,402 12	0,402 12	2,51	00481	45.526	1.176.894	0,402 12	0,402 12	2,13
	I		-	50.674	15.827	4,557 41	4,557 41		1,24	0	2.308	0,536 17	0,536 17		7,09	0	2.534	0,536 17	0,536 17
S	S		0	0	1,608 50	1,608 50	-		0	0	1,608 50	1,608 50	-		0	0	1,608 50	1,608 50	-
	I		-	44.702	4.975.746	8,846 73	8,846 73		2,36	-	18.211	3.836.779	0,804 25		0,804 25	1,32	-	5.227	2.712.745



Platee - Verifiche pressoflessione retta allo SLU

Dir	Pos	Nodo	N _{Ed} [N]	M _{Ed} [N-m]	A _s [cm ² /cm]	A _{dif} [cm ² /cm]	CS	Nodo	N _{Ed} [N]	M _{Ed} [N-m]	A _s [cm ² /cm]	A _{dif} [cm ² /cm]	CS	Nodo	N _{Ed} [N]	M _{Ed} [N-m]	A _s [cm ² /cm]	A _{dif} [cm ² /cm]	CS
P	S	00482	-	1.108.483	0,402 12	0,402 12	2,21	00483	-	932.9 20	0,402 12	0,402 12	2,48	00484	-	741.4 80	0,402 12	0,402 12	2,86
			38.73 8 0	2.775	0,536 17	0,536 17	7,10		32.46 7 0	2.998	0,536 17	0,536 17	7,10		26.83 1 0	3.158	0,536 17	0,536 17	7,11
S	S		0	0	1,608 50	1,608 50	-		0	0	1,608 50	1,608 50	-		0	0	1,608 50	1,608 50	-
			1.953	1.848. 737	0,804 25	0,804 25	1,87		6.304	1.253. 992	0,804 25	0,804 25	2,13		8.908	858.2 29	0,804 25	0,804 25	2,35
P	S	00485	-	567.5 76	0,402 12	0,402 12	3,32	00486	-	421.8 19	0,402 12	0,402 12	3,84	00487	-	305.7 58	0,402 12	0,402 12	4,38
			21.30 5 0	3.199	0,536 17	0,536 17	7,11		15.10 9 0	3.076	0,536 17	0,536 17	7,10		-8.315	2.793	0,536 17	0,536 17	7,10
S	S		0	0	1,608 50	1,608 50	-		0	0	1,608 50	1,608 50	-		0	0	1,608 50	1,608 50	-
			9.991	596.4 82	0,804 25	0,804 25	2,52		9.777	423.3 58	0,804 25	0,804 25	2,65		10.29 8	308.5 21	0,804 25	0,804 25	2,75
P	S	00488	-	217.2 22	0,402 12	0,402 12	4,92	00489	-	153.6 35	0,402 12	0,402 12	5,40	00490	-	112.0 12	0,402 12	0,402 12	5,77
			-3.534 0	2.476	0,536 17	0,536 17	7,10		-2.040 0	2.212	0,536 17	0,536 17	7,09		-907 0	1.559	0,536 17	0,536 17	7,08
S	S		0	0	1,608 50	1,608 50	-		0	0	1,608 50	1,608 50	-		0	0	1,608 50	1,608 50	-
			15.47 0	231.5 83	0,804 25	0,804 25	2,81		26.05 7	178.6 82	0,804 25	0,804 25	2,86		36.83 6	140.4 12	0,804 25	0,804 25	2,89
P	S	00491	265	77.22 4	0,402 12	0,402 12	6,11	00492	3.169	137.1 77	0,402 12	0,402 12	5,53	00493	14.16 8	209.5 22	0,402 12	0,402 12	4,95
			0	1.318	0,536 17	0,536 17	7,08		0	2.034	0,536 17	0,536 17	7,09		0	2.471	0,536 17	0,536 17	7,10
S	S		0	0	1,608 50	1,608 50	-		0	0	1,608 50	1,608 50	-		0	0	1,608 50	1,608 50	-
			-2.600	254.0 83	0,804 25	0,804 25	2,80		2.672	282.8 37	0,804 25	0,804 25	2,77		-8.244	352.7 90	0,804 25	0,804 25	2,72
P	S	00494	19.14 0	287.7 57	0,402 12	0,402 12	4,45	00495	20.49 1	362.2 43	0,402 12	0,402 12	4,06	00496	21.36 2	421.8 30	0,402 12	0,402 12	3,80
			0	2.885	0,536 17	0,536 17	7,10		0	3.161	0,536 17	0,536 17	7,11		0	3.262	0,536 17	0,536 17	7,11
S	S		0	0	1,608 50	1,608 50	-		0	0	1,608 50	1,608 50	-		0	0	1,608 50	1,608 50	-
			16.57 0	444.7 11	0,804 25	0,804 25	2,65		- 19.10 9	581.5 74	0,804 25	0,804 25	2,54		- 19.86 5	783.7 95	0,804 25	0,804 25	2,41
P	S	00497	22.91 1	451.2 80	0,402 12	0,402 12	3,68	00498	25.32 4	427.6 33	0,402 12	0,402 12	3,77	00499	28.73 2	312.3 36	0,402 12	0,402 12	4,31
			0	3.208	0,536 17	0,536 17	7,11		0	3.041	0,536 17	0,536 17	7,10		0	2.809	0,536 17	0,536 17	7,10
S	S		0	0	1,608 50	1,608 50	-		0	0	1,608 50	1,608 50	-		0	0	1,608 50	1,608 50	-
			- 21.12 6	1.080. 832	0,804 25	0,804 25	2,23		- 23.88 3	1.516. 074	0,804 25	0,804 25	2,01		- 28.92 5	2.155. 360	0,804 25	0,804 25	1,76
P	S	00500	33.68 3	32.35 2	0,402 12	0,402 12	6,57	00501	0	0	0,402 12	0,402 12	-	00502	0	0	0,402 12	0,402 12	-
			0	2.553	0,536 17	0,536 17	7,10		41.59 8	579.7 49	0,536 17	0,536 17	42,5 9		55.86 5	1.886. 228	4,557 41	4,557 41	1,44
S	S		0	0	1,608 50	1,608 50	-		0	0	1,608 50	1,608 50	-		0	0	1,608 50	1,608 50	-
			- 37.84 7	3.100. 135	0,804 25	0,804 25	1,49		- 54.25 1	4.466. 478	0,804 25	0,804 25	1,21		- 86.26 5	6.215. 688	8,846 73	8,846 73	2,62
P	S	00503	0	0	0,402 12	0,402 12	-	00504	0	0	0,402 12	0,402 12	-	00505	0	0	0,402 12	0,402 12	-
			84.10 6	4.350. 489	4,557 41	4,557 41	1,84		118.8 13	8.181. 954	4,557 41	4,557 41	3,31		65.95 1	10.18 3.240	4,557 41	4,557 41	5,71
S	S		0	0	1,608 50	1,608 50	-		0	0	1,608 50	1,608 50	-		0	0	1,608 50	1,608 50	-
			- 148.5 41	7.893. 022	8,846 73	8,846 73	3,10		- 211.6 36	8.503. 471	8,846 73	8,846 73	3,33		- 237.0 39	8.821. 215	8,846 73	8,846 73	3,47
P	S	00506	0	0	0,402 12	0,402 12	-	00507	-	53.75 3	0,402 12	0,402 12	1,24	00508	-	1.421. 566	0,402 12	0,402 12	1,12
			- 68.35 2	3.557. 284	4,557 41	4,557 41	1,71		97.70 5 0	1.967	4,557 41	4,557 41	1,23		81.38 3 0	2.135	4,557 41	4,557 41	1,23



REGIONE BASILICATA - PROVINCIA DI MATERA - COMUNE DI FERRANDINA
PROGETTO DEFINITIVO
Parco Eolico "Montagnola"
Relazione preliminare sulle strutture

Platee - Verifiche pressoflessione retta allo SLU

Dir	Pos	Nodo	NEd	MEd	As	A _{df}	CS	Nodo	NEd	MEd	As	A _{df}	CS	Nodo	NEd	MEd	As	A _{df}	CS
			[N]	[N·m]	[cm²/cm]	[cm²/cm]			[N]	[N·m]	[cm²/cm]	[cm²/cm]			[N]	[N·m]	[cm²/cm]	[cm²/cm]	
S	S		0	0	1,608 50	1,608 50	-		0	0	1,608 50	1,608 50	-		0	0	1,608 50	1,608 50	-
	I		- 138.4 53	9.132. 342	8,846 73	8,846 73	3,56		- 32.37 9	7.652. 522	8,846 73	8,846 73	2,99		-6.222	5.224. 089	8,846 73	8,846 73	2,40
P	S	00509	- 64.08 5	1.540. 013	0,402 12	0,402 12	1,76	00510	- 50.58 9	1.305. 333	0,402 12	0,402 12	1,98	00511	40.43 7	1.028. 825	0,402 12	0,402 12	2,33
	I		0	2.355	0,536 17	0,536 17	7,09		0	2.604	0,536 17	0,536 17	7,10		0	2.857	0,536 17	0,536 17	7,10
S	S		0	0	1,608 50	1,608 50	-		0	0	1,608 50	1,608 50	-		0	0	1,608 50	1,608 50	-
	I		2.809	3.220. 686	0,804 25	0,804 25	1,45		7.104	1.981. 566	0,804 25	0,804 25	1,82		9.546	1.252. 510	0,804 25	0,804 25	2,13
P	S	00512	- 32.58 9	781.6 08	0,402 12	0,402 12	2,77	00513	- 26.05 5	578.2 50	0,402 12	0,402 12	3,29	00514	- 20.02 1	417.6 23	0,402 12	0,402 12	3,86
	I		0	3.080	0,536 17	0,536 17	7,10		0	3.229	0,536 17	0,536 17	7,11		0	3.259	0,536 17	0,536 17	7,11
S	S		0	0	1,608 50	1,608 50	-		0	0	1,608 50	1,608 50	-		0	0	1,608 50	1,608 50	-
	I		11.02 3	810.9 17	0,804 25	0,804 25	2,38		11.77 5	537.1 89	0,804 25	0,804 25	2,57		12.01 7	365.0 16	0,804 25	0,804 25	2,70
P	S	00515	- 14.18 1	294.6 20	0,402 12	0,402 12	4,45	00516	- 9.243	203.5 47	0,402 12	0,402 12	5,02	00517	- 6.648	139.2 16	0,402 12	0,402 12	5,53
	I		0	3.132	0,536 17	0,536 17	7,10		0	2.837	0,536 17	0,536 17	7,10		0	2.434	0,536 17	0,536 17	7,09
S	S		0	0	1,608 50	1,608 50	-		0	0	1,608 50	1,608 50	-		0	0	1,608 50	1,608 50	-
	I		12.70 1	255.5 17	0,804 25	0,804 25	2,79		15.96 3	184.9 94	0,804 25	0,804 25	2,85		24.71 8	139.0 43	0,804 25	0,804 25	2,89
P	S	00518	- 7.061	98.91 3	0,402 12	0,402 12	5,90	00519	- 211	75.45 9	0,402 12	0,402 12	6,13	00520	- 4.348	79.37 6	0,402 12	0,402 12	6,10
	I		0	2.003	0,536 17	0,536 17	7,09		0	896	0,536 17	0,536 17	7,07		0	1.509	0,536 17	0,536 17	7,08
S	S		0	0	1,608 50	1,608 50	-		0	0	1,608 50	1,608 50	-		0	0	1,608 50	1,608 50	-
	I		38.44 7	103.3 75	0,804 25	0,804 25	2,92		41.87 1	92.30 1	0,804 25	0,804 25	2,93		19.68 4	221.7 47	0,804 25	0,804 25	2,82
P	S	00521	16.71 2	140.4 91	0,402 12	0,402 12	5,48	00522	22.08 6	205.4 39	0,402 12	0,402 12	4,97	00523	22.05 8	269.0 87	0,402 12	0,402 12	4,56
	I		0	2.128	0,536 17	0,536 17	7,09		0	2.821	0,536 17	0,536 17	7,10		0	3.221	0,536 17	0,536 17	7,11
S	S		0	0	1,608 50	1,608 50	-		0	0	1,608 50	1,608 50	-		0	0	1,608 50	1,608 50	-
	I		3.050	268.2 44	0,804 25	0,804 25	2,78		- 14.52 1	334.0 58	0,804 25	0,804 25	2,73		- 18.18 2	431.0 37	0,804 25	0,804 25	2,66
P	S	00524	22.22 2	322.4 22	0,402 12	0,402 12	4,26	00525	23.34 5	354.1 26	0,402 12	0,402 12	4,10	00526	25.57 5	349.1 85	0,402 12	0,402 12	4,12
	I		0	3.351	0,536 17	0,536 17	7,11		0	3.309	0,536 17	0,536 17	7,11		0	3.149	0,536 17	0,536 17	7,11
S	S		0	0	1,608 50	1,608 50	-		0	0	1,608 50	1,608 50	-		0	0	1,608 50	1,608 50	-
	I		- 18.75 3	575.7 14	0,804 25	0,804 25	2,55		- 19.04 9	790.8 56	0,804 25	0,804 25	2,40		- 20.15 1	1.110. 742	0,804 25	0,804 25	2,21
P	S	00527	28.98 0	286.1 68	0,402 12	0,402 12	4,45	00528	33.93 2	130.3 45	0,402 12	0,402 12	5,54	00529	0	0	0,402 12	0,402 12	-
	I		0	2.918	0,536 17	0,536 17	7,10		0	2.654	0,536 17	0,536 17	7,10		41.60 8	185.8 81	0,536 17	0,536 17	11,14
S	S		0	0	1,608 50	1,608 50	-		0	0	1,608 50	1,608 50	-		0	0	1,608 50	1,608 50	-
	I		- 22.70 3	1.590. 335	0,804 25	0,804 25	1,98		- 27.63 9	2.323. 492	0,804 25	0,804 25	1,70		- 37.16 7	3.488. 778	0,804 25	0,804 25	1,40
P	S	00530	0	0	0,402 12	0,402 12	-	00531	0	0	0,402 12	0,402 12	-	00532	0	0	0,402 12	0,402 12	-
	I		55.18 2	804.7 23	4,557 41	4,557 41	1,31		84.11 8	2.397. 896	4,557 41	4,557 41	1,50		159.3 34	6.420. 214	4,557 41	4,557 41	2,41
S	S		0	0	1,608 50	1,608 50	-		0	0	1,608 50	1,608 50	-		0	0	1,608 50	1,608 50	-
	I		- 57.20 4	5.514. 360	8,846 73	8,846 73	2,46		- 106.5 43	8.949. 467	8,846 73	8,846 73	3,47		- 248.4 19	13.84 7.467	8,846 73	8,846 73	8,47



Platee - Verifiche pressoflessione retta allo SLU

Dir	Pos	Nodo	NEd [N]	MEd [N-m]	As [cm²/cm]	A _{df} [cm²/cm]	CS	Nodo	NEd [N]	MEd [N-m]	As [cm²/cm]	A _{df} [cm²/cm]	CS	Nodo	NEd [N]	MEd [N-m]	As [cm²/cm]	A _{df} [cm²/cm]	CS
P	S	00533	0	0	0,402 12	0,402 12	-	00534	0	0	0,402 12	0,402 12	-	00535	204.8 61	1.103. 458	0,402 12	0,402 12	1,15
			362.7 58	15.80 7.552	4,557 41	4,557 41	5,75	-	-	277.5 48	10.82 1.149	4,557 41	4,557 41	7,92	-	0	1.843	4,557 41	4,557 41
S	S	00533	0	0	1,608 50	1,608 50	-	00534	0	0	1,608 50	1,608 50	-	00535	0	0	1,608 50	1,608 50	-
			- 464.8 33	16.29 9.402	8,846 73	8,846 73	34,6 6	-	-	146.9 62	17.32 4.756	8,846 73	8,846 73	NS	-	25.05 5	12.71 7.219	8,846 73	8,846 73
P	S	00536	- 122.9 05	2.412. 006	0,402 12	0,402 12	1,05	00537	- 83.03 5	1.897. 915	0,402 12	0,402 12	1,50	00538	- 60.49 6	1.417. 096	0,402 12	0,402 12	1,87
			0	1.991	4,557 41	4,557 41	1,23	-	0	2.194	0,536 17	0,536 17	7,09	-	0	2.439	0,536 17	0,536 17	7,09
S	S	00536	0	0	1,608 50	1,608 50	-	00537	0	0	1,608 50	1,608 50	-	00538	0	0	1,608 50	1,608 50	-
			15.31 2	6.115. 950	8,846 73	8,846 73	2,58	-	13.19 3	2.944. 380	0,804 25	0,804 25	1,52	-	12.85 6	1.611. 032	0,804 25	0,804 25	1,96
P	S	00539	- 46.40 1	1.035. 974	0,402 12	0,402 12	2,32	00540	- 36.81 6	746.8 13	0,402 12	0,402 12	2,85	00541	- 29.74 1	529.2 86	0,402 12	0,402 12	3,45
			0	2.705	0,536 17	0,536 17	7,10	-	0	2.965	0,536 17	0,536 17	7,10	-	0	3.187	0,536 17	0,536 17	7,11
S	S	00539	0	0	1,608 50	1,608 50	-	00540	0	0	1,608 50	1,608 50	-	00541	0	0	1,608 50	1,608 50	-
			12.93 2	936.5 53	0,804 25	0,804 25	2,30	-	13.16 8	563.2 51	0,804 25	0,804 25	2,55	-	13.42 6	348.5 50	0,804 25	0,804 25	2,71
P	S	00542	- 24.08 3	367.0 38	0,402 12	0,402 12	4,09	00543	- 19.31 9	247.8 51	0,402 12	0,402 12	4,74	00544	- 15.43 2	162.6 11	0,402 12	0,402 12	5,34
			0	3.330	0,536 17	0,536 17	7,11	-	0	3.352	0,536 17	0,536 17	7,11	-	0	3.193	0,536 17	0,536 17	7,11
S	S	00542	0	0	1,608 50	1,608 50	-	00543	0	0	1,608 50	1,608 50	-	00544	0	0	1,608 50	1,608 50	-
			13.70 0	222.4 65	0,804 25	0,804 25	2,82	-	14.33 8	147.3 81	0,804 25	0,804 25	2,89	-	16.25 4	102.1 27	0,804 25	0,804 25	2,93
P	S	00545	- 12.65 3	104.1 29	0,402 12	0,402 12	5,86	00546	- 11.90 0	66.87 9	0,402 12	0,402 12	6,24	00547	- 12.72 4	47.09 9	0,402 12	0,402 12	6,47
			0	2.744	0,536 17	0,536 17	7,10	-	0	1.975	0,536 17	0,536 17	7,09	-	0	1.241	0,536 17	0,536 17	7,08
S	S	00545	0	0	1,608 50	1,608 50	-	00546	0	0	1,608 50	1,608 50	-	00547	0	0	1,608 50	1,608 50	-
			21.49 0	73.95 1	0,804 25	0,804 25	2,96	-	36.61 6	54.13 2	0,804 25	0,804 25	2,97	-	50.64 2	42.88 2	0,804 25	0,804 25	2,98
P	S	00548	1.698	23.44 7	0,402 12	0,402 12	6,74	00549	12.92 4	82.35 3	0,402 12	0,402 12	6,04	00550	26.83 6	120.1 38	0,402 12	0,402 12	5,65
			0	1.157	0,536 17	0,536 17	7,08	-	0	348	0,536 17	0,536 17	7,07	-	0	2.563	0,536 17	0,536 17	7,10
S	S	00548	0	276	1,608 50	1,608 50	3,04	00549	0	0	1,608 50	1,608 50	-	00550	0	0	1,608 50	1,608 50	-
			40.65 4	168.7 74	0,804 25	0,804 25	2,86	-	11.90 9	192.6 27	0,804 25	0,804 25	2,85	-	15.53 0	229.4 18	0,804 25	0,804 25	2,82
P	S	00551	22.67 3	164.7 06	0,402 12	0,402 12	5,27	00552	21.79 6	200.6 98	0,402 12	0,402 12	5,00	00553	22.70 2	216.3 81	0,402 12	0,402 12	4,89
			0	3.209	0,536 17	0,536 17	7,11	-	0	3.414	0,536 17	0,536 17	7,11	-	0	3.405	0,536 17	0,536 17	7,11
S	S	00551	0	0	1,608 50	1,608 50	-	00552	0	0	1,608 50	1,608 50	-	00553	0	0	1,608 50	1,608 50	-
			- 17.95 4	285.0 10	0,804 25	0,804 25	2,78	-	17.59 7	370.1 02	0,804 25	0,804 25	2,71	-	17.06 5	496.1 08	0,804 25	0,804 25	2,61
P	S	00554	24.90 5	198.5 28	0,402 12	0,402 12	5,01	00555	28.27 0	129.9 30	0,402 12	0,402 12	5,56	00556	0	0	0,402 12	0,402 12	-
			0	3.265	0,536 17	0,536 17	7,11	-	0	3.043	0,536 17	0,536 17	7,10	-	32.94 1	13.30 0	0,536 17	0,536 17	7,19
S	S	00554	0	0	1,608 50	1,608 50	-	00555	0	0	1,608 50	1,608 50	-	00556	0	0	1,608 50	1,608 50	-
			- 16.96 4	681.9 43	0,804 25	0,804 25	2,47	-	17.56 4	956.7 34	0,804 25	0,804 25	2,30	-	19.15 5	1.369. 212	0,804 25	0,804 25	2,08
P	S	00557	0	0	0,402 12	0,402 12	-	00558	0	0	0,402 12	0,402 12	-	00559	0	0	0,402 12	0,402 12	-



Platee - Verifiche pressoflessione retta allo SLU

Dir	Pos	Nodo	N _{Ed}	M _{Ed}	A _s	A _{df}	CS	Nodo	N _{Ed}	M _{Ed}	A _s	A _{df}	CS	Nodo	N _{Ed}	M _{Ed}	A _s	A _{df}	CS
			[N]	[N-m]	[cm ² /cm]	[cm ² /cm]			[N]	[N-m]	[cm ² /cm]	[cm ² /cm]			[N]	[N-m]	[cm ² /cm]	[cm ² /cm]	
	I		39.51 9	268.0 67	0,536 17	0,536 17	15,1 2		49.62 4	708.2 12	0,536 17	0,536 17	16,5 1		67.72 4	1.529. 576	4,557 41	4,557 41	1,39
S	S		0	0	1,608 50	1,608 50	-		0	0	1,608 50	1,608 50	-		0	0	1,608 50	1,608 50	-
	I		- 22.39 9	2.008. 447	0,804 25	0,804 25	1,81		- 28.93 9	3.041. 849	0,804 25	0,804 25	1,50		- 43.04 1	4.889. 962	8,846 73	8,846 73	2,34
P	S	00560	0	0	4,423 36	4,423 36	-	00561	0	0	4,423 36	4,423 36	-	00562	0	0	4,423 36	4,423 36	-
	I		109.8 39	3.249. 361	4,557 41	4,557 41	12,1 0		1.247. 797	8.648. 131	4,557 41	4,557 41	3,95		- 1.480. 076	27.17 3.802	4,557 41	4,557 41	1,30
S	S		0	0	9,650 98	9,650 98	-		0	0	9,650 98	9,650 98	-		0	0	9,650 98	9,650 98	-
	I		- 82.49 9	11.40 4.242	8,846 73	8,846 73	4,80		- 1.214. 933	30.01 0.198	8,846 73	8,846 73	2,12		373.4 51	46.37 0.204	8,846 73	8,846 73	1,39
P	S	00563	- 262.6 68	2.329. 698	4,423 36	4,423 36	11,9 1	00564	- 132.2 40	2.895. 737	4,423 36	4,423 36	9,88	00565	- 83.77 0	1.937. 622	4,423 36	4,423 36	13,75
	I		0	1.764	4,557 41	4,557 41	67,4 7		0	1.890	4,557 41	4,557 41	67,4 8		0	2.064	4,557 41	4,557 41	67,51
S	S		0	0	9,650 98	9,650 98	-		0	0	9,650 98	9,650 98	-		0	0	9,650 98	9,650 98	-
	I		12.95 1	10.52 9.341	8,846 73	8,846 73	5,10		15.29 2	2.993. 752	8,846 73	8,846 73	11,5 6		17.16 8	839.9 12	8,846 73	8,846 73	18,13
P	S	00566	- 59.88 9	1.307. 516	0,402 12	0,402 12	1,98	00567	- 46.08 8	891.5 34	0,402 12	0,402 12	2,56	00568	- 37.07 3	605.7 17	0,402 12	0,402 12	3,22
	I		0	2.292	0,536 17	0,536 17	7,09		0	2.555	0,536 17	0,536 17	7,10		0	2.830	0,536 17	0,536 17	7,10
S	S		0	0	1,608 50	1,608 50	-		0	0	1,608 50	1,608 50	-		0	0	1,608 50	1,608 50	-
	I		15.76 2	362.0 95	0,804 25	0,804 25	2,70		14.75 8	127.6 38	0,804 25	0,804 25	2,91		14.32 8	22.30 3	0,804 25	0,804 25	3,01
P	S	00569	- 30.67 8	404.2 26	0,402 12	0,402 12	3,93	00570	- 25.91 5	260.6 43	0,402 12	0,402 12	4,67	00571	- 22.38 1	159.4 47	0,402 12	0,402 12	5,38
	I		0	3.090	0,536 17	0,536 17	7,10		0	3.301	0,536 17	0,536 17	7,11		0	3.425	0,536 17	0,536 17	7,11
S	S		14.29 4	20.03 0	1,608 50	1,608 50	3,06		14.56 3	33.29 5	1,608 50	1,608 50	3,07		15.20 1	33.26 9	1,608 50	1,608 50	3,07
	I		0	2.466	0,804 25	0,804 25	3,04		0	2.589	0,804 25	0,804 25	3,04		0	2.638	0,804 25	0,804 25	3,04
P	S	00572	- 20.09 4	90.34 6	0,402 12	0,402 12	6,01	00573	- 19.38 5	45.90 9	0,402 12	0,402 12	6,50	00574	- 21.30 9	21.01 5	0,402 12	0,402 12	6,81
	I		0	3.412	0,536 17	0,536 17	7,11		0	3.172	0,536 17	0,536 17	7,11		0	2.419	0,536 17	0,536 17	7,09
S	S		16.44 1	27.91 3	1,608 50	1,608 50	3,06		18.63 4	21.38 2	1,608 50	1,608 50	3,06		23.94 6	14.50 6	1,608 50	1,608 50	3,05
	I		0	2.542	0,804 25	0,804 25	3,04		0	2.171	0,804 25	0,804 25	3,04		0	1.335	0,804 25	0,804 25	3,04
P	S	00575	- 48.27 3	13.63 7	0,402 12	0,402 12	6,96	00576	- 7.145	12.54 1	0,402 12	0,402 12	6,87	00577	10.72 2	3.526	0,402 12	0,402 12	6,99
	I		0	0	0,536 17	0,536 17	-		0	723	0,536 17	0,536 17	7,07		0	134	0,536 17	0,536 17	7,06
S	S		50.58 4	8.335	1,608 50	1,608 50	3,03		37.03 9	12.24 2	1,608 50	1,608 50	3,04		0	0	1,608 50	1,608 50	-
	I		0	309	0,804 25	0,804 25	3,04		0	0	0,804 25	0,804 25	-		- 53.38 3	113.2 15	0,804 25	0,804 25	2,95
P	S	00578	30.88 6	37.80 0	0,402 12	0,402 12	6,51	00579	18.57 0	65.91 3	0,402 12	0,402 12	6,20	00580	18.50 5	81.45 0	0,402 12	0,402 12	6,04
	I		0	1.889	0,536 17	0,536 17	7,09		0	2.981	0,536 17	0,536 17	7,10		0	3.354	0,536 17	0,536 17	7,11
S	S		0	0	1,608 50	1,608 50	-		0	0	1,608 50	1,608 50	-		0	0	1,608 50	1,608 50	-
	I		- 42.48 8	140.1 41	0,804 25	0,804 25	2,92		- 19.47 1	159.4 47	0,804 25	0,804 25	2,89		- 16.54 5	193.8 05	0,804 25	0,804 25	2,86
P	S	00581	20.02 5	75.90 4	0,402 12	0,402 12	6,09	00582	22.64 7	35.84 2	0,402 12	0,402 12	6,55	00583	0	0	0,402 12	0,402 12	-
	I		0	3.436	0,536 17	0,536 17	7,11		0	3.351	0,536 17	0,536 17	7,11		26.12 6	56.06 5	0,536 17	0,536 17	7,90



REGIONE BASILICATA - PROVINCIA DI MATERA - COMUNE DI FERRANDINA
PROGETTO DEFINITIVO
Parco Eolico "Montagnola"
Relazione preliminare sulle strutture

Platee - Verifiche pressoflessione retta allo SLU

Dir	Pos	Nodo	N _{Ed} [N]	M _{Ed} [N-m]	A _s [cm ² /cm]	A _d [cm ² /cm]	CS	Nodo	N _{Ed} [N]	M _{Ed} [N-m]	A _s [cm ² /cm]	A _d [cm ² /cm]	CS	Nodo	N _{Ed} [N]	M _{Ed} [N-m]	A _s [cm ² /cm]	A _d [cm ² /cm]	CS
S	S		0	0	1,608 50	1,608 50	-		0	0	1,608 50	1,608 50	-		0	0	1,608 50	1,608 50	-
	I		- 14.95 8	242.6 84	0,804 25	0,804 25	2,81		- 14.01 1	311.6 19	0,804 25	0,804 25	2,75		- 13.32 7	406.0 37	0,804 25	0,804 25	2,68
P	S	00584	0	0	0,402 12	0,402 12	-	00585	0	0	0,402 12	0,402 12	-	00586	0	0	0,402 12	0,402 12	-
	I		30.46 0	223.7 74	0,536 17	0,536 17	12,7 1		35.80 9	503.6 52	0,536 17	0,536 17	NS		42.29 9	955.2 74	0,536 17	0,536 17	7,60
S	S		0	0	1,608 50	1,608 50	-		0	0	1,608 50	1,608 50	-		0	0	1,608 50	1,608 50	-
	I		- 12.64 1	531.4 46	0,804 25	0,804 25	2,58		- 11.72 9	691.8 06	0,804 25	0,804 25	2,46		- 10.25 1	892.3 31	0,804 25	0,804 25	2,34
P	S	00587	0	0	0,402 12	0,402 12	-	00588	0	0	4,423 36	4,423 36	-	00589	0	0	4,423 36	4,423 36	-
	I		49.34 7	1.702. 453	4,557 41	4,557 41	1,41		53.18 5	2.919. 742	4,557 41	4,557 41	13,7 7		40.40 7	8.269. 202	4,557 41	4,557 41	4,29
S	S		0	0	1,608 50	1,608 50	-		0	0	9,650 98	9,650 98	-		-9.980	1.687. 685	9,650 98	9,650 98	54,48
	I		-7.613	1.158. 400	8,846 73	8,846 73	1,80		-4.062	1.544. 498	8,846 73	8,846 73	15,3 0		0	1.802	8,846 73	8,846 73	23,29
P	S	00590	- 763.3 36	4.099. 683	4,423 36	4,423 36	7,42	00591	663.4 57	16.90 9.414	4,423 36	4,423 36	1,88	00592	4.202	3.433. 854	4,423 36	4,423 36	8,50
	I		0	1.730	4,557 41	4,557 41	67,4 6		0	1.626	4,557 41	4,557 41	67,4 5		0	1.825	4,557 41	4,557 41	67,48
S	S		1.918. 169	45.88 0.976	9,650 98	9,650 98	1,56		- 797.2 82	32.89 0.590	9,650 98	9,650 98	2,32		52.61 1	8.153. 986	9,650 98	9,650 98	13,21
	I		0	1.499	8,846 73	8,846 73	23,2 9		0	1.424	8,846 73	8,846 73	23,2 9		0	1.714	8,846 73	8,846 73	23,29
P	S	00593	- 32.68 8	1.618. 875	4,423 36	4,423 36	15,8 0	00594	- 37.56 4	961.2 28	0,402 12	0,402 12	2,43	00595	- 35.04 9	593.5 62	0,402 12	0,402 12	3,25
	I		0	1.969	4,557 41	4,557 41	67,4 9		0	2.173	0,536 17	0,536 17	7,09		0	2.421	0,536 17	0,536 17	7,09
S	S		20.29 3	3.308. 549	9,650 98	9,650 98	NS		15.26 1	1.977. 248	1,608 50	1,608 50	9,22		14.17 3	1.281. 219	1,608 50	1,608 50	5,37
	I		0	1.828	8,846 73	8,846 73	23,2 9		0	1.943	0,804 25	0,804 25	3,04		0	2.081	0,804 25	0,804 25	3,04
P	S	00596	- 31.26 1	365.4 46	0,402 12	0,402 12	4,11	00597	- 27.67 7	209.9 25	0,402 12	0,402 12	5,00	00598	- 24.68 8	103.5 03	0,402 12	0,402 12	5,88
	I		0	2.694	0,536 17	0,536 17	7,10		0	2.965	0,536 17	0,536 17	7,10		0	3.206	0,536 17	0,536 17	7,11
S	S		13.93 1	857.4 01	1,608 50	1,608 50	4,28		14.02 6	591.5 12	1,608 50	1,608 50	3,80		14.41 0	415.2 42	1,608 50	1,608 50	3,53
	I		0	2.234	0,804 25	0,804 25	3,04		0	2.392	0,804 25	0,804 25	3,04		0	2.534	0,804 25	0,804 25	3,04
P	S	00599	- 22.48 1	32.75 3	0,402 12	0,402 12	6,67	00600	0	0	0,402 12	0,402 12	-	00601	0	0	0,402 12	0,402 12	-
	I		0	3.380	0,536 17	0,536 17	7,11		- 21.29 1	11.24 8	0,536 17	0,536 17	7,27		- 21.52 2	34.95 6	0,536 17	0,536 17	7,64
S	S		15.12 0	294.2 72	1,608 50	1,608 50	3,37		16.13 6	209.8 50	1,608 50	1,608 50	3,27		17.17 8	150.7 31	1,608 50	1,608 50	3,20
	I		0	2.627	0,804 25	0,804 25	3,04		0	2.614	0,804 25	0,804 25	3,04		0	2.399	0,804 25	0,804 25	3,04
P	S	00602	0	0	0,402 12	0,402 12	-	00603	0	0	0,402 12	0,402 12	-	00604	0	0	0,402 12	0,402 12	-
	I		- 24.10 5	43.37 3	0,536 17	0,536 17	7,78		- 14.71 2	41.82 5	0,536 17	0,536 17	7,74		-2.427	28.36 9	0,536 17	0,536 17	7,49
S	S		17.11 2	110.0 81	1,608 50	1,608 50	3,15		11.14 0	78.99 0	1,608 50	1,608 50	3,12		- 34.93 4	68.47 0	1,608 50	1,608 50	3,12
	I		0	1.786	0,804 25	0,804 25	3,04		0	473	0,804 25	0,804 25	3,04		0	87	0,804 25	0,804 25	3,04
P	S	00605	0	0	0,402 12	0,402 12	-	00606	0	0	0,402 12	0,402 12	-	00607	0	0	0,402 12	0,402 12	-
	I		4.304	42.05 7	0,536 17	0,536 17	7,70		18.01 5	25.14 7	0,536 17	0,536 17	7,40		9.669	16.60 7	0,536 17	0,536 17	7,28
S	S		0	0	1,608 50	1,608 50	-		0	0	1,608 50	1,608 50	-		0	0	1,608 50	1,608 50	-



Platee - Verifiche pressoflessione retta allo SLU

Dir	Pos	Nodo	NEd	MEd	AS	Adf	CS	Nodo	NEd	MEd	AS	Adf	CS	Nodo	NEd	MEd	AS	Adf	CS
			[N]	[N-m]	[cm²/cm]	[cm²/cm]			[N]	[N-m]	[cm²/cm]	[cm²/cm]			[N]	[N-m]	[cm²/cm]	[cm²/cm]	
				1	17	17				3	17	17				6	17	17	
S	S		-14.54 0	127.7 33	1,608 50	1,608 50	3,18		-1.924	95.12 3	1,608 50	1,608 50	3,14		0	0	1,608 50	1,608 50	-
	I		0	2.322	0,804 25	0,804 25	3,04		0	1.792	0,804 25	0,804 25	3,04		-41.79 4	14.25 7	0,804 25	0,804 25	3,04
P	S	00635	0	0	0,402 12	0,402 12	-	00636	0	0	0,402 12	0,402 12	-	00637	0	0	0,402 12	0,402 12	-
	I		6.000	80.99 5	0,536 17	0,536 17	8,42		5.571	95.89 5	0,536 17	0,536 17	8,73		8.854	131.4 51	0,536 17	0,536 17	9,57
S	S		-29.46 1	6.027	1,608 50	1,608 50	3,06		-16.66 5	33.75 6	1,608 50	1,608 50	3,08		-10.52 3	76.41 0	1,608 50	1,608 50	3,12
	I		0	3.309	0,804 25	0,804 25	3,04		0	3.140	0,804 25	0,804 25	3,04		0	3.017	0,804 25	0,804 25	3,04
P	S	00638	0	0	0,402 12	0,402 12	-	00639	0	0	0,402 12	0,402 12	-	00640	0	0	0,402 12	0,402 12	-
	I		13.43 4	198.3 29	0,536 17	0,536 17	11,6 9		17.83 3	309.7 32	0,536 17	0,536 17	18,5 8		21.70 9	481.6 85	0,536 17	0,536 17	NS
S	S		-8.285	141.2 56	1,608 50	1,608 50	3,20		-6.764	243.6 31	1,608 50	1,608 50	3,32		-4.207	410.9 01	1,608 50	1,608 50	3,53
	I		0	2.899	0,804 25	0,804 25	3,04		0	2.768	0,804 25	0,804 25	3,04		0	2.625	0,804 25	0,804 25	3,04
P	S	00641	0	0	0,402 12	0,402 12	-	00642	0	0	0,402 12	0,402 12	-	00643	0	0	0,402 12	0,402 12	-
	I		25.23 4	732.6 17	0,536 17	0,536 17	14,8 9		28.42 4	1.079. 583	0,536 17	0,536 17	6,00		30.66 1	1.518. 823	0,536 17	0,536 17	3,42
S	S		300	692.6 99	1,608 50	1,608 50	3,97		7.901	1.184. 212	1,608 50	1,608 50	5,08		21.17 4	2.082. 247	1,608 50	1,608 50	10,33
	I		0	2.479	0,804 25	0,804 25	3,04		0	2.336	0,804 25	0,804 25	3,04		0	2.205	0,804 25	0,804 25	3,04
P	S	00644	0	0	0,402 12	0,402 12	-	00645	0	0	4,423 36	4,423 36	-	00646	-	32.13 6	747.3 33	4,423 36	4,423 36
	I		29.88 8	1.923. 232	0,536 17	0,536 17	2,45		19.05 8	1.643. 632	0,536 17	0,536 17	1,17		0	1.906	0,536 17	0,536 17	1,33
S	S		46.49 6	3.752. 139	1,608 50	1,608 50	11,0 8		102.1 31	6.400. 905	9,650 98	9,650 98	2,05		237.6 09	9.048. 868	9,650 98	9,650 98	2,61
	I		0	2.094	0,804 25	0,804 25	3,04		0	2.008	0,804 25	0,804 25	1,33		0	1.945	0,804 25	0,804 25	1,33
P	S	00647	-140.9 07	6.278. 878	4,423 36	4,423 36	2,75	00648	38.82 8	9.743. 712	4,423 36	4,423 36	6,37	00649	23.92 4	4.959. 784	4,423 36	4,423 36	2,22
	I		0	1.828	0,536 17	0,536 17	1,33		0	1.788	0,536 17	0,536 17	1,33		0	1.880	0,536 17	0,536 17	1,33
S	S		336.2 21	9.926. 729	9,650 98	9,650 98	2,86		120.2 12	9.373. 136	9,650 98	9,650 98	2,74		30.49 4	8.549. 768	9,650 98	9,650 98	2,52
	I		0	1.913	0,804 25	0,804 25	1,33		0	1.921	0,804 25	0,804 25	1,33		0	1.941	0,804 25	0,804 25	1,33
P	S	00650	8.006	1.981. 549	4,423 36	4,423 36	1,58	00651	-2.507	642.8 94	0,402 12	0,402 12	3,08	00652	-9.501	120.4 45	0,402 12	0,402 12	5,70
	I		0	2.032	0,536 17	0,536 17	1,33		0	2.237	0,536 17	0,536 17	7,09		0	2.478	0,536 17	0,536 17	7,10
S	S		20.93 5	6.766. 398	9,650 98	9,650 98	2,13		15.19 9	4.638. 243	1,608 50	1,608 50	5,28		13.27 3	3.067. 512	1,608 50	1,608 50	73,87
	I		0	1.999	0,804 25	0,804 25	1,33		0	2.097	0,804 25	0,804 25	3,04		0	2.221	0,804 25	0,804 25	3,04
P	S	00653	0	0	0,402 12	0,402 12	-	00654	0	0	0,402 12	0,402 12	-	00655	0	0	0,402 12	0,402 12	-
	I		-13.40 3	102.5 03	0,536 17	0,536 17	8,92		-15.27 8	201.0 06	0,536 17	0,536 17	11,8 9		-16.03 8	238.8 23	0,536 17	0,536 17	13,62
S	S		12.75 6	2.060. 324	1,608 50	1,608 50	10,0 9		12.78 7	1.409. 329	1,608 50	1,608 50	5,82		13.18 6	977.6 20	1,608 50	1,608 50	4,54
	I		0	2.360	0,804 25	0,804 25	3,04		0	2.509	0,804 25	0,804 25	3,04		0	2.660	0,804 25	0,804 25	3,04
P	S	00656	0	0	0,402 12	0,402 12	-	00657	0	0	0,402 12	0,402 12	-	00658	0	0	0,402 12	0,402 12	-
	I		-16.37 0	243.2 58	0,536 17	0,536 17	13,8 6		-16.67 0	227.9 23	0,536 17	0,536 17	13,0 8		-16.57 1	200.5 91	0,536 17	0,536 17	11,88
S	S		13.97 0	686.3 16	1,608 50	1,608 50	3,96		14.88 1	487.8 07	1,608 50	1,608 50	3,64		14.67 9	351.9 33	1,608 50	1,608 50	3,45
	I		0	2.808	0,804 25	0,804 25	3,04		0	2.946	0,804 25	0,804 25	3,04		0	3.075	0,804 25	0,804 25	3,04



REGIONE BASILICATA - PROVINCIA DI MATERA - COMUNE DI FERRANDINA
PROGETTO DEFINITIVO
Parco Eolico "Montagnola"
Relazione preliminare sulle strutture

Platee - Verifiche pressoflessione retta allo SLU

Dir	Pos	Nodo	NEd [N]	MEd [N-m]	AS [cm²/cm]	Acf [cm²/cm]	CS	Nodo	NEd [N]	MEd [N-m]	AS [cm²/cm]	Acf [cm²/cm]	CS	Nodo	NEd [N]	MEd [N-m]	AS [cm²/cm]	Acf [cm²/cm]	CS
			12.54 4	92	17	17			12.63 3	19	17	17	7		12.07 3	39	17	17	
S	S		18.18 4	962.2 51	1,608 50	1,608 50	4,50		14.81 4	785.9 27	1,608 50	1,608 50	4,14		12.06 9	631.9 58	1,608 50	1,608 50	3,86
	I		0	2.957	0,804 25	0,804 25	3,04		0	2.863	0,804 25	0,804 25	3,04		0	2.646	0,804 25	0,804 25	3,04
P	S	00767	0	0	0,402 12	0,402 12	-	00768	0	0	0,402 12	0,402 12	-	00769	0	0	0,402 12	0,402 12	-
	I		- 10.72 3	275.5 38	0,536 17	0,536 17	15,8 5		-8.687	247.9 02	0,536 17	0,536 17	14,0 9		- 23.62 2	204.1 66	0,536 17	0,536 17	12,04
S	S		11.06 6	506.9 35	1,608 50	1,608 50	3,67		20.44 6	410.6 28	1,608 50	1,608 50	3,52		45.28 8	337.3 94	1,608 50	1,608 50	3,41
	I		0	2.278	0,804 25	0,804 25	3,04		0	1.926	0,804 25	0,804 25	3,04		0	2.381	0,804 25	0,804 25	3,04
P	S	00770	0	0	0,402 12	0,402 12	-	00771	0	0	0,402 12	0,402 12	-	00772	0	0	0,402 12	0,402 12	-
	I		4.139	148.2 42	0,536 17	0,536 17	10,0 4		- 20.47 4	234.4 92	0,536 17	0,536 17	13,4 2		11.08 6	287.1 33	0,536 17	0,536 17	16,62
S	S		13.70 9	281.1 38	1,608 50	1,608 50	3,35		- 11.23 7	246.1 17	1,608 50	1,608 50	3,32		- 16.11 3	318.3 23	1,608 50	1,608 50	3,41
	I		0	1.929	0,804 25	0,804 25	3,04		0	0	0,804 25	0,804 25	-		0	0	0,804 25	0,804 25	-
P	S	00773	0	0	0,402 12	0,402 12	-	00774	0	0	0,402 12	0,402 12	-	00775	0	0	0,402 12	0,402 12	-
	I		9.899	345.3 94	0,536 17	0,536 17	22,9 7		2.892	404.7 42	0,536 17	0,536 17	37,6 5		-2.471	456.0 16	0,536 17	0,536 17	83,72
S	S		- 11.99 0	403.5 46	1,608 50	1,608 50	3,53		-4.276	515.2 31	1,608 50	1,608 50	3,69		6.264	650.1 84	1,608 50	1,608 50	3,90
	I		0	1.819	0,804 25	0,804 25	3,04		0	2.491	0,804 25	0,804 25	3,04		0	2.880	0,804 25	0,804 25	3,04
P	S	00776	0	0	0,402 12	0,402 12	-	00777	0	0	0,402 12	0,402 12	-	00778	0	0	0,402 12	0,402 12	-
	I		-6.939	480.5 24	0,536 17	0,536 17	NS		- 10.87 7	449.4 77	0,536 17	0,536 17	72,6 4		- 15.16 0	325.5 76	0,536 17	0,536 17	20,47
S	S		17.65 8	804.2 69	1,608 50	1,608 50	4,17		29.16 1	964.1 79	1,608 50	1,608 50	4,50		41.02 6	1,105. 679	1,608 50	1,608 50	4,84
	I		0	3.079	0,804 25	0,804 25	3,04		0	3.137	0,804 25	0,804 25	3,04		0	3.112	0,804 25	0,804 25	3,04
P	S	00779	0	0	0,402 12	0,402 12	-	00780	- 28.25 3	336.9 94	0,402 12	0,402 12	4,24	00781	- 35.25 8	871.1 34	0,402 12	0,402 12	2,59
	I		- 20.92 1	70.58 3	0,536 17	0,536 17	8,27		0	2.602	0,536 17	0,536 17	7,10		0	2.490	0,536 17	0,536 17	7,10
S	S		53.83 5	1.195. 708	1,608 50	1,608 50	5,08		66.97 5	1.202. 477	1,608 50	1,608 50	5,09		77.72 6	1.115. 088	1,608 50	1,608 50	4,84
	I		0	3.058	0,804 25	0,804 25	3,04		0	3.011	0,804 25	0,804 25	3,04		0	2.984	0,804 25	0,804 25	3,04
P	S	00782	- 39.09 2	1.421. 497	0,402 12	0,402 12	1,85	00783	- 38.06 1	1.790. 866	0,402 12	0,402 12	1,55	00784	- 32.81 5	1.816. 958	0,402 12	0,402 12	1,53
	I		0	2.405	0,536 17	0,536 17	7,09		0	2.374	0,536 17	0,536 17	7,09		0	2.409	0,536 17	0,536 17	7,09
S	S		82.65 7	965.7 36	1,608 50	1,608 50	4,48		79.91 5	831.5 04	1,608 50	1,608 50	4,19		70.35 3	780.7 56	1,608 50	1,608 50	4,10
	I		0	2.974	0,804 25	0,804 25	3,04		0	2.974	0,804 25	0,804 25	3,04		0	2.977	0,804 25	0,804 25	3,04
P	S	00785	- 25.91 7	1.534. 755	0,402 12	0,402 12	1,74	00786	- 20.13 0	1.106. 603	0,402 12	0,402 12	2,20	00787	- 16.78 2	673.4 40	0,402 12	0,402 12	3,02
	I		0	2.497	0,536 17	0,536 17	7,10		0	2.612	0,536 17	0,536 17	7,10		0	2.732	0,536 17	0,536 17	7,10
S	S		57.19 2	805.3 24	1,608 50	1,608 50	4,15		44.35 5	846.8 55	1,608 50	1,608 50	4,24		34.37 5	858.6 05	1,608 50	1,608 50	4,27
	I		0	2.991	0,804 25	0,804 25	3,04		0	3.022	0,804 25	0,804 25	3,04		0	3.072	0,804 25	0,804 25	3,04
P	S	00788	- 15.65 4	313.7 67	0,402 12	0,402 12	4,35	00789	- 15.69 9	53.96 0	0,402 12	0,402 12	6,40	00790	0	0	0,402 12	0,402 12	-
	I		0	2.851	0,536 17	0,536 17	7,10		0	2.987	0,536 17	0,536 17	7,10		- 15.78	110.4 84	0,536 17	0,536 17	9,11



REGIONE BASILICATA - PROVINCIA DI MATERA - COMUNE DI FERRANDINA
PROGETTO DEFINITIVO
Parco Eolico "Montagnola"
Relazione preliminare sulle strutture

Platee - Verifiche pressoflessione retta allo SLU

Dir	Pos	Nodo	N _{Ed} [N]	M _{Ed} [N-m]	A _S [cm ² /cm]	A _{df} [cm ² /cm]	CS	Nodo	N _{Ed} [N]	M _{Ed} [N-m]	A _S [cm ² /cm]	A _{df} [cm ² /cm]	CS	Nodo	N _{Ed} [N]	M _{Ed} [N-m]	A _S [cm ² /cm]	A _{df} [cm ² /cm]	CS
S	S		27.57 5 0	824.7 53 3.123	1,608 50 0,804 25	1,608 50 0,804 25	4,21 3,04		22.79 1 0	753.1 06 3.137	1,608 50 0,804 25	1,608 50 0,804 25	4,07 3,04		18.58 8 0	661.1 66 3.056	1,608 50 0,804 25	1,608 50 0,804 25	3,91 3,04
P	S	00791	0 - 15.48 3	0 197.8 61	0,402 12 0,536 17	0,402 12 0,536 17	- 11,7 6	00792	0 - 15.42 6	0 229.2 86	0,402 12 0,536 17	0,402 12 0,536 17	- 13,1 4	00793	0 - 17.31 2	0 223.2 71	0,402 12 0,536 17	0,402 12 0,536 17	- 12,86
S	S		14.20 1 0	565.8 35 2.822	1,608 50 0,804 25	1,608 50 0,804 25	3,76 3,04		9.880 29 0	478.6 29 2.379	1,608 50 0,804 25	1,608 50 0,804 25	3,62 3,04		6.301 37 0	403.9 37 1.619	1,608 50 0,804 25	1,608 50 0,804 25	3,52 3,04
P	S	00794	0 - 20.23 0	0 194.6 65	0,402 12 0,536 17	0,402 12 0,536 17	- 11,6 5	00795	0 -1.273	0 152.5 26	0,402 12 0,536 17	0,402 12 0,536 17	- 10,1 8	00796	0 19.63 1	0 243.9 27	0,402 12 0,536 17	0,402 12 0,536 17	- 13,76
S	S		6.463 0	344.2 47 0	1,608 50 0,804 25	1,608 50 0,804 25	3,44 -		2.841 0	307.0 92 0	1,608 50 0,804 25	1,608 50 0,804 25	3,39 -		57.02 2 0	280.1 94 1.202	1,608 50 0,804 25	1,608 50 0,804 25	3,38 3,04
P	S	00797	0 -860	0 292.0 12	0,402 12 0,536 17	0,402 12 0,536 17	- 17,0 7	00798	0 -4.207	0 336.1 81	0,402 12 0,536 17	0,402 12 0,536 17	- 21,7 5	00799	0 -8.626	0 372.5 78	0,402 12 0,536 17	0,402 12 0,536 17	- 28,09
S	S		- 27.64 1 0	343.2 61 1.431	1,608 50 0,804 25	1,608 50 0,804 25	3,45 3,04		- 11.52 9 0	417.8 58 2.281	1,608 50 0,804 25	1,608 50 0,804 25	3,55 3,04		1.586 0	505.1 34 2.834	1,608 50 0,804 25	1,608 50 0,804 25	3,67 3,04
P	S	00800	0 - 13.35 0	0 388.6 84	0,402 12 0,536 17	0,402 12 0,536 17	- 32,2 7	00801	0 - 17.11 5	0 365.2 21	0,402 12 0,536 17	0,402 12 0,536 17	- 26,6 0	00802	0 - 19.71 4	0 278.1 93	0,402 12 0,536 17	0,402 12 0,536 17	- 16,08
S	S		14.87 0 0	600.4 73 3.135	1,608 50 0,804 25	1,608 50 0,804 25	3,81 3,04		26.67 3 0	693.8 48 3.266	1,608 50 0,804 25	1,608 50 0,804 25	3,96 3,04		36.33 6 0	769.7 01 3.266	1,608 50 0,804 25	1,608 50 0,804 25	4,10 3,04
P	S	00803	0 - 22.70 9	0 104.1 44	0,402 12 0,536 17	0,402 12 0,536 17	- 8,98	00804	- 27.39 6 0	170.4 44 2.770	0,402 12 0,536 17	0,402 12 0,536 17	5,30 7,10	00805	- 32.93 6 0	533.7 09 2.678	0,402 12 0,536 17	0,402 12 0,536 17	3,44 7,10
S	S		45.08 3 0	808.5 53 3.217	1,608 50 0,804 25	1,608 50 0,804 25	4,17 3,04		54.30 2 0	792.5 37 3.176	1,608 50 0,804 25	1,608 50 0,804 25	4,13 3,04		63.23 8 0	715.2 93 3.164	1,608 50 0,804 25	1,608 50 0,804 25	3,98 3,04
P	S	00806	- 37.32 4 0	930.7 16 2.574	0,402 12 0,536 17	0,402 12 0,536 17	2,49 7,10	00807	- 38.73 7 0	1.257. 775 2.503	0,402 12 0,536 17	0,402 12 0,536 17	2,02 7,10	00808	- 36.55 2 0	1.400. 352 2.505	0,402 12 0,536 17	0,402 12 0,536 17	1,87 7,10
S	S		69.49 2 0	593.1 06 3.174	1,608 50 0,804 25	1,608 50 0,804 25	3,77 3,04		70.88 0 0	468.3 63 3.187	1,608 50 0,804 25	1,608 50 0,804 25	3,58 3,04		66.69 4 0	391.4 13 3.186	1,608 50 0,804 25	1,608 50 0,804 25	3,48 3,04
P	S	00809	- 31.68 8 0	1.316. 960 2.579	0,402 12 0,536 17	0,402 12 0,536 17	1,95 7,10	00810	- 26.09 7 0	1.068. 280 2.683	0,402 12 0,536 17	0,402 12 0,536 17	2,26 7,10	00811	- 21.68 6 0	751.5 53 2.772	0,402 12 0,536 17	0,402 12 0,536 17	2,83 7,10
S	S		58.10 7 0	383.3 99 3.173	1,608 50 0,804 25	1,608 50 0,804 25	3,47 3,04		47.70 0 0	422.8 34 3.165	1,608 50 0,804 25	1,608 50 0,804 25	3,53 3,04		38.27 9 0	472.6 61 3.183	1,608 50 0,804 25	1,608 50 0,804 25	3,60 3,04
P	S	00812	- 19.45 6 0	445.0 39 2.822	0,402 12 0,536 17	0,402 12 0,536 17	3,75 7,10	00813	- 19.21 8 0	193.1 86 2.854	0,402 12 0,536 17	0,402 12 0,536 17	5,11 7,10	00814	- 19.48 4 0	11.84 9 2.935	0,402 12 0,536 17	0,402 12 0,536 17	6,93 7,10
S	S		31.56	505.5	1,608	1,608	3,66		27.29	510.8	1,608	1,608	3,67		23.50	491.2	1,608	1,608	3,64



Platee - Verifiche pressoflessione retta allo SLU

Dir	Pos	Nodo	N _{Ed} [N]	M _{Ed} [N-m]	A _s [cm ² /cm]	A _{df} [cm ² /cm]	CS	Nodo	N _{Ed} [N]	M _{Ed} [N-m]	A _s [cm ² /cm]	A _{df} [cm ² /cm]	CS	Nodo	N _{Ed} [N]	M _{Ed} [N-m]	A _s [cm ² /cm]	A _{df} [cm ² /cm]	CS
	I		4 0	19 3.229	50 0,804 25	50 0,804 25	3,04		9 0	92 3.276	50 0,804 25	50 0,804 25	3,04		8 0	67 3.261	50 0,804 25	50 0,804 25	3,04
P	S	00815	0	0	0,402 12	0,402 12	-	00816	0	0	0,402 12	0,402 12	-	00817	0	0	0,402 12	0,402 12	-
	I		- 18.85 5	101.7 84	0,536 17	0,536 17	8,92		- 17.79 9	160.0 84	0,536 17	0,536 17	10,4 6		- 18.14 4	177.1 31	0,536 17	0,536 17	11,01
S	S		18.32 7 0	455.4 51	1,608 50 0,804 25	1,608 50 0,804 25	3,59 3,04		11.63 2 0	413.0 52	1,608 50 0,804 25	1,608 50 0,804 25	3,53 3,04		4.352 0	371.2 11	1,608 50 0,804 25	1,608 50 0,804 25	3,48 3,04
P	S	00818	0	0	0,402 12	0,402 12	-	00819	0	0	0,402 12	0,402 12	-	00820	0	0	0,402 12	0,402 12	-
	I		- 17.81 1	166.6 53	0,536 17	0,536 17	10,6 6		14.55 2	134.5 69	0,536 17	0,536 17	9,64		-6.199	240.2 17	0,536 17	0,536 17	13,66
S	S		- 12.05 5 0	334.6 32	1,608 50 0,804 25	1,608 50 0,804 25	3,43 3,04		- 32.64 1 0	306.4 71	1,608 50 0,804 25	1,608 50 0,804 25	3,41 3,04		- 40.33 7 0	297.1 45	1,608 50 0,804 25	1,608 50 0,804 25	3,40 3,04
P	S	00821	0	0	0,402 12	0,402 12	-	00822	0	0	0,402 12	0,402 12	-	00823	0	0	0,402 12	0,402 12	-
	I		- 13.11 4	274.9 47	0,536 17	0,536 17	15,8 2		- 15.76 6	301.2 37	0,536 17	0,536 17	17,9 4		- 19.74 4	312.7 43	0,536 17	0,536 17	19,08
S	S		- 22.64 2 0	344.6 82	1,608 50 0,804 25	1,608 50 0,804 25	3,45 3,04		-5.778 0	399.3 09	1,608 50 0,804 25	1,608 50 0,804 25	3,52 3,04		10.70 0	454.8 97	1,608 50 0,804 25	1,608 50 0,804 25	3,59 3,04
P	S	00824	0	0	0,402 12	0,402 12	-	00825	0	0	0,402 12	0,402 12	-	00826	0	0	0,402 12	0,402 12	-
	I		- 24.12 7	296.6 44	0,536 17	0,536 17	17,5 8		- 25.41 7	236.8 21	0,536 17	0,536 17	13,5 6		- 25.00 9	117.8 15	0,536 17	0,536 17	9,31
S	S		25.51 2 0	505.3 32	1,608 50 0,804 25	1,608 50 0,804 25	3,66 3,04		34.70 0 0	540.4 56	1,608 50 0,804 25	1,608 50 0,804 25	3,71 3,04		39.26 7 0	548.3 01	1,608 50 0,804 25	1,608 50 0,804 25	3,72 3,04
P	S	00827	- 27.03 3 0	69.20 3	0,402 12	0,402 12	6,24	00828	- 31.22 0	319.2 01	0,402 12	0,402 12	4,34	00829	- 35.77 9	603.6 06	0,402 12	0,402 12	3,22
	I		0	2.891	0,536 17	0,536 17	7,10		0	2.863	0,536 17	0,536 17	7,10		0	2.754	0,536 17	0,536 17	7,10
S	S		44.17 5 0	518.5 93	1,608 50 0,804 25	1,608 50 0,804 25	3,67 3,04		50.95 6 0	447.7 09	1,608 50 0,804 25	1,608 50 0,804 25	3,56 3,04		57.68 9 0	344.7 44	1,608 50 0,804 25	1,608 50 0,804 25	3,42 3,04
P	S	00830	- 38.84 2 0	866.1 21	0,402 12	0,402 12	2,60	00831	- 38.99 4	1.034. 991	0,402 12	0,402 12	2,32	00832	36.00 6	1.059. 815	0,402 12	0,402 12	2,28
	I		0	2.633	0,536 17	0,536 17	7,10		0	2.579	0,536 17	0,536 17	7,10		0	2.638	0,536 17	0,536 17	7,10
S	S		61.85 9 0	234.1 62	1,608 50 0,804 25	1,608 50 0,804 25	3,28 3,04		61.60 5 0	149.4 61	1,608 50 0,804 25	1,608 50 0,804 25	3,18 3,04		56.61 8 0	115.5 57	1,608 50 0,804 25	1,608 50 0,804 25	3,14 3,04
P	S	00833	- 31.07 7 0	945.8 43	0,402 12	0,402 12	2,46	00834	- 26.13 7	743.1 01	0,402 12	0,402 12	2,85	00835	22.77 7	510.6 42	0,402 12	0,402 12	3,51
	I		0	2.761	0,536 17	0,536 17	7,10		0	2.861	0,536 17	0,536 17	7,10		0	2.874	0,536 17	0,536 17	7,10
S	S		48.40 9 0	132.9 79	1,608 50 0,804 25	1,608 50 0,804 25	3,17 3,04		39.66 8 0	181.9 60	1,608 50 0,804 25	1,608 50 0,804 25	3,22 3,04		32.99 8 0	238.4 49	1,608 50 0,804 25	1,608 50 0,804 25	3,29 3,04
P	S	00836	- 21.87 7 0	293.9 16	0,402 12	0,402 12	4,47	00837	- 23.07 4	118.9 69	0,402 12	0,402 12	5,73	00838	0	0	0,402 12	0,402 12	-
	I		0	2.780	0,536 17	0,536 17	7,10		0	2.673	0,536 17	0,536 17	7,10		- 22.78 7	4.396	0,536 17	0,536 17	7,17
S	S		29.80 0	285.2 05	1,608 50	1,608 50	3,35		28.53 3	314.5 76	1,608 50	1,608 50	3,39		24.55 9	326.3 55	1,608 50	1,608 50	3,41



REGIONE BASILICATA - PROVINCIA DI MATERA - COMUNE DI FERRANDINA
PROGETTO DEFINITIVO
Parco Eolico "Montagnola"
Relazione preliminare sulle strutture

Platee - Verifiche pressoflessione retta allo SLU

Dir	Pos	Nodo	N _{Ed} [N]	M _{Ed} [N-m]	A _S [cm ² /cm]	A _{df} [cm ² /cm]	CS	Nodo	N _{Ed} [N]	M _{Ed} [N-m]	A _S [cm ² /cm]	A _{df} [cm ² /cm]	CS	Nodo	N _{Ed} [N]	M _{Ed} [N-m]	A _S [cm ² /cm]	A _{df} [cm ² /cm]	CS
	I		0	3.278	0,804 25	0,804 25	3,04		0	3.337	0,804 25	0,804 25	3,04		0	3.302	0,804 25	0,804 25	3,04
P	S	00839	0	0	0,402 12	0,402 12	-	00840	0	0	0,402 12	0,402 12	-	00841	0	0	0,402 12	0,402 12	-
	I		- 19.74 8	80.02 5	0,536 17	0,536 17	8,46		- 17.25 2	116.3 17	0,536 17	0,536 17	9,26		- 14.43 0	123.3 74	0,536 17	0,536 17	9,42
S	S		15.77 9	325.3 39	1,608 50	1,608 50	3,41		5.082	316.6 71	1,608 50	1,608 50	3,40		-7.802	303.6 92	1,608 50	1,608 50	3,39
	I		0	3.114	0,804 25	0,804 25	3,04		0	2.855	0,804 25	0,804 25	3,04		0	2.710	0,804 25	0,804 25	3,04
P	S	00842	0	0	0,402 12	0,402 12	-	00843	0	0	0,402 12	0,402 12	-	00844	0	0	0,402 12	0,402 12	-
	I		-8.224	98.99 3	0,536 17	0,536 17	8,83		- 23.35 5	222.8 01	0,536 17	0,536 17	12,8 6		- 23.21 3	241.7 35	0,536 17	0,536 17	13,81
S	S		- 20.14 6	285.8 40	1,608 50	1,608 50	3,37		- 32.79 5	301.2 08	1,608 50	1,608 50	3,40		- 17.59 0	322.0 55	1,608 50	1,608 50	3,42
	I		0	1.945	0,804 25	0,804 25	3,04		0	2.320	0,804 25	0,804 25	3,04		0	2.694	0,804 25	0,804 25	3,04
P	S	00845	0	0	0,402 12	0,402 12	-	00846	0	0	0,402 12	0,402 12	-	00847	0	0	0,402 12	0,402 12	-
	I		- 24.83 3	248.3 03	0,536 17	0,536 17	14,1 8		- 29.81 4	237.6 08	0,536 17	0,536 17	13,6 1		- 33.25 1	198.1 36	0,536 17	0,536 17	11,83
S	S		2.247	357.1 11	1,608 50	1,608 50	3,46		23.38 4	380.2 42	1,608 50	1,608 50	3,48		37.92 8	390.8 58	1,608 50	1,608 50	3,49
	I		0	2.985	0,804 25	0,804 25	3,04		0	3.165	0,804 25	0,804 25	3,04		0	3.241	0,804 25	0,804 25	3,04
P	S	00848	0	0	0,402 12	0,402 12	-	00849	- 26.44 4	11.37 9	0,402 12	0,402 12	6,95	00850	- 29.53 2	184.6 63	0,402 12	0,402 12	5,19
	I		- 27.44 5	116.8 94	0,536 17	0,536 17	9,29		0	2.920	0,536 17	0,536 17	7,10		0	3.037	0,536 17	0,536 17	7,10
S	S		37.20 5	380.5 64	1,608 50	1,608 50	3,48		35.72 9	343.6 63	1,608 50	1,608 50	3,43		39.60 0	278.2 23	1,608 50	1,608 50	3,34
	I		0	3.135	0,804 25	0,804 25	3,04		0	3.086	0,804 25	0,804 25	3,04		0	3.139	0,804 25	0,804 25	3,04
P	S	00851	- 34.09 9	387.9 50	0,402 12	0,402 12	4,01	00852	- 38.50 9	589.7 61	0,402 12	0,402 12	3,27	00853	- 40.97 8	746.5 18	0,402 12	0,402 12	2,86
	I		0	2.954	0,536 17	0,536 17	7,10		0	2.774	0,536 17	0,536 17	7,10		0	2.616	0,536 17	0,536 17	7,10
S	S		46.21 9	189.6 53	1,608 50	1,608 50	3,23		52.78 6	92.93 3	1,608 50	1,608 50	3,12		56.34 6	10.02 3	1,608 50	1,608 50	3,03
	I		0	3.255	0,804 25	0,804 25	3,04		0	3.377	0,804 25	0,804 25	3,04		0	3.459	0,804 25	0,804 25	3,04
P	S	00854	- 39.89 1	818.1 49	0,402 12	0,402 12	2,70	00855	- 35.58 0	789.6 48	0,402 12	0,402 12	2,76	00856	- 30.28 6	678.3 66	0,402 12	0,402 12	3,01
	I		0	2.621	0,536 17	0,536 17	7,10		0	2.787	0,536 17	0,536 17	7,10		0	2.961	0,536 17	0,536 17	7,10
S	S		0	0	1,608 50	1,608 50	-		0	0	1,608 50	1,608 50	-		0	0	1,608 50	1,608 50	-
	I		54.70 6	38.26 6	0,804 25	0,804 25	2,98		48.13 3	42.77 8	0,804 25	0,804 25	2,98		39.44 8	9.812	0,804 25	0,804 25	3,02
P	S	00857	- 25.96 0	520.1 25	0,402 12	0,402 12	3,48	00858	- 23.60 2	351.3 90	0,402 12	0,402 12	4,17	00859	- 24.32 2	199.2 07	0,402 12	0,402 12	5,08
	I		0	3.019	0,536 17	0,536 17	7,10		0	2.862	0,536 17	0,536 17	7,10		0	2.513	0,536 17	0,536 17	7,10
S	S		32.04 4	44.98 0	1,608 50	1,608 50	3,08		28.45 6	105.4 11	1,608 50	1,608 50	3,14		30.41 9	160.1 19	1,608 50	1,608 50	3,20
	I		0	3.100	0,804 25	0,804 25	3,04		0	3.070	0,804 25	0,804 25	3,04		0	3.147	0,804 25	0,804 25	3,04
P	S	00860	- 27.96 9	80.16 2	0,402 12	0,402 12	6,13	00861	0	0	0,402 12	0,402 12	-	00862	0	0	0,402 12	0,402 12	-
	I		0	2.227	0,536 17	0,536 17	7,09		0	2.429	0,536 17	0,536 17	7,09		- 17.25 7	50.23 7	0,536 17	0,536 17	7,89
S	S		33.43 5	202.9 93	1,608 50	1,608 50	3,25		23.39 0	232.4 07	1,608 50	1,608 50	3,29		8.345	251.8 27	1,608 50	1,608 50	3,32
	I		0	3.234	0,804 25	0,804 25	3,04		0	3.182	0,804 25	0,804 25	3,04		0	3.089	0,804 25	0,804 25	3,04



Platee - Verifiche pressoflessione retta allo SLU

Dir	Pos	Nodo	NEd	MEd	As	Adf	CS	Nodo	NEd	MEd	As	Adf	CS	Nodo	NEd	MEd	As	Adf	CS		
			[N]	[N·m]	[cm²/cm]	[cm²/cm]					[N]	[N·m]	[cm²/cm]	[cm²/cm]		[N]	[N·m]	[cm²/cm]	[cm²/cm]		
P	S	00863	0	0	0,402	0,402	-	00864	0	0	0,402	0,402	-	00865	0	0	0,402	0,402	-		
	I		-	72.39	0,536	0,536	8,29		-	12	12	12	12		8,35	-	12	12	12	12	11,35
			14.63	7	17	17			12	6	17	17			31.66	185.6	0,536	0,536			
			6						2						9	09	17	17			
S	S		-5.394	259.1	1,608	1,608	3,33		-	273.5	1,608	1,608	3,36		-	287.1	1,608	1,608	3,38		
	I		0	70	50	50	3,04		0	2.324	0,804	0,804	3,04		0	2.255	0,804	0,804	0,804	25	25
				25	25	25			25	25	25	25									
P	S	00866	0	0	0,402	0,402	-	00867	0	0	0,402	0,402	-	00868	0	0	0,402	0,402	-		
	I		-	192.7	0,536	0,536	11,6		-	12	12	12	12		11,3	-	12	12	12	12	10,53
			29.73	41	17	17			17	57	17	17			41.93	160.2	0,536	0,536			
			1						7						8	65	17	17			
S	S		-	295.5	1,608	1,608	3,38		-	303.7	1,608	1,608	3,38		-	298.8	1,608	1,608	3,36		
	I		11.16	58	50	50	3,04		12.69	04	50	50	3,04		46.67	298.8	54	50	50	50	3,04
			0	2.738	0,804	0,804		0	2.610	0,804	0,804		0	2.826	0,804	0,804	0,804	25	25		
				25	25	25			25	25	25	25									
P	S	00869	0	0	0,402	0,402	-	00870	0	0	0,402	0,402	-	00871	-	103.3	0,402	0,402	-		
	I		-	105.7	0,536	0,536	9,03		-	12	12	12	12		7,36	27.74	03	12	12	5,89	
			28.79	33	17	17			7	17	17			6	3.185	0,536	0,536				
			1						7					0	17	17	17	7,11			
S	S		42.61	278.9	1,608	1,608	3,34		28.27	240.6	1,608	1,608	3,30		28.42	181.0	1,608	1,608	3,23		
	I		7	20	50	50	3,04		2	44	50	50	3,04		0	70	50	50	50	3,04	
			0	2.674	0,804	0,804		0	2.621	0,804	0,804		0	2.802	0,804	0,804	0,804	25	25		
				25	25	25			25	25	25	25									
P	S	00872	-	248.6	0,402	0,402	4,75	00873	-	400.4	0,402	0,402	3,95	00874	-	532.3	0,402	0,402	3,45		
	I		32.43	42	12	12	7,11		37.45	43	12	12	7,10		42.26	77	12	12	7,10	7,10	
			1						7					2	2.651	0,536	0,536				
			0	3.184	0,536	0,536		0	2.954	0,536	0,536		0	17	17	17	17	7,10			
S	S		34.16	104.0	1,608	1,608	3,14		42.45	19.81	1,608	1,608	3,04		0	1,608	1,608	1,608	-		
	I		0	82	50	50	3,04		1	8	50	50	3,04		50.58	57.13	0,804	0,804	0,804	0,804	25
			0	3.034	0,804	0,804		0	3.241	0,804	0,804		3	3	25	25	25	25			
				25	25	25			25	25	25	25									
P	S	00875	-	616.5	0,402	0,402	3,19	00876	-	634.6	0,402	0,402	3,14	00877	-	587.1	0,402	0,402	3,27		
	I		44.08	56	12	12	7,10		40.27	54	12	12	7,10		34.30	36	12	12	7,10	7,10	
			0	2.473	0,536	0,536		0	2.667	0,536	0,536		0	2.981	0,536	0,536	0,536	17	17	7,10	
S	S		0	0	1,608	1,608	-		0	0	1,608	1,608	-		0	0	1,608	1,608	-		
	I		53.79	111.1	0,804	0,804	2,91		48.80	131.2	0,804	0,804	2,89		39.03	116.3	0,804	0,804	0,804	0,804	25
			8	07	25	25		4	65	25	25		7	63	25	25	25	25			
P	S	00878	-	491.2	0,402	0,402	3,58	00879	-	371.7	0,402	0,402	4,07	00880	-	251.0	0,402	0,402	4,73		
	I		29.53	11	12	12	7,11		26.27	22	12	12	7,10		24.89	90	12	12	7,10	7,10	
			0	3.191	0,536	0,536		0	3.143	0,536	0,536		0	2.617	0,536	0,536	0,536	17	17	7,10	
S	S		0	0	1,608	1,608	-		0	0	1,608	1,608	-		0	0	1,608	1,608	-		
	I		29.98	74.07	0,804	0,804	2,95		24.53	16.75	0,804	0,804	3,01		25.22	43.63	0,804	0,804	0,804	0,804	25
			7	7	25	25		8	7	25	25		8	2	25	25	25	25			
				25	25	25			7	25	25		0	2.567							
P	S	00881	-	144.1	0,402	0,402	5,52	00882	-	69.10	0,402	0,402	6,25	00883	-	10.15	0,402	0,402	6,95		
	I		28.96	52	12	12	7,09		26.77	1	12	12	7,08		15.14	0	12	12	7,09	7,09	
			0	1.812	0,536	0,536		0	1.619	0,536	0,536		0	2.338	0,536	0,536	0,536	17	17	7,09	
S	S		39.22	101.0	1,608	1,608	3,13		39.74	150.1	1,608	1,608	3,19		11.90	187.4	1,608	1,608	3,24		
	I		4	20	50	50	3,04		6	27	50	50	3,04		6	87	50	50	50	50	3,04
			0	2.739	0,804	0,804		0	2.783	0,804	0,804		0	2.631	0,804	0,804	0,804	25	25		
				25	25	25			25	25	25										
P	S	00884	0	0	0,402	0,402	-	00885	0	0	0,402	0,402	-	00886	0	0	0,402	0,402	-		
	I		-	19.54	0,536	0,536	7,38		-	12	12	12	12		7,46	-	12	12	12	12	9,93
			14.79	7	17	17			7	17	17			34.62	140.6	0,536	0,536				
			4						7					2	04	17	17	17			
S	S		-2.256	223.9	1,608	1,608	3,29		-	238.1	1,608	1,608	3,31		-5.838	259.8	1,608	1,608	3,34		
	I		0	55	50	50	3,04		11.45	28	50	50	3,04		0	16	50	50	50	50	3,04
				2.893	0,804	0,804		0	2.462	0,804	0,804		0	1.935	0,804	0,804	0,804	0,804	25	25	
				25	25	25			25	25	25	25									



REGIONE BASILICATA - PROVINCIA DI MATERA - COMUNE DI FERRANDINA
PROGETTO DEFINITIVO
Parco Eolico "Montagnola"
Relazione preliminare sulle strutture

Platee - Verifiche pressoflessione retta allo SLU

Dir	Pos	Nodo	NEd	MEd	AS	Adf	CS	Nodo	NEd	MEd	AS	Adf	CS	Nodo	NEd	MEd	AS	Adf	CS
			[N]	[N-m]	[cm²/cm]	[cm²/cm]			[N]	[N-m]	[cm²/cm]	[cm²/cm]			[N]	[N-m]	[cm²/cm]	[cm²/cm]	
P	S	00887	0	0	0,402 12	0,402 12	-	00888	0	173	0,402 12	0,402 12	7,06	00889	0	0	0,402 12	0,402 12	-
I	-		48,60 0	118,2 95	0,536 17	0,536 17	9,38		-	40,56 8	91,17 9	0,536 17	0,536 17		8,74	-	19,14 6	27,38 2	0,536 17
S	S	00890	37,06 5	245,8 23	1,608 50	1,608 50	3,30	00891	51,27 2	229,5 94	1,608 50	1,608 50	3,28	00892	19,63 8	190,1 84	1,608 50	1,608 50	3,24
I	0		1,384	0,804 25	0,804 25	3,04	0		953	0,804 25	0,804 25	3,04	0		1,609	0,804 25	0,804 25	3,04	
P	S	00893	-	57,36 9	0,402 12	0,402 12	6,38	00894	-	161,4 30	0,402 12	0,402 12	5,38	00895	-	274,7 97	0,402 12	0,402 12	4,60
I	0		3,255	0,536 17	0,536 17	7,11	0		3,438	0,536 17	0,536 17	7,11	0		3,185	0,536 17	0,536 17	7,11	
S	S	00896	17,22 8	135,9 29	1,608 50	1,608 50	3,18	00897	21,75 7	69,14 1	1,608 50	1,608 50	3,10	00898	0	0	1,608 50	1,608 50	-
I	0		2,257	0,804 25	0,804 25	3,04	0		2,649	0,804 25	0,804 25	3,04	29,88 9		4,193	0,804 25	0,804 25	3,02	
P	S	00893	-	380,6 17	0,402 12	0,402 12	4,05	00894	-	460,6 37	0,402 12	0,402 12	3,72	00895	-	499,6 36	0,402 12	0,402 12	3,57
I	0		2,767	0,536 17	0,536 17	7,10	0		2,242	0,536 17	0,536 17	7,09	0		2,258	0,536 17	0,536 17	7,09	
S	S	00896	0	0	1,608 50	1,608 50	-	00897	0	0	1,608 50	1,608 50	-	00898	0	0	1,608 50	1,608 50	-
I	41,61 5		73,75 3	0,804 25	0,804 25	2,95	53,75 5		127,9 78	0,804 25	0,804 25	2,89	53,18 1		157,2 01	0,804 25	0,804 25	2,87	
P	S	00896	-	491,7 24	0,402 12	0,402 12	3,59	00897	-	442,1 94	0,402 12	0,402 12	3,77	00898	-	364,6 87	0,402 12	0,402 12	4,11
I	37,64 3		2,809	0,536 17	0,536 17	7,10	32,95 3		3,227	0,536 17	0,536 17	7,11	30,45 8		3,439	0,536 17	0,536 17	7,11	
S	S	00899	0	0	1,608 50	1,608 50	-	00900	0	0	1,608 50	1,608 50	-	00901	0	0	1,608 50	1,608 50	-
I	39,86 7		157,1 85	0,804 25	0,804 25	2,87	27,67 6		129,9 72	0,804 25	0,804 25	2,90	20,18 2		82,69 7	0,804 25	0,804 25	2,95	
P	S	00899	-	276,8 00	0,402 12	0,402 12	4,57	00900	-	188,8 68	0,402 12	0,402 12	5,17	00901	-	113,7 17	0,402 12	0,402 12	5,79
I	28,86 2		3,190	0,536 17	0,536 17	7,11	37,07 6		2,198	0,536 17	0,536 17	7,09	24,67 1		0	0,536 17	0,536 17	-	
S	S	00902	0	0	1,608 50	1,608 50	-	00903	32,79 5	36,93 3	1,608 50	1,608 50	3,07	00904	53,67 0	89,68 9	1,608 50	1,608 50	3,12
I	17,16 3		24,79 8	0,804 25	0,804 25	3,01	0		1,339	0,804 25	0,804 25	3,04	0		1,215	0,804 25	0,804 25	3,04	
P	S	00902	-	81,02 2	0,402 12	0,402 12	6,10	00903	-	43,37 4	0,402 12	0,402 12	6,51	00904	-	0	0,402 12	0,402 12	-
I	14,10 5		1,612	0,536 17	0,536 17	7,08	11,31 8		2,101	0,536 17	0,536 17	7,09	37,75 9		103,5 92	0,536 17	0,536 17	9,01	
S	S	00905	26,75 1	128,3 99	1,608 50	1,608 50	3,17	00906	-370	182,5 57	1,608 50	1,608 50	3,24	00907	1,829	234,6 04	1,608 50	1,608 50	3,30
I	0		1,688	0,804 25	0,804 25	3,04	0		1,856	0,804 25	0,804 25	3,04	0		611	0,804 25	0,804 25	3,04	
P	S	00905	0	680	0,402 12	0,402 12	7,05	00906	0	0	0,402 12	0,402 12	-	00907	-	34,29 9	0,402 12	0,402 12	6,66
I	-		47,05 2	0,536 17	0,536 17	7,84	-		24,16 2	0,536 17	0,536 17	7,44	30,44 5		3,184	0,536 17	0,536 17	7,11	
S	S	00908	-7,098	212,9 41	1,608 50	1,608 50	3,28	00909	-	178,9 73	1,608 50	1,608 50	3,24	00910	6,073	126,1 77	1,608 50	1,608 50	3,17
I	0		310	0,804 25	0,804 25	3,04	13,01 8		710	0,804 25	0,804 25	3,04	0		1,713	0,804 25	0,804 25	3,04	
P	S	00908	-	109,2 97	0,402 12	0,402 12	5,85	00909	-	194,5 74	0,402 12	0,402 12	5,13	00910	-	277,0 34	0,402 12	0,402 12	4,59
I	36,30 9		3,591	0,536 17	0,536 17	7,11	39,75 4		3,492	0,536 17	0,536 17	7,11	42,34 7		2,988	0,536 17	0,536 17	7,10	
S	S	00909	10,19 9	68,88 4	1,608 50	1,608 50	3,11	00910	16,84 6	5,851	1,608 50	1,608 50	3,04	00911	0	0	1,608 50	1,608 50	-
I	0		2,281	0,804 25	0,804 25	3,04	0		2,492	0,804 25	0,804 25	3,04	27,56 9		55,72 7	0,804 25	0,804 25	2,97	



Platee - Verifiche pressoflessione retta allo SLU

Dir	Pos	Nodo	N _{Ed} [N]	M _{Ed} [N-m]	A _s [cm ² /cm]	A _{df} [cm ² /cm]	CS	Nodo	N _{Ed} [N]	M _{Ed} [N-m]	A _s [cm ² /cm]	A _{df} [cm ² /cm]	CS	Nodo	N _{Ed} [N]	M _{Ed} [N-m]	A _s [cm ² /cm]	A _{df} [cm ² /cm]	CS
P	S	00911	-	346.0	0,402	0,402	4,22	00912	-	392.1	0,402	0,402	4,01	00913	-	405.8	0,402	0,402	3,93
			46.14	46	12	12			56.45	36	12	12			37.38	92	12	12	
			9	2.257	0,536	0,536			9	1.358	0,536	0,536			7	2.288	0,536	0,536	
S	S	0	0	0	1,608	1,608	-	0	0	0	1,608	1,608	-	0	0	0	1,608	1,608	-
			46.36	107.3	0,804	0,804			67.81	141.6	0,804	0,804			43.13	152.0	0,804	0,804	
			3	79	25	25			5	87	25	25			3	76	25	25	
P	S	00914	-	387.3	0,402	0,402	4,01	00915	-	342.8	0,402	0,402	4,22	00916	-	282.9	0,402	0,402	4,55
			34.80	11	12	12			34.67	09	12	12			34.96	57	12	12	
			8	3.089	0,536	0,536			5	3.517	0,536	0,536			9	3.582	0,536	0,536	
S	S	0	0	0	1,608	1,608	-	0	0	0	1,608	1,608	-	0	0	0	1,608	1,608	-
			25.04	137.5	0,804	0,804			15.92	103.2	0,804	0,804			10.59	54.78	0,804	0,804	
			2	84	25	25			7	11	25	25			2	9	25	25	
P	S	00917	-	220.0	0,402	0,402	4,94	00918	-	163.5	0,402	0,402	5,36	00919	-	132.6	0,402	0,402	5,58
			35.57	18	12	12			30.40	90	12	12			-3.965	53	12	12	
			7	3.069	0,536	0,536			4	718	0,536	0,536			0	0	0,536	0,536	
S	S	0	0	0	1,608	1,608	-	-9.024	64.78	1,608	1,608	3,11	-22.95	113.6	1,608	1,608	3,17		
			50	50	50	50			4	04	50			50					
			0	1.579	0,804	0,804			0	690	0,804			0,804	0	192		0,804	0,804
P	S	00920	0	0	0,402	0,402	-	00921	-	25.89	0,402	0,402	6,79	00922	-	80.85	0,402	0,402	6,15
			-1.799	21.77	0,536	0,536			43.67	9	12	12			47.69	0	12	12	
			1	17	17	17			0	2.395	0,536	0,536			7	3.345	0,536	0,536	
S	S	-17.68	185.7	1,608	1,608	3,25	-8.304	138.4	1,608	1,608	3,19	-27	90.72	1,608	1,608	3,14			
			55	50	50			85	50	50			0	50	50				
			0	861	0,804			0,804	0	1.582			0,804	0,804	0		2.104	0,804	0,804
P	S	00923	-	142.8	0,402	0,402	5,56	00924	-	204.3	0,402	0,402	5,07	00925	-	269.0	0,402	0,402	4,65
			48.77	11	12	12			49.26	33	12	12			49.37	64	12	12	
			5	3.920	0,536	0,536			1	3.123	0,536	0,536			2	2.687	0,536	0,536	
S	S	5.345	36.67	1,608	1,608	3,08	0	1,608	1,608	-	0	0	1,608	1,608	-				
			4	50	50			50	50			50	50	50					
			0	2.218	0,804			0,804	12.18			17.52	0,804	0,804		26.37	65.15	0,804	0,804
P	S	00926	-	315.8	0,402	0,402	4,39	00927	-	343.5	0,402	0,402	4,24	00928	-	335.0	0,402	0,402	4,26
			61.66	24	12	12			56.02	01	12	12			34.66	40	12	12	
			3	608	0,536	0,536			3	1.115	0,536	0,536			7	2.866	0,536	0,536	
S	S	0	0	0	1,608	1,608	-	0	0	1,608	1,608	-	0	0	0	1,608	1,608	-	
			72.71	105.9	0,804	0,804			40.07	120.9	0,804			0,804	21.19	111.2	0,804		0,804
			6	82	25	25			2	83	25			25	8	93	25		25
P	S	00929	-	309.1	0,402	0,402	4,40	00930	-	273.9	0,402	0,402	4,61	00931	-	233.3	0,402	0,402	4,86
			38.46	95	12	12			41.67	38	12	12			42.54	29	12	12	
			4	3.241	0,536	0,536			3	3.925	0,536	0,536			2	3.358	0,536	0,536	
S	S	0	0	0	1,608	1,608	-	0	0	1,608	1,608	-	0	0	0	1,608	1,608	-	
			10.90	90.17	0,804	0,804			5.288	52.61	0,804			0,804	1.559	8.924	0,804		0,804
			4	1	25	25			6	25	25			25	25	25	25		25
P	S	00932	-	186.4	0,402	0,402	5,19	00933	-	114.2	0,402	0,402	5,84	00934	-	169.1	0,402	0,402	5,36
			40.11	49	12	12			62.53	59	12	12			62.94	56	12	12	
			7	2.130	0,536	0,536			5	3.470	0,536	0,536			2	3.384	0,536	0,536	
S	S	-12.19	41.70	1,608	1,608	3,09	-2.314	63.81	1,608	1,608	3,11	1.356	30.34	1,608	1,608	3,07			
			8	50	50			50	3	50			50	50	6		50	50	
			0	1.417	0,804			0,804	0	1.463			0,804	0,804	0		1.615	0,804	0,804
P	S	00935	-	220.1	0,402	0,402	4,97	00936	-	256.4	0,402	0,402	4,72	00937	-2.619	291.8	0,402	0,402	4,45



Platee - Verifiche pressoflessione retta allo SLU

Dir	Pos	Nodo	N _{Ed} [N]	M _{Ed} [N-m]	A _s [cm ² /cm]	A _{df} [cm ² /cm]	CS	Nodo	N _{Ed} [N]	M _{Ed} [N-m]	A _s [cm ² /cm]	A _{df} [cm ² /cm]	CS	Nodo	N _{Ed} [N]	M _{Ed} [N-m]	A _s [cm ² /cm]	A _{df} [cm ² /cm]	CS
			57.71 9	07	12	12			50.81 2	47	12	12				91	12	12	
	I		0	2.929	0,536 17	0,536 17	7,10		0	1.691	0,536 17	0,536 17	7,08		0	0	0,536 17	0,536 17	-
S	S		0	0	1,608 50	1,608 50	-		0	0	1,608 50	1,608 50	-		0	0	1,608 50	1,608 50	-
	I		10.43 1	12.17 6	0,804 25	0,804 25	3,02		32.08 8	49.47 3	0,804 25	0,804 25	2,98		11.15 7	38.18 4	0,804 25	0,804 25	3,00
P	S	00938	- 30.65 7	295.3 40	0,402 12	0,402 12	4,47	00939	- 42.53 0	292.7 42	0,402 12	0,402 12	4,50	00940	- 49.74 6	272.2 56	0,402 12	0,402 12	4,63
	I		0	1.727	0,536 17	0,536 17	7,08		0	2.885	0,536 17	0,536 17	7,10		0	3.592	0,536 17	0,536 17	7,11
S	S		0	0	1,608 50	1,608 50	-		0	0	1,608 50	1,608 50	-		0	0	1,608 50	1,608 50	-
	I		17.76 1	66.01 1	0,804 25	0,804 25	2,97		6.388	58.53 6	0,804 25	0,804 25	2,98		1.093	30.18 8	0,804 25	0,804 25	3,01
P	S	00941	- 50.48 1	231.8 65	0,402 12	0,402 12	4,88												
	I		0	3.360	0,536 17	0,536 17	7,11												
S	S		-1.531 0	1.050	1,608 50	1,608 50	3,04												
	I		0	1.298	0,804 25	0,804 25	3,04												

LEGENDA:

- Dir Direzione [P] = principale (asse locale 1) - [S] = secondaria (asse locale 2).
 Pos Posizione [S] = superiore - [I] = inferiore.
 A_s Area delle armature esecutive per unità di lunghezza.
 A_{df} Armatura disponibile per la flessione
 CS **Coefficiente di sicurezza** ([NS] = **Non Significativo se CS ≥ 100**; [VNR]= **Verifica Non Richiesta**; Informazioni aggiuntive sulla condizione: [V] = statica; [E] = eccezionale; [S] = sismica; [N] = sismica non lineare).
 N_{Ed}, M_{Ed} Sollecitazioni di progetto.

MODELLO FER A4, FER A6

Platee - Verifiche pressoflessione retta allo SLU

Dir	Pos	Nodo	N _{Ed} [N]	M _{Ed} [N-m]	A _s [cm ² /cm]	A _{df} [cm ² /cm]	CS	Nodo	N _{Ed} [N]	M _{Ed} [N-m]	A _s [cm ² /cm]	A _{df} [cm ² /cm]	CS	Nodo	N _{Ed} [N]	M _{Ed} [N-m]	A _s [cm ² /cm]	A _{df} [cm ² /cm]	CS
Platea 1																			
P	S	00002	211.4 01	21.78 4.702	4,423 36	4,423 36	1,57	00003	0	10.17 9	0,402 12	0,402 12	6,92	00004	6.090	237.6 73	0,402 12	0,402 12	4,85
	I		0	31.53 4	4,557 41	4,557 41	71,5 3		54.57 6	664.6 83	0,536 17	0,536 17	25,9 8		0	0	0,536 17	0,536 17	-
S	S		0	0	8,846 73	8,846 73	-		- 48.42 8	174.0 86	0,804 25	0,804 25	36,5 9		0	7.587	0,804 25	0,804 25	NS
	I		- 161.2 19	10.02 4.184	8,846 73	8,846 73	6,92		0	0	0,804 25	0,804 25	-		-9.139	690.9 78	0,804 25	0,804 25	9,16
P	S	00005	0	17.71 1	0,402 12	0,402 12	6,83	00006	0	12.68 2	0,402 12	0,402 12	6,89	00007	- 59.95 2	368.7 86	0,402 12	0,402 12	4,21
	I		-8.546	1.114	0,536 17	0,536 17	7,09		- 37.38 2	183.9 71	0,536 17	0,536 17	10,9 8		0	0	0,536 17	0,536 17	-
S	S		0	10.86 2	0,804 25	0,804 25	NS		17.92 2	355.8 15	0,804 25	0,804 25	17,7 2		0	21.74 2	0,804 25	0,804 25	NS
	I		23.15 7	47.94 0	0,804 25	0,804 25	NS		0	0	0,804 25	0,804 25	-		8.596	68.96 5	0,804 25	0,804 25	91,54
P	S	00008	0	9.863	0,402 12	0,402 12	6,93	00009	8.046	76.10 3	0,402 12	0,402 12	6,15	00010	0	20.45 8	0,402 12	0,402 12	6,79
	I		29.41 7	51.86 6	0,536 17	0,536 17	7,77		0	0	0,536 17	0,536 17	-		- 10.87 1	279.0 46	0,536 17	0,536 17	15,13
S	S		0	16.97 2	0,804 25	0,804 25	NS		0	10.33 0	0,804 25	0,804 25	NS		-1.864	463.2 76	0,804 25	0,804 25	13,65
	I		-4.069	367.1 66	0,804 25	0,804 25	17,2 3		- 21.30 6	357.6 48	0,804 25	0,804 25	17,7 4		0	0	0,804 25	0,804 25	-
P	S	00011	0	11.63 9	0,402 12	0,402 12	6,90	00012	-6.779	385.9 35	0,402 12	0,402 12	4,07	00013	0	20.13 2	0,402 12	0,402 12	6,80
	I		33.67	354.1	0,536	0,536	21,5		0	0	0,536	0,536	-		5.718	427.1	0,536	0,536	38,04



Platee - Verifiche pressoflessione retta allo SLU

Dir	Pos	Nodo	N _{Ed} [N]	M _{Ed} [N·m]	A _S [cm ² /cm]	A _{dF} [cm ² /cm]	CS	Nodo	N _{Ed} [N]	M _{Ed} [N·m]	A _S [cm ² /cm]	A _{dF} [cm ² /cm]	CS	Nodo	N _{Ed} [N]	M _{Ed} [N·m]	A _S [cm ² /cm]	A _{dF} [cm ² /cm]	CS	
			0	59	17	17	4				17	17					67	17	17	
S	S		0	19.376	0,80425	0,80425	NS		0	7.772	0,80425	0,80425	NS		-18.237	381.264	0,80425	0,80425	16,63	
	I		-496	146.339	0,80425	0,80425	43,20		16.043	640.287	0,80425	0,80425	9,85		0	0	0,80425	0,80425	-	
P	S	00014	-28.360	154.711	0,40212	0,40212	5,49	00015	0	0	0,40212	0,40212	-	00016	0	0	0,40212	0,40212	-	
	I		0	0	0,53617	0,53617	-		24.884	573.603	0,53617	0,53617	74,56		70.930	494.138	0,53617	0,53617	NS	
S	S		18.079	142.403	0,80425	0,80425	44,27		0	0	0,80425	0,80425	-		0	0	0,80425	0,80425	-	
	I		0	0	0,80425	0,80425	-		-1.758	42.959	0,80425	0,80425	NS		3.786	105.542	0,80425	0,80425	59,86	
P	S	00017	0	0	0,40212	0,40212	-	00018	0	0	0,40212	0,40212	-	00019	0	0	0,40212	0,40212	-	
	I		64.332	355.524	0,53617	0,53617	21,53		29.747	182.485	0,53617	0,53617	10,74		15.892	38.372	0,53617	0,53617	7,58	
S	S		0	0	0,80425	0,80425	-		0	0	0,80425	0,80425	-		0	0	0,80425	0,80425	-	
	I		8.659	209.283	0,80425	0,80425	30,17		15.221	322.675	0,80425	0,80425	19,54		-5.344	428.989	0,80425	0,80425	14,75	
P	S	00020	40.471	74.535	0,40212	0,40212	6,11	00021	32.154	158.416	0,40212	0,40212	5,37	00022	17.414	254.751	0,40212	0,40212	4,73	
	I		0	10.669	0,53617	0,53617	7,20		0	10.938	0,53617	0,53617	7,21		0	5.741	0,53617	0,53617	7,14	
S	S		0	0	0,80425	0,80425	-		0	0	0,80425	0,80425	-		0	0	0,80425	0,80425	-	
	I		26.213	528.694	0,80425	0,80425	11,91		36.231	609.027	0,80425	0,80425	10,32		38.770	603.025	0,80425	0,80425	10,42	
P	S	00023	4.466	257.277	0,40212	0,40212	4,73	00024	6.992	260.957	0,40212	0,40212	4,70	00025	3.593	186.631	0,40212	0,40212	5,20	
	I		0	1.414	0,53617	0,53617	7,08		0	1.981	0,53617	0,53617	7,08		0	954	0,53617	0,53617	7,07	
S	S		0	0	0,80425	0,80425	-		0	0	0,80425	0,80425	-		0	0	0,80425	0,80425	-	
	I		-2.350	538.190	0,80425	0,80425	11,75		32.776	516.779	0,80425	0,80425	12,17		40.776	357.412	0,80425	0,80425	17,57	
P	S	00026	861	109.732	0,40212	0,40212	5,83	00027	-2.243	3.293	0,40212	0,40212	7,02	00028	0	0	0,40212	0,40212	-	
	I		0	583	0,53617	0,53617	7,06		0	238	0,53617	0,53617	7,06		436	89.270	0,53617	0,53617	8,50	
S	S		0	0	0,80425	0,80425	-		0	0	0,80425	0,80425	-		4.605	82.373	0,80425	0,80425	76,69	
	I		40.414	219.914	0,80425	0,80425	28,56		-2.133	60.877	0,80425	0,80425	NS		0	15.958	0,80425	0,80425	NS	
P	S	00029	0	0	0,40212	0,40212	-	00030	0	0	0,40212	0,40212	-	00031	0	0	0,40212	0,40212	-	
	I		23	179.875	0,53617	0,53617	10,74		2.101	212.653	0,53617	0,53617	11,87		637	207.678	0,53617	0,53617	11,68	
S	S		8.432	231.35	0,80425	0,80425	27,29		10.966	313.010	0,80425	0,80425	20,16		2.540	377.490	0,80425	0,80425	16,74	
	I		0	20.515	0,80425	0,80425	NS		0	16.561	0,80425	0,80425	NS		0	3.212	0,80425	0,80425	NS	
P	S	00032	0	0	0,40212	0,40212	-	00033	0	0	0,40212	0,40212	-	00034	-15.078	6.123	0,40212	0,40212	7,00	
	I		-4.099	174.343	0,53617	0,53617	10,59		-13.872	101.433	0,53617	0,53617	8,78		0	10.626	0,53617	0,53617	7,20	
S	S		-17.080	367.604	0,80425	0,80425	17,24		-15.172	324.850	0,80425	0,80425	19,51		-9.430	271.636	0,80425	0,80425	23,31	
	I		0	8.485	0,80425	0,80425	NS		0	11.484	0,80425	0,80425	NS		0	8.843	0,80425	0,80425	NS	
P	S	00035	-8.980	94.837	0,40212	0,40212	5,99	00036	-26.097	209.700	0,40212	0,40212	5,08	00037	-53.599	290.984	0,40212	0,40212	4,60	
	I		0	5.589	0,53617	0,53617	7,13		0	12.063	0,53617	0,53617	7,22		0	19.903	0,53617	0,53617	7,34	
S	S		1.261	193.779	0,80425	0,80425	32,62		-7.828	96.216	0,80425	0,80425	65,78		-5.960	29.492	0,80425	0,80425	NS	
	I		0	1.174	0,80425	0,80425	NS		0	2.122	0,80425	0,80425	NS		0	1.437	0,80425	0,80425	NS	
P	S	00038	-	309.8	0,402	0,402	4,50	00039	-	308.1	0,402	0,402	4,48	00040	-	250.5	0,402	0,402	4,81	



Platee - Verifiche pressoflessione retta allo SLU

Dir	Pos	Nodo	NEd [N]	MEd [N-m]	As [cm ² /cm]	A _{df} [cm ² /cm]	CS	Nodo	NEd [N]	MEd [N-m]	As [cm ² /cm]	A _{df} [cm ² /cm]	CS	Nodo	NEd [N]	MEd [N-m]	As [cm ² /cm]	A _{df} [cm ² /cm]	CS
	I		53.97 0	24	12	12			27.58 4	23	12	12			28.50 3	77	12	12	
S	S		0	19.16 6	0,536 17	0,536 17	7,32		0	8.558	0,536 17	0,536 17	7,17		0	8.307	0,536 17	0,536 17	7,17
	I		-2.639 0	7.566 880	0,804 25	0,804 25	NS		-448 0	7.366 494	0,804 25	0,804 25	NS		27 0	39.00 2	0,804 25	0,804 25	NS
P	S	00041	-70.43 3	184.1 93	0,402 12	0,402 12	5,32	00042	-64.37 5	55.06 4	0,402 12	0,402 12	6,50	00043	0	0	0,402 12	0,402 12	-
	I		0	19.18 9	0,536 17	0,536 17	7,33		0	19.67 4	0,536 17	0,536 17	7,33		-28.39 9	79.37 9	0,536 17	0,536 17	8,38
S	S		-3.228 0	83.33 7	0,804 25	0,804 25	75,9 0		-8.178 0	169.9 39	0,804 25	0,804 25	37,2 5		-9.106 0	256.1 90	0,804 25	0,804 25	24,71
	I		0	1.024	0,804 25	0,804 25	NS		0	1.266	0,804 25	0,804 25	NS		0	2.135	0,804 25	0,804 25	NS
P	S	00044	0	0	0,402 12	0,402 12	-	00045	0	0	0,402 12	0,402 12	-	00046	0	0	0,402 12	0,402 12	-
	I		-23.01 6	208.1 37	0,536 17	0,536 17	11,7 8		-38.52 1	281.9 11	0,536 17	0,536 17	15,4 3		-32.35 4	353.0 51	0,536 17	0,536 17	21,80
S	S		-1.893 0	337.3 25	0,804 25	0,804 25	18,7 5		-23.10 6	389.1 41	0,804 25	0,804 25	16,3 0		-35.85 8	371.4 30	0,804 25	0,804 25	17,12
	I		0	1.508	0,804 25	0,804 25	NS		0	8.222	0,804 25	0,804 25	NS		0	11.05 7	0,804 25	0,804 25	NS
P	S	00047	0	0	0,402 12	0,402 12	-	00048	0	0	0,402 12	0,402 12	-	00049	0	0	0,402 12	0,402 12	-
	I		-15.35 0	385.1 46	0,536 17	0,536 17	26,7 1		-2.359 0	363.7 35	0,536 17	0,536 17	23,0 6		-7.105 0	322.0 62	0,536 17	0,536 17	18,33
S	S		-40.93 0	356.3 09	0,804 25	0,804 25	17,8 6		7.994 0	288.9 07	0,804 25	0,804 25	21,8 5		-30.65 3	155.2 75	0,804 25	0,804 25	40,91
	I		0	9.169	0,804 25	0,804 25	NS		0	3.702	0,804 25	0,804 25	NS		0	16.39 5	0,804 25	0,804 25	NS
P	S	00050	0	0	0,402 12	0,402 12	-	00051	0	0	0,402 12	0,402 12	-	00052	0	0	0,402 12	0,402 12	7,05
	I		-3.050	186.9 37	0,536 17	0,536 17	10,9 8		-877 0	92.88 7	0,536 17	0,536 17	8,58		1.635 0	18.00 5	0,536 17	0,536 17	7,30
S	S		0	0	0,804 25	0,804 25	-		0	0	0,804 25	0,804 25	-		0	0	0,804 25	0,804 25	-
	I		0	20.17 2	0,804 25	0,804 25	NS		-44.40 8	190.0 32	0,804 25	0,804 25	33,5 0		3.399 0	308.5 19	0,804 25	0,804 25	20,48
P	S	00053	965	99.80 6	0,402 12	0,402 12	5,93	00054	116	147.3 55	0,402 12	0,402 12	5,51	00055	-2.109	161.7 94	0,402 12	0,402 12	5,40
	I		0	1.118	0,536 17	0,536 17	7,07		0	1.050	0,536 17	0,536 17	7,07		0	1.625	0,536 17	0,536 17	7,08
S	S		0	0	0,804 25	0,804 25	-		0	0	0,804 25	0,804 25	-		0	0	0,804 25	0,804 25	-
	I		-257	489.2 88	0,804 25	0,804 25	12,9 2		-7.701 0	593.9 51	0,804 25	0,804 25	10,6 6		-11.68 0	628.9 20	0,804 25	0,804 25	10,07
P	S	00056	287	120.5 33	0,402 12	0,402 12	5,74	00057	6.964	50.71 1	0,402 12	0,402 12	6,42	00058	0	0	0,402 12	0,402 12	-
	I		0	1.178	0,536 17	0,536 17	7,07		0	5.298	0,536 17	0,536 17	7,13		15.73 1	76.14 6	0,536 17	0,536 17	8,22
S	S		0	0	0,804 25	0,804 25	-		0	0	0,804 25	0,804 25	-		0	0	0,804 25	0,804 25	-
	I		-2.426	617.4 28	0,804 25	0,804 25	10,2 4		19.01 1	610.9 93	0,804 25	0,804 25	10,3 2		15.70 5	535.9 65	0,804 25	0,804 25	11,77
P	S	00059	0	0	0,402 12	0,402 12	-	00060	0	0	0,402 12	0,402 12	-	00061	0	0	0,402 12	0,402 12	-
	I		14.93 1	196.9 55	0,536 17	0,536 17	11,2 6		7.561 0	307.1 83	0,536 17	0,536 17	17,0 1		20.65 2	442.8 64	0,536 17	0,536 17	45,18
S	S		0	0	0,804 25	0,804 25	-		0	0	0,804 25	0,804 25	-		0	0	0,804 25	0,804 25	-
	I		8.391	425.8 75	0,804 25	0,804 25	14,8 2		-2.355 0	283.6 93	0,804 25	0,804 25	22,2 9		12.43 9	178.3 14	0,804 25	0,804 25	35,38
P	S	00062	0	0	0,402 12	0,402 12	-	00063	0	0	0,402 12	0,402 12	-	00064	0	0	0,402 12	0,402 12	-
	I		54.70 5	550.3 63	0,536 17	0,536 17	NS		53.73 0	620.3 83	0,536 17	0,536 17	37,9 7		24.62 0	622.3 94	0,536 17	0,536 17	37,47



Platee - Verifiche pressoflessione retta allo SLU

Dir	Pos	Nodo	N _{Ed} [N]	M _{Ed} [N-m]	A _s [cm ² /cm]	A _{dff} [cm ² /cm]	CS	Nodo	N _{Ed} [N]	M _{Ed} [N-m]	A _s [cm ² /cm]	A _{dff} [cm ² /cm]	CS	Nodo	N _{Ed} [N]	M _{Ed} [N-m]	A _s [cm ² /cm]	A _{dff} [cm ² /cm]	CS
S	S		0	0	0,804 25	0,804 25	-		0	0	0,804 25	0,804 25	-		0	0	0,804 25	0,804 25	-
	I		8.218	63.17 9	0,804 25	0,804 25	99,9 3		2.477	25.22 0	0,804 25	0,804 25	NS		-36	6.688	0,804 25	0,804 25	NS
P	S	00065	0	0	0,402 12	0,402 12	-	00066	0	0	0,402 12	0,402 12	-	00067	0	0	0,402 12	0,402 12	-
	I		44.18 1	655.9 72	0,536 17	0,536 17	27,7 7		49.17 7	693.4 04	0,536 17	0,536 17	21,5 9		54.61 2	670.9 65	0,536 17	0,536 17	24,86
S	S		0	0	0,804 25	0,804 25	-		2.954	39.83 9	0,804 25	0,804 25	NS		0	0	0,804 25	0,804 25	-
	I		0	2.040	0,804 25	0,804 25	NS		0	1.498	0,804 25	0,804 25	NS		4.105	15.38 8	0,804 25	0,804 25	NS
P	S	00068	0	0	0,402 12	0,402 12	-	00069	0	0	0,402 12	0,402 12	-	00070	0	0	0,402 12	0,402 12	-
	I		54.65 4	671.9 32	0,536 17	0,536 17	24,7 0		51.87 0	561.9 74	0,536 17	0,536 17	96,9 7		46.93 2	561.5 31	0,536 17	0,536 17	98,24
S	S		0	0	0,804 25	0,804 25	-		0	0	0,804 25	0,804 25	-		0	0	0,804 25	0,804 25	-
	I		4.825	12.12 2	0,804 25	0,804 25	NS		7.016	88.87 0	0,804 25	0,804 25	71,0 6		9.363	92.49 0	0,804 25	0,804 25	68,25
P	S	00071	0	0	0,402 12	0,402 12	-	00072	0	0	0,402 12	0,402 12	-	00073	0	0	0,402 12	0,402 12	-
	I		9.471	411.4 04	0,536 17	0,536 17	32,6 9		- 12.44 0	402.6 11	0,536 17	0,536 17	30,5 2		12.54 0	282.5 75	0,536 17	0,536 17	15,25
S	S		0	0	0,804 25	0,804 25	-		0	0	0,804 25	0,804 25	-		0	0	0,804 25	0,804 25	-
	I		15.51 6	203.0 53	0,804 25	0,804 25	31,0 6		127	203.2 11	0,804 25	0,804 25	31,1 1		1.958	342.7 89	0,804 25	0,804 25	18,44
P	S	00074	0	0	0,402 12	0,402 12	-	00075	0	0	0,402 12	0,402 12	-	00076	0	0	0,402 12	0,402 12	-
	I		14.79 8	282.0 58	0,536 17	0,536 17	15,2 1		14.58 3	160.6 04	0,536 17	0,536 17	10,1 3		15.66 3	151.7 35	0,536 17	0,536 17	9,89
S	S		0	0	0,804 25	0,804 25	-		0	0	0,804 25	0,804 25	-		0	0	0,804 25	0,804 25	-
	I		8.803	349.8 26	0,804 25	0,804 25	18,0 5		9.848	492.9 39	0,804 25	0,804 25	12,8 0		13.89 0	484.6 79	0,804 25	0,804 25	13,01
P	S	00077	0	0	0,402 12	0,402 12	-	00078	0	0	0,402 12	0,402 12	-	00079	-968	79.32 8	0,402 12	0,402 12	-
	I		13.98 5	26.09 0	0,536 17	0,536 17	7,40		0	8.757	0,536 17	0,536 17	7,18		0	3.995	0,536 17	0,536 17	7,11
S	S		0	0	0,804 25	0,804 25	-		0	0	0,804 25	0,804 25	-		0	0	0,804 25	0,804 25	-
	I		17.60 2	584.9 10	0,804 25	0,804 25	10,7 8		18.94 7	590.5 47	0,804 25	0,804 25	10,6 7		13.79 6	643.9 64	0,804 25	0,804 25	9,80
P	S	00080	2.276	92.64 1	0,402 12	0,402 12	5,99	00081	1.192	119.4 01	0,402 12	0,402 12	5,75	00082	-3.848	150.8 35	0,402 12	0,402 12	5,49
	I		0	1.886	0,536 17	0,536 17	7,08		0	674	0,536 17	0,536 17	7,07		0	2.847	0,536 17	0,536 17	7,10
S	S		0	0	0,804 25	0,804 25	-		0	0	0,804 25	0,804 25	-		0	0	0,804 25	0,804 25	-
	I		624	611.6 61	0,804 25	0,804 25	10,3 3		-3.933	669.7 39	0,804 25	0,804 25	9,44		-6.389	667.5 31	0,804 25	0,804 25	9,48
P	S	00083	-2.028	109.0 50	0,402 12	0,402 12	5,85	00084	48	156.2 19	0,402 12	0,402 12	5,44	00085	-294	117.9 03	0,402 12	0,402 12	5,76
	I		0	1.821	0,536 17	0,536 17	7,08		0	3.092	0,536 17	0,536 17	7,10		0	2.520	0,536 17	0,536 17	7,09
S	S		0	0	0,804 25	0,804 25	-		0	0	0,804 25	0,804 25	-		0	0	0,804 25	0,804 25	-
	I		- 12.01 3	662.4 15	0,804 25	0,804 25	9,56		- 10.90 0	633.0 97	0,804 25	0,804 25	10,0 0		-3.741	576.0 98	0,804 25	0,804 25	10,98
P	S	00086	496	138.8 44	0,402 12	0,402 12	5,58	00087	-3.459	77.75 1	0,402 12	0,402 12	6,15	00088	-2.027	49.84 6	0,402 12	0,402 12	6,45
	I		0	677	0,536 17	0,536 17	7,07		0	1.376	0,536 17	0,536 17	7,08		0	694	0,536 17	0,536 17	7,07
S	S		0	0	0,804 25	0,804 25	-		0	0	0,804 25	0,804 25	-		0	0	0,804 25	0,804 25	-
	I		-2.998	551.7 19	0,804 25	0,804 25	11,4 6		-2.547	454.0 26	0,804 25	0,804 25	13,9 3		937	404.7 63	0,804 25	0,804 25	15,62
P	S	00089	-486	24.83 0	0,402 12	0,402 12	6,74	00090	0	0	0,402 12	0,402 12	-	00091	0	0	0,402 12	0,402 12	-
	I		0	880	0,536 17	0,536 17	7,07		5.068	48.95 1	0,536 17	0,536 17	7,77		-1.345	50.06 3	0,536 17	0,536 17	7,81
S	S		0	0	0,804 25	0,804 25	-		0	0	0,804 25	0,804 25	-		0	0	0,804 25	0,804 25	-



Platee - Verifiche pressoflessione retta allo SLU

Dir	Pos	Nodo	N _{Ed} [N]	M _{Ed} [N-m]	A _s [cm ² /cm]	A _{df} [cm ² /cm]	CS	Nodo	N _{Ed} [N]	M _{Ed} [N-m]	A _s [cm ² /cm]	A _{df} [cm ² /cm]	CS	Nodo	N _{Ed} [N]	M _{Ed} [N-m]	A _s [cm ² /cm]	A _{df} [cm ² /cm]	CS
	I		456	357.144	0,80425	0,80425	17,70		-17.831	281.019	0,80425	0,80425	22,56		-26.340	266.110	0,80425	0,80425	23,85
P	S	00092	0	0	0,40212	0,40212	-	00093	0	0	0,40212	0,40212	-	00094	0	0	0,40212	0,40212	-
	I		-1.409	150.276	0,53617	0,53617	9,90		-1.047	135.961	0,53617	0,53617	9,53		-5.481	307.544	0,53617	0,53617	17,10
S	S		0	0	0,80425	0,80425	-		0	0	0,80425	0,80425	-		-38.648	26.688	0,80425	0,80425	NS
	I		-46.070	137.915	0,80425	0,80425	46,17		-45.940	114.410	0,80425	0,80425	55,66		0	21.478	0,80425	0,80425	NS
P	S	00095	0	0	0,40212	0,40212	-	00096	0	0	0,40212	0,40212	-	00097	0	0	0,40212	0,40212	-
	I		-5.014	273.529	0,53617	0,53617	14,78		-7.491	319.360	0,53617	0,53617	18,09		-5.905	339.598	0,53617	0,53617	20,07
S	S		-34.420	78.241	0,80425	0,80425	81,24		-26.743	179.693	0,80425	0,80425	35,33		-11.206	235.088	0,80425	0,80425	26,94
	I		0	20.150	0,80425	0,80425	NS		0	13.550	0,80425	0,80425	NS		0	8.621	0,80425	0,80425	NS
P	S	00098	0	0	0,40212	0,40212	-	00099	0	0	0,40212	0,40212	-	00100	0	0	0,40212	0,40212	-
	I		11.270	364.592	0,53617	0,53617	23,10		14.474	392.432	0,53617	0,53617	27,95		-4.907	382.766	0,53617	0,53617	26,18
S	S		5.895	281.997	0,80425	0,80425	22,40		-16.239	327.004	0,80425	0,80425	19,38		-46.734	335.663	0,80425	0,80425	18,97
	I		0	3.436	0,80425	0,80425	NS		0	5.714	0,80425	0,80425	NS		0	8.533	0,80425	0,80425	NS
P	S	00101	0	0	0,40212	0,40212	-	00102	0	0	0,40212	0,40212	-	00103	0	0	0,40212	0,40212	-
	I		-24.141	382.041	0,53617	0,53617	26,19		-29.590	371.508	0,53617	0,53617	24,42		-37.605	341.900	0,53617	0,53617	20,50
S	S		-42.521	362.786	0,80425	0,80425	17,54		-41.187	400.604	0,80425	0,80425	15,88		-34.258	396.929	0,80425	0,80425	16,01
	I		0	11.533	0,80425	0,80425	NS		0	12.092	0,80425	0,80425	NS		0	11.686	0,80425	0,80425	NS
P	S	00104	0	0	0,40212	0,40212	-	00105	0	0	0,40212	0,40212	-	00106	0	0	0,40212	0,40212	-
	I		-37.172	320.592	0,53617	0,53617	18,35		-41.365	258.936	0,53617	0,53617	14,10		-28.579	212.963	0,53617	0,53617	11,98
S	S		-28.220	399.651	0,80425	0,80425	15,89		-17.598	360.678	0,80425	0,80425	17,58		-7.400	349.157	0,80425	0,80425	18,13
	I		0	11.708	0,80425	0,80425	NS		0	8.069	0,80425	0,80425	NS		0	5.435	0,80425	0,80425	NS
P	S	00107	0	0	0,40212	0,40212	-	00108	0	0	0,40212	0,40212	-	00109	0	0	0,40212	0,40212	-
	I		-3.010	164.431	0,53617	0,53617	10,29		-15.931	110.378	0,53617	0,53617	8,98		-50.302	34.458	0,53617	0,53617	7,66
S	S		2.481	313.506	0,80425	0,80425	20,16		-17.678	275.923	0,80425	0,80425	22,97		-14.827	222.905	0,80425	0,80425	28,43
	I		0	2.397	0,80425	0,80425	NS		0	2.188	0,80425	0,80425	NS		0	3.126	0,80425	0,80425	NS
P	S	00110	-60.028	25.359	0,40212	0,40212	6,84	00111	-69.682	101.353	0,40212	0,40212	6,03	00112	-72.447	143.180	0,40212	0,40212	5,65
	I		0	19.507	0,53617	0,53617	7,33		0	21.437	0,53617	0,53617	7,36		0	22.717	0,53617	0,53617	7,38
S	S		-9.155	182.799	0,80425	0,80425	34,63		-5.535	119.177	0,80425	0,80425	53,09		-7.668	93.560	0,80425	0,80425	67,65
	I		0	3.301	0,80425	0,80425	NS		0	2.245	0,80425	0,80425	NS		0	1.992	0,80425	0,80425	NS
P	S	00113	-72.887	172.853	0,40212	0,40212	5,41	00114	-71.176	219.986	0,40212	0,40212	5,07	00115	-56.783	275.031	0,40212	0,40212	4,70
	I		0	21.908	0,53617	0,53617	7,36		0	18.783	0,53617	0,53617	7,32		0	15.072	0,53617	0,53617	7,27
S	S		-3.370	99.37	0,80425	0,80425	63,6		-856	56.08	0,80425	0,80425	NS		-314	15.28	0,80425	0,80425	NS



Platee - Verifiche pressoflessione retta allo SLU

Dir	Pos	Nodo	N _{Ed} [N]	M _{Ed} [N-m]	A _s [cm ² /cm]	A _{df} [cm ² /cm]	CS	Nodo	N _{Ed} [N]	M _{Ed} [N-m]	A _s [cm ² /cm]	A _{df} [cm ² /cm]	CS	Nodo	N _{Ed} [N]	M _{Ed} [N-m]	A _s [cm ² /cm]	A _{df} [cm ² /cm]	CS
	I		0	1.896	0,804 25	0,804 25	5 NS		0	1.254	0,804 25	0,804 25	NS		0	1.164	0,804 25	0,804 25	NS
P	S	00116	-14.115	298.755	0,402 12	0,402 12	4,51	00117	-9.747	311.633	0,402 12	0,402 12	4,44	00118	-46.000	347.487	0,402 12	0,402 12	4,30
	I		0	5.604	0,536 17	0,536 17	7,13		0	5.770	0,536 17	0,536 17	7,14		0	14.945	0,536 17	0,536 17	7,26
S	S		0	0	0,804 25	0,804 25	-		0	0	0,804 25	0,804 25	-		0	0	0,804 25	0,804 25	-
	I		2.574	16.566	0,804 25	0,804 25	NS		3.139	24.920	0,804 25	0,804 25	NS		1.082	38.253	0,804 25	0,804 25	NS
P	S	00119	-53.513	342.102	0,402 12	0,402 12	4,33	00120	-56.239	332.095	0,402 12	0,402 12	4,39	00121	-55.780	326.776	0,402 12	0,402 12	4,41
	I		0	18.647	0,536 17	0,536 17	7,32		0	22.114	0,536 17	0,536 17	7,37		0	22.804	0,536 17	0,536 17	7,38
S	S		0	0	0,804 25	0,804 25	-		-3.059	6.437	0,804 25	0,804 25	NS		0	0	0,804 25	0,804 25	-
	I		-537	12.747	0,804 25	0,804 25	NS		0	2.187	0,804 25	0,804 25	NS		0	1.981	0,804 25	0,804 25	NS
P	S	00122	-50.083	272.267	0,402 12	0,402 12	4,71	00123	-43.445	231.264	0,402 12	0,402 12	4,95	00124	2.154	168.831	0,402 12	0,402 12	5,33
	I		0	19.519	0,536 17	0,536 17	7,33		0	15.627	0,536 17	0,536 17	7,27		0	5.103	0,536 17	0,536 17	7,13
S	S		-8.506	42.913	0,804 25	0,804 25	NS		-8.655	89.129	0,804 25	0,804 25	71,02		-12.841	123.917	0,804 25	0,804 25	51,12
	I		0	3.418	0,804 25	0,804 25	NS		0	1.572	0,804 25	0,804 25	NS		0	4.012	0,804 25	0,804 25	NS
P	S	00125	1.940	127.538	0,402 12	0,402 12	5,67	00126	-14.140	59.912	0,402 12	0,402 12	6,36	00127	-17.052	36.889	0,402 12	0,402 12	6,62
	I		0	3.066	0,536 17	0,536 17	7,10		0	9.307	0,536 17	0,536 17	7,18		0	10.678	0,536 17	0,536 17	7,20
S	S		578	167.679	0,804 25	0,804 25	37,70		-2.995	221.683	0,804 25	0,804 25	28,53		-7.206	257.352	0,804 25	0,804 25	24,59
	I		0	2.169	0,804 25	0,804 25	NS		0	5.637	0,804 25	0,804 25	NS		0	8.486	0,804 25	0,804 25	NS
P	S	00128	0	0	0,402 12	0,402 12	-	00129	0	0	0,402 12	0,402 12	-	00130	0	0	0,402 12	0,402 12	-
	I		-15.575	46.566	0,536 17	0,536 17	7,78		-16.755	55.500	0,536 17	0,536 17	7,93		-14.132	108.208	0,536 17	0,536 17	8,93
S	S		-10.783	320.425	0,804 25	0,804 25	19,76		-14.134	342.468	0,804 25	0,804 25	18,50		-18.769	381.847	0,804 25	0,804 25	16,60
	I		0	11.499	0,804 25	0,804 25	NS		0	11.982	0,804 25	0,804 25	NS		0	12.012	0,804 25	0,804 25	NS
P	S	00131	0	0	0,402 12	0,402 12	-	00132	0	0	0,402 12	0,402 12	-	00133	0	0	0,402 12	0,402 12	-
	I		-10.796	162.927	0,536 17	0,536 17	10,27		2.314	208.314	0,536 17	0,536 17	11,70		3.762	196.577	0,536 17	0,536 17	11,28
S	S		-20.419	372.790	0,804 25	0,804 25	17,01		-18.229	397.204	0,804 25	0,804 25	15,96		1.689	359.183	0,804 25	0,804 25	17,60
	I		0	10.838	0,804 25	0,804 25	NS		0	7.049	0,804 25	0,804 25	NS		0	3.792	0,804 25	0,804 25	NS
P	S	00134	0	0	0,402 12	0,402 12	-	00135	0	0	0,402 12	0,402 12	-	00136	0	0	0,402 12	0,402 12	-
	I		1.669	215.680	0,536 17	0,536 17	11,98		2.487	217.165	0,536 17	0,536 17	12,04		1.360	169.512	0,536 17	0,536 17	10,43
S	S		5.837	366.915	0,804 25	0,804 25	17,21		5.977	332.552	0,804 25	0,804 25	18,99		10.831	280.070	0,804 25	0,804 25	22,53
	I		0	8.420	0,804 25	0,804 25	NS		0	13.161	0,804 25	0,804 25	NS		0	20.978	0,804 25	0,804 25	NS
P	S	00137	0	0	0,402 12	0,402 12	-	00138	0	0	0,402 12	0,402 12	-	00139	0	0	0,402 12	0,402 12	-
	I		-144	209.035	0,536 17	0,536 17	11,74		255	145.246	0,536 17	0,536 17	9,76		86	125.403	0,536 17	0,536 17	9,28
S	S		10.243	256.253	0,804 25	0,804 25	24,63		4.951	167.329	0,804 25	0,804 25	37,75		4.075	117.563	0,804 25	0,804 25	53,74
	I		0	22.336	0,804 25	0,804 25	NS		0	22.021	0,804 25	0,804 25	NS		0	19.744	0,804 25	0,804 25	NS



REGIONE BASILICATA - PROVINCIA DI MATERA - COMUNE DI FERRANDINA
PROGETTO DEFINITIVO
Parco Eolico "Montagnola"
Relazione preliminare sulle strutture

Platee - Verifiche pressoflessione retta allo SLU

Dir	Pos	Nodo	NEd	MEd	As	A _{df}	CS	Nodo	NEd	MEd	As	A _{df}	CS	Nodo	NEd	MEd	As	A _{df}	CS
			[N]	[N·m]	[cm ² /cm]	[cm ² /cm]			[N]	[N·m]	[cm ² /cm]	[cm ² /cm]			[N]	[N·m]	[cm ² /cm]	[cm ² /cm]	
P	S	00140	0	0	0,402	0,402	-	00141	0	0	0,402	0,402	-	00142	-7.789	73.29	0,402	0,402	6,20
I	I		1.539	29.68	0,536	0,536	7,48	-784	51.20	0,536	0,536	7,82	0	0	0	0	0,536	0,536	-
S	S	00143	7.700	7.200	0,804	0,804	NS	0	0	0,804	0,804	-	0	0	0	0	0,804	0,804	-
I	I		0	12.23	0,804	0,804	NS	2.297	10.68	0,804	0,804	NS	9.205	124.5	0,804	0,804	0,804	0,804	50,69
P	S	00143	-625	51.45	0,402	0,402	6,43	00144	-301	145.6	0,402	0,402	5,52	00145	1.592	132.0	0,402	0,402	5,63
I	I		0	1.720	0,536	0,536	7,08	0	707	0,536	0,536	7,07	0	2.107	0,536	0,536	0,536	0,536	7,09
S	S	00146	0	0	0,804	0,804	-	0	0	0,804	0,804	-	0	0	0	0	0,804	0,804	-
I	I		28.31	157.3	0,804	0,804	39,9	44.85	286.2	0,804	0,804	21,9	44.56	315.9	0,804	0,804	0,804	0,804	19,87
P	S	00146	3.893	196.0	0,402	0,402	5,13	00147	6.337	241.4	0,402	0,402	4,82	00148	5.331	219.0	0,402	0,402	4,97
I	I		0	2.681	0,536	0,536	7,09	0	2.615	0,536	0,536	7,09	0	3.459	0,536	0,536	0,536	0,536	7,10
S	S	00149	0	0	0,804	0,804	-	0	0	0,804	0,804	-	0	0	0	0	0,804	0,804	-
I	I		40.12	392.1	0,804	0,804	16,0	39.29	455.7	0,804	0,804	13,7	34.16	467.7	0,804	0,804	0,804	0,804	13,44
P	S	00149	8.480	239.2	0,402	0,402	4,83	00150	1.139	277.9	0,402	0,402	4,61	00151	-848	256.6	0,402	0,402	4,74
I	I		0	2.918	0,536	0,536	7,10	0	2.900	0,536	0,536	7,10	0	1.064	0,536	0,536	0,536	0,536	7,07
S	S	00152	0	0	0,804	0,804	-	0	0	0,804	0,804	-	0	0	0	0	0,804	0,804	-
I	I		28.34	528.3	0,804	0,804	11,9	6.283	560.4	0,804	0,804	11,2	2.057	565.3	0,804	0,804	0,804	0,804	11,18
P	S	00152	-6.177	283.3	0,402	0,402	4,59	00153	19.33	200.2	0,402	0,402	5,08	00154	28.26	182.5	0,402	0,402	5,19
I	I		0	3.398	0,536	0,536	7,10	0	9.751	0,536	0,536	7,19	0	33.68	0,536	0,536	0,536	0,536	7,22
S	S	00155	0	0	0,804	0,804	-	0	0	0,804	0,804	-	0	0	0	0	0,804	0,804	-
I	I		28.16	603.6	0,804	0,804	10,4	40.00	635.1	0,804	0,804	9,89	38.76	623.2	0,804	0,804	0,804	0,804	10,08
P	S	00155	35.37	103.2	0,402	0,402	5,84	00156	37.97	83.30	0,402	0,402	6,03	00157	40.85	8.569	0,402	0,402	6,87
I	I		0	12.77	0,536	0,536	7,23	0	12.14	0,536	0,536	7,22	0	10.40	0,536	0,536	0,536	0,536	7,20
S	S	00158	0	0	0,804	0,804	-	0	0	0,804	0,804	-	0	0	0	0	0,804	0,804	-
I	I		33.41	566.9	0,804	0,804	11,0	28.40	570.1	0,804	0,804	11,0	18.80	488.9	0,804	0,804	0,804	0,804	12,89
P	S	00158	0	0	0,402	0,402	-	00159	0	0	0,402	0,402	-	00160	0	0	0,402	0,402	-
I	I		30.74	29.66	0,536	0,536	7,42	-3.175	125.1	0,536	0,536	9,28	13.32	172.3	0,536	0,536	0,536	0,536	10,48
S	S	00161	0	0	0,804	0,804	-	0	0	0,804	0,804	-	0	0	0	0	0,804	0,804	-
I	I		7.831	468.3	0,804	0,804	13,4	293	368.9	0,804	0,804	17,1	14.01	343.3	0,804	0,804	0,804	0,804	18,37
P	S	00161	0	0	0,402	0,402	-	00162	0	0	0,402	0,402	-	00163	0	0	0,402	0,402	-
I	I		49.65	303.8	0,536	0,536	16,5	61.57	365.0	0,536	0,536	22,8	68.61	481.1	0,536	0,536	0,536	0,536	84,10
S	S	00164	0	0	0,804	0,804	-	0	0	0,804	0,804	-	0	0	0	0	0,804	0,804	-
I	I		12.58	246.9	0,804	0,804	25,5	9.804	218.1	0,804	0,804	28,9	7.205	128.5	0,804	0,804	0,804	0,804	49,12
P	S	00164	0	0	0,402	0,402	-	00165	0	0	0,402	0,402	-	00166	0	0	0,402	0,402	-
I	I		70.65	524.4	0,536	0,536	NS	71.84	592.0	0,536	0,536	53,6	57.61	602.5	0,536	0,536	0,536	0,536	46,60
S	S	00167	0	0	0,804	0,804	-	0	0	0,804	0,804	-	0	0	0	0	0,804	0,804	-
I	I		6.270	104.9	0,804	0,804	60,1	1.504	29.33	0,804	0,804	NS	76	25.04	0,804	0,804	0,804	0,804	NS
P	S	00167	0	0	0,402	0,402	-	00168	0	0	0,402	0,402	-	00169	0	0	0,402	0,402	-
I	I		2.247	629.0	0,536	0,536	35,3	9.763	614.6	0,536	0,536	40,8	45.88	684.4	0,536	0,536	0,536	0,536	22,83



Platee - Verifiche pressoflessione retta allo SLU

Dir	Pos	Nodo	NEd [N]	MEd [N·m]	As [cm²/cm]	A _{df} [cm²/cm]	CS	Nodo	NEd [N]	MEd [N·m]	As [cm²/cm]	A _{df} [cm²/cm]	CS	Nodo	NEd [N]	MEd [N·m]	As [cm²/cm]	A _{df} [cm²/cm]	CS
S	S		382	29.978	0,80425	0,80425	NS		-1.699	1.277	0,80425	0,80425	NS		-2.202	36.683	0,80425	0,80425	NS
	I		0	2.010	0,80425	0,80425	NS		0	1.014	0,80425	0,80425	NS		0	1.793	0,80425	0,80425	NS
P	S	00170	0	0	0,40212	0,40212	-	00171	0	0	0,40212	0,40212	-	00172	0	0	0,40212	0,40212	-
	I		49.307	630.302	0,53617	0,53617	34,45		32.335	488.612	0,53617	0,53617	NS		1.928	337.116	0,53617	0,53617	19,76
S	S		0	0	0,80425	0,80425	-		0	0	0,80425	0,80425	-		0	0	0,80425	0,80425	-
	I		1.185	39.397	0,80425	0,80425	NS		12.284	140.148	0,80425	0,80425	45,02		3.259	262.185	0,80425	0,80425	24,10
P	S	00173	0	0	0,40212	0,40212	-	00174	0	0	0,40212	0,40212	-	00175	772	83.738	0,40212	0,40212	6,08
	I		13.615	200.813	0,53617	0,53617	11,40		14.316	67.006	0,53617	0,53617	8,06		0	5.449	0,53617	0,53617	7,13
S	S		0	0	0,80425	0,80425	-		0	0	0,80425	0,80425	-		0	0	0,80425	0,80425	-
	I		1.899	437.134	0,80425	0,80425	14,46		12.111	552.121	0,80425	0,80425	11,43		25.992	654.813	0,80425	0,80425	9,61
P	S	00176	-250	160.053	0,40212	0,40212	5,41	00177	-130	185.062	0,40212	0,40212	5,22	00178	1.332	169.319	0,40212	0,40212	5,33
	I		0	1.016	0,53617	0,53617	7,07		0	2.033	0,53617	0,53617	7,08		0	3.003	0,53617	0,53617	7,10
S	S		0	0	0,80425	0,80425	-		0	0	0,80425	0,80425	-		0	0	0,80425	0,80425	-
	I		22.385	649.676	0,80425	0,80425	9,70		-13.964	678.490	0,80425	0,80425	9,34		-7.067	623.393	0,80425	0,80425	10,15
P	S	00179	155	99.366	0,40212	0,40212	5,93	00180	-5.378	3.789	0,40212	0,40212	7,02	00181	0	0	0,40212	0,40212	-
	I		0	1.521	0,53617	0,53617	7,08		0	0	0,53617	0,53617	-		8.998	110.229	0,53617	0,53617	8,91
S	S		0	0	0,80425	0,80425	-		0	0	0,80425	0,80425	-		0	0	0,80425	0,80425	-
	I		6.954	503.346	0,80425	0,80425	12,55		-25.745	336.178	0,80425	0,80425	18,88		-43.058	177.809	0,80425	0,80425	35,79
P	S	00182	0	0	0,40212	0,40212	-	00183	0	0	0,40212	0,40212	-	00184	0	0	0,40212	0,40212	-
	I		-447	196.945	0,53617	0,53617	11,30		-6.699	325.122	0,53617	0,53617	18,61		-2.526	389.561	0,53617	0,53617	27,48
S	S		0	0	0,80425	0,80425	-		-23.754	147.088	0,80425	0,80425	43,14		-5.588	310.276	0,80425	0,80425	20,39
	I		0	21.495	0,80425	0,80425	NS		0	17.238	0,80425	0,80425	NS		0	1.976	0,80425	0,80425	NS
P	S	00185	0	0	0,40212	0,40212	-	00186	0	0	0,40212	0,40212	-	00187	0	0	0,40212	0,40212	-
	I		-12.486	396.850	0,53617	0,53617	29,14		-28.169	380.827	0,53617	0,53617	26,00		-34.229	287.780	0,53617	0,53617	15,79
S	S		44.465	367.680	0,80425	0,80425	17,31		31.108	399.900	0,80425	0,80425	15,89		16.550	394.610	0,80425	0,80425	16,06
	I		0	9.934	0,80425	0,80425	NS		0	12.201	0,80425	0,80425	NS		0	9.571	0,80425	0,80425	NS
P	S	00188	0	0	0,40212	0,40212	-	00189	0	0	0,40212	0,40212	-	00190	60.116	67.665	0,40212	0,40212	6,35
	I		-30.285	192.139	0,53617	0,53617	11,23		-31.349	68.683	0,53617	0,53617	8,19		0	20.413	0,53617	0,53617	7,34
S	S		8.175	333.818	0,80425	0,80425	18,91		-13.735	253.838	0,80425	0,80425	24,96		-3.062	151.762	0,80425	0,80425	41,68
	I		0	721	0,80425	0,80425	NS		0	2.580	0,80425	0,80425	NS		0	3.187	0,80425	0,80425	NS
P	S	00191	-63.523	203.203	0,40212	0,40212	5,17	00192	-46.416	295.171	0,40212	0,40212	4,57	00193	-28.512	346.413	0,40212	0,40212	4,28
	I		0	20.494	0,53617	0,53617	7,34		0	9.915	0,53617	0,53617	7,19		0	9.782	0,53617	0,53617	7,19
S	S		2.635	60.717	0,80425	0,80425	NS		0	206	0,80425	0,80425	NS		0	516	0,80425	0,80425	NS
	I		0	1.663	0,80425	0,80425	NS		-6.231	2.452	0,80425	0,80425	NS		924	42.67	0,80425	0,80425	NS



REGIONE BASILICATA - PROVINCIA DI MATERA - COMUNE DI FERRANDINA
PROGETTO DEFINITIVO
Parco Eolico "Montagnola"
Relazione preliminare sulle strutture

Platee - Verifiche pressoflessione retta allo SLU

Dir	Pos	Nodo	NEd [N]	MEd [N-m]	As [cm ² /cm]	A _{df} [cm ² /cm]	CS	Nodo	NEd [N]	MEd [N-m]	As [cm ² /cm]	A _{df} [cm ² /cm]	CS	Nodo	NEd [N]	MEd [N-m]	As [cm ² /cm]	A _{df} [cm ² /cm]	CS
					25	25					25	25				6	25	25	
P	S	00194	-47,5820	343,992	0,40212	0,40212	4,32	00195	-49,1380	317,755	0,40212	0,40212	4,45	00196	-25,1320	208,722	0,40212	0,40212	5,08
	I		0	20,458	0,53617	0,53617	7,34		0	20,711	0,53617	0,53617	7,35		0	10,447	0,53617	0,53617	7,20
S	S		0	0	0,80425	0,80425	-		-2,7410	10,471	0,80425	0,80425	NS		-13,1410	90,608	0,80425	0,80425	69,91
	I		2,9000	30,292	0,80425	0,80425	NS		0	3,3610	0,80425	0,80425	NS		0	3,0430	0,80425	0,80425	NS
P	S	00197	-8,5190	103,555	0,40212	0,40212	5,91	00198	0	0	0,40212	0,40212	-	00199	0	0	0,40212	0,40212	-
	I		0	5,4440	0,53617	0,53617	7,13		0	12,024	0,53617	0,53617	7,22		-13,9580	123,598	0,53617	0,53617	9,27
S	S		6,3800	180,236	0,80425	0,80425	35,04		-4,5040	276,624	0,80425	0,80425	22,87		-13,1570	345,216	0,80425	0,80425	18,35
	I		0	6180	0,80425	0,80425	NS		0	9,5930	0,80425	0,80425	NS		0	12,557	0,80425	0,80425	NS
P	S	00200	0	0	0,40212	0,40212	-	00201	0	91	0,40212	0,40212	7,06	00202	0	0	0,40212	0,40212	-
	I		-2870	212,482	0,53617	0,53617	11,87		1,6680	243,282	0,53617	0,53617	13,16		-670	246,654	0,53617	0,53617	13,33
S	S		-19,9510	395,019	0,80425	0,80425	16,05		-1,9320	393,235	0,80425	0,80425	16,08		13,9790	354,333	0,80425	0,80425	17,80
	I		0	9,5190	0,80425	0,80425	NS		0	1,7910	0,80425	0,80425	NS		0	16,916	0,80425	0,80425	NS
P	S	00203	0	0	0,40212	0,40212	-	00204	0	0	0,40212	0,40212	-	00205	0	482	0,40212	0,40212	7,05
	I		-1,0500	184,843	0,53617	0,53617	10,90		2,0890	112,887	0,53617	0,53617	8,99		10,2000	16,831	0,53617	0,53617	7,27
S	S		7,2720	236,026	0,80425	0,80425	26,75		7710	107,249	0,80425	0,80425	58,94		0	0	0,80425	0,80425	-
	I		0	21,819	0,80425	0,80425	NS		0	17,199	0,80425	0,80425	NS		-5,8450	44,658	0,80425	0,80425	NS
P	S	00206	-3,1810	99,239	0,40212	0,40212	5,94	00207	1,7590	194,161	0,40212	0,40212	5,15	00208	6,8040	270,519	0,40212	0,40212	4,65
	I		0	1,1780	0,53617	0,53617	7,07		0	2,5470	0,53617	0,53617	7,09		0	2,9650	0,53617	0,53617	7,10
S	S		0	0	0,80425	0,80425	-		0	0	0,80425	0,80425	-		0	0	0,80425	0,80425	-
	I		42,088	217,198	0,80425	0,80425	28,91		38,405	368,618	0,80425	0,80425	17,05		25,270	531,376	0,80425	0,80425	11,85
P	S	00209	9,5690	294,582	0,40212	0,40212	4,51	00210	4,4220	266,185	0,40212	0,40212	4,68	00211	27,8200	173,618	0,40212	0,40212	5,26
	I		0	1,7090	0,53617	0,53617	7,08		0	6,5780	0,53617	0,53617	7,15		0	12,215	0,53617	0,53617	7,23
S	S		0	0	0,80425	0,80425	-		0	0	0,80425	0,80425	-		0	0	0,80425	0,80425	-
	I		7,6220	578,448	0,80425	0,80425	10,92		38,799	637,528	0,80425	0,80425	9,86		31,206	626,489	0,80425	0,80425	10,04
P	S	00212	35,1880	84,075	0,40212	0,40212	6,02	00213	0	0	0,40212	0,40212	-	00214	0	0	0,40212	0,40212	-
	I		0	12,163	0,53617	0,53617	7,22		34,073	55,710	0,53617	0,53617	7,82		22,8760	206,129	0,53617	0,53617	11,56
S	S		0	0	0,80425	0,80425	-		0	0	0,80425	0,80425	-		0	0	0,80425	0,80425	-
	I		17,377	568,024	0,80425	0,80425	11,10		-2,5350	422,989	0,80425	0,80425	14,95		15,3970	312,003	0,80425	0,80425	20,21
P	S	00215	0	0	0,40212	0,40212	-	00216	0	0	0,40212	0,40212	-	00217	0	0	0,40212	0,40212	-
	I		55,995	405,515	0,53617	0,53617	30,66		62,474	561,276	0,53617	0,53617	98,55		46,577	632,458	0,53617	0,53617	33,79
S	S		0	0	0,80425	0,80425	-		0	0	0,80425	0,80425	-		-8,9640	19,810	0,80425	0,80425	NS
	I		4,6460	184,717	0,80425	0,80425	34,20		-2,8560	59,249	0,80425	0,80425	NS		0	0	0,80425	0,80425	-
P	S	00218	0	0	0,40212	0,40212	-	00219	0	0	0,40212	0,40212	-	00220	0	0	0,40212	0,40212	-
	I		28,165	680,002	0,53617	0,53617	23,58		51,950	583,456	0,53617	0,53617	61,72		49,3960	689,671	0,53617	0,53617	22,08
S	S		-5,4300	40,951	0,80425	0,80425	NS		0	0	0,80425	0,80425	-		-6940	19,526	0,80425	0,80425	NS



Platee - Verifiche pressoflessione retta allo SLU

Dir	Pos	Nodo	N _{Ed} [N]	M _{Ed} [N·m]	A _s [cm ² /cm]	A _{df} [cm ² /cm]	CS	Nodo	N _{Ed} [N]	M _{Ed} [N·m]	A _s [cm ² /cm]	A _{df} [cm ² /cm]	CS	Nodo	N _{Ed} [N]	M _{Ed} [N·m]	A _s [cm ² /cm]	A _{df} [cm ² /cm]	CS
	I		0	170	0,804 25	0,804 25	NS		3.994	43.68 9	0,804 25	0,804 25	NS		0	2.862	0,804 25	0,804 25	NS
P	S	00221	0	0	0,402 12	0,402 12	-	00222	0	0	0,402 12	0,402 12	-	00223	0	0	0,402 12	0,402 12	-
	I		41.62 4	733.4 23	0,536 17	0,536 17	17,5 0		31.13 2	734.4 70	0,536 17	0,536 17	17,4 6		19.75 4	676.9 40	0,536 17	0,536 17	24,11
S	S		-6.012	58.64 2	0,804 25	0,804 25	NS		11.46 4	82.37 4	0,804 25	0,804 25	76,8 8		15.85 5	91.45 0	0,804 25	0,804 25	68,95
	I		0	2.127	0,804 25	0,804 25	NS		0	0	0,804 25	0,804 25	-		0	0	0,804 25	0,804 25	-
P	S	00224	0	0	0,402 12	0,402 12	-	00225	0	0	0,402 12	0,402 12	-	00226	0	0	0,402 12	0,402 12	-
	I		40.93 2	675.7 10	0,536 17	0,536 17	24,1 7		60.20 6	648.9 61	0,536 17	0,536 17	29,2 1		61.05 8	495.6 54	0,536 17	0,536 17	NS
S	S		-30.46 2	75.69 0	0,804 25	0,804 25	83,9 2		13.76 6	20.71 1	0,804 25	0,804 25	NS		0	0	0,804 25	0,804 25	-
	I		0	0	0,804 25	0,804 25	-		0	571	0,804 25	0,804 25	NS		1.868	111.5 95	0,804 25	0,804 25	56,63
P	S	00227	0	0	0,402 12	0,402 12	-	00228	0	0	0,402 12	0,402 12	-	00229	0	0	0,402 12	0,402 12	-
	I		44.26 5	607.6 56	0,536 17	0,536 17	43,8 8		43.29 6	707.2 02	0,536 17	0,536 17	20,0 0		39.10 1	787.9 60	0,536 17	0,536 17	13,89
S	S		0	0	0,804 25	0,804 25	-		0	0	0,804 25	0,804 25	-		-9.752	51.35 9	0,804 25	0,804 25	NS
	I		188	62.73 4	0,804 25	0,804 25	NS		0	4.132	0,804 25	0,804 25	NS		0	4.713	0,804 25	0,804 25	NS
P	S	00230	0	0	0,402 12	0,402 12	-	00231	0	0	0,402 12	0,402 12	-	00232	0	0	0,402 12	0,402 12	-
	I		32.48 8	830.6 49	0,536 17	0,536 17	11,9 7		27.54 6	833.9 79	0,536 17	0,536 17	11,8 6		90.27 2	766.4 82	0,536 17	0,536 17	14,91
S	S		-17.63 3	89.29 9	0,804 25	0,804 25	70,9 9		40.61 4	106.9 59	0,804 25	0,804 25	59,4 8		67.57 2	116.3 68	0,804 25	0,804 25	54,90
	I		0	3.470	0,804 25	0,804 25	NS		0	273	0,804 25	0,804 25	NS		0	0	0,804 25	0,804 25	-
P	S	00233	0	0	0,402 12	0,402 12	-	00234	0	0	0,402 12	0,402 12	-	00235	0	0	0,402 12	0,402 12	-
	I		54.19 1	757.0 11	0,536 17	0,536 17	15,6 7		49.31 9	682.0 73	0,536 17	0,536 17	23,1 5		47.24 7	574.0 38	0,536 17	0,536 17	73,50
S	S		-33.99 4	55.62 8	0,804 25	0,804 25	NS		0	0	0,804 25	0,804 25	-		0	0	0,804 25	0,804 25	-
	I		0	1.085	0,804 25	0,804 25	NS		15.44 1	18.00 2	0,804 25	0,804 25	NS		-6.036	91.68 8	0,804 25	0,804 25	69,01
P	S	00236	0	0	0,402 12	0,402 12	-	00237	0	0	0,402 12	0,402 12	-	00238	0	0	0,402 12	0,402 12	-
	I		44.00 5	456.0 81	0,536 17	0,536 17	53,5 6		40.28 8	336.2 62	0,536 17	0,536 17	19,4 6		13.59 2	416.4 32	0,536 17	0,536 17	34,18
S	S		0	0	0,804 25	0,804 25	-		0	0	0,804 25	0,804 25	-		0	2.542	0,804 25	0,804 25	NS
	I		-466	166.4 99	0,804 25	0,804 25	37,9 7		6.177	234.8 46	0,804 25	0,804 25	26,8 9		4.678	179.1 85	0,804 25	0,804 25	35,25
P	S	00239	0	0	0,402 12	0,402 12	-	00240	0	0	0,402 12	0,402 12	-	00241	0	0	0,402 12	0,402 12	-
	I		43.46 1	581.7 71	0,536 17	0,536 17	63,6 7		39.58 7	724.3 92	0,536 17	0,536 17	18,3 0		37.12 2	845.7 65	0,536 17	0,536 17	11,40
S	S		0	0	0,804 25	0,804 25	-		0	0	0,804 25	0,804 25	-		0	0	0,804 25	0,804 25	-
	I		-9.694	111.2 19	0,804 25	0,804 25	56,9 3		12.34 9	55.42 8	0,804 25	0,804 25	NS		0	6.647	0,804 25	0,804 25	NS
P	S	00242	0	0	0,402 12	0,402 12	-	00243	0	0	0,402 12	0,402 12	-	00244	0	0	0,402 12	0,402 12	-
	I		35.13 8	932.7 70	0,536 17	0,536 17	8,97		35.32 4	972.3 81	0,536 17	0,536 17	8,18		49.50 1	956.7 78	0,536 17	0,536 17	8,44
S	S		-23.17 8	39.19 6	0,804 25	0,804 25	NS		36.68 1	60.06 6	0,804 25	0,804 25	NS		64.62 1	50.53 8	0,804 25	0,804 25	NS
	I		0	7.327	0,804 25	0,804 25	NS		0	7.624	0,804 25	0,804 25	NS		0	8.671	0,804 25	0,804 25	NS
P	S	00245	0	0	0,402 12	0,402 12	-	00246	0	0	0,402 12	0,402 12	-	00247	0	0	0,402 12	0,402 12	-
	I		48.83	907.5	0,536	0,536	9,53		42.92	827.0	0,536	0,536	12,0		38.48	701.5	0,536	0,536	20,66



Platee - Verifiche pressoflessione retta allo SLU

Dir	Pos	Nodo	N _{Ed} [N]	M _{Ed} [N-m]	A _S [cm²/cm]	A _{dF} [cm²/cm]	CS	Nodo	N _{Ed} [N]	M _{Ed} [N-m]	A _S [cm²/cm]	A _{dF} [cm²/cm]	CS	Nodo	N _{Ed} [N]	M _{Ed} [N-m]	A _S [cm²/cm]	A _{dF} [cm²/cm]	CS
			4	50	17	17			4	90	17	17			9	35	17	17	
S	S		-53.258	17.535	0,80425	0,80425	NS		0	0	0,80425	0,80425	-		0	0	0,80425	0,80425	-
	I		0	8.436	0,80425	0,80425	NS		-31.055	35.353	0,80425	0,80425	NS		-17.768	108.194	0,80425	0,80425	58,59
P	S	00248	0	0	0,40212	0,40212	-	00249	0	0	0,40212	0,40212	-	00250	0	0	0,40212	0,40212	-
	I		33.729	555.606	0,53617	0,53617	NS		27.186	401.871	0,53617	0,53617	29,99		7.611	250.097	0,53617	0,53617	13,47
S	S		0	0	0,80425	0,80425	-		0	0	0,80425	0,80425	-		0	0	0,80425	0,80425	-
	I		-9.150	184.689	0,80425	0,80425	34,28		-3.617	255.855	0,80425	0,80425	24,72		10.810	326.404	0,80425	0,80425	19,33
P	S	00251	0	517	0,40212	0,40212	7,05	00252	0	0	0,40212	0,40212	-	00253	0	0	0,40212	0,40212	-
	I		18.057	117.814	0,53617	0,53617	9,06		8.939	288.279	0,53617	0,53617	15,64		22.002	370.805	0,53617	0,53617	23,96
S	S		0	1.725	0,80425	0,80425	NS		0	0	0,80425	0,80425	-		0	0	0,80425	0,80425	-
	I		18.499	351.750	0,80425	0,80425	17,92		-10.829	353.623	0,80425	0,80425	17,91		-47.426	271.236	0,80425	0,80425	23,48
P	S	00254	0	0	0,40212	0,40212	-	00255	0	0	0,40212	0,40212	-	00256	0	0	0,40212	0,40212	-
	I		55.922	528.735	0,53617	0,53617	NS		35.705	718.156	0,53617	0,53617	18,90		34.740	888.513	0,53617	0,53617	10,06
S	S		0	0	0,80425	0,80425	-		0	0	0,80425	0,80425	-		0	0	0,80425	0,80425	-
	I		-45.883	207.724	0,80425	0,80425	30,65		-21.727	165.446	0,80425	0,80425	38,34		-22.540	114.606	0,80425	0,80425	55,36
P	S	00257	0	0	0,40212	0,40212	-	00258	0	0	0,40212	0,40212	-	00259	0	0	0,40212	0,40212	-
	I		35.108	1.031.494	0,53617	0,53617	7,23		37.344	1.126.615	0,53617	0,53617	6,08		43.208	1.157.448	0,53617	0,53617	5,78
S	S		0	0	0,80425	0,80425	-		0	0	0,80425	0,80425	-		0	0	0,80425	0,80425	-
	I		-27.979	68.660	0,80425	0,80425	92,48		-37.603	39.743	0,80425	0,80425	NS		-50.572	37.001	0,80425	0,80425	NS
P	S	00260	0	0	0,40212	0,40212	-	00261	0	0	0,40212	0,40212	-	00262	0	0	0,40212	0,40212	-
	I		48.407	1.121.254	0,53617	0,53617	6,12		41.556	1.027.970	0,53617	0,53617	7,26		35.358	880.534	0,53617	0,53617	10,29
S	S		0	0	0,80425	0,80425	-		0	0	0,80425	0,80425	-		0	0	0,80425	0,80425	-
	I		-55.458	62.688	0,80425	0,80425	NS		-43.451	112.516	0,80425	0,80425	56,57		-30.225	182.509	0,80425	0,80425	34,80
P	S	00263	0	0	0,40212	0,40212	-	00264	0	0	0,40212	0,40212	-	00265	0	0	0,40212	0,40212	-
	I		29.475	698.603	0,53617	0,53617	21,06		22.881	504.900	0,53617	0,53617	NS		14.346	316.624	0,53617	0,53617	17,75
S	S		0	0	0,80425	0,80425	-		0	0	0,80425	0,80425	-		0	0	0,80425	0,80425	-
	I		-20.296	261.261	0,80425	0,80425	24,27		-13.889	336.027	0,80425	0,80425	18,85		-12.837	397.758	0,80425	0,80425	15,93
P	S	00266	0	0	0,40212	0,40212	-	00267	0	0	0,40212	0,40212	-	00268	37.025	22.840	0,40212	0,40212	-
	I		14.080	123.549	0,53617	0,53617	9,20		50.736	36.888	0,53617	0,53617	7,49		0	10.692	0,53617	0,53617	7,20
S	S		0	0	0,80425	0,80425	-		0	0	0,80425	0,80425	-		0	0	0,80425	0,80425	-
	I		-33.985	444.200	0,80425	0,80425	14,31		-57.642	483.023	0,80425	0,80425	13,21		-1.579	521.822	0,80425	0,80425	12,12
P	S	00269	36.216	68.108	0,40212	0,40212	6,18	00270	0	0	0,40212	0,40212	-	00271	0	0	0,40212	0,40212	-
	I		0	11.247	0,53617	0,53617	7,21		15.408	143.545	0,53617	0,53617	9,68		16.203	211.771	0,53617	0,53617	11,79
S	S		0	0	0,80425	0,80425	-		0	0	0,80425	0,80425	-		0	0	0,80425	0,80425	-
	I		21.94	533.3	0,80425	0,80425	11,8		4.843	506.1	0,80425	0,80425	12,4		-	473.8	0,80425	0,80425	13,36



REGIONE BASILICATA - PROVINCIA DI MATERA - COMUNE DI FERRANDINA
PROGETTO DEFINITIVO
Parco Eolico "Montagnola"
Relazione preliminare sulle strutture

Platee - Verifiche pressoflessione retta allo SLU

Dir	Pos	Nodo	N _{Ed} [N]	M _{Ed} [N·m]	A _S [cm ² /cm]	A _{df} [cm ² /cm]	CS	Nodo	N _{Ed} [N]	M _{Ed} [N·m]	A _S [cm ² /cm]	A _{df} [cm ² /cm]	CS	Nodo	N _{Ed} [N]	M _{Ed} [N·m]	A _S [cm ² /cm]	A _{df} [cm ² /cm]	CS
			3	24	25	25	1			80	25	25	8		10.49	08	25	25	
P	S	00272	0	0	0,402 12	0,402 12	-	00273	0	0	0,402 12	0,402 12	-	00274	0	0	0,402 12	0,402 12	-
	I		23.26 1	323.1 72	0,536 17	0,536 17	18,2 8		40.00 4	470.5 52	0,536 17	0,536 17	68,0 5		30.35 7	682.0 93	0,536 17	0,536 17	23,26
S	S		0	0	0,804 25	0,804 25	-		0	0	0,804 25	0,804 25	-		0	0	0,804 25	0,804 25	-
	I		- 36.76 8	437.5 69	0,804 25	0,804 25	14,5 3		- 53.85 1	396.5 44	0,804 25	0,804 25	16,0 8		- 33.83 7	343.2 50	0,804 25	0,804 25	18,52
P	S	00275	0	0	0,402 12	0,402 12	-	00276	0	0	0,402 12	0,402 12	-	00277	0	0	0,402 12	0,402 12	-
	I		31.55 5	903.9 57	0,536 17	0,536 17	9,66		33.37 1	1.110. 940	0,536 17	0,536 17	6,25		36.17 8	1.276. 889	0,536 17	0,536 17	4,87
S	S		0	0	0,804 25	0,804 25	-		0	0	0,804 25	0,804 25	-		0	0	0,804 25	0,804 25	-
	I		- 29.33 5	291.6 00	0,804 25	0,804 25	21,7 8		- 32.51 5	242.2 84	0,804 25	0,804 25	26,2 3		- 39.44 6	202.8 30	0,804 25	0,804 25	31,36
P	S	00278	0	0	0,402 12	0,402 12	-	00279	0	0	0,402 12	0,402 12	-	00280	0	0	0,402 12	0,402 12	-
	I		40.19 4	1.373. 476	0,536 17	0,536 17	4,31		43.63 1	1.379. 729	0,536 17	0,536 17	4,27		41.62 3	1.292. 183	0,536 17	0,536 17	4,76
S	S		0	0	0,804 25	0,804 25	-		0	0	0,804 25	0,804 25	-		0	0	0,804 25	0,804 25	-
	I		- 48.00 0	185.1 99	0,804 25	0,804 25	34,3 9		- 53.43 1	198.5 60	0,804 25	0,804 25	32,1 1		- 50.57 8	244.0 91	0,804 25	0,804 25	26,11
P	S	00281	0	0	0,402 12	0,402 12	-	00282	0	0	0,402 12	0,402 12	-	00283	0	0	0,402 12	0,402 12	-
	I		35.69 9	1.123. 597	0,536 17	0,536 17	6,11		29.31 6	899.6 35	0,536 17	0,536 17	9,78		23.30 3	654.0 55	0,536 17	0,536 17	28,34
S	S		0	0	0,804 25	0,804 25	-		0	0	0,804 25	0,804 25	-		0	0	0,804 25	0,804 25	-
	I		- 41.71 5	314.9 64	0,804 25	0,804 25	20,2 0		- 32.02 4	398.3 38	0,804 25	0,804 25	15,9 5		- 24.54 2	478.6 14	0,804 25	0,804 25	13,26
P	S	00284	0	0	0,402 12	0,402 12	-	00285	0	0	0,402 12	0,402 12	-	00286	0	0	0,402 12	0,402 12	-
	I		18.29 9	415.5 95	0,536 17	0,536 17	33,8 7		18.79 7	202.7 17	0,536 17	0,536 17	11,4 5		36.42 5	32.92 2	0,536 17	0,536 17	7,46
S	S		0	0	0,804 25	0,804 25	-		0	0	0,804 25	0,804 25	-		0	0	0,804 25	0,804 25	-
	I		- 21.56 0	543.7 27	0,804 25	0,804 25	11,6 7		- 30.70 9	589.5 22	0,804 25	0,804 25	10,7 8		- 43.85 1	620.0 04	0,804 25	0,804 25	10,27
P	S	00287	29.81 7	55.98 3	0,402 12	0,402 12	6,32	00288	28.03 5	118.8 30	0,402 12	0,402 12	5,71	00289	29.61 8	140.1 75	0,402 12	0,402 12	5,52
	I		0	11.79 0	0,536 17	0,536 17	7,22		0	13.24 0	0,536 17	0,536 17	7,24		0	13.16 0	0,536 17	0,536 17	7,24
S	S		0	0	0,804 25	0,804 25	-		0	0	0,804 25	0,804 25	-		0	0	0,804 25	0,804 25	-
	I		- 17.68 7	627.1 88	0,804 25	0,804 25	10,1 1		6.492	625.9 81	0,804 25	0,804 25	10,0 9		24.58 9	609.4 14	0,804 25	0,804 25	10,33
P	S	00290	0	0	0,402 12	0,402 12	-	00291	0	0	0,402 12	0,402 12	-	00292	0	0	0,402 12	0,402 12	-
	I		15.38 8	39.11 1	0,536 17	0,536 17	7,59		19.69 4	121.5 32	0,536 17	0,536 17	9,14		24.95 8	238.3 36	0,536 17	0,536 17	12,85
S	S		0	0	0,804 25	0,804 25	-		0	0	0,804 25	0,804 25	-		0	0	0,804 25	0,804 25	-
	I		6.477	596.1 46	0,804 25	0,804 25	10,5 9		-7.599	600.4 86	0,804 25	0,804 25	10,5 4		- 24.99 1	598.7 64	0,804 25	0,804 25	10,60
P	S	00293	0	0	0,402 12	0,402 12	-	00294	0	0	0,402 12	0,402 12	-	00295	0	0	0,402 12	0,402 12	-
	I		33.46 6	399.6 77	0,536 17	0,536 17	29,4 1		33.16 8	618.2 44	0,536 17	0,536 17	39,0 4		30.67 0	880.6 04	0,536 17	0,536 17	10,30
S	S		0	0	0,804 25	0,804 25	-		0	0	0,804 25	0,804 25	-		0	0	0,804 25	0,804 25	-
	I		- 39.61 1	593.2 51	0,804 25	0,804 25	10,7 2		- 40.07 9	572.3 98	0,804 25	0,804 25	11,1 1		- 35.95 0	535.8 43	0,804 25	0,804 25	11,86
P	S	00296	0	0	0,402 12	0,402 12	-	00297	0	0	0,402 12	0,402 12	-	00298	0	0	0,402 12	0,402 12	-



Platee - Verifiche pressoflessione retta allo SLU

Dir	Pos	Nodo	N _{Ed} [N]	M _{Ed} [N-m]	A _s [cm ² /cm]	A _d [cm ² /cm]	CS	Nodo	N _{Ed} [N]	M _{Ed} [N-m]	A _s [cm ² /cm]	A _d [cm ² /cm]	CS	Nodo	N _{Ed} [N]	M _{Ed} [N-m]	A _s [cm ² /cm]	A _d [cm ² /cm]	CS
	I		31.76 6	1.154. 106	0,536 17	0,536 17	5,82		34.47 6	1.404. 882	0,536 17	0,536 17	4,16		37.82 3	1.591. 630	0,536 17	0,536 17	3,43
S	S		0	0	0,804 25	0,804 25	-		0	0	0,804 25	0,804 25	-		0	0	0,804 25	0,804 25	-
	I		- 36.99 0	490.0 98	0,804 25	0,804 25	12,9 7		- 42.26 1	443.7 74	0,804 25	0,804 25	14,3 4		- 49.10 1	410.5 21	0,804 25	0,804 25	15,52
P	S	00299	0	0	0,402 12	0,402 12	-	00300	0	0	0,402 12	0,402 12	-	00301	0	0	0,402 12	0,402 12	-
	I		40.49 4	1.673. 082	0,536 17	0,536 17	3,19		40.26 5	1.623. 028	0,536 17	0,536 17	3,33		36.41 2	1.445. 611	0,536 17	0,536 17	3,98
S	S		0	0	0,804 25	0,804 25	-		0	0	0,804 25	0,804 25	-		0	0	0,804 25	0,804 25	-
	I		- 54.48 4	406.0 55	0,804 25	0,804 25	15,7 0		- 55.31 9	440.4 51	0,804 25	0,804 25	14,4 8		- 50.86 8	510.7 64	0,804 25	0,804 25	12,48
P	S	00302	0	0	0,402 12	0,402 12	-	00303	0	0	0,402 12	0,402 12	-	00304	0	0	0,402 12	0,402 12	-
	I		30.49 9	1.175. 653	0,536 17	0,536 17	5,63		24.50 0	863.5 42	0,536 17	0,536 17	10,8 3		20.01 9	555.4 55	0,536 17	0,536 17	NS
S	S		0	0	0,804 25	0,804 25	-		0	0	0,804 25	0,804 25	-		0	0	0,804 25	0,804 25	-
	I		- 43.13 9	600.9 55	0,804 25	0,804 25	10,5 9		- 35.14 2	689.2 57	0,804 25	0,804 25	9,22		- 29.64 1	757.8 92	0,804 25	0,804 25	8,38
P	S	00305	0	0	0,402 12	0,402 12	-	00306	0	0	0,402 12	0,402 12	-	00307	26.06 1	79.63 10	0,402 12	0,402 12	6,08
	I		19.48 8	283.4 59	0,536 17	0,536 17	15,2 8		24.82 2	66.08 6	0,536 17	0,536 17	8,02		0	14.70 6	0,536 17	0,536 17	7,26
S	S		0	0	0,804 25	0,804 25	-		0	0	0,804 25	0,804 25	-		0	0	0,804 25	0,804 25	-
	I		- 29.50 6	798.2 00	0,804 25	0,804 25	7,96		- 31.41 8	809.1 71	0,804 25	0,804 25	7,85		- 22.67 0	791.4 10	0,804 25	0,804 25	8,02
P	S	00308	21.73 9	165.6 03	0,402 12	0,402 12	5,33	00309	20.28 2	209.8 65	0,402 12	0,402 12	5,01	00310	20.74 6	229.9 00	0,402 12	0,402 12	4,88
	I		0	14.91 0	0,536 17	0,536 17	7,26		0	14.46 7	0,536 17	0,536 17	7,26		0	12.25 7	0,536 17	0,536 17	7,23
S	S		0	0	0,804 25	0,804 25	-		0	0	0,804 25	0,804 25	-		0	0	0,804 25	0,804 25	-
	I		-3.921	754.9 95	0,804 25	0,804 25	8,38		14.09 0	712.4 28	0,804 25	0,804 25	8,85		28.26 8	669.1 34	0,804 25	0,804 25	9,41
P	S	00311	15.84 8	46.18 2	0,402 12	0,402 12	6,46	00312	0	0	0,402 12	0,402 12	-	00313	0	0	0,402 12	0,402 12	-
	I		0	10.87 7	0,536 17	0,536 17	7,21		21.48 2	21.75 0	0,536 17	0,536 17	7,32		24.85 2	129.9 56	0,536 17	0,536 17	9,32
S	S		0	0	0,804 25	0,804 25	-		0	0	0,804 25	0,804 25	-		0	0	0,804 25	0,804 25	-
	I		14.33 6	660.9 67	0,804 25	0,804 25	9,54		-5.326	708.3 00	0,804 25	0,804 25	8,93		- 18.73 0	757.2 68	0,804 25	0,804 25	8,37
P	S	00314	0	0	0,402 12	0,402 12	-	00315	0	0	0,402 12	0,402 12	-	00316	0	0	0,402 12	0,402 12	-
	I		29.37 6	293.7 44	0,536 17	0,536 17	15,9 2		31.77 9	520.0 15	0,536 17	0,536 17	NS		31.17 8	809.5 38	0,536 17	0,536 17	12,86
S	S		0	0	0,804 25	0,804 25	-		0	0	0,804 25	0,804 25	-		0	0	0,804 25	0,804 25	-
	I		- 30.37 0	798.7 45	0,804 25	0,804 25	7,95		- 36.94 3	825.4 72	0,804 25	0,804 25	7,70		- 38.80 1	829.7 51	0,804 25	0,804 25	7,67
P	S	00317	0	0	0,402 12	0,402 12	-	00318	0	0	0,402 12	0,402 12	-	00319	0	0	0,402 12	0,402 12	-
	I		31.26 5	1.142. 621	0,536 17	0,536 17	5,93		33.21 2	1.484. 980	0,536 17	0,536 17	3,82		36.12 5	1.786. 533	0,536 17	0,536 17	2,90
S	S		0	0	0,804 25	0,804 25	-		0	0	0,804 25	0,804 25	-		0	0	0,804 25	0,804 25	-
	I		- 40.71 6	810.3 30	0,804 25	0,804 25	7,85		- 45.28 7	772.4 42	0,804 25	0,804 25	8,24		- 51.69 4	729.8 57	0,804 25	0,804 25	8,73
P	S	00320	0	0	0,402 12	0,402 12	-	00321	0	0	0,402 12	0,402 12	-	00322	0	0	0,402 12	0,402 12	-
	I		38.64 9	1.984. 053	0,536 17	0,536 17	2,51		39.19 9	2.017. 646	0,536 17	0,536 17	2,45		36.75 6	1.861. 507	0,536 17	0,536 17	2,74
S	S		0	0	0,804 25	0,804 25	-		0	0	0,804 25	0,804 25	-		0	0	0,804 25	0,804 25	-
	I		-	704.5	0,804	0,804	9,05		-	719.0	0,804	0,804	8,88		-	782.3	0,804	0,804	8,16



Platee - Verifiche pressoflessione retta allo SLU

Dir	Pos	Nodo	NEd	MEd	AS	Adf	CS	Nodo	NEd	MEd	AS	Adf	CS	Nodo	NEd	MEd	AS	Adf	CS
			[N]	[N-m]	[cm ² /cm]	[cm ² /cm]			[N]	[N-m]	[cm ² /cm]	[cm ² /cm]			[N]	[N-m]	[cm ² /cm]	[cm ² /cm]	
			57.61 4	36	25	25			60.58 2	42	25	25			59.12 4	81	25	25	
P	S	00323	0	0	0,402 12	0,402 12	-	00324	0	0	0,402 12	0,402 12	-	00325	0	0	0,402 12	0,402 12	-
I			31.65 0	1.548. 552	0,536 17	0,536 17	3,58		25.38 5	1.153. 232	0,536 17	0,536 17	5,84		19.86 5	750.8 03	0,536 17	0,536 17	16,25
S	S		0	0	0,804 25	0,804 25	-		0	0	0,804 25	0,804 25	-		0	0	0,804 25	0,804 25	-
I			- 53.49 3	879.4 80	0,804 25	0,804 25	7,25		- 45.49 2	979.1 23	0,804 25	0,804 25	6,50		- 37.62 9	1.052. 433	0,804 25	0,804 25	6,04
P	S	00326	0	0	0,402 12	0,402 12	-	00327	0	0	0,402 12	0,402 12	-	00328	17.37 3	90.36 2	0,402 12	0,402 12	-
I			16.86 7	394.1 18	0,536 17	0,536 17	28,2 9		17.07 4	110.5 54	0,536 17	0,536 17	8,90		0	18.72 0	0,536 17	0,536 17	5,99 7,32
S	S		0	0	0,804 25	0,804 25	-		0	0	0,804 25	0,804 25	-		0	0	0,804 25	0,804 25	-
I			- 32.01 5	1.083. 789	0,804 25	0,804 25	5,86		- 28.00 0	1.071. 423	0,804 25	0,804 25	5,93		- 21.17 7	1.022. 124	0,804 25	0,804 25	6,21
P	S	00329	14.80 2	212.5 51	0,402 12	0,402 12	5,00	00330	11.54 1	275.5 45	0,402 12	0,402 12	4,61	00331	9.793	293.5 02	0,402 12	0,402 12	4,51
I			0	17.45 9	0,536 17	0,536 17	7,30		0	16.28 3	0,536 17	0,536 17	7,28		0	13.98 1	0,536 17	0,536 17	7,25
S	S		0	0	0,804 25	0,804 25	-		0	0	0,804 25	0,804 25	-		0	0	0,804 25	0,804 25	-
I			- 9.034	946.9 81	0,804 25	0,804 25	6,69		5.600	860.4 68	0,804 25	0,804 25	7,34		19.69 8	771.5 88	0,804 25	0,804 25	8,17
P	S	00332	9.306	287.7 76	0,402 12	0,402 12	4,54	00333	13.79 0	245.6 48	0,402 12	0,402 12	4,79	00334	-5.103	131.2 64	0,402 12	0,402 12	5,65
I			0	9.810	0,536 17	0,536 17	7,19		0	6.525	0,536 17	0,536 17	7,15		0	500	0,536 17	0,536 17	7,06
S	S		0	0	0,804 25	0,804 25	-		0	0	0,804 25	0,804 25	-		0	0	0,804 25	0,804 25	-
I			35.82 4	690.2 70	0,804 25	0,804 25	9,11		36.97 4	609.3 12	0,804 25	0,804 25	10,3 1		37.44 3	647.1 84	0,804 25	0,804 25	9,71
P	S	00335	18.36 6	144.7 59	0,402 12	0,402 12	5,50	00336	24.59 3	84.79 9	0,402 12	0,402 12	6,03	00337	0	0	0,402 12	0,402 12	-
I			0	4.508	0,536 17	0,536 17	7,12		0	12.63 7	0,536 17	0,536 17	7,23		0	16.80 9	0,536 17	0,536 17	7,29
S	S		0	0	0,804 25	0,804 25	-		0	0	0,804 25	0,804 25	-		0	0	0,804 25	0,804 25	-
I			25.84 3	718.7 16	0,804 25	0,804 25	8,76		-5.348	800.1 91	0,804 25	0,804 25	7,91		- 15.65 6	895.4 50	0,804 25	0,804 25	7,08
P	S	00338	0	0	0,402 12	0,402 12	-	00339	0	0	0,402 12	0,402 12	-	00340	0	0	0,402 12	0,402 12	-
I			26.63 3	162.3 20	0,536 17	0,536 17	10,1 5		28.83 1	383.0 24	0,536 17	0,536 17	25,9 8		29.91 7	682.8 87	0,536 17	0,536 17	23,14
S	S		0	0	0,804 25	0,804 25	-		0	0	0,804 25	0,804 25	-		0	0	0,804 25	0,804 25	-
I			- 24.62 5	993.2 41	0,804 25	0,804 25	6,39		- 31.99 4	1.082. 917	0,804 25	0,804 25	5,87		- 37.24 6	1.151. 798	0,804 25	0,804 25	5,52
P	S	00341	0	0	0,402 12	0,402 12	-	00342	0	0	0,402 12	0,402 12	-	00343	0	0	0,402 12	0,402 12	-
I			30.62 2	1.058. 459	0,536 17	0,536 17	6,87		32.26 2	1.486. 486	0,536 17	0,536 17	3,81		34.94 1	1.918. 640	0,536 17	0,536 17	2,63
S	S		0	0	0,804 25	0,804 25	-		0	0	0,804 25	0,804 25	-		0	0	0,804 25	0,804 25	-
I			- 41.71 2	1.188. 855	0,804 25	0,804 25	5,35		- 47.24 5	1.188. 973	0,804 25	0,804 25	5,36		- 54.29 8	1.158. 189	0,804 25	0,804 25	5,51
P	S	00344	0	0	0,402 12	0,402 12	-	00345	0	0	0,402 12	0,402 12	-	00346	0	0	0,402 12	0,402 12	-
I			37.64 6	2.276. 382	0,536 17	0,536 17	2,09		38.90 7	2.459. 714	0,536 17	0,536 17	1,89		37.43 3	2.384. 479	0,536 17	0,536 17	1,97
S	S		0	0	0,804 25	0,804 25	-		0	0	0,804 25	0,804 25	-		0	0	0,804 25	0,804 25	-
I			- 61.53 4	1.118. 542	0,804 25	0,804 25	5,71		- 66.74 4	1.105. 234	0,804 25	0,804 25	5,78		- 67.91 9	1.149. 440	0,804 25	0,804 25	5,56
P	S	00347	0	0	0,402 12	0,402 12	-	00348	0	0	0,402 12	0,402 12	-	00349	0	0	0,402 12	0,402 12	-
I		32.83 7	2.048. 755	0,536 17	0,536 17	2,41	26.03 1	1.552. 407	0,536 17	0,536 17	3,57	18.91 7	1.021. 031	0,536 17	0,536 17	7,41			



Platee - Verifiche pressoflessione retta allo SLU

Dir	Pos	Nodo	N _{Ed} [N]	M _{Ed} [N-m]	A _s [cm ² /cm]	A _{df} [cm ² /cm]	CS	Nodo	N _{Ed} [N]	M _{Ed} [N-m]	A _s [cm ² /cm]	A _{df} [cm ² /cm]	CS	Nodo	N _{Ed} [N]	M _{Ed} [N-m]	A _s [cm ² /cm]	A _{df} [cm ² /cm]	CS
S	S		0	0	0,804 25	0,804 25	-		0	0	0,804 25	0,804 25	-		0	0	0,804 25	0,804 25	-
	I		- 64.18 6	1.249. 794	0,804 25	0,804 25	5,11		- 56.30 2	1.365. 223	0,804 25	0,804 25	4,67		- 46.40 2	1.447. 560	0,804 25	0,804 25	4,40
P	S	00350	0	0	0,402 12	0,402 12	-	00351	0	0	0,402 12	0,402 12	-	00352	8.789	96.02 8	0,402 12	0,402 12	5,95
	I		13.44 1	545.0 38	0,536 17	0,536 17	NS		10.44 8	169.2 12	0,536 17	0,536 17	10,3 9		0	22.19 2	0,536 17	0,536 17	7,37
S	S		0	0	0,804 25	0,804 25	-		0	0	0,804 25	0,804 25	-		0	0	0,804 25	0,804 25	-
	I		- 36.88 0	1.468. 877	0,804 25	0,804 25	4,33		- 28.66 4	1.425. 730	0,804 25	0,804 25	4,45		- 20.46 0	1.331. 031	0,804 25	0,804 25	4,76
P	S	00353	6.515	259.9 71	0,402 12	0,402 12	4,71	00354	3.084	343.8 43	0,402 12	0,402 12	4,26	00355	-729	371.8 30	0,402 12	0,402 12	4,13
	I		0	20.35 9	0,536 17	0,536 17	7,34		0	18.71 7	0,536 17	0,536 17	7,32		0	16.29 4	0,536 17	0,536 17	7,28
S	S		0	0	0,804 25	0,804 25	-		0	0	0,804 25	0,804 25	-		0	0	0,804 25	0,804 25	-
	I		- 10.59 3	1.203. 880	0,804 25	0,804 25	5,26		908	1.063. 335	0,804 25	0,804 25	5,94		12.58 8	923.9 54	0,804 25	0,804 25	6,83
P	S	00356	-4.277	366.9 23	0,402 12	0,402 12	4,16	00357	- 16.81 9	352.8 25	0,402 12	0,402 12	4,24	00358	-2.963	293.0 47	0,402 12	0,402 12	4,53
	I		0	11.65 6	0,536 17	0,536 17	7,22		0	2.532	0,536 17	0,536 17	7,09		0	659	0,536 17	0,536 17	7,07
S	S		0	0	0,804 25	0,804 25	-		0	0	0,804 25	0,804 25	-		0	0	0,804 25	0,804 25	-
	I		24.59 2	795.1 63	0,804 25	0,804 25	7,92		56.91 7	680.5 71	0,804 25	0,804 25	9,21		33.33 2	600.0 93	0,804 25	0,804 25	10,48
P	S	00359	- 23.43 3	170.1 68	0,402 12	0,402 12	5,36	00360	26.96 5	178.0 98	0,402 12	0,402 12	5,23	00361	23.10 5	104.3 74	0,402 12	0,402 12	5,85
	I		0	1.548	0,536 17	0,536 17	7,08		0	9.399	0,536 17	0,536 17	7,19		0	15.57 2	0,536 17	0,536 17	7,27
S	S		0	0	0,804 25	0,804 25	-		0	0	0,804 25	0,804 25	-		0	0	0,804 25	0,804 25	-
	I		- 25.68 6	686.5 11	0,804 25	0,804 25	9,25		-9.316	846.4 48	0,804 25	0,804 25	7,48		- 14.88 8	996.5 37	0,804 25	0,804 25	6,36
P	S	00362	0	0	0,402 12	0,402 12	-	00363	0	0	0,402 12	0,402 12	-	00364	0	0	0,402 12	0,402 12	-
	I		23.78 9	20.94 3	0,536 17	0,536 17	7,30		25.61 2	217.6 42	0,536 17	0,536 17	11,9 8		27.35 4	504.0 08	0,536 17	0,536 17	NS
S	S		0	0	0,804 25	0,804 25	-		0	0	0,804 25	0,804 25	-		0	0	0,804 25	0,804 25	-
	I		- 20.98 3	1.152. 558	0,804 25	0,804 25	5,50		- 27.42 8	1.313. 836	0,804 25	0,804 25	4,83		- 33.60 5	1.467. 523	0,804 25	0,804 25	4,33
P	S	00365	0	0	0,402 12	0,402 12	-	00366	0	0	0,402 12	0,402 12	-	00367	0	0	0,402 12	0,402 12	-
	I		28.92 2	892.6 02	0,536 17	0,536 17	9,97		30.94 0	1.380. 740	0,536 17	0,536 17	4,28		33.82 3	1.937. 700	4,557 41	4,557 41	1,43
S	S		0	0	0,804 25	0,804 25	-		0	0	0,804 25	0,804 25	-		0	0	0,804 25	0,804 25	-
	I		- 39.80 2	1.594. 842	0,804 25	0,804 25	3,99		- 46.92 2	1.676. 316	0,804 25	0,804 25	3,80		- 55.51 3	1.700. 180	8,846 73	8,846 73	1,45
P	S	00368	0	0	0,402 12	0,402 12	-	00369	0	0	0,402 12	0,402 12	-	00370	0	0	0,402 12	0,402 12	-
	I		37.05 8	2.488. 157	4,557 41	4,557 41	1,50		39.30 7	2.901. 519	4,557 41	4,557 41	1,56		38.94 0	3.012. 754	4,557 41	4,557 41	1,57
S	S		0	0	0,804 25	0,804 25	-		0	0	0,804 25	0,804 25	-		0	0	0,804 25	0,804 25	-
	I		- 64.89 9	1.674. 540	8,846 73	8,846 73	1,45		- 73.14 6	1.636. 636	8,846 73	8,846 73	1,45		- 77.69 7	1.644. 628	8,846 73	8,846 73	1,45
P	S	00371	0	0	0,402 12	0,402 12	-	00372	0	0	0,402 12	0,402 12	-	00373	0	0	0,402 12	0,402 12	-
	I		34.77 2	2.717. 304	4,557 41	4,557 41	1,53		27.02 6	2.107. 398	4,557 41	4,557 41	1,45		17.70 5	1.396. 897	4,557 41	4,557 41	1,37
S	S		0	0	0,804 25	0,804 25	-		0	0	0,804 25	0,804 25	-		0	0	0,804 25	0,804 25	-
	I		-	1.735.	8,846	8,846	1,46		-	1.871.	8,846	8,846	1,47		-	1.971.	8,846	8,846	1,48



Platee - Verifiche pressoflessione retta allo SLU

Dir	Pos	Nodo	N _{Ed} [N]	M _{Ed} [N-m]	A _S [cm ² /cm]	A _{dF} [cm ² /cm]	CS	Nodo	N _{Ed} [N]	M _{Ed} [N-m]	A _S [cm ² /cm]	A _{dF} [cm ² /cm]	CS	Nodo	N _{Ed} [N]	M _{Ed} [N-m]	A _S [cm ² /cm]	A _{dF} [cm ² /cm]	CS
			76.41 2	663	73	73			68.82 4	728	73	73			56.78 0	546	73	73	
P	S	00374	0	0	0,402 12	0,402 12	-	00375	0	0	0,402 12	0,402 12	-	00376	730	104.3 39	0,402 12	0,402 12	5,88
I			9.510	749.8 15	0,536 17	0,536 17	16,3 6	3.980	244.4 94	0,536 17	0,536 17	13,2 1	0	24.81 2	0,536 17	0,536 17	7,41		
S	S		0	0	0,804 25	0,804 25	-	0	0	0,804 25	0,804 25	-	0	0	0	0,804 25	0,804 25	-	
I			43.52 0	1.982. 260	0,804 25	0,804 25	3,21	31.50 3	1.896. 070	0,804 25	0,804 25	3,35	21.07 6	1.735. 723	0,804 25	0,804 25	3,65		
P	S	00377	-1.683	315.5 93	0,402 12	0,402 12	4,41	00378	-4.498	421.0 08	0,402 12	0,402 12	3,92	00379	-8.347	453.8 15	0,402 12	0,402 12	3,79
I			0	22.97 7	0,536 17	0,536 17	7,38	0	21.08 2	0,536 17	0,536 17	7,35	0	18.64 7	0,536 17	0,536 17	7,32		
S	S		0	0	0,804 25	0,804 25	-	0	0	0,804 25	0,804 25	-	0	0	0	0,804 25	0,804 25	-	
I			11.32 0	1.534. 369	0,804 25	0,804 25	4,13	-1.594	1.321. 895	0,804 25	0,804 25	4,78	7.749	1.119. 095	0,804 25	0,804 25	5,64		
P	S	00380	-13.99 1	442.6 93	0,402 12	0,402 12	3,84	00381	-22.05 6	412.9 39	0,402 12	0,402 12	3,97	00382	4.346	285.2 95	0,402 12	0,402 12	4,56
I			0	14.71 6	0,536 17	0,536 17	7,26	0	7.373	0,536 17	0,536 17	7,16	0	1.495	0,536 17	0,536 17	7,08		
S	S		0	0	0,804 25	0,804 25	-	0	0	0,804 25	0,804 25	-	0	0	0	0,804 25	0,804 25	-	
I			15.28 7	935.9 14	0,804 25	0,804 25	6,74	17.77 5	767.5 83	0,804 25	0,804 25	8,21	448	565.8 93	0,804 25	0,804 25	11,17		
P	S	00383	-3.020	174.0 84	0,402 12	0,402 12	5,30	00384	4.818	230.9 10	0,402 12	0,402 12	4,89	00385	21.13 9	254.3 69	0,402 12	0,402 12	4,72
I			0	2.492	0,536 17	0,536 17	7,09	0	144	0,536 17	0,536 17	7,06	0	3.668	0,536 17	0,536 17	7,11		
S	S		0	0	0,804 25	0,804 25	-	0	0	0,804 25	0,804 25	-	0	0	0	0,804 25	0,804 25	-	
I			11.07 2	681.2 05	0,804 25	0,804 25	9,30	44.10 8	769.2 49	0,804 25	0,804 25	8,28	44.28 3	894.3 55	0,804 25	0,804 25	7,12		
P	S	00386	17.00 9	203.1 67	0,402 12	0,402 12	5,06	00387	19.63 5	110.1 62	0,402 12	0,402 12	5,80	00388	0	0	0,402 12	0,402 12	-
I			0	12.77 0	0,536 17	0,536 17	7,23	0	17.95 0	0,536 17	0,536 17	7,31	22.11 1	46.97 4	0,536 17	0,536 17	7,70		
S	S		0	0	0,804 25	0,804 25	-	0	0	0,804 25	0,804 25	-	0	0	0	0,804 25	0,804 25	-	
I			18.43 4	1.052. 974	0,804 25	0,804 25	6,02	19.24 4	1.251. 930	0,804 25	0,804 25	5,06	23.73 8	1.480. 360	0,804 25	0,804 25	4,29		
P	S	00389	0	0	0,402 12	0,402 12	-	00390	0	0	0,402 12	0,402 12	-	00391	0	0	0,402 12	0,402 12	-
I			24.37 4	293.4 49	0,536 17	0,536 17	15,9 2	26.52 3	655.7 88	0,536 17	0,536 17	27,9 4	29.00 6	1.155. 977	0,536 17	0,536 17	5,81		
S	S		0	0	0,804 25	0,804 25	-	0	0	0,804 25	0,804 25	-	0	0	0	0,804 25	0,804 25	-	
I			29.41 6	1.726. 959	0,804 25	0,804 25	3,68	36.01 5	1.972. 104	0,804 25	0,804 25	3,22	44.08 5	2.185. 528	0,804 25	0,804 25	2,91		
P	S	00392	0	0	0,402 12	0,402 12	-	00393	0	0	0,402 12	0,402 12	-	00394	0	0	0,402 12	0,402 12	-
I			32.34 1	1.796. 747	4,557 41	4,557 41	1,41	36.45 9	2.535. 111	4,557 41	4,557 41	1,50	40.14 8	3.245. 406	4,557 41	4,557 41	1,61		
S	S		0	0	0,804 25	0,804 25	-	0	0	0,804 25	0,804 25	-	0	0	0	0,804 25	0,804 25	-	
I			54.26 0	2.331. 858	8,846 73	8,846 73	1,51	66.31 1	2.386. 664	8,846 73	8,846 73	1,51	78.54 1	2.362. 103	8,846 73	8,846 73	1,51		
P	S	00395	0	0	0,402 12	0,402 12	-	00396	0	0	0,402 12	0,402 12	-	00397	0	0	0,402 12	0,402 12	-
I			41.44 4	3.695. 148	4,557 41	4,557 41	1,68	38.21 0	3.597. 736	4,557 41	4,557 41	1,66	29.32 5	2.895. 845	4,557 41	4,557 41	1,56		
S	S		0	0	0,804 25	0,804 25	-	0	0	0,804 25	0,804 25	-	0	0	0	0,804 25	0,804 25	-	
I			87.97 3	2.325. 744	8,846 73	8,846 73	1,51	90.90 5	2.377. 204	8,846 73	8,846 73	1,51	84.62 4	2.533. 450	8,846 73	8,846 73	1,53		
P	S	00398	0	0	0,402 12	0,402 12	-	00399	0	0	0,402 12	0,402 12	-	00400	0	0	0,402 12	0,402 12	-



Platee - Verifiche pressoflessione retta allo SLU

Dir	Pos	Nodo	N _{Ed} [N]	M _{Ed} [N-m]	A _s [cm ² /cm]	A _{df} [cm ² /cm]	CS	Nodo	N _{Ed} [N]	M _{Ed} [N-m]	A _s [cm ² /cm]	A _{df} [cm ² /cm]	CS	Nodo	N _{Ed} [N]	M _{Ed} [N-m]	A _s [cm ² /cm]	A _{df} [cm ² /cm]	CS
	I		16.70 4	1.930. 709	4,557 41	4,557 41	1,43		4.800	1.028. 400	4,557 41	4,557 41	1,33		-3.296	335.9 22	0,536 17	0,536 17	19,66
S	S		0	0	0,804 25	0,804 25	-		0	0	0,804 25	0,804 25	-		0	0	0,804 25	0,804 25	-
	I		- 70.04 8	2.666. 560	8,846 73	8,846 73	1,54		- 52.02 6	2.668. 042	8,846 73	8,846 73	1,54		- 35.53 9	2.518. 348	0,804 25	0,804 25	2,52
P	S	00401	-7.686	124.4 21	0,402 12	0,402 12	5,72	00402	-9.901	389.6 81	0,402 12	0,402 12	4,06	00403	- 11.44 0	513.4 51	0,402 12	0,402 12	3,58
	I		0	26.76 7	0,536 17	0,536 17	7,44		0	25.11 2	0,536 17	0,536 17	7,41		0	23.18 4	0,536 17	0,536 17	7,38
S	S		0	0	0,804 25	0,804 25	-		0	0	0,804 25	0,804 25	-		0	0	0,804 25	0,804 25	-
	I		- 22.33 6	2.258. 322	0,804 25	0,804 25	2,81		- 11.76 8	1.946. 772	0,804 25	0,804 25	3,25		- 2.815	1.632. 744	0,804 25	0,804 25	3,87
P	S	00404	- 13.25 0	545.2 56	0,402 12	0,402 12	3,47	00405	- 15.79 6	523.7 02	0,402 12	0,402 12	3,55	00406	- 19.01 4	477.0 68	0,402 12	0,402 12	3,71
	I		0	20.75 2	0,536 17	0,536 17	7,35		0	17.23 7	0,536 17	0,536 17	7,30		0	11.58 3	0,536 17	0,536 17	7,22
S	S		0	0	0,804 25	0,804 25	-		0	0	0,804 25	0,804 25	-		0	0	0,804 25	0,804 25	-
	I		4.894	1.346. 319	0,804 25	0,804 25	4,69		10.65 8	1.100. 844	0,804 25	0,804 25	5,73		10.95 0	901.4 29	0,804 25	0,804 25	7,00
P	S	00407	- 10.07 4	424.4 71	0,402 12	0,402 12	3,91	00408	11.97 3	319.6 84	0,402 12	0,402 12	4,37	00409	124	170.3 34	0,402 12	0,402 12	5,33
	I		0	1.736	0,536 17	0,536 17	7,08		0	917	0,536 17	0,536 17	7,07		0	2.689	0,536 17	0,536 17	7,09
S	S		0	0	0,804 25	0,804 25	-		0	0	0,804 25	0,804 25	-		0	0	0,804 25	0,804 25	-
	I		- 14.75 8	749.7 86	0,804 25	0,804 25	8,45		- 7.194	627.7 91	0,804 25	0,804 25	10,0 8		- 12.31 9	683.1 17	0,804 25	0,804 25	9,27
P	S	00410	4.643	230.7 91	0,402 12	0,402 12	4,89	00411	18.46 3	271.6 61	0,402 12	0,402 12	4,63	00412	14.75 2	264.8 46	0,402 12	0,402 12	4,67
	I		0	3.439	0,536 17	0,536 17	7,10		0	4.354	0,536 17	0,536 17	7,12		0	10.10 4	0,536 17	0,536 17	7,20
S	S		0	0	0,804 25	0,804 25	-		0	0	0,804 25	0,804 25	-		0	0	0,804 25	0,804 25	-
	I		- 22.23 2	754.0 53	0,804 25	0,804 25	8,41		- 34.03 4	889.5 07	0,804 25	0,804 25	7,15		- 24.33 6	1.059. 794	0,804 25	0,804 25	5,99
P	S	00413	16.19 0	209.7 78	0,402 12	0,402 12	5,02	00414	19.08 1	99.51 6	0,402 12	0,402 12	5,90	00415	0	0	0,402 12	0,402 12	-
	I		0	15.86 0	0,536 17	0,536 17	7,28		0	20.11 4	0,536 17	0,536 17	7,34		21.74 2	88.19 1	0,536 17	0,536 17	8,43
S	S		0	0	0,804 25	0,804 25	-		0	0	0,804 25	0,804 25	-		0	0	0,804 25	0,804 25	-
	I		- 19.33 6	1.277. 919	0,804 25	0,804 25	4,96		- 21.22 5	1.549. 763	0,804 25	0,804 25	4,09		- 25.56 9	1.873. 852	0,804 25	0,804 25	3,39
P	S	00416	0	0	0,402 12	0,402 12	-	00417	0	0	0,402 12	0,402 12	-	00418	0	0	0,402 12	0,402 12	-
	I		24.22 3	386.1 04	0,536 17	0,536 17	26,6 0		26.93 9	835.8 37	0,536 17	0,536 17	11,7 9		30.52 1	1.479. 730	0,536 17	0,536 17	3,84
S	S		0	0	0,804 25	0,804 25	-		0	0	0,804 25	0,804 25	-		0	0	0,804 25	0,804 25	-
	I		- 31.48 0	2.239. 964	0,804 25	0,804 25	2,84		- 39.35 0	2.621. 769	0,804 25	0,804 25	2,43		- 50.11 5	2.970. 321	0,804 25	0,804 25	2,15
P	S	00419	0	0	0,402 12	0,402 12	-	00420	0	0	0,402 12	0,402 12	-	00421	0	0	0,402 12	0,402 12	-
	I		35.48 0	2.335. 722	4,557 41	4,557 41	1,48		41.23 0	3.343. 268	4,557 41	4,557 41	1,62		45.05 0	4.277. 377	4,557 41	4,557 41	1,78
S	S		0	0	0,804 25	0,804 25	-		0	0	0,804 25	0,804 25	-		0	0	0,804 25	0,804 25	-
	I		- 64.46 4	3.219. 792	8,846 73	8,846 73	1,59		- 81.33 4	3.318. 428	8,846 73	8,846 73	1,60		- 97.32 6	3.285. 985	8,846 73	8,846 73	1,60
P	S	00422	0	0	0,402 12	0,402 12	-	00423	0	0	0,402 12	0,402 12	-	00424	0	0	0,402 12	0,402 12	-
	I		43.83 0	4.680. 297	4,557 41	4,557 41	1,86		34.35 0	4.052. 555	4,557 41	4,557 41	1,74		16.69 2	2.719. 540	4,557 41	4,557 41	1,53



REGIONE BASILICATA - PROVINCIA DI MATERA - COMUNE DI FERRANDINA
PROGETTO DEFINITIVO
Parco Eolico "Montagnola"
Relazione preliminare sulle strutture

Platee - Verifiche pressoflessione retta allo SLU

Dir	Pos	Nodo	N _{Ed} [N]	M _{Ed} [N-m]	A _s [cm ² /cm]	A _{df} [cm ² /cm]	CS	Nodo	N _{Ed} [N]	M _{Ed} [N-m]	A _s [cm ² /cm]	A _{df} [cm ² /cm]	CS	Nodo	N _{Ed} [N]	M _{Ed} [N-m]	A _s [cm ² /cm]	A _{df} [cm ² /cm]	CS
S	S		0	0	0,804 25	0,804 25	-		0	0	0,804 25	0,804 25	-		0	0	0,804 25	0,804 25	-
	I		- 107.5 25	3.258. 217	8,846 73	8,846 73	1,60		- 105.5 45	3.403. 366	8,846 73	8,846 73	1,61		- 88.43 1	3.599. 886	8,846 73	8,846 73	1,63
P	S	00425	0	0	0,402 12	0,402 12	-	00426	0	0	0,402 12	0,402 12	-	00427	17.81 0	173.3 38	0,402 12	0,402 12	5,33
	I		-1.391	1.414. 192	4,557 41	4,557 41	1,37		- 12.76 1	438.1 84	0,536 17	0,536 17	43,1 4		0	28.24 9	0,536 17	0,536 17	7,46
S	S		0	0	0,804 25	0,804 25	-		0	0	0,804 25	0,804 25	-		0	0	0,804 25	0,804 25	-
	I		- 63.07 1	3.599. 614	8,846 73	8,846 73	1,63		- 40.06 2	3.350. 066	0,804 25	0,804 25	1,90		- 23.29 2	2.929. 167	0,804 25	0,804 25	2,17
P	S	00428	- 19.18 3	497.3 13	0,402 12	0,402 12	3,64	00429	- 18.97 0	629.6 43	0,402 12	0,402 12	3,22	00430	18.31 7	648.4 82	0,402 12	0,402 12	3,17
	I		0	26.81 5	0,536 17	0,536 17	7,44		0	25.01 0	0,536 17	0,536 17	7,41		0	22.68 6	0,536 17	0,536 17	7,38
S	S		0	0	0,804 25	0,804 25	-		0	0	0,804 25	0,804 25	-		0	0	0,804 25	0,804 25	-
	I		- 11.49 7	2.446. 756	0,804 25	0,804 25	2,59		-2.853	1.985. 636	0,804 25	0,804 25	3,19		3.677	1.587. 570	0,804 25	0,804 25	3,98
P	S	00431	- 17.47 1	607.3 08	0,402 12	0,402 12	3,29	00432	- 15.40 7	538.9 51	0,402 12	0,402 12	3,49	00433	-7.784	461.5 21	0,402 12	0,402 12	3,76
	I		0	19.49 8	0,536 17	0,536 17	7,33		0	14.96 2	0,536 17	0,536 17	7,26		0	8.935	0,536 17	0,536 17	7,18
S	S		0	0	0,804 25	0,804 25	-		0	0	0,804 25	0,804 25	-		0	0	0,804 25	0,804 25	-
	I		8.037	1.263. 644	0,804 25	0,804 25	5,00		8.404	1.009. 325	0,804 25	0,804 25	6,25		362	814.2 04	0,804 25	0,804 25	7,76
P	S	00434	5.624	381.3 08	0,402 12	0,402 12	4,08	00435	2.663	295.6 64	0,402 12	0,402 12	4,51	00436	3.304	207.2 91	0,402 12	0,402 12	5,05
	I		0	3.714	0,536 17	0,536 17	7,11		0	3.469	0,536 17	0,536 17	7,10		0	3.981	0,536 17	0,536 17	7,11
S	S		0	0	0,804 25	0,804 25	-		0	0	0,804 25	0,804 25	-		0	0	0,804 25	0,804 25	-
	I		-2.549	667.4 84	0,804 25	0,804 25	9,47		15.18 5	545.8 43	0,804 25	0,804 25	11,5 5		- 12.26 9	708.3 55	0,804 25	0,804 25	8,94
P	S	00437	11.99 2	262.1 96	0,402 12	0,402 12	4,69	00438	16.05 1	281.4 25	0,402 12	0,402 12	4,57	00439	16.42 1	260.4 54	0,402 12	0,402 12	4,69
	I		0	5.578	0,536 17	0,536 17	7,13		0	9.086	0,536 17	0,536 17	7,18		0	14.13 2	0,536 17	0,536 17	7,25
S	S		0	0	0,804 25	0,804 25	-		0	0	0,804 25	0,804 25	-		0	0	0,804 25	0,804 25	-
	I		- 20.61 9	834.1 33	0,804 25	0,804 25	7,60		- 22.71 6	1.002. 765	0,804 25	0,804 25	6,33		- 20.68 1	1.222. 456	0,804 25	0,804 25	5,19
P	S	00440	18.00 3	194.7 63	0,402 12	0,402 12	5,12	00441	20.30 0	69.11 0	0,402 12	0,402 12	6,20	00442	0	0	0,402 12	0,402 12	-
	I		0	18.65 6	0,536 17	0,536 17	7,32		0	22.20 1	0,536 17	0,536 17	7,37		22.75 5	144.2 95	0,536 17	0,536 17	9,68
S	S		0	0	0,804 25	0,804 25	-		0	0	0,804 25	0,804 25	-		0	0	0,804 25	0,804 25	-
	I		- 20.28 2	1.506. 900	0,804 25	0,804 25	4,21		- 22.72 5	1.868. 498	0,804 25	0,804 25	3,40		- 27.17 4	2.316. 888	0,804 25	0,804 25	2,74
P	S	00443	0	0	0,402 12	0,402 12	-	00444	0	0	0,402 12	0,402 12	-	00445	0	0	0,402 12	0,402 12	-
	I		25.48 0	490.5 70	0,536 17	0,536 17	NS		28.99 7	1.037. 094	0,536 17	0,536 17	7,16		34.17 2	1.868. 150	4,557 41	4,557 41	1,42
S	S		0	0	0,804 25	0,804 25	-		0	0	0,804 25	0,804 25	-		0	0	0,804 25	0,804 25	-
	I		- 33.78 6	2.851. 716	0,804 25	0,804 25	2,23		- 43.61 2	3.445. 806	0,804 25	0,804 25	1,85		- 58.37 7	4.022. 405	8,846 73	8,846 73	1,67
P	S	00446	0	0	0,402 12	0,402 12	-	00447	0	0	0,402 12	0,402 12	-	00448	0	0	0,402 12	0,402 12	-
	I		41.82 0	3.043. 538	4,557 41	4,557 41	1,58		50.36 8	4.478. 755	4,557 41	4,557 41	1,82		52.71 8	5.741. 593	4,557 41	4,557 41	2,10
S	S		0	0	0,804	0,804	-		0	0	0,804	0,804	-		0	0	0,804	0,804	-



Platee - Verifiche pressoflessione retta allo SLU

Dir	Pos	Nodo	N _{Ed} [N]	M _{Ed} [N-m]	A _S [cm ² /cm]	A _{dF} [cm ² /cm]	CS	Nodo	N _{Ed} [N]	M _{Ed} [N-m]	A _S [cm ² /cm]	A _{dF} [cm ² /cm]	CS	Nodo	N _{Ed} [N]	M _{Ed} [N-m]	A _S [cm ² /cm]	A _{dF} [cm ² /cm]	CS
	I		- 79.41 4	4.453. 117	8,846 73	8,846 73	1,72		- 103.8 41	4.622. 372	8,846 73	8,846 73	1,74		- 124.5 92	4.560. 876	8,846 73	8,846 73	1,74
P	S	00449	0	0	0,402 12	0,402 12	-	00450	0	0	0,402 12	0,402 12	-	00451	0	0	0,402 12	0,402 12	-
	I		44.31 7	5.763. 986	4,557 41	4,557 41	2,11		19.51 7	3.973. 526	4,557 41	4,557 41	1,73		- 10.71 0	1.970. 273	4,557 41	4,557 41	1,44
S	S		0	0	0,804 25	0,804 25	-		0	0	0,804 25	0,804 25	-		0	0	0,804 25	0,804 25	-
	I		- 133.2 39	4.585. 780	8,846 73	8,846 73	1,74		- 116.1 86	4.885. 882	8,846 73	8,846 73	1,78		- 78.14 1	4.910. 277	8,846 73	8,846 73	1,77
P	S	00452	0	0	0,402 12	0,402 12	-	00453	- 31.45 6	284.1 72	0,402 12	0,402 12	4,62	00454	- 30.70 1	661.4 40	0,402 12	0,402 12	3,15
	I		- 26.82 9	534.1 30	4,557 41	4,557 41	1,28		0	29.38 5	0,536 17	0,536 17	7,48		0	28.17 3	0,536 17	0,536 17	7,46
S	S		0	0	0,804 25	0,804 25	-		0	0	0,804 25	0,804 25	-		0	0	0,804 25	0,804 25	-
	I		- 44.03 8	4.491. 443	8,846 73	8,846 73	1,72		- 22.64 2	3.789. 528	0,804 25	0,804 25	1,67		- 9.670	3.027. 442	0,804 25	0,804 25	2,09
P	S	00455	- 27.97 8	778.8 15	0,402 12	0,402 12	2,86	00456	- 24.76 2	763.5 35	0,402 12	0,402 12	2,89	00457	- 21.36 2	689.2 48	0,402 12	0,402 12	3,07
	I		0	26.57 5	0,536 17	0,536 17	7,43		0	24.47 8	0,536 17	0,536 17	7,40		0	21.68 3	0,536 17	0,536 17	7,36
S	S		0	0	0,804 25	0,804 25	-		0	0	0,804 25	0,804 25	-		0	0	0,804 25	0,804 25	-
	I		-1.370	2.350. 624	0,804 25	0,804 25	2,69		4.201	1.808. 207	0,804 25	0,804 25	3,49		7.676	1.393. 886	0,804 25	0,804 25	4,53
P	S	00458	- 17.15 6	594.0 40	0,402 12	0,402 12	3,32	00459	- 10.64 6	496.4 84	0,402 12	0,402 12	3,64	00460	-1.946	404.1 27	0,402 12	0,402 12	3,99
	I		0	17.95 7	0,536 17	0,536 17	7,31		0	13.27 3	0,536 17	0,536 17	7,24		0	8.283	0,536 17	0,536 17	7,17
S	S		0	0	0,804 25	0,804 25	-		0	0	0,804 25	0,804 25	-		0	0	0,804 25	0,804 25	-
	I		8.668	1.083. 816	0,804 25	0,804 25	5,82		6.606	853.9 35	0,804 25	0,804 25	7,40		5.828	683.8 58	0,804 25	0,804 25	9,24
P	S	00461	1.699	316.4 97	0,402 12	0,402 12	4,40	00462	1.857	238.9 85	0,402 12	0,402 12	4,85	00463	910	179.5 48	0,402 12	0,402 12	5,26
	I		0	5.335	0,536 17	0,536 17	7,13		0	3.817	0,536 17	0,536 17	7,11		0	3.186	0,536 17	0,536 17	7,10
S	S		0	0	0,804 25	0,804 25	-		0	0	0,804 25	0,804 25	-		0	0	0,804 25	0,804 25	-
	I		14.04 7	555.8 56	0,804 25	0,804 25	11,3 5		29.95 5	462.0 34	0,804 25	0,804 25	13,6 2		-5.398	632.5 02	0,804 25	0,804 25	10,00
P	S	00464	7.864	229.4 48	0,402 12	0,402 12	4,90	00465	14.80 6	259.8 50	0,402 12	0,402 12	4,70	00466	17.80 6	260.4 30	0,402 12	0,402 12	4,69
	I		0	5.233	0,536 17	0,536 17	7,13		0	8.570	0,536 17	0,536 17	7,17		0	12.94 5	0,536 17	0,536 17	7,24
S	S		0	0	0,804 25	0,804 25	-		0	0	0,804 25	0,804 25	-		0	0	0,804 25	0,804 25	-
	I		-9.763	743.9 93	0,804 25	0,804 25	8,51		- 16.23 6	894.6 21	0,804 25	0,804 25	7,08		- 19.39 7	1.095. 436	0,804 25	0,804 25	5,79
P	S	00467	18.91 3	226.4 84	0,402 12	0,402 12	4,90	00468	20.37 1	149.1 73	0,402 12	0,402 12	5,46	00469	22.43 1	11.03 4	0,402 12	0,402 12	6,87
	I		0	17.36 4	0,536 17	0,536 17	7,30		0	21.13 4	0,536 17	0,536 17	7,35		0	24.11 1	0,536 17	0,536 17	7,40
S	S		0	0	0,804 25	0,804 25	-		0	0	0,804 25	0,804 25	-		0	0	0,804 25	0,804 25	-
	I		- 19.98 2	1.361. 244	0,804 25	0,804 25	4,66		- 21.01 5	1.710. 960	0,804 25	0,804 25	3,71		- 23.70 9	2.169. 111	0,804 25	0,804 25	2,93
P	S	00470	0	0	0,402 12	0,402 12	-	00471	0	0	0,402 12	0,402 12	-	00472	0	0	0,402 12	0,402 12	-
	I		25.03 2	219.8 06	0,536 17	0,536 17	12,0 7		28.43 8	602.5 52	0,536 17	0,536 17	46,9 3		33.41 4	1.245. 512	0,536 17	0,536 17	5,08
S	S		0	0	0,804 25	0,804 25	-		0	0	0,804 25	0,804 25	-		0	0	0,804 25	0,804 25	-
	I		-	2.766.	0,804 25	0,804 25	2,30		-	3.531.	0,804 25	0,804 25	1,80		-	4.463.	0,804 25	0,804 25	1,43



REGIONE BASILICATA - PROVINCIA DI MATERA - COMUNE DI FERRANDINA
PROGETTO DEFINITIVO
Parco Eolico "Montagnola"
Relazione preliminare sulle strutture

Platee - Verifiche pressoflessione retta allo SLU

Dir	Pos	Nodo	NEd [N]	MEd [N-m]	As [cm²/cm]	A _{df} [cm²/cm]	CS	Nodo	NEd [N]	MEd [N-m]	As [cm²/cm]	A _{df} [cm²/cm]	CS	Nodo	NEd [N]	MEd [N-m]	As [cm²/cm]	A _{df} [cm²/cm]	CS
			28.43 8	155	25	25			36.11 3	584	25	25			48.73 9	074	25	25	
P	S	00473	0	0	0,402 12	0,402 12	-	00474	0	0	0,402 12	0,402 12	-	00475	0	0	0,402 12	0,402 12	-
	I		41.49 3	2.316. 266	4,557 41	4,557 41	1,48		54.84 0	3.994. 195	4,557 41	4,557 41	1,73		69.48 6	6.187. 044	4,557 41	4,557 41	2,22
S	S		0	0	0,804 25	0,804 25	-		0	0	0,804 25	0,804 25	-		0	0	0,804 25	0,804 25	-
	I		- 69.90 4	5.460. 100	8,846 73	8,846 73	1,84		- 103.4 98	6.257. 578	8,846 73	8,846 73	1,96		- 140.7 50	6.552. 754	8,846 73	8,846 73	2,01
P	S	00476	0	0	0,402 12	0,402 12	-	00477	0	0	0,402 12	0,402 12	-	00478	0	0	0,402 12	0,402 12	-
	I		63.76 7	7.919. 132	4,557 41	4,557 41	2,88		30.31 3	6.275. 052	4,557 41	4,557 41	2,26		- 27.70 4	2.808. 349	4,557 41	4,557 41	1,55
S	S		0	0	0,804 25	0,804 25	-		0	0	0,804 25	0,804 25	-		0	0	0,804 25	0,804 25	-
	I		- 166.9 19	6.415. 780	8,846 73	8,846 73	1,99		- 161.6 61	6.701. 432	8,846 73	8,846 73	2,04		- 100.5 26	6.885. 351	8,846 73	8,846 73	2,06
P	S	00479	0	0	0,402 12	0,402 12	-	00480	-	520.8 65	0,402 12	0,402 12	3,59	00481	-	915.1 87	0,402 12	0,402 12	2,60
	I		- 50.67 3	577.5 31	4,557 41	4,557 41	1,29		51.31 2	30.25 5	0,536 17	0,536 17	7,49		45.52 5	29.24 9	0,536 17	0,536 17	7,47
S	S		0	0	0,804 25	0,804 25	-		0	0	0,804 25	0,804 25	-		0	0	0,804 25	0,804 25	-
	I		- 44.70 1	6.141. 960	8,846 73	8,846 73	1,93		- 18.21 1	4.883. 710	0,804 25	0,804 25	1,30		- 5.226	3.635. 604	0,804 25	0,804 25	1,74
P	S	00482	-	965.1 84	0,402 12	0,402 12	2,51	00483	-	882.5 79	0,402 12	0,402 12	2,65	00484	-	759.3 88	0,402 12	0,402 12	2,90
	I		38.73 7	27.88 4	0,536 17	0,536 17	7,45		32.46 6	26.07 0	0,536 17	0,536 17	7,43		26.83 0	23.68 0	0,536 17	0,536 17	7,39
S	S		0	0	0,804 25	0,804 25	-		0	0	0,804 25	0,804 25	-		0	0	0,804 25	0,804 25	-
	I		1.954	2.650. 260	0,804 25	0,804 25	2,38		6.305	1.941. 903	0,804 25	0,804 25	3,25		8.909	1.443. 254	0,804 25	0,804 25	4,37
P	S	00485	-	631.4 88	0,402 12	0,402 12	3,22	00486	-	512.7 36	0,402 12	0,402 12	3,58	00487	-	407.9 40	0,402 12	0,402 12	3,98
	I		21.30 4	20.56 7	0,536 17	0,536 17	7,35		15.10 8	16.66 1	0,536 17	0,536 17	7,29		-8.314	12.18 2	0,536 17	0,536 17	7,23
S	S		0	0	0,804 25	0,804 25	-		0	0	0,804 25	0,804 25	-		0	0	0,804 25	0,804 25	-
	I		9.993	1.090. 910	0,804 25	0,804 25	5,79		9.779	839.9 77	0,804 25	0,804 25	7,51		10.30 0	659.7 82	0,804 25	0,804 25	9,57
P	S	00488	-3.533	317.6 98	0,402 12	0,402 12	4,40	00489	-2.040	242.8 57	0,402 12	0,402 12	4,83	00490	-907	183.9 24	0,402 12	0,402 12	5,23
	I		0	7.952	0,536 17	0,536 17	7,17		0	4.881	0,536 17	0,536 17	7,12		0	2.808	0,536 17	0,536 17	7,10
S	S		0	0	0,804 25	0,804 25	-		0	0	0,804 25	0,804 25	-		0	0	0,804 25	0,804 25	-
	I		15.47 3	528.9 06	0,804 25	0,804 25	11,9 2		26.05 9	432.0 27	0,804 25	0,804 25	14,5 7		36.83 7	358.1 82	0,804 25	0,804 25	17,55
P	S	00491	265	125.0 51	0,402 12	0,402 12	5,70	00492	3.170	183.2 36	0,402 12	0,402 12	5,22	00493	14.7 8	211.9 31	0,402 12	0,402 12	5,01
	I		0	1.885	0,536 17	0,536 17	7,08		0	3.176	0,536 17	0,536 17	7,10		0	7.249	0,536 17	0,536 17	7,16
S	S		0	0	0,804 25	0,804 25	-		0	0	0,804 25	0,804 25	-		0	0	0,804 25	0,804 25	-
	I		-2.600	550.6 24	0,804 25	0,804 25	11,4 9		2.672	617.6 91	0,804 25	0,804 25	10,2 3		-8.244	754.0 97	0,804 25	0,804 25	8,39
P	S	00494	19.14 1	219.5 06	0,402 12	0,402 12	4,95	00495	20.49 1	200.8 62	0,402 12	0,402 12	5,07	00496	21.36 2	150.1 47	0,402 12	0,402 12	5,45
	I		0	11.82 9	0,536 17	0,536 17	7,22		0	16.25 5	0,536 17	0,536 17	7,28		0	20.10 0	0,536 17	0,536 17	7,34
S	S		0	0	0,804 25	0,804 25	-		0	0	0,804 25	0,804 25	-		0	0	0,804 25	0,804 25	-
	I		- 16.57 1	920.9 60	0,804 25	0,804 25	6,88		- 19.11 0	1.144. 290	0,804 25	0,804 25	5,54		- 19.86 6	1.441. 748	0,804 25	0,804 25	4,40
P	S	00497	22.91	57.64	0,402	0,402	6,32	00498	0	0	0,402	0,402	-	00499	0	0	0,402	0,402	-



Platee - Verifiche pressoflessione retta allo SLU

Dir	Pos	Nodo	N _{Ed} [N]	M _{Ed} [N-m]	A _s [cm ² /cm]	A _{df} [cm ² /cm]	CS	Nodo	N _{Ed} [N]	M _{Ed} [N-m]	A _s [cm ² /cm]	A _{df} [cm ² /cm]	CS	Nodo	N _{Ed} [N]	M _{Ed} [N-m]	A _s [cm ² /cm]	A _{df} [cm ² /cm]	CS	
	I		1 0	3 23.25 1	12 0,536 17	12 0,536 17	7,38		25.32 4	93.45 9	12 0,536 17	12 0,536 17	8,53		28.73 2	334.6 40	12 0,536 17	12 0,536 17	19,35	
S	S		0	0	0,804 25	0,804 25	-	0	0	0,804 25	0,804 25	0,804 25	-	0	0	0,804 25	0,804 25	0,804 25	0,804 25	-
	I		21.12 7	1.840. 077	0,804 25	0,804 25	3,45		23.88 3	2.379. 513	0,804 25	0,804 25	2,67		28.92 5	3.121. 984	0,804 25	0,804 25	2,03	
P	S	00500	0	0	0,402 12	0,402 12	-	00501	0	0	0,402 12	0,402 12	-	00502	0	0	0,402 12	0,402 12	-	
	I		33.68 3	730.7 12	0,536 17	0,536 17	17,7 6		41.59 9	1.439. 620	4,557 41	4,557 41	1,37		55.86 5	2.812. 892	4,557 41	4,557 41	1,54	
S	S		0	0	0,804 25	0,804 25	-	0	0	0,804 25	0,804 25	0,804 25	-	0	0	0,804 25	0,804 25	0,804 25	0,804 25	-
	I		37.84 8	4.164. 164	0,804 25	0,804 25	1,53		54.25 1	5.616. 371	8,846 73	8,846 73	1,86		86.26 5	7.433. 060	8,846 73	8,846 73	2,15	
P	S	00503	0	0	0,402 12	0,402 12	-	00504	0	0	0,402 12	0,402 12	-	00505	0	0	0,402 12	0,402 12	-	
	I		84.10 7	5.302. 282	4,557 41	4,557 41	1,99		118.8 14	9.105. 597	4,557 41	4,557 41	3,59		65.95 1	11.02 1.870	4,557 41	4,557 41	6,11	
S	S		0	0	0,804 25	0,804 25	-	0	0	0,804 25	0,804 25	0,804 25	-	0	0	0,804 25	0,804 25	0,804 25	0,804 25	-
	I		148.5 41	9.151. 723	8,846 73	8,846 73	2,52		211.6 36	9.769. 451	8,846 73	8,846 73	2,69		237.0 39	10.03 8.326	8,846 73	8,846 73	2,78	
P	S	00506	0	0	0,402 12	0,402 12	-	00507	0	0	0,402 12	0,402 12	-	00508	81.38 2	1.031. 033	0,402 12	0,402 12	-	
	I		68.35 2	4.260. 062	4,557 41	4,557 41	1,79		97.70 4	491.7 18	4,557 41	4,557 41	1,28		0	30.90 8	4,557 41	4,557 41	1,23	
S	S		0	0	0,804 25	0,804 25	-	0	0	0,804 25	0,804 25	0,804 25	-	0	0	0,804 25	0,804 25	0,804 25	0,804 25	-
	I		138.4 53	10.29 5.453	8,846 73	8,846 73	2,83		32.37 9	8.717. 583	8,846 73	8,846 73	2,39		-6.221	6.176. 268	8,846 73	8,846 73	1,93	
P	S	00509	0	0	0,402 12	0,402 12	-	00510	0	0	0,402 12	0,402 12	-	00511	40.43 6	980.0 12	0,402 12	0,402 12	-	
	I		64.08 4	1.287. 608	0,536 17	0,536 17	7,49		50.58 8	1.167. 481	0,536 17	0,536 17	7,47		0	27.40 3	0,536 17	0,536 17	7,45	
S	S		0	0	0,804 25	0,804 25	-	0	0	0,804 25	0,804 25	0,804 25	-	0	0	0,804 25	0,804 25	0,804 25	0,804 25	-
	I		2.810	4.056. 560	0,804 25	0,804 25	1,56		7.105	2.705. 253	0,804 25	0,804 25	2,33		9.547	1.872. 578	0,804 25	0,804 25	3,37	
P	S	00512	0	0	0,402 12	0,402 12	-	00513	0	0	0,402 12	0,402 12	-	00514	20.02 1	499.6 81	0,402 12	0,402 12	-	
	I		32.58 8	797.2 52	0,536 17	0,536 17	2,82		26.05 4	636.3 64	0,536 17	0,536 17	3,21		0	19.52 1	0,536 17	0,536 17	3,63	
S	S		0	0	0,804 25	0,804 25	-	0	0	0,804 25	0,804 25	0,804 25	-	0	0	0,804 25	0,804 25	0,804 25	0,804 25	-
	I		11.02 4	1.338. 256	0,804 25	0,804 25	4,72		11.77 6	983.6 01	0,804 25	0,804 25	6,42		12.01 8	742.2 41	0,804 25	0,804 25	8,50	
P	S	00515	0	0	0,402 12	0,402 12	-	00516	0	0	0,402 12	0,402 12	-	00517	-6.648	219.8 25	0,402 12	0,402 12	-	
	I		14.18 0	385.8 75	0,536 17	0,536 17	4,08		-9.242	293.0 78	0,536 17	0,536 17	4,54		0	6.555	0,536 17	0,536 17	4,98	
S	S		0	0	0,804 25	0,804 25	-	0	0	0,804 25	0,804 25	0,804 25	-	0	0	0,804 25	0,804 25	0,804 25	0,804 25	-
	I		12.70 2	574.5 56	0,804 25	0,804 25	10,9 8		15.96 5	455.8 45	0,804 25	0,804 25	13,8 3		24.72 0	371.0 74	0,804 25	0,804 25	16,97	
P	S	00518	0	0	0,402 12	0,402 12	-	00519	0	0	0,402 12	0,402 12	-	00520	-4.349	120.8 20	0,402 12	0,402 12	-	
	I		-7.061	166.5 98	0,536 17	0,536 17	5,37		-211	123.7 20	0,536 17	0,536 17	5,71		0	0	0,536 17	0,536 17	5,74	
S	S		0	0	0,804 25	0,804 25	-	0	0	0,804 25	0,804 25	0,804 25	-	0	0	0,804 25	0,804 25	0,804 25	0,804 25	-
	I		38.45 0	301.4 77	0,804 25	0,804 25	20,8 4		41.87 2	272.3 58	0,804 25	0,804 25	23,0 6		19.68 5	495.8 04	0,804 25	0,804 25	12,71	
P	S	00521	0	0	0,402 12	0,402 12	-	00522	0	0	0,402 12	0,402 12	-	00523	22.05 8	135.7 15	0,402 12	0,402 12	-	
	I		16.71 2	149.8 03	0,536 17	0,536 17	5,46		22.08 7	152.6 67	0,536 17	0,536 17	5,43		0	15.10 3	0,536 17	0,536 17	5,57	
	I		0	4.169	0,536 17	0,536 17	7,11		0	10.19 9	0,536 17	0,536 17	7,20		0	15.10 3	0,536 17	0,536 17	7,27	



Platee - Verifiche pressoflessione retta allo SLU

Dir	Pos	Nodo	N _{Ed} [N]	M _{Ed} [N-m]	A _s [cm ² /cm]	A _{df} [cm ² /cm]	CS	Nodo	N _{Ed} [N]	M _{Ed} [N-m]	A _s [cm ² /cm]	A _{df} [cm ² /cm]	CS	Nodo	N _{Ed} [N]	M _{Ed} [N-m]	A _s [cm ² /cm]	A _{df} [cm ² /cm]	CS
S	S		0	0	0,804 25	0,804 25	-		0	0	0,804 25	0,804 25	-		0	0	0,804 25	0,804 25	-
	I		3.049	595.1 15	0,804 25	0,804 25	10,6 2		- 14.52 2	724.8 28	0,804 25	0,804 25	8,74		- 18.18 3	894.8 57	0,804 25	0,804 25	7,08
P	S	00524	22.22 2	92.47 2	0,402 12	0,402 12	5,96	00525	23.34 5	16.08 2	0,402 12	0,402 12	6,80	00526	0	0	0,402 12	0,402 12	-
	I		0	19.05 3	0,536 17	0,536 17	7,32		0	22.30 6	0,536 17	0,536 17	7,37		25.57 5	102.8 42	0,536 17	0,536 17	8,72
S	S		0	0	0,804 25	0,804 25	-		0	0	0,804 25	0,804 25	-		0	0	0,804 25	0,804 25	-
	I		- 18.75 4	1.118. 325	0,804 25	0,804 25	5,67		- 19.04 9	1.416. 292	0,804 25	0,804 25	4,48		- 20.15 2	1.820. 904	0,804 25	0,804 25	3,48
P	S	00527	0	0	0,402 12	0,402 12	-	00528	0	0	0,402 12	0,402 12	-	00529	0	0	0,402 12	0,402 12	-
	I		28.98 0	279.2 18	0,536 17	0,536 17	14,9 8		33.93 3	540.3 44	0,536 17	0,536 17	NS		41.60 8	945.4 54	0,536 17	0,536 17	8,69
S	S		0	0	0,804 25	0,804 25	-		0	0	0,804 25	0,804 25	-		0	0	0,804 25	0,804 25	-
	I		- 22.70 4	2.384. 255	0,804 25	0,804 25	2,66		- 27.63 9	3.196. 625	0,804 25	0,804 25	1,99		- 37.16 8	4.432. 323	0,804 25	0,804 25	1,43
P	S	00530	0	0	0,402 12	0,402 12	-	00531	0	0	0,402 12	0,402 12	-	00532	0	0	0,402 12	0,402 12	-
	I		55.18 2	1.627. 617	4,557 41	4,557 41	1,39		84.11 8	3.249. 085	4,557 41	4,557 41	1,60		159.3 34	7.255. 095	4,557 41	4,557 41	2,57
S	S		0	0	0,804 25	0,804 25	-		0	0	0,804 25	0,804 25	-		0	0	0,804 25	0,804 25	-
	I		- 57.20 4	6.514. 563	8,846 73	8,846 73	1,99		- 106.5 43	9.986. 577	8,846 73	8,846 73	2,73		- 248.4 19	14.87 7.955	8,846 73	8,846 73	5,79
P	S	00533	0	0	0,402 12	0,402 12	-	00534	0	0	0,402 12	0,402 12	-	00535	0	0	0,402 12	0,402 12	-
	I		362.7 58	16.55 9.549	4,557 41	4,557 41	6,24		- 277.5 48	11.45 7.370	4,557 41	4,557 41	7,73		204.8 60	609.5 48	4,557 41	4,557 41	1,19
S	S		0	0	0,804 25	0,804 25	-		0	0	0,804 25	0,804 25	-		0	0	0,804 25	0,804 25	-
	I		- 464.8 33	17.32 2.436	8,846 73	8,846 73	14,1 1		- 146.9 62	18.28 8.440	8,846 73	8,846 73	22,3 3		25.05 5	13.58 1.856	8,846 73	8,846 73	4,30
P	S	00536	- 122.9 05	2.064. 827	0,402 12	0,402 12	1,08	00537	- 83.03 5	1.680. 106	0,402 12	0,402 12	1,72	00538	- 60.49 5	1.305. 005	0,402 12	0,402 12	2,06
	I		0	31.38 3	4,557 41	4,557 41	1,23		0	30.71 6	0,536 17	0,536 17	7,50		0	29.76 1	0,536 17	0,536 17	7,48
S	S		0	0	0,804 25	0,804 25	-		0	0	0,804 25	0,804 25	-		0	0	0,804 25	0,804 25	-
	I		15.31 2	6.892. 997	8,846 73	8,846 73	2,04		13.19 3	3.620. 835	0,804 25	0,804 25	1,74		12.85 7	2.192. 832	0,804 25	0,804 25	2,88
P	S	00539	46.40 1	1.004. 538	0,402 12	0,402 12	2,45	00540	- 36.81 5	772.1 47	0,402 12	0,402 12	2,88	00541	- 29.74 1	590.2 32	0,402 12	0,402 12	3,35
	I		0	28.46 3	0,536 17	0,536 17	7,46		0	26.75 7	0,536 17	0,536 17	7,44		0	24.56 9	0,536 17	0,536 17	7,40
S	S		0	0	0,804 25	0,804 25	-		0	0	0,804 25	0,804 25	-		0	0	0,804 25	0,804 25	-
	I		12.93 3	1.432. 926	0,804 25	0,804 25	4,40		13.16 9	984.8 05	0,804 25	0,804 25	6,41		13.42 7	706.1 28	0,804 25	0,804 25	8,93
P	S	00542	- 24.08 2	445.9 96	0,402 12	0,402 12	3,84	00543	- 19.31 8	331.1 38	0,402 12	0,402 12	4,35	00544	- 15.43 1	240.5 89	0,402 12	0,402 12	4,86
	I		0	21.82 9	0,536 17	0,536 17	7,36		0	18.47 1	0,536 17	0,536 17	7,31		0	14.39 7	0,536 17	0,536 17	7,26
S	S		0	0	0,804 25	0,804 25	-		0	0	0,804 25	0,804 25	-		0	0	0,804 25	0,804 25	-
	I		13.70 2	526.3 74	0,804 25	0,804 25	11,9 8		14.33 9	406.8 24	0,804 25	0,804 25	15,5 0		16.25 6	324.7 36	0,804 25	0,804 25	19,42
P	S	00545	- 12.65 3	171.5 60	0,402 12	0,402 12	5,34	00546	- 11.90 1	124.3 76	0,402 12	0,402 12	5,72	00547	- 12.72 4	87.40 3	0,402 12	0,402 12	6,07
	I		0	9.288	0,536 17	0,536 17	7,18		0	3.014	0,536 17	0,536 17	7,10		0	0	0,536 17	0,536 17	-
S	S		0	0	0,804 25	0,804 25	-		0	0	0,804 25	0,804 25	-		0	0	0,804 25	0,804 25	-



Platee - Verifiche pressoflessione retta allo SLU

Dir	Pos	Nodo	N _{Ed} [N]	M _{Ed} [N·m]	A _s [cm ² /cm]	A _{df} [cm ² /cm]	CS	Nodo	N _{Ed} [N]	M _{Ed} [N·m]	A _s [cm ² /cm]	A _{df} [cm ² /cm]	CS	Nodo	N _{Ed} [N]	M _{Ed} [N·m]	A _s [cm ² /cm]	A _{df} [cm ² /cm]	CS
	I		21.49 2	265.5 74	0,804 25	0,804 25	23,7 2		36.62 0	220.4 63	0,804 25	0,804 25	28,5 1		50.64 5	190.0 43	0,804 25	0,804 25	33,00
P	S	00548	1.697 0	42.81 5	0,402 12	0,402 12	6,52	00549	12.92 5	107.2 25	0,402 12	0,402 12	5,84	00550	26.83 5	76.84 3	0,402 12	0,402 12	6,11
	I		0 0	0 0	0,536 17	0,536 17	-		0 0	0 0	0,536 17	0,536 17	-		0 0	7.605	0,536 17	0,536 17	7,16
S	S		0 0	0 0	0,804 25	0,804 25	-		0 0	0 0	0,804 25	0,804 25	-		0 0	0	0,804 25	0,804 25	-
	I		40.66 2	378.4 75	0,804 25	0,804 25	16,6 0		11.90 6	434.5 69	0,804 25	0,804 25	14,5 2		15.53 1	532.8 18	0,804 25	0,804 25	11,89
P	S	00551	22.67 3	51.87 7	0,402 12	0,402 12	6,38	00552	21.79 5	4.566 0	0,402 12	0,402 12	6,95	00553	0 0	0 0	0,402 12	0,402 12	-
	I		0 0	13.53 4	0,536 17	0,536 17	7,24		0 0	17.74 6	0,536 17	0,536 17	7,30		22.70 2	73.69 6	0,536 17	0,536 17	8,16
S	S		0 0	0 0	0,804 25	0,804 25	-		0 0	0 0	0,804 25	0,804 25	-		0 0	0	0,804 25	0,804 25	-
	I		- 17.95 5	647.9 27	0,804 25	0,804 25	9,78		- 17.59 8	793.4 86	0,804 25	0,804 25	7,99		- 17.06 6	981.1 97	0,804 25	0,804 25	6,46
P	S	00554	0 0	0 0	0,402 12	0,402 12	-	00555	0 0	0 0	0,402 12	0,402 12	-	00556	0 0	0 0	0,402 12	0,402 12	-
	I		24.90 5	191.0 23	0,536 17	0,536 17	11,0 3		28.27 0	358.5 57	0,536 17	0,536 17	22,1 5		32.94 1	593.2 92	0,536 17	0,536 17	53,17
S	S		0 0	0 0	0,804 25	0,804 25	-		0 0	0 0	0,804 25	0,804 25	-		0 0	0	0,804 25	0,804 25	-
	I		- 16.96 5	1.228. 609	0,804 25	0,804 25	5,16		- 17.56 5	1.562. 646	0,804 25	0,804 25	4,06		- 19.15 6	2.029. 250	0,804 25	0,804 25	3,12
P	S	00557	0 0	0 0	0,402 12	0,402 12	-	00558	0 0	0 0	0,402 12	0,402 12	-	00559	0 0	0 0	4,423 36	4,423 36	-
	I		39.51 9	924.4 92	0,536 17	0,536 17	9,15		49.62 4	1.417. 808	4,557 41	4,557 41	1,37		67.72 4	2.260. 829	4,557 41	4,557 41	20,20
S	S		0 0	0 0	0,804 25	0,804 25	-		0 0	0 0	0,804 25	0,804 25	-		0 0	0	8,846 73	8,846 73	-
	I		- 22.40 0	2.714. 228	0,804 25	0,804 25	2,34		- 28.93 9	3.781. 396	8,846 73	8,846 73	1,64		- 43.04 1	5.647. 619	8,846 73	8,846 73	12,27
P	S	00560	0 0	0 0	4,423 36	4,423 36	-	00561	0 0	0 0	4,423 36	4,423 36	-	00562	0 0	0 0	4,423 36	4,423 36	-
	I		109.8 39	3.963. 216	4,557 41	4,557 41	10,1 9		1.247. 797	9.260. 260	4,557 41	4,557 41	3,88		- 1.480. 075	27.71 5.424	4,557 41	4,557 41	1,35
S	S		0 0	0 0	8,846 73	8,846 73	-		0 0	0 0	8,846 73	8,846 73	-		0 0	0	8,846 73	8,846 73	-
	I		- 82.49 9	12.16 0.537	8,846 73	8,846 73	5,70		- 1.214. 933	30.70 8.886	8,846 73	8,846 73	2,29		373.4 51	47.06 6.552	8,846 73	8,846 73	1,46
P	S	00563	- 262.6 68	1.917. 707	4,423 36	4,423 36	14,5 1	00564	- 132.2 40	2.624. 360	4,423 36	4,423 36	11,2 1	00565	- 83.76 9	1.781. 393	4,423 36	4,423 36	15,29
	I		0 0	32.01 0	4,557 41	4,557 41	71,6 0		0 0	31.71 1	4,557 41	4,557 41	71,5 5		0 0	31.17 2	4,557 41	4,557 41	71,48
S	S		0 0	0 0	8,846 73	8,846 73	-		0 0	0 0	8,846 73	8,846 73	-		0 0	0	8,846 73	8,846 73	-
	I		12.95 1	11.08 9.568	8,846 73	8,846 73	6,24		15.29 2	3.532. 052	8,846 73	8,846 73	19,6 0		17.16 8	1.286. 486	8,846 73	8,846 73	53,82
P	S	00566	- 59.88 8	1.243. 435	0,402 12	0,402 12	2,13	00567	- 46.08 7	895.4 92	0,402 12	0,402 12	2,64	00568	- 37.07 2	655.0 22	0,402 12	0,402 12	3,17
	I		0 0	30.37 6	0,536 17	0,536 17	7,49		0 0	29.27 2	0,536 17	0,536 17	7,47		0 0	27.80 7	0,536 17	0,536 17	7,45
S	S		0 0	0 0	0,804 25	0,804 25	-		0 0	0 0	0,804 25	0,804 25	-		0 0	0	0,804 25	0,804 25	-
	I		15.76 3	739.8 88	0,804 25	0,804 25	8,52		14.75 8	445.9 91	0,804 25	0,804 25	14,1 4		14.32 9	290.9 51	0,804 25	0,804 25	21,68
P	S	00569	- 30.67 7	479.0 24	0,402 12	0,402 12	3,72	00570	- 25.91 5	344.6 88	0,402 12	0,402 12	4,29	00571	- 22.38 0	240.4 47	0,402 12	0,402 12	4,87
	I		0 0	25.92 0	0,536 17	0,536 17	7,42		0 0	23.55 4	0,536 17	0,536 17	7,39		0 0	20.65 6	0,536 17	0,536 17	7,35
S	S		0 0	0 0	0,804 25	0,804 25	-		0 0	0 0	0,804 25	0,804 25	-		0 0	0	0,804 25	0,804 25	-
	I		14.29 5	208.2 56	0,804 25	0,804 25	30,2 9		14.56 4	163.0 51	0,804 25	0,804 25	38,6 8		15.20 2	138.2 67	0,804 25	0,804 25	45,61



REGIONE BASILICATA - PROVINCIA DI MATERA - COMUNE DI FERRANDINA
PROGETTO DEFINITIVO
Parco Eolico "Montagnola"
Relazione preliminare sulle strutture

Platee - Verifiche pressoflessione retta allo SLU

Dir	Pos	Nodo	N _{Ed} [N]	M _{Ed} [N-m]	A _s [cm ² /cm]	A _{df} [cm ² /cm]	CS	Nodo	N _{Ed} [N]	M _{Ed} [N-m]	A _s [cm ² /cm]	A _{df} [cm ² /cm]	CS	Nodo	N _{Ed} [N]	M _{Ed} [N-m]	A _s [cm ² /cm]	A _{df} [cm ² /cm]	CS
P	S	00572	-	160.0	0,402	0,402	5,44	00573	-	100.3	0,402	0,402	5,96	00574	-	60.97	0,402	0,402	6,36
I	20.09		72	12	12	19.38		01	12	12	4	0		12	12	21.30	8	0	
S	S	00575	0	0	0,804	0,804	-	00576	0	0	0,804	0,804	-	00577	0	0	0,804	0,804	-
I	16.44		124.3	25	25	17		17	0	0	17	17		17	17	0	0	17	
P	S	00578	30.88	551	0,402	0,402	6,99	00579	0	0	0,402	0,402	-	00580	0	0	0,402	0,402	-
I	2		12	12	17	17		18.56	8	4	17	17		7,48	4	0	17	17	
S	S	00581	0	0	0,804	0,804	-	00582	0	0	0,804	0,804	-	00583	0	0	0,804	0,804	-
I	-		378.0	25	25	16,8		4	0	0	25	25		14,7	3	0	25	25	
P	S	00584	0	0	0,402	0,402	-	00585	0	0	0,402	0,402	-	00586	0	0	0,402	0,402	-
I	30.45		720.8	17	17	18,6		7	35.80	1.063.	0,536	0,536		6,80	9	42.29	9	1.554.	
S	S	00587	0	0	0,804	0,804	-	00588	0	0	0,804	0,804	-	00589	0	0	0,804	0,804	-
I	-		979.7	25	25	6,47		0	0	25	25	5,47		1	0	0	25	25	
P	S	00588	0	0	0,402	0,402	-	00588	0	0	4,423	4,423	-	00589	0	0	4,423	4,423	-
I	49.34		2.312.	41	41	1,47		53.18	3.504.	41	41	11,7		8	40.40	7	8.795.	41	
S	S	00590	0	0	0,804	0,804	-	00591	0	0	8,846	8,846	-	00592	0	0	8,846	8,846	-
I	-		1.620.	73	73	1,44		-4.062	1.980.	73	73	34,9		8	-9.980	0	32.07	73	
P	S	00593	-	3.687.	4,423	4,423	8,53	00594	663.4	16.60	4,423	4,423	2,01	00595	4.202	3.265.	4,423	4,423	9,28
I	763.3		954	36	36	71,6		57	9.224	36	36	71,5		9	4.202	670	36	36	
S	S	00596	1.918.	45.55	8,846	8,846	1,48	00597	-	32.63	8,846	8,846	2,15	00598	52.61	7.928.	8,846	8,846	8,73
I	169		0.456	73	73	NS		82	1.464	73	73	NS		1	927	73	73	73	
P	S	00597	-	31.88	8,846	8,846	NS	00598	0	31.80	8,846	8,846	NS	00599	0	31.96	8,846	8,846	NS
I	0		2	73	73	0		0	73	73	NS	1		73	73	73	73	73	
P	S	00598	-	1.548.	4,423	4,423	16,9	00599	-	966.4	0,402	0,402	2,51	00600	35.04	651.1	0,402	0,402	3,18
I	32.68		740	36	36	71,5		4	72	12	12	7,50		9	29.86	24	12	12	
S	S	00599	20.29	3.145.	8,846	8,846	22,0	00601	15.26	1.852.	0,804	0,804	3,41	00602	14.17	1.184.	0,804	0,804	5,32
I	3		266	73	73	1		2	0.021	25	25	NS		3	663	25	25	25	
P	S	00600	-	453.9	0,402	0,402	3,81	00603	-	311.0	0,402	0,402	4,46	00604	-	202.5	0,402	0,402	5,12
I	31.26		63	12	12	7		7	40	12	12	NS		8	49	12	12	12	



Platee - Verifiche pressoflessione retta allo SLU

Dir	Pos	Nodo	NEd [N]	MEd [N·m]	AS [cm ² /cm]	Adf [cm ² /cm]	CS	Nodo	NEd [N]	MEd [N·m]	AS [cm ² /cm]	Adf [cm ² /cm]	CS	Nodo	NEd [N]	MEd [N·m]	AS [cm ² /cm]	Adf [cm ² /cm]	CS
	I		0	28.59 2	0,536 17	0,536 17	7,46		0	26.92 4	0,536 17	0,536 17	7,44		0	24.80 5	0,536 17	0,536 17	7,41
S	S		13.93 2	780.7 39	0,804 25	0,804 25	8,08		14.02 7	527.0 34	0,804 25	0,804 25	11,9 7		14.41 1	356.5 76	0,804 25	0,804 25	17,69
	I		0	30.46 1	0,804 25	0,804 25	NS		0	29.67 7	0,804 25	0,804 25	NS		0	28.63 4	0,804 25	0,804 25	NS
P	S	00599	- 22.48 1	119.0 57	0,402 12	0,402 12	5,79	00600	- 21.29 0	55.69 6	0,402 12	0,402 12	6,42	00601	- 21.52 1	10.06 12	0,402 12	0,402 12	6,96
	I		0	22.18 2	0,536 17	0,536 17	7,37		0	18.99 5	0,536 17	0,536 17	7,32		0	15.10 1	0,536 17	0,536 17	7,27
S	S		15.12 1	236.5 32	0,804 25	0,804 25	26,6 6		16.13 7	149.7 18	0,804 25	0,804 25	42,1 2		17.17 9	86.49 5	0,804 25	0,804 25	72,89
	I		0	27.20 9	0,804 25	0,804 25	NS		0	25.18 1	0,804 25	0,804 25	NS		0	22.16 5	0,804 25	0,804 25	NS
P	S	00602	0	0	0,402 12	0,402 12	-	00603	0	0	0,402 12	0,402 12	-	00604	0	4.879	0,402 12	0,402 12	6,99
	I		- 24.10 4	18.67 4	0,536 17	0,536 17	7,37		- 14.70 6	28.61 8	0,536 17	0,536 17	7,49		-2.429	43.43 2	0,536 17	0,536 17	7,70
S	S		17.11 3	41.43 0	0,804 25	0,804 25	NS		0	0	0,804 25	0,804 25	-		0	0	0,804 25	0,804 25	-
	I		0	17.38 9	0,804 25	0,804 25	NS		0	9.712	0,804 25	0,804 25	NS		- 34.92 9	16.44 0	0,804 25	0,804 25	NS
P	S	00605	0	0	0,402 12	0,402 12	-	00606	0	0	0,402 12	0,402 12	-	00607	0	0	0,402 12	0,402 12	-
	I		4.304	72.91 0	0,536 17	0,536 17	8,19		18.01 4	68.96 8	0,536 17	0,536 17	8,09		9.667	106.4 43	0,536 17	0,536 17	8,83
S	S		0	0	0,804 25	0,804 25	-		0	0	0,804 25	0,804 25	-		0	0	0,804 25	0,804 25	-
	I		- 43.96 5	257.5 35	0,804 25	0,804 25	24,7 2		- 51.80 2	244.9 01	0,804 25	0,804 25	26,0 2		- 24.86 2	263.4 14	0,804 25	0,804 25	24,09
P	S	00608	0	0	0,402 12	0,402 12	-	00609	0	0	0,402 12	0,402 12	-	00610	0	0	0,402 12	0,402 12	-
	I		11.96 1	169.8 17	0,536 17	0,536 17	10,4 0		15.02 7	262.6 09	0,536 17	0,536 17	14,0 8		18.62 6	393.0 77	0,536 17	0,536 17	28,05
S	S		0	0	0,804 25	0,804 25	-		0	0	0,804 25	0,804 25	-		0	0	0,804 25	0,804 25	-
	I		- 16.01 9	274.9 44	0,804 25	0,804 25	23,0 5		- 12.72 1	285.0 05	0,804 25	0,804 25	22,2 3		- 11.12 4	284.3 34	0,804 25	0,804 25	22,27
P	S	00611	0	0	0,402 12	0,402 12	-	00612	0	0	0,402 12	0,402 12	-	00613	0	0	0,402 12	0,402 12	-
	I		22.49 2	572.3 03	0,536 17	0,536 17	76,6 2		26.59 4	815.9 89	0,536 17	0,536 17	12,5 9		31.05 2	1.148. 036	0,536 17	0,536 17	5,88
S	S		0	0	0,804 25	0,804 25	-		0	0	0,804 25	0,804 25	-		0	0	0,804 25	0,804 25	-
	I		-9.755	260.9 93	0,804 25	0,804 25	24,2 6		-7.746	193.3 99	0,804 25	0,804 25	32,7 3		-4.399	39.66 5	0,804 25	0,804 25	NS
P	S	00614	0	0	0,402 12	0,402 12	-	00615	0	0	0,402 12	0,402 12	-	00616	0	0	0,402 12	0,402 12	-
	I		35.82 5	1.607. 168	0,536 17	0,536 17	3,38		40.21 7	2.252. 688	4,557 41	4,557 41	1,47		41.83 5	3.171. 867	4,557 41	4,557 41	13,26
S	S		1.499	287.8 18	0,804 25	0,804 25	21,9 6		12.97 8	1.008. 246	0,804 25	0,804 25	1,26		38.89 4	2.910. 076	0,804 25	0,804 25	23,78
	I		0	30.67 2	0,804 25	0,804 25	NS		0	31.18 3	8,846 73	8,846 73	1,32		0	31.56 3	8,846 73	8,846 73	NS
P	S	00617	0	0	4,423 36	4,423 36	-	00618	- 117.8 14	2.800. 518	4,423 36	4,423 36	10,6 1	00619	18.00 0	14.46 4.253	4,423 36	4,423 36	2,34
	I		31.64 1	3.861. 912	4,557 41	4,557 41	10,5 2		0	32.07 2	4,557 41	4,557 41	71,6 1		0	31.96 3	4,557 41	4,557 41	71,59
S	S		117.2 18	8.709. 176	8,846 73	8,846 73	7,94		537.0 41	16.25 9.412	8,846 73	8,846 73	4,23		299.7 34	20.01 8.836	8,846 73	8,846 73	3,44
	I		0	31.83 3	8,846 73	8,846 73	NS		0	31.99 2	8,846 73	8,846 73	NS		0	32.07 5	8,846 73	8,846 73	NS
P	S	00620	47.24 2	9.411. 492	4,423 36	4,423 36	3,53	00621	14.22 5	2.220. 852	4,423 36	4,423 36	12,8 1	00622	-6.983	915.5 36	4,423 36	4,423 36	24,45
	I		0	31.91 3	4,557 41	4,557 41	71,5 8		0	31.62 6	4,557 41	4,557 41	71,5 4		0	31.09 1	4,557 41	4,557 41	71,46
S	S		- 36.64 5	16.91 1.240	8,846 73	8,846 73	4,10		8.951	10.29 1.861	8,846 73	8,846 73	6,73		11.03 6	5.394. 015	8,846 73	8,846 73	12,84
	I		0	31.92	8,846	8,846	NS		0	31.74	8,846	8,846	NS		0	31.49	8,846	8,846	NS



Platee - Verifiche pressoflessione retta allo SLU

Dir	Pos	Nodo	N _{Ed} [N]	M _{Ed} [N·m]	A _s [cm ² /cm]	A _d [cm ² /cm]	CS	Nodo	N _{Ed} [N]	M _{Ed} [N·m]	A _s [cm ² /cm]	A _d [cm ² /cm]	CS	Nodo	N _{Ed} [N]	M _{Ed} [N·m]	A _s [cm ² /cm]	A _d [cm ² /cm]	CS
			-	0	73	73			-	8	73	73			-	7	73	73	
P	S	00623	-	485.5	0,402	0,402	3,68	00624	-	272.2	0,402	0,402	4,67	00625	-	141.9	0,402	0,402	5,59
	I		16.94 5	97	12	12	7,49		20.46 9	12	12	12	7,47		21.13 4	09	12	12	7,45
			0	30.28 7	0,536 17	0,536 17	1,94		0	29.16 9	0,536 17	0,536 17	2,97		0	27.67 7	0,536 17	0,536 17	NS
S	S		12.09 1	3.254. 632	0,804 25	0,804 25	6,31		12.61 8	2.126. 448	0,804 25	0,804 25	9,03		13.01 9	1.444. 030	0,804 25	0,804 25	4,37
	I		0	31.11 8	0,804 25	0,804 25	NS		0	30.59 6	0,804 25	0,804 25	NS		0	29.91 0	0,804 25	0,804 25	NS
P	S	00626	-	52.38	0,402	0,402	6,45	00627	0	0	0,402	0,402	-	00628	0	0	0,402	0,402	-
	I		20.66 9	9	12	12	7,42		0	23.29 0	0,536 17	0,536 17	7,39		-	59.33 0	0,536 17	0,536 17	8,00
S	S		13.51 5	1.000. 306	0,804 25	0,804 25	6,31		14.25 2	698.5 99	0,804 25	0,804 25	9,03		15.23 0	486.6 23	0,804 25	0,804 25	12,96
	I		0	29.03 1	0,804 25	0,804 25	NS		0	27.90 4	0,804 25	0,804 25	NS		0	26.43 2	0,804 25	0,804 25	NS
P	S	00629	0	0	0,402	0,402	-	00630	0	0	0,402	0,402	-	00631	0	0	0,402	0,402	-
	I		-	90.50	0,536	0,536	8,58		-	106.9	0,536	0,536	8,92		-	109.1	0,536	0,536	8,96
			19.73 4	0	17	17	18,8 5		20.29 8	79	17	17	28,1 7		19.31 3	80	17	17	44,59
S	S		16.00 9	334.4 94	0,804 25	0,804 25	NS		15.16 5	223.8 21.84	0,804 25	0,804 25	NS		6.852	141.6 24	0,804 25	0,804 25	NS
	I		0	24.44 8	0,804 25	0,804 25	71,8 5		0	49	0,804 25	0,804 25	NS		0	19.15 0	0,804 25	0,804 25	NS
P	S	00632	0	0	0,402	0,402	-	00633	0	0	0,402	0,402	-	00634	0	0	0,402	0,402	-
	I		1.060	99.75 7	0,536 17	0,536 17	8,71		-1.118	81.14 1	0,536 17	0,536 17	8,35		3.844	140.1 71	0,536 17	0,536 17	9,62
S	S		-	88.18	0,804	0,804	71,8 5		-1.922	37.83 2	0,804 25	0,804 25	NS		0	0	0,804 25	0,804 25	-
	I		14.54 1	9	25	25	NS		0	14.16 3	0,804 25	0,804 25	NS		-	152.0 52	0,804 25	0,804 25	41,85
			0	17.20 2	0,804 25	0,804 25	-	00636	0	0	0,402	0,402	-	00637	0	0	0,402	0,402	-
P	S	00635	0	0	0,402	0,402	-	00636	0	0	0,402	0,402	-	00637	0	0	0,402	0,402	-
	I		5.999	171.6 10	0,536 17	0,536 17	10,4 7		5.570	233.9 20	0,536 17	0,536 17	12,7 2		8.853	326.9 24	0,536 17	0,536 17	18,70
S	S		0	0	0,804	0,804	-		0	0	0,804	0,804	-		0	0	0,804	0,804	-
	I		-	133.4	0,804	0,804	47,6 0		-	107.1	0,804	0,804	59,1 5		-	62.78 0	0,804	0,804	NS
			29.46 3	33	25	25	-	00639	0	0	0,402	0,402	-	00640	0	0	0,402	0,402	-
P	S	00638	0	0	0,402	0,402	-	00639	0	0	0,402	0,402	-	00640	0	0	0,402	0,402	-
	I		13.43 3	455.0 17	0,536 17	0,536 17	53,2 1		17.83 2	625.3 36	0,536 17	0,536 17	36,4 4		21.70 8	847.9 82	0,536 17	0,536 17	11,36
S	S		-8.286	8.191	0,804	0,804	NS		-6.765	123.2 81	0,804 25	0,804 25	51,3 3		-4.208	312.0 86	0,804 25	0,804 25	20,27
	I		0	25.98 8	0,804 25	0,804 25	NS		0	27.19 6	0,804 25	0,804 25	NS		0	28.27 1	0,804 25	0,804 25	NS
P	S	00641	0	0	0,402	0,402	-	00642	0	0	0,402	0,402	-	00643	0	0	0,402	0,402	-
	I		25.23 4	1.135. 212	0,536 17	0,536 17	6,02		28.42 3	1.497. 764	0,536 17	0,536 17	3,77		30.66 0	1.925. 862	0,536 17	0,536 17	2,62
S	S		299	626.1 58	0,804 25	0,804 25	10,1 0		7.900	1.162. 141	0,804 25	0,804 25	5,43		21.17 3	2.117. 482	0,804 25	0,804 25	2,98
	I		0	29.20 0	0,804 25	0,804 25	NS		0	29.97 3	0,804 25	0,804 25	NS		0	30.58 8	0,804 25	0,804 25	NS
P	S	00644	0	0	0,402	0,402	-	00645	0	0	4,423	4,423	-	00646	-	564.5	4,423	4,423	1,39
	I		29.88 7	2.287. 580	0,536 17	0,536 17	2,08		19.05 7	1.931. 840	0,536 17	0,536 17	1,15		32.13 6	83	36	36	1,32
S	S		46.49 5	3.856. 709	0,804 25	0,804 25	1,63		102.1 31	6.583. 530	8,846 73	8,846 73	1,98		237.6 08	9.311. 133	8,846 73	8,846 73	2,47
	I		0	31.05 6	0,804 25	0,804 25	NS		0	31.39 3	0,804 25	0,804 25	1,32		0	31.60 3	0,804 25	0,804 25	1,32
P	S	00647	-	6.216.	4,423	4,423	2,56	00648	38.82 7	9.785. 102	4,423 36	4,423 36	5,26	00649	23.92 3	5.089. 742	4,423 36	4,423 36	2,17
	I		140.9 07	330	36	36													



Platee - Verifiche pressoflessione retta allo SLU

Dir	Pos	Nodo	NEd [N]	MEd [N-m]	As [cm ² /cm]	A _{df} [cm ² /cm]	CS	Nodo	NEd [N]	MEd [N-m]	As [cm ² /cm]	A _{df} [cm ² /cm]	CS	Nodo	NEd [N]	MEd [N-m]	As [cm ² /cm]	A _{df} [cm ² /cm]	CS
	I		0	31.90 4	0,536 17	0,536 17	1,32		0	31.84 2	0,536 17	0,536 17	1,32		0	31.64 3	0,536 17	0,536 17	1,32
S	S		336.2 20	9.984. 484	8,846 73	8,846 73	2,61		120.2 12	9.474. 272	8,846 73	8,846 73	2,53		30.49 4	8.955. 192	8,846 73	8,846 73	2,43
	I		0	31.70 2	0,804 25	0,804 25	1,32		0	31.70 1	0,804 25	0,804 25	1,32		0	31.57 0	0,804 25	0,804 25	1,32
P	S	00650	8.006	2.162. 172	4,423 36	4,423 36	1,59	00651	-2.508	846.9 81	0,402 12	0,402 12	2,70	00652	-9.502	325.7 35	0,402 12	0,402 12	4,36
	I		0	31.22 0	0,536 17	0,536 17	1,32		0	30.54 5	0,536 17	0,536 17	7,49		0	29.57 1	0,536 17	0,536 17	7,48
S	S		20.93 5	7.171. 029	8,846 73	8,846 73	2,08		15.19 9	5.023. 468	0,804 25	0,804 25	1,26		13.27 3	3.420. 196	0,804 25	0,804 25	1,84
	I		0	31.33 6	0,804 25	0,804 25	1,32		0	30.99 0	0,804 25	0,804 25	NS		0	30.51 2	0,804 25	0,804 25	NS
P	S	00653	- 13.40 4	86.61 0	0,402 12	0,402 12	6,08	00654	0	0	0,402 12	0,402 12	-	00655	0	0	0,402 12	0,402 12	-
	I		0	28.24 2	0,536 17	0,536 17	7,46		- 15.27 8	40.69 1	0,536 17	0,536 17	7,68		- 16.03 8	115.3 38	0,536 17	0,536 17	9,09
S	S		12.75 6	2.371. 766	0,804 25	0,804 25	2,66		12.78 7	1.674. 386	0,804 25	0,804 25	3,77		13.18 7	1.194. 045	0,804 25	0,804 25	5,28
	I		0	29.88 1	0,804 25	0,804 25	NS		0	29.09 1	0,804 25	0,804 25	NS		0	28.14 7	0,804 25	0,804 25	NS
P	S	00656	0	0	0,402 12	0,402 12	-	00657	0	0	0,402 12	0,402 12	-	00658	0	0	0,402 12	0,402 12	-
	I		- 16.37 0	160.2 82	0,536 17	0,536 17	10,2 1		- 16.67 1	185.0 85	0,536 17	0,536 17	10,9 6		- 16.57 1	193.8 84	0,536 17	0,536 17	11,25
S	S		13.97 0	854.2 23	0,804 25	0,804 25	7,38		14.88 2	609.2 16	0,804 25	0,804 25	10,3 5		14.68 0	430.3 61	0,804 25	0,804 25	14,66
	I		0	27.06 2	0,804 25	0,804 25	NS		0	25.85 2	0,804 25	0,804 25	NS		0	24.57 6	0,804 25	0,804 25	NS
P	S	00659	0	0	0,402 12	0,402 12	-	00660	0	0	0,402 12	0,402 12	-	00661	0	0	0,402 12	0,402 12	-
	I		- 14.07 7	188.9 23	0,536 17	0,536 17	11,0 8		-6.021	171.3 56	0,536 17	0,536 17	10,5 0		-555	141.5 69	0,536 17	0,536 17	9,67
S	S		10.39 7	299.5 80	0,804 25	0,804 25	21,0 7		1.798	206.1 85	0,804 25	0,804 25	30,6 5		-640	138.4 17	0,804 25	0,804 25	45,68
	I		0	23.35 8	0,804 25	0,804 25	NS		0	22.30 5	0,804 25	0,804 25	NS		0	20.38 3	0,804 25	0,804 25	NS
P	S	00662	0	0	0,402 12	0,402 12	-	00663	0	0	0,402 12	0,402 12	-	00664	0	0	0,402 12	0,402 12	-
	I		-1.837	175.6 64	0,536 17	0,536 17	10,6 2		1.330	216.4 25	0,536 17	0,536 17	12,0 1		536	278.8 78	0,536 17	0,536 17	15,07
S	S		0	0	0,804 25	0,804 25	-		0	0	0,804 25	0,804 25	-		- 16.42 7	8.445	0,804 25	0,804 25	NS
	I		- 42.23 8	85.07 8	0,804 25	0,804 25	74,8 0		- 29.37 8	35.95 5	0,804 25	0,804 25	NS		0	24.07 0	0,804 25	0,804 25	NS
P	S	00665	0	0	0,402 12	0,402 12	-	00666	0	0	0,402 12	0,402 12	-	00667	0	0	0,402 12	0,402 12	-
	I		2.841	366.5 18	0,536 17	0,536 17	23,4 3		8.100	485.3 22	0,536 17	0,536 17	94,7 5		13.08 6	637.7 74	0,536 17	0,536 17	32,49
S	S		-8.033	83.15 1	0,804 25	0,804 25	76,1 2		-5.343	191.1 54	0,804 25	0,804 25	33,1 0		-4.393	349.4 03	0,804 25	0,804 25	18,11
	I		0	24.70 1	0,804 25	0,804 25	NS		0	25.29 3	0,804 25	0,804 25	NS		0	26.08 6	0,804 25	0,804 25	NS
P	S	00668	0	0	0,402 12	0,402 12	-	00669	0	0	0,402 12	0,402 12	-	00670	0	0	0,402 12	0,402 12	-
	I		16.63 8	827.1 41	0,536 17	0,536 17	12,1 6		19.10 4	1.054. 001	0,536 17	0,536 17	6,95		20.68 3	1.307. 554	0,536 17	0,536 17	4,70
S	S		-1.947	584.2 84	0,804 25	0,804 25	10,8 2		3.000	937.5 92	0,804 25	0,804 25	6,74		11.11 1	1.475. 049	0,804 25	0,804 25	4,28
	I		0	27.05 3	0,804 25	0,804 25	NS		0	28.05 4	0,804 25	0,804 25	NS		0	28.96 5	0,804 25	0,804 25	NS
P	S	00671	0	0	0,402 12	0,402 12	-	00672	0	0	0,402 12	0,402 12	-	00673	0	0	4,423 36	4,423 36	-
	I		20.82 3	1.540. 989	0,536 17	0,536 17	3,62		17.63 7	1.607. 867	0,536 17	0,536 17	3,40		6.235	1.171. 952	0,536 17	0,536 17	1,21
S	S		24.08 8	2.291. 289	0,804 25	0,804 25	2,75		45.82 3	3.467. 233	0,804 25	0,804 25	1,81		84.52 0	4.906. 713	8,846 73	8,846 73	1,76
	I		0	29.71 9	0,804 25	0,804 25	NS		0	30.30 2	0,804 25	0,804 25	NS		0	30.72 9	0,804 25	0,804 25	1,32



REGIONE BASILICATA - PROVINCIA DI MATERA - COMUNE DI FERRANDINA
PROGETTO DEFINITIVO
Parco Eolico "Montagnola"
Relazione preliminare sulle strutture

Platee - Verifiche pressoflessione retta allo SLU

Dir	Pos	Nodo	N _{Ed} [N]	M _{Ed} [N·m]	A _s [cm²/cm]	A _{df} [cm²/cm]	CS	Nodo	N _{Ed} [N]	M _{Ed} [N·m]	A _s [cm²/cm]	A _{df} [cm²/cm]	CS	Nodo	N _{Ed} [N]	M _{Ed} [N·m]	A _s [cm²/cm]	A _{df} [cm²/cm]	CS		
P	S	00674	-	287.6	4,423	4,423	1,36	00675	-	3.321.	4,423	4,423	1,79	00676	-	6.296.	4,423	4,423	2,57		
	I		24.47 7	07	36	36			73.07 0	479	36	36			51.95 8	960	36	36			
			0	31.30 6	0,536 17	0,536 17	1,32		0	31.60 6	0,536 17	0,536 17	1,32		0	31.66 5	0,536 17	0,536 17	1,32		
S	S	00677	151.3	6.146.	8,846	8,846	1,91	00678	209.9	6.485.	8,846	8,846	1,95	00679	178.8	6.127.	8,846	8,846	1,90		
	I		89	298	73	73				31	874	73	73				24	046	73	73	
			0	31.01 7	0,804 25	0,804 25	1,32		0	31.18 1	0,804 25	0,804 25	1,32		0	31.23 8	0,804 25	0,804 25	1,32		
P	S	00677	1.236	5.720.	4,423	4,423	2,36	00678	7.561	3.462.	4,423	4,423	1,80	00679	2.464	1.782.	4,423	4,423	1,53		
	I		0	176	36	36				0	313	36	36				0	855	36	36	
S	S		93.64	6.138.	8,846	8,846	1,91			43.21	5.939.	8,846	8,846		1,89		26.41	5.109.	8,846	8,846	1,79
	I	3	831	73	73			3	988	73	73			8	202	73	73				
		0	31.17 2	0,804 25	0,804 25	1,32		0	30.98 5	0,804 25	0,804 25	1,32		0	30.67 6	0,804 25	0,804 25	1,32			
P	S	00680	-3.049	786.9	0,402	0,402	2,82	00681	-7.511	267.6	0,402	0,402	4,68	00682	-	1.948	0,402	0,402	7,05		
	I		0	29.80	0,536	0,536	7,48			0	28.63	0,536	0,536		7,46		0	27.06	0,536	0,536	7,44
S	S		18.60	4.019.	0,804	0,804	1,57			15.05	3.011.	0,804	0,804		2,09		13.48	2.220.	0,804	0,804	2,84
	I	5	348	25	25			6	588	25	25			7	100	25	25				
		0	30.23 0	0,804 25	0,804 25	NS		0	29.62 6	0,804 25	0,804 25	NS		0	28.85 2	0,804 25	0,804 25	NS			
P	S	00683	0	0	0,402	0,402	-	00684	0	0	0,402	0,402	-	00685	0	0	0,402	0,402	-		
	I		-	138.7	0,536	0,536	9,63			-	214.0	0,536	0,536		11,9		-	251.4	0,536	0,536	13,61
S	S		12.22	22	17	17				13.03	74	17	17				13.44	70	17	17	
	I	8	1.631.	0,804	0,804	3,87		12.90	1.197.	0,804	0,804	5,27		13.66	876.5	0,804	0,804	7,20			
		0	610	25	25			5	646	25	25	NS		1	60	25	25				
		0	27.92 7	0,804 25	0,804 25	NS		0	26.93 1	0,804 25	0,804 25	NS		0	25.99 4	0,804 25	0,804 25	NS			
P	S	00686	0	0	0,402	0,402	-	00687	0	0	0,402	0,402	-	00688	0	0	0,402	0,402	-		
	I		-	263.7	0,536	0,536	14,2			-	257.2	0,536	0,536		13,9		-8.297	236.0	0,536	0,536	12,86
S	S		13.71	61	17	17	6			12.70	58	17	17		0		0	10	17	17	
	I	14.72	638.1	0,804	0,804	9,88		14.13	461.1	0,804	0,804	13,6		10.30	330.6	0,804	0,804	19,09			
		7	41	25	25			8	06	25	25	8		5	30	25	25				
		0	25.24 8	0,804 25	0,804 25	NS		0	24.69 8	0,804 25	0,804 25	NS		0	24.10 6	0,804 25	0,804 25	NS			
P	S	00689	0	0	0,402	0,402	-	00690	0	0	0,402	0,402	-	00691	0	0	0,402	0,402	-		
	I		-1.289	195.0	0,536	0,536	11,2			-2.283	262.3	0,536	0,536		14,1		-3.608	307.2	0,536	0,536	17,06
S	S		6.377	234.9	0,804	0,804	26,8			-	21.38	0,804	0,804		NS		-	84.54	0,804	0,804	74,96
	I	0	74	25	25			31.45	2	25	25	NS		15.57	5	25	25				
		0	23.00 4	0,804 25	0,804 25	NS		0	21.89 5	0,804 25	0,804 25	NS		0	23.02 5	0,804 25	0,804 25	NS			
P	S	00692	0	0	0,402	0,402	-	00693	0	0	0,402	0,402	-	00694	0	0	0,402	0,402	-		
	I		-3.451	383.2	0,536	0,536	26,2			3.219	489.4	0,536	0,536		NS		9.399	620.6	0,536	0,536	38,29
S	S		-3.168	169.2	0,804	0,804	37,3			-1.065	289.8	0,804	0,804		21,8		-2.543	457.2	0,804	0,804	13,83
	I	0	06	25	25	8		0	26	25	25	NS		0	47	25	25				
		0	23.59 3	0,804 25	0,804 25	NS		0	23.77 2	0,804 25	0,804 25	NS		0	24.25 9	0,804 25	0,804 25	NS			
P	S	00695	0	0	0,402	0,402	-	00696	0	0	0,402	0,402	-	00697	0	0	0,402	0,402	-		
	I		12.42	774.5	0,536	0,536	14,7			13.57	944.3	0,536	0,536		8,78		13.61	1.110.	0,536	0,536	6,29
S	S		-1.107	690.9	0,804	0,804	9,15			3.924	1.018.	0,804	0,804		6,20		12.10	1.473.	0,804	0,804	4,28
	I	0	18	25	25			0	203	25	25	NS		3	220	25	25				
		0	25.22 2	0,804 25	0,804 25	NS		0	26.41 5	0,804 25	0,804 25	NS		0	27.56 5	0,804 25	0,804 25	NS			
P	S	00698	0	0	0,402	0,402	-	00699	0	0	0,402	0,402	-	00700	0	0	0,402	0,402	-		
	I		12.25	1.223.	0,536	0,536	5,27			8.117	1.179.	0,536	0,536		5,63		-1.577	798.1	0,536	0,536	13,52
S	S		24.13	429	17	17				42.07	2.858.	0,804	0,804		2,20		5	327	0,804	0,804	1,69
	I	1	482	25	25	3,02		8	178	25	25	NS		0	29.80	0,804	0,804	NS			
		0	28.52	0,804	0,804	NS		0	29.26	0,804	0,804	NS		0	29.80	0,804	0,804	NS			



REGIONE BASILICATA - PROVINCIA DI MATERA - COMUNE DI FERRANDINA
PROGETTO DEFINITIVO
Parco Eolico "Montagnola"
Relazione preliminare sulle strutture

Platee - Verifiche pressoflessione retta allo SLU

Dir	Pos	Nodo	NEd [N]	MEd [N·m]	As [cm²/cm]	A _{df} [cm²/cm]	CS	Nodo	NEd [N]	MEd [N·m]	As [cm²/cm]	A _{df} [cm²/cm]	CS	Nodo	NEd [N]	MEd [N·m]	As [cm²/cm]	A _{df} [cm²/cm]	CS
			-	5	25	25			-	4	25	25			-	7	25	25	
P	S	00701	20.72 0	163.4 76	4,423 36	4,423 36	1,34	00702	46.42 8	1.869. 280	4,423 36	4,423 36	1,55	00703	53.36 7	3.897. 461	4,423 36	4,423 36	1,89
	I		0	30.71 8	0,536 17	0,536 17	1,32		0	31.14 4	0,536 17	0,536 17	1,32		0	31.33 0	0,536 17	0,536 17	1,32
S	S		108.3 70	4.367. 370	8,846 73	8,846 73	1,69		145.1 56	4.626. 375	8,846 73	8,846 73	1,72		150.9 47	4.440. 240	8,846 73	8,846 73	1,69
	I		0	30.18 7	0,804 25	0,804 25	1,32		0	30.43 1	0,804 25	0,804 25	1,32		0	30.54 9	0,804 25	0,804 25	1,32
P	S	00704	-32.87 7	4.788. 724	4,423 36	4,423 36	2,10	00705	-9.990	3.886. 960	4,423 36	4,423 36	1,89	00706	-2.875	2.524. 856	4,423 36	4,423 36	1,64
	I		0	31.30 3	0,536 17	0,536 17	1,32		0	31.07 3	0,536 17	0,536 17	1,32		0	30.61 3	0,536 17	0,536 17	1,32
S	S		119.2 55	4.240. 954	8,846 73	8,846 73	1,68		74.46 9	4.278. 471	8,846 73	8,846 73	1,68		43.95 6	4.143. 290	8,846 73	8,846 73	1,67
	I		0	30.54 4	0,804 25	0,804 25	1,32		0	30.41 1	0,804 25	0,804 25	1,32		0	30.14 8	0,804 25	0,804 25	1,32
P	S	00707	-3.194	1.410. 566	0,402 12	0,402 12	1,91	00708	-5.564	664.9 96	0,402 12	0,402 12	3,12	00709	-8.069	213.2 07	0,402 12	0,402 12	5,03
	I		0	29.88 4	0,536 17	0,536 17	7,48		0	28.84 6	0,536 17	0,536 17	7,47		0	27.45 4	0,536 17	0,536 17	7,45
S	S		28.69 4	3.705. 184	0,804 25	0,804 25	1,70		20.72 8	3.090. 225	0,804 25	0,804 25	2,04		16.51 2	2.457. 730	0,804 25	0,804 25	2,57
	I		0	29.74 5	0,804 25	0,804 25	NS		0	29.17 6	0,804 25	0,804 25	NS		0	28.40 5	0,804 25	0,804 25	NS
P	S	00710	0	0	0,402 12	0,402 12	-	00711	0	0	0,402 12	0,402 12	-	00712	0	0	0,402 12	0,402 12	-
	I		-9.919	46.44 0	0,536 17	0,536 17	7,76		-10.87 9	191.0 80	0,536 17	0,536 17	11,1 4		-11.07 0	267.1 64	0,536 17	0,536 17	14,43
S	S		14.19 5	1.900. 922	0,804 25	0,804 25	3,32		12.89 9	1.447. 615	0,804 25	0,804 25	4,36		12.53 2	1.091. 687	0,804 25	0,804 25	5,78
	I		0	27.41 2	0,804 25	0,804 25	NS		0	26.24 6	0,804 25	0,804 25	NS		0	25.07 8	0,804 25	0,804 25	NS
P	S	00713	0	0	0,402 12	0,402 12	-	00714	0	0	0,402 12	0,402 12	-	00715	0	0	0,402 12	0,402 12	-
	I		-11.07 9	300.1 61	0,536 17	0,536 17	16,5 6		-11.66 9	303.7 38	0,536 17	0,536 17	16,8 3		-10.66 6	285.0 85	0,536 17	0,536 17	15,51
S	S		13.83 2	817.0 73	0,804 25	0,804 25	7,72		16.69 1	607.8 48	0,804 25	0,804 25	10,3 7		17.71 9	450.5 59	0,804 25	0,804 25	13,99
	I		0	24.18 8	0,804 25	0,804 25	NS		0	23.76 9	0,804 25	0,804 25	NS		0	23.52 5	0,804 25	0,804 25	NS
P	S	00716	0	0	0,402 12	0,402 12	-	00717	0	0	0,402 12	0,402 12	-	00718	0	0	0,402 12	0,402 12	-
	I		-4.155	250.1 57	0,536 17	0,536 17	13,5 1		-184	199.7 71	0,536 17	0,536 17	11,4 0		-3.322	317.2 35	0,536 17	0,536 17	17,89
S	S		12.83 2	327.4 25	0,804 25	0,804 25	19,2 7		10.47 8	258.5 47	0,804 25	0,804 25	24,4 1		-16.95 8	126.0 50	0,804 25	0,804 25	50,29
	I		0	22.99 6	0,804 25	0,804 25	NS		0	22.27 5	0,804 25	0,804 25	NS		0	19.73 3	0,804 25	0,804 25	NS
P	S	00719	0	0	0,402 12	0,402 12	-	00720	0	0	0,402 12	0,402 12	-	00721	0	0	0,402 12	0,402 12	-
	I		-8.632	381.9 42	0,536 17	0,536 17	26,0 6		-2.374	471.9 28	0,536 17	0,536 17	70,7 3		8.315	584.9 63	0,536 17	0,536 17	60,84
S	S		3.427	214.4 12	0,804 25	0,804 25	29,4 7		8.814	331.1 34	0,804 25	0,804 25	19,0 6		-931	487.4 07	0,804 25	0,804 25	12,97
	I		0	20.23 2	0,804 25	0,804 25	NS		0	20.52 9	0,804 25	0,804 25	NS		0	20.88 9	0,804 25	0,804 25	NS
P	S	00722	0	0	0,402 12	0,402 12	-	00723	0	0	0,402 12	0,402 12	-	00724	0	0	0,402 12	0,402 12	-
	I		10.15 8	707.7 93	0,536 17	0,536 17	20,1 1		9.293	832.2 17	0,536 17	0,536 17	11,9 9		7.637	938.4 50	0,536 17	0,536 17	8,91
S	S		-2.108	694.7 48	0,804 25	0,804 25	9,10		3.060	970.2 28	0,804 25	0,804 25	6,51		11.41 4	1.328. 492	0,804 25	0,804 25	4,75
	I		0	22.27 3	0,804 25	0,804 25	NS		0	24.04 8	0,804 25	0,804 25	NS		0	25.67 1	0,804 25	0,804 25	NS
P	S	00725	0	0	0,402 12	0,402 12	-	00726	0	0	0,402 12	0,402 12	-	00727	0	0	0,402 12	0,402 12	-
	I		5.134	986.6 81	0,536 17	0,536 17	7,99		849	907.6 66	0,536 17	0,536 17	9,65		-6.849	598.5 72	0,536 17	0,536 17	49,88
S	S		22.57 4	1.774. 549	0,804 25	0,804 25	3,55		37.41 5	2.288. 470	0,804 25	0,804 25	2,75		57.42 1	2.806. 031	0,804 25	0,804 25	2,23



Platee - Verifiche pressoflessione retta allo SLU

Dir	Pos	Nodo	NEd	MEd	As	A _{df}	CS	Nodo	NEd	MEd	As	A _{df}	CS	Nodo	NEd	MEd	As	A _{df}	CS
			[N]	[N-m]	[cm ² /cm]	[cm ² /cm]			[N]	[N-m]	[cm ² /cm]	[cm ² /cm]			[N]	[N-m]	[cm ² /cm]	[cm ² /cm]	
	I		0	26.95 5	0,804 25	0,804 25	NS		0	27.90 2	0,804 25	0,804 25	NS		0	28.58 2	0,804 25	0,804 25	NS
P	S	00728	-	59.47 0	4,423 36	4,423 36	1,33	00729	-	1.131. 116	4,423 36	4,423 36	1,45	00730	-	2.470. 680	4,423 36	4,423 36	1,64
	I		0	29.92 9	0,536 17	0,536 17		1,32	0	30.51 0	0,536 17	0,536 17		1,32	0	30.82 2	0,536 17	0,536 17	
S	S		82.84 5	3.214. 281	8,846 73	8,846 73	1,57		107.8 50	3.389. 652	8,846 73	8,846 73	1,59		120.1 42	3.295. 871	8,846 73	8,846 73	1,58
	I		0	29.06 6	0,804 25	0,804 25	1,32	0	29.39 8	0,804 25	0,804 25	1,32	0	29.59 6	0,804 25	0,804 25	1,32		
P	S	00731	-	3.485. 915	4,423 36	4,423 36	1,81	00732	-	3.509. 037	4,423 36	4,423 36	1,81	00733	-	2.769. 958	4,423 36	4,423 36	1,68
	I		0	30.90 3	0,536 17	0,536 17		1,32	0	30.77 6	0,536 17	0,536 17		1,32	0	30.42 2	0,536 17	0,536 17	
S	S		112.3 42	3.105. 712	8,846 73	8,846 73	1,56		88.53 0	3.054. 868	8,846 73	8,846 73	1,56		61.30 5	3.070. 979	8,846 73	8,846 73	1,56
	I		0	29.65 9	0,804 25	0,804 25	1,32	0	29.58 2	0,804 25	0,804 25	1,32	0	29.36 8	0,804 25	0,804 25	1,32		
P	S	00734	-9.232	1.864. 176	4,423 36	4,423 36	1,55	00735	-7.982	1.087. 881	0,402 12	0,402 12	2,30	00736	-8.705	522.9 51	0,402 12	0,402 12	3,54
	I		0	29.79 8	0,536 17	0,536 17		1,32	0	28.86 6	0,536 17	0,536 17		7,47	0	27.60 6	0,536 17	0,536 17	
S	S		41.18 0	2.971. 034	8,846 73	8,846 73	1,56		28.98 9	2.709. 200	0,804 25	0,804 25	2,32		21.83 0	2.336. 469	0,804 25	0,804 25	2,70
	I		0	29.01 6	0,804 25	0,804 25	1,32	0	28.50 7	0,804 25	0,804 25	NS	0	27.78 9	0,804 25	0,804 25	NS		
P	S	00737	-9.901	148.6 69	0,402 12	0,402 12	5,51	00738	0	0	0,402 12	0,402 12	-	00739	0	0	0,402 12	0,402 12	-
	I		0	25.99 9	0,536 17	0,536 17		7,43	-	10.71 9	83.86 0	0,536 17		0,536 17	8,43	-	10.75 4	219.5 89	
S	S		17.51 2	1.929. 252	0,804 25	0,804 25	3,27		14.66 3	1.544. 656	0,804 25	0,804 25	4,08		12.68 4	1.211. 083	0,804 25	0,804 25	5,21
	I		0	26.78 9	0,804 25	0,804 25	NS	0	25.44 5	0,804 25	0,804 25	NS	0	23.77 7	0,804 25	0,804 25	NS		
P	S	00740	0	0	0,402 12	0,402 12	-	00741	0	0	0,402 12	0,402 12	-	00742	0	0	0,402 12	0,402 12	-
	I		-9.967	290.7 09	0,536 17	0,536 17		15,8 8	-9.462	317.3 53	0,536 17	0,536 17		17,9 3	-	13.06 6	311.5 50	0,536 17	
S	S		11.97 9	936.3 00	0,804 25	0,804 25	6,74		15.52 1	717.2 64	0,804 25	0,804 25	8,79		24.72 3	546.8 20	0,804 25	0,804 25	11,52
	I		0	22.02 5	0,804 25	0,804 25	NS	0	20.80 0	0,804 25	0,804 25	NS	0	20.59 0	0,804 25	0,804 25	NS		
P	S	00743	0	0	0,402 12	0,402 12	-	00744	0	0	0,402 12	0,402 12	-	00745	0	0	0,402 12	0,402 12	-
	I		-7.077	282.2 37	0,536 17	0,536 17		15,3 2	-1.009	229.6 65	0,536 17	0,536 17		12,5 6	-4.542	374.2 15	0,536 17	0,536 17	
S	S		22.65 4	411.4 32	0,804 25	0,804 25	15,3 1		11.58 9	328.7 81	0,804 25	0,804 25	19,1 9		-2.678	241.6 84	0,804 25	0,804 25	26,17
	I		0	19.89 2	0,804 25	0,804 25	NS	0	19.70 7	0,804 25	0,804 25	NS	0	13.12 0	0,804 25	0,804 25	NS		
P	S	00746	0	616	0,402 12	0,402 12	7,05	00747	0	0	0,402 12	0,402 12	-	00748	0	0	0,402 12	0,402 12	-
	I		-	18.81 8	434.0 69	0,536 17		0,536 17	41,2 4	15.26 5	539.8 00	0,536 17		0,536 17	NS	10.58 7	637.1 47	0,536 17	
S	S		34.35 1	339.8 83	0,804 25	0,804 25	18,5 0		-1.352	475.4 16	0,804 25	0,804 25	13,3 0		-5.717	642.8 27	0,804 25	0,804 25	9,84
	I		0	14.47 9	0,804 25	0,804 25	NS	0	14.33 6	0,804 25	0,804 25	NS	0	17.67 5	0,804 25	0,804 25	NS		
P	S	00749	0	0	0,402 12	0,402 12	-	00750	0	0	0,402 12	0,402 12	-	00751	0	0	0,402 12	0,402 12	-
	I		6.267	728.6 51	0,536 17	0,536 17		18,0 7	2.557	797.2 99	0,536 17	0,536 17		13,5 4	-1.005	813.1 31	0,536 17	0,536 17	
S	S		335	861.8 68	0,804 25	0,804 25	7,33		9.405	1.134. 091	0,804 25	0,804 25	5,57		20.23 9	1.454. 728	0,804 25	0,804 25	4,33
	I		0	20.83 0	0,804 25	0,804 25	NS	0	23.23 4	0,804 25	0,804 25	NS	0	24.98 0	0,804 25	0,804 25	NS		
P	S	00752	0	0	0,402 12	0,402 12	-	00753	0	0	0,402 12	0,402 12	-	00754	0	0	0,402 12	0,402 12	-
	I		-5.166	730.2 42	0,536 17	0,536 17		17,9 9	-	11.09 4	487.7 73	0,536 17		0,536 17	NS	0	28.89 0	0,536 17	



REGIONE BASILICATA - PROVINCIA DI MATERA - COMUNE DI FERRANDINA
PROGETTO DEFINITIVO
Parco Eolico "Montagnola"
Relazione preliminare sulle strutture

Platee - Verifiche pressoflessione retta allo SLU

Dir	Pos	Nodo	N _{Ed} [N]	M _{Ed} [N-m]	A _s [cm ² /cm]	A _d [cm ² /cm]	CS	Nodo	N _{Ed} [N]	M _{Ed} [N-m]	A _s [cm ² /cm]	A _d [cm ² /cm]	CS	Nodo	N _{Ed} [N]	M _{Ed} [N-m]	A _s [cm ² /cm]	A _d [cm ² /cm]	CS
S	S		32.89 9	1.804. 013	0,804 25	0,804 25	3,49		48.07 5	2.139. 888	0,804 25	0,804 25	2,93		65.89 7	2.399. 190	0,804 25	0,804 25	2,61
	I		0 0	26.19 0	0,804 25	0,804 25	NS		0 0	27.01 6	0,804 25	0,804 25	NS		0 0	27.59 9	0,804 25	0,804 25	NS
P	S	00755	- 30.43 0	696.0 63	4,423 36	4,423 36	1,40	00756	- 39.03 4	1.600. 546	4,423 36	4,423 36	1,51	00757	- 41.00 7	2.438. 033	4,423 36	4,423 36	1,63
	I		0 0	29.67 5	0,536 17	0,536 17	1,32		0 0	30.13 0	0,536 17	0,536 17	1,32		0 0	30.32 1	0,536 17	0,536 17	1,32
S	S		83.81 5	2.517. 105	8,846 73	8,846 73	1,51		96.07 1	2.469. 738	8,846 73	8,846 73	1,51		97.49 0	2.323. 508	8,846 73	8,846 73	1,49
	I		0 0	28.02 4	0,804 25	0,804 25	1,32		0 0	28.31 7	0,804 25	0,804 25	1,32		0 0	28.46 8	0,804 25	0,804 25	1,32
P	S	00758	- 35.49 0	2.818. 871	4,423 36	4,423 36	1,69	00759	- 26.11 3	2.596. 556	4,423 36	4,423 36	1,66	00760	- 18.00 5	2.024. 230	4,423 36	4,423 36	1,57
	I		0 0	30.29 9	0,536 17	0,536 17	1,32		0 0	30.06 4	0,536 17	0,536 17	1,32		0 0	29.55 8	0,536 17	0,536 17	1,32
S	S		87.34 5	2.216. 614	8,846 73	8,846 73	1,48		69.84 6	2.207. 735	8,846 73	8,846 73	1,49		51.73 8	2.211. 382	8,846 73	8,846 73	1,49
	I		0 0	28.45 9	0,804 25	0,804 25	1,32		0 0	28.29 1	0,804 25	0,804 25	1,32		0 0	27.98 2	0,804 25	0,804 25	1,32
P	S	00761	- 13.54 0	1.380. 106	0,402 12	0,402 12	1,95	00762	- 12.02 0	816.2 98	0,402 12	0,402 12	2,77	00763	- 12.08 5	384.5 37	0,402 12	0,402 12	4,08
	I		0 0	28.72 0	0,536 17	0,536 17	7,47		0 0	27.52 7	0,536 17	0,536 17	7,45		0 0	26.01 4	0,536 17	0,536 17	7,43
S	S		37.70 4	2.141. 914	0,804 25	0,804 25	2,93		28.36 5	1.977. 162	0,804 25	0,804 25	3,18		22.36 2	1.741. 480	0,804 25	0,804 25	3,62
	I		0 0	27.53 8	0,804 25	0,804 25	NS		0 0	26.92 4	0,804 25	0,804 25	NS		0 0	26.04 4	0,804 25	0,804 25	NS
P	S	00764	- 12.54 6	81.98 6	0,402 12	0,402 12	6,12	00765	0 0	0 0	0,402 12	0,402 12	-	00766	0 0	0 0	0,402 12	0,402 12	-
	I		0 0	24.23 3	0,536 17	0,536 17	7,40		- 12.63 4	115.0 90	0,536 17	0,536 17	9,07		- 12.07 4	232.9 80	0,536 17	0,536 17	12,74
S	S		18.18 4	1.474. 707	0,804 25	0,804 25	4,27		14.81 5	1.211. 293	0,804 25	0,804 25	5,21		12.06 9	973.0 02	0,804 25	0,804 25	6,48
	I		0 0	24.75 1	0,804 25	0,804 25	NS		0 0	22.89 6	0,804 25	0,804 25	NS		0 0	20.36 4	0,804 25	0,804 25	NS
P	S	00767	0 0	0 0	0,402 12	0,402 12	-	00768	0 0	0 0	0,402 12	0,402 12	-	00769	0 0	955 0	0,402 12	0,402 12	7,04
	I		- 10.72 4	293.3 95	0,536 17	0,536 17	16,0 7		-8.690 0	310.7 22	0,536 17	0,536 17	17,3 7		- 23.62 5	293.1 98	0,536 17	0,536 17	16,12
S	S		11.06 7	770.6 47	0,804 25	0,804 25	8,19		20.44 9	608.1 39	0,804 25	0,804 25	10,3 6		45.29 0	476.3 0	0,804 25	0,804 25	13,18
	I		0 0	17.09 5	0,804 25	0,804 25	NS		0 0	14.02 1	0,804 25	0,804 25	NS		0 0	14.46 7	0,804 25	0,804 25	NS
P	S	00770	0 0	0 0	0,402 12	0,402 12	-	00771	0 0	2.466 0	0,402 12	0,402 12	7,02	00772	0 0	0 0	0,402 12	0,402 12	-
	I		4.139 0	251.0 46	0,536 17	0,536 17	13,5 3		- 20.47 6	400.8 03	0,536 17	0,536 17	30,1 4		11.08 2	484.5 45	0,536 17	0,536 17	92,81
S	S		13.70 9	378.7 42	0,804 25	0,804 25	16,6 6		- 11.24 0	326.7 85	0,804 25	0,804 25	19,3 8		- 16.11 4	436.6 94	0,804 25	0,804 25	14,51
	I		0 0	13.02 1	0,804 25	0,804 25	NS		0 0	0 0	0,804 25	0,804 25	-		0 0	1.408 0	0,804 25	0,804 25	NS
P	S	00773	0 0	0 0	0,402 12	0,402 12	-	00774	0 0	0 0	0,402 12	0,402 12	-	00775	0 0	0 0	0,402 12	0,402 12	-
	I		9.895 0	566.2 14	0,536 17	0,536 17	88,0 1		2.889 0	635.9 08	0,536 17	0,536 17	33,1 2		-2.473 0	682.3 25	0,536 17	0,536 17	23,42
S	S		- 11.99 1	564.0 84	0,804 25	0,804 25	11,2 3		-4.277 0	733.6 23	0,804 25	0,804 25	8,62		6.263 0	935.8 50	0,804 25	0,804 25	6,75
	I		0 0	12.27 2	0,804 25	0,804 25	NS		0 0	17.12 6	0,804 25	0,804 25	NS		0 0	20.37 6	0,804 25	0,804 25	NS
P	S	00776	0 0	0 0	0,402 12	0,402 12	-	00777	0 0	0 0	0,402 12	0,402 12	-	00778	0 0	0 0	0,402 12	0,402 12	-
	I		-6.941 0	683.8 99	0,536 17	0,536 17	23,2 2		- 10.87 9	609.8 77	0,536 17	0,536 17	43,3 4		- 15.16 2	422.6 72	0,536 17	0,536 17	36,57
S	S		17.65 7	1.164. 795	0,804 25	0,804 25	5,41		29.16 0	1.404. 562	0,804 25	0,804 25	4,48		41.02 5	1.627. 417	0,804 25	0,804 25	3,86



Platee - Verifiche pressoflessione retta allo SLU

Dir	Pos	Nodo	N _{Ed} [N]	M _{Ed} [N-m]	A _s [cm ² /cm]	A _{df} [cm ² /cm]	CS	Nodo	N _{Ed} [N]	M _{Ed} [N-m]	A _s [cm ² /cm]	A _{df} [cm ² /cm]	CS	Nodo	N _{Ed} [N]	M _{Ed} [N-m]	A _s [cm ² /cm]	A _{df} [cm ² /cm]	CS
	I		0	22.64 2	0,804 25	0,804 25	NS		0	24.13 3	0,804 25	0,804 25	NS		0	25.07 9	0,804 25	0,804 25	NS
P	S	00779	0	0	0,402 12	0,402 12	-	00780	- 28.25 5	415.4 89	0,402 12	0,402 12	3,97	00781	35.26 0	1.047. 890	0,402 12	0,402 12	2,38
	I		- 20.92 3	86.25 1	0,536 17	0,536 17	8,50		0	28.60 4	0,536 17	0,536 17	7,46		0	29.24 5	0,536 17	0,536 17	7,47
S	S		53.83 4	1.795. 969	0,804 25	0,804 25	3,49		66.97 4	1.873. 588	0,804 25	0,804 25	3,34		77.72 5	1.844. 504	0,804 25	0,804 25	3,39
	I		0	25.72 6	0,804 25	0,804 25	NS		0	26.22 8	0,804 25	0,804 25	NS		0	26.63 1	0,804 25	0,804 25	NS
P	S	00782	- 39.09 3	1.689. 566	0,402 12	0,402 12	1,69	00783	- 38.06 3	2.131. 854	0,402 12	0,402 12	1,41	00784	32.81 7	2.203. 484	0,402 12	0,402 12	1,37
	I		0	29.54 0	0,536 17	0,536 17	7,48		0	29.60 7	0,536 17	0,536 17	7,48		0	29.50 0	0,536 17	0,536 17	7,48
S	S		82.65 6	1.736. 630	0,804 25	0,804 25	3,59		79.91 4	1.623. 960	0,804 25	0,804 25	3,84		70.35 2	1.573. 302	0,804 25	0,804 25	3,97
	I		0	26.90 5	0,804 25	0,804 25	NS		0	26.99 6	0,804 25	0,804 25	NS		0	26.88 1	0,804 25	0,804 25	NS
P	S	00785	- 25.91 9	1.935. 189	0,402 12	0,402 12	1,51	00786	- 20.13 2	1.490. 264	0,402 12	0,402 12	1,85	00787	- 16.78 3	1.014. 570	0,402 12	0,402 12	2,42
	I		0	29.15 2	0,536 17	0,536 17	7,47		0	28.44 3	0,536 17	0,536 17	7,46		0	27.29 7	0,536 17	0,536 17	7,44
S	S		57.19 1	1.576. 575	0,804 25	0,804 25	3,97		44.35 5	1.577. 094	0,804 25	0,804 25	3,98		34.37 5	1.531. 124	0,804 25	0,804 25	4,11
	I		0	26.58 9	0,804 25	0,804 25	NS		0	26.17 5	0,804 25	0,804 25	NS		0	25.65 8	0,804 25	0,804 25	NS
P	S	00788	- 15.65 6	593.7 06	0,402 12	0,402 12	3,32	00789	- 15.70 1	261.8 22	0,402 12	0,402 12	4,73	00790	- 15.78 8	21.82 6	0,402 12	0,402 12	6,80
	I		0	25.74 5	0,536 17	0,536 17	7,42		0	23.95 4	0,536 17	0,536 17	7,40		0	22.10 8	0,536 17	0,536 17	7,37
S	S		27.57 5	1.426. 817	0,804 25	0,804 25	4,41		22.79 1	1.276. 430	0,804 25	0,804 25	4,93		18.58 8	1.101. 982	0,804 25	0,804 25	5,72
	I		0	24.97 7	0,804 25	0,804 25	NS		0	23.95 6	0,804 25	0,804 25	NS		0	22.34 1	0,804 25	0,804 25	NS
P	S	00791	0	0	0,402 12	0,402 12	-	00792	0	0	0,402 12	0,402 12	-	00793	0	0	0,402 12	0,402 12	-
	I		- 15.48 4	137.9 98	0,536 17	0,536 17	9,62		- 15.42 7	233.3 17	0,536 17	0,536 17	12,7 7		- 17.31 5	278.1 19	0,536 17	0,536 17	15,10
S	S		14.20 1	924.6 49	0,804 25	0,804 25	6,82		9.880	759.9 44	0,804 25	0,804 25	8,31		6.301	616.1 60	0,804 25	0,804 25	10,25
	I		0	19.91 5	0,804 25	0,804 25	NS		0	16.44 3	0,804 25	0,804 25	NS		0	11.09 8	0,804 25	0,804 25	NS
P	S	00794	0	869	0,402 12	0,402 12	7,05	00795	0	0	0,402 12	0,402 12	-	00796	0	267	0,402 12	0,402 12	7,05
	I		- 20.23 2	281.1 38	0,536 17	0,536 17	15,3 0		-1.272	262.1 96	0,536 17	0,536 17	14,1 2		19.63 0	435.0 97	0,536 17	0,536 17	41,26
S	S		6.464	500.3 49	0,804 25	0,804 25	12,6 2		2.842	411.4 58	0,804 25	0,804 25	15,3 6		- 57.02 4	372.2 85	0,804 25	0,804 25	17,13
	I		0	0	0,804 25	0,804 25	-		0	642	0,804 25	0,804 25	NS		0	7.502	0,804 25	0,804 25	NS
P	S	00797	0	0	0,402 12	0,402 12	-	00798	0	0	0,402 12	0,402 12	-	00799	0	0	0,402 12	0,402 12	-
	I		-865	496.7 52	0,536 17	0,536 17	NS		-4.210	552.6 46	0,536 17	0,536 17	NS		-8.628	586.6 44	0,536 17	0,536 17	59,44
S	S		- 27.64 2	480.1 97	0,804 25	0,804 25	13,2 2		- 11.53 0	608.7 35	0,804 25	0,804 25	10,4 0		1.585	755.6 00	0,804 25	0,804 25	8,36
	I		0	9.435	0,804 25	0,804 25	NS		0	13.86 0	0,804 25	0,804 25	NS		0	17.49 1	0,804 25	0,804 25	NS
P	S	00800	0	0	0,402 12	0,402 12	-	00801	0	0	0,402 12	0,402 12	-	00802	0	0	0,402 12	0,402 12	-
	I		- 13.35 2	583.9 90	0,536 17	0,536 17	62,1 6		- 17.11 7	523.4 97	0,536 17	0,536 17	NS		- 19.71 7	380.9 10	0,536 17	0,536 17	25,95
S	S		14.86 8	917.2 21	0,804 25	0,804 25	6,88		26.67 2	1.081. 404	0,804 25	0,804 25	5,82		36.33 4	1.229. 669	0,804 25	0,804 25	5,11
	I		0	20.06 9	0,804 25	0,804 25	NS		0	21.77 4	0,804 25	0,804 25	NS		0	22.75 4	0,804 25	0,804 25	NS



Platee - Verifiche pressoflessione retta allo SLU

Dir	Pos	Nodo	N _{Ed} [N]	M _{Ed} [N-m]	A _s [cm ² /cm]	A _{df} [cm ² /cm]	CS	Nodo	N _{Ed} [N]	M _{Ed} [N-m]	A _s [cm ² /cm]	A _{df} [cm ² /cm]	CS	Nodo	N _{Ed} [N]	M _{Ed} [N-m]	A _s [cm ² /cm]	A _{df} [cm ² /cm]	CS
P	S	00803	0	0	0,402 12	0,402 12	-	00804	27.39 8	225.4 08	0,402 12	0,402 12	4,97	00805	32.93 8	679.4 31	0,402 12	0,402 12	3,10
	I		- 22.71 1	134.3 45	0,536 17	0,536 17	9,55		0	27.25 2	0,536 17	0,536 17	7,44		0	28.17 0	0,536 17	0,536 17	7,46
S	S		45.08 1	1.338. 842	0,804 25	0,804 25	4,69		54.30 1	1.387. 033	0,804 25	0,804 25	4,52		63.23 7	1.363. 845	0,804 25	0,804 25	4,59
	I		0	23.37 7	0,804 25	0,804 25	NS		0	23.90 9	0,804 25	0,804 25	NS		0	24.42 7	0,804 25	0,804 25	NS
P	S	00806	- 37.32 6	1.163. 605	0,402 12	0,402 12	2,21	00807	- 38.73 9	1.564. 258	0,402 12	0,402 12	1,79	00808	- 36.55 4	1.758. 094	0,402 12	0,402 12	1,64
	I		0	28.57 1	0,536 17	0,536 17	7,46		0	28.67 0	0,536 17	0,536 17	7,47		0	28.65 7	0,536 17	0,536 17	7,47
S	S		69.49 1	1.281. 931	0,804 25	0,804 25	4,88		70.87 9	1.180. 872	0,804 25	0,804 25	5,29		66.69 3	1.109. 355	0,804 25	0,804 25	5,64
	I		0	24.87 5	0,804 25	0,804 25	NS		0	25.13 6	0,804 25	0,804 25	NS		0	25.11 5	0,804 25	0,804 25	NS
P	S	00809	- 31.69 0	1.698. 073	0,402 12	0,402 12	1,68	00810	- 26.09 9	1.443. 545	0,402 12	0,402 12	1,89	00811	- 21.68 8	1.094. 427	0,402 12	0,402 12	2,30
	I		0	28.51 4	0,536 17	0,536 17	7,46		0	28.03 7	0,536 17	0,536 17	7,46		0	27.02 1	0,536 17	0,536 17	7,44
S	S		58.10 6	1.088. 136	0,804 25	0,804 25	5,76		47.69 9	1.096. 638	0,804 25	0,804 25	5,72		38.27 9	1.099. 879	0,804 25	0,804 25	5,71
	I		0	24.82 2	0,804 25	0,804 25	NS		0	24.36 1	0,804 25	0,804 25	NS		0	23.84 5	0,804 25	0,804 25	NS
P	S	00812	- 19.45 8	734.5 57	0,402 12	0,402 12	2,95	00813	- 19.22 0	415.5 25	0,402 12	0,402 12	3,96	00814	- 19.48 6	160.7 64	0,402 12	0,402 12	5,43
	I		0	25.39 5	0,536 17	0,536 17	7,42		0	23.33 0	0,536 17	0,536 17	7,39		0	21.29 2	0,536 17	0,536 17	7,36
S	S		31.56 3	1.073. 510	0,804 25	0,804 25	5,86		27.29 8	1.010. 636	0,804 25	0,804 25	6,23		23.50 8	917.6 47	0,804 25	0,804 25	6,86
	I		0	23.31 5	0,804 25	0,804 25	NS		0	22.65 9	0,804 25	0,804 25	NS		0	21.57 8	0,804 25	0,804 25	NS
P	S	00815	0	0	0,402 12	0,402 12	-	00816	0	0	0,402 12	0,402 12	-	00817	0	0	0,402 12	0,402 12	-
	I		- 18.85 7	25.49 5	0,536 17	0,536 17	7,46		- 17.80 1	149.2 21	0,536 17	0,536 17	9,91		- 18.14 5	219.6 10	0,536 17	0,536 17	12,20
S	S		18.32 7	807.3 04	0,804 25	0,804 25	7,81		11.63 2	692.8 27	0,804 25	0,804 25	9,11		4.352	584.2 16	0,804 25	0,804 25	10,81
	I		0	19.72 9	0,804 25	0,804 25	NS		0	16.97 9	0,804 25	0,804 25	NS		0	13.10 8	0,804 25	0,804 25	NS
P	S	00818	0	0	0,402 12	0,402 12	-	00819	0	1.047	0,402 12	0,402 12	7,04	00820	0	0	0,402 12	0,402 12	-
	I		- 17.81 1	245.4 54	0,536 17	0,536 17	13,3 3		14.55 4	248.8 10	0,536 17	0,536 17	13,3 8		-6.201	429.4 30	0,536 17	0,536 17	39,08
S	S		- 12.05 6	486.9 64	0,804 25	0,804 25	13,0 1		- 32.64 2	417.8 19	0,804 25	0,804 25	15,2 1		- 40.33 9	411.9 82	0,804 25	0,804 25	15,44
	I		0	8.710	0,804 25	0,804 25	NS		0	7.147	0,804 25	0,804 25	NS		0	11.42 6	0,804 25	0,804 25	NS
P	S	00821	0	0	0,402 12	0,402 12	-	00822	0	0	0,402 12	0,402 12	-	00823	0	0	0,402 12	0,402 12	-
	I		- 13.11 7	476.9 00	0,536 17	0,536 17	78,4 1		- 15.76 9	504.2 45	0,536 17	0,536 17	NS		- 19.74 6	502.5 14	0,536 17	0,536 17	NS
S	S		22.64 3	499.6 04	0,804 25	0,804 25	12,7 0		-5.779	604.3 86	0,804 25	0,804 25	10,4 7		10.69 9	715.5 69	0,804 25	0,804 25	8,82
	I		0	13.42 5	0,804 25	0,804 25	NS		0	15.33 4	0,804 25	0,804 25	NS		0	17.41 5	0,804 25	0,804 25	NS
P	S	00824	0	0	0,402 12	0,402 12	-	00825	0	0	0,402 12	0,402 12	-	00826	0	0	0,402 12	0,402 12	-
	I		- 24.13 0	456.5 26	0,536 17	0,536 17	55,0 0		- 25.41 9	349.9 48	0,536 17	0,536 17	21,3 7		- 25.01 2	168.4 52	0,536 17	0,536 17	10,47
S	S		25.51 0	825.6 69	0,804 25	0,804 25	7,63		34.69 8	922.2 64	0,804 25	0,804 25	6,82		39.26 5	990.3 55	0,804 25	0,804 25	6,34
	I		0	19.12 0	0,804 25	0,804 25	NS		0	20.01 4	0,804 25	0,804 25	NS		0	20.45 1	0,804 25	0,804 25	NS
P	S	00827	-	93.75	0,402	0,402	6,03	00828	-	425.7	0,402	0,402	3,93	00829	-	791.3	0,402	0,402	2,84



Platee - Verifiche pressoflessione retta allo SLU

Dir	Pos	Nodo	NEd [N]	MEd [N-m]	AS [cm²/cm]	Adf [cm²/cm]	CS	Nodo	NEd [N]	MEd [N-m]	AS [cm²/cm]	Adf [cm²/cm]	CS	Nodo	NEd [N]	MEd [N-m]	AS [cm²/cm]	Adf [cm²/cm]	CS
			27.03 5	7	12	12			31.22 3	72	12	12			35.78 2	46	12	12	
	I		0	25.54 8	0,536 17	0,536 17	7,42		0	26.92 7	0,536 17	0,536 17	7,44		0	27.47 1	0,536 17	0,536 17	7,45
S	S		44.17 4	1.016. 264	0,804 25	0,804 25	6,18		50.95 5	993.1 50	0,804 25	0,804 25	6,31		57.68 8	927.1 28	0,804 25	0,804 25	6,76
	I		0	20.92 2	0,804 25	0,804 25	NS		0	21.55 4	0,804 25	0,804 25	NS		0	22.23 9	0,804 25	0,804 25	NS
P	S	00830	- 38.84 4	1.125. 645	0,402 12	0,402 12	2,27	00831	- 38.99 7	1.348. 836	0,402 12	0,402 12	2,00	00832	- 36.00 8	1.404. 574	0,402 12	0,402 12	1,94
	I		0	27.50 4	0,536 17	0,536 17	7,45		0	27.44 2	0,536 17	0,536 17	7,45		0	27.49 7	0,536 17	0,536 17	7,45
S	S		61.85 8	840.1 90	0,804 25	0,804 25	7,45		61.60 4	764.1 82	0,804 25	0,804 25	8,19		56.61 7	723.3 42	0,804 25	0,804 25	8,66
	I		0	22.77 9	0,804 25	0,804 25	NS		0	22.96 8	0,804 25	0,804 25	NS		0	22.71 4	0,804 25	0,804 25	NS
P	S	00833	- 31.07 9	1.295. 267	0,402 12	0,402 12	2,05	00834	- 26.14 0	1.071. 518	0,402 12	0,402 12	2,33	00835	- 22.77 9	796.0 78	0,402 12	0,402 12	2,82
	I		0	27.40 1	0,536 17	0,536 17	7,45		0	26.73 2	0,536 17	0,536 17	7,44		0	25.20 0	0,536 17	0,536 17	7,41
S	S		48.40 8	718.6 08	0,804 25	0,804 25	8,73		39.66 8	731.6 75	0,804 25	0,804 25	8,59		32.99 8	740.7 72	0,804 25	0,804 25	8,49
	I		0	22.13 8	0,804 25	0,804 25	NS		0	21.45 3	0,804 25	0,804 25	NS		0	20.85 4	0,804 25	0,804 25	NS
P	S	00836	- 21.88 0	520.2 49	0,402 12	0,402 12	3,56	00837	- 23.07 6	277.3 01	0,402 12	0,402 12	4,64	00838	- 22.78 8	84.17 6	0,402 12	0,402 12	6,12
	I		0	22.78 2	0,536 17	0,536 17	7,38		0	19.98 9	0,536 17	0,536 17	7,34		0	18.04 9	0,536 17	0,536 17	7,31
S	S		29.79 9	731.5 41	0,804 25	0,804 25	8,60		28.53 2	699.5 12	0,804 25	0,804 25	9,00		24.55 9	647.8 63	0,804 25	0,804 25	9,72
	I		0	20.42 1	0,804 25	0,804 25	NS		0	19.95 7	0,804 25	0,804 25	NS		0	18.92 6	0,804 25	0,804 25	NS
P	S	00839	0	0	0,402 12	0,402 12	-	00840	0	0	0,402 12	0,402 12	-	00841	0	0	0,402 12	0,402 12	-
	I		- 19.74 9	55.98 4	0,536 17	0,536 17	7,94		- 17.25 3	145.6 43	0,536 17	0,536 17	9,82		- 14.43 1	192.2 97	0,536 17	0,536 17	11,19
S	S		15.77 9	584.6 70	0,804 25	0,804 25	10,7 9		5.081	518.2 23	0,804 25	0,804 25	12,1 9		-7.803	456.0 09	0,804 25	0,804 25	13,88
	I		0	17.14 8	0,804 25	0,804 25	NS		0	15.03 5	0,804 25	0,804 25	NS		0	13.21 4	0,804 25	0,804 25	NS
P	S	00842	0	0	0,402 12	0,402 12	-	00843	0	0	0,402 12	0,402 12	-	00844	0	0	0,402 12	0,402 12	-
	I		-8.224	186.0 98	0,536 17	0,536 17	10,9 7		- 23.35 7	406.9 65	0,536 17	0,536 17	31,7 5		- 23.21 5	432.0 91	0,536 17	0,536 17	40,41
S	S		- 20.14 7	399.8 44	0,804 25	0,804 25	15,8 6		- 32.79 7	426.8 03	0,804 25	0,804 25	14,8 9		- 17.59 1	479.4 84	0,804 25	0,804 25	13,22
	I		0	10.79 3	0,804 25	0,804 25	NS		0	12.85 0	0,804 25	0,804 25	NS		0	13.74 6	0,804 25	0,804 25	NS
P	S	00845	0	0	0,402 12	0,402 12	-	00846	0	0	0,402 12	0,402 12	-	00847	0	0	0,402 12	0,402 12	-
	I		- 24.83 5	431.7 22	0,536 17	0,536 17	40,2 6		- 29.81 7	399.1 75	0,536 17	0,536 17	29,8 3		- 33.25 3	322.3 98	0,536 17	0,536 17	18,50
S	S		2.246	560.0 44	0,804 25	0,804 25	11,2 8		23.38 2	630.0 39	0,804 25	0,804 25	10,0 0		37.92 5	689.5 84	0,804 25	0,804 25	9,11
	I		0	14.78 3	0,804 25	0,804 25	NS		0	15.90 4	0,804 25	0,804 25	NS		0	16.74 0	0,804 25	0,804 25	NS
P	S	00848	0	0	0,402 12	0,402 12	-	00849	- 26.44 7	2.984	0,402 12	0,402 12	7,07	00850	- 29.53 5	248.5 99	0,402 12	0,402 12	4,83
	I		- 27.44 8	189.7 36	0,536 17	0,536 17	11,1 4		0	23.35 1	0,536 17	0,536 17	7,39		0	25.54 6	0,536 17	0,536 17	7,42
S	S		37.20 2	727.8 95	0,804 25	0,804 25	8,63		35.72 8	736.1 49	0,804 25	0,804 25	8,54		39.59 9	710.2 49	0,804 25	0,804 25	8,85
	I		0	16.73 5	0,804 25	0,804 25	NS		0	17.04 6	0,804 25	0,804 25	NS		0	17.83 4	0,804 25	0,804 25	NS
P	S	00851	- 34.10 2	525.5 91	0,402 12	0,402 12	3,56	00852	- 38.51 2	795.1 93	0,402 12	0,402 12	2,83	00853	- 40.98 0	1.006. 683	0,402 12	0,402 12	2,44



Platee - Verifiche pressoflessione retta allo SLU

Dir	Pos	Nodo	N _{Ed}		M _{Ed}		A _s		CS	Nodo	N _{Ed}		M _{Ed}		A _s		CS	Nodo	N _{Ed}		M _{Ed}		A _s		CS
			[N]	[N-m]	[cm ² /cm]	[cm ² /cm]	[N]	[N-m]			[cm ² /cm]	[cm ² /cm]	[N]	[N-m]	[cm ² /cm]	[cm ² /cm]			[N]	[N-m]	[cm ² /cm]	[cm ² /cm]			
	I		0	26.36 1	0,536 17	0,536 17	7,43			0	26.23 9	0,536 17	0,536 17	7,43			0	25.83 1	0,536 17	0,536 17	7,42				
S	S		46.21 8	653.3 29	0,804 25	0,804 25	9,61			52.78 5	578.1 96	0,804 25	0,804 25	10,8 4			56.34 5	505.1 66	0,804 25	0,804 25	12,40				
	I		0	18.84 3	0,804 25	0,804 25	NS			0	19.76 9	0,804 25	0,804 25	NS			0	20.34 0	0,804 25	0,804 25	NS				
P	S	00854	- 39.89 3	1.114. 173	0,402 12	0,402 12	2,28		00855	- 35.58 2	1.099. 262	0,402 12	0,402 12	2,30	00856	- 30.28 9	978.2 09	0,402 12	0,402 12	2,48					
	I		0	25.86 6	0,536 17	0,536 17	7,42			0	26.26 8	0,536 17	0,536 17	7,43			0	26.27 0	0,536 17	0,536 17	7,43				
S	S		54.70 5	454.2 03	0,804 25	0,804 25	13,8 0			48.13 2	434.4 41	0,804 25	0,804 25	14,4 4			39.44 8	440.6 32	0,804 25	0,804 25	14,26				
	I		0	20.28 5	0,804 25	0,804 25	NS			0	19.63 2	0,804 25	0,804 25	NS			0	18.66 8	0,804 25	0,804 25	NS				
P	S	00857	- 25.96 3	788.5 59	0,402 12	0,402 12	2,84		00858	- 23.60 5	571.0 17	0,402 12	0,402 12	3,40	00859	- 24.32 5	358.5 97	0,402 12	0,402 12	4,22					
	I		0	25.24 6	0,536 17	0,536 17	7,41			0	22.80 3	0,536 17	0,536 17	7,38			0	19.03 1	0,536 17	0,536 17	7,32				
S	S		32.04 4	458.9 94	0,804 25	0,804 25	13,7 0			28.45 6	475.7 99	0,804 25	0,804 25	13,2 3			30.41 9	482.2 51	0,804 25	0,804 25	13,05				
	I		0	17.67 6	0,804 25	0,804 25	NS			0	16.97 3	0,804 25	0,804 25	NS			0	16.77 6	0,804 25	0,804 25	NS				
P	S	00860	- 27.97 1	175.8 38	0,402 12	0,402 12	5,32		00861	- 22.17 4	33.49 9	0,402 12	0,402 12	6,67	00862	0	0	0,402 12	0,402 12	-					
	I		0	15.43 8	0,536 17	0,536 17	7,27			0	14.78 1	0,536 17	0,536 17	7,26			- 17.25 8	67.59 6	0,536 17	0,536 17	8,14				
S	S		33.43 5	474.5 93	0,804 25	0,804 25	13,2 5			23.38 9	454.8 95	0,804 25	0,804 25	13,8 5			8.344	428.6 32	0,804 25	0,804 25	14,73				
	I		0	16.70 6	0,804 25	0,804 25	NS			0	15.78 9	0,804 25	0,804 25	NS			0	14.78 2	0,804 25	0,804 25	NS				
P	S	00863	0	0	0,402 12	0,402 12	-		00864	0	0	0,402 12	0,402 12	-	00865	0	0	0,402 12	0,402 12	-					
	I		- 14.63 6	126.7 33	0,536 17	0,536 17	9,34			- 12.99 2	150.6 34	0,536 17	0,536 17	9,94			- 31.67 0	358.1 60	0,536 17	0,536 17	22,47				
S	S		-5.395	396.8 67	0,804 25	0,804 25	15,9 4			- 15.48 3	389.4 93	0,804 25	0,804 25	16,2 7			- 28.72 4	415.4 38	0,804 25	0,804 25	15,29				
	I		0	13.80 3	0,804 25	0,804 25	NS			0	12.78 6	0,804 25	0,804 25	NS			0	12.27 1	0,804 25	0,804 25	NS				
P	S	00866	0	0	0,402 12	0,402 12	-		00867	0	0	0,402 12	0,402 12	-	00868	0	0	0,402 12	0,402 12	-					
	I		- 29.73 3	365.4 75	0,536 17	0,536 17	23,4 9			- 31.01 9	345.7 62	0,536 17	0,536 17	20,9 1			- 41.94 0	293.0 62	0,536 17	0,536 17	16,19				
S	S		- 11.16 1	448.2 98	0,804 25	0,804 25	14,1 3			12.69 7	490.2 94	0,804 25	0,804 25	12,8 7			46.67 3	521.0 73	0,804 25	0,804 25	12,04				
	I		0	12.32 2	0,804 25	0,804 25	NS			0	11.54 6	0,804 25	0,804 25	NS			0	12.08 6	0,804 25	0,804 25	NS				
P	S	00869	0	0	0,402 12	0,402 12	-		00870	0	0	0,402 12	0,402 12	-	00871	- 27.75 0	125.4 09	0,402 12	0,402 12	-					
	I		- 28.79 3	197.7 46	0,536 17	0,536 17	11,4 2			- 24.43 0	57.35 7	0,536 17	0,536 17	7,98			0	24.04 3	0,536 17	0,536 17	7,40				
S	S		42.61 4	536.1 92	0,804 25	0,804 25	11,7 1			28.27 0	530.7 95	0,804 25	0,804 25	11,8 6			28.41 9	500.3 51	0,804 25	0,804 25	12,58				
	I		0	11.58 9	0,804 25	0,804 25	NS			0	11.79 1	0,804 25	0,804 25	NS			0	13.14 3	0,804 25	0,804 25	NS				
P	S	00872	- 32.43 4	336.0 10	0,402 12	0,402 12	4,34		00873	- 37.46 0	549.7 23	0,402 12	0,402 12	3,48	00874	- 42.26 5	734.4 12	0,402 12	0,402 12	2,97					
	I		0	25.37 5	0,536 17	0,536 17	7,42			0	25.12 4	0,536 17	0,536 17	7,41			0	24.05 5	0,536 17	0,536 17	7,40				
S	S		34.15 9	448.0 22	0,804 25	0,804 25	14,0 3			42.45 0	381.5 81	0,804 25	0,804 25	16,4 6			50.58 2	313.7 76	0,804 25	0,804 25	19,99				
	I		0	14.64 9	0,804 25	0,804 25	NS			0	15.96 8	0,804 25	0,804 25	NS			0	17.00 1	0,804 25	0,804 25	NS				
P	S	00875	- 44.08 8	856.5 56	0,402 12	0,402 12	2,71		00876	- 40.27 4	894.6 99	0,402 12	0,402 12	2,64	00877	- 34.30 2	847.5 00	0,402 12	0,402 12	2,72					



REGIONE BASILICATA - PROVINCIA DI MATERA - COMUNE DI FERRANDINA
PROGETTO DEFINITIVO
Parco Eolico "Montagnola"
Relazione preliminare sulle strutture

Platee - Verifiche pressoflessione retta allo SLU

Dir	Pos	Nodo	NEd	MEd	As	A _{df}	CS	Nodo	NEd	MEd	As	A _{df}	CS	Nodo	NEd	MEd	As	A _{df}	CS
			[N]	[N·m]	[cm ² /cm]	[cm ² /cm]			[N]	[N·m]	[cm ² /cm]	[cm ² /cm]			[N]	[N·m]	[cm ² /cm]	[cm ² /cm]	
	I		0	23.39 5	0,536 17	0,536 17	7,39		0	24.20 3	0,536 17	0,536 17	7,40		0	25.20 6	0,536 17	0,536 17	7,41
S	S		53.79 7	259.4 53	0,804 25	0,804 25	24,1 6		48.80 2	229.0 28	0,804 25	0,804 25	27,3 9		39.03 7	224.3 66	0,804 25	0,804 25	28,00
	I		0	17.41 6	0,804 25	0,804 25	NS		0	16.85 6	0,804 25	0,804 25	NS		0	15.74 5	0,804 25	0,804 25	NS
P	S	00878	- 29.53 5	731.9 44	0,402 12	0,402 12	2,97	00879	- 26.28 1	575.2 94	0,402 12	0,402 12	3,39	00880	- 24.89 4	404.2 97	0,402 12	0,402 12	4,01
	I		0	25.24 1	0,536 17	0,536 17	7,41		0	23.58 4	0,536 17	0,536 17	7,39		0	19.51 0	0,536 17	0,536 17	7,33
S	S		29.98 7	239.3 83	0,804 25	0,804 25	26,2 8		24.53 8	263.8 02	0,804 25	0,804 25	23,8 7		25.22 8	288.4 61	0,804 25	0,804 25	21,83
	I		0	14.37 7	0,804 25	0,804 25	NS		0	12.83 5	0,804 25	0,804 25	NS		0	11.61 7	0,804 25	0,804 25	NS
P	S	00881	- 28.97 0	240.4 89	0,402 12	0,402 12	4,88	00882	- 26.77 3	108.8 19	0,402 12	0,402 12	5,89	00883	- 15.14 1	1.799	0,402 12	0,402 12	7,06
	I		0	13.01 2	0,536 17	0,536 17	7,24		0	10.51 5	0,536 17	0,536 17	7,20		0	12.50 4	0,536 17	0,536 17	7,23
S	S		39.22 4	310.3 26	0,804 25	0,804 25	20,2 4		39.74 4	324.2 65	0,804 25	0,804 25	19,3 7		11.90 5	327.3 63	0,804 25	0,804 25	19,27
	I		0	11.88 4	0,804 25	0,804 25	NS		0	12.00 7	0,804 25	0,804 25	NS		0	11.73 8	0,804 25	0,804 25	NS
P	S	00884	0	0	0,402 12	0,402 12	-	00885	0	0	0,402 12	0,402 12	-	00886	0	0	0,402 12	0,402 12	-
	I		- 14.79 5	60.54 6	0,536 17	0,536 17	8,01		- 14.04 7	81.90 0	0,536 17	0,536 17	8,40		- 34.62 4	292.1 27	0,536 17	0,536 17	16,09
S	S		-2.257	341.3 38	0,804 25	0,804 25	18,5 3		- 11.45 6	342.2 14	0,804 25	0,804 25	18,5 1		-5.839	398.9 17	0,804 25	0,804 25	15,86
	I		0	12.73 7	0,804 25	0,804 25	NS		0	12.46 3	0,804 25	0,804 25	NS		0	7.908	0,804 25	0,804 25	NS
P	S	00887	0	0	0,402 12	0,402 12	-	00888	0	0	0,402 12	0,402 12	-	00889	0	0	0,402 12	0,402 12	-
	I		- 48.60 4	256.3 00	0,536 17	0,536 17	13,9 9		- 40.56 7	198.6 72	0,536 17	0,536 17	11,4 9		- 19.15 1	95.56 5	0,536 17	0,536 17	8,68
S	S		37.06 5	411.1 00	0,804 25	0,804 25	15,2 9		51.26 5	421.4 99	0,804 25	0,804 25	14,8 8		19.63 6	390.0 63	0,804 25	0,804 25	16,16
	I		0	3.392	0,804 25	0,804 25	NS		0	1.360	0,804 25	0,804 25	NS		0	4.331	0,804 25	0,804 25	NS
P	S	00890	- 26.75 8	42.81 1	0,402 12	0,402 12	6,57	00891	- 32.24 1	202.7 84	0,402 12	0,402 12	5,13	00892	- 36.79 6	370.6 91	0,402 12	0,402 12	4,18
	I		0	22.25 7	0,536 17	0,536 17	7,37		0	24.51 2	0,536 17	0,536 17	7,40		0	24.39 5	0,536 17	0,536 17	7,40
S	S		17.22 8	352.3 89	0,804 25	0,804 25	17,8 9		21.75 7	302.7 42	0,804 25	0,804 25	20,8 1		29.88 8	242.0 62	0,804 25	0,804 25	25,99
	I		0	7.868	0,804 25	0,804 25	NS		0	10.04 2	0,804 25	0,804 25	NS		0	11.50 7	0,804 25	0,804 25	NS
P	S	00893	- 41.71 2	525.0 38	0,402 12	0,402 12	3,57	00894	- 48.03 3	642.8 16	0,402 12	0,402 12	3,21	00895	- 46.19 2	704.7 86	0,402 12	0,402 12	3,05
	I		0	22.68 9	0,536 17	0,536 17	7,38		0	20.32 4	0,536 17	0,536 17	7,34		0	20.58 1	0,536 17	0,536 17	7,35
S	S		41.61 4	179.2 56	0,804 25	0,804 25	35,0 3		53.75 3	125.0 47	0,804 25	0,804 25	50,1 3		53.17 9	88.94 6	0,804 25	0,804 25	70,48
	I		0	12.68 3	0,804 25	0,804 25	NS		0	13.66 7	0,804 25	0,804 25	NS		0	13.54 0	0,804 25	0,804 25	NS
P	S	00896	- 37.64 6	705.3 94	0,402 12	0,402 12	3,04	00897	- 32.95 6	647.3 25	0,402 12	0,402 12	3,19	00898	- 30.46 1	544.8 82	0,402 12	0,402 12	3,49
	I		0	23.00 0	0,536 17	0,536 17	7,38		0	24.49 7	0,536 17	0,536 17	7,40		0	24.27 7	0,536 17	0,536 17	7,40
S	S		39.86 5	74.62 7	0,804 25	0,804 25	84,1 8		27.67 5	81.87 8	0,804 25	0,804 25	76,8 7		20.18 2	105.2 99	0,804 25	0,804 25	59,84
	I		0	12.46 0	0,804 25	0,804 25	NS		0	11.24 4	0,804 25	0,804 25	NS		0	9.692	0,804 25	0,804 25	NS
P	S	00899	- 28.86 6	418.4 29	0,402 12	0,402 12	3,96	00900	- 37.08 3	277.6 25	0,402 12	0,402 12	4,66	00901	- 24.67 3	161.6 89	0,402 12	0,402 12	5,43
	I		0	21.57 8	0,536 17	0,536 17	7,36		0	15.11 2	0,536 17	0,536 17	7,27		0	1.529	0,536 17	0,536 17	7,08
S	S		17.16	137.5	0,804	0,804	45,8		32.79	176.3	0,804	0,804	35,6		53.66	217.7	0,804	0,804	28,79



REGIONE BASILICATA - PROVINCIA DI MATERA - COMUNE DI FERRANDINA
 PROGETTO DEFINITIVO
 Parco Eolico "Montagnola"
 Relazione preliminare sulle strutture

Platee - Verifiche pressoflessione retta allo SLU

Dir	Pos	Nodo	NEd	MEd	As	A _{df}	CS	Nodo	NEd	MEd	As	A _{df}	CS	Nodo	NEd	MEd	As	A _{df}	CS
			[N]	[N·m]	[cm ² /cm]	[cm ² /cm]			[N]	[N·m]	[cm ² /cm]	[cm ² /cm]			[N]	[N·m]	[cm ² /cm]	[cm ² /cm]	
	I		4 0	92 7.293	25 0,804 25	25 0,804 25	2 NS		7 0	44 3.530	25 0,804 25	25 0,804 25	6 NS		9 0	23 2.489	25 0,804 25	25 0,804 25	NS
P	S	00902	- 14.10 2	79.16 1	0,402 12	0,402 12	6,15	00903	- 11.31 9	18.86 6	0,402 12	0,402 12	6,83	00904	0 0	0 0	0,402 12	0,402 12	-
	I		0	9.541	0,536 17	0,536 17	7,19		0	11.78 2	0,536 17	0,536 17	7,22		- 37.76 0	239.4 66	0,536 17	0,536 17	13,13
S	S		26.74 7	229.6 94	0,804 25	0,804 25	27,4 1		-371	273.0 58	0,804 25	0,804 25	23,1 5		1.828	351.4 64	0,804 25	0,804 25	17,98
	I		0	4.633	0,804 25	0,804 25	NS		0	8.641	0,804 25	0,804 25	NS		0	3.371	0,804 25	0,804 25	NS
P	S	00905	0	151	0,402 12	0,402 12	7,06	00906	0	0	0,402 12	0,402 12	-	00907	0	0	0,402 12	0,402 12	-
	I		- 18.20 1	163.3 59	0,536 17	0,536 17	10,3 0		- 11.31 2	106.5 86	0,536 17	0,536 17	8,89		0	19.72 7	0,536 17	0,536 17	7,33
S	S		-7.103	317.4 64	0,804 25	0,804 25	19,9 4		- 13.01 5	296.4 53	0,804 25	0,804 25	21,3 7		6.072	259.7 39	0,804 25	0,804 25	24,32
	I		0	0	0,804 25	0,804 25	-		0	0	0,804 25	0,804 25	-		0	3.432	0,804 25	0,804 25	NS
P	S	00908	- 36.31 3	112.7 42	0,402 12	0,402 12	5,87	00909	- 39.75 8	244.5 88	0,402 12	0,402 12	4,86	00910	- 42.35 1	368.8 57	0,402 12	0,402 12	4,19
	I		0	23.37 1	0,536 17	0,536 17	7,39		0	24.05 2	0,536 17	0,536 17	7,40		0	22.23 5	0,536 17	0,536 17	7,37
S	S		10.19 9	211.8 08	0,804 25	0,804 25	29,8 0		16.84 5	154.3 59	0,804 25	0,804 25	40,8 5		27.56 9	95.78 0	0,804 25	0,804 25	65,71
	I		0	6.081	0,804 25	0,804 25	NS		0	7.263	0,804 25	0,804 25	NS		0	7.663	0,804 25	0,804 25	NS
P	S	00911	- 46.15 3	473.7 28	0,402 12	0,402 12	3,75	00912	- 56.46 1	542.2 06	0,402 12	0,402 12	3,52	00913	- 37.39 0	569.2 78	0,402 12	0,402 12	3,42
	I		0	18.27 9	0,536 17	0,536 17	7,31		0	14.52 0	0,536 17	0,536 17	7,26		0	18.97 8	0,536 17	0,536 17	7,32
S	S		46.36 2	43.14 7	0,804 25	0,804 25	NS		67.81 2	3.851	0,804 25	0,804 25	NS		0	0	0,804 25	0,804 25	-
	I		0	8.158	0,804 25	0,804 25	NS		0	9.019	0,804 25	0,804 25	NS		43.13 1	17.97 6	0,804 25	0,804 25	NS
P	S	00914	- 34.81 0	552.2 70	0,402 12	0,402 12	3,47	00915	- 34.67 8	494.6 89	0,402 12	0,402 12	3,67	00916	- 34.97 2	408.5 39	0,402 12	0,402 12	4,00
	I		0	22.68 1	0,536 17	0,536 17	7,38		0	24.04 7	0,536 17	0,536 17	7,40		0	22.96 0	0,536 17	0,536 17	7,38
S	S		0	0	0,804 25	0,804 25	-		15.92 7	309	0,804 25	0,804 25	NS		10.59 2	32.51 5	0,804 25	0,804 25	NS
	I		25.04 1	18.22 5	0,804 25	0,804 25	NS		0	7.079	0,804 25	0,804 25	NS		0	5.706	0,804 25	0,804 25	NS
P	S	00917	- 35.58 0	310.2 91	0,402 12	0,402 12	4,48	00918	- 30.40 7	206.6 79	0,402 12	0,402 12	5,10	00919	-3.968	127.5 32	0,402 12	0,402 12	5,68
	I		0	18.73 3	0,536 17	0,536 17	7,32		0	6.809	0,536 17	0,536 17	7,15		0	1.253	0,536 17	0,536 17	7,07
S	S		7.787	69.28 8	0,804 25	0,804 25	91,1 3		-9.026	110.4 72	0,804 25	0,804 25	57,3 1		- 22.95 3	155.4 96	0,804 25	0,804 25	40,80
	I		0	2.701	0,804 25	0,804 25	NS		0	0	0,804 25	0,804 25	-		0	0	0,804 25	0,804 25	-
P	S	00920	0	0	0,402 12	0,402 12	-	00921	0	0	0,402 12	0,402 12	-	00922	- 47.70 1	58.52 7	0,402 12	0,402 12	6,43
	I		-1.807	119.6 54	0,536 17	0,536 17	9,15		- 43.67 4	34.76 2	0,536 17	0,536 17	7,65		0	21.27 1	0,536 17	0,536 17	7,36
S	S		- 17.68 2	277.8 97	0,804 25	0,804 25	22,8 1		-8.304	224.9 97	0,804 25	0,804 25	28,1 3		-27	173.1 41	0,804 25	0,804 25	36,51
	I		0	2.670	0,804 25	0,804 25	NS		0	2.726	0,804 25	0,804 25	NS		0	3.986	0,804 25	0,804 25	NS
P	S	00923	- 48.77 8	157.7 14	0,402 12	0,402 12	5,50	00924	- 49.26 5	254.2 98	0,402 12	0,402 12	4,82	00925	- 49.37 6	348.7 80	0,402 12	0,402 12	4,29
	I		0	23.69 6	0,536 17	0,536 17	7,39		0	22.23 6	0,536 17	0,536 17	7,37		0	18.76 1	0,536 17	0,536 17	7,32



Platee - Verifiche pressoflessione retta allo SLU

Dir	Pos	Nodo	N _{Ed} [N]	M _{Ed} [N-m]	A _s [cm ² /cm]	A _{df} [cm ² /cm]	CS	Nodo	N _{Ed} [N]	M _{Ed} [N-m]	A _s [cm ² /cm]	A _{df} [cm ² /cm]	CS	Nodo	N _{Ed} [N]	M _{Ed} [N-m]	A _s [cm ² /cm]	A _{df} [cm ² /cm]	CS
S	S		5.345	115.671	0,80425	0,80425	54,61		12.186	56.409	0,80425	0,80425	NS		26.372	5.174	0,80425	0,80425	NS
	I		0	4.614	0,80425	0,80425	NS		0	4.463	0,80425	0,80425	NS		0	2.412	0,80425	0,80425	NS
P	S	00926	-61.670	420.228	0,40212	0,40212	3,98	00927	-56.019	450.797	0,40212	0,40212	3,85	00928	-34.670	459.141	0,40212	0,40212	3,80
	I		0	8.870	0,53617	0,53617	7,18		0	12.353	0,53617	0,53617	7,23		0	19.610	0,53617	0,53617	7,33
S	S		0	841	0,80425	0,80425	NS		0	1.230	0,80425	0,80425	NS		0	0	0,80425	0,80425	-
	I		72.717	36.874	0,80425	0,80425	NS		40.068	62.229	0,80425	0,80425	NS		21.197	66.925	0,80425	0,80425	94,14
P	S	00929	-38.466	430.616	0,40212	0,40212	3,92	00930	-41.676	381.578	0,40212	0,40212	4,13	00931	-42.544	317.084	0,40212	0,40212	4,45
	I		0	22.548	0,53617	0,53617	7,37		0	23.467	0,53617	0,53617	7,39		0	20.760	0,53617	0,53617	7,35
S	S		0	0	0,80425	0,80425	-		0	0	0,80425	0,80425	-		1.559	15.665	0,80425	0,80425	NS
	I		10.903	54.612	0,80425	0,80425	NS		5.288	23.922	0,80425	0,80425	NS		0	3.776	0,80425	0,80425	NS
P	S	00932	-40.119	237.405	0,40212	0,40212	4,91	00933	-62.538	108.005	0,40212	0,40212	5,95	00934	-62.945	190.914	0,40212	0,40212	5,26
	I		0	14.482	0,53617	0,53617	7,26		0	22.309	0,53617	0,53617	7,37		0	22.224	0,53617	0,53617	7,37
S	S		-12.193	66.260	0,80425	0,80425	95,59		-2.314	109.906	0,80425	0,80425	57,54		1.356	65.942	0,80425	0,80425	95,85
	I		0	2.670	0,80425	0,80425	NS		0	2.809	0,80425	0,80425	NS		0	2.853	0,80425	0,80425	NS
P	S	00935	-57.723	268.204	0,40212	0,40212	4,74	00936	-50.815	325.244	0,40212	0,40212	4,42	00937	-2.627	343.696	0,40212	0,40212	4,27
	I		0	19.483	0,53617	0,53617	7,33		0	13.076	0,53617	0,53617	7,24		0	0	0,53617	0,53617	-
S	S		10.431	9.681	0,80425	0,80425	NS		0	2.906	0,80425	0,80425	NS		0	5.467	0,80425	0,80425	NS
	I		0	1.398	0,80425	0,80425	NS		32.083	46.192	0,80425	0,80425	NS		11.157	50.489	0,80425	0,80425	NS
P	S	00938	-30.661	383.651	0,40212	0,40212	4,11	00939	-42.533	388.462	0,40212	0,40212	4,10	00940	-49.748	364.847	0,40212	0,40212	4,22
	I		0	14.141	0,53617	0,53617	7,25		0	19.916	0,53617	0,53617	7,34		0	22.451	0,53617	0,53617	7,37
S	S		0	1.525	0,80425	0,80425	NS		0	0	0,80425	0,80425	-		0	0	0,80425	0,80425	-
	I		17.766	72.190	0,80425	0,80425	87,32		6.387	63.965	0,80425	0,80425	98,73		1.093	32.392	0,80425	0,80425	NS
P	S	00941	-50.483	309.629	0,40212	0,40212	4,50												
	I		0	21.628	0,53617	0,53617	7,36												
S	S		-1.531	2.935	0,80425	0,80425	NS												
	I		0	2.862	0,80425	0,80425	NS												

LEGENDA:

Dir Direzione [P] = principale (asse locale 1) - [S] = secondaria (asse locale 2).

Pos Posizione [S] = superiore - [I] = inferiore.

A_s Area delle armature esecutive per unità di lunghezza.

A_{df} Armatura disponibile per la flessione

CS **Coefficiente di sicurezza** ([NS] = **Non Significativo se CS ≥ 100**; [VNR]= **Verifica Non Richiesta**; **Informazioni aggiuntive sulla condizione:** [V] = statica; [E] = eccezionale; [S] = sismica; [N] = sismica non lineare).

N_{Ed}, M_{Ed} Sollecitazioni di progetto.



8.2 Verifica delle tensioni di esercizio del plinto

Si riporta di seguito, in forma tabellare, la verifica delle tensioni di esercizio del plinto di fondazione, sia per il calcestruzzo che per l'acciaio per i 4 modelli di calcolo.

MODELLO FER A1, FER A2

Nodo/ Tp _{rnf}	Dir	Compressione calcestruzzo							Trazione acciaio						
		Compressione calcestruzzo rinforzo							Trazione acciaio/FRP rinforzo						
		Id _{Cmb}	σ_{cc}	$\sigma_{cd,amm}$	N _{Ed}	M _{Ed}	CS	Verific ato	Id _{Cmb}	σ_{at}	$\sigma_{td,amm}$	N _{Ed}	M _{Ed}	CS	Verific ato
	[N/mm ²]	[N/mm ²]	[N]	[N-m]				[N/mm ²]	[N/mm ²]	[N]	[N-m]				
Fondazione		Platea 1													
00561	P	RAR	7,564	24,90	2.162.292	14.360.840	3,29	SI	RAR	292,499	360,00	2.162.292	14.360.840	1,23	SI
		QPR	0,001	18,68	0	-1.763	NS	SI	-	-	-	-	-	-	-
	S	RAR	9,903	24,90	1.915.569	16.952.542	2,51	SI	RAR	191,776	360,00	1.915.569	16.952.542	1,88	SI
		QPR	0,001	18,68	0	-1.616	NS	SI	-	-	-	-	-	-	-

LEGENDA:

Rinf. Indica la presenza del rinforzo sulla sezione di verifica.
 Dir Direzione [P] = principale (asse locale 1) - [S] = secondaria (asse locale 2).
 Id_{Cmb} Identificativo della Combinazione di Azione: [QPR] = Quasi Permanente - [FRQ] = Frequente - [RAR] = Rara.
 σ_{cc} Tensione massima di compressione nel calcestruzzo della Trave/Rinforzo.
 $\sigma_{cd,amm}$ Tensione ammissibile per la verifica a compressione del calcestruzzo.
 σ_{at} Tensione massima di trazione nell'acciaio della Trave/Rinforzo o nel FRP.
 $\sigma_{td,amm}$ Tensione ammissibile per la verifica a trazione dell'acciaio/rinforzo.
 N_{Ed}, M_{Ed} Sollecitazioni di progetto.
 CS Coefficiente di Sicurezza (= $\sigma_{cd,amm}/\sigma_{cc}$; $\sigma_{td,amm}/\sigma_{at}$). [NS] = Non Significativo (CS \geq 100).
 Verific ato [SI] = La verifica è soddisfatta ($\sigma_{cc} \leq \sigma_{cd,amm}$; $\sigma_{at} \leq \sigma_{td,amm}$). [NO] = La verifica NON è soddisfatta ($\sigma_{cc} > \sigma_{cd,amm}$; $\sigma_{at} > \sigma_{td,amm}$).
 Nota Nella tabella, per ogni elemento, viene riportato il nodo della shell che ha il coefficiente di sicurezza (CS) più piccolo.

MODELLO FER A3

Nodo/ Tp _{rnf}	Dir	Compressione calcestruzzo							Trazione acciaio						
		Compressione calcestruzzo rinforzo							Trazione acciaio/FRP rinforzo						
		Id _{Cmb}	σ_{cc}	$\sigma_{cd,amm}$	N _{Ed}	M _{Ed}	CS	Verific ato	Id _{Cmb}	σ_{at}	$\sigma_{td,amm}$	N _{Ed}	M _{Ed}	CS	Verific ato
	[N/mm ²]	[N/mm ²]	[N]	[N-m]				[N/mm ²]	[N/mm ²]	[N]	[N-m]				
Fondazione		Platea 1													
00651	P	RAR	0,989	24,90	2.506	851.481	25,17	SI	RAR	13,857	360,00	2.506	851.481	25,98	SI
		QPR	0,043	18,68	0	-37.285	NS	SI	-	-	-	-	-	-	-
	S	RAR	7,204	24,90	-15.198	5.029.098	3,46	SI	RAR	327,235	360,00	-15.198	5.029.098	1,10	SI
		QPR	0,039	18,68	0	-37.840	NS	SI	-	-	-	-	-	-	-

LEGENDA:

Rinf. Indica la presenza del rinforzo sulla sezione di verifica.
 Dir Direzione [P] = principale (asse locale 1) - [S] = secondaria (asse locale 2).
 Id_{Cmb} Identificativo della Combinazione di Azione: [QPR] = Quasi Permanente - [FRQ] = Frequente - [RAR] = Rara.
 σ_{cc} Tensione massima di compressione nel calcestruzzo della Trave/Rinforzo.
 $\sigma_{cd,amm}$ Tensione ammissibile per la verifica a compressione del calcestruzzo.
 σ_{at} Tensione massima di trazione nell'acciaio della Trave/Rinforzo o nel FRP.
 $\sigma_{td,amm}$ Tensione ammissibile per la verifica a trazione dell'acciaio/rinforzo.
 N_{Ed}, M_{Ed} Sollecitazioni di progetto.
 CS Coefficiente di Sicurezza (= $\sigma_{cd,amm}/\sigma_{cc}$; $\sigma_{td,amm}/\sigma_{at}$). [NS] = Non Significativo (CS \geq 100).
 Verific ato [SI] = La verifica è soddisfatta ($\sigma_{cc} \leq \sigma_{cd,amm}$; $\sigma_{at} \leq \sigma_{td,amm}$). [NO] = La verifica NON è soddisfatta ($\sigma_{cc} > \sigma_{cd,amm}$; $\sigma_{at} > \sigma_{td,amm}$).
 Nota Nella tabella, per ogni elemento, viene riportato il nodo della shell che ha il coefficiente di sicurezza (CS) più piccolo.

MODELLO FER A5

Nodo/ Tp _{rnf}	Dir	Compressione calcestruzzo							Trazione acciaio						
		Compressione calcestruzzo rinforzo							Trazione acciaio/FRP rinforzo						
		Id _{Cmb}	σ_{cc}	$\sigma_{cd,amm}$	N _{Ed}	M _{Ed}	CS	Verific ato	Id _{Cmb}	σ_{at}	$\sigma_{td,amm}$	N _{Ed}	M _{Ed}	CS	Verific ato
	[N/mm ²]	[N/mm ²]	[N]	[N-m]				[N/mm ²]	[N/mm ²]	[N]	[N-m]				



Platee - verifiche delle tensioni di esercizio

Nodo/ T _{Prnf}	Dir	Compressione calcestruzzo							Trazione acciaio						
		Compressione calcestruzzo rinforzo							Trazione acciaio/FRP rinforzo						
		I _{dCmb}	σ _{cc}	σ _{cd,amm}	N _{Ed}	M _{Ed}	CS	Verificato	I _{dCmb}	σ _{at}	σ _{td,amm}	N _{Ed}	M _{Ed}	CS	Verificato
	[N/mm ²]	[N/mm ²]	[N]	[N-m]				[N/mm ²]	[N/mm ²]	[N]	[N-m]				
Fondazione		Platea 1													
00758	P	RAR OPR	5,237 0,003	24,90 18,68	35.488 0	2.461.860 -2.250	4,75 NS	SI SI	RAR -	327,591 -	360,00 -	35.488 -	2.461.860 -	1,10 -	SI -
	S	RAR OPR	1,292 0,003	24,90 18,68	-87.346 0	1.384.133 -2.738	19,27 NS	SI SI	RAR -	21,479 -	360,00 -	-87.346 -	1.384.133 -	16,76 -	SI -

LEGENDA:

- Rinf. Indica la presenza del rinforzo sulla sezione di verifica.
- Dir Direzione [P] = principale (asse locale 1) - [S] = secondaria (asse locale 2).
- I_{dCmb} Identificativo della Combinazione di Azione: [OPR] = Quasi Permanente - [FRQ] = Frequente - [RAR] = Rara.
- σ_{cc} Tensione massima di compressione nel calcestruzzo della Trave/Rinforzo.
- σ_{cd,amm} Tensione ammissibile per la verifica a compressione del calcestruzzo.
- σ_{at} Tensione massima di trazione nell'acciaio della Trave/Rinforzo o nel FRP.
- σ_{td,amm} Tensione ammissibile per la verifica a trazione dell'acciaio/rinforzo.
- N_{Ed}, M_{Ed} Sollecitazioni di progetto.
- CS Coefficiente di Sicurezza (= σ_{cd,amm}/σ_{cc} ; σ_{td,amm}/σ_{at}). [NS] = Non Significativo (CS ≥ 100).
- Verificato [SI] = La verifica è soddisfatta (σ_{cc} ≤ σ_{cd,amm} ; σ_{at} ≤ σ_{td,amm}). [NO] = La verifica NON è soddisfatta (σ_{cc} > σ_{cd,amm} ; σ_{at} > σ_{td,amm}).
- Nota Nella tabella, per ogni elemento, viene riportato il nodo della shell che ha il coefficiente di sicurezza (CS) più piccolo.

MODELLO FER A4, FER A6

Platee - verifiche delle tensioni di esercizio

Nodo/ T _{Prnf}	Dir	Compressione calcestruzzo							Trazione acciaio						
		Compressione calcestruzzo rinforzo							Trazione acciaio/FRP rinforzo						
		I _{dCmb}	σ _{cc}	σ _{cd,amm}	N _{Ed}	M _{Ed}	CS	Verificato	I _{dCmb}	σ _{at}	σ _{td,amm}	N _{Ed}	M _{Ed}	CS	Verificato
	[N/mm ²]	[N/mm ²]	[N]	[N-m]				[N/mm ²]	[N/mm ²]	[N]	[N-m]				
Fondazione		Platea 1													
00651	P	RAR OPR	0,995 0,035	24,90 18,68	2.508 0	856.144 -30.545	25,03 NS	SI SI	RAR -	13,933 -	360,00 -	2.508 -	856.144 -	25,84 -	SI -
	S	RAR OPR	7,209 0,032	24,90 18,68	-15.199 0	5.032.766 -30.990	3,45 NS	SI SI	RAR -	327,474 -	360,00 -	-15.199 -	5.032.766 -	1,10 -	SI -

LEGENDA:

- Rinf. Indica la presenza del rinforzo sulla sezione di verifica.
- Dir Direzione [P] = principale (asse locale 1) - [S] = secondaria (asse locale 2).
- I_{dCmb} Identificativo della Combinazione di Azione: [OPR] = Quasi Permanente - [FRQ] = Frequente - [RAR] = Rara.
- σ_{cc} Tensione massima di compressione nel calcestruzzo della Trave/Rinforzo.
- σ_{cd,amm} Tensione ammissibile per la verifica a compressione del calcestruzzo.
- σ_{at} Tensione massima di trazione nell'acciaio della Trave/Rinforzo o nel FRP.
- σ_{td,amm} Tensione ammissibile per la verifica a trazione dell'acciaio/rinforzo.
- N_{Ed}, M_{Ed} Sollecitazioni di progetto.
- CS Coefficiente di Sicurezza (= σ_{cd,amm}/σ_{cc} ; σ_{td,amm}/σ_{at}). [NS] = Non Significativo (CS ≥ 100).
- Verificato [SI] = La verifica è soddisfatta (σ_{cc} ≤ σ_{cd,amm} ; σ_{at} ≤ σ_{td,amm}). [NO] = La verifica NON è soddisfatta (σ_{cc} > σ_{cd,amm} ; σ_{at} > σ_{td,amm}).
- Nota Nella tabella, per ogni elemento, viene riportato il nodo della shell che ha il coefficiente di sicurezza (CS) più piccolo.

8.3 Verifica a fessurazione del plinto

Si riporta di seguito, in forma tabellare, la verifica a fessurazione del plinto di Fondazione per i 4 modelli di calcolo.

MODELLO FER A1, FER A2

Platee - verifica allo stato limite di fessurazione

Nodo	Dir	I _{dCmb}	N _{Ed}	M _{Ed}	σ _{ct,f}	σ _t	ε _{sm}	A _e	Δ _{sm}	W _d	W _{amm}	CS	Verificato
			[N]	[N-m]	[N/mm ²]	[N/mm ²]		[cm ²]	[mm]	[mm]	[mm]		
Fondazione		Platea 1 AA= PCA											
NOTA: L'elemento NON è fessurato. Di seguito si riporta il nodo strutturale per la quale si riscontra la massima tensione di trazione(max σ _{ct,f})													
00121	P	FRQ OPR	-	-4.058	0,01	3,00	0 E+00	0	0	0,000	0,400	-	SI
	S	FRQ	-	-654	0,00	3,00	0 E+00	0	0	0,000	0,400	-	SI



Platee - verifica allo stato limite di fessurazione

Nodo	Dir	I _{dCmb}	N _{Ed}	M _{Ed}	σ _{ct,f}	σ _t	ε _{sm}	A _e	Δ _{sm}	W _d	W _{amm}	CS	Verificato
			[N]	[N-m]	[N/mm ²]	[N/mm ²]		[cm ²]	[mm]	[mm]	[mm]		
		QPR	-	-654	0,00	3,00	0 E+00	0	0	0,000	0,300	-	SI

LEGENDA:

- Dir Direzione [P] = principale (asse locale 1) - [S] = secondaria (asse locale 2).
- AA Identificativo dell'aggressività dell'ambiente: [PCA] = "Ordinario"; [MDA] = "Aggressivo"; [MLA] = "Molto aggressivo".
- I_{dCmb} Identificativo della Combinazione di Azione: [QPR] = Quasi Permanente - [FRQ] = Frequente - [RAR] = Rara.
- N_{Ed}, M_{Ed} Sollecitazioni di progetto.
- σ_{ct,f} **Tensione massima di trazione nel calcestruzzo per la fessurazione, calcolata nell'ipotesi di calcestruzzo resistente a trazione.** Se tale valore è maggiore di σ_t la sezione è soggetta a fessurazione.
N.B. I valori negativi indicano una sezione interamente compressa. In tal caso le sollecitazioni forniscono il minimo valore di compressione.
- σ_t Tensione massima di trazione nel calcestruzzo relativa allo stato limite di formazione delle fessure [relazione (4.1.13) del § 4.1.2.2.4 del DM 2018].
- ε_{sm} Deformazione unitaria media delle barre di armatura.
- A_e Area efficace del calcestruzzo teso.
- Δ_{sm} Distanza media tra le fessure.
- W_d Valore di calcolo di apertura massima delle fessure.
- W_{amm} Valore ammissibile di apertura delle fessure.
- CS Coefficiente di Sicurezza (= W_d / W_{amm}). [NS] = Non Significativo (CS ≥ 100). [-] = Fessurazioni nulle (W_d = 0).
- Verificato [SI] = W_d ≤ W_{amm}; [NO] = W_d > W_{amm}

MODELLO FER A3

Platee - verifica allo stato limite di fessurazione

Nodo	Dir	I _{dCmb}	N _{Ed}	M _{Ed}	σ _{ct,f}	σ _t	ε _{sm}	A _e	Δ _{sm}	W _d	W _{amm}	CS	Verificato
			[N]	[N-m]	[N/mm ²]	[N/mm ²]		[cm ²]	[mm]	[mm]	[mm]		
Fondazione			Platea 1			AA= PCA			NOTA: L'elemento NON è fessurato. Di seguito si riporta il nodo strutturale per la quale si riscontra la massima tensione di trazione(max σ _{ct,f})				
00594	P	FRQ	-	-37.617	0,04	3,00	0 E+00	0	0	0,000	0,400	-	SI
		QPR	-	-37.617	0,04	3,00	0 E+00	0	0	0,000	0,300	-	SI
	S	FRQ	-	-38.466	0,04	3,00	0 E+00	0	0	0,000	0,400	-	SI
		QPR	-	-38.466	0,04	3,00	0 E+00	0	0	0,000	0,300	-	SI

LEGENDA:

- Dir Direzione [P] = principale (asse locale 1) - [S] = secondaria (asse locale 2).
- AA Identificativo dell'aggressività dell'ambiente: [PCA] = "Ordinario"; [MDA] = "Aggressivo"; [MLA] = "Molto aggressivo".
- I_{dCmb} Identificativo della Combinazione di Azione: [QPR] = Quasi Permanente - [FRQ] = Frequente - [RAR] = Rara.
- N_{Ed}, M_{Ed} Sollecitazioni di progetto.
- σ_{ct,f} **Tensione massima di trazione nel calcestruzzo per la fessurazione, calcolata nell'ipotesi di calcestruzzo resistente a trazione.** Se tale valore è maggiore di σ_t la sezione è soggetta a fessurazione.
N.B. I valori negativi indicano una sezione interamente compressa. In tal caso le sollecitazioni forniscono il minimo valore di compressione.
- σ_t Tensione massima di trazione nel calcestruzzo relativa allo stato limite di formazione delle fessure [relazione (4.1.13) del § 4.1.2.2.4 del DM 2018].
- ε_{sm} Deformazione unitaria media delle barre di armatura.
- A_e Area efficace del calcestruzzo teso.
- Δ_{sm} Distanza media tra le fessure.
- W_d Valore di calcolo di apertura massima delle fessure.
- W_{amm} Valore ammissibile di apertura delle fessure.
- CS Coefficiente di Sicurezza (= W_d / W_{amm}). [NS] = Non Significativo (CS ≥ 100). [-] = Fessurazioni nulle (W_d = 0).
- Verificato [SI] = W_d ≤ W_{amm}; [NO] = W_d > W_{amm}

MODELLO FER A5

Platee - verifica allo stato limite di fessurazione

Nodo	Dir	I _{dCmb}	N _{Ed}	M _{Ed}	σ _{ct,f}	σ _t	ε _{sm}	A _e	Δ _{sm}	W _d	W _{amm}	CS	Verificato
			[N]	[N-m]	[N/mm ²]	[N/mm ²]		[cm ²]	[mm]	[mm]	[mm]		
Fondazione			Platea 1			AA= PCA			NOTA: L'elemento NON è fessurato. Di seguito si riporta il nodo strutturale per la quale si riscontra la massima tensione di trazione(max σ _{ct,f})				
00121	P	FRQ	-	-4.058	0,01	3,00	0 E+00	0	0	0,000	0,400	-	SI
		QPR	-	-4.058	0,01	3,00	0 E+00	0	0	0,000	0,300	-	SI
	S	FRQ	-	-654	0,00	3,00	0 E+00	0	0	0,000	0,400	-	SI
		QPR	-	-654	0,00	3,00	0 E+00	0	0	0,000	0,300	-	SI

LEGENDA:

- Dir Direzione [P] = principale (asse locale 1) - [S] = secondaria (asse locale 2).
- AA Identificativo dell'aggressività dell'ambiente: [PCA] = "Ordinario"; [MDA] = "Aggressivo"; [MLA] = "Molto aggressivo".
- I_{dCmb} Identificativo della Combinazione di Azione: [QPR] = Quasi Permanente - [FRQ] = Frequente - [RAR] = Rara.
- N_{Ed}, M_{Ed} Sollecitazioni di progetto.
- σ_{ct,f} **Tensione massima di trazione nel calcestruzzo per la fessurazione, calcolata nell'ipotesi di calcestruzzo resistente a trazione.** Se tale valore è maggiore di σ_t la sezione è soggetta a fessurazione.
N.B. I valori negativi indicano una sezione interamente compressa. In tal caso le sollecitazioni forniscono il minimo valore di compressione.
- σ_t Tensione massima di trazione nel calcestruzzo relativa allo stato limite di formazione delle fessure [relazione (4.1.13) del § 4.1.2.2.4 del DM 2018].
- ε_{sm} Deformazione unitaria media delle barre di armatura.
- A_e Area efficace del calcestruzzo teso.
- Δ_{sm} Distanza media tra le fessure.



Platee - verifica allo stato limite di fessurazione

Nodo	Dir	$I_{d_{cmb}}$	N_{Ed}	M_{Ed}	$\sigma_{ct,f}$	σ_t	ϵ_{sm}	A_e	Δ_{sm}	W_d	W_{amm}	CS	Verificato
			[N]	[N-m]	[N/mm ²]	[N/mm ²]		[cm ²]	[mm]	[mm]	[mm]		o
W_d	Valore di calcolo di apertura massima delle fessure.												
W_{amm}	Valore ammissibile di apertura delle fessure.												
CS	Coefficiente di Sicurezza (= W_d / W_{amm}). [NS] = Non Significativo (CS \geq 100). [-] = Fessurazioni nulle ($W_d = 0$).												
Verificato	[SI] = $W_d \leq W_{amm}$; [NO] = $W_d > W_{amm}$												

MODELLO FER A4, FER A6

Platee - verifica allo stato limite di fessurazione

Nodo	Dir	$I_{d_{cmb}}$	N_{Ed}	M_{Ed}	$\sigma_{ct,f}$	σ_t	ϵ_{sm}	A_e	Δ_{sm}	W_d	W_{amm}	CS	Verificato
			[N]	[N-m]	[N/mm ²]	[N/mm ²]		[cm ²]	[mm]	[mm]	[mm]		o
Fondazione			Platea 1				AA = PCA						
NOTA: L'elemento NON è fessurato. Di seguito si riporta il nodo strutturale per la quale si riscontra la massima tensione di trazione (max $\sigma_{ct,f}$)													
00594	P	FRQ	-	-30.812	0,04	3,00	0 E+00	0	0	0,000	0,400	-	SI
		OPR	-	-30.812	0,04	3,00	0 E+00	0	0	0,000	0,300	-	SI
	S	FRQ	-	-31.491	0,03	3,00	0 E+00	0	0	0,000	0,400	-	SI
		OPR	-	-31.491	0,03	3,00	0 E+00	0	0	0,000	0,300	-	SI

LEGENDA:

- Dir Direzione [P] = principale (asse locale 1) - [S] = secondaria (asse locale 2).
AA Identificativo dell'aggressività dell'ambiente: [PCA] = "Ordinario"; [MDA] = "Aggressivo"; [MLA] = "Molto aggressivo".
 $I_{d_{cmb}}$ Identificativo della Combinazione di Azione: [OPR] = Quasi Permanente - [FRQ] = Frequente - [RAR] = Rara.
 N_{Ed}, M_{Ed} Sollecitazioni di progetto.
 $\sigma_{ct,f}$ **Tensione massima di trazione nel calcestruzzo per la fessurazione, calcolata nell'ipotesi di calcestruzzo resistente a trazione.** Se tale valore è maggiore di σ_t la sezione è soggetta a fessurazione.
N.B. I valori negativi indicano una sezione interamente compressa. In tal caso le sollecitazioni forniscono il minimo valore di compressione.
 σ_t Tensione massima di trazione nel calcestruzzo relativa allo stato limite di formazione delle fessure [relazione (4.1.13) del § 4.1.2.2.4 del DM 2018].
 ϵ_{sm} Deformazione unitaria media delle barre di armatura.
 A_e Area efficace del calcestruzzo teso.
 Δ_{sm} Distanza media tra le fessure.
 W_d Valore di calcolo di apertura massima delle fessure.
 W_{amm} Valore ammissibile di apertura delle fessure.
CS Coefficiente di Sicurezza (= W_d / W_{amm}). [NS] = Non Significativo (CS \geq 100). [-] = Fessurazioni nulle ($W_d = 0$).
Verificato [SI] = $W_d \leq W_{amm}$; [NO] = $W_d > W_{amm}$

8.4 Verifica a pressoflessione deviata dei pali

Si riporta di seguito, in forma tabellare, la verifica a pressoflessione deviata dei pali di Fondazione per i 4 modelli di calcolo.

MODELLO FER A1, FER A2

Pali - Verifiche a pressoflessione deviata allo SLU

$I_{d_{PI}}$	$I_{d_{Nd}}$	N_{Ed}	$M_{Ed,x}$	$M_{Ed,y}$	CS	N_u	ϕ_s	n_s	$\phi_{As,st}$
		[N]	[N-m]	[N-m]		[N]	[mm]		[mm]
PALO12	00014	23.792	-30.893	1.431	11.66[V]	6.780.355	20	9	8
PALO11	00013	21.293	-12.651	9.250	22.97[V]	6.780.355	20	9	8
PALO9	00012	18.209	3.195	-1.012	NS	6.780.355	20	9	8
PALO7	00011	15.083	1.713	-18.383	19.41[V]	6.780.355	20	9	8
PALO5	00010	12.994	-13.140	-24.552	12.84[V]	6.780.355	20	9	8
PALO3	00009	12.780	-24.591	-13.611	12.72[V]	6.780.355	20	9	8
PALO1	00008	14.593	-18.750	1.870	19.01[V]	6.780.355	20	9	8
PALO10	00007	25.373	-34.904	-19.405	9.04[V]	6.780.355	20	9	8
PALO8	00006	25.663	-19.770	-34.964	8.99[V]	6.780.355	20	9	8
PALO6	00005	24.334	1.296	-31.423	11.47[V]	6.780.355	20	9	8
PALO4	00004	21.514	9.884	-12.420	22.68[V]	6.780.355	20	9	8
PALO2	00003	17.883	-1.213	3.207	NS	6.780.355	20	9	8

LEGENDA:

- $I_{d_{PI}}$ Identificativo del palo.
 $I_{d_{Nd}}$ Identificativo del nodo in testa al palo.
CS **Coefficiente di sicurezza** ([NS] = Non Significativo se CS \geq 100; [VNR]= Verifica Non Richiesta; Informazioni aggiuntive sulla condizione: [V] = statica; [E] = eccezionale; [S] = sismica; [N] = sismica non lineare).
 N_u Sforzo Normale Ultimo per compressione semplice.
 ϕ_s Diametro delle barre di acciaio.



Pali - Verifiche a pressoflessione deviata allo SLU

Id _{PI}	Id _{Nd}	N _{Ed} [N]	M _{Ed,x} [N-m]	M _{Ed,y} [N-m]	CS	N _U [N]	φ _s [mm]	n _s	φ _{As,st} [mm]
n _s	Numero delle barre di acciaio.								
φ _{As,st}	Diametro delle staffe.								
N _{Ed} ,	Sollecitazioni di progetto.								
M _{Ed,x} ,									
M _{Ed,y}									

MODELLO FER A3

Pali - Verifiche a pressoflessione deviata allo SLU

Id _{PI}	Id _{Nd}	N _{Ed} [N]	M _{Ed,x} [N-m]	M _{Ed,y} [N-m]	CS	N _U [N]	φ _s [mm]	n _s	φ _{As,st} [mm]
PALO12	00014	361.905	-52.368	17.887	8.10[V]	6.780.355	20	9	8
PALO11	00013	302.553	-17.045	62.922	6.65[V]	6.780.355	20	9	8
PALO9	00012	200.388	37.523	62.907	5.56[V]	6.780.355	20	9	8
PALO7	00011	80.784	64.508	24.474	5.45[V]	6.780.355	20	9	8
PALO5	00010	-24.380	49.156	-10.832	6.90[V]	6.780.355	20	9	8
PALO3	00009	-84.745	17.360	-9.386	16.78[V]	6.780.355	20	9	8
PALO1	00008	-82.354	10.873	19.473	14.87[V]	6.780.355	20	9	8
PALO10	00007	365.221	-38.427	-38.677	8.24[V]	6.780.355	20	9	8
PALO8	00006	311.213	14.827	-62.414	6.79[V]	6.780.355	20	9	8
PALO6	00005	211.760	62.949	-36.588	5.63[V]	6.780.355	20	9	8
PALO4	00004	91.314	70.121	11.305	5.33[V]	6.780.355	20	9	8
PALO2	00003	-17.250	38.920	35.141	6.66[V]	6.780.355	20	9	8

LEGENDA:

Id _{PI}	Identificativo del palo.
Id _{Nd}	Identificativo del nodo in testa al palo.
CS	Coefficiente di sicurezza ([NS] = Non Significativo se CS ≥ 100; [VNR]= Verifica Non Richiesta; Informazioni aggiuntive sulla condizione: [V] = statica; [E] = eccezionale; [S] = sismica; [N] = sismica non lineare).
N _U	Sforzo Normale Ultimo per compressione semplice.
φ _s	Diametro delle barre di acciaio.
n _s	Numero delle barre di acciaio.
φ _{As,st}	Diametro delle staffe.
N _{Ed} ,	Sollecitazioni di progetto.
M _{Ed,x} ,	
M _{Ed,y}	

MODELLO FER A5

Pali - Verifiche a pressoflessione deviata allo SLU

Id _{PI}	Id _{Nd}	N _{Ed} [N]	M _{Ed,x} [N-m]	M _{Ed,y} [N-m]	CS	N _U [N]	φ _s [mm]	n _s	φ _{As,st} [mm]
PALO12	00014	27.697	-60.194	733	6.01[V]	6.780.355	20	9	8
PALO11	00013	25.525	-39.050	24.680	7.81[V]	6.780.355	20	9	8
PALO9	00012	21.497	-7.943	20.504	16.37[V]	6.780.355	20	9	8
PALO7	00011	16.224	3.253	-6.430	49.77[V]	6.780.355	20	9	8
PALO5	00010	11.333	-12.955	-28.304	11.48[V]	6.780.355	20	9	8
PALO3	00009	8.357	-38.530	-23.377	7.91[V]	6.780.355	20	9	8
PALO1	00008	8.283	-44.303	1.060	8.04[V]	6.780.355	20	9	8
PALO10	00007	27.872	-52.612	-30.863	5.93[V]	6.780.355	20	9	8
PALO8	00006	26.039	-22.206	-42.555	7.52[V]	6.780.355	20	9	8
PALO6	00005	22.083	2.949	-24.342	14.69[V]	6.780.355	20	9	8
PALO4	00004	16.668	1.392	5.483	63.42[V]	6.780.355	20	9	8
PALO2	00003	11.441	-24.077	16.961	12.13[V]	6.780.355	20	9	8

LEGENDA:

Id _{PI}	Identificativo del palo.
Id _{Nd}	Identificativo del nodo in testa al palo.
CS	Coefficiente di sicurezza ([NS] = Non Significativo se CS ≥ 100; [VNR]= Verifica Non Richiesta; Informazioni aggiuntive sulla condizione: [V] = statica; [E] = eccezionale; [S] = sismica; [N] = sismica non lineare).
N _U	Sforzo Normale Ultimo per compressione semplice.
φ _s	Diametro delle barre di acciaio.
n _s	Numero delle barre di acciaio.
φ _{As,st}	Diametro delle staffe.
N _{Ed} ,	Sollecitazioni di progetto.
M _{Ed,x} ,	
M _{Ed,y}	



MODELLO FER A4, FER A6

Pali - Verifiche a pressoflessione deviata allo SLU

Id _{PI}	Id _{ND}	N _{Ed} [N]	M _{Ed,X} [N-m]	M _{Ed,Y} [N-m]	CS	N _U [N]	φ _s [mm]	n _s	φ _{As,st} [mm]
PALO11	00008	246.374	-14.174	59.389	6.86[V]	6.780.355	20	9	8
PALO9	00012	163.023	37.051	59.154	5.69[V]	6.780.355	20	9	8
PALO7	00005	65.462	62.200	22.858	5.61[V]	6.780.355	20	9	8
PALO5	00010	-20.309	47.449	-10.334	7.18[V]	6.780.355	20	9	8
PALO3	00014	-69.535	17.260	-8.743	17.33[V]	6.780.355	20	9	8
PALO1	00007	-67.580	11.062	18.775	15.41[V]	6.780.355	20	9	8
PALO10	00011	297.503	-34.340	-35.745	8.72[V]	6.780.355	20	9	8
PALO8	00004	253.432	15.638	-57.878	7.02[V]	6.780.355	20	9	8
PALO6	00009	172.293	60.705	-33.456	5.77[V]	6.780.355	20	9	8
PALO4	00013	74.053	67.191	11.610	5.48[V]	6.780.355	20	9	8
PALO2	00006	-14.486	37.573	33.857	6.92[V]	6.780.355	20	9	8

LEGENDA:

- Id_{PI} Identificativo del palo.
- Id_{ND} Identificativo del nodo in testa al palo.
- CS **Coefficiente di sicurezza ([NS] = Non Significativo se CS ≥ 100; [VNR]= Verifica Non Richiesta; Informazioni aggiuntive sulla condizione: [V] = statica; [E] = eccezionale; [S] = sismica; [N] = sismica non lineare).**
- N_U Sforzo Normale Ultimo per compressione semplice.
- φ_s Diametro delle barre di acciaio.
- n_s Numero delle barre di acciaio.
- φ_{As,st} Diametro delle staffe.

8.5 Verifica a taglio dei pali

Si riporta di seguito, in forma tabellare, la verifica a taglio per pressoflessione deviata dei pali di Fondazione per i 4 modelli di calcolo.

MODELLO FER A1, FER A2

Pali - Verifiche a Taglio

Id _{PI}	Id _{ND}	V _{Ed} [N]	CS	V _{Rcd}		V _{Rsd,s}		A _{sw} [cm ² /cm]	S _{Asw} [cm]	φ _{As,st} [mm]
				X [N]	Y	X [N]	Y			
PALO12	00014	124.818	2,84	1331206	0	354040	0	0,05291	19	8
PALO11	00013	114.402	3,09	1331206	0	354040	0	0,05291	19	8
PALO9	00012	100.874	3,51	1331206	0	354040	0	0,05291	19	8
PALO7	00011	87.357	4,05	1331206	0	354040	0	0,05291	19	8
PALO5	00010	78.416	4,51	1331206	0	354040	0	0,05291	19	8
PALO3	00009	78.430	4,51	1331206	0	354040	0	0,05291	19	8
PALO1	00008	87.357	4,05	1331206	0	354040	0	0,05291	19	8
PALO10	00007	130.427	2,71	1331206	0	354040	0	0,05291	19	8
PALO8	00006	130.445	2,71	1331206	0	354040	0	0,05291	19	8
PALO6	00005	124.823	2,84	1331206	0	354040	0	0,05291	19	8
PALO4	00004	114.395	3,09	1331206	0	354040	0	0,05291	19	8
PALO2	00003	100.891	3,51	1331206	0	354040	0	0,05291	19	8

LEGENDA:

- Id_{PI} Identificativo del palo.
- Id_{ND} Identificativo del nodo in testa al palo.
- V_{Ed} Massima sollecitazione di taglio composta in funzione di V_{Ed,x}, V_{Ed,y} e dell'asse neutro.
- CS **Coefficiente di sicurezza ([NS] = Non Significativo se CS ≥ 100; [VNR]= Verifica Non Richiesta; Informazioni aggiuntive sulla condizione: [V] = statica; [E] = eccezionale; [S] = sismica; [N] = sismica non lineare).**
- V_{Rcd} Resistenza a taglio compressione del calcestruzzo.
- V_{Rsd,s} Resistenza a taglio trazione delle staffe.
- A_{sw} Area delle staffe per unità di lunghezza.
- S_{Asw} Passo massimo staffe da normativa.
- φ_{As,st} Diametro delle staffe.

MODELLO FER A3

Pali - Verifiche a Taglio

Id _{PI}	Id _{ND}	V _{Ed} [N]	CS	V _{Rcd}		V _{Rsd,s}		A _{sw} [cm ² /cm]	S _{Asw} [cm]	φ _{As,st} [mm]
				X [N]	Y	X [N]	Y			
PALO12	00014	161.102	2,20	1331206	0	354040	0	0,05291	19	8
PALO11	00013	153.798	2,30	1331206	0	354040	0	0,05291	19	8
PALO9	00012	146.467	2,42	1331206	0	354040	0	0,05291	19	8
PALO7	00011	141.371	2,50	1331206	0	354040	0	0,05291	19	8
PALO5	00010	140.321	2,52	1331206	0	354040	0	0,05291	19	8



Pali - Verifiche a Taglio

Id _{PI}	Id _{ND}	V _{Ed}	CS	V _{Rcd}		V _{Rsd,s}		A _{sw}	S _{Asw}	φ _{As,st}
				X	Y	X	Y			
				[N]		[N]				
PALO3	00009	143.763	2,46	1331206	0	354040	0	0,05291	19	8
PALO1	00008	150.360	2,35	1331206	0	354040	0	0,05291	19	8
PALO10	00007	166.620	2,12	1331206	0	354040	0	0,05291	19	8
PALO8	00006	169.226	2,09	1331206	0	354040	0	0,05291	19	8
PALO6	00005	168.448	2,10	1331206	0	354040	0	0,05291	19	8
PALO4	00004	164.440	2,15	1331206	0	354040	0	0,05291	19	8
PALO2	00003	157.951	2,24	1331206	0	354040	0	0,05291	19	8

LEGENDA:

- Id_{PI} Identificativo del palo.
- Id_{ND} Identificativo del nodo in testa al palo.
- V_{Ed} Massima sollecitazione di taglio composta in funzione di V_{Ed,X}, V_{Ed,Y} e dell'asse neutro.
- CS Coefficiente di sicurezza ([NS] = Non Significativo se CS ≥ 100; [VNR]= Verifica Non Richiesta; Informazioni aggiuntive sulla condizione: [V] = statica; [E] = eccezionale; [S] = sismica; [N] = sismica non lineare).
- V_{Rcd} Resistenza a taglio compressione del calcestruzzo.
- V_{Rsd,s} Resistenza a taglio trazione delle staffe.
- A_{sw} Area delle staffe per unità di lunghezza.
- S_{Asw} Passo massimo staffe da normativa.
- φ_{As,st} Diametro delle staffe.

MODELLO FER A5

Pali - Verifiche a Taglio

Id _{PI}	Id _{ND}	V _{Ed}	CS	V _{Rcd}		V _{Rsd,s}		A _{sw}	S _{Asw}	φ _{As,st}
				X	Y	X	Y			
				[N]		[N]				
PALO12	00014	161.085	2,20	1331206	0	354040	0	0,05291	19	8
PALO11	00013	153.772	2,30	1331206	0	354040	0	0,05291	19	8
PALO9	00012	146.460	2,42	1331206	0	354040	0	0,05291	19	8
PALO7	00011	141.391	2,50	1331206	0	354040	0	0,05291	19	8
PALO5	00010	140.349	2,52	1331206	0	354040	0	0,05291	19	8
PALO3	00009	143.768	2,46	1331206	0	354040	0	0,05291	19	8
PALO1	00008	150.338	2,35	1331206	0	354040	0	0,05291	19	8
PALO10	00007	166.627	2,12	1331206	0	354040	0	0,05291	19	8
PALO8	00006	169.251	2,09	1331206	0	354040	0	0,05291	19	8
PALO6	00005	168.467	2,10	1331206	0	354040	0	0,05291	19	8
PALO4	00004	164.437	2,15	1331206	0	354040	0	0,05291	19	8
PALO2	00003	157.925	2,24	1331206	0	354040	0	0,05291	19	8

LEGENDA:

- Id_{PI} Identificativo del palo.
- Id_{ND} Identificativo del nodo in testa al palo.
- V_{Ed} Massima sollecitazione di taglio composta in funzione di V_{Ed,X}, V_{Ed,Y} e dell'asse neutro.
- CS **Coefficiente di sicurezza ([NS] = Non Significativo se CS ≥ 100; [VNR]= Verifica Non Richiesta; Informazioni aggiuntive sulla condizione: [V] = statica; [E] = eccezionale; [S] = sismica; [N] = sismica non lineare).**
- V_{Rcd} Resistenza a taglio compressione del calcestruzzo.
- V_{Rsd,s} Resistenza a taglio trazione delle staffe.
- A_{sw} Area delle staffe per unità di lunghezza.
- S_{Asw} Passo massimo staffe da normativa.
- φ_{As,st} Diametro delle staffe.

MODELLO FER A4, FER A6

Pali - Verifiche a Taglio

Id _{PI}	Id _{ND}	V _{Ed}	CS	V _{Rcd}		V _{Rsd,s}		A _{sw}	S _{Asw}	φ _{As,st}
				X	Y	X	Y			
				[N]		[N]				
PALO12	00003	161.079	2,20	1331206	0	354040	0	0,05291	19	8
PALO11	00008	153.763	2,30	1331206	0	354040	0	0,05291	19	8
PALO9	00012	146.456	2,42	1331206	0	354040	0	0,05291	19	8
PALO7	00005	141.397	2,50	1331206	0	354040	0	0,05291	19	8
PALO5	00010	140.358	2,52	1331206	0	354040	0	0,05291	19	8
PALO3	00014	143.769	2,46	1331206	0	354040	0	0,05291	19	8
PALO1	00007	150.329	2,36	1331206	0	354040	0	0,05291	19	8
PALO10	00011	166.629	2,12	1331206	0	354040	0	0,05291	19	8
PALO8	00004	169.260	2,09	1331206	0	354040	0	0,05291	19	8
PALO6	00009	168.474	2,10	1331206	0	354040	0	0,05291	19	8
PALO4	00013	164.435	2,15	1331206	0	354040	0	0,05291	19	8
PALO2	00006	157.915	2,24	1331206	0	354040	0	0,05291	19	8

LEGENDA:

- Id_{PI} Identificativo del palo.
- Id_{ND} Identificativo del nodo in testa al palo.



Pali - Verifiche a Taglio

IdPI	IdNd	V _{Ed}	CS	V _{Rcd}		V _{Rsd,s}		A _{sw}	S _{Asw}	φ _{As,st}
				X	Y	X	Y			
		[N]		[N]		[N]		[cm ² /cm]	[cm]	[mm]
V _{Ed}	Massima sollecitazione di taglio composta in funzione di V _{Ed,X} , V _{Ed,Y} e dell'asse neutro.									
CS	Coefficiente di sicurezza ([NS] = Non Significativo se CS ≥ 100; [VNR]= Verifica Non Richiesta; Informazioni aggiuntive sulla condizione: [V] = statica; [E] = eccezionale; [S] = sismica; [N] = sismica non lineare).									
V _{Rcd}	Resistenza a taglio compressione del calcestruzzo.									
V _{Rsd,s}	Resistenza a taglio trazione delle staffe.									
A _{sw}	Area delle staffe per unità di lunghezza.									
S _{Asw}	Passo massimo staffe da normativa.									
φ _{As,st}	Diametro delle staffe.									